

(19)



OFICINA ESPAÑOLA DE
PATENTES Y MARCAS

ESPAÑA



(11) Número de publicación: **2 569 421**

(51) Int. Cl.:
C12N 5/073 (2010.01)

(12)

TRADUCCIÓN DE PATENTE EUROPEA

T3

(96) Fecha de presentación y número de la solicitud europea: **26.05.2006 E 06252751 (0)**

(97) Fecha y número de publicación de la concesión europea: **13.01.2016 EP 1780267**

(54) Título: **Células derivadas del líquido amniótico**

(30) Prioridad:

**27.05.2005 US 685607 P
27.03.2006 US 743821 P**

(45) Fecha de publicación y mención en BOPI de la traducción de la patente:
10.05.2016

(73) Titular/es:

**LIFESCAN, INC. (100.0%)
1000 GIBRALTAR DRIVE
MILPITAS, CA 95035, US**

(72) Inventor/es:

**REZANIA, ALIREZA y
XU, JEAN**

(74) Agente/Representante:

IZQUIERDO BLANCO, María Alicia

ES 2 569 421 T3

Aviso: En el plazo de nueve meses a contar desde la fecha de publicación en el Boletín europeo de patentes, de la mención de concesión de la patente europea, cualquier persona podrá oponerse ante la Oficina Europea de Patentes a la patente concedida. La oposición deberá formularse por escrito y estar motivada; sólo se considerará como formulada una vez que se haya realizado el pago de la tasa de oposición (art. 99.1 del Convenio sobre concesión de Patentes Europeas).

DESCRIPCIÓN**Células derivadas del líquido amniótico****CAMPO DE LA INVENCIÓN**

5 Esta invención se refiere a una población de células derivadas del líquido expandible amniótico que pueden diferenciarse en un linaje de celdas β . También se describen métodos para el aislamiento y la expansión de tales células derivadas del líquido amniótico, así como métodos relacionados y composiciones para la utilización de tales células en el tratamiento terapéutico de la diabetes.

10 FONDO

La pérdida de la función del órgano puede ser el resultado de defectos congénitos, lesión o enfermedad. Un ejemplo de una enfermedad que causa la pérdida de la función del órgano es la diabetes mellitus o diabetes. La mayoría de los casos de diabetes se dividen en dos tipos clínicos: Tipo 1, también conocida como diabetes de comienzo juvenil o diabetes mellitus insulinodependiente (DMID) y tipo 2, también conocida como diabetes del adulto. Cada tipo tiene un diferente pronóstico, tratamiento y causa. Ambos tipos se caracterizan por la incapacidad del paciente para regular sus niveles de glucosa en sangre. Como consecuencia, los niveles de glucosa en sangre se elevan a valores altos porque la glucosa no puede entrar en las células para satisfacer las demandas metabólicas. Esta incapacidad de metabolizar correctamente azúcar en la sangre provoca una serie compleja de los primeros y la fase tardía de sintomatologías, comenzando con, por ejemplo, la hiperglucemia, el hambre anormal, sed, poliuria y glucosuria y, a continuación escalada a, por ejemplo, neuropatía, macro-vascular la enfermedad, y la enfermedad micro-vascular.

20 Un método común de tratamiento de la diabetes de tipo 1 implica la administración exógena de insulina, típicamente por inyección con una jeringa o una bomba. Este método no normaliza completamente los niveles de glucosa en sangre y a menudo se asocia con un mayor riesgo de hipoglucemias. Control de la glucemia más eficaz se puede lograr si la función del páncreas puede ser restaurado o rejuvenecido a través de un trasplante o terapias a base de células.

25 Hay muchas terapias de trasplante que se utilizan actualmente para tratar la diabetes: Uno de estos tratamientos implica el trasplante de islotes aislados de Langerhans en el paciente diabético. Uno de los principales obstáculos para el trasplante de islotes humanos ha sido la falta de un número suficiente de islotes para tratar el gran número de pacientes diabéticos. Una posible solución a la escasez de islotes es la generación de islotes a partir de fuentes celulares alternativas.

30 35 Se ha documentado que las células progenitoras derivadas de tejidos adultos son capaces de diferenciación en un fenotipo de células de páncreas β . Véase, por ejemplo, W02004/087885 A2, Hess et al. (Nature Biotechnology 21, 763 -770, 2003), y Ianus et al. (J. Clin. Invest. 111: 843-850, 2003), que informa de la capacidad de las células derivadas de médula ósea de adulto (mesenquimales y células hematopoyéticas) para diferenciarse en células que tienen características de una célula pancreática β in vitro, o factores tróficos secretos que ayudan a la regeneración de un páncreas en el vivo dañado.

40 Entre otras fuentes de células progenitoras que pueden diferenciarse en células pancreáticas incluyen células de madre de hígado de roedores ovales (W003 / 033697) y la placenta después del parto (Solicitud Publicada de EE.UU. 2004/0161419 A1).

45 50 55 Las células endocrinas de los islotes de Langerhans, incluyendo células β , están constantemente reviviéndose por procesos de apoptosis y la proliferación de nuevas células de los islotes (neogénesis). Como tal, se cree que el páncreas pueda ser una fuente de células progenitoras que sean capaces de diferenciarse en células productoras de hormona pancreática. Hay tres tipos distintos de tejidos, aislados de un páncreas, que son una fuente potencial de células progenitoras pancreáticas: una fracción rica en islote, una fracción rica en células ductales y una fracción rica en células acinares.

60 El aislamiento de células progenitoras o células parcialmente diferenciadas a partir de extractos de tejido pancreático de crudo se puede conseguir usando anticuerpos dirigidos contra marcadores de superficie celular. Por ejemplo, la solicitud publicada EE.UU. 2004/0241761 da a conocer el aislamiento de células de murciélagos que expresan ErbB2, ErbB3, ErbB4, Msx-2, PDX-1 y la insulina.

65 Gershengorn et al. (Science 306: 2261-2264, 2004) enseña la producción de la proliferación de células que eran capaces de formar agregados de células de islotes similares. Las células se obtuvieron a partir de una población heterogénea de células adherentes que surgieron a partir del cultivo de islotes pancreáticos humanos aislados in vitro. Los islotes aislados de Langerhans se sembraron inicialmente en placas de cultivo tisular y se cultivaron en medio que contiene 10% de suero. Se observó como células similares a los fibroblastos se migraban fuera de los islotes cultivados y formaban una monocapa. Estas células expresan nestina, actina de músculo liso y vimentina.

65 Las células progenitoras pancreáticas también pueden surgir de la cultura de los islotes pancreáticos y el tejido ductal que se ha disociado en células individuales, como se describe por Seaberg et al. (Nature Biotechnology 22:

1115- 1124, 2004). Las células progenitoras murinas divulgadas por Seaberg et al. expresaron nestina durante la proliferación.

La Solicitud Publicada de EE.UU. 2003/0082155 describe métodos para aislar e identificar una población de células de los islotes de Langerhans del páncreas humano, que tienen las características funcionales y moleculares de las células madre. En particular, estas células se caracterizaron mediante tinción positiva de nestina, la expresión génica nestina, la tinción positiva de GLP-1R, la expresión del gen GLP-1R, la tinción positiva de ABCG2, la expresión génica ABCG2, la tinción positiva de Oct3/4, la expresión génica Oct3/4, la tinción positiva de latrofilitina (tipo 2), la expresión genética de latrofilitina (tipo 2), la tinción positiva de Hes-1, la expresión génica de Hes-1, las subunidades de integrina α6 y tinción positiva β1, subunidades de integrina α6 y la expresión genética β1, la tinción positiva de c-kit, la expresión génica de c-kit, la tinción positiva de MDR-1, la expresión genética de MDR1, la tinción positiva de SST-R, 2, 3, 4, la expresión génica de SST-R, 2, 3, 4, la tinción positiva de SUR1, la expresión génica de SUR-1, la tinción positiva de Kir 6.2, la expresión génica de Kir 6.2, la tinción negativa de CD34, la tinción negativa de CD45, la tinción negativa de CD133, la tinción negativa de MHC de clase I, la tinción negativa de MHC de clase II, la tinción negativa de citoqueratina-19, la proliferación a largo plazo en el cultivo, y la capacidad de diferenciarse en pseudoislotes en cultivo.

En otro enfoque, como se describe en la Patente de EE.UU. 5.834.308, la Patente de EE.UU 6.001.647 y la patente de EE.UU. 6.703.017, preparaciones crudas de los cultivos de los islotes de ratones NOD se puede utilizar para establecer cultivos epiteliales-similares, que pueden mantenerse en cultivos en crecimiento durante más de 1 año y que parecen demostrar la capacidad de diferenciarse en grupos de islotes, capaces de secretar insulina.

Estructuras parecidas a islotes pueden generarse a partir de fracciones de páncreas humano digerido enriquecido por tejido ductal, como se describe en Bonner-Weir et al. (Proc Natl Acad Sci 97: 7999-8004, 2000) y la patente de EE.UU. 6.815.203 B1. Grupos parecidos a islotes divulgados en estas publicaciones se tiñeron positivamente para citoqueratina-19 y mostraron inmunoreactividad para la insulina.

WO2004 / 011621 da a conocer la generación de células adherentes negativas de insulina a partir de fragmentos ductales pancreáticos humanos.

W003 / 102134 da a conocer la generación de una célula epitelial positivas para citoqueratina-19 a partir de una fracción acinar de un digerido pancreático humano. Las células generadas son capaces de expansión limitada y se diferencian en una célula productora de insulina en presencia de un medio de inducción.

La solicitud publicada de EE.UU. 2004/015805 A1 informa de que un subconjunto de células madre pancreáticas humanas puede aislarse utilizando ligandos para el marcador de superficie celular CD56 (también conocida como NCAM). Estas células pueden diferenciarse en células productoras de insulina y agregados productores de insulina.

Se ha documentado que las células progenitoras, derivadas de tejidos fetales o embrionarias, tienen el potencial de diferenciarse en una célula productora de hormonas de páncreas. Véase, por ejemplo, la patente de EE.UU. 6436704, WO03 / 062405, WO02 / 092756 y el documento EP 0 363 125 A2, que informan del potencial de células derivadas del feto humano y embrionarias para diferenciarse en un linaje de células β.

Las células madre embrionarias humanas (hES) se derivan de la masa celular interna del blastocisto, la fase más temprana del desarrollo embrionario del óvulo fecundado. El blastocisto es una etapa de pre-implantación del embrión, una etapa antes de que el embrión se implanta en la pared uterina. Cuando se cultivan en una capa de alimentación inactivada de células de acuerdo con las condiciones descritas por Thompson y colaboradores (Thomson, et al (Proc Natl Acad Sci U.S.A. 92: 7844-7848, 1995); Thomson, et al . Science 282: 1145-1147, 1998), Marshall, et al, (Métodos Mol. Biol 158: 11-18, 2001), las células de la capa interior del blastocisto pueden ser cultivadas in vitro indefinidamente en un estado indiferenciado. Células hES propagada correctamente tienen un potencial ilimitado para doblar y mantener su pluripotencia; es decir, su capacidad de diferenciarse en las tres capas del embrión, ectodermo (Ec), mesodermo (Me) y endodermo (En). Cuando se cultiva como pluripotente hES, las células mantienen un cariotipo euploide y no son propensos a la senescencia.

Las células madre embrionarias muestran un grupo distinto de los antígenos de la superficie celular, SSEA-3, SSEA-4, TRA-2-54 (fosfatasa de alcalina), TRA-1-60 y TRA-1-81, además de expresar factores de transcripción específica OCT-4, NANOG, SOX-2, FGF-4 y REX-1 (Henderson, et al, (Stem Cells 20:329-337, 2002), Draper, et al, (J. Anat 200: 249-258, 2002), Mitsui et al, (Cell 113: 631-642, 2003), Chambers et al, (Cell 113: 643-655, 2003).

Es importante tener en cuenta a partir de estas publicaciones, sin embargo, que las células de embriones humanos a menudo requieren una capa de alimentación para la expansión y el mantenimiento de pluripotencia o combinación de una matriz extracelular compleja, tal como, por ejemplo, MATRIGEL™, además de medios acondicionados. Estas condiciones no permiten la ampliación fácil de células y un eventual terapia celular para el tratamiento de la diabetes.

Los investigadores han encontrado que los tipos no embrionarios de células madre ("células madre adultas") no son

tan capaces de diferenciarse en diversos tipos de tejidos, como son las células madre embrionarias, por lo que las células madre embrionarias todavía tienen muchas ventajas sobre el uso de las células madre adultas. Sin embargo, un obstáculo con el aislamiento de células madre embrionarias es que las células se derivan de embriones en la etapa de "blastocisto". La investigación con células madre de embriones humanos está gravado por un debate político y ético cargado de emociones y es probable que siga siéndolo en los próximos años.

Además, se han encontrado células madre embrionarias humanas (hES) para ser tumorigénicas cuando se inyectan en animales inmunológicamente discapacitados, es decir, en el contexto de los tejidos post-natales, mientras que las células madre adultas no lo son. Los atributos tumorigénicos de las células hES no se abordan con frecuencia, aunque este problema puede cargar a su uso en terapia de reemplazo celular en el futuro. Las cuestiones políticas, morales y éticas en torno a células hES y sus propiedades oncogénicas, así como las dificultades percibidas de la expansión de las células madre adultas no diferenciadas en cultivo, manteniendo al mismo tiempo un genoma genéticamente normal, son los principales obstáculos en el desarrollo de la terapia de reemplazo de células humanas.

Células madre pluripotentes o multipotentes se han aislado de las vellosidades coriónicas, y el líquido amniótico. Muchas células amnióticas y placentarias comparten un origen común, a saber, la masa celular interna de la mórula, que da lugar a que el embrión en sí, el saco vitelino, el núcleo mesenquimales de las vellosidades coriónicas, el corion y amnios (Crane y Cheung, Prenatal Diagnosis 8: 119-129, 1988). Las células embrionarias y fetales de las tres capas germinales durante mucho tiempo han sido identificados en el líquido amniótico (Milunsky, Genetic Disorder of the Fetus Nueva York: Plenum Press, 75-84, 1979; Hoehn y Salk, Methods in Cell Biology 26, 11-. 34, 1982; Gosden, British Medical Bulletin 39, 348-354, 1983; Prusa et al, Human Reproduction 18, 1489-1493, 2003). De este modo, el líquido amniótico puede proporcionar el acceso menos invasivo de las células madre similares a las embrionarias y fetales.

Las células derivadas del líquido amniótico se han utilizado de forma rutinaria para detectar anomalías cromosómicas del feto. El líquido amniótico es normalmente muestreado durante el segundo trimestre (16 a 22 semanas de gestación). Técnica anterior demuestra claramente la presencia de tres subpoblaciones de células con morfologías diferentes: células "líquido amniótico" (AF), y "células epiteliales" (E), "fibroblasto" (F). Las células F y AF se expanden rápidamente mientras que las células E muestran una curva de crecimiento mucho más lenta y tienen una pobre eficiencia clonal.

Por ejemplo, la solicitud PCT WO 2003 / 042405 da a conocer el aislamiento de células madre positivas c-Kit de vellosidades coriónicas, líquido amniótico y placenta (Cell 1, Tabla I).

En otro ejemplo, la solicitud publicada de EE.UU. 2005/0054093 describe el aislamiento de células madre de líquido amniótico. Estas células expresan el antígeno embrionario de etapa específica de 3 (SSEA3), el antígeno embrionario de etapa específica 4 (SSEA4), Tral -60, Tral-81, Tra2-54, Oct-4, HLA de clase I, CD13, CD44 CD49b y CD 105 (Célula 2, Tabla I).

En otro ejemplo, las células fetales se han aislado de líquido amniótico (Int' Anker et al, Blood 102, 1548-1549, 2003). Las células descritas fueron positivas para la expresión de los siguientes marcadores: CD44, CD73, CD90, CD105, CD106, HLA-A, B y C. Las células fueron negativas para la expresión de los siguientes marcadores: c-Kit (CD117), CD11, CD31, CD34, CD45 y HLA-D (Célula 3, Tabla I).

De una población de células madre mesenquimales aisladas de líquido amniótico también se ha informado en una publicación de Tsai et al (Tsai et al, Human Reproduction 19, 1450-1456, 2004). Las células descritas fueron positivas para la expresión de los siguientes marcadores: CD29, CD44, CD73, CD90, HLA-A, B, y C. Las células fueron también positivas para el factor de transcripción embrionaria Oct-4. Las células fueron negativas para la expresión de los siguientes marcadores: c-Kit (CD117), CD34 y HLA-D (Célula 4, Tabla I).

Aunque publicaciones y patentes recientes han sugerido que dentro de la fibroblástica, líquido amniótico, o subpoblaciones epiteliales existe una población de células que muestran algunas características de las células embrionarias humanas, tales como la expresión de marcadores de superficie SSEA3 y -4, la expresión del factor de transcripción Oct-4 , fuerte potencial de expansión, y la diferenciación en múltiples tipos de células; Ninguna de las técnicas previamente publicadas han demostrado la existencia de una subpoblación de las células que muestran expresión de marcadores endodermiales tempranos claves, como HNF-1 beta, HNF-3 beta, SOX-17, y GATA-6, mientras que el mantenimiento de la expresión de marcadores ES SSEA-4.

La expresión conjunta de HNF-1 beta, HNF-3 beta (también conocido como FOXa2), SOX-17, y GATA-6 es considerada como el paso clave para definir la formación de endodermo definitivo durante la gastrulación. Por lo tanto, la expresión de estos marcadores pueden ser claves en la generación de una población de células de páncreas β o una población de células productoras de hormonas pancreáticas o una hormona de producción de células de una célula intestinal derivada de fluido amniótico.

Por lo tanto, todavía existe una necesidad significativa para desarrollar condiciones de cultivo para el

establecimiento de líneas de células derivadas de líquido amniótico que se puede ampliar para hacer frente a las necesidades clínicas actuales, mientras que conserva el potencial de diferenciarse en endodermo definitivo o una población de células productoras de hormonas pancreáticas o una célula productora de hormonas intestinales o de un linaje de células β .

- 5 Wei Jun Ping et al. (Cell Transplantation, 2003, vol. 12 (5), p545-552) describen células humanas de aislamiento de amnios que pueden normalizar la glucosa en sangre en ratones diabéticos inducidos con estreptozotocina. Chen Li-Bo et al. (World J. Gastroenterology, 2004, vol. 10 (20), p3016-3020) describen la diferenciación de médula ósea de las células madre mensequimales de rata en las células beta de los islotes pancreáticos. Held KR et al. (Prenatal Diagnosis, 1984, vol. 4 (3), p171-180) describen el efecto de la tensión de oxígeno en la formación de colonias y la proliferación celular de células de líquido amniótico in vitro. Fauza D (Bailliere's Best Practice and Research: Clinical Obstetrics and Gynaecology, 2004, vol. 18(6), p877-891) revisa el líquido amniótico y la placenta como fuentes únicas de diferentes poblaciones de células madre mesenquimales, - hematopoyética, trofoblástica y, posiblemente, de células madre más primitivas.
- 10 15 WO 2005/017117 da a conocer una fuente de células madre de líquido amniótico / fetal multipotentes (MAFSCs). MAFSC son de origen fetal y se caracterizan por los siguientes marcadores de superficie celular: SSEA3, SSEA4, Tra-1-60, Tra-1-81, Tra-2-54, HLA de clase 1, CD13, CD44, CD49b, CD105 y se distinguen por la ausencia de los marcadores de antígeno CD34, CD45, y HLA de clase II.
- 20 EP 1391505A1 se refiere a un método para la separación de células madre de páncreas de un mamífero y un método de identificación de los mismos.

25 RESUMEN DE LA INVENCIÓN

- La invención proporciona una población sustancialmente pura de células derivadas del líquido amniótico, en las que dichas células son: capaces de diferenciarse en células que presentan las características del linaje de las células beta, sustancialmente negativas para la expresión de marcadores de proteína CD 117 y Oct-4, en los que los marcadores no están presentes o se expresan en al menos 70% de la población total de células, sustancialmente positiva para la expresión de GATA-6 y SSEA-4, en la que GATA-6 y SSEA-4 están presentes o se expresan en al menos aproximadamente 50 % de la población total de células y sustancialmente, ya sea: i) positivo para la expresión de SOX-17 y citoqueratina, en la que SOX-17 y citoqueratina están presentes o se expresa en al menos aproximadamente 50% de la población total de células; ii) negativo para la expresión de SOX-17, en la que SOX-17 no está presente o expresado en al menos 70% de la población total de células, y positivo en la expresión de citoqueratina, en la que la citoqueratina está presente o expresada en al menos aproximadamente 50% de la población total de células; o iii) negativo para la expresión de SOX-17 y citoqueratina, en la que SOX-17 y citoqueratina no está presente o expresada en al menos 70% de la población celular total.
- 40 La invención también proporciona una población de células derivadas del líquido amniótico de acuerdo con la presente invención para uso en un método de tratamiento de un paciente con diabetes mellitus o a riesgo de desarrollar diabetes.
- 45 La invención también proporciona el uso in vitro de la población de células de acuerdo con la presente invención, en un método en el que las células de dicha población se diferencian en células productoras de hormona pancreática.

SUMARIO DE LA DESCRIPCIÓN

- 50 Se da a conocer en el presente documento un método para el aislamiento de células derivadas del líquido amniótico de mamíferos. Células derivadas de líquido amniótico se obtienen de muestras de líquido amniótico de aproximadamente 14 a aproximadamente 23 semanas de gestación. Alternativamente, las células derivadas del líquido amniótico se obtienen de muestras de líquido amniótico de aproximadamente 23 a aproximadamente 40 semanas de gestación.
- 55 En una realización, los cultivos se dejaron en reposo durante al menos 5 a 10 días bajo condiciones de hipoxia (3% O₂). Alternativamente, los cultivos se dejaron en reposo durante al menos 5 a 10 días en condiciones de normoxia (aproximadamente 20% O₂).
- 60 En una realización alternativa, las células derivadas del líquido amniótico se obtienen a partir de muestras de líquido amniótico del segundo trimestre de la gestación. Alternativamente, las células derivadas del fluido amniótico se obtienen de muestras de líquido amniótico del tercer trimestre de gestación.
- 65 En una realización, las células derivadas del líquido amniótico cultivadas se aislan como células individuales y se expanden clonalmente.

El fluido amniótico derivado aislado de acuerdo con los métodos descritos en este documento puede contactarse, por ejemplo, con un agente (tal como un anticuerpo) que reconoce específicamente un marcador proteico expresado por células del líquido amniótico, para identificar y seleccionar células derivadas de fluido amniótico, obteniendo de ese modo una población sustancialmente pura de células derivadas del líquido amniótico, es decir, en la que un marcador de proteína reconocida se expresa en al menos 50% de la población celular.

En una realización, la población de células derivadas de fluido amniótico resultante es sustancialmente positiva para al menos uno de los siguientes marcadores: HNF-1 beta, HNF-3 beta, SOX-17, o GATA-6. La población de células derivadas de fluido amniótico es sustancialmente negativa para al menos uno de los siguientes marcadores: CD 117, Oct-4, o Tra2-54. La población de células derivadas de fluido amniótico se puede ampliar por más de 50 duplicaciones de población sin perder la capacidad de expresar HNF-1 beta, HNF-3 beta, SOX-17, o GATA-6.

En una realización, la población de células derivadas de fluido amniótico es sustancialmente positiva para los siguientes marcadores: CD44 y SSEA4. La población de células derivadas de fluido amniótico se puede ampliar por más de 50 duplicaciones de población sin perder la capacidad de expresar HNF-1 beta, HNF-3 beta, SOX-17, o GATA-6.

En una realización, la población de células derivadas de fluido amniótico aislado de acuerdo con los métodos descritos en el presente documento es sustancialmente negativo para al menos uno de los siguientes marcadores: SOX-17, CD117, Oct-4, o Tra2-54. La población de células derivadas de fluido amniótico es sustancialmente positiva para los siguientes marcadores: CD44 y SSEA4. La población de células de derivadas fluido amniótico se puede ampliar por más de 50 duplicaciones de población.

En una realización, la población de células derivadas de fluido amniótico aislada de acuerdo con los métodos descritos en el presente documento es sustancialmente negativo para citoqueratina y al menos uno de los siguientes marcadores: SOX-17, CD 117, Oct-4, o Tra2-54. La población de células derivadas de fluido amniótico es sustancialmente positiva para los siguientes marcadores: CD44 y SSEA4. La población de células derivadas de fluido amniótico se puede ampliar por más de 50 duplicaciones de población.

En una realización, la población de células derivadas de fluido amniótico aislada de acuerdo con los métodos descritos en el presente documento es sustancialmente negativo para SOX-17. La población de células derivadas de fluido amniótico es sustancialmente positiva para los siguientes marcadores: CD44 y SSEA4. La población de células derivadas de fluido amniótico se puede ampliar por más de 50 duplicaciones de población.

En una realización, la población de células derivadas de fluido amniótico aislada de acuerdo con los métodos descritos en esta memoria es sustancialmente negativa para los siguientes marcadores: citoqueratina y SOX-17. La población de células derivadas de fluido amniótico es sustancialmente positiva para los siguientes marcadores: CD44 y SSEA4. La población de células derivadas de fluido amniótico puede ampliarse para más de 50 duplicaciones de población.

En una realización, la población de células derivadas de fluido amniótico aislada de acuerdo con los métodos descritos en el presente documento es sustancialmente negativa para SOX-17. La población de células derivadas de fluido amniótico es más negativa para al menos uno de los siguientes marcadores: CD 117, Oct-4, o Tra2-54. La población de células derivadas de fluido amniótico es sustancialmente positiva para los siguientes marcadores: CD44 y SSEA4. La población de células derivadas de fluido amniótico se puede ampliar por más de 50 duplicaciones de población.

En una realización, la población de células derivadas de fluido amniótico aislada de acuerdo con los métodos descritos en el presente documento es sustancialmente negativa para los siguientes marcadores: citoqueratina y SOX-17. La población de células derivadas de fluido amniótico es más negativa para al menos uno de las siguientes marcadores: CD 117, Oct-4, o Tra2-54. La población de células derivadas de fluido amniótico es sustancialmente positiva para los siguientes marcadores: CD44 y SSEA4. La población de células derivadas de fluido amniótico se puede ampliar por más de 50 duplicaciones de población.

En otra realización, la presente descripción proporciona una población de células derivadas de fluido amniótico de aislamiento puro que son sustancialmente negativas para al menos uno de las siguientes marcadores: CD117, Oct-4, o Tra2-54.

En otra realización, la presente descripción proporciona una población de células derivadas de fluido amniótico de aislamiento puro que son sustancialmente negativas para al menos uno de los siguientes marcadores: SOX-17, CD117, Oct-4, o Tra2-54.

En otra realización, la presente descripción proporciona una población de células derivadas de fluido amniótico de aislamiento puro que son sustancialmente negativas para SOX-L7.

En otra realización, la presente descripción proporciona una población de células derivadas de fluido amniótico de

aislamiento puro que son sustancialmente negativas para SOX-17 y sustancialmente negativas para al menos uno de los siguientes marcadores: CD 117, Oct-4, o Tra2-54.

En una realización, las células derivadas de líquido amniótico, aisladas de acuerdo con los métodos descrita en este documento también pueden expresar al menos uno de las siguientes: Musashi-1 y Hes1.

Las poblaciones de células derivadas de fluido amniótico aisladas y expandidas como se describe en el presente documento pueden ser inducidas a diferenciarse en células del linaje celular β en condiciones apropiadas *in vitro* o *in vivo*. En consecuencia, las células derivadas de fluido amniótico seleccionadas y expandidas de acuerdo con la presente descripción, así como las células diferenciadas derivadas de las células derivadas del líquido amniótico, son útiles para tratar la diabetes de tipo 1 y 2.

Las células derivadas del líquido amniótico aisladas y expandidas como se describe aquí pueden ser inducidas a células productoras de hormonas intestinales bajo condiciones apropiadas *in vitro* o *in vivo*. En una realización, las células derivadas del líquido amniótico aisladas y expandidas como se describe aquí pueden ser inducidas a células productoras de hormonas intestinales bajo condiciones apropiadas *in vitro* o *in vivo* y pueden expresar insulina de una manera sensible a la glucosa.

BREVE DESCRIPCIÓN DE LOS DIBUJOS

La Figura 1 muestra las etapas de aislamiento y el cultivo usados para aislar las células derivadas del líquido amniótico de la presente invención.

La Figura 2 muestra tres morfologías distintas de células aisladas a partir de una muestra de fluido amniótico en el paso 0. a) morfología AF, b) morfología epitelial y c) morfología de fibroblasto.

La Figura 3 representa la expresión de marcadores de superficie celulares en las células AF-I derivadas de líquido amniótico. Los marcadores se indican en los paneles a-n.

La Figura 4 representa la expresión de marcadores de superficie celulares en las células F derivadas de fluido amniótico. Los marcadores se indican en los paneles a-1.

La Figura 5 representa la expresión de marcadores de superficie celulares en las células E derivadas de fluido amniótico. Los marcadores se indican en los paneles a-m.

La Figura 6 representa las imágenes de inmunofluorescencia de las células F derivadas de muestras de líquido amniótico. Las células F tiñeron positivo para a) vimentina, b) SSEA-4, y c) tubulina de beta III.

La Figura 7 representa las imágenes de inmunofluorescencia de las células E derivadas de muestras de líquido amniótico. Las células E teñidas positivo para a) vimentina y nestina, b) SSEA-4, c) la tubulina de beta III, d) la pan-citoqueratina, e) la actina de músculo liso y f) citoqueratina 19.

La Figura 8 representa imágenes de inmunofluorescencia de las células AF-I derivadas de muestras de líquido amniótico. Las células AF-I tiñeron positivo para a) vimentina y nestina, b) la tubulina de beta III, c) la citoqueratina 19 y HES-I, d) la pan-citoqueratina, e) el SSEA-4, f) SOX-17 y ZO-1, g) GATA-6, h) HNF-1 beta, i) actina de músculo liso y HES-2.

La Figura 9 muestra el perfil de expresión de células AF-I, AF-II, y AF-111 de la presente revelación.

La Figura 10 representa la curva de duplicación de la población de células AM de principios de paso.

La Figura 11 representa el potencial de expansión de células AF, F, o E derivado de diferentes donantes. • Muestra el número de células de las células del líquido amniótico derivadas con morfología AF-1 obtenida de líquido amniótico de un donante en 14-23 semanas de gestación. Las células fueron cultivadas en medios de comunicación número 5 (Tabla II). * muestra el número de células de las células derivadas de fluido amniótico con morfología AF-I obtenida de líquido amniótico de un segundo donante en 14-23 semanas de gestación. Las células fueron cultivadas en medios de comunicación número 5 (Tabla II). • muestra el número de células derivados de líquido amniótico con morfología F obtenida de líquido amniótico de un tercio de donantes en 14-23 semanas de gestación. Las células fueron cultivadas en medios de comunicación número 15 (Tabla II). *

Muestra el número de células derivadas de líquido amniótico con morfología F obtenida de líquido amniótico de un cuarto donante en 14-23 semanas de gestación. Las células fueron cultivadas en medios de comunicación número 16 (Tabla II). • Muestra el número de células derivadas de fluido amniótico con morfología E obtenida de líquido amniótico de un donante en 14-23 semanas de gestación. Las células se cultivaron en medios de comunicación número 5. + muestra el número de células de las células derivadas del líquido amniótico con morfología AF-II obtenida de líquido amniótico de un segundo donante en 14-23 semanas de gestación. Las células se cultivaron en medios de comunicación número 5 (Tabla II). * Muestra el número de células de células

derivadas de líquido amniótico con morfología AF-III obtenida a partir de líquido amniótico de un segundo donante en 14-23 semanas de gestación. Las células se cultivaron en número de medio 5 (Tabla II)

5 La Figura 12 representa la longitud de los telómeros de una línea celular de AF-1 cultivada ya sea en AMNIOMAX o DM-LG + 10% FBS a un nivel de conducto intermedio (aproximadamente 40 duplicaciones de población). El carril 1 es la escala de peso molecular, el carril 2 es el control de la longitud máxima de los telómeros, el carril 3 es el control de la longitud de telómeros bajos, el carril 4 es células derivadas de líquido amniótico de un donante en el paso 12, cultivadas en DMEM-LG + 10% de FBS, el carril 5 es células derivadas de fluido amniótico del mismo donante en el paso 12, cultivadas en medios # 5 y el carril 6 es una línea celular de carcinoma embrionario (células NTERA) que sirve como un control positivo.

10 La Figura 13 muestra el cariotipo de células a) AF-I, b) AF-II y c) AF-III cultivadas al paso 7-9 (aproximadamente 30-35 duplicaciones de la población).

15 La Figura 14 representa el potencial de expansión de una sola célula AF derivada de un donante en plazo (aproximadamente 38 semanas). Las células fueron cultivadas en medios de comunicación número 5 (Tabla II).

20 La Figura 15 representa los perfiles de expresión génica gráfica de dispersión entre los diferentes tipos de células de fluido amniótico. También se indica el coeficiente de correlación de Pearson para cada parcela.

25 La Figura 16 muestra los efectos de los factores de crecimiento sobre la expresión génica en las células derivadas de fluido amniótico. Se obtuvieron células derivadas de líquido amniótico de un único donante y se cultivaron durante 12 días en medio acondicionado que se obtienen a partir de cultivos de células PANC-I. El medio se suplementó con los factores de crecimiento indicados. Los niveles de expresión de HNF-3 beta y la somatostatina se determinaron mediante PCR en tiempo real. Los páncreas humanos RNA total se incluyó como un calibrador. El panel A muestra los cambios en la expresión de HNF-3 beta. El panel B muestra los cambios en la expresión de somatostatina.

30 La Figura 17 muestra los efectos de L685,458 en células derivadas de líquido amniótico cultivadas que tienen la morfología AF. El panel A muestra las diferencias relativas en la expresión de ARN de Hes-1 humano en células AF cultivadas tratadas con las concentraciones de L685,458 indicadas. El panel B muestra los efectos de L685,458 sobre la viabilidad de las células cultivadas siguiendo un tratamiento con L685,458. Las células se trataron durante tres días, a las concentraciones indicadas. Los cambios en la viabilidad, que corresponden a la citotoxicidad se detectaron usando un ensayo de MTS, en donde una disminución en la viabilidad celular corresponde a una disminución de la A490nm.

DESCRIPCIÓN DETALLADA

Para claridad de la descripción, y no a modo de limitación, la descripción detallada de la invención se divide en las siguientes subsecciones que describen o ilustran ciertas características, realizaciones o aplicaciones de, o relacionadas con, la presente invención.

40 Se describen en este documento métodos para el aislamiento de una población de células derivadas de fluido amniótico que es altamente proliferativa y muestra características similares a las embrionarias. Células similares también pueden estar presentes en la vellosoidad coriónica. Algunas realizaciones descritas en este documento se describen tres poblaciones morfológicamente distintas de células derivadas del líquido amniótico: células de "fibroblasto" (F), epiteliales (E) y células de "líquido amniótico" (AF).

Definiciones

50 "Linaje de células β " se refieren a las células con expresión génica positiva para el factor de transcripción PDX-1 y al menos uno de los siguientes factores de transcripción: NGN-3, Nkx2,2, Nkx6,1, NeuroD, Is1-1, HNF-3 beta, MAFA, Pax4 y Pax6. Características de las células del linaje de las células beta son bien conocidas para los expertos en la técnica y las características adicionales del linaje de células beta continúan identificándose. Estos factores de transcripción están bien establecidos en la técnica para la identificación de las células endocrinas (Nature Reviews Genetics, Vo13, 524-632, 2002).

60 "La estructura pancreática de islote" se refiere a una de grupos de células de tres dimensiones derivados de la práctica de los métodos de la descripción, que tienen la apariencia de un islote pancreático. Las células en una estructura pancreática de islote expresan al menos el gen PDX-1 y una hormona seleccionada de la lista de glucagón, somatostatina, o insulina.

65 El término "hipoxico" se refiere a los niveles de oxígeno de menos de 20%, preferiblemente menos de 10% y más preferiblemente menos de 5% pero más del 1%.

65 El término "normoxia" se refiere a niveles de oxígeno atmosférico de aproximadamente 20%.

- 5 El término "sustancialmente positivo", cuando se utiliza en relación con una población de células con respecto a la expresión de ciertos marcadores (tal como un receptor de membrana, la proteína citoplasmática o nuclear, o un factor de transcripción), significa que el marcador está presente o expresado en al menos aproximadamente de 50%, alternativamente al menos aproximadamente de 60%, y alternativamente al menos aproximadamente de 70%, de la población celular total.
- 10 El término "sustancialmente negativo", cuando se utiliza en relación con una población de células con respecto a la expresión de ciertos marcadores (tal como un receptor de membrana, la proteína citoplasmática o nuclear, o un factor de transcripción), significa que el marcador no está presente o se expresa en al menos aproximadamente de 70%, alternativamente de 80%, alternativamente aproximadamente de 90%, de la población celular total.
- 15 Una "célula madre" tal como se utiliza aquí se refiere a una célula indiferenciada que es capaz de extensa propagación in vivo o ex vivo y capaces de diferenciación de otros tipos celulares.
- 20 Una "célula progenitora" se refiere a una célula que se deriva de una célula madre por diferenciación y es capaz de diferenciación adicional a tipos de células más maduras. Las células progenitoras típicamente tienen capacidad de proliferación más restringida en comparación con las células madre.
- 25 La "Población expandible" se refiere a la capacidad de una población de células aisladas para ser propagada a través de al menos 50 o más divisiones de la célula en un sistema de cultivo celular.
- 30 Por "células indiferenciadas," cuando se usa en relación con las células aisladas de un fluido amniótico, se quiere decir una población de células derivadas del líquido amniótico que son sustancialmente negativas para la expresión de PDX- 1, o insulina.
- 35 Por "células diferenciadas," cuando se usa en relación con las células aisladas de líquido amniótico, se entiende una población de células derivadas del líquido amniótico que son sustancialmente positivas para la expresión de PDX- 1, o insulina.
- 40 "Marcadores", como se usa en este documento, son ácidos nucleicos o moléculas polipéptidas que se expresan diferencialmente en una célula de interés. En este contexto, la expresión diferencial significa un aumento del nivel del marcador para un marcador positivo y una disminución del nivel de un marcador negativo. El nivel detectable del ácido marcador nucleico o polipéptido es suficientemente más alto o más bajo en las células de interés, en comparación con otras células, de tal manera que la célula de interés puede identificarse y distinguirse de otras células, usando cualquiera de una variedad de métodos conocidos en el arte.
- 45 "c-Kit" y "CD 117" ambos se refieren a un receptor de quinasa de tirosina de la superficie celular que tiene una secuencia descrita en Nº de Acceso Genbank X06182, o una secuencia de variante de origen natural de los mismos (por ejemplo, variante alélica).
- 50 "CD9" también se refiere como "proteína-1 relacionada con la motilidad (MRP-1)" y es una glicoproteína de transmembrana que se ha implicado en la adhesión celular, la motilidad, proliferación y diferenciación.
- 55 "CD 10" también se conoce como "antígeno de leucemia aguda linfocítica común (CALLA)". CD10 es una enzima de la superficie celular con la actividad metaloendopeptidasa neutra y se expresa en linfoblastica, Burkitt y linfomas foliculares de centro germinal y en pacientes con leucemia de mielocítica crónica. También se expresa en la superficie de las primeras células normales linfoides progenitoras, las células B inmaduras en la médula ósea de adultos y de células B de centro germinal dentro del tejido linfoide. CD10 también está presente en células de mama mioepiteliales, canalículos biliares, fibroblastos, borde en cepillo de riñón y las células epiteliales intestinales.
- 60 "CD44" también se refiere como "antígeno Hermes" y es el principal receptor de la superficie celular para hialuronano. Este CD se expresa principalmente en la mayoría de tipos de células, con excepción de los tejidos / células tales como hepatocitos, algunas células epiteliales y en el músculo cardíaco.
- 65 "CD49P" también se conoce como "integrina a6" y "VLA-6" y se asocia con beta 1 de subunidad de integrina para unir laminina. CD49f se expresa principalmente en las células epiteliales, trofoblastos, plaquetas y monocitos.
- 70 "CD73" también se refiere como "nucleotidasa ecto-5'" y se expresa principalmente en un subconjunto de células B y T, las células estromales de médula ósea, varias células epiteliales, fibroblastos y células endoteliales.
- 75 "CD90" también se conoce como "Thy-1" y se expresa principalmente en células madre hematopoyéticas, células del tejido conectivo y varias células de fibroblasto y del estroma.
- 80 "SSEA-1" (Antígeno-1 Específico de Etapa Embrionaria) es un antígeno de superficie actual glicolípida en la superficie de las células murinas de madre teratocarcinoma (EC), murino y de células germinales de embriones

humanos (EG) y células madre embrionarias murinas (ES).

"SSEA-3" (Antígeno-3 Específico de Etapa Embrionaria) es un antígeno de superficie actual glicolípida en la superficie de las células madre humanas de teratocarcinoma (EC), las células embrionarias germinales humanas (EG) y las células madre embrionarias humanas (ES).

"SSEA-4" (Antígeno-4 Específico de Etapa Embrionaria) es un antígeno de superficie actual glicolípida en la superficie de las células madre humanas de teratocarcinoma (EC), las células germinales embrionarias humanas (EG) y las células madre embrionarias humanas (ES).

10 "TRA1-60" es un antígeno relacionado con sulfato de queratina que se expresa en la superficie de células madre humanas de teratocarcinoma (EC), células germinales embrionarias (EG) y células madre humanas embrionarias (ES).

15 "TRA1-81" es un antígeno relacionado con sulfato de queratina que se expresa en la superficie de células madre humana de teratocarcinoma (EC), células germinales embrionarias (EG) y células madre humanas embrionarias (ES).

20 "TRA2-49" es una isoenzima de la fosfatasa alcalina que se expresa en la superficie de células madre humanas de teratocarcinoma (EC) y las células madre humanas embrionarias (ES).

25 "Oct-4" es un miembro del factor de transcripción de dominio de POU y es ampliamente considerado como una característica de las células madre pluripotentes. La relación de Oct-4 a las células madre pluripotentes se indica por su expresión fuertemente restringido a células madre pluripotentes no diferenciadas. La diferenciación de los linajes somáticos, la expresión de Oct-4 desaparece rápidamente.

30 "EPCAM" "también se conoce como "la molécula de adhesión de célula epitelial" es ampliamente expresada en células de origen epitelial y células derivadas tumorales epiteliales.

35 "Rex-1" es un gen dedo de zinc ácido regulado por el desarrollo (Zfp-42). El nivel de mensaje Rex-I es alto en las células madre embrionarias y la reducción de la inducción de la diferenciación. Como era de esperar para un mensaje específico de células madre, mRNA de Rex-1 está presente en la masa celular interna (ICM) de blastocisto, trofoblasto polar del blastocisto y más tarde en el cono ectoplacental y ectodermo extraembrionario del cilindro de huevo (tejidos derivados de trofoblasto), pero su abundancia es muy reducida en el ectodermo embrionario, que desciende directamente desde el ICM.

40 "Alfa de HNF-1", "Beta HNF-1" y "Beta HNF-3" pertenecen a la familia de factor nuclear hepático de factores de transcripción, que se caracteriza por un dominio vinculado de ADN altamente conservado y dos dominios cortos de carboxi-terminal.

45 "GATA-4" y "GATA-6" son miembros de la familia de factores de transcripción GATA. Esta familia de factores de transcripción se induce por TGF β de señalización y de contribuir al mantenimiento de los marcadores de endodermo tempranos, Sox 17a y beta HNF-1 y el posterior marcador de beta HNF-3.

50 "SOX-17" es un factor de transcripción, que está implicado en la formación de endodermo durante la embriogénesis.

Por "medio de cultivo celular definido básico" se entiende un suero libre o que contiene suero, medio de crecimiento celular químicamente definido. Tal medio incluye, pero no se limita a, Dulbecco's Modified Eagle's Medium (DMEM), Minimum Essential Medium modificado alfa (MMEM alfa), Basal Medium Esencial (BME), CMRL-1066, RPMI 1640, medio M199, medio de nutrientes F10 de Ham, KNOCKOUTTM DMEM, DMEM avanzada, los medios de comunicación basados en MCDB como MCDB -151, -153, -201, -302 (Sigma, MO) y DMEM/F12. Estos y otros medios útiles están disponibles de GIBCO, Grand Island, Nueva York, EE.UU., por ejemplo. Varios de estos medios son revisados en *Methods in Enzymology*, volumen LVIII, "Cell Culture", pp. 62-72, editado por William B. Jakoby y Ira H. Pastan, publicado por Academic Press Inc.

55 "Hes-1", también conocido como "peludos / potenciador de la división 1" es un factor de transcripción que pueden influir en la determinación del destino celular.

60 "Musashi-1" es un miembro de una subfamilia de proteínas de ARN que es altamente conservado entre las especies. La expresión de Musashi-1 es altamente enriquecido en las células proliferativas dentro del sistema nervioso central en desarrollo y puede ser un marcador de células madre en células intestinales.

65 "Vehículo farmacéutico" se refiere a una matriz porosa o no porosa biodegradable o no degradable que puede actuar como un portador para el trasplante de células de mamífero.

El "Trasplante" como se usa en este documento, puede incluir las etapas de introducir una célula o una población de

células o tejidos en un mamífero tal como un paciente humano. El "trasplante" también puede incluir la incorporación de células o tejido en un vehículo farmacéutico y la implantación de la portadora en un mamífero tal como un paciente humano.

5 El aislamiento de las células derivadas del líquido amniótico

Las células derivadas de líquido amniótico se pueden aislar por un método de múltiples etapas, que esencialmente consiste en:

- 10 - Aislamiento de líquido amniótico,
- La centrifugación del fluido amniótico, seguido de la eliminación del sobrenadante,
- La resuspensión de sedimento de células en medio de crecimiento,
- Cultivo de las células y tejidos en un ambiente bajo en oxígeno,
- Dejar el cultivo en reposo durante aproximadamente 5 a 10 días sin ningún tipo de cambios en los medios,
- 15 - Aislamiento de distintas colonias utilizando anillos de clonación,
- El cultivo de las colonias aisladas en medio de crecimiento.
- Clonación por dilución en serie y la identificación de células individuales que dan lugar a la proliferación de colonias, y
- El cultivo de los clones en medio de crecimiento.

20 En una realización alternativa, las células derivadas del líquido amniótico están aisladas por una de varias etapas de método, que esencialmente consiste en:

- Aislamiento de líquido amniótico,
- 25 - La centrifugación del líquido amniótico, seguido de la eliminación del sobrenadante,
- La resuspensión de sedimento de células en medio de crecimiento,
- Cultivo del cultivo y tejidos en un entorno de normoxia,
- Dejar el cultivo en reposo durante aproximadamente 5 a 10 días sin ningún tipo de cambios en los medios,
- Aislamiento de distintas colonias utilizando anillos de clonación,
- 30 - Cultivo de las colonias aisladas en medio de crecimiento,
- Serial clonación por dilución y la identificación de células individuales que dan lugar a la proliferación de colonias, y
- El cultivo de los clones en medio de crecimiento.

35 Las placas de cultivo pueden ser pre-recubiertas con agentes tales como, por ejemplo, fibronectina, vitronectina, laminina, colágeno, gelatina, trombospondina, extractos de placenta, MATRIGEL™, tenascina, suero humano, o combinaciones de los mismos.

40 Si se desea, el líquido amniótico puede ser expuesto, por ejemplo, a un agente (tal como un anticuerpo) que reconoce específicamente un marcador proteico expresado por células del líquido amniótico, para identificar y seleccionar células derivadas de líquido amniótico, obteniendo de este modo una población sustancialmente pura de células derivadas de líquido amniótico.

45 Las células derivadas de líquido amniótico pueden ser cultivadas en medio completo AMNIOMAX™ (Invitrogen). Alternativamente, las células pueden cultivarse en medio Chang B / C (Irvine Scientific). Alternativamente, las células pueden ser cultivadas en DMEM bajo de glucosa, suplementado con insulina-transferrina-selenio-X (ITS-X, Invitrogen, CA), suero bovino fetal al 2% (FBS), 1% de penicilina / estreptomicina (P / S) + 25 ng / ml bFGF. Alternativamente, las células pueden cultivarse en medios de DMK.1NOCKOUT™ (Invitrogen, CA), suplementados con 20% de suero de reemplazo KNOCKOUT™ (Invitrogen, CA), 10 ng / ml bFGF. Alternativamente, las células pueden cultivarse en el medio E de Williams suplementado con 2% definido FBS, 2 mM de L-glutamina, ITS, 2-mercptoetanol 55 µM, EGF 10 ng/ml, 4 ng / ml bFGF y 4 ng / ml de dexametasona. Alternativamente, las células pueden cultivarse en 1:1 de DMEM-LG/MCDB 201, 2% de SFB, ITS-X, ßme 55 µm, 100 µm ácido ascórbico-2 fosfato, bFGF 4 ng / ml, EGF 10ng / mi y 4 ng / ml de dexametasona . Alternativamente, las células pueden ser cultivadas en DMEM bajo de glucosa, suplementado con 20% FBS. Alternativamente, la célula puede ser cultivada en DMEM bajo de glucosa, suplementado con 5% de FBS. Las células también pueden ser cultivadas en DMEM medio 201 bajo de glucosa / MCDB (1: 1), complementado con un FBS definido a 2 %, ITS-X, dexametasona 1nM, ácido ascórbico 2-fosfato 100 mM, EGF 10ng / mi, PDGF-BB 10ng / ml y 100 mM 2-mercptoetanol. Los medios pueden complementarse con bFGF, en concentraciones de aproximadamente 5 ng / ml a aproximadamente 100 ng / ml. Alternativamente, las células pueden ser cultivadas en 20% suero de reemplazo KNOCKOUT™ + 80% KNOCKOUT™ DMEM, suplementado con L-glutamina de 1 mM, aminoácidos no esenciales 1% y 2-mercptoetanol 0,1 mM. El medio puede condicionarse tal vez durante la noche, en los fibroblastos humanos o murinos embrionarios, células estromales derivadas de médula ósea humana, o células de la placenta humana derivada y suplementada con 4 ng / ml de bFGF. Alternativamente, las células pueden ser cultivadas en DMEM de alta glucosa, suplementada con FBS definido a 20% con 2-mercptoetanol 0,1 mM. La Tabla II se enumera las diversas formulaciones de medios de comunicación empleados para el cultivo de las células derivadas del líquido amniótico de la presente invención.

Durante el cultivo en medio de crecimiento, las células pueden ser cultivadas bajo condiciones hipóxicas o normoxicas. Bajo condiciones de hipoxia, los niveles de oxígeno son menores que 20%, alternativamente menor que 10%, alternativamente inferior a 5%, pero más de 1%.

- 5 Preferiblemente, el cultivo debe mantenerse en el medio de crecimiento en reposo durante aproximadamente 5 a 14 días sin ningún cambio de medios, momento en el que las células se han convertido típicamente en adherentes al sustrato de cultivo utilizado. Momento en el cual, las células pueden ser subcultivadas.
- 10 El subcultivo se puede lograr con cualquiera de las soluciones enzimáticas bien conocidas por los expertos en la técnica. Un ejemplo de una solución enzimática adecuada para uso en la presente invención es TrypLE Express™ (Invitrogen, Ca).

Además, las células derivadas del líquido amniótico pueden expandirse mediante el cultivo en un agente que contiene medios de crecimiento definidos que estimulan la proliferación de las células de la presente invención. 15 Estos factores pueden incluir, por ejemplo, nicotinamida, miembros de la familia TGF- β , incluyendo TGF- β 1, 2, y 3, proteínas morfogenéticas óseas (BMP-2, -4, 6, -7, -11, -12, y -13), albúmina de suero, familia de factor de crecimiento de fibroblastos, factor de crecimiento derivado de plaquetas-AA y -BB, plasma rico en plaquetas, factor de crecimiento de insulina (IGF-I, II) factor de diferenciación de crecimiento (GDF-5, -6, -8 , -10, 11), péptido similar a glucagón-I y II (GLP-I y II), GLP-1 y GLP-2 mimetobody, la exendina-4, ácido retinoico, hormona de paratiroides, 20 insulina, progesterona, testosterona, estrógeno, aprotinina, hidrocortisona, etanolamina, beta mercaptoetanol, factor de crecimiento epidérmico (EGF), gastrina I y II, los quelantes de cobre tales como trietileno de pentamina, foscolínea de TGF-a, Na-butirato, activina, betacelulina, noggin, factor de crecimiento neuronal, nodal, la insulina / transferencia / selenio (ITS), factor de crecimiento de hepatocitos (HGF), factor de crecimiento de queratinocitos (KGF), extracto de pituitaria bovina, la proteína de los islotes asociados a neogénesis (INGAP), inhibidores del proteasoma, inhibidores de la vía de grado, inhibidores de sonic hedgehog, inhibidores beta de GSK-3 o combinaciones de los mismos. Alternativamente, las células derivadas del líquido amniótico pueden expandirse en cultivo en medios acondicionados. Por "medios acondicionados" se entiende que una población de células se cultiva en un medio básico de cultivo celular definido y contribuye factores solubles al medio. En un uso de este tipo, las células se retiran del medio, mientras que los factores solubles que las células producen permanecen. Este medio se 30 utiliza para alimentar una población diferente de células.

En ciertas realizaciones, las células derivadas del líquido amniótico se cultivan en placas de cultivo de tejidos estándar. Alternativamente, las placas de cultivo pueden recubrirse con proteínas de la matriz extracelular, tales como, por ejemplo, MATRIGEL®, factor de crecimiento reducido MATRIGEL®, laminina, colágeno, gelatina, tenascina, fibronectina, vitronectina, trombospondina, extractos de placenta, de suero humano, o combinaciones de los anteriores.

Caracterización de las células derivadas del líquido amniótico aisladas

40 Los métodos para evaluar la expresión de la proteína y de los marcadores de ácido nucleico en cultivo o células aisladas son estándar en la técnica. Estos incluyen la cadena de reacción de polimerasa transcriptasa inversa cuantitativa (RT-PCR), transferencias Northern, hibridación in situ (véase, por ejemplo, Current Protocols in Molecular Biology (Ausubel et al., Eds. Suplemento de 2001)), y los inmunoensayos, tales como el análisis inmunohistoquímico de material seccionado, transferencia Western y para los marcadores que son accesibles en 45 células intactas, citometría de flujo análisis (FACS) (véase, por ejemplo, Harlow y Lane, Using Antibodies: A Laboratory Manual, Nueva York: Cold Spring Harbor Laboratory Press (1998)).

Los ejemplos de anticuerpos útiles para la detección de ciertos marcadores de proteínas se enumeran en la Tabla III. Debe tenerse en cuenta que otros anticuerpos dirigidos a los mismos marcadores que se reconocen por los 50 anticuerpos listados en la Tabla III están disponibles, o se pueden desarrollar fácilmente. Dichos otros anticuerpos también se pueden emplear para la evaluación de la expresión de marcadores en las células aisladas de acuerdo con la presente invención.

55 Las características de las células del linaje de células β son bien conocidas para expertos en la técnica y características adicionales del linaje de células β continúan identificándose. Estas características se pueden usar para confirmar que las células del líquido amniótico derivadas de aislados de acuerdo con la presente invención se han diferenciado para adquirir las propiedades características del linaje de células β . Características específicas de linaje de células β incluyen la expresión de uno o más factores de transcripción tales como, por ejemplo, PDX-1 (gen 1 de homeobox pancreático y duodenal), NGN-3 (neurogenina-3), Hlx9, Nkx6, Isl1, Pax6 , NeuroD, Hnfla, Hnf6, 60 Hnf3 Beta, y Mafa, entre otros. Estos factores de transcripción están bien establecidos en la técnica para la identificación de células endocrinas. Véase, por ejemplo, Edlund (Nature Reviews Genetics 3: 524-632 (2002)).

65 Características de las células del linaje de células intestinales son bien conocidas por los expertos en la técnica, y características adicionales de este linaje continúan identificándose. Estas características se pueden usar para confirmar que las células derivadas del líquido amniótico diferenciadas o no diferenciadas aisladas de acuerdo con la presente invención tienen algunas de las propiedades características del linaje celular intestinal. características del

linaje de células intestinales incluyen la expresión de uno o más factores de transcripción tales como, por ejemplo, HES-1 (hairy / potenciador de split-I), NGN-3, Pax6, NeuroD), Math-1, y Musashi-1, entre otros. Además, las células intestinales expresan hormonas como secretina, colecistoquinina, GLP-1, neurotensina, péptido inhibidor gástrico (GIP), serotonina, somatostatina y gastrina, entre otros. Estos factores de transcripción y las hormonas intestinales son bien establecidos en la técnica para la identificación de las células intestinales. Véase, por ejemplo, Schonhoff (Endocrinología 145: 2639-2644 (2004)).

Los presentes inventores han identificado y aislado una población de células derivadas de líquido amniótico que es altamente proliferativa y muestra características similares a las células embrionarias, y pueden expresar al menos uno de los siguientes marcadores: HNF-1 beta, HNF-3 beta, SOX -17, o GATA 6. En particular, las células derivadas del líquido amniótico aisladas como se describe en la presente memoria se caracterizan como, inter alia, careciendo sustancialmente al menos uno de los siguientes marcadores de proteínas: CD117, Oct-4 o Tra2-54. Las poblaciones de células derivadas del líquido amniótico con estas características se denominan aquí AF-I (número de acceso ATCC PTA-6975).

Bajo las condiciones de crecimiento superiores para la expansión, las células del líquido amniótico aisladas como se describe aquí se pueden expandir por más de 50 duplicaciones de la población, mientras se mantiene el potencial de expresar al menos uno de los siguientes marcadores: HNF-1 beta, HNF-3 beta, SOX-17, o GATA-6.

Los presentes inventores también han identificado y aislado poblaciones de células derivadas de fluido amniótico que son altamente proliferativas, muestra características similares a las células embrionarias, y no expresan al menos uno de los siguientes marcadores: HNF-3 beta, SOX-17, GATA-4, CD 117, Oct-4 o Tra2-54. En particular, las células derivadas del líquido amniótico aisladas de acuerdo con la presente descripción se caracterizan como, inter alia, careciendo sustancialmente de al menos uno de los siguientes marcadores de proteínas: CD117, Oct-4 o Tra2-54. Las poblaciones de células derivadas del líquido amniótico con estas características se hace referencia a la presente memoria como AF-II.

Los presentes inventores también han identificado y aislado poblaciones de células derivadas de fluido amniótico que son altamente proliferativas, muestra características similares a las células embrionarias, y no expresan cualquiera de los siguientes marcadores: HNF-3beta, SOX-17, GATA-4, CD117, Oct-4 o Tra2-54. En particular, las células derivadas del líquido amniótico aisladas de acuerdo con la presente descripción se caracterizan como, inter alia inter, careciendo sustancialmente de al menos uno de los siguientes marcadores de proteínas: CD117, Oct-4 o Tra2-54. Las poblaciones de células derivadas de fluido amniótico con estas características se denominan aquí como AF-II.

Los presentes inventores también han identificado y aislado poblaciones de células derivadas de fluido amniótico que son altamente proliferativas, muestran características similares a las células embrionarias, y no expresan citoqueratina y al menos uno de los siguientes marcadores: HNF-3 beta, SOX-17, GATA-4 , CD117, Oct-4 o Tra2-54. En particular, las células derivadas del líquido amniótico aisladas de acuerdo con la presente descripción se caracterizan como, inter alia, careciendo sustancialmente al menos uno de los siguientes marcadores de proteínas: CD117, Oct-4 o Tra2-54. A las poblaciones de células derivadas del líquido amniótico de estas características se refiere en el presente documento AF-III.

Los presentes inventores también han identificado y aislado poblaciones de células derivadas de fluido amniótico que son altamente proliferativas, muestran características similares a las células embrionarias, y no expresan cualquiera de los siguientes marcadores: citoqueratina, HNF-3beta, SOX-17, GATA4, CD117, Oct-4 o Tra2-54. En particular, las células derivadas del líquido amniótico aisladas de acuerdo con la presente descripción se caracterizan como, inter alia, careciendo sustancialmente de al menos uno de los siguientes marcadores de proteínas: CD117, Oct-4 o Tra2-54. A las poblaciones de células derivadas de líquido amniótico de estas características se refiere en el presente documento AF-III.

Un resumen del perfil de expresión de células AF-I, AF-II y AF-III se muestra en la Figura 9.

Las células derivadas de líquido amniótico de la presente invención se pueden ampliar por más de 50 duplicaciones de la población, mientras se mantiene el potencial de diferenciarse en endodermo definitivo, o de las células con características de un linaje de células β pancreático o la capacidad de diferenciarse en una célula que produce hormona intestinal.

La diferenciación de las células derivadas del líquido amniótico

En un aspecto, la presente descripción proporciona composiciones capaces de diferenciar las células derivadas del líquido amniótico expandidas de esta invención en las células que llevan marcadores característicos de las células de linaje β .

En otro aspecto, la presente descripción proporciona composiciones capaces de diferenciar las células derivadas del líquido amniótico expandidas de esta invención en las células que llevan marcadores característicos de endodermo

definitivo.

En otro aspecto, la presente descripción proporciona composiciones capaces de diferenciar las células derivadas del líquido amniótico expandidas de esta invención en las células que llevan marcadores característicos de una célula productora de hormonas intestinales.

Un medio de cultivo definido de base, cuando se suministran con uno o más componentes, que apoyan el crecimiento de células derivadas del líquido amniótico, suplementadas con cantidades de inducción de diferenciación de uno o más factores de crecimiento, se conoce como un "medio de inducción." De acuerdo con la presente invención, el medio de inducción contiene menos o igual a 20% de suero. En una realización, suero de ternera fetal puede utilizarse. Alternativamente, el suero fetal bovino puede sustituirse por el suero de cualquier mamífero, o por la albúmina, albúmina bovina u otros compuestos que permiten o mejoran la diferenciación de las células derivadas del líquido amniótico al linaje celular β . Alternativamente, el medio de inducción puede ser un medio condicionado.

Factores apropiados para uso en el medio de inducción puede incluir, por ejemplo, nicotinamida, miembros de la familia TGF- β , inclusive TGF- β 1, 2 y 3, proteínas morfogénicas óseas (BMP-2, -4, 6, -7, -11, -12, y -13), albúmina de suero, factor de crecimiento de fibroblastos de la familia, el factor de crecimiento derivado de plaquetas -AA y -BB, plasma rico en plaquetas, factor de crecimiento de insulina (IGF-I, II) factor de diferenciación de crecimiento (GDF- 5, -6, -8, -10, 11), péptido similar a glucagón-I y II (GLP-I y II), GLP-I y GLP-2 mimetobody, la exendina-4, ácido retinoico, hormona paratiroides, insulina, progesterona, aprotinina, hidrocortisona, etanolamina, beta mercaptoetanol, factor de crecimiento epidérmico (FUE), gastrina I y II, quelantes del cobre, tales como pentamina de trietileno, TGF-a, forskolina, Na-butirato, activina, betacelulina, ITS, noggin, el crecimiento factores, de neurito, nodal, ácido de valpróico, tricostatina A, butirato de sodio, factor de crecimiento de hepatocitos (HGF), esfingosina-1, proteínas Wnt tales como Wnt-1, -3, -3a, 07a, y -8, factor de crecimiento de queratinocitos (KGF), familia de proteínas Dickkopf, extracto de pituitaria bovina, islote de proteína asociada a neogenesis (INGAP), Indian hedgehog, sonic hedgehog, inhibidores del proteasoma, inhibidores de la vía de grado, inhibidores de sonic hedgehog, o combinaciones de los mismos.

En un aspecto de la presente descripción, una combinación de factores de crecimiento y agentes químicos, incluyendo bFGF, Activina-A, FGF5, N2 y suplementos B27 (Gibco, CA), alcaloide esteroide como, por ejemplo, ciclopamina (EMD, CA) que inhibe la señalización de sonic hedgehog, y un inhibidor del proteasoma tal como, por ejemplo MG132 (EMD, CA), se suministra a un medio básico definido para apoyar la diferenciación de células derivadas del líquido amniótico en un linaje de células β . En un aspecto, las células se cultivan en un medio de inducción compuesto por DMEM (baja glucosa, 5,5 mM) que contiene 10 micromolar MG-132 durante 1-2 días, seguido de incubación adicional durante 3-7 días en un medio de inducción suplementado con IX B27 (Gibco, CA) y IX N2 (Gibco, CA) y se complementan además con ciclopamina (10 μ M; EMD, CA), bFGF (20 ng / ml; R&D Systems, MN), Activina A (20 nM; R&D Systems, MN) o FGF5 (20 ng / ml; Systems I + D, MN) para cinco días adicionales.

En otro aspecto de la descripción, las células de la presente invención pueden ser tratadas con medio acondicionado a partir de cultivos aislados de rudimentos intestinales o pancreáticos fetales primarios para inducir una mayor diferenciación en los linajes intestinales o pancreáticos, respectivamente. Las células también se pueden inducir para diferenciar con medio condicionado de las líneas de células pancreáticas, tales como PANC-1, CAPAN-1, BxPC-3, HPAF-II, las líneas celulares hepáticas tales como HepG2, y líneas de células intestinales, tales como, por ejemplo, FHs 74 y HS738. Alternativamente, las células de la presente invención pueden ser tratadas con medios acondicionados aislados a partir de células madre embrionarias humanas o de ratón para diferenciarse en un linaje endodérmico. Estas líneas celulares se pueden adquirir de la ATCC (VA).

La combinación y las concentraciones de factores de crecimiento, la longitud de la cultura, y otras condiciones de cultivo pueden ser optimizadas por los expertos en la técnica para conseguir la diferenciación efectiva de, por ejemplo, el seguimiento del porcentaje de células que se han diferenciado en células característicos del linaje de célula β . El uno o más factores de crecimiento se pueden añadir en una cantidad suficiente para inducir la diferenciación de las células derivadas del líquido amniótico de la presente invención en las células que llevan los marcadores de un linaje de células β en un período de tiempo de aproximadamente una a cuatro semanas.

Uso terapéutico de las células de la presente invención.

En un aspecto, la presente descripción incluye un método para tratar un paciente que sufre de, o está en riesgo de desarrollar diabetes de tipo 1. Este método consiste en aislar y cultivar células derivadas de líquido amniótico, la expansión de la población aislada de células, la diferenciación de las células cultivadas in vitro en un linaje de células β , y la implantación de las células diferenciadas ya sea directamente o en un vehículo farmacéutico en el paciente. Si es apropiado, el paciente puede ser tratado adicionalmente con agentes farmacéuticos o bioactivos que facilitan la supervivencia y la función de las células trasplantadas. Estos agentes pueden incluir, por ejemplo, la insulina, los miembros de la familia TGF- β , incluyendo proteínas morfogénicas óseas TGF- β 1, 2, y 3, (BMP-2, -3, -4, -5, -6, -7 , -11, -12, y -13), factores de crecimiento de fibroblastos -1 y -2, factor de crecimiento derivado de plaquetas AA y -BB, plasma rico en plaquetas, factor de crecimiento de insulina (IGF-I, II) factor de diferenciación de

crecimiento (GDF-5, -6, -8, -10, -15), factor de crecimiento vascular endotelial derivado de células (VEGF), pleiotrofina, endotelina, entre otros. Otros compuestos farmacéuticos pueden incluir, por ejemplo, nicotinamida, glucagón como péptido-I (GLP-1) y II, el GLP-1 y 2 mimctibody, Exendina-4, ácido retinéico, hormona paratiroidea, inhibidores de MAPK, tales como, por ejemplo, compuestos descritos en los documentos US 2004/0209901 y la solicitud publicada solicitud EE.UU 2004/0132729.

En aún otro aspecto, la presente descripción incluye un método para tratar un paciente que sufre de, o está a riesgo de desarrollar diabetes de tipo 2. El método implica aislar y cultivar células derivadas de líquido amniótico de acuerdo con la presente invención, la expansión de la población aislada de células, la diferenciación de las células cultivadas in vitro en un linaje de células β y la implantación de las células diferenciadas ya sea directamente o en un vehículo farmacéutico en dicho paciente.

Las células derivadas del líquido amniótico de la presente invención pueden ser criopreservadas utilizando medios comercialmente disponibles que contiene DMSO (Dimetilsulfóxido) o glicerol. Las células en bancos y congeladas pueden almacenarse en la fase de vapor de un tanque de almacenamiento de nitrógeno líquido hasta que se necesite.

Las células derivadas del líquido amniótico de la presente invención puede ser trasplantadas con islotes maduros de la misma o diferentes especies de animales para mejorar la supervivencia de las células derivadas del líquido amniótico o para inducir una mayor diferenciación de las células derivadas del líquido amniótico en un linaje de células β de páncreas. La fuente de líquido amniótico de la cual se aíslan las células pueden ser autólogas en relación con el paciente que se somete el tratamiento terapéutico. Alternativamente, la fuente puede ser alogénica o xenogénica. Las células que se administran a un paciente también se pueden modificar genéticamente para aumentar la proliferación y / o diferenciación o prevenir o disminuir el riesgo de rechazo inmunológico.

Alternativamente, las células derivadas del líquido amniótico obtenidas de acuerdo con la presente invención se pueden utilizar para modular la respuesta inmune del receptor, antes del trasplante de células diferenciadas preparadas de acuerdo con la presente invención. Véase, por ejemplo, la Patente de EE.UU. 6.328.960, la patente de EE.UU. 6.281.012. Las células derivadas del líquido amniótico de la presente invención se pueden diferenciar en una célula productora de insulina de antes del trasplante en un receptor. Las células derivadas de líquido amniótico de la presente invención puede ser completamente diferenciadas en células β , antes del trasplante en un receptor. Alternativamente, las células derivadas del líquido amniótico de la presente invención se pueden trasplantar a un receptor en un estado no diferenciado o parcialmente diferenciado. La diferenciación adicional puede tener lugar en el receptor. Las células derivadas del líquido amniótico de la presente invención pueden ser modificadas genéticamente. Por ejemplo, las células pueden modificarse por ingeniería genética a más marcadores expresos

35 características de una célula de un linaje de células β , tales como, por ejemplo, PDX-1 o insulina. Las células pueden modificarse por ingeniería genética para expresar exageradamente con cualquier gen adecuado de interés. Además, las células pueden modificarse por ingeniería genética a más marcadores expresas características de una célula intestinal, tales como MATH-1. Alternativamente, las células de la presente invención se pueden diferenciar en una población celular que expresa GIP y modificada adicionalmente con un gen de insulina bajo control del promotor 40 de GIP para convertirse en la población de células de respuesta a glucosa y productoras de insulina.

Las técnicas útiles para modificar genéticamente las células derivadas del líquido amniótico de la presente invención se pueden encontrar, por ejemplo, en libros de texto y comentarios en biología celular estándar. Métodos de genética molecular e ingeniería genética se describen, por ejemplo, en Molecular Cloning: A Laboratory Manual, segunda Ed. (Sambrook et al, 1989); Síntesis de oligonucleótidos (M. J. Gait, ed., 1984); Animal Cell Culture (R. I. Freshney, ed., 1987); las series de Methods in Enzymology (Academic Press, Inc.); Los vectores de transferencia génica para células de mamíferos (I. M. Miller & M. P. Calos, eds., 1987.); Current Protocols in Molecular Biology and Short Protocols in Molecular Biology, 3^a Edición (F. M. Ausubel et al., eds., 1987 y 1995); y Recombinant DNA Metodology II (R. Wu, ed., Academic Press 1995).

50 La molécula de ácido nucleico, que codifica el gen de interés puede ser integrado de forma estable en el genoma de la célula derivada de fluido amniótico de huésped, o de la molécula de ácido nucleico puede estar presente como una molécula extracromosómica, tal como un vector o plásmido. Dicha molécula extracromosómica puede ser auto-replicante. El término "transfección", como se usa aquí, se refiere a un proceso para introducir ácido nucleico heterólogo en la célula derivada de fluido amniótico de huesped.

Las células no diferenciadas, o de lo contrario, se pueden utilizar como células dispersas o formadas en grupos que se pueden infundir en la vena porta hepática. Alternativamente, las células pueden proporcionarse en soportes poliméricos degradables biocompatibles, dispositivos no degradables porosas o encapsulados para proteger frente a la respuesta inmune del huésped. Las células pueden ser implantadas en un sitio apropiado en un recipiente. Los sitios de implantación incluyen, por ejemplo, el hígado, el páncreas natural, espacio subcapsular renal, omento, peritoneo, espacio subseroso, intestino, estómago, o en un bolsillo subcutáneo.

60 Para mejorar aún más la diferenciación, la supervivencia o la actividad de las células implantadas, los factores adicionales, tales como factores de crecimiento, antioxidantes o agentes anti-inflamatorios, se pueden administrar antes de, simultáneamente con, o después de la administración de las células. En ciertas realizaciones, los factores

de crecimiento se utilizan para diferenciar las células administradas in vivo. Estos factores pueden ser secretadas por células endógenas y se expusieron a las células derivadas del líquido amniótico administrado in situ. Células derivadas de líquido amniótico pueden ser implantadas e inducidas a diferenciarse mediante una combinación de factores de crecimiento endógenos y administrados exógenamente conocidos en la técnica.

- 5 La cantidad de células usadas en la implantación depende de una serie de factores que incluyen la condición del paciente y la respuesta a la terapia, y puede ser determinada por un experto en la técnica.
- 10 En un aspecto, la presente descripción incluye un método para tratar un paciente que sufre de, o está a riesgo de desarrollar diabetes. El método incluye el aislamiento y el cultivo de células derivadas de líquido amniótico de acuerdo con la presente invención, la expansión de la población aislada de células, la diferenciación in vitro de las células del líquido derivado amniótico cultivado en un linaje de células β y la incorporación de las células en un soporte de tres dimensiones. Las células se pueden mantener in vitro sobre este soporte antes de la implantación en el paciente. Alternativamente, el soporte que contiene las células puede ser implantado directamente en el paciente sin cultivo adicional in vitro. El soporte opcionalmente se puede incorporar con al menos un agente farmacéutico que facilita la supervivencia y la función de las células trasplantadas.

20 Materiales de soporte adecuados incluyen tejidos, plantillas, conductos, barreras y los depósitos útiles para la reparación de tejidos. En materiales particulares, sintéticos y naturales en forma de espumas, esponjas, geles, hidrogeles, tejidos y estructuras no tejidas, que se han usado in vitro e in vivo para reconstruir o regenerar tejido biológico, así como para suministrar agentes quimiotácticos para inducir el crecimiento del tejido, son adecuados para uso en la práctica de los métodos de la presente invención. Véanse, por ejemplo, los materiales descritos en la patente de EE.UU. 5.770.417, Patente de Estados Unidos 6.022.743, Patente de Estados Unidos 5.567.612, Patente de Estados Unidos 5.759.830, Patente de Estados Unidos 6.626.950, Patente de Estados Unidos 6.534.084, Patente de Estados Unidos 6.306.424, Patente de Estados Unidos 6.365.149, Patente de Estados Unidos 6.599.323, Patente de Estados Unidos 6.656.488, y Patente de Estados Unidos 6.333.029. Ejemplos de polímeros adecuados para uso en la presente invención se describen en la solicitud publicada EE.UU. 2004/0062753 A1 y la patente de EE.UU. 4.557.264. Para formar un soporte incorporado con un agente farmacéutico, el agente farmacéutico puede ser mezclado con la solución de polímero antes de formar el soporte. Alternativamente, un agente farmacéutico puede ser revestido sobre un soporte fabricado, preferiblemente en la presencia de un vehículo farmacéutico. El agente farmacéutico puede estar presente como un líquido, un sólido finamente dividido, o cualquier otra forma física apropiada. Alternativamente, los excipientes se pueden añadir al soporte para alterar la velocidad de liberación del agente farmacéutico. En una realización alternativa, el soporte se incorpora con al menos un compuesto farmacéutico que es un compuesto anti-inflamatorio, tal como, por ejemplo, los compuestos descritos en la patente EE.UU. 6.509.369.

35 El soporte puede ser incorporado con al menos un compuesto farmacéutico que es un compuesto anti-apoptótico, tales como, por ejemplo, los compuestos descritos en la patente EE.UU. 6.793.945.

40 El apoyo puede incorporados con al menos un compuesto farmacéutico que es un inhibidor de la fibrosis, tal como, por ejemplo, compuestos descritos en la Patente de EE.UU. 6.331.298.

45 En una realización adicional, el soporte se incorpora con al menos un compuesto farmacéutico que es capaz de mejorar el angiogenesis, tal como, por ejemplo, compuestos descritos en la solicitud publicada de EE.UU. 2004/0220393 y la Solicitud Publicada de EE.UU. 2004/0209901.

El apoyo puede incorporarse con al menos un compuesto farmacéutico que es un compuesto inmunosupresor, tal como, por ejemplo, compuestos descritos en la solicitud publicada de EE.UU. 2004/0171623.

50 El apoyo puede incorporarse con al menos un compuesto farmacéutico que es un factor de crecimiento, tal como, por ejemplo, miembros de la familia TGF- β , incluyendo TGF- β 1, 2, y 3, las proteínas morfogénicas óseas (BMP-2, -3, -4, -5, -6, -7, -11, -12 y -13), factores crecimiento de fibroblasto-1 y -2, derivado de plaquetas de factor de crecimiento AA y BB, plasma rico en plaquetas, factor de crecimiento de insulina (IGF-I, II) de diferenciación de factor de crecimiento (GDF-5, -6, -8, -10, -15), factor de crecimiento vascular endotelial derivado de células (VEGF), pleiotrofina, endotelina, entre otros. Otros compuestos farmacéuticos pueden incluir, por ejemplo, nicotinamida, factor inducible por hipoxia 1-alfa, péptido similar a glucagón-I (GLP-1), GLP-1 y GLP-2 mimctibody, y II, Exendina-4, nodal, noggin, NGF, ácido retinóico, hormona paratiroides, tenascina-C, tropoelastina, los péptidos derivados de trombina, catelicidinas, defensinas, laminina, péptidos biológicos que contienen dominios por células y de unión a heparina de proteínas adhesivas de la matriz extracelular tales como fibronectina y vitroneetina, inhibidores de MAPK, tales como, por ejemplo, los compuestos descritos en US 2004/0209901 y la solicitud publicada de EE.UU. 2004/0132729.

65 La incorporación de las células de la presente invención en un andamio se puede lograr mediante el simple depósito de células sobre el andamio. Las células pueden entrar en el andamio por simple difusión (J. Pediatr. Surg 23 (1 Pt 2): 3-9 (1988)). Varios otros métodos han sido desarrollados para mejorar la eficiencia de la siembra de células. Por ejemplo, matraces de agitación se han utilizado en la siembra de condrocitos en los andamios de ácido poliglicólico

(Biotechnol Prog 14 (2): 193-202 (1998)). Otro enfoque para la siembra de las células es el uso de centrifugación, que produce la tensión mínima para las células sembradas y mejora la eficiencia de la siembra. Por ejemplo, Yang et al desarrolló un método de siembra celular (J. Biomed. Mater. Res. 55(3): 379-86 (2001)), conocido como Inmovilización Centrifugada de Células (CCI).

5 La presente invención se ilustra adicionalmente mediante los siguientes ejemplos, sin encontrarse limitada por los mismos.

Ejemplo 1

10 El establecimiento de líneas celulares derivadas de fluido amniótico humano

Líquido amniótico utilizado para aislar las células de la presente invención fue tomado a partir de muestras tomadas de amniocentesis de rutina realizada en 16 a 22 semanas de gestación para la determinación del cariotipo fetal. El 15 método de múltiples etapas usado para aislar las células derivadas del líquido amniótico se describe en la Figura 1. El líquido amniótico se centrifugó durante 7 minutos a 400 x g y el sobrenadante eliminado. El sedimento celular resultante se resuspendió en el medio de crecimiento indicado en la Tabla III para las muestras de líquido amniótico utilizadas en la presente invención. Las células se cultivaron bien en el colágeno de tipo IV (1mg / 100 mm placa), o en el colágeno de tipo I (1 microgramo / cm²), la vitronectina (10 microgramos / ml) o placas recubiertas de 20 fibronectina (10 microgramos / ml). El rendimiento celular de muestras de líquido amniótico tenía una gran variación (8000300000 células / muestra) y algunas muestras también contenían un número significativo de contaminación de células sanguíneas. Los cultivos se dejaron en reposo durante al menos 5-10 días bajo condiciones hipoxicas (3% O₂). En paralelo, se establecieron cultivos en condiciones similares en condiciones de normoxia. A continuación, los 25 cultivos se alimentaron con los mismos medios de cultivo y se cultivaron hasta que los cultivos alcanzaron el 70-80% de confluencia. Las células en esta etapa fueron referidas como "P0". En algunos cultivos, las colonias de células fueron aisladas por un anillo de clonación y subcultivadas en una placa de cultivo diferente. distintas colonias estaban presentes con morfologías características de fibroblastos (F), el líquido amniótico (AF), y las células epiteliales (E) (Figura 2). Las células se liberan de la cultura P0 mediante el uso de TrypLE Express™ (Invitrogen) y se sembraron en fibronectina, vitronectina, platos / placas recubiertos de colágeno de tipo IV a diferentes densidades 30 (50-10.000 células / cm²). Algunas de las células P0 se utilizaron para la clonación de dilución en serie. El tiempo de duplicación de la población de las células de más rápido crecimiento fue de aproximadamente 24 horas a principios de los pasajes. Se analizaron las células expandidas cultivadas en diversas condiciones de medios (Tabla II) para los marcadores de superficie celular (Tabla III). Las células se dividieron típicamente a 70% de confluencia y se 35 volvieron a sembrar en 100-10.000 células / cm². RNA se recogió en diversas etapas de crecimiento de las células y se analizó para los marcadores de capa embrionarios y germinales (Tabla V).

Las células del líquido amniótico de la presente invención estuvieron presentes en diferentes edades gestacionales. La Tabla VI muestra la presencia o ausencia de morfologías AF, E y F en muestras de líquido amniótico obtenidas a las 17 semanas a 41 semanas de gestación.

40 También se obtuvieron células de líquido amniótico de la presente invención a partir del líquido amniótico obtenido a término (aproximadamente 40 semanas de gestación). Muestras de líquido amniótico se obtuvieron de 38-40 entregas semanales y se cultivaron de acuerdo con los protocolos descritos anteriormente. Las poblaciones de 45 células adherentes resultantes muestran características muy similares a las células aisladas a partir de 16-22 semanas de gestación.

Ejemplo 2

50 La expansión clonal de las células de la presente invención

Usando los métodos descritos en el Ejemplo 1, las células con morfologías AF se recogieron a partir de cultivos P0 utilizando anillos de clonación. Se identificaron tres poblaciones distintas de células que presentan diferente expresión de receptores de superficie, proteínas del citoesqueleto, y factores de transcripción. En aras de la claridad, estas poblaciones se conocen como células AF-I, AF-II y AF-III. Ejemplos posteriores ponen de relieve las 55 diferencias entre poblaciones AF-I, II, y III.

Ejemplo 3

60 Clasificación de células activadas por fluorescencia de (FACS)

Células adheridas se eliminaron de las placas de cultivo mediante incubación de cinco minutos con la solución expresa TRYPLE™ (Gibco, CA). células liberadas se resuspendieron en DMEM suplementado con 10% FBS y se recuperó por centrifugación, seguido de lavado y resuspensión de las células en un tampón de tinción que consiste en 2% de BSA, 0,05% de azida de sodio (Sigma, MO) en PBS. Si es apropiado, las células se bloquearon con receptor Fc, utilizando una solución de 0,1% y-globulina (Sigma) durante 15 mm. Las alícuotas (aproximadamente 65 10⁵ células) se incubaron con anticuerpos monoclonales conjugados de ficoeritirina (PE) o aloficocianina (APC)

(anticuerpo 5 μ l por células 10^6), como se indica en la Tabla III-A, o con un anticuerpo primario sin conjugar. Los controles incluyeron anticuerpos de isotipo coincidentes apropiados, las células no teñidas, y sólo las células teñidas con anticuerpo secundario conjugado. Todas las incubaciones con anticuerpos se llevaron a cabo durante 30 minutos a 4 ° C, después de lo cual las células se lavaron con el tampón de tinción. Las muestras que se tiñeron con anticuerpos primarios no conjugados se incubaron durante 30 minutos adicionales a 4 ° C con PE conjugado secundario o anticuerpos -APC etiquetado. Véase la Tabla III-B para una lista de los anticuerpos secundarios utilizados. Las células lavadas se sedimentaron y se resuspendieron en el tampón de tinción y las moléculas de la superficie celular se identificaron mediante el uso de una matriz de FACS (BD Biosciences) mediante la recopilación de al menos 10.000 eventos.

Para la tinción intracelular, las células se fijaron primero durante 10 minutos con paraformaldehído 4%, seguido de dos enjuagues en el tampón de tinción, la centrifugación de las células y resuspensión de las células en un tampón de permeabilización que contienen 0,5% de Triton-X (Sigma) en PBS durante 5 minutos a temperatura ambiente (RT). Las células permeabilizadas se lavaron dos veces con un tampón de aclarado, se centrifugaron, y se resuspendieron en el tampón de tinción y se incubaron con un anticuerpo conjugado apropiado (anticuerpo 5 μ l por células 10^6), durante 30 minutos a 4 ° C. Las muestras que se tiñeron con anticuerpos primarios no conjugados se incubaron durante 30 minutos adicionales a 4°C con PE conjugado secundario o anticuerpos marcados -APC (Tabla III B). Las células lavadas se sedimentaron y se resuspendieron en el tampón de tinción y las proteínas internas se identificaron mediante el uso de un FACSArray (BD Biosciences) mediante la recopilación de al menos 10.000 eventos. El nivel de expresión de la superficie examinada y marcadores internos aparece en la Tabla IV A y B. El análisis FACS permitió la identificación de marcadores de compás para distinguir las células de líquido amniótico (AF-I, II, y III), fibroblastos (F), y células epiteliales (E) (figuras 3-5). La Tabla IV C muestra el perfil de expresión en la superficie celular de las células AF-I aisladas de duración (38-40 semanas) de líquido amniótico. El nivel de expresión de receptores de superficie celular es muy similar a las células AF-I aislados de líquido amniótico de 16-22 semanas.

Ejemplo 4

La inmunotinción de células indiferenciadas

10.000 células / cm², células cultivadas de acuerdo con el Ejemplo 1, fueron sembradas en placas de fondo de cristal de micropocillos de 35 mm (Matek Corp, MA) en diferentes medios de cultivo. Después de tres días en cultivo, las células se fijaron durante 10 minutos con paraformaldehído de 4%, seguido de dos enjuagues en la PBS, y adición de un tampón de permeabilización que contiene 0.5% Triton X (Sigma) durante 5 minutos a temperatura ambiente (RT), seguido de tres lavados adicionales con PBS. Las células fijadas y permeabilizadas fueron bloqueadas con albúmina o bien 1% de suero bovino (BSA) o 4% suero de la especie en el que el anticuerpo secundario se crió (cabra, burro, o conejo). Las muestras de control incluyen reacciones con el anticuerpo primario omitido o en el que el anticuerpo primario fue sustituido por inmunoglobulinas correspondientes a la misma concentración como los anticuerpos primarios. Muestras teñidas se enjuagaron con un antídiscolorante reactivo PROLONG® (Invitrogen, CA) que contiene diamidino-2-fenilindol, dihidroclorida (DAPI) para contramarchar el núcleo. Las imágenes se adquirieron usando un microscopio Nikon Confocal Eclipse C-1 invertida (Nikon, Japón) y un objetivo 10-60X (figuras 6 - 8).

Ejemplo 5

Análisis de PCR de células indiferenciadas

Se extrajo ARN de las células cultivadas en el medio de crecimiento. El ARN total de páncreas humano, hígado, cerebro, intestino (Ambion, INC.), células NTERA (línea de células embrionarias de carcinoma humano, ATCC), células HEK293 (ATCC) y células epiteliales de la vía aérea humana (Cambrex) se utilizaron como controles positivos. Se utilizaron células mesenquimales derivadas de médula ósea (Cambrex, MD) como controles negativos para la expresión de genes claves implicados en el desarrollo de páncreas.

La extracción de RNA, la purificación, y la síntesis de ADNc. Las muestras de ARN se purificaron a través de su unión a una membrana de gel de sílice (Rneasy Mini Kit, Qiagen, CA) en presencia de un tampón de alta salinidad que contiene etanol; mientras que los contaminantes se eliminan por lavado. El ARN se purificó adicionalmente mientras está unido a la columna por tratamiento con DNase I (Qiagen, CA) para 15 mm. El ARN de alta calidad se eluyó en agua. El rendimiento y la pureza se evaluó por las lecturas de A260 y A280 en el espectrofotómetro. Copias de ADNc fueron hechas de ARN purificado utilizando un ABI (ABI, CA) de alta capacidad kit de archivo de ADNc.

En tiempo real la amplificación por PCR y el análisis cuantitativo. A menos que se indique lo contrario, todos los reactivos se compraron de Applied Biosystems. En tiempo real las reacciones de PCR se realizaron utilizando el ABI PRISM® 7000 Sequence Detection System. TAQMAN® UNIVERSAL PCR MASTER MIX® (ABI, CA) se utilizó con 20 ng de ARN transcripto inverso en un volumen total de reacción de 20 μ l. Cada muestra de ADNc se realizó por duplicado para corregir los errores de pipeteo. Los cebadores y sondas TAQMAN® marcadas con FAM se utilizaron a concentraciones de 200 nM. El nivel de expresión de un gen de objetivo se normalizó mediante el uso del ARN

ribosomal pre-desarrollado 18S del Applied Biosystems o kit de control endógeno de gliceraldehído-3-fosfato deshidrogenasa humana (GAPDH). Los cebadores y sondas fueron diseñados ya sea utilizando software ABI PRISM PRIMER EXPRESS™ o utilizarse kit de análisis de gen pre-desarrollado ABI. Para cada gen, ya sea uno de los cebadores o la sonda fueron diseñados para abarcar el límite exón. Esto eliminó la posibilidad de que los cebadores / sondas se uniesen a cualquier ADN genómico presente. Los conjuntos de cebadores y sondas se enumeran de la siguiente manera Nkx2,2 (Hs00159616), Pdx-1 (Hs00426216), Nkx6,1 (Hs00232355), Ngn3 (Hs00360700), Pax4 (Hs00173014), Pax6 (Hs00240871), insulina (Hs00355773), G1u2 (Hs00165775), glucagón (Hs00174967), Isl-1 (Hs00158126), somatostatina (Hs00174949), FoxA2 (HNF 3-beta) (Hs00232764), HLXB9 (Hs00232128), GATA-4 (Hs00171403), HNF1 β (Hs00172123), Musashi Homolog 1 (Msi-1) (Hs00159291), Hes1 (Hs00172878), Neurotensina (NTS) (Hs00175048), colecistoquinina (Hs00174937), AFP (Hs00173490), secretina (Hs00360814), GIP (Hs00175030), GFAP (Hs00157674), MAP2 (Hs00159041), Olig2 (Hs0037782), Oct-4 (CGACCATCTGCCGCTTGAG (SEQ ID NO: 1) y CCCCCCTGTCCCCCA TTCCTA (SEQ ID NO: 2)); Rex-1 (CAGATCCTAACACAGCTCGCAGAAAT (SEQ ID NO: 3), y GCGTACGCAAATTAAACTCCAGA(SEQ ID NO: 4); Sox17: TGGCGCAGCAGATACCA (SEQ ID NO: 5), AGCGCCTTCCACGACTTG (SEQ ID NO:6) y CCAGCATCTGCTCAACTCGGCG (SEQ ID NO:7); ABCG-2: GTTTATCCGTGGTGTGTCTGG (SEQ ID NO:8) y CTGAGCTATAGAGGCCTGGG SEQ ID NO:9); SOX2: ATGCACCGCTACGACGTGA (SEQ ID NO:10) y CTTTGACCCCTCCCATT (SEQ ID NO: 11) Los cebadores restantes fueron diseñados utilizando el programa de cebadores (ABI, CA) y se enumeran en la Tabla V. Después de un inicial 50 ° C durante 2 mm, y 95 ° C para 10 mm, las muestras se ciclaron 40 veces en dos etapas - una etapa de desnaturalización a 95 ° C durante 15 s, seguido de una etapa de recocido / extensión a 60 ° C durante 1 min. El análisis de datos se realizó utilizando el software de Sequence Detection System GENEAMP®7000. Para cada conjunto de cebador / sonda, se determinó un valor C tal como el número de ciclo en el que la intensidad de la fluorescencia alcanzó un valor específico en el medio de la región exponencial de amplificación. niveles de expresión génica relativa se calcularon utilizando el método C comparativo. En pocas palabras, para cada muestra de ADNc, el valor de control C endógena se restó del gen de interés C_t para dar el valor delta C_t (ΔC_t). La cantidad normalizada de destino se calculó como $2^{-\Delta C_t}$, suponiendo que la amplificación sea de eficiencia de 100%. Los datos finales se expresaron en relación a una muestra del calibrador. El método comparativo C_t sólo es válido si la eficiencia y el control endógeno de objetivo de amplificación son aproximadamente iguales. Por lo tanto, experimentos de validación preliminares se realizaron para cada cebador / sonda de conjunto mediante la amplificación de las muestras diluidas en serie ADNc y determinando los valores ΔC_t . Estos valores ΔC_t deben permanecer constante en todo el rango de diluciones si las eficiencias de amplificación son iguales (Tabla V).

Ejemplo 6

35 Población tiempo de duplicación

El paso 6 de células de líquido amniótico (tipo AF-1), aisladas y ampliadas según el ejemplo1 se sembraron a 10.000 células / pocillo de una placa de cultivo de tejidos de 24 pocillos (Corning, MA) en el crecimiento de los medios #11. En varios puntos de tiempo, las células se retiraron de tres pocillos de la placa usando TRYPLE™ Express (Invitrogen, CA) y se contaron usando un sistema de análisis celular Guava PCA-96 y el reactivo VIACOUNT® (Guava, CA). La Figura 10 representa la curva de crecimiento de 6 células de paso cultivadas en condiciones hipoxicas (3% O₂). La fase lineal de la gráfica log se utilizó para estimar el tiempo de duplicación de la población de las células. La población duplicada en un tiempo de 6 células de paso fue de 31 horas.

45 El potencial de crecimiento de las tres poblaciones de células (fibroblastos, AF y la morfología epitelial) se compararon por cultivos a largo plazo. La figura 11 representa el potencial de crecimiento de las células cultivadas en medios # 5 AF-I, AF-II, AF-III, F y E. Es claro que las células F ("fibroblásticas" derivados de líquido amniótico) y células AF pueden ampliar muy por encima de 50 duplicaciones de población y representan una fuente escalable para aplicaciones de terapia celular.

50 Ejemplo 7

Longitud de los telómeros de las células AF-1

55 La longitud de los telómeros de una línea de AF-1 aislado a partir de una sola célula por dilución en serie limitada se analizó en el paso 12 (aproximadamente 50 duplicaciones de población) utilizando la Ensayo de Longitud de Telómeros Telo TAGGG (Roche, IN) y siguiendo las instrucciones del fabricante. La longitud de los telómeros se analizó para las células cultivadas en DMEM-LG + 10% de FBS y las células cultivadas en Amniomax™ (Gibco), véase Figura 12. ADN de las células NTERA sirvió como control positivo.

60 Ejemplo 8

Análisis del cariotipo

65 El cariotipo de las células AF, aislado a partir de donantes mutiples en el paso 8 a 10 (aproximadamente 30 duplicaciones de población), se determinó mediante análisis G-banda. Cinco cariotipos se prepararon y análisis

citogenético mostraron que las células tenían unas autosomas normales y un número de cromosomas modales de 46. Todas las células analizadas contenían también cromosomas Y y X, lo cual confirma su origen fetal. La Figura 13 representa los cariotipos de las células derivadas del líquido amniótico (AF-I, AF-II y AF-III) aisladas de líquido amniótico obtenido a partir de 16-22 semanas de gestación.

5

Ejemplo 9

Potencial de expansión de las células AF derivadas de líquido amniótico de plazo

10 La figura 14 representa el potencial de expansión de una morfología celular AF-1 derivada de fluido amniótico de plazo (-38 semanas) y se cultivaron en los medios #5. El potencial de expansión es muy similar a las células AF-I aisladas de 16 a 22 semanas de líquido amniótico.

15

Ejemplo 10

El análisis de microconjuntos de fibroblastos, epiteliales y células de morfología de líquido amniótico

20 ARN total se aisló de células derivadas de fluido amniótico de fibroblastos de paso 9-11 (F), células epiteliales derivadas de fluido amniótico (E), células de líquido amniótico derivadas de líquido amniótico (líneas AF- I, -II, y III), y el líquido amniótico a plazo (término AF) utilizando un kit RNeasy mini (Qiagen). La preparación de la muestra, la hibridación y el análisis de imágenes se realizó de acuerdo con el CodeLink™ System (GE Healthcare, Amersham Biosciences, NJ). Se utilizaron las matrices de Codelink™ Human Whole Genome. Se compone de aproximadamente 55 000 sondas de 30-mer diseñadas para exones conservados a través de las transcripciones de genes específicos. El chip contiene ~45000 identificadores únicos de Unigene. Tras la normalización y una transformación de registro, el análisis de datos se realizó utilizando el software OmniViz® (MA) y GENESIFTER (VizXLabs, WA). La transformación de estabilización de varianza, junto con la normalización de la muestra transversal se aplicó a la transformación logarítmica de matriz de conjunto de datos. La variabilidad dentro de cada línea celular y entre las diferentes líneas celulares se comparó utilizando el coeficiente de correlación de Pearson. Para todas las muestras analizadas, el coeficiente de correlación dentro de una línea celular fue mayor en comparación con aquellos entre las líneas. La variación en los perfiles de expresión génica entre los diferentes tipos de células, junto con el coeficiente de correlación entre las líneas se representan en la figura 15. Se evaluaron diferencias significativas en la expresión génica entre los tipos de células mediante análisis de varianza y un ensayo F con con valor ajustado P (corrección de Benjamini y Hochberg) de < 0,05. Las Tablas VII A-G enumeran los genes que son expresados diferencialmente al menos 5 veces entre los diversos tipos de células.

35

Ejemplo 11

La diferenciación de las células en las células similares a las intestinales

40 La línea AF-I, pasaje 14 de Clon A AFCA007, se cultivó a 10.000 células / cm² en AMNTOMAX™. En la confluencia, las células se trataron adicionalmente durante 2 semanas con una dosis diaria de 10 µM ácido micro molar retinoico (RA) en medios AMINIOMAX™. ARN se recogió en el día 14 y la expresión de las hormonas intestinales (secretina, neuropeptida Y, péptido gástrico inhibitorio (GIP), colecistoquinina, somatostatina y gastrina) se evaluó mediante el uso de PCR en tiempo real como se describe en el Ejemplo 4. RNA intestinal (Ambion) se utilizó para evaluar los niveles relativos de expresión utilizando el método de $\Delta\Delta C_t$. La Tabla VIII muestra los valores C_t y el nivel relativo de expresión de las hormonas intestinales en las muestras tratadas y sin tratar. Como se muestra en la Tabla VIII, la adición de expresión mejorada RA de las hormonas intestinales.

45

Ejemplo 12

50

La diferenciación de las células en múltiples linajes endocrinos

55 Las células de la línea celular AFCA007 de Clon A (AF-I) en el paso 8 se incluyeron en el colágeno de tipo I (Becton Dickinson, CA) con 1% de matriz de factor de crecimiento reducido Matrigel (Becton Dickinson), y se sembraron en inserto transwell de 6 pocillos a 5×10^5 células por pocillo. El fondo del pocillo se sembró con células endoteliales aorticas humanas de paso 6 (Cambrex, MD). Las células se cultivaron con medio DMEM suplementado con 5% de FBS y factores de crecimiento, que incluye ciclopamina, bFGF, EGF, BMP4-7, Activina A, Exendina 4, FGF4, ácido retinoico todo-trans y los inhibidores de y-secretasa durante 14 días. Los cultivos se alimentaron cada dos días. Las células tratadas por ácido retinoico todo-trans mostraron la regulación mayor de alfa fetoproteína (AFP). El tratamiento de las células con activina A, BMP4 o el inhibidor de y-secretasa L-685.458 aumentó la regulación la expresión de HNF-3 beta. El tratamiento de células con BMPs a alta concentración, 50 ng/ml, también aumentó la regulación de la expresión GATA4.

60

65 El tratamiento de las células con FGF4 a 50 ng / ml mostró una regulación mayor de la expresión PDX-1 (Tabla IX).

65

Las células de la línea celular AFCA004 (morfología E) en el paso 6 se sembraron a 5×10^5 células por pocillo de

placas de cultivo de 6 pocillos y se trataron con medio condicionado de células confluentes PANC-1 (ATCC, VA) en combinación con diferentes factores de crecimiento. FGF básico, EGF y la combinación de EGF y bFGF mejoraron la expresión de HNF-3 beta - 100 veces sobre las células no tratadas. FGF básico, EGF y BMP también estimularon la expresión de somatostatina después de 14 días de tratamiento (Figura 16, paneles a&b).

5 Tomados en conjunto, estos resultados sugieren que las células AF podrían diferenciarse en pancreática, hepática o linaje intestinal mediante el tratamiento de las células con diferentes factores de crecimiento.

Ejemplo 13

10 La modulación de la expresión de los fabricantes de endodermo mediante la inhibición de la vía de Notch

Las células de la línea celular AFCA007 (AF-I) en el paso 8 se trataron con un intervalo de concentraciones de la muesca inhibidora de la vía L-685.458 (Sigma, MO) durante 3 a 5 días. La citotoxicidad de L-685.458 se determinó midiendo la viabilidad celular mediante un ensayo de MTS (Promega, WI). Se llevó a cabo análisis en tiempo real PCR para analizar la expresión Hes-1 después del tratamiento. Se encontró que el L-685.458 mostró un efecto inhibidor dependiente de la dosis en Hes-1 de expresión, Hes-1 es el objetivo directo de aguas abajo de la vía de Notch (Figura 17, panel a). Sin efecto sobre la viabilidad celular, como se determina por el ensayo de MTS, se observó después del tratamiento de L-685.458 de hasta 10 μ M durante 5 días (Figura 17, panel b).

Ejemplo 14

Análisis de matriz de anticuerpos de citoquinas para las células AF I y AF II

25 AFCA007 A (AF-I) y AFCA015 C (AF-II) en el paso 10 se hicieron crecer hasta aproximadamente 70% de confluencia y luego lystaes celulares se recolectaron utilizando kit de lisis celular mamífero (Sigma-Aldrich, MO). El análisis de conjunto de citoquinas se completó utilizando paneles de matriz de citoquinas proporcionadas por RayBiotech, GA (<http://www.raybiotech.com/>). La lista la tabla X de citoquinas, citoquinas y expresión del factor de crecimiento receptor, siguiendo normalización de los datos y la sustracción de fondo. Para cada panel, controles positivos y negativos también se incluyen. Los paneles se realizaron para dos muestras diferentes por tipo de célula.

35

40

45

50

55

60

65

TABLA I: COMPARACIÓN DE LA CÉLULA DE LA PRESENTE INVENCIÓN CON CÉLULAS DERIVADAS DE LÍQUIDO AMNIÓTICO DE LA TÉCNICA.

5

10

15

20

25

30

35

40

45

50

55

60

65

| Marcador | Célula 1 | Célula 2 | Célula 3 | Célula 4 |
|--------------------------|----------|----------|----------|----------|
| CD10 | | | | - |
| CD105 | + | + | + | Débil |
| CD11 | | | - | - |
| CD117 | Débil | - | - | - |
| CD13 | | + | | |
| CD29 (Beta 1 integrina) | | | | + |
| CD31 | | | - | |
| CD34 | Débil | - | - | - |
| CD44 | | + | + | + |
| CD45 | | - | - | |
| CD49b (Alfa 2 integrina) | | + | | |
| CD49e (Alfa 5 integrina) | | | + | |
| CD73 | | | + | + |
| CD166 | | | + | |
| CD90 | + | | + | + |
| HLA ABC | + | + | + | + |
| HLA D | | - | - | - |
| Oct-4 | + | + | | + |
| SSEA-1 | - | - | | |
| SSEA-3 | + | + | | |
| SSEA-4 | + | + | | |
| Stro-1 | | - | | |
| Telomerasa | + | | | |
| TRA 1-60 | | + | | |
| TRA 1-81 | | + | | |
| TRA 1-85 | | | | |
| TRA 2-49 | | | | |
| TRA 2-54 | | + | | |

TABLA II. FORMULACIONES DE MEDIOS EMPLEADOS PARA EL CULTIVO DE CÉLULAS DERIVADAS DE LÍQUIDO AMNIÓTICO

5

| Formulación de los medios | |
|---------------------------|---|
| 1 | DMEM-LG + ITS-X + 1% P / S + 2% de FBS + 25 ng / ml bFGF |
| 2 | DMEM avanzado + ITS-X + 1% P / S + 1% FBS + 25 ng / ml bFGF |
| 3 | Alfa MEM: MCDB 153 (I: I) + ITS-X + 1% P / S + 1% FBS + 25 ng / ml bFGF |
| 4 | Medios de crecimiento de queratinocitos definidos (Gibco, NY) |
| 5 | Medios completos AMNIOMAX™ (Gibco, NY) |
| 6 | Chang B / C (Irvine Scientific, CA) |
| 7 | Chang D (Irvine Scientific, CA) |
| 8 | Medios DM-KNOCKOUT™ (Invitrogen, CA), suplementado por 20% KNOCKOUT™ reemplazo de suero suero (Invitrogen, CA), 10 ng / ml bFGF |
| 9 | DMEM- glucosa baja, suplementado con 20% de SFB |
| 10 | DMEM- glucosa baja, suplementado con 5% de FBS |
| 11 | DMEM- glucosa baja / medio MCDB 201 (1:1), complementado con 2% de FBS definido, ITS-X, dexametasona InM, ácido ascórbico 2-fosfato 100 mM, EGF 10ng / ml, 10ng / ml de PDGF-bb y 100 mM 2-mercaptopetanol |
| 12 | 20% de suero de reemplazo KNOCKOUT™ + DMEM 80% KNOCKOUT™, suplementado con 1 mM de L-glutamina, 1% aminoácidos no esenciales y 0,1 mM 2-mercaptopetanol |
| 13 | El medio puede ser acondicionado durante la noche, en fibroblastos de embriones humanos o murinos, células estromales derivadas de médula ósea humana o la placenta humana derivada de las células y se completará con 4 ng / ml bFGF |
| 14 | DMEM de glucosa alta, suplementado con 20% de SFB definido con 0,1 mM 2-mercaptopetanol |
| 15 | Medio E de Williams, 2% de FBS, IX ITS, 55uM ßme, IX Glutamax (Gibco), 1% P / S, 10ng / ml EGF, 4 ng / ml bFGF, 4 ng / ml dexametasona |
| 16 | 1:1 de DMEM-LG / MCDB 201,2% de FBS, ITS-X, ßme 55uM, 100uM ácido ascórbico -2-fosfato, 4 ng / ml bFGF, 10ng / ml EGF, 4ng / ml dexametasona |

40

45

50

55

60

65

TABLA III A: LOS ANTICUERPOS A RECEPTORES DE SUPERFICIE.

| | Anticuerpo | Proveedor | Isotipo | Clon |
|----|-----------------------------------|-------------------------------|--------------------|-----------|
| 5 | CD117 (c-kit) | Santa Cruz Biotechnology (CA) | Goat IgG | M-14 |
| 10 | CD117 (c-kit) | Santa Cruz Biotechnology (CA) | Mouse IgG1 | 104D2 |
| 15 | CD117 (c-kit) | BD Pharmingen (CA) | Mouse IgG1, kappa | YB5.B8 |
| 20 | CD24 | BD Pharmingen (CA) | Mouse IgG1, Kappa | ML5 |
| 25 | CD44 | BD Pharmingen (CA) | Mouse IgG1, Kappa | G44-26 |
| 30 | CD45 | BD Pharmingen (CA) | Mouse IgG1, Kappa | Hi30 |
| 35 | CD49f | BD Pharmingen (CA) | Rat IgG1, Kappa | G0H3 |
| 40 | CD73 | BD Pharmingen (CA) | Mouse IgG1, Kappa | AD2 |
| 45 | CD10 | BD Pharmingen (CA) | Mouse IgG1, Kappa | H110a |
| 50 | CD105 | Santa Cruz (CA) | Mouse IgG1 | P3D1 |
| 55 | CD49b (integrina alfa 2) | BD Pharmingen (CA) | Mouse IgG1 Kappa | 121-H6 |
| 60 | Integrina alfa 3 | Santa Cruz (CA) | Mouse IgG1 | P1B5 |
| 65 | Integrina alfa 4 (CD49d) | BD Pharmingen (CA) | Mouse IgG1 Kappa | 9F10 |
| | Integrina alfa 5 (CD49e) | BD Pharmingen (CA) | Mouse IgG1 Kappa | IIA1 |
| | CD49d (Integrina alfa 6) | BD Pharmingen (CA) | Rat IgG2a | GoH3 |
| | CD29 (Integrina beta 1) | BD Pharmingen (CA) | Mouse IgG1 Kappa | MAR4 |
| | Integrina beta 3 | Santa Cruz (CA) | Mouse IgG1 | Y2/51 |
| | Integrina Alfa V Beta 3 (CD51/61) | BD Pharmingen (CA) | Mouse IgG1 Kappa | 23C6 |
| | SSEA-3 | Chemicon (CA) | Mouse IgG1 | MC-631 |
| | SSEA-4 | Chemicon (CA) | Rat IgM | MC-813-70 |
| | TRA 1-60 | Chemicon (CA) | Mouse IgM | TRA 1-60 |
| | TRA 1-81 | Chemicon (CA) | Mouse IgM | TRA 1-81 |
| | TRA 1-85 | Chemicon (CA) | Mouse IgG1 | TRA 1-85 |
| | TRA 2-54 | Chemicon (CA) | Mouse IgG1 | TRA 2-54 |
| | EGF r | BD Pharmingen (CA) | Mouse IgG2b, Kappa | EGFR1 |
| | EpCAM | BD Pharmingen (CA) | Mouse IgG1 | EBA-1 |
| | HLA ABC | BD Pharmingen (CA) | Mouse IgG1 Kappa | G46-2,6 |
| | HLA DR | BD Pharmingen (CA) | Mouse IgG2b, Kappa | TU36 |
| | CD90 | BD Pharmingen (CA) | Mouse IgG1, Kappa | 5E10 |

TABLA III B: LISTA DE ANTICUERPOS CONJUGADOS SECUNDARIOS USADOS PARA FACS Y ANALISIS INMUNOTINCION.

| | Anticuerpo secundario conjugado | Proveedor | Dilución |
|----|--|-----------------------------|----------|
| 5 | Anti-ratón (cabra) IgG APC conjugado | Jackson ImmunoResearch (PA) | 1:200 |
| | Anti-ratón (cabra) IgG PE conjugado | Jackson ImmunoResearch (PA) | 1:200 |
| 10 | Anti-conejo (burro) IgG PE o APC conjugado | Jackson ImmunoResearch (PA) | 1:200 |
| | Anti-cabra (burro) IgG PE o APC conjugado | Jackson ImmunoResearch (PA) | 1:200 |
| | Anti-ratón (cabra) IgM PE | SouthernBiotech (AL) | 1:200 |
| 15 | Anti-rata (cabra) IgM PE | SouthernBiotech (AL) | 1:200 |
| | Anti-ratón (cabra) IgG3 PE | SouthernBiotech (AL) | 1:200 |

TABLA III C: LISTA DE ANTICUERPOS PRIMARIOS USADOS PARA ANALISIS INMUNOTINCION.

| | Anticuerpo | Proveedor | Dilución |
|----|--|-----------------------------------|----------|
| 20 | Beta tubulina III | Sistemas I & D | 1:100 |
| | C-Kit | Santa Cruz Biotechnology (CA) | 1:100 |
| 25 | Citoqueratina 18 | Sigma (MO) | 1:100 |
| | Citoqueratina 8 | Sigma (MO) | 1:100 |
| | Citoqueratina-7 | Santa Cruz Biotechnology (CA) | 1:100 |
| | Citoqueratina 19 | Sigma (MO) | 1:100 |
| 30 | E-cadherina | BD Transduction Laboratories (CA) | 1:100 |
| | FOXA1 | Chemicon International (CA) | 1:100 |
| | GATA-6 | Sistemas I & D (MN) | 1:100 |
| | HES-1 | Chemicon International (CA) | 1:100 |
| 35 | HES-2 | Chemicon International (CA) | 1:100 |
| | Alfa HNF-1 | BD Transduction Laboratories (CA) | 1:100 |
| | Beta HNF-1 | BD Transduction Laboratories (CA) | 1:100 |
| 40 | Musashi-1 | Chemicon International (CA) | 1:100 |
| | Nestina | Sistemas I & D | 1:100 |
| | Pan-citoqueratina (CK, 4, 5, 6, 10, 13 y 18) | Santa Cruz Biotechnology (CA) | 1:100 |
| 45 | SOX-17 | Sistemas I & D | 1:100 |
| | SSEA-4 | Santa Cruz Biotechnology (CA) | 1:100 |
| | TRA 1-81 | Santa Cruz Biotechnology (CA) | 1:100 |
| | Vimentina | Santa Cruz Biotechnology (CA) | 1:100 |
| | ZO-1 | BD Transduction Laboratories (CA) | 1:100 |

50

55

60

65

TABLA IV A: LOS RECEPTORES CELULARES DE SUPERFICIE EN FIBROBLASTOS, FLUIDO AMNIÓTICO Y LAS CÉLULAS EPITELIALES DERIVADAS DE FLUIDO ANMNIÓTICO Y CULTIVADAS BAJO CONDICIONES DE HIPOXIA

| | Células de fibroblastos (F) | Células de líquido amniótico (AF-I) | Células de líquido amniótico (AF-II) | Células de líquido amniótico (AF-III) | Células Epiteliales (E) |
|-------------------------|-----------------------------|-------------------------------------|--------------------------------------|---------------------------------------|-------------------------|
| Integrina 3 alfa | + | + | + | + | + |
| Integrina 1 beta | + | + | + | + | + |
| Integrina 3 beta | - | + | Débil | Débil | + |
| Alfa V Beta 3 (CD51/61) | - | + | Débil | Débil | + |
| C-Met | | + | + | + | |
| CD24 | Débil | + | Débil | Débil | + |
| CD10 | + | Débil | - | - | - |
| CD105 | + | Débil | + | + | - |
| CD117 | - | - | - | - | - |
| CD13 | + | Débil | + | + | - |
| CD44 | + | + | + | + | + |
| CD73 | + | + | + | + | + |
| CD90 | + | + | + | + | + |
| EpCAM | - | + | - | - | + |
| HLA ABC | + | + | + | + | + |
| HLA II-DR | - | - | - | - | - |
| TRA2-49 | - | - | - | - | - |
| SSEA-4 | + | + | + | + | + |
| SSEA-3 | - | + | - | - | + |
| TRA1-60 | - | + | - | - | + |
| TRA1-81 | - | + | - | - | + |

TABLA IV B: PROTEÍNAS INTRACELULARES DE VARIOS AMNIÓTICA

| | Marcador | Células de fibroblastos (F) | Células de líquido amniótico (AF-I) | Células de líquido amniótico (AF-II) | Células de líquido amniótico (AF-III) | Células Epiteliales (E) |
|--------------------------|----------|-----------------------------|-------------------------------------|--------------------------------------|---------------------------------------|-------------------------|
| CK-19 | - | + | - | - | | + |
| Vimentina | + | + | + | + | | + |
| Actina de músculo liso | Débil | Débil | Débil | Débil | | + |
| Tubulina beta III | + | + | + | + | | + |
| Citoqueratina de bandeja | - | + | + | - | | + |
| Citoqueratina 7 | - | + | | | | |
| Citoqueratina 8 | - | + | | | | |
| Citoqueratina 18 | - | + | | | | |
| Nestina | - | + | + | + | | Débil |

TABLA IV C: RECEPTORES CELULARES DE SUPERFICIE EN CÉLULAS DE LÍQUIDO AMNIÓTICO DERIVADAS DE LÍQUIDO AMNIÓTICO DE PLAZO Y CULTIVADAS BAJO CONDICIONES HIPÓXICAS

| | Células del líquido amniótico (AF-I) |
|-------------------------|--------------------------------------|
| Integrina Alfa 3 | + |
| Integrina Beta 1 | + |
| Integrina Beta 3 | + |
| Alfa V Beta 3 (CD51/61) | + |
| CD10 | Débil |
| CD105 | Débil |
| CD117 | - |
| CD13 | Débil |
| CD44 | + |
| CD73 | + |
| CD90 | + |
| EpCAM | + |
| HLA ABC | + |
| HLA II-DR | - |
| SSEA-4 | + |
| TRA 1-60 | + |
| TRA 1-81 | + |

TABLA V: ANÁLISIS PCR DE LAS CÉLULAS DERIVADAS DEL LÍQUIDO AMNIÓTICO DE LA PRESENTE INVENCIÓN

| a. Marcadores de pluripotencia | | | | | | |
|---------------------------------------|------------------------|---------------------|--------------|---------------|----------------|---------|
| Marcadores | Células de fibroblasto | Células epiteliales | Células AF-I | Células AF-II | Células AF-III | Ntera-1 |
| Oct3/4 | - | - | - | - | - | + |
| Sox-2 | - | - | - | - | - | + |
| Rex-1 | - | + | +/- | | | + |
| hTERT | - | +/- | - | - | - | + |

| b. Marcadores endocrinos | | | | | |
|------------------------------------|-------------------------|---------------------|--------------|---------------|----------------|
| Marcadores celulares | Células de fibroblastos | Células epiteliales | Células AF-I | Células AF-II | Células AF-III |
| Sox 17 | Débil | + | + | - | - |
| GATA-6 | - | + | + | + | + |
| GATA-4 | Débil | | Débil | - | - |
| HNF 1 Beta | - | + | + | + | - |
| HNF3 beta | - | + | Débil | - | - |
| Pdx-1 | - | - | - | - | - |
| NGN-3 | - | - | - | - | - |
| Musashi-1 | + | + | + | | |
| HES-1 | + | + | + | + | + |
| NeuroD1 | - | - | - | - | - |
| Pax 4 | - | - | - | | |
| Pax6 | + | + | + | - | - |
| Secretina | - | - | - | - | - |
| Péptido inhibitorio gástrico (GIP) | + | + | + | - | - |
| Glucagón | - | - | - | - | - |
| Somatostatina | + | + | + | - | - |
| Colecistoquinina | - | - | - | - | - |
| Gastrina | - | - | - | - | - |
| Insulina | | - | Débil | - | - |
| Nestina | + | + | + | + | + |

* Débil: Valores CT de 35-38 ciclos
+: Valores CT <35 ciclos

TABLA VI: PRESENCIA DE TODAS LAS MORFOLOGÍAS AF, E Y F EN VARIAS EDADES GESTACIONALES DE MUESTRAS DE FLUIDO DE SEGUNDO TRIMESTRE AMNIÓTICO.

| | Designación AF | Edad de gestación | Presencia de morfología similar a AF | Presencia de morfología similar a E | Presencia de morfología similar a F |
|----|----------------|-------------------|--------------------------------------|-------------------------------------|-------------------------------------|
| 5 | AFCA001 | 17 sem | + | + | + |
| | AFCA002 | 18 sem | + | + | - |
| 10 | AFCA004 | 18 sem | + | + | - |
| | AFCA008 | 18 sem | + | + | - |
| | AFDX001 | 19 sem | + | + | - |
| | AFDX021 | 20 sem | + | + | + |
| 15 | AFDX022 | 20 sem | + | + | + |
| | AFCA007 | 19 sem | + | + | + |
| | AFCA009 | 18 sem | + | + | - |
| | AFCA010 | 18 sem | + | + | - |
| | AFCA011 | 19 sem | + | + | - |
| 20 | AFCA017 | 16 sem | + | + | - |
| | AFPN003 | 20 sem | + | + | - |
| | AFPN004 | 20 sem | + | + | - |
| | AFND001 | 41 sem | + | + | - |

25

30

35

40

45

50

55

60

65

TABLA VII A: GENES QUE SE EXPRESABAN DIFERENCIALMENTE AL MENOS 5 VECES EN FIBROBLASTOS VERSUS CÉLULAS AF-I

| | Identificador de gen | Nombre de gen | Cambio de pliegue medio en células de fibroblasto versus AF | Dirección | P-valor adj. |
|----|----------------------|---|---|--------------|--------------|
| 5 | | | | | |
| 10 | NM_002421 | Matriz metaloproteinasa 1 de Homo sapiens (intersticial colagenasa) (MMP 1), mRNA | | 434.28 UP | 1.09E-03 |
| | NM_144594 | Hipotética proteína FLJ32942 (FLJ 32942) de Homo sapiens, mRNA | | 207.74 UP | 2.52E-03 |
| | NM_020927 | Proteína KIAA1576 (KIAA1576) de Homo sapiens, mRNA | | 200.11 UP | 5.06E-04 |
| 15 | NM_001451 | Caja forkhead F1 de Homo sapiens (FoxO1), ARNm | | 183.69 UP | 1.52E-03 |
| | AK021543 | ADNc de Homo sapiens FLJ11481 fis, clon HEMBA1001803 | | 131.1 UP | 3.11E-03 |
| 20 | NM_007036 | Molécula específica de células endoteliales 1 de Homo sapiens (ESM1), mRNA | | 120.15 UP | 2.07E-03 |
| | NM_002448 | Misma secuencia msh homólogo 1 de Homo sapiens (Drosofila) (MSX1), mRNA | | 112.45 UP | 7.69E-04 |
| | NM_152270 | Hipotética proteína de Homo sapiens FLJ34922 (FLJ 34922), mRNA | | 109.54 UP | 1.63E-03 |
| 25 | NM_000474 | Giro homólogo 1 de Homo sapiens (Acrocefalosindactilia 3; El síndrome Saethre-Chotzen) (Drosophila) (TWIST1), ARNm | | 102.84 UP | 1.72E-03 |
| | AK122739 | Fis FLJ16260 ADNc de homo sapiens, clon IMR322006947, altamente similar a mRNA Rattus norvegicus para proteína dHand | | 98.04 UP | 4.82E-03 |
| 30 | AV702977 | ADBCVD08 5 clon ADNc de homo sapiens AV702977, secuencia mRNA | | 93.67 UP | 2.91 E-03 |
| | AK026784 | ADNc homo sapiens: fas FLJ23131, clon LNG08502 | | 87.77 UP | 1.52E-03 |
| 35 | NM_000710 | B1 Receptor bradiquinina de homo sapiens (BDKRB1), mRNA | | 86.86 UP | 4.77E-03 |
| | NM_000609 | Quemoquina de homo sapiens (motivo C-X-C) ligando 12 (factor 1 estromal derivado de células | | 77.16 UP | 2.97E-03 |
| 40 | NM_030781 | Subfamilia de miembro 12 de colectina de homo sapiens (COLEC12), variante II de transcripción, mRNA | | 64.54 UP | 8.99E-05 |
| | NM_032638 | Proteína vinculadora 2 de GATA de homo sapiens (GATA2), mRNA | | 63.54 UP | 3.35E-03 |
| | NM_000362 | Inhibidor de tejidos de metalloproteína 3 de homo sapiens (distrofia Sorsby fundus, pseudoinflamatorio) (TIMP3), mRNA | | 61.32 UP | 5.06E-03 |
| 45 | NM_198148 | Carboxipeptidasa X de homo sapiens (familia M14), miembro 2 (CPXM2), mRNA | | 57.01 UP | 4.00E-03 |
| | AL831863 | mRNA de homo sapiens; ADNc DKFZp761J2017 (de DKFZp761J2017 clon) | | 55.07 UP | 7.57E-03 |
| 50 | NM_002091 | Péptido de liberación de gastrina de homo sapiens | | 53.77 UP | 9.01E-03 |
| | NM_020404 | CD164 similar a sialomucina 1 de homo sapiens (CD164L1), mRNA | | 51.44 UP | 2.22E-04 |
| | NM_014178 | Protéina 6 de vinculación de sintaxina de homo sapiens | | 47.27 UP | 7.17E-03 |
| 55 | NM_205855 | HWKM1940 (UNQ1940) de homo sapiens, mRNA | | 42.6 UP | 2.31E-03 |
| | BX089019 | BX089019 Soares_testis_NHT ADNc de clon de homo sapiens IMAGp998K243513; IMAGE:1391375, secuencia mRNA | | 42.17 UP | 8.50E-03 |
| 60 | AI124557 | Corteza frontal de Johnston am58g02.x1 de clon ADNc de homo sapiens IMAGE:1539794 3, secuencia mRNA | | 37.2 UP | 8.24E-03 |
| | NM_139211 | Proteína de homodominio único de homo sapiens (HOP), variante de transcripción 2, mRNA | | 34.14 UP | 1.45E-04 |
| | NM_002593 | Potenciador C-endopeptidasa de procolágeno de homo sapiens (PCOLCE), mRNA | | 30.85 UP | 2.64E-03 |

ES 2 569 421 T3

| | | | | |
|----|------------------|---|-------------|----------|
| | BQ020357 | UI-H-ED0-axk-p-07-0-UI.s1 NCI_CGAP_ED0 de clon de ADNc de homo sapiens IMAGE:5830134 3, secuencia mRNA | 30.74 UP | 5.91E-03 |
| 5 | CA843592 | ir49c12.x1 HR85 islote de clon ADNc de homo sapiens IMAGE:6548544 3, secuencia mRNA | 29.57 UP | 6.22E-05 |
| | NM_002852 | Gen relacionado con pentaxina de homo sapiens, inducido rápidamente por IL-1 beta (PTX3), mRNA | 29.35 UP | 3.55E-03 |
| 10 | NM_000089 | Colágeno de homo sapiens, tipo 1, alfa 2 (COL1A2), mRNA | 28.94 UP | 4.61E-04 |
| | CD677332 | ho15f06.y1 malla trabecular humana ADNc: hohphq clon ADNc de homo sapiens ho15f06 5, secuencia mRNA | 28.67 UP | 1.15E-04 |
| | BC030692 | ELAV de homo sapiens (visión embrionario, letal, abnormal, Drosofila)-2 (Hu antígeno B), mRNA (clon ADNc MGC:26319 IMAGE:4826082), cds completo | 28.22 UP | 7.64E-03 |
| 15 | AK021543 | ADNc FLJ11481 fis de homo sapiens, clon HEMBA1001803 | 27.4 UP | 1.70E-02 |
| | AI962169 | Clon ADNc de homo sapiens wq45c10.x1 NCI_CGAP_GC6 IMAGE:2474226 3, secuencia mRNA | 27.1 UP | 8.11E-03 |
| 20 | NM_000685 | Receptor de angiotensina II de homo sapiens, tipo 1 (AGTR1), variante 1 de transcripción, mRNA | 26.59 UP | 4.86E-03 |
| | AI422199 | Clon ADNc de homo sapiens tf58d04.x1 NCI_CGAP_Brn23 IMAGE:2103463 3, secuencia mRNA | 26.11 UP | 1.04E-02 |
| 25 | NM_0010022 95 | Proteína vinculadora 3 GATA de homo sapiens, variante de transcripción 1, mRNA | 24.62 UP | 3.24E-03 |
| | NM_000396 | Catepsina K de homo sapiens (picnodisostosis) (CTSK), mRNA | 24.58 UP | 4.37E-05 |
| | NM_001442 | Proteína 4 vinculadora de ácido graso de homo sapiens, adipocito (FABP4), mRNA | 24.37 UP | 8.07E-03 |
| 30 | NM_004460 | Proteína de activación de fibroblasto de homo sapiens, alfa (FAP), mRNA | 24.15 UP | 1.93E-04 |
| | AB067499 | mRNA de homo sapiens para proteína KIAA1912, cds parcial | 23.83 UP | 2.51E-03 |
| 35 | NM_032777 | Receptor 124 acoplado con proteína G de homo sapiens (GPR124), mRNA | 22.29 UP | 3.83E-03 |
| | U83115 | Proteína similar a cristalina beta gamma no lenticular humana (AIM1) mRNA, cds parcial | 21.93 UP | 5.28E-04 |
| | AY335938 | Proteína de homodomínio IRXA1 de homo sapiens (IRX1) mRNA, cds completo | 21.54 UP | 2.02E-02 |
| 40 | NM_006350 | Follistatina de homo sapiens (FST), variante de transcripción FST317, mRNA | 21.53 UP | 2.20E-03 |
| | W38393 | Clon ADNc de homo sapiens soares_fetal_lung_NbHL19W IMAGE:302124 5, secuencia mRNA | 21.16 UP | 21.16 UP |
| 45 | NM_021637 | Proteína 35 de transmembrana de homo sapiens (TMEM35), mRNA | 20.78 UP | 3.74E-04 |
| | AK091731 | FLJ34412 fis ADNc de homo sapiens, clon HEART2002432 | 20.71 UP | 1.19E-02 |
| 50 | NM_032883 | Marco de lectura 100 abierto de cromosoma 20 de homo sapiens (C20orf100), mRNA | 20.29 UP | 2.33E-04 |
| | NM_005110 | Transaminasa de glutamina-fructosa-6-fosfato 2 de homo sapiens (GFPT2), mRNA | 19.69 UP | 9.13E-05 |
| | NM_024633 | Marco de lectura 14 abierto de cromosoma de homo sapiens 139 (C14orf139), mRNA | 19.44 UP | 1,05E-02 |
| 55 | NM_004811 | Leupaxina de homo sapiens (LPXN), mRNA | 18,74 UP | 1,74E-05 |
| | NM_153183 | Nudix de homo sapiens (fracción vinculada a nucleosida difosfato X)-motivo tipo 10 (NUDT10), mRNA | 18,51 UP | 9,88E-03 |
| 60 | NM_014459 | Protocaderina de homo sapiens 17 (PCDH17), mRNA | 18,39 UP | 1,39E-03 |
| | BX115659 | BX115659 Soares_total_fetus_Nb2HF8_9w de clon ADNc de homo sapiens IMAGp998C204119: IMAGE:1623883, secuencia mRNA | 18,15 UP | 4,07E-04 |
| 65 | NM_018013 | Proteína FLJ10159 hipotética de homo sapiens (FLJ10159), mRNA | 17,64 UP | 1,54E-02 |

ES 2 569 421 T3

| | | | | |
|----|-----------|--|-------------|----------|
| | BX112628 | BX112628 Soares_fetal_lung_NbHL19W de clon ADNc de homo sapiens IMAGp998A09669; IMAGE:299024, secuencia mRNA | 16,09 UP | 2,35E-02 |
| 5 | NM_016428 | Familia de genes ABI de homo sapiens, miembro 3 (ABI3), mRNA | 16,07 UP | 1,15E-02 |
| | NM_012449 | Antígeno epitelial del próstata de seis transmembrana de homo sapiens (STEAP), mRNA | 16,07 UP | 1,49E-04 |
| 10 | NM_006350 | Follistatina (FST) de homo sapiens, variante de transcripción FST317, mRNA | 15,98 UP | 6,30E-05 |
| | AF052115 | Clon 23688 de homo sapiens, secuencia mRNA | 15,92 UP | 1,56E-02 |
| | NM_004787 | Homólogo de abertura 2 de homo sapiens (drosofila) (SLIT2), mRNA | 15,9 UP | 4,75E-04 |
| 15 | AK091336 | FLJ34017 fis ADNc de homo sapiens, clon FCBBF2002626 | 15,59 UP | 2,68E-02 |
| | NM_006329 | Fibulina 5 de homo sapiens (FBLN5), mRNA | 15,59 UP | 7,87E-03 |
| 20 | NM_000963 | Sintasa 2 de prostaglandina-endoperoxida de homo sapiens (sintasa y ciclooxygenasa de prostaglandina G/H)(PTGS2), mRNA | 15,57 UP | 8,59E-04 |
| | NM_001146 | Angiopoietina 1 de homo sapiens 1 (ANGPT1), variante de transcripción 1, mRNA | 14,89 UP | 9,40E-04 |
| 25 | NM_018431 | Proteína de acoplamiento 5 de homo sapiens (DOK5), variante de transcripción 1, mRNA | 14,56 UP | 8,69E-03 |
| | NM_017577 | Proteína hipotética de homo sapines DKFZp434C0328 (DKFZp434C0328), mRNA | 14,47 UP | 4,20E-03 |
| | H85497 | yv88b07.r1 Soares melanocita 2NbHM clon ADNc de homo sapiens IMAGE:249781 5, secuencia mRNA | 13,8 UP | 1,13E-04 |
| 30 | NM_001147 | Angiopoietina 2 de homo sapiens (ANGPT2), mRNA | 13,76 UP | 2,64E-02 |
| | NM_000090 | Colágeno de homo sapiens, tipo III, alfa 1 (síndrome tipo IV Ehlers-Danlos, dominante autosomal) (COL3A1), mRNA | 13,63 UP | 1,65E-02 |
| 35 | NM_007289 | Metalloendopeptidasa de membrana de homo sapiens (endopeptidasa neutra, enquefalinasa, CALLA, CD10) (MME), variante de transcripción 2b, mRNA | 13,35 UP | 1,86E-02 |
| | NM_016229 | Citocromo b5 de reductasa b5R,2 de homo sapiens (CYB5R2), variante de transcripción 1, mRNA | 13,35 UP | 9,80E-03 |
| 40 | NM_000810 | A Receptor de ácido gamma-aminobutírico de homo sapiens (GABA), alfa 5 (GABRA5), mRNA | 13,07 UP | 2,71E-02 |
| | NM_002518 | Proteína de dominio PAS neuronal 2 de homo sapiens (NPAS2), mRNA | 12,99 UP | 1,04E-02 |
| 45 | AK093256 | ADNc FLJ35937 fis de homo sapiens, clon TESTI2011480 | 12,93 UP | 2,09E-03 |
| | NM_005127 | Lectina de tipo C de homo sapiens (calcio dependiente, dominio de reconocimiento de carbohidrato), miembro de superfamilia 2 (inducido de activación)(CLECSF2), mRNA | 12,82 UP | 2,71E-02 |
| 50 | NM_006209 | Pirofosfatasa/fosfodiesteras de ectonucleotida 2 de homo sapiens (autotaxina)(ENPP2), mRNA | 12,62 UP | 2,60E-02 |
| | W03013 | za02c04.r1 Clon de ADNc Soares melanocito 2NbHM de homo sapiens IMAGE:291366 5 similar a contiene THR:t3 THR elemento repetitivo;, secuencia mRNA | 12,43 UP | 7,69E-04 |
| 55 | AF131813 | Clon de homo sapiens 24970 de secuencia de mRNA | 12,17 UP | 2,57E-02 |
| | BQ025821 | UI-1-BB1p-aye-f-10-0-UI.s1 NCI_CGAP_PI6 clon ADNc de homo sapiens UI-1-BB1p-aye-f-10-0-UI 3, secuencia mRNA | 12,15 UP | 1,30E-02 |
| 60 | AW445209 | UI-H-BI3-akc-g-11-0-UI.s1 NCI_CGAP_Sub5 clon ADNc de homo sapiens IMAGE:2733908 3, secuencia mRNA | 12,09 UP | 8,91E-04 |
| | NM_033292 | Caspasa 1 de homo sapiens, proteasa de cisteína relacionada de apóptosis (interleucina 1, beta, convertasa)(CASP1), variante de transcripción alfa, mRNA | 11,63 UP | 2,67E-02 |
| 65 | NM_170744 | Homólogo B unc-5 de homo sapiens B (C, elegans)(UNC5B), mRNA | 11,62 UP | 3,68E-02 |

ES 2 569 421 T3

| | | | | |
|----|-----------|---|-------------|-----------|
| | NM_012204 | Factor general de transcripción IIIC de homo sapiens, polipéptido 4, 90kDa (GTF3C4), mRNA | 11,59 UP | 3,11E-02 |
| 5 | NM_002531 | Receptor de neurotensina 1 de homo sapiens (afinidad alta)(NTSR1), mRNA | 11,33 UP | 2,65E-02 |
| | BG118019 | 602351269F1 NIH_MGC_90 clon ADNc de homo sapiens IMAGE:4446065 5, Secuencia mRNA | 11,16 UP | 8,51E-05 |
| | NM_014802 | Producto de gen (KIAA0528) de homo sapiens KIAA0528, mRNA | 11,05 UP | 2,84E-02 |
| 10 | BX647541 | mRNA de homo sapiens; ADNc DKFZp686P0492 (de clon DKFZp686P0492) | 10,9 UP | 1,65E-03 |
| | NM_020809 | Proteína activante de Rho GTPasa 20 de homo sapiens (ARHGAP20), mRNA | 10,85 UP | 2,74E-02 |
| 15 | NM_016307 | Homeobox relacionado de pareja 2 de homo sapiens (PRRX2), mRNA | 10,85 UP | 7,71E-05 |
| | NM_057179 | Homólogo de giro 2 de homo sapiens (PRRX2), mRNA | 10,83 UP | 7,22E-05 |
| | AK128325 | ADNc FLJ46467 fis de homo sapiens, clon THYMU3022668 | 10,82 UP | 1,20E-02 |
| 20 | BE866150 | 601679068F1 NIH_MGC_53 clon ADNc de homo sapiens IMAGE:3961768 5, secuencia mRNA | 10,74 UP | 2,16E-02 |
| | BX109483 | BX109483 NCI_CGAP_Ov23 clon ADNc de homo sapiens IMAGp998C165481; IMAGE:E2216391, secuencia mRNA | 10,72 UP | 2,65E-02 |
| 25 | C02345 | HUMGS0007544 adulto humano (K.Okubo) ADNc de Homo sapiens, secuencia ARNm | 10,64 UP | 2,15E-03 |
| | NM_002961 | Proteína de unión de calcio de homo sapiens (proteína de calcio, calvasculin, metastasin, murino homólogo de la placenta) (S100A4), variante de transcripción 1, ARNm | 10,61 UP | 1,87E-04 |
| 30 | NM_031908 | Proteína relacionada con el factor de necrosis tumoral Clq de homo sapiens 2 (C1QTNF2), ARNm | 10,13 UP | 3,04E-02 |
| | NM_013387 | Complejo c reductasa ubiquinol citocromo-(7,2 kDa) (HSPCO51) de homo sapiens, transcripción variante 1, ARNm | 9,95 UP | 4,17E-04 |
| 35 | BC039369 | Homo sapiens, clon Image: 527i 073, ARNm, cds parcial | 9,76 UP | 4,82E-03 |
| | BQ934941 | AGENCOURT_881 0373 NIH_MGC 101 Homo sapiens clon de CDNA IMAGEN: 6429485 5, secuencia de mARN | 9,53 UP | 2,21 E-02 |
| | NM_006670 | Homo sapiens troptioblast glicoproteína (TPBG), ARNm | 9,37 UP | 2,37E-04 |
| 40 | BC046364 | Homo sapiens flavoproteínas MICAL3 oxidoreductasa, ARNm (ADNc hecho IMAGEN: 5737i21), con el intrón retenido aparente | 9,09 UP | 2,55E-02 |
| | NM_024600 | Homo sapiens cromosoma 16 9,09 abierta UP 4.32E-02 marco de lectura 30 (Cl6orf3O), mRNA | 9,09 UP | 4,32E-02 |
| 45 | AK023647 | ADNc Homo sapiens FLJ1 3585 fis, 8,81 UP 2.25E-03 clon Place1 009150 | 8,81 UP | 2,25E-03 |
| | NM-017805 | Homo sapiens Ras interactuar 8,78 UP 2.38E-03 proteína 1 (RASIP1), mRNA | 8,78 UP | 2,38E-03 |
| 50 | NM_152399 | Homo sapiens hipotética proteína 8,73 UP 2.18E-02 FLJ30834 (FLJ30834), mRNA | 8,73 UP | 2,18E-02 |
| 55 | NM_002851 | Homo sapiens proteína tirosina 8,61 UP 5.08E-02fosfatasa, de tipo receptor, Zpolipéptido 1 (PTPRZ1), mRNA | 8,61 UP | 5,08E-02 |
| 60 | NM_020226 | Homo sapiens PR dominio UP 8.48 1.49E-04 que contiene 8 (PRDM8), mRNA | 8,51 UP | 6,29E-03 |

ES 2 569 421 T3

| | | | | |
|----|-----------|---|------------|----------|
| 5 | NM_012307 | Homo sapiens eritrocitos 8,41 UP 7.37E-03 banda de proteína de membrana de 4,1-como 3 (EPB41L3), mRNA | 8,48 UP | 1,49E-04 |
| 10 | NM_002203 | Homo sapiens integrina alfa 2 8.3 UP 8.37E-05 (CD49B, alfa 2 de la subunidad de VLA-2 receptor) (ITGA2), mRNA | 8,41 UP | 7,37E-03 |
| 15 | NM_203370 | Homo sapiens similar a RIKEN 8,27 UP 8,21 E-05 cDNA 6530418L21 (L0C3891 19), ARNm | 8,3 UP | 8,37E-05 |
| 20 | NM_015192 | Homo sapiens fosfolipasa C, 8,26 UP 2.64E-03 beta 1 (-phosphoinositide específico) (Plcb1), variante de transcripción 1, ARNm | 8,27 UP | 8,21E-05 |
| 25 | AK056725 | ADNc Homo sapiens FLJ321 63 fis, 822 UP 1.68E-04 PLACE6000371 clon | 8,26 UP | 2,64E-03 |
| 30 | NM_005328 | Homo sapiens hialuronano sintasa 8.2 UP 4.39E-02 2 (HAS2), mRNA | 8,22 UP | 1,68E-04 |
| 35 | NM_012294 | Homo sapiens Rap guanina factor de intercambio de nucleótidos (GEF) 5 (RAPGEF5), mRNA | 8,2 UP | 4,39E-02 |
| 40 | AA_187037 | zp58e04.rl Stratagene endotelial ADNc de células sapiens Homo 937223 IMAGEN clon-0.624414 5, ARNm secuencia | 8,08 UP | 4.94E-02 |
| 45 | NM_001463 | Homo sapiens rizado relacionada proteína (FRZB), mRNA | 7.95 UP | 1.09E-02 |
| 50 | BM468332 | Agencourt 6432296 NIH_MGC71 ADNc Homo sapiens IMAGEN clon-.5535773 5, ARNm secuencia | 7,94 UP | 7.42E-05 |
| 55 | AK096661 | ADNc Homo sapiens FLJ39342 fis, clon 0CBBF2018873 | 7,82 UP | 2.30E-03 |
| 60 | NM_001849 | Homo sapiens colágeno, tipo VI, alfa 2 (COL6A2), variante de transcripción 2C2, mRNA | 7,67 UP | 1.10E-04 |
| 65 | BCO71787 | Homo sapiens clon de ADNcIMAGE: 4610527, cds parcial | 7,59 UP | 1.14E-04 |
| | NM_012105 | Homo sapiens sitio beta APP enzima de escisión de 2 (BACE2), transcripción variante a, ARNm | 7,58 UP | 2.00E-04 |

ES 2 569 421 T3

| | | | | |
|----|-----------|---|------------|-----------|
| | NM_014217 | Homo sapiens canal de potasio, subfamilia K, miembro 2 (KCNK2), ARNm | 7,58 UP | 4,61 E-02 |
| 5 | N28431 | yx35c03.rl Soares melanocito clon de ADNc Homo sapiens 2NbHM IMAGEN-0.263716 5 similar a SP: PIR: colágeno S32603 S32603 alfa 1(VI) cadena - ratón;; secuencia ARNm | 7,47 UP | 1.75E-02 |
| 10 | NM_012445 | Homo sapiens espondina 2, proteína de la matriz extracelular (SPON2), ARNm | 7,22 UP | 4.03E-02 |
| 15 | NM_000304 | Homo sapiens mielina periférica proteína 22 (PMP22), transcripción variante 1, ARNm | 7,02 UP | 4.58E-02 |
| 20 | NM_004791 | Homo sapiens integrina, como el beta-1 (Con repetir dominios similares a EGF) (ITGBL1), ARNm | 7,02 UP | 2.64E-02 |
| 25 | NM_053044 | Homo sapiens serina proteasa HTRA3 (HTRA3), ARNm | 6,86 UP | 1.13E-03 |
| 30 | BC028245 | Homo sapiens, similar a LOC1 hipotético gen 30797, IMAGEN clon: 5395354, ARNm | 6,86 UP | 1.28E-02 |
| 35 | NM_023003 | Homo sapiens transmembrana 6 miembro de la superfamilia 1 (TM6SF1), ARNm | 6,86 UP | 2.12E-03 |
| 40 | AJ420536 | Homo sapiens ARNm de longitud completa inserte cDNA clon Euroimage 994.183 | 6,79 UP | 3.53E-04 |
| 45 | NM_152996 | Homo sapiens sialiltransferasa 7 ((Alfa-N-acetylneuramínil-2,3-beta-galactosil-1, 3) -N-acetyl galactosaminida alfa-2,6-sialiltransferasa) C (SIAT7C), ARNm | 6,79 UP | 4.08E-02 |
| 50 | NM_005583 | Homo sapiens linfoblástica secuencia de la leucemia derivada 1 (LYL1), ARNm | 6,77 UP | 1.92E-02 |
| 55 | NM_016270 | Homo sapiens Kruppel como factor de 2 6,55 UP 5.02E-02 (Pulmón) (KLF2), ARNm | | |
| 60 | NM_005397 | Homo sapiens Podocalyxin-como 6,53 UP 3.68E-03 (Podxl), ARNm | | |
| 65 | NM_006182 | Homo sapiens dominio discoidina 6,52 UP 8.46E-05familia de receptores, miembro 2 (DDR2),ARNm | | |

ES 2 569 421 T3

| | | | | |
|----|-----------|--|------------|-----------|
| | U79271 | Clones humanos 23920 y 23921 6,31 UP 8.59E-05 secuencia de ARNm | | |
| 5 | BC036034 | Homo sapiens endotelial 6.3 UP 3.07E-04 diferenciación, ácido lisofosfatídico receptor, 2 G acoplados a proteínas, transcripción variante 2, ARNm (ADNc clon MGC: 33157 IMAGEN: 5272431), cds completos | | |
| 10 | NM_152314 | Homo sapiens hipotética proteína UP 6.29 2.93E-04 MGC34830 (MGC34830), ARNm | | |
| 15 | AK095791 | ADNc Homo sapiens FLJ38472 fis, 6,27 UP 1.74E-03 clon FEBRA2022148 | | |
| 20 | NM_004840 | Homo sapiens Rac1Cdc42 guanina 6,2 UP 1.32E-03 factor de intercambio de nucleótidos (GEE) 6 (ARHGEF6), ARNm | | |
| 25 | AL833655 | Homo sapiens ARNm; ADNc 6.18 UP 3,01 E-02 DKFZp6670032O (a partir del clon DKFZp66700320) | | |
| 30 | NM_032270 | Factor de homo sapiens para el adipocito 6.1 UP 6.22E-05 diferenciación 158 (FADI58), ARNm | | |
| 35 | NM_021643 | Homo sapiens tribbles homólogo 2 (Drosophila) (Trib2), ARNm | 5,97 UP | 8.59E-05 |
| 40 | AW044647 | wy78e09.x1 Soares_NSF_F8_9W_OT_PA_P_S1 ADNc de homo sapiens clon IMAGEN: 2554696 3, secuencia de ARNm | 5,94 UP | 4.09E-02 |
| 45 | AK125284 | ADNc Homo sapiens FLJ43294 fis, 5,85 UP 3.94E-03 clon MESTC1000042 | | |
| 50 | NM_005069 | Homo sapiens homólogo 2 de una sola mente (Drosophila) (SIM2), transcripción variante SIM2, ARNm | 5,84 UP | 8.35E-05 |
| 55 | NM_018836 | Homo sapiens transmembrana proteína SCHREW1 (SHREW1), ARNm | 5,83 UP | 2.71 E-02 |
| | NM_014932 | Homo sapiens neuroligina 1 (NLGN1), ARNm | 5.83 UP | 2.45E-03 |
| 60 | NM_006307 | Homo sapiens proteínas que contiene sushi repetido, vinculada al cromosoma X (SRPX), ARNm | 5.77 UP | 4.30E-04 |
| 65 | NM_000210 | Homo sapiens integrina alfa 6 (ITGA6), ARNm | 5.77 UP | 7.49E-05 |
| | BG208475 | RST27977 Athersys RAGE BibliotecaADNc Homo sapiens, secuenciaARNm | 5.72 UP | 1.46E-03 |

ES 2 569 421 T3

| | | | | |
|----|-----------|--|------------|----------|
| | N36786 | yy34e08.si Soares melanocito 5,67 UP 9.13E-05 clon de ADNc Homo sapiens 2NbHM IMAGEN: 3 a 273i58 similar contenga elemento MSRI elemento repetitivo ;, secuencia de ARNm | 5,67 UP | 9.13E-05 |
| 5 | | | | |
| 10 | NM_005308 | Homo sapiens acoplado a proteína G quinasa del receptor 5 (GRK5), ARNm | 5.58 UP | 1.35E-02 |
| | AB037722 | Homo sapiens mRNA para KIAA1 301 proteínas, cds parcial | 5.58 UP | 9.18E-04 |
| 15 | NM_012242 | Homo sapiens Dickkopf homolog 1 (<i>Xenopus laevis</i>) (DKK1), ARNm | 5.57 UP | 1.68E-04 |
| | NM_003068 | Homo sapiens caracol homólogo 2 (<i>Drosophila</i>) (SNAI2), ARNm | 5.53 UP | 7.42E-05 |
| 20 | NM_080806 | Homo sapiens colágeno, tipo XIII, 1 alfa (COL13A1), transcripción variante 10, ARNm | 5.52 UP | 8.65E-05 |
| | NM_173553 | Homo sapiens hipotética proteína FLJ25801 (FLJ25801), mRNA | 5.48 UP | 1.77E-02 |
| 25 | A1085016 | ow88e06.si Soares_fetal_liver_spleen_1 NFLS Si clon de ADNc Homo sapiens IMAGEN: 1653922 3, secuencia de ARNm | 5.45 UP | 4.77E-03 |
| 30 | NM_182728 | Homo sapiens familia de transportadores de soluto 7 (Catiónico transportador de aminoácidos, y + sistema), miembro 8 (SLC7A8), variante 2 transcripción, ARNm | 5.34 UP | 2.70E-02 |
| 35 | | | | |
| | BC035066 | Homo sapiens, clon IMAGEN: 5259543, ARNm | 5.29 UP | 2.24E-02 |
| 40 | NM_016247 | Homo sapiens interfotorreceptora matriz de proteoglicano 2 (IMPG2), ARNm | 5.22 UP | 2.97E-03 |
| 45 | NM_001704 | Homo sapiens específica del cerebro inhibidor de la angiogénesis 3 (BAI3), ARNm | 5.19 UP | 1.08E-02 |
| 50 | NM_005226 | Homo sapiens endotelial diferenciación, G esfingolípidos - receptor acoplado a proteína, 3 (EDG3), ARNm | 5.18 UP | 1.53E-04 |
| | NM_017413 | Homo sapiens apelina, AGTRL1 ligando (RSAP), ARNm | 5.14 UP | 2.48E-02 |
| 55 | NM_000576 | Homo sapiens interleucina 1, beta (IL1B), ARNm | 5.1 UP | 3.32E-03 |
| | NM_012307 | Homo sapiens eritrocitos banda de proteína de membrana de 4,1-como 3 (EPB41L3), ARNm | 5,09 UP | 4.93E-04 |
| 60 | AL831835 | Homo sapiens ARNm; ADNc DKFZp547AO515 (a partir del clon DKFZp547AO515) | 5,04 UP | 4.14E-02 |
| 65 | | | | |

ES 2 569 421 T3

| | | | | |
|----|-----------|--|----------------------|------------|
| | NM_000955 | Homo sapiens prostaglandina receptor 1 (subtipo [P1], de 42 kDa(PTGER1), ARNm | 5,02 UP | E 3.12E-03 |
| 5 | NM_018658 | Homo sapiens potasio la canal de rectificación hacia el interior, subfamilia J, miembro 16 (KCNJ16), transcripción variante 1, el ARNm | 334,17 Abajo | 8.59E-05 |
| 10 | NM_007038 | Homo sapiens una desintegrina y metaloproteasa (tipo proreolisina) con trombospondina tipo 1 con motivos, 5 (Agrecanasa-2) (ADAMTS5), ARNm | 250.9 de Abajo | 3.32E-05 |
| 15 | BG219729 | RST39494 Athersys RAGE Biblioteca ADNc Homo sapiens, secuencia ARNm | 182.25 Abajo | 6.10E-05 |
| 20 | AB032980 | Proteínas ARNm de Homo sapiens para KIAA1 154 , cds parcial | 159,9 Abajo | 7.49E-05 |
| 25 | NM_022454 | Homo sapiens SRY (región determinante del sexo Y) -BOX 17 (SOX17), ARNm | 151,72 Abajo | 3.05E-05 |
| 30 | AK130281 | ADNc Homo sapiens FLJ26771 fis, PRS03189 clon | 148,34 Abajo | 6.1 OE-05 |
| 35 | NM_003238 | Homo sapiens factor de crecimiento transformante, beta 2 (TGFB2), ARNm | 139,18 Abajo | 7.00E-05 |
| 40 | BU734212 | IU-E-CQ1-AGD-e-21-0-UI-E- ULS1 CQ1 AGD-IUE-CQ1-e-21-0- UI clon de ADNc Homo sapiens 3, secuencia de ARNm | 135,35 Abajo | 7.49E-05 |
| 45 | BM993116 | UI-H-DTO-ATY-f-1 7-0-UI.sl NCI_CGAP.DTO ADNc Homo sapiens clon IMAGE.-5866000 3, secuencia de ARNm | 134,03 Abajo | 8.59E-05 |
| 50 | BX648964 | Homo sapiens mRNA; 1.19E-04 DKFZp686J01 56 (a partir del clon DKFZp686J01 56) | 133,35 Abajo | 1.19E-04 |
| 55 | A1765021 | wh56c02.xl NCI_CGAP_Kid11 Homo sapiens clon de cDNA IMAGEN: 2384738 3, secuencia de ARNm | 131.86 Abajo | 6.22E-05 |
| 60 | D29453 | HUMNK566 epidérmico humano 128,83 abajo de queratinocitos ADNc Homo sapiens clon 566, secuencia de ARNm | 128,83 Abajo | 6.30E-05 |
| 65 | NM_002521 | Homo sapiens péptido natriurético precursor B (NPPB), ARNm | 128,09 Abajo | 1.42E-04 |
| | BX102632 | BX102632 NCI_CGAP_Co3 Homo sapiens cDNA clon IMAGP998J052307; IMAGEN-0.928228, secuencia de ARNm | 123.34 Abajo | 1.15E-04 |
| | NM_024508 | Homo sapiens dedo de zinc, BED dominio que contiene 2 (ZBED2), m ARN | 118,4 Abajo | 5.18E-05 |
| | NM_153026 | Homo sapiens cosquilleo similar 1 (Drosophila) (PRICKLE1), ARNm | 106.78 Abajo | 6.10E-05 |
| | NM_006228 | Homo sapiens prepronociceptin (PNOC), ARNm | 102,73 Abajo | 2.87E-04 |
| | NM_005560 | Homo sapiens en laminina alfa 5 (LAMA5), ARNm | 99.24 Abajo | 7.49E-05 |

ES 2 569 421 T3

| | | | | |
|----|-----------|--|-------|-----------|
| | NM_023942 | Homo sapiens hipotética proteína MGC3036 (MGC3036), mRNA | 91,38 | 6.30E-05 |
| 5 | AK096481 | ADNc Homo sapiens FLJ39162 fis, clon 0CBBF2002376 | 85.12 | 7.45E-05 |
| | AI335277 | tb29h06.xl NCICGAPKid12 Homo sapiens clon de ADNcIMAGEN: 2055803 3, secuencia de ARNm | 84,58 | 6.22E-05 |
| 10 | | | Abajo | |
| 15 | BF798098 | RC1-C10045-021 000-021-f02 CI0045 ADNc Homo sapiens, secuencia ARNm | 81,7 | 8.59E-05 |
| 20 | AK023631 | ADNc Homo sapiens FLJ1 3569 fis, clon PLACE 1008369 | 77.57 | 7.00E-05 |
| 25 | NM_000927 | Homo sapiens de unión a ATP casete, subfamilia B (MDR/TAP), 1 miembro (ABCB1), ARNm | 77,16 | 2,21 E-04 |
| 30 | BG197054 | RST16291 Athersys RAGE Biblioteca ADNc Homo sapiens, secuencia ARNm | 76.09 | 1.03E-04 |
| 35 | AK058012 | ADNc Homo sapiens FLJ25283 fis, clon STM06716 | 75,4 | 6.22E-05 |
| 40 | NM_000104 | Homo sapiens P450 citocromo, 1 familia, subfamilia B, polipéptido 1 (CYP1B1), ARNm | 70,8 | 6.24E-05 |
| 45 | NM_004617 | Homo sapiens transmembrana 4 miembro de la super familia 4 (TM4SF4), ARNm | 63,32 | 1.39E-04 |
| 50 | NM_000990 | Homo sapiens proteína ribosomal L27a (RPL27A), ARNm | 62,1 | 5.32E-05 |
| 55 | NM_002899 | Homo sapiens retinol proteína de unión a 1, celular (RBP1), ARNm | 62.01 | 2.87E-04 |
| 60 | NM_000582 | Homo sapiens secretada fosfoproteína 1 (osteopontina, hueso sialoproteína I, a principios de los linfocitos T activación 1) (SPP1), ARNm | 60.53 | 1.18E-04 |
| 65 | NM_002423 | Homo sapiens matriz de metaloproteinasa 7 (matrilisina, uterino) (MMP7), ARNm | 60.01 | 1.56E-04 |
| | H89053 | yw24c06.rl Morton fetal cóclea Homo sapiens clon de ADNc IMAGEN: 253162 5, secuencia de ARNm | 59,02 | 7.45E-05 |
| | AK090808 | ADNc Homo sapiens FLJ33489 fis, BRAMY2003585 clon | 58.15 | 7.49E-05 |
| | NM_001200 | Homo sapiens ósea morfogenética proteína 2 (BMP2), RNAm | 57.05 | 6.24E-05 |
| | NM_001453 | Caja de cabeza de horquilla sapiens Homo Cl (FOXC1), RNAm | 56.24 | 6.10E-05 |

ES 2 569 421 T3

| | | | | |
|----|-----------|---|----------------|-----------|
| | AK092245 | ADNc de homo sapiens FLJ34926 fis, clon NT2RP7003319, muy similares a Mus musculus de neuralin ARNm | 56.11 Abajo | 2.55E-04 |
| 5 | NM_005329 | Homo sapiens hialuronano sintasa 3 (HAS3), variante de transcripción 1, ARNm | 55,44 Abajo | 7.22E-05 |
| 10 | A1244954 | qj93h05.xl NCI_CGAP_Kid3 Homo clon de ADNc sapiensIMAGEN: 1867065 3, secuencia de ARNm | 54.38 Abajo | 6.22E-05 |
| 15 | NM_003287 | Proteína tumoral de homo sapiens D52- tipo 1 (TPD52L1), variante de transcripción 1, ARNm | 53.91 Abajo | 7.45E-05 |
| 20 | BF696790 | 602125323F1 NIH_MGC 56 Homo sapiens clon de ADNc IMAGEN: 4282540 5, secuencia de ARNm | 49.46 Abajo | 1.09E-04 |
| 25 | NM_001202 | Proteína 4 ósea morfogenética de Homo sapiens (BMP4), variante de transcripción 1, el ARNm | 47.81 Abajo | 8,21 E-05 |
| 30 | BC042028 | Homo sapiens, clon IMAGEN: 4794726, ARNm | 47.5 Abajo | 7.49E-05 |
| 35 | AL833276 | Homo sapiens ARNm; ADNc DKFZp451D088 (a partir del clon DKFZp451D088) | 43.28 Abajo | 7.28E-05 |
| 40 | NM_184087 | Homo sapiens tripartita motif- que contiene 55 (TRIM55), transcripción variante 4, RNAm | 42,9 Abajo | 7.42E-05 |
| 45 | NM_003494 | Homo sapiens disferlina, la integridad física cintura hacia muscular, distrofia 2B (autosómico recesivo) (DYSF), RNAm | 42,2 Abajo | 7,31 E-05 |
| 50 | NM_024422 | Homo sapiens desmocolina 2 (DSC2), transcripción variante Dsc2a, ARNm | 41.3 Abajo | 1.96E-04 |
| 55 | AI249696 | qj64a03.xl NCI_CGAP_Kid3 clon de ADNc de Homo sapiens IMAGEN-.1864204 3, secuencia de ARNm | 41,1 Abajo | 1.50E-04 |
| 60 | AL833166 | ARNm de Homo sapiens; ADNc DKFZp686I2118 (a partir del clon DKFZp686I2118) | 39.95 Abajo | 1.89E-04 |
| 65 | NM_173505 | Anquirina de homo sapiens de repetición de dominio 29 (ANKRD29), ARNm | 39.16 Abajo | 9.13E-05 |
| | NM_130435 | Homo sapiens de proteína tirosina fosfatasa, de tipo receptor, E (PTPRE), variante de transcripción 2, ARNm | 39.16 Abajo | 2.54E-04 |

ES 2 569 421 T3

| | | | | |
|----|-----------|---|-------|-----------|
| | NM_016356 | Homo sapiens dominio doble cortina que contiene 2 (DCDC2), ARNm | 38.33 | 2.10E-04 |
| 5 | AF318382 | ARNm Homo sapiens pp9974, cds completos | 38.03 | 8.59E-05 |
| | NM_018265 | Homo sapiens hipotética proteína FLJ1O9O1 (FLJ1O9O1), ARNm | 37.23 | 1.50E-04 |
| 10 | NM-152487 | Proteína hipotética de homo sapiens FLJ31 842 (FLJ31842), ARNm | 37 | 1.56E-04 |
| | AK000075 | ADNc Homo sapiens FLJ20068 fis, clonar COL01755 | 35.55 | 2.21E-04 |
| 15 | NM_012464 | Homo sapiens tipo tolloid 1 (TLL1), ARNm | 35.05 | 2.09E-03 |
| | NM_184087 | Homo sapiens tripartita motif- que contiene 55 (TRIM55), transcripción variante 4, ARNm | 34.38 | 7.49E-05 |
| 20 | BU680661 | UI-CF-DU1-aaz-f-04-0-Tji si UI-CF- DU1 clon ADNc Homo sapiens UI-CF-DU1-aaz-f-04-0-Tji 3, secuencia ARNm | 34.34 | 6.22E-05 |
| 25 | BF431030 | 7o18c06.xi NCI_CGAP_Kid11 Homo sapiens clon de ADNc IMAGEN: 3574283 3, secuencia de ARNm | 34.25 | 1.86E-04 |
| 30 | NM_006722 | Homo sapiens factor de transcripción asociado de microphthalmia (MITF), variante de transcripción 3, ARNm | 34.23 | 6.30E-05 |
| 35 | NM_152284 | Homo sapiens Snf7 homólogo asociado con Alix 3 (Shax3), ARNm | 33.99 | 7,71 E-05 |
| 40 | BC037316 | Homo sapiens, clon IMAGEN: 5259432, ARNm | 33.46 | 2.03E-04 |
| | NM_002345 | Homo sapiens lumican (LUM), ARNm | 33.34 | 8.46E-05 |
| 45 | NM_080743 | Homo sapiens serina-arginina proteína represora (35 kDa) (SRrp35), ARNm | 32,96 | 5.23E-05 |
| 50 | NM_004221 | Homo sapiens células asesinas naturales transcripción 4 (NK4), ARNm | 32.74 | 1.45E-04 |
| | NM_004496 | Caja de cabeza de horquilla de homo sapiens A1 (FOXA1), ARNm | 32.31 | 2.57E-04 |
| 55 | AA738254 | xI3bO2.si NCI CGAP GC3 Homo sapiens clon de ADNc IMAGEN: 1255947 3, secuencia de ARNm | 32,23 | 6.10E-05 |
| 60 | BC045828 | Homo sapiens proteínas dedo de zinc 608, ARNm (clon de ADNc IMAGEN: 5262896), cds parcial | 32,18 | 7.49E-05 |
| 65 | | | | |

ES 2 569 421 T3

| | | | | |
|----|-----------|---|----------------|-----------|
| 5 | NM_000599 | Homo sapiens crecimiento similar a la insulina proteína de factor de unión 5 (IGFBP5), ARNm | 32,18 Abajo | 9,81 E-05 |
| 10 | AF055376 | Homo sapiens de forma corta factor de transcripción C-MAF (c-maf) ARNm, cds completos | 31,81 Abajo | 2,01 E-04 |
| 15 | NM_015236 | Homo sapiens latrophilin 3 (LPHN3), ARNm | 31.68 Abajo | 9.69E-05 |
| 20 | NM_007069 | Homo sapiens HRAS similar a supresor de 3 (HRASLS3), ARNm | 31.67 Abajo | 7.49E-05 |
| 25 | BG221364 | RST41175 Athersys RAGE Biblioteca ADNc Homo sapiens, secuencia ARNm | 31.63 Abajo | 2.22E-04 |
| 30 | AI819186 | wj32dI0.xl NCI_CGAP_Kid12 Homo sapiens clon de ADNc IMAGEN: 2404531 3, secuencia de ARNm | 31.49 Abajo | 1.80E-04 |
| 35 | BF512544 | UI-H-BW1-amf-c-08-0-UI.s1 NCI_CGAP_Sub7 Homo sapiens cDNA clon IMAGEN: 3069687 3, secuencia de ARNm | 30,8 Abajo | 7.49E-05 |
| 40 | NM_020873 | Homo sapiens repeticiones ricas en leucina neuronal 1 (LRRNI), ARNm | 30.67 Abajo | 2,01 E-04 |
| 45 | CA425961 | UI-H-FE1-beg-p-18-0-UI.s1 NCI_CGAP_FE1 Homo sapiens clon de ADNc IU-H-FE1-beg-p-18-0-UI 3, secuencia de ARNm | 30.15 Abajo | 1.88E-04 |
| 50 | AK000776 | ADNc Homo sapiens FLJ20769 fis, clon C0L06674 | 30.11 Abajo | 1.15E-04 |
| 55 | NM_001562 | Homo sapiens interleucina 18 (Factor de interferón-gamma-inducir) (IL18), ARNm | 29.97 Abajo | 7.65E-04 |
| 60 | NM_014333 | Homo sapiens immurioglobulin superfamilia, miembro 4 (IGSF4), ARNm | 29,77 Abajo | 5.82E-04 |
| 65 | NM_030583 | Homo sapiens matrilin 2 (MATN2), variante 2 transcripción, el ARNm | 29.05 Abajo | 8.46E-05 |
| | W93585 | zd95g01.sl Soares fetal heart_NbHH1 9W Homo sapiens clon de ADNc IMAGEN: 357264 3, secuencia de ARNm | 28.93 Abajo | 6.22E-05 |
| | NM_012198 | Homo sapiens grancalcin, EF-mano hacia abajo proteína de unión de calcio (GCA), ARNm | 28.84 Abajo | 9.13E-05 |
| | NM_001448 | Homo sapiens glipicano 4 (GPC4), ARNm | 28,72 Abajo | 6.36E-04 |
| | AK056882 | ADNc Homo sapiens FLJ32320 fis, clon PROST2003537 | 28,6 Abajo | 4.45E-04 |
| | AB033048 | Homo sapiens m ARN para KIAA1 222 proteínas, cds parcial | 28,27 Abajo | 2,41 E-04 |

ES 2 569 421 T3

| | | | | |
|----|-----------|--|----------------|-----------|
| | NM_025074 | Homo sapiens síndrome de Fraser 1 (ERAS 1), transcripción variante 1 ARNm | 28.13 Abajo | 8.92E-05 |
| 5 | NM_019000 | Homo sapiens hipotética proteína FLJ20152 (FLJ20152), ARNm | 27.54 Abajo | 1.07E-04 |
| 10 | BU729783 | IU-E-CK-1 -afh-h-18-0-UI.s1 UI-E-CK1 ADNc Homo sapiens UI- clon E-CK1-AFH-h-18-0-UI 3, secuencia ARNm | 26.13 Abajo | 6.30E-05 |
| 15 | NM_004862 | Homo sapiens lipopolisacarida- inducida por factor de TNF (LITAF), ARNm | 25.95 Abajo | 8.99E-05 |
| 20 | AB011539 | Proteínas de homo sapiens ARNm para MEGF6 (KIAAO815), cds parcial | 25.67 Abajo | 3.12E-04 |
| 25 | BC043195 | ADNc Homo sapiens clon IMAGE: 5288757, cds parcial | 25.58 Abajo | 2.22E-04 |
| 30 | NM_152864 | Homo sapiens cromosoma 20 marco de lectura abierta 58 (C200rf58), ARNm | 25.35 Abajo | 3.00E-04 |
| 35 | AK125608 | ADNc Homo sapiens FLJ43620 fis, clon SPLEN2O21 701, altamente similar a HLA de Clase I HISTOCOMPATIBILIDAD antígeno, A-2 CADENA DE PRECURSORES ALFA | 25.33 Abajo | 2.03E-04 |
| 40 | AL080103 | ARNm de homo sapiens; ADNc DKFZp564N2216 (a partir del clon DKFZp564N2216) | 25.17 Abajo | 2.03E-04 |
| 45 | NM_173549 | Proteína hipotética Homo sapiens FLJ39553 (FLJ39553), ARNm | 24,71 Abajo | 1.67E-04 |
| 50 | BG211832 | RST31404 Athersys RAGE Biblioteca ADNc Homo sapiens, secuencia ARNm | 24.57 Abajo | 1.02E-04 |
| 55 | NM_024726 | Homo sapiens motivo CI contiene con dominio AAA (CICA), ARNm | 24,08 Abajo | 7.49E-05 |
| 60 | NM_002559 | Homo sapiens receptores purinérgicos P2X, canal iónico regulado por ligando, 3 (P2RX3), ARNm | 24.04 Abajo | 2.63E-04 |
| 65 | NM_018168 | Homo sapiens cromosoma 14 marco de lectura abierto 105 (C14orf105), ARNm | 23.69 Abajo | 1.50E-04 |
| | NM_000599 | Homo sapiens crecimiento similar a la insulina proteína de factor de unión 5 (IGFBP5), ARNm | 23,5 Abajo | 4.02E-04 |
| | NM_003551 | Homo sapiens células no metastásicas 5, la proteína expresada en (nucleósidos difosfato quinasa) (NM E5), ARNm | 23.23 Abajo | 1,41 E-04 |

ES 2 569 421 T3

| | | | | |
|----|-----------|--|----------------|-----------|
| | NM_032471 | Homo sapiens proteína quinasa (Catalítica dependiente de cAMP) inhibidor beta (PKIB), variante de transcripción 3, ARNm | 22.83 Abajo | 1.54E-04 |
| 5 | | | | |
| 10 | NM_005949 | Homo sapiens metallotioneina 1F (Funcional) (MT1 F), ARNm | 22,22 Abajo | 8,81 E-05 |
| | NM_018242 | Proteína hipotética de homo sapiens FLJ10847 (FLJ10847), ARNm | 22,1 Abajo | 2.03E-04 |
| 15 | AW151660 | xf67d04.xl NCI_CGAP_Gas4 Homo sapiens clon de ADNcIMAGEN: 2623111 3, secuencia de ARNm | 21.81 Abajo | 2,71E-04 |
| | | | | |
| 20 | AK096975 | ADNc Homo sapiens FLJ39656 fis clon SM1NT2005956 | 21.78 Abajo | 2.52E-04 |
| | CA306881 | UI-H-FT1-bht-n-22-0-UI.sl NCI_CGAP_FT1 Homo sapiens clon de ADNc IU-H-FT1-BHT-n-22-0-UI 3, secuencia de ARNm | 21.69 Abajo | 1.30E-04 |
| 25 | | | | |
| | NM_016212 | Proteína Homo sapiens TP53TG3 (TP53TG3), ARNm | 21.67 Abajo | 9.03E-05 |
| 30 | NM_178470 | Homo sapiens WD dominio de repetición 40B (WDR4OB), ARNm | 21,63 Abajo | 7.59E-05 |
| | NM_014243 | Homo sapiens una desintegrina y metaloproteasa (tipo proreolisina) con el tipo de trombospondina 1 motivo, 3 (ADAMTS3), ARNm | 21,47 Abajo | 8.24E-05 |
| 35 | | | | |
| | AK126467 | ADNc Homo sapiens FLJ44503 fis, clon UTERU3001158 | 21.42 Abajo | 6.22E-05 |
| 40 | AW248516 | 2820632.3prime NIH_MGC_7 Homo sapiens clon de cDNA IMAGEN: 2820632 3, secuencia de ARNm | 21.37 Abajo | 1.23E-04 |
| | | | | |
| 45 | NM_001263 | Homo sapiens sintasa de CDP-diacilglicerol (fosfatidato citidiltransferasa) 1 (CDS1), ARNm | 21.12 Abajo | 1.10E-04 |
| | BM669002 | IU-E-CK1-afn-m-04-0-UI.s2 IU-E-CK1 ADNc clon homo sapiens UI-E-CK1-AFN-m-04-0-UI 3, secuencia de ARNm | 20,96 Abajo | 7.28E-05 |
| 50 | NM_000170 | Homo sapiens glicina deshidrogenasa (descarboxilación; descarboxilasa glicina, la escisión de glicina proteína del sistema P) (GLDC), ARNm | 20,78 Abajo | 1.19E-04 |
| | | | | |
| 55 | NM_014585 | Homo sapiens familia de soluto transportista 40 (transportador regulado por hierro), 1 miembro (SLC4OA1), ARNm | 20.73 Abajo | 8.46E-05 |
| | | | | |
| 60 | NM_031426 | Homo sapiens cromosoma 9 marco de lectura abierto 58 (C9orf58), variante transcripción 1, ARNm | 20.62 Abajo | 2.00E-04 |
| | BM728728 | IU-E-E01-AIV-c-02-0-UI.rl UI-E-E01 Homo sapiens clon de ADNc UI-E- | 20,59 Abajo | 1.14E-04 |

ES 2 569 421 T3

| | | | | |
|----|------------|--|----------------|-----------|
| | NM_152369 | Proteína hipotética de homo sapiens MGC45474 (MGC45474), ARNm | 20,57 Abajo | 9.78E-05 |
| 5 | NM-1175056 | Proteína hipotética de homo sapiens LOC131 368 (LOC1 31368), ARNm | 20,51 Abajo | 5.42E-04 |
| 10 | NM_004524 | Homo sapiens larvas gigante letal homólogo 2 (Drosophila) (LLGL2), ARNm | 20,3 Abajo | 7.45E-05 |
| 15 | AI436290 | th8lcOl.xl SoaresNhHMPuSI Homo sapiens clon de ADNcIMAGEN: 2125056 3, secuencia de ARNm | 19.93 Abajo | 1.23E-04 |
| 20 | AW268540 | xv5lelO.xl NCIGAP_Lu28 Homo clon de ADNc sapiens IMAGEN: 2816682 3, secuencia de ARNm | 19.89 Abajo | 1.09E-04 |
| 25 | BC015159 | Homo sapiens clon de ADNc IMAGE: 3885734, cds parcial | 19.47 Abajo | 7.49E-05 |
| 30 | NM_020130 | Homo sapiens cromosoma 8 marco de lectura abierto 4 (C8orf4), ARNm | 19,43 Abajo | 2.83E-04 |
| 35 | BM979825 | UI-CF-DU1-adt-f-12-0-UL.sl IU-CF-DU1 ADNc Homo sapiens clon UI-CF-DU1-ADT-f-1 2-0 3-UI, secuencia ARNm | 19.41 Abajo | 1,01 E-04 |
| 40 | BM712072 | UI-E-DW1-ahc-b-11-0- UI.rl IU-E-DW1 ADNc Homo sapiens UI- clon-E-DW1-AHC-b-1 I-O-UI 5, secuencia ARNm | 19.33 Abajo | 1.19E-04 |
| 45 | CB135276 | K-EST0187371 L5HLK1 Homo sapiens cDNA clon L5HLK1-32-B12 5, secuencia de ARNm | 18.98 Abajo | 8.97E-05 |
| 50 | T53523 | ya89h12.ri placenta Stratagene (# 937225) ADNc Homo sapiens IMAGEN clon: 68903 5, secuencia ARNm | 18.87 Abajo | 1.96E-04 |
| 55 | NM_138432 | Homo sapiens serina dehydratasa (SDSL), ARNm | 18.84 Abajo | 1.32E-04 |
| 60 | NM_023915 | Homo sapiens acoplados a proteínas G receptor 87 (GPR87), mRNA | 18.74 Abajo | 2.72E-04 |
| 65 | NM_017549 | Homo sapiens aumentada en gen del cáncer colorrectal 1 (UCC1), ARNm | 18.73 Abajo | 8.83E-05 |
| | BG436244 | 602508665F1 NIH_MGC_79 Homo sapiens clon de ADNc IMAGEN: 4605617 5, secuencia de ARNm | 18,7 Abajo | 1.49E-04 |
| | NM_024901 | Homo sapiens hipotética proteína FLJ22457 (FLJ22457), ARNm | 18.68 Abajo | 1.35E-04 |
| | NM_005712 | Homo sapiens HERV-H LTR- asociado 1 (HHLA1), ARNm | 18.63 Abajo | 1.08E-04 |
| | NM_198488 | Proteína FLJ46072 Homo sapiens (FLJ46072), ARNm | 18.58 Abajo | 7.49E-05 |

ES 2 569 421 T3

| | | | | |
|----|-----------|---|----------------|-----------|
| 5 | NM_020349 | Homo sapiens repetición de anquirina dominio 2 (músculo sensible estirado) (ANKRD2), ARNm | 18.49 Abajo | 2.00E-04 |
| 10 | NM_002148 | Homo sapiens homeobox D10 (HOXD10), ARNm | 18.41 Abajo | 3.05E-05 |
| 10 | N78460 | yz76h06.rl Soares_multiple_sclerosis_2NbHMS P ADNc Homo sapiens clon IMAGE: 289019 5, secuencia de ARNm | 18,4 Abajo | 4.02E-04 |
| 15 | NM_006598 | Homo sapiens soluto transportista familia 12 (potasio / transportadores de cloruro), miembro de 7 (SLC12A7), ARNm | 18.13 Abajo | 8.59E-05 |
| 20 | BF431041 | nab31g02.x1 Soares_NSF_F8_9W_OT_PA_P_S1 ADNc Homo sapiens clon IMAGEN: 3267627 3, secuencia de ARNm | 18.11 Abajo | 6.10E-05 |
| 25 | AK126467 | ADNc Homo sapiens FLJ44503 fis, clon UTERU3001158 | 17.84 Abajo | 1,31 E-04 |
| 30 | NM_182487 | Homo sapiens olfactomedina 2A (OLFML2A), ARNm | 17.77 Abajo | 1.06E-04 |
| 30 | AK058012 | ADNc Homo sapiens FLJ25283 fis, clon STM06716 | 17,76 Abajo | 8.82E-05 |
| 35 | NM_001252 | Homo sapiens factor de tumor necrosis (ligando) superfamilia, miembro 7 (TNFSF7), ARNm | 17.71 Abajo | 2.46E-04 |
| 35 | NM_006252 | Homo sapiens de proteína quinasa, AMP activado, alfa 2 de la subunidad catalítica (PRKAA2), ARNm | 17,63 Abajo | 6.57E-04 |
| 40 | NM_030899 | Homo sapiens proteína dedo de zinc 323 (ZNF323), ARNm | 17,62 Abajo | 1.77E-04 |
| 45 | NM_006722 | Homo sapiens factor asociado de transcripción de microftalmia (MITF), variante de transcripción 3, ARNm | 17.53 Abajo | 1,61E-04 |
| 45 | AK056431 | ADNc Homo sapiens FLJ31 869 fis, clon NT2RP7002151 | 17.29 Abajo | 8.46E-05 |
| 50 | BM719937 | UI-E-EJ0-ahu-a-10-0-UI.r1 UI-E-EJ0 Homo sapiens clon de ADNc UI-E- EJ0-ahu-a-10-0-UI 5, secuencia de ARNm | 17.11 Abajo | 4.37E-05 |
| 55 | NM_005855 | Receptor de Homo sapiens (calcitonina) proteína de modificar la actividad 1 (RAMP1), ARNm | 16,97 Abajo | 1.56E-04 |
| 60 | AK124873 | ADNc Homo sapiens FLJ42883 fis, BRH1P3006683 clon | 16,87 Abajo | 3.99E-04 |
| 60 | NM_001977 | Homo sapiens glutamil aminopeptidasa (aminopeptidasa A) (ENPEP), ARNm | 16,61 Abajo | 6.12E-04 |
| 65 | AK074181 | Homo sapiens proteína para FLJ00254 ARNm | 16.54 Abajo | 6.10E-05 |

ES 2 569 421 T3

| | | | | |
|----|-----------|--|----------------|-----------|
| | NM_000557 | Homo sapiens factor de diferenciación del crecimiento 5 (proteína morfogenética derivada de cartílago-1) (GDF5), ARNm | 16,47 Abajo | 1.49E-04 |
| 5 | | | | |
| 10 | AK026966 | ADNc Homo sapiens: fis FLJ2331 3, clon HEP11919 | 16.36 Abajo | 8.92E-05 |
| | BX113319 | BX113319 NCI_CGAP_Gas4 Homo clon de ADNc sapiens IMAGp998G205398; IMAGE:2184619, secuencia de ARNm | 16.19 Abajo | 6.30E-05 |
| 15 | AK055362 | ADNc Homo sapiens FLJ30800 fis, clon FEBRA2001197 | 16.02 Abajo | 3.05E-05 |
| 20 | NM_021102 | Homo sapiens inhibidor de serina proteasa, tipo de Kunitz, 2 (SPINT2), ARNm | 15.94 Abajo | 2,71E-04 |
| | NM_002354 | Homo sapiens señal de calcio asociada a tumores de transductor 1 (TACSTD1), ARNm | 15.93 Abajo | 9.13E-05 |
| 25 | B0003401 | UI-H-Ell-azd-j-23-0-UI.sl NCI_CGAP_E11 ADNc Homo sapiens clon IMAGEN: 5847286 3, secuencia de ARNm | 15.78 Abajo | 6.30E-05 |
| | NM_033641 | Homo sapiens colágeno tipo IV, alfa 6 (COL4A6), transcripción de la variante B, el ARNm | 15,77 Abajo | 5.35E-05 |
| 30 | N38753 | yy42dOlsI Soares melanocito 2NbHM ADNc Homo sapiens clon IMAGEN: 273889 3, secuencia de ARNm | 15.77 Abajo | 3.67E-05 |
| 35 | A1420213 | te92g09.xl NCI_CGAP_Pr28 Homo sapiens clon de cDNA IMAGEN: 2094208 3, secuencia de ARNm | 15,7 Abajo | 2.35E-04 |
| 40 | AK095776 | ADNc Homo sapiens FLJ38457 fis, clon FEBRA2O2O400 | 15.48 Abajo | 3.04E-04 |
| | NM-006378 | Homo sapiens dominio sema, dominio de inmunoglobulina (Ig), dominio transmembrana (TM) y el dominio citoplásmico corto, (semaforina) 4D (SEMA4D), ARNm | 15.33 Abajo | 6.10E-05 |
| 45 | | | | |
| 50 | AK021801 | ADNc Homo sapiens FLJ11739f1s, clon HEMBA1 005.497 ARNm | 15.33 Abajo | 1.38E-04 |
| | BX538226 | ARNm Homo sapiens; ADNc DKFZp686E1944 (del clon DKFZp686E1944) | 15.23 Abajo | 2.37E-04 |
| 55 | NM_001847 | Homo sapiens colágeno, tipo IV, alfa 6 (COL4A6), transcripción variante A, ARNm | 15.22 Abajo | 7.42E-05 |
| 60 | NM_017640 | Homo sapiens repeticiones ricas en que contiene 16 (LRRC16), ARNm | 15.21 Abajo | 6.39E-05 |
| | NM_007072 | Homo sapiens HERV-LTR H asociando 2 (HHLA2), ARNm | 15.04 Abajo | 1.06E-04 |
| | NM_052947 | Homo sapiens alfa-quinasa corazón (HAK), ARNm | 14.96 Abajo | 2.23E-04 |
| 65 | NM_005139 | Homo sapiens A3 anexina (ANXA3), ARNm | 14.95 Abajo | 6,71 E-05 |

ES 2 569 421 T3

| | | | | |
|----|-----------|---|----------------|-----------|
| 5 | N63415 | yy60dO4.si Soares_multiple_sclerosis_2NbHMS P Homo sapiens clon ADNc IMAGEN: 277927 3 a similar contenga L1.b3 Li elemento repetitivo; secuencia ARNm | 14.79 Abajo | 2.23E-05 |
| 10 | BC052289 | Homo sapiens A4 carboxipeptidasa, ARNm (cDNA clon MGC: 59749 IMAGEN: 6106874), cds completo | 14.76 Abajo | 7.22E-05 |
| 15 | NM_153715 | Homeo box Homo sapiens A10 (HOXA1O), variante de transcripción 2, ARNm | 14.76 Abajo | 8.35E-05 |
| 20 | NM_014936 | Homo sapiens ectonucleotida pirofosfatasa / fosfodiesterase 4 (función putativa) (ENPP4),ARNm | 14.67 Abajo | 8.19E-04 |
| 25 | NM_021192 | Homo sapiens caja homeo D11 (HOXD11), ARNm | 14.41 Abajo | 4.53E-04 |
| 30 | BX118238 | BX118238 NCI_CGAP_Kid3 Homo sapiens clon de ADNc IMAGP998L153800; IMAGEN: 1501598, secuencia de ARNm | 14.44 Abajo | 5.07E-04 |
| 35 | NM_024969 | Homo sapiens proteína apoptosis inducida por TGF-beta 2 (TAIP-2), ARNm | 14.11 Abajo | 1.57E-04 |
| 40 | AK125490 | ADNc Homo sapiens FLJ43501 fis, clon PEBLM2004497 | 14,06 Abajo | 9,71 E-04 |
| 45 | R99527 | yq79bl1.s1 Soares bazo hígado fetal 1 clon de ADNc Homo sapiens 1NFLS IMAGE:201981 3, secuencia de ARNm | 13.98 Abajo | 8.39E-04 |
| 50 | NM_001873 | Homo sapiens carboxipeptidasa E (CPE), el ARNm | 13,91 Abajo | 9.16E-05 |
| 55 | NM_003761 | Homo sapiens asociada a vesículas proteína de membrana 8 (endobrevin) (VAMPS), ARNm | 13.87 Abajo | 3.12E-04 |
| 60 | NM_020808 | Homo sapiens proliferación asociada inducida por la señal 1 como 2 (SIPA1L2), ARNm | 13.84 Abajo | 5.47E-04 |
| 65 | NM_152573 | Homo sapiens RAS y EF mano dominio que contiene (RASEF), ARNm | 13,82 Abajo | 5.13E-04 |
| | NM_032866 | Homo sapiens Cingulin 1 similar a (CGNL1), ARNm | 13.78 Abajo | 6.30E-05 |
| | BU740051 | UI-E-EO0-ahw-n-18-0 1-UI.s UI-E- clon de ADNc Homo sapiens EO0 UI- E-EO0-ahw-n-18-0 3-UI, secuencia de ARNm | 13.74 Abajo | 4.63E-04 |

ES 2 569 421 T3

| | | | | |
|-----------|---|--|----------------|-----------|
| 5 | NM_198389 | Células pulmonares de tipo I de homo sapiens de glicoproteína asociadas a la membrana (T1A-2), variante de transcripción 2, ARNm | 13,71 Abajo | 3.62E-04 |
| 10 | CA777268 | ip05d09.yl HR85 islote Homo sapiens clon de ADNc IMAGEN: 6134849 5, secuencia de ARNm | 13,63 Abajo | 1.39E-04 |
| 15 | H00617 | yj25f02.sl Soares placenta Nb2HP Homo sapiens clon de ADNc IMAGEN: 149787 3, secuencia de ARNm | 13.45 Abajo | 3.33E-04 |
| 20 | NM_024898 | Homo sapiens familia con la similitud de secuencia 31, miembro de C (FAM31C), ARNm | 13.39 Abajo | 2.17E-03 |
| 25 | NM_000094 | Homo sapiens colágeno, tipo VII, bullosa alfa 1 (epidermólisis, distrófica, dominante y recesivo) (COL7A1), ARNm | 13.3 Abajo | 4.93E-04 |
| 30 | NM_002837 | Homo sapiens proteína tirosina fosfatasa, de tipo receptor, B(PTPRB), ARNm | 13.25 Abajo | 6.84E-04 |
| 35 | NM_018728 | Homo sapiens miosina VC (MYO5C), ARNm | 13.15 Abajo | 1.64E-04 |
| 40 | NM_018659 | Homo sapiens citoquinas proteína similar a C17 (C17), ARNm | 13.11 Abajo | 1.45E-04 |
| 45 | AL834140 | ARNm sapiens Homo; ADNc DKFZp434A2029 (a partir del clon DKFZp434A2029) | 13.08 Abajo | 9.99E-05 |
| 50 | BX103476 | BX103476 NCI_CGAP_Lu5 Homo sapiens clon de ADNc 1MAGp998C053946; IMAGEN: 1557436, secuencia de ARNm | 13.02 Abajo | 1,71 E-04 |
| 55 | BG545305 | 602572521F1 NIH_MGC_77 Homo sapiens clon de ADNc IMAGEN: 4700644 5, secuencia de ARNm | 12,86 Abajo | 6.30E-05 |
| 60 | BX647876 | ARNm sapiens Homo; ADNc DKFZp313A1 525 (a partir del clon DKFZp313A1 525) | 12.83 | 7.95E-05 |
| 65 | NM_030949 | Proteína fosfatasa 1 de homo sapiens, reguladora (inhibidor) 14C subunidad (PPP1R14C), ARNm | 12,82 Abajo | 3.35E-04 |
| NM_024423 | Homo sapiens desmocolina 3 (DSC3), transcripción variante Dsc3b, ARNm | 12,81 Abajo | 7,71 E-05 | |
| NM_014452 | Homo sapiens tumor necrosis factor receptor de superfamilia, el miembro 21 (TNFRSF21), ARNm | 12,8 Abajo | 2.20E-04 | |

ES 2 569 421 T3

| | | | | |
|----|-----------|---|----------------|----------|
| | NM_002246 | Homo sapiens canal de potasio, subfamilia K, miembro 3 (KCNK3), ARNm | 12.76 Abajo | 7.59E-05 |
| 5 | NM_002427 | Homo sapiens matriz de metaloproteinasa 13 (colagenasa 3) (MMP13), ARNm | 12.65 Abajo | 4.08E-04 |
| 10 | NM_003328 | Homo sapiens TXK tirosina quinasa (TXK), ARNm | 12.61 Abajo | 2.45E-04 |
| 15 | NM_014422 | Homo sapiens fosfatidilinositol (4,5) bisfosfato 5-fosfatasa, A (PIB5PA), variante de transcripción 1, ARNm | 12.48 Abajo | 8.97E-05 |
| 20 | NM_014333 | Homo sapiens inmunoglobulina superfamilia, miembro 4 (IGSF4), ARNm | 12.4 Abajo | 1.04E-04 |
| 25 | AA888443 | nw74fl0.s1 NCI_CGAP_Pr12 Homo sapiens clon de ADNc IMAGEN: 1252363, secuencia de ARNm | 12.37 Abajo | 3.96E-04 |
| 30 | NM_019102 | Homo sapiens Homeobox A5 (HOXA5), ARNm | 12.33 Abajo | 7.59E-05 |
| 35 | NM_016463 | Homo sapiens CXXC dedo 5 (CXXC5), ARNm | 12.32 Abajo | 1.96E-04 |
| 40 | NM_004572 | Homo sapiens placofilina 2 (PKP2), variante de transcripción 2b, ARNm | 12.28 Abajo | 4.15E-04 |
| 45 | N25875 | yw78d12.sl Soares_placenta_8to9weeks_2NbH clon de ADNc Homo sapiens P8to9W IMAGEN:258359 3, secuencia de ARNm | 12.27 Abajo | 1.02E-04 |
| 50 | NM_152694 | Homo sapiens dedo de zinc, CCHC dominio que contiene 5 (ZCCHC5), ARNm | 12.22 Abajo | 3.38E-04 |
| 55 | NM_021012 | Homo sapiens canal de rectificación hacia el interior de potasio, subfamilia J, elemento 12 (KCNJ12), ARNm | 12.22 Abajo | 9.23E-04 |
| 60 | NM_017671 | Homo sapiens de cromosoma 20 marco de lectura abierto 42 (C200rf42), ARNm | 12.21 Abajo | 1.06E-04 |
| 65 | NM_002031 | Homo sapiens de quinasa relacionada con fin-(FRK), ARNm | 12.11 Abajo | 2.14E-04 |
| | BM976385 | UI-CF-ENI-acz-f-03-0-UI.sl UI-CF-EN1 ADNc Homo sapiens clon UI-CF-EN1-acz-f-03-0-UI 3, secuencia de ARNm | 12.02 Abajo | 8.11E-04 |
| | NM_005296 | Homo sapiens acoplados a proteínas G receptor 23 (GPR23), ARNm | 11.98 Abajo | 1.50E-04 |

ES 2 569 421 T3

| | | | | |
|----|-----------|--|----------------|----------|
| | NM_000817 | Homo sapiens glutamato descarboxilasa 1 (cerebro, 67 kDa) (Cárcel), variante de transcripción GAD67, ARNm | 11.92 Abajo | 6.22E-05 |
| 5 | A1220066 | qg84d01.x1 SoaresNFL_T_GBC_S1 Homo sapiens clon de ADNc IMAGEN: 1841857 3, secuencia de ARNm | 11.88 Abajo | 1.09E-04 |
| 10 | NM_005737 | Homo sapiens ADP-ribosilación similar al factor de 7 (ARL7), ARNm | 11.83 Abajo | 1.58E-04 |
| 15 | NM_000147 | Homo sapiens fucosidase, alfa-L-1, el tejido (FUCA1), ARNm | 11.82 Abajo | 1.74E-03 |
| 20 | AK127437 | ADNc Homo sapiens FLJ45529 fis, clon BRTHA2027546 | 11.82 Abajo | 1.68E-04 |
| 25 | NM_178033 | Homo sapiens citocromo P450, familia 4, subfamilia X, polipéptido 1 (CYP4X1), ARNm | 11.81 Abajo | 2.10E-04 |
| 30 | NM-173567 | Homo sapiens dominio de abhidrolasa que contiene 7 (ABHD7), ARNm | 11.76 Abajo | 1.75E-04 |
| 35 | AL049974 | ARNm Homo sapiens; cDNA DKFZp564B222 (a partir del clon DKFZp564B222) | 11.74 Abajo | 5.82E-04 |
| 40 | NM_000519 | Homo sapiens hemoglobina, delta (HBD), ARNm | 11.7 Abajo | 9.70E-04 |
| 45 | AL359567 | ARNm Homo sapiens; ADNc DKFZp547DO23 (a partir del clon DKFZp547DO23) | 11.66 Abajo | 3.95E-04 |
| 50 | BF510493 | UI-H-B14-apa-b-08-0-UI.sl NCI_CGAPSub8 ADNc Homo sapiens clon IMAGEN: 3086558 3, secuencia de ARNm | 11.66 Abajo | 6.30E-05 |
| 55 | NM_000961 | Homo sapiens prostaglandina 12 (prostaciclina) sintasa (PTGIS), ARNm | 11.63 Abajo | 5.06E-04 |
| 60 | NM_025151 | Homo sapiens Rab11 familia de proteínas que interactúan 1 (clase I) (1 RAB1 FIP1), variante de transcripción 1, ARNm | 11.6 Abajo | 1.14E-04 |
| 65 | BM712945 | UI-E-EJO-ahi-c-16-0-UI.rl UI-E-EJ0 ADNc Homo sapiens clon de UI-E-EJ0-ahi-c-i-6-0 UI 5, secuencia de ARNm | 11.6 Abajo | 9.48E-05 |
| | AW451831 | IU-H-B13-alk-e-12-0-UI.sl NCI_CGAP_Sub5 Homo sapiens ADNc clon IMAGEN: 2737246 3, secuencia de ARNm | 11.54 Abajo | 8.69E-04 |
| | BC040701 | ADNc Homo sapiens clon IMAGE: 5736259, cds parcial | 11.53 Abajo | 1.23E-04 |
| | AL359058 | Homo sapiens ARNm de longitud completa inserte ADNc clon EUROIMAGE 592.473 | 11.44 Abajo | 1.27E-03 |

ES 2 569 421 T3

| | | | | |
|----|-----------|---|----------------|-----------|
| | NM-001854 | Homo sapiens de colágeno, tipo XI, alfa 1 (COL11A1), variante de transcripción A, ARNm | 11.39 Abajo | 7.56E-04 |
| 5 | NM_000227 | Homo sapiens de laminina, alfa 3 (Lama3-), variante de transcripción 2, ARNm | 11.39 Abajo | 8.59E-05 |
| 10 | NM_033256 | Homo sapiens de proteína fosfatasa 1, reguladora (inhibidor) 14A subunidad (PPP1R14A), ARNm | 11.36 Abajo | 1.26E-04 |
| 15 | ABO11538 | Homo sapiens ARNm para MEGF5, cds parcial | 11.35 Abajo | 4.81 E-04 |
| | AL389942 | Homo sapiens ARNm de longitud completa inserte cDNA clon EUROIMAGE 2005635 | 11.33 Abajo | 4.78E-04 |
| 20 | NM_174900 | Hom sapiens proteínas de dedo de zinc 42 (ZFP42), ARNm | 11.23 Abajo | 1.29E-04 |
| 25 | BG622707 | 602647476F1 NIH_MGC_79 Homo clon de ADNc sapiens IMAGE.-4768963 5, secuencia de ARNm | 11.21 Abajo | 1.49E-04 |
| 30 | NM_178177 | Homo sapiens adeniltransferasa de nicotinamida de nucleótidos 3 (NMNAT3), ARNm | 11.19 Abajo | 3.57E-04 |
| | AA099748 | zI78c09.sl Stratagene de colon (# 937204) ADNc Homo sapiensIMAGEN clon: 510736 3, secuencia de ARNm | 11.16 Abajo | 9.87E-05 |
| 35 | H89526 | yw28b04.rl Morton fetal cóclea Homo sapiens clon de ADNc IMAGEN: 253519 5, secuencia de ARNm | 11,06 Abajo | 2.94E-04 |
| 40 | NM_178868 | Homo sapiens factor de quimioquinas como superfamilia 8 (CKLFSF8), ARNm | 10,96 Abajo | 9.23E-04 |
| 45 | BE788763 | 6014758641`1 NIH_MGC 68 Homo sapiens clon de ADNc MAGE: 3879014 5, secuencia de ARNm | 10,88 Abajo | 6.22E-05 |
| 50 | NM_000076 | Homo sapiens dependiente de ciclina inhibidor de quinasa 1C (p57, Kip2) (CDKN1C), ARNm | 10,87 Abajo | 7.28E-05 |
| | NM_152768 | Homo sapiens hipotética proteína FLJ25378 (FLJ25378), ARNm | 10,81 Abajo | 7,31 E-05 |
| 55 | M60502 | Profilagrina humana ARNm, fin 3 | 10,81 Abajo | 8.46E-05 |
| | NM_181847 | Homo sapiens Gen 2 inducido por anfoterina (AMIGO2), ARNm | 10,78 Abajo | 1.86E-03 |
| 60 | NM_005331 | Homo sapiens hemoglobina, zeta 1 (HBQ1), ARNm | 10,77 abajo | 3.32E-04 |
| | NM_032367 | Homo sapiens dedo de zinc, BED dominio que contiene 3 (ZBED3), ARNm | 10,61 Abajo | 7.71 E-05 |
| 65 | | | | |

ES 2 569 421 T3

| | | | | |
|----|-----------|--|----------------|-----------|
| | NM_004574 | Homo sapiens de similar a maní 2 (Drosophila) (PNUTL2), variante de transcripción 1, ARNm | 10.6 Abajo | 3.18E-04 |
| 5 | NM_014421 | Homo sapiens Dickkopf homólogo 2 (Xenopus laevis) (DKK2), ARNm | 10,52 Abajo | 7,31 E-05 |
| 10 | NM_052923 | Homo sapiens proteínas dedo de zinc 452 (ZNF452), ARNm | 10,43 Abajo | 1.06E-04 |
| 15 | NM_006379 | Homo sapiens sema de dominio, dominio de inmunoglobulina (Ig), corta dominio básico, secretada, (Semaforina) 3C (SEMA3C), ARNm | 10.39 Abajo | 6.30E-05 |
| 20 | AL137488 | ARNm Homo sapiens; cDNA DKFZp434N2O3O (a partir del clon DKFZp434N2O3O) | 10,37 Abajo | 2.60E-04 |
| 25 | BX088936 | BX088936 Soares_testis_NHT Homo sapiens clon de ADNc 1MAGp998G1 23255; IMAGEN: 1292195, secuencia de ARNm | 10,34 Abajo | 1.20E-03 |
| 30 | A8041269 | Homo sapiens ARNm de queratina 19, cds parcial, aislan: K19-141 | 10,33 Abajo | 4.02E-03 |
| 35 | AK091933 | ADNc Homo sapiens FLJ34614 fis, KIDNE2O1 clon 4268 | 10.3 Abajo | 1.49E-04 |
| 40 | AF269162 | Homo sapiens forma c21 orf7 B ARNm, cds completo | 10.3 Abajo | 1.78E-03 |
| 45 | NM_001935 | Homo sapiens dipeptidil peptidasa 4 (CD26, adenosina desaminasaproteína complejante 2) (DPP-4),ARNm | 10,27 Abajo | 1.10E-04 |
| 50 | NM_001850 | Homo sapiens colágeno, tipo VIII, alfa 1 (COL8A1), variante de transcripción 1, ARNm | 10,23 Abajo | 2.23E-05 |
| 55 | A1469032 | ti7OaOl xl NCI CGAP Kidl 1 Homo sapiens clon de ADNc IMAGEN: 21 37320 3, secuencia de ARNm | 10.2 Abajo | 7.42E-05 |
| 60 | NM_003081 | Homo sapiens proteína asociada a sinaptosomal, 25 kDa,(SNAP25), variante de transcripción 1, ARNm | 10.05 Abajo | 2.34E-03 |
| 65 | BG570144 | 602591134F1 NIH MGC 77 Homo sapiens clon de cDNA IMAGEN-0.4717761 5, secuencia de ARNm | 9.99 Abajo | 1.09E-03 |
| | BM969191 | UI-CF-ENO-acp-e-22-0-UI.sl IU-CE- ENO Homo sapiens clon de ADNc UICF-ENO-ACP-e-22-0-UI 3, secuencia de ARNm | 9.99 Abajo | 1.00E-03 |
| | NM_006622 | Homo sapiens quinasa similar a polo 2 (Drosophila) (PLK2), ARNm | 9.99 Abajo | 1.45E-04 |
| | NM_000860 | Homo sapiens hidroxiprostaglandina deshidrogenasa 15- (NAD) (HPGD), ARNm | 9.98 Abajo | 6.39E-05 |
| | AJ318805 | AJ318805 Homo sapiens adiposo tejidos clon de ADNc de homo sapiens 2040, secuencia de ARNm | 9,97 Abajo | 1.92E-04 |
| | NM_002735 | Homo sapiens proteína quinasa, dependiente de cAMP, reguladora, tipo I, beta (PRKAR1B), ARNm | 9,93 Abajo | 8.51 E-06 |
| | AK092114 | ADNc Homo sapiens FLJ34795 fis, clon NT2NE2005921 | 9,91 Abajo | 1.57E-03 |
| | NM_024608 | Homo sapiens nei endonucleasa VIII tipo 1 (E. coli) (NEIL1), ARNm | 9.89 Abaio | 3.05E-05 |

ES 2 569 421 T3

| | | | | | |
|----|-----------|--|-------|-----------|--|
| | | | | | |
| 5 | BE464407 | hx89g05.xl NCI_CGAP_Kid1 1 Homo sapiens clon de ADNc IMAGE.-3195032 3, secuencia de ARNm | 9.88 | 1.05E-03 | |
| | BF431460 | 7o14b05.xl NCI_CGAPKIdII Homo sapiens CONA clon IMAGEN: 3573849 3, secuencia de ARNm | 9,85 | 1.19E-03 | |
| | BF509573 | UI-H-B14-APF-b-1i-0-ULsI NCI_CGAP_Sub8 ADNc Homo sapiens clon IMAGEN: 3086949 3, secuencia de ARNm | 9,82 | 2.57E-04 | |
| 10 | T78754 | ydOifO8.rl Soares cerebro infantil 1 NIB Homo sapiens clon de ADNc IMAGEN: 24 180 5, secuencia de ARNm | 9,79 | 1.51E-03 | |
| 15 | NM_153256 | Homo sapiens cromosoma 10 abierta hacia marco de lectura 47 (CiOorf47), proteína de ARNm | 9,78 | 2.10E-04 | |
| | NM_207482 | Homo sapiens FLJ44048 (FLJ44048), ARNm NM 002276 Homo sapiens queratina 19 (KRT19), 9,74 3,70 Abajo E-03 ARNm | 9,76 | 2.14E-04 | |
| 20 | N70752 | za72d02.sl Homo Soares_fetal_lung_NbHL19W sapiens clon de cDNA IMAGEN: 298083 3, secuencia de ARNm | 9,73 | 1.49E-04 | |
| | NM_020962 | Homo sapiens probable ortholog de vecino de ratón Punc Eli (No), el ARNm | 9,73 | 8.91 E-04 | |
| 25 | NM_016276 | Homo sapiens suero / glucocorticoides quinasa regulada 2 (SGK2), variante de transcripción 2, ARNm | 9.7 | 4.41 E-04 | |
| | A1355761 | qt94all.xl NCI_CGAP_Co14 Homo sapiens clon de ADNc IMAGEN: 1962908 3 similar a GB: X74929 queratina, TIPO II Citoesqueleto 8 (HUMANO); secuencia de ARNm | 9.7 | 9.99E-05 | |
| 30 | NM_003264 | Homo sapiens receptor 2 de tipo toll(TLR2), ARNm | 9.69 | 1.86E-04 | |
| | NM_198495 | Familia Homo sapiens CTAGE, miembro 4 (CTAGE4), ARNm | 9.66 | 3.12E-04 | |
| 35 | BX097888 | BX097888 Soares_parathyroid_tumor_NbHPA ADNc Homo sapiens clon 1MAGp998K064 187; IMAGEN: 1650173, secuencia de ARNm | 9.62 | 6.10E-05 | |
| | BU567804 | AGENCOURT_1 0398872 NIH_MGC_82 ADNc Homo sapiens IMAGEN clon: 6614502 5, la secuencia ARNm | 9.62 | 7.71E-05 | |
| 40 | NM_152423 | Homo sapiens melanoma antígeno asociado (mutado) 1 tipo 1 (MUM1L1), ARNm | 9,61 | 2.45E-03 | |
| | NM_018330 | Homo sapiens KIAA1 598 (KIAA1 598), ARNm | 9.6 | 1.68E-04 | |
| 45 | BU584197 | 251303016 LIVRTUTO4 ADNc Homo sapiens clon 2513030 3, secuencia de ARNm | 9,56 | 8.83E-04 | |
| | NM_005264 | Homo sapiens GDNF receptor de la familia de alfa 1 (GFRA1), variante de transcripción 1, ARNm | 9,56 | 1.19E-04 | |
| 50 | NM_002245 | Homo sapiens canal de potasio, K subfamilia, miembro 1 (KCNK1), ARNm | 9,53 | 2.05E-03 | |
| | NM_178550 | Homo sapiens hipotética proteína MGC48998 (MGC48998), ARNm | 9.51 | 9.03E-04 | |
| 55 | NM_006863 | Homo sapiens leucocitos similar a inmunoglobulina del receptor, de la subfamilia A (con dominio TM), miembro 1 (LILRA1), ARNm | 9.48 | 6.22E-05 | |
| | | | Abajo | | |

ES 2 569 421 T3

| | | | | |
|----|-----------|---|---------------|-----------|
| | NM_173354 | Homo sapiens SNF1-quinasa como (SNF1LK), mRNA | 9.47 Abajo | 8.25E-04 |
| 5 | BC016962 | Homo sapiens, clon IMAGEN-.4182947, ARNm | 9,43 Abajo | 2.15E-04 |
| | AB046810 | Homo sapiens ARNm para KIAA1590 proteínas, cds parcial | 9,38 Abajo | 6.30E-05 |
| | BX116347 | BX116347 NCLCGAP_Kid12 Homo clon de ADNc sapiens IMAGP998B21 5967; IMAGEN: 2401 844, secuencia de ARNm | 9,33 Abajo | 1.54E-04 |
| 10 | BU633163 | UI-H-ELi -bgt-n-07-0-UI.sl NCI_CGAP ELi Homo sapiens clon de ADNc UI-H-FL1-BGT-n-07-0-UI 3, secuencia de ARNm | 9,31 Abajo | 1.46E-04 |
| | A1289329 | qw28c09.xl NCI_CGAP_UL4 Homo clon de ADNc sapiens IMAGEN: 1992400 3 similar a contiene L1.b2 L1 elemento repetitivo secuencia de ARNm | 9,28 Abajo | 4.80E-04 |
| 25 | BU951469 | in6OaO5.x3 HR85 islote Homo clon de ADNc sapiens IMAGEN: 6126249 3, secuencia de ARNm | 9.21 Abajo | 2.54E-03 |
| 30 | NM_002338 | Homo sapiens sistema límbico - asociado a proteína de membrana (LSAMP), ARNm | 9.19 Abajo | 1.30E-03 |
| 35 | AL833346 | ARNm sapiens Homo; ADNc DKFZp686M2234 (a partir del clon DKFZp686M2234) | 9.17 Abajo | 3.02E-04 |
| | BC040293 | Homo sapiens, clon IMAGEN: 4820330, ARNm | 9.1 Abajo | 1.09E-03 |
| 40 | NM_003810 | Homo sapiens tumor necrosis factor de (ligando) superfamilia, miembro 10 (TNFSF1O), ARNm | 9,04 Abajo | 5.06E-04 |
| | NM_014373 | Homo sapiens G receptor acoplado a proteína 160 (GPR16O), ARNm | 9.01 Abajo | 1.59E-04 |
| 45 | CA425405 | UI-H-FE1 -bef-g-08-0-UI.sl NCI_CGAP_FE1 ADNc Homo sapiens clon UI-H-FE1-BEF-g-08-0-UI 3, secuencia de ARNm | 8,89 Abajo | 1.74E-05 |
| | A1953708 | wq47d09.xl NCI_CGAP_GC6 ADNc Homo sapiens IMAGEN clon-.2474417 3, secuencia de ARNm | 8,87 Abajo | 9.89E-03 |
| 50 | NM_017641 | Homo sapiens miembro de la familia kinesin 21A (KIF21A), ARNm | 8.86 Abajo | 7.22E-05 |
| | NM_153377 | Homo sapiens repeticiones ricas en leucina y dominios similares a inmunoglobulina 3 (LRIG3), ARNm | 8.86 Abajo | 2.71 E-04 |
| 55 | NM_000236 | Homo sapiens lipasa, hepática (CFIG), ARNm | 8,83 Abajo | 1.93E-03 |
| | BC046362 | Homo sapiens Canales de calcio gamma de la proteína de la subunidad dependiente de la tensión, ARNm (clon de ADNc MGC:50757 IMAGEN: 5221 396), cds completo | 8.8 Abajo | 4,71 E-04 |
| 60 | AJ697972 | Homo sapiens cromosoma 3 ADNc | 8.8 Abajo | 7.35E-04 |
| | BF509074 | UI-H-B14-AOU-b-08-0-UI.sl NCI_CGAP_Sub8 ADNc Homo sapiens clon IMAGE.-3086150 3, secuencia de ARNm | 8.8 Abajo | 1.24E-04 |

ES 2 569 421 T3

| | | | | |
|----|-----------|---|---------------|-----------|
| | NM_001080 | Homo sapiens deshidrogenasa aldehída 5 familia, miembro A1 (deshidrogenasa de succinato-semialdehído) (ALDH5A1), codificación de genes nucleares mitocondrial proteína, variante de transcripción 2, ARNm | 8,79 Abajo | 8.46E-05 |
| 5 | NM_002247 | Homo sapiens potasio grande conductancia de calcio activados canal, subfamilia M, miembro de la alfa 1 (KCNMA1), ARNm | 8,78 Abajo | 7.45E-05 |
| 10 | NM_022154 | Homo sapiens familia de transportadores de soluto 39 (transportador de zinc), miembro 8 (SLC39A8), ARNm | 8,77 Abajo | 4.65E-05 |
| 15 | NM_144707 | Homo sapiens prominin 2 (PROM2), ARNm | 8,73 Abajo | 2,01 E-04 |
| 20 | AB095949 | ARNm Homo sapiens para proteína KIAA2O29 | 8,69 Abajo | 9.23E-04 |
| 25 | AV728294 | AV728294 HTC Homo sapiens clon de ADNc HTCBIEO9 5, secuencia mRNA | 8,68 Abajo | 8.46E-05 |
| 30 | NM_003851 | Homo sapiens represor celular de genes estimulados por E1A 1 (CREG1), ARNm | 8,68 Abajo | 2.10E-04 |
| 35 | NM_014181 | Homo sapiens proteína HSPC159 (HSPC159), ARNm | 8,67 Abajo | 1.10E-04 |
| 40 | NM_000349 | Homo sapiens regulador androgénico agudo (STAR), proteína mitocondrial de gen nuclear codificador, variante de transcripción 1, ARNm | 8,66 Abajo | 1.03E-04 |
| 45 | AK026740 | ADNc Homo sapiens: FLJ23087 fis, clon LNG06994, muy similar a AF161 368 Homo sapiens HSPC1O5 ARNm | 8,65 Abajo | 7.45E-04 |
| | T56535 | yb33g07.rl bazo fetal de estratagene (# 937205) ADNc Homo sapiensIMAGEN clon: 73020 5, secuencia de ARNm | 8,63 Abajo | 1.23E-04 |
| 50 | NM_178868 | Homo sapiens factor de quimioquinas similar a superfamilia 8 (CKLFSF8), ARNm | 8,63 Abajo | 6.22E-05 |
| | NM_005130 | Homo sapiens crecimiento de fibroblastos proteína de factor de unión 1 (FGFBPI), ARNm | 8,62 Abajo | 1.15E-04 |
| 55 | NM_032488 | Homo sapiens cornifelin (CNFN), ARNm | 8,6 Abajo | 3.05E-05 |
| | NM_052960 | Homo sapiens retinol proteína de unión 7, celular (RBP7), ARNm | 8,6 Abajo | 2.05E-04 |
| 60 | NM_207517 | Homo sapiens similar a ADAMTS-3 (ADAMTSL3), ARNm | 8,57 Abajo | 2.22E-04 |
| | AK127644 | ADNc Homo sapiens FLJ45742 fis, clon KIDNE2O16327 | 8,54 Abajo | 3.24E-03 |
| 65 | | | | |

ES 2 569 421 T3

| | | | | |
|----|-----------|--|---------------|-----------|
| | BU727096 | UI-E-CRO-ada-e-i 2-O-UI.s1 UI-E-CR0 ADNc Homo sapiens clon UI-E-CRO-ada-e-i-2-0 UI 3, secuencia ARNm | 8,53 Abajo | 9.29E-04 |
| 5 | NM_015973 | Homo sapiens galanina (GAL), ARNm | 8,53 Abajo | 6.30E-05 |
| 10 | NM_033514 | Homo sapiens LIM y senescentes dominios de células similar a antígeno 3, (LIMS3) ARNm | 8,51 Abajo | 3.30E-04 |
| 15 | NM_138811 | Homo sapiens cromosoma 7 marco de lectura abierto 31 (C7orf31), ARNm | 8,47 Abajo | 8.35E-05 |
| 20 | NM_005302 | Homo sapiens receptor acoplado a proteínas G 37 (receptor de endotelina similar a tipo B) (GPR37), ARNm | 8,47 Abajo | 2.19E-03 |
| 25 | NM_173462 | Homo sapiens papilina, glicoproteína sulfatada similar a proteoglican, (PAPLN), ARNm | 8,46 Abajo | 1.70E-04 |
| 30 | NM_032148 | Homo sapiens soluto transportista familia 41, miembro 2 (SLC41A2), ARNm | 8,44 Abajo | 9.03E-05 |
| 35 | NM_000856 | Homo sapiens guanilato ciclase 1, soluble, alfa 3 (GUCY1A3), ARNm | 8,37 Abajo | 1.17E-03 |
| 40 | AW591723 | xt85hIO.xl Nd_CGAP_Ut1 Homo sapiens clon de ADNc IMAGEN: 2793283 3 similar a Contiene el elemento repetitivo MER32 ;, secuencia de ARNm | 8,36 Abajo | 4.86E-04 |
| 45 | NM_032024 | Homo sapiens cromosoma 10 marco de lectura abierto 11 (C10orf11), ARNm | 8,25 Abajo | 1.80E-04 |
| 50 | AK024850 | ADNc Homo sapiens: FLJ21197 fis, clon COL00201 | 8,21 Abajo | 7.71E-05 |
| 55 | NM_002206 | Homo sapiens integrina alfa 7 (ITGA7), ARNm | 8,2 Abajo | 6.30E-05 |
| 60 | A1963999 | wt87g07.xl NCI_CGAPGC6 Homo clon de ADNc sapiensIMAGEN: 2514492 3, secuencia de ARNm | 8,19 Abajo | 1,61 E-03 |
| 65 | NM_005567 | Homo sapiens lectina, unión a galactosida, soluble, proteína de unión 3 (LGALS3BP), ARNm | 8,18 Abajo | 8.76E-05 |
| | D87454 | ARNm humano para K1AA0265 gen, cds parcial | 8,14 Abajo | 1.08E-03 |
| | BG564960 | 602583930F1 NIH_MGC_76 Homo sapiens clon de ADNc IMAGEN: 4711807 5, secuencia de ARNm | 8,12 Abajo | 7.71E-05 |
| | NM_022168 | Homo sapiens interferón indujo con helicasa C dominio 1 (IFIH1), ARNm | 8,12 Abajo | 1.46E-04 |

ES 2 569 421 T3

| | | | | | |
|----|-----------|---|---------------|-----------|--|
| | | | | | |
| 5 | AK027541 | Homo sapiens ADNc FLJ14635 fis, clon NT2RP2001196 | 8,12 Abajo | 2.08E-04 | |
| | NM_024997 | Homo sapiens activación factor de transcripción 7 interactuando proteína 2 (ATF7IP2), ARNm | 8,11 Abajo | 1.65E-03 | |
| 10 | A1926616 | wo48e04.xl NCI_CGAP_Gas4 Homo sapiens clon de ADNc IMAGEN similar a 2458590 3 contiene MER27.b2 MER27 elemento repetitivo;, secuencia de ARNm | 8,08 Abajo | 6.30E-05 | |
| 15 | S70348 | Homo sapiens integrina beta 3 ARNm, cds parcial, alternativamente empalmado | 8,06 Abajo | 2,21 E-04 | |
| 20 | NM_005725 | Homo sapiens tetraspari 2 (TSPAN-2), ARNm | 8,05 Abajo | 3.97E-03 | |
| 25 | CA311343 | UI-CF-FNO-aff-b-UI-CF- 19-0-11Lsl FNO Homo sapiens clon de ADNc UI-CF-FNO-aff-b-1 9-0 3-UI, secuencia de ARNm | 8,02 Abajo | 8.51E-06 | |
| 30 | NM_001710 | Homo sapiens factor B, properdina (BF), ARNm | 8,01 Abajo | 1.30E-03 | |
| 35 | NM_002247 | Homo sapiens canal activado por calcio de potasio grande de conductancia, subfamilia M, miembro alfa 1 (KCNMA1), ARNm | 8 Abajo | 1.29E-03 | |
| 40 | BG149255 | nad25dOI xl NCI_CGAP_Lu24 Homo sapiens clon de ADNc IMAGEN-.3366553 3, secuencia de ARNm | 8 Abajo | 3.85E-04 | |
| 45 | NM_153634 | Homo sapiens copina VIII (CPNE8), ARNm | 7,97 Abajo | 3.57E-04 | |
| | NM_004390 | Homo sapiens catepsina H (CSP), variante de transcripción 1, ARNm | 7,97 Abajo | 7,71 E-05 | |
| 50 | NM_016613 | Homo sapiens proteína hipotética DKFZp434L142 (DKFZp434L142),ARNm | 7,97 Abajo | 3.72E-04 | |
| 55 | NM_001845 | Homo sapiens colágeno tipo IV, alfa 1 (COL4A1), ARNm | 7,93 Abajo | 8.65E-05 | |
| | NM_005502 | Homo sapiens casete de unión a ATP, subfamilia A (ABC1), miembro 1 (ABCA1), ARNm | 7,93 Abajo | 5.18E-04 | |
| 60 | NM_018650 | Homo sapiens MAP / microtúbulos por afinidad de regulación de quinasa 1 (MARK1), ARNm | 7,92 Abajo | 1.23E-04 | |

ES 2 569 421 T3

| | | | | |
|----|-----------|---|---------------|-----------|
| | D62831 | HUM330B12B Clontech humana aorta poliA + mRNA (# 6572) Homo sapiens cDNA clon GEN-330B12 5, secuencia de ARNm | 7,92 Abajo | 9.23E-04 |
| 5 | CA313095 | UI-CF-FNO-aex-f-01-0-UI.sl UI-CF-FNO Homo sapiens clon de ADNc UI-CF-FNO-AEX-f-01-0-UI 3, secuencia de ARNm | 7,91 Abajo | 7.42E-04 |
| 10 | | | | |
| 15 | BC038556 | Homo sapiens, clon IMAGEN: 3446976, ARNm | 7,91 Abajo | 2.57E-03 |
| | AI493349 | tg7OfO4.xl Soares_NhHMPu_S1 Homo sapiens clon de ADNc IMAGEN:2114143 3, secuencia de ARNm | 7.9 Abajo | 1.14E-04 |
| 20 | BCO15108 | Homo sapiens, similar a otoconina 90, clon IMAGEN: 4044247, ARNm | 7.9 Abajo | 1.01 E-04 |
| 25 | AI819863 | wj45h05.xl NCI CGAPLu19 Homo sapiens clon de ADNc IMAGEN: 2405817 3, secuencia de ARNm | 7,87 Abajo | 2.39E-03 |
| 30 | BM802920 | AGENCOURT_6457446 NIHMGC_88 ADNc Homo sapiens IMAGEN clon: 5560288 5, secuencia de ARNm | 7,85 Abajo | 1.60E-03 |
| 35 | AK057113 | ADNc Homo sapiens FLJ32551 fis, clon SPLEN1000087 | 7,83 Abajo | 1.20E-03 |
| | NM_005025 | Homo sapiens serina (o cisteína) inhibidor de proteinasa, subtipo I (Neuroserpina), miembro 1 (SERPINI1), ARNm | 7,82 Abajo | 2,21 E-04 |
| 40 | AA195328 | zr34f08.sl Soares_NhHMPu_SI Homo sapiens clon de ADNc IMAGEN: 665319 3, secuencia de ARNm | 7,81 Abajo | 2.37E-04 |
| 45 | NM_014358 | Homo sapiens tipo C (dominio dependiente de calcio, hidratos de carbono de reconocimiento) de la lectina, miembro de la superfamilia 9 (CLECSF9), ARNm | 7,81 Abajo | 5.03E-03 |
| 50 | B1493986 | dflO6gl2yl cóclea fetal mortonHomo sapiens clon de ADNcIMAGEN:2538815 5, secuencia de ARNm | 7.8 Abajo | 6.69E-04 |
| 55 | NM_152366 | Homo sapiens kech / repetición de anquirina, que contiene cyclina A1 interactuando con proteína (KARCA1), variante de transcripción 1, ARNm | 7,79 Abajo | 8.97E-05 |
| 60 | | | | |
| 65 | NM_015678 | Homo sapiens neurobeachina (NBEA), ARNm | 7,78 Abajo | 2.12E-04 |

ES 2 569 421 T3

| | | | | |
|----|-----------|--|---------------|----------|
| | NM_018424 | Homo sapiens eritrocitos de banda de proteína de membrana 4.1 similar a 4B (EPB41L4B), ARNm | 7,77 Abajo | 1.23E-04 |
| 5 | CA310979 | UI-CF-FNO-afc-c-21-0-UI.sI UI-CF-FNO Homo sapiens clon de ADNc UI-CF-FNO-afc-c-21-0-UI 3, secuencia de ARNm | 7,76 Abajo | 1.86E-04 |
| 10 | | | | |
| 15 | NM_031476 | Homo sapiens proteína hipotética DKFZp434BO44 (DKFZP434BO44), ARNm | 7,75 Abajo | 2.20E-03 |
| 20 | NM_004086 | Homo sapiens factor homólogo de coagulación C, Cochlin (Limulus polyphemus) (COCH), ARNm | 7,74 Abajo | 2.21E-04 |
| 25 | NM_003617 | Homo sapiens regulador de señalización G-proteína 5 (RGS5), ARNm | 7,73 Abajo | 3.85E-04 |
| 30 | BF966833 | 602286668T1 NIH_MGC_95 ADNc Homo sapiens clon IMAGE: 4375360 3, secuencia de ARNm | 7,73 Abajo | 6.10E-05 |
| 35 | AK024270 | ADNc Homo sapiens FLJ14208 fis, NT2RP3003264 clon | 7,71 Abajo | 1.13E-03 |
| 40 | NM_144587 | Homo sapiens cromosoma 10 marco de lectura abierto 87 (C10orf87), ARNm | 7,71 Abajo | 6.03E-04 |
| 45 | AK096288 | ADNc Homo sapiens FLJ38969 fis, clon NT2R12002359 | 7.7 Abajo | 1.49E-04 |
| 50 | BE968596 | 601649770F1 NIH_MGC_74 ADNc Homo sapiens clon IMAGE: 3933472 5, secuencia de ARNm | 7,69 Abajo | 2.39E-03 |
| 55 | AY358775 | Homo sapiens clon DNA170212 WGAR9166 (UNQ9166) ARNm, cds completo | 7,66 Abajo | 2.16E-03 |
| 60 | BX103949 | BX103949 NCICGAP_Co3 ADNc Homo sapiens clon IMAGp998C112296; IMAGEN: 923842, secuencia de ARNm | 7,64 Abajo | 3.18E-04 |
| 65 | NM_013410 | Homo sapiens adenilato quinasa 3 (AK3), codificación de genes nucleares proteína mitocondrial, variante de transcripción 2, ARNm | 7,64 Abajo | 3.07E-04 |
| | NM_005204 | Homo sapiens activada por mitógenos deproteína quinasa quinasa 8(MAP3K8), ARNm | 7.63 Abajo | 6.82E-04 |
| | NM_032211 | Homo sapiens lisil tipo oxidasa 4 (LOXL4), ARNm | 7.6 Abajo | 3.30E-04 |
| | AA325746 | EST28794 Cerebelo II Homo sapiens ADNc 5 final, secuencia de ARNm | 7.57 Abajo | 6.30E-05 |

ES 2 569 421 T3

| | | | | |
|----|-----------|---|---------------|-----------|
| | H94320 | yvl8blO.sl Soares bazo hígado fetal 1NFLS clon de ADNc Homo sapiens IMAGE: 243067 3, secuencia de ARNm | 7,55 Abajo | 3.35E-03 |
| 5 | BX640973 | ARNm Homo sapiens; ADNc DKFZp686B15184 (a partir del clon DKFZp686B1 5184) | 7,55 Abajo | 7.89E-04 |
| 10 | BQ015616 | UI-1-BC1-ajb-g-04-0-UL.sl NCI_CGAP_Pl2 Homo sapiens clon de ADNc UI-1-BC1-ajb-g-04-0-UL 3, secuencia de ARNm | 7,54 Abajo | 5.28E-04 |
| 15 | AK128715 | ADNc Homo sapiens FLJ46882 fis, UTERU3015844 clon | 7,53 Abajo | 2.30E-04 |
| 20 | NM_015068 | Homo sapiens expresaron paternalmente 10 (PEG1O), ARNm | 7,52 Abajo | 7.71 E-05 |
| 25 | BU754480 | UI-1-BB1p-axz-h-11-0-UI.sl NCI_CGAP_Pl6 Homo sapiens clon de ADNc IU-1-BB1p-axz-h-11-0-UI 3, secuencia de ARNm | 7,49 Abajo | 6.24E-04 |
| 30 | AK074097 | ARNm de Homo sapiens para proteína FLJOO168 | 7,48 Abajo | 1.93E-03 |
| 35 | BC033567 | Homo sapiens, clon IMAGE: 4822266, ARNm | 7,48 Abajo | 1.96E-04 |
| 40 | NM_018894 | Homo sapiens proteína de matriz extracelular de fibulina de tipo 1 que contiene EGF (EFEMP1), variante de transcripción 2, ARNm | 7,47 Abajo | 2.67E-04 |
| 45 | BM701989 | UI-E-CQ1-aex-j-06-0-UI.ri UI-E-CQ1 ADNc Homo sapiens clon de IUE-CQ1-aex-j-06-0-UI 5, secuencia de ARNm | 7,47 Abajo | 4.53E-04 |
| 50 | NM_016423 | Homo sapiens proteína dedo de zinc 219 (ZNF219), ARNm | 7,46 Abajo | 1.61E-04 |
| 55 | BX117317 | BX117317 NCI_CGAP_Co3 Homo sapiens clon de ADNc 1MAGp998E242234; IMAGE: 900095, secuencia de ARNm | 7.45 Abajo | 1.13E-03 |
| 60 | NM_001993 | Homo sapiens factor de coagulación III (tromboplastina, factor tisular) (F3), ARNm | 7.45 Abajo | 5.82E-04 |
| 65 | CA502991 | UI-CF-FNO-afp-g-01-0-UI.sl UI-CF-FNO ADNc Homo sapiens clon UI-CF-FN0-afp-g-01-0-UI 3, secuencia de ARNm | 7,43 Abajo | 2.24E-02 |

ES 2 569 421 T3

| | | | | |
|----|-----------|---|---------------|-----------|
| | A1686890 | tp9OhO2.xl NCI_CGAP_Ut3 ADNc Homo sapiens clon IMAGE:2206611 3, secuencia de ARNm | 7.41 Abajo | 1.49E-04 |
| 5 | | | | |
| 10 | AW137001 | UI-H-BI1-acu-c-05-0-UI.s1 NCI_CGAP_Sub3 ADNc Homo sapiens clon IMAGE: 2715632 3, secuencia de ARNm | 7.4 Abajo | 7.95E-05 |
| 15 | BQ021695 | UI-H-DH1-axi-f-22-O-UI.s1 NCI_CGAP_DH1 Homo sapiens cDNA clon IMAGE: 5829141 3, secuencia de ARNm | 7.39 Abajo | 6.10E-05 |
| 20 | BX640643 | ARNm Homo sapiens; ADNc DKFZp686O24114 (a partir del clon DKFZp686O24114) | 7.36 Abajo | 5.18E-05 |
| 25 | NM_004669 | Homo sapiens canal de cloruro intracelular 3 (CLIC3), ARNm | 7.35 Abajo | 4.30E-03 |
| 30 | NM_001955 | Homo sapiens endotelina 1 (EDN1), ARNm | 7.33 Abajo | 7.72E-04 |
| 35 | AB007974 | Homo sapiens ARNm, el cromosoma 1 transcripción específica KIAA0505 | 7.33 Abajo | 5.29E-03 |
| 40 | NM_198174 | Homo sapiens factor de transcripción CP2-como 4 (TFCP2L4), variante de transcripción 3, ARNm | 7.32 Abajo | 4.82E-03 |
| 45 | BX098521 | BX098521 Soares bazo hígado fetal 1NFLS clon de ADNc Homo sapiens IMAGp998L05118; IMAGE: 123412, secuencia de ARNm | 7.3 Abajo | 5.51E-03 |
| 50 | NM_004154 | Homo sapiens receptor P2Y pirimidinérgico, acoplado a proteína G, 6 (P2RY6), variante de transcripción 4, ARNm | 7.28 Abajo | 3.41 E-03 |
| 55 | AK123617 | ADNc Homo sapiens FLJ41623 fis, clon CT0NG3009227 | 7.27 Abajo | 2.26E-03 |
| | BF111903 | 7138d07.xls Soares NSF_F8_9W_OT_PA_P_51 Homo sapiens clon de ADNc IMAGE: 3523644 3, secuencia de ARNm | 7.25 Abajo | 1.34E-03 |
| 60 | NM_018655 | Homo sapiens proteína epitelial de lente (LENEP), ARNm | 7.24 Abajo | 1.07E-04 |
| 65 | NM_139161 | Homo sapiens migas homólogo 3 (Drosophila) (CRB3), variante de transcripción 2, ARNm | 7.23 Abajo | 8.46E-04 |

ES 2 569 421 T3

| | | | | |
|----|-----------|--|---------------|----------|
| | BC060805 | Homo sapiens proteína hipotética FLJ12788, ARNm (clon de ADNc IMAGE: 5266931), cds parcial | 7.22 Abajo | 7.45E-05 |
| 5 | CA413744 | UI-H-EZO-bat-h-12-0-UI.s1 NCI_CGAP_Ch1 Homo sapiens clon de ADNc UI-H-EZO-bat-h-12-0-UI 3, secuencia de ARNm | 7.22 Abajo | 6.09E-04 |
| 10 | NM_018986 | Homo sapiens dominio SH3 y tetratricopéptido repite 1 (SH3TC1), ARNm | 7.21 Abajo | 2.68E-03 |
| 15 | NM_024677 | Homo sapiens proteína hipotética FLJ14001 (FLJ14001), ARNm | 7.21 Abajo | 1.14E-04 |
| 20 | AL117454 | ARNm Homo sapiens; ADNc DKFZp586J1717 (a partir del clon DKFZp586J1717) | 7.2 Abajo | 2.93E-04 |
| 25 | AW450938 | UI-H-BI3-all-g-05-0-UI.s1 NCI_CGAP_Sub5 Homo sapiens ADNc clon IMAGE: 2737329 3, secuencia de ARNm | 7.19 Abajo | 1.19E-04 |
| 30 | NM_017899 | Homo sapiens proteína hipotética FLJ20607 (TSC), ARNm | 7.16 Abajo | 4.80E-03 |
| 35 | S81734 | Homólogo de transglutaminasa tisular (alternativamente empalmado) [línea celular humana, eritroleucemia HEL GMO6141A, ARNm, 2362 NT] | 7.16 Abajo | 8.76E-05 |
| 40 | BU616749 | UI-H-FH1-bfj-a-11-0-UI.sl NCI_CGAP_FH1 Homo sapiens clon de ADNc UI-H-FH1-bfj-a-11-0-UI 3, secuencia de ARNm | 7.14 Abajo | 2.21E-04 |
| 45 | NM_006681 | Homo sapiens neuromedina U (NMU), ARNm | 7.1 Abajo | 6.52E-03 |
| | AK022598 | ADNc Homo sapiens FLJ12536 fis, clon NT2RM4000265 | 7.09 Abajo | 1.15E-04 |
| 50 | AW137116 | UI-H-BI1-acp-f-03-0-UI.sl NCI_CGAP_Sub3 ADNc Homo sapiens clon IMAGE: 2715029 3, secuencia de ARNm | 7.07 Abajo | 3.50E-03 |
| | BX647876 | Homo sapiens ARNm; ADNc DKFZp313A1525 (a partir del clon DKFZp313A1525) | 7.06 Abajo | 1.41E-03 |
| 55 | NM_000597 | Homo sapiens proteína de unión factor de crecimiento similar a la insulina 2, 36 kDa (IGFBP2), ARNm | 7.04 Abajo | 2.99E-03 |
| | CN478597 | UI-CF-FN0-aeo-g-21-0-UI.s1 UI-CF-FN0 Homo sapiens clon de ADNc UI-CF-FN0-aeo-g-21-0-UI 3, secuencia de ARNm | 7.04 Abajo | 1.43E-03 |
| | CN478714 | UI-CF-FNO-afu-c-19-0-UI.sl IU-CF-FNO ADNc Homo sapiens clon UICF-FNO-afu-c-1 9-0 3-UI 3, secuencia de ARNm | 7.04 Abajo | 3.55E-03 |
| 60 | AB020640 | Homo sapiens ARNm para proteína KIAA0833, cds parcial | 7 Abajo | 2.45E-03 |
| 65 | NM_022746 | Homo sapiens proteína hipotética FLJ22390 (FLJ22390), ARNm | 6.99 Abajo | 9.12E-04 |

ES 2 569 421 T3

| | | | | |
|----|-----------|---|---------------|----------|
| 5 | A1905628 | CM-BT094 BT094-050299-147 Homo sapiens cDNA, secuencia de ARNm | 6,98 Abajo | 1.54E-04 |
| 10 | NM_002193 | Homo sapiens inhibina, beta B (Polipéptido beta AB activina) (INHBB), ARNm | 6.96 Abajo | 7.59E-04 |
| 15 | NM_004490 | Homo sapiens factor de crecimiento de la proteína de unión al receptor 14 (GRB14), ARNm | 6.94 Abajo | 1.98E-03 |
| 20 | NM_003985 | Homo sapiens quinasa de tirosina, no receptor, 1 (TNK1), ARNm | 6.93 Abajo | 2.10E-04 |
| 25 | NM_000480 | Homo sapiens deaminasa monofosfato de adenosina (isoformaE) (AMPD3), ARNm | 6.92 Abajo | 1.06E-04 |
| 30 | AK094292 | ADNc Homo sapiens FLJ36973 fis, clon BRACE2006249 | 6.92 Abajo | 2.03E-03 |
| | BC033124 | Homo sapiens, clon IMAGEN-.2960615, ARNm | 6.88 Abajo | 7.22E-05 |
| 35 | NM_000612 | Homo sapiens factor de crecimiento similar a la insulina 2 (somatomedina A) (IGF2), ARNm | 6.88 Abajo | 2.60E-04 |
| 40 | BC042976 | ADNc Homo sapiens clonar IMAGE: 5295023, cds parcial | 6.88 Abajo | 2.39E-03 |
| | BF445031 | nad20f02.xl NCI_CGAP_Lu24 Homo sapiens clon de ADNc IMAGEN: 3366266 3, secuencia de ARNm | 6.87 Abajo | 5.18E-04 |
| 45 | NM_004170 | Homo sapiens familia transportista de soluto 1 (Neuronal / transportador de glutamato de alta afinidad epitelial, el sistema de Xag), miembro 1 (SLC1A1), secuencia de ARNm | 6.87 Abajo | 3.18E-04 |
| 50 | NM_199169 | Homo sapiens transmembrana, ARN de próstata andrógeno inducido (TMEPAI), variante de transcripción 2, ARNm | 6.84 Abajo | 1.45E-03 |
| 55 | NM_019644 | Homo sapiens dominio de repetición de anquirina 7 (ANKRD7), ARNm | 6.83 Abajo | 8.99E-05 |
| 60 | W20132 | zb4Oc10.r1 Soares_parathyroid_tumor_NbHPA ADNc Homo sapiens clon IMAGE:-306066 5, secuencia de ARNm | 6.82 Abajo | 6.79E-03 |

ES 2 569 421 T3

| | | | | |
|----|-----------|--|---------------|----------|
| 5 | BC033116 | Homo sapiens proteína de unión de cromodominio ADN helicasa 7, ARNm (clon de ADNc IMAGE: 3352674), cds parcial | 6.82 Abajo | 8.03E-05 |
| 10 | NM_018650 | Homo sapiens MAP / kinasa por afinidad de regulación de microtúbulos 1 (MARK1), ARNm | 6.8 Abajo | 4.97E-03 |
| 15 | BU563992 | AGENCOURT_10371176 NIH_MGC_141 ADNc Homo sapiens clon IMAGE: 6601829 5, secuencia de ARNm | 6.79 Abajo | 1.29E-02 |
| | AL119769 | DKFZp761E1224_r1 761 (sinónimo: hamy2) Homo sapiens ADNc clon DKFZp761E1224 5, secuencia de ARNm | 6.78 Abajo | 2.52E-03 |
| 20 | | | | |
| 25 | NM_052997 | Homo sapiens dominio de repetición de anquirina 30A (ANKRD30A), ARNm | 6.78 Abajo | 2.45E-03 |
| | NM_024704 | Homo sapiens cromosoma 20 marco de lectura abierto 23 (C200rf23), ARNm | 6.76 Abajo | 7.45E-04 |
| | NM_000495 | Homo sapiens colágeno, tipo IV, alfa 5 (síndrome de Alport) (COL4A5), variante de transcripción 1, ARNm | 6.74 Abajo | 4.77E-03 |
| 30 | | | | |
| 35 | BX102895 | BX102895 Soares bazo hígado fetal 1NFLS ADNc Homo sapiens IMAGp998118520 clon; IMAGEN: 242009, secuencia de ARNm | 6.7 Abajo | 3.04E-04 |
| 40 | BU753362 | UI-1-BB1-air-h-09-0-UI.s1 NCI_CGAP_P15 Homo sapiens clon de ADNc UI-1-BB1-air-h-09-0-UI3, secuencia de ARNm | 6.7 Abajo | 7.42E-05 |
| 45 | AA190552 | zp86b11.s1 Célula Stratagene HeLa s3 937216 Homo sapiens ADNc clon IMAGE:627069 3, secuencia de ARNm | 6.67 Abajo | 1.26E-03 |
| 50 | NM_004024 | Homo sapiens factor de activación de transcripción 3 (ATF3), ARNm | 6.66 Abajo | 3.12E-03 |
| | NM_144650 | Homo sapiens deshidrogenasa de alcohol, que contiene hierro, 1 (ADHFE1), ARNm | 6.65 Abajo | 1.45E-04 |
| 55 | | | | |
| | NM_002800 | Homo sapiens proteasoma (prosoma, macropain) subunidad, tipo beta, 9 (proteasa grande multifuncional 2) (PSMB9), variante de transcripción 1, ARNm | 6.63 Abajo | 1.70E-04 |
| 60 | | | | |
| 65 | | | | |

ES 2 569 421 T3

| | | | | |
|----|-----------|--|---------------|----------|
| | NM_021977 | Homo sapiens familia transportista soluto 22 (transportador de monoamina extraneuronal), miembro 3 (SLC22A3), ARNm | 6.62 Abajo | 2.05E-03 |
| 5 | | | | |
| 10 | AW516579 | xq01f06.x1 Soares_N HCeC_cervical_tumor Homo sapiens clon de ADNc IMAGE: 2748611 3, secuencia de ARNm | 6.62 Abajo | 4.65E-03 |
| 15 | A1311296 | ta48dl0.x2 NCI_CGAP_Lu25 Homo sapiens clon de ADNc IMAGE: 2047315 3, secuencia de ARNm | 6.61 Abajo | 1.72E-03 |
| 20 | BC040204 | Homo sapiens, clon IMAGEN: 482i815, ARNm | 6.61 Abajo | 5.66E-04 |
| 25 | AA340011 | EST45155 Homo sapiens piel fetal ADNc de 5 fin, secuencia de ARNm | 6.58 Abajo | 6.30E-05 |
| 30 | NM_025044 | Homo sapiens homólogo C bicaudal 1 (Drosophila) (BICC1), ARNm | 6.57 Abajo | 6.30E-05 |
| 35 | BX111520 | BX111520 Soares placenta Nb2HP Homo sapiens clon de ADNc IMAGP998L15208; IMAGE:141470, secuencia de ARNm | 6.57 Abajo | 1.70E-03 |
| 40 | AW444925 | UI-H-BI3-ajz-f-09-0-UI.sl NCI_CGAP_Sub5 Homo sapiens ADNc clon IMAGE: 2733473 3, secuencia de ARNm | 6.52 Abajo | 2.55E-03 |
| 45 | NM_003475 | Homo sapiens cromosoma 11 marco de lectura abierto 13 (C11orf13), ARNm | 6.5 Abajo | 5.88E-04 |
| 50 | AK124778 | ADNc Homo sapiens FLJ42788 fis, clon BRAWH3007129 | 6.48 Abajo | 8.61E-04 |
| 55 | NM_024563 | Homo sapiens proteína hipotética FLJ14054 (FLJ14054), ARNm | 6.44 Abajo | 4.72E-03 |
| 60 | NM_002214 | Homo sapiens integrina, beta 8 (ITGB8), ARNm | 6.43 Abajo | 8.46E-05 |
| 65 | NM_178814 | Homo sapiens complejo de proteínas relacionado a adaptador 1, sigma 3 subunidad (AP1S3), ARNm | 6.42 Abajo | 1.78E-04 |
| | A1831068 | wj62d12.xl NCI_CGAP_Lu19 Homo sapiens clon de ADNc IMAGE: 2407415 3, secuencia de ARNm | 6.41 Abajo | 3.72E-04 |
| | NM_000186 | Homo sapiens factor de complemento H (CFH), ARNm | 6.39 Abajo | 1.74E-03 |
| | NM_000216 | Homo sapiens síndrome Kallmann 1 secuencia (KAL1), ARNm | 6.37 Abajo | 8.59E-05 |
| | NM_015478 | Homo sapiens I (3) mbt similar a (Drosophila) (L3MBTL), variante de transcripción I, ARNm | 6.36 Abajo | 7.22E-05 |

ES 2 569 421 T3

| | | | | |
|----|-----------|---|---------------|----------|
| | BX096609 | BX096609 Soares retina N2b4HR Homo sapiens clon de ADNc IMAGp9981_12439; IMAGEN: 221339, secuencia de ARNm | 6.36 Abajo | 1.24E-03 |
| 5 | NM_030970 | Homo sapiens proteína hipotética MGC3771 (MGC3771), ARNm | 6.34 Abajo | 1.69E-04 |
| 10 | BQ007085 | IU-H-EI1-AZC-k-11-0-UI.s1 NCI_CGAP_EI1 Homo sapiens clon de cDNA IMAGE:5846914 3, secuencia de ARNm | 6.33 Abajo | 1.19E-04 |
| 15 | BC039329 | Homo sapiens, clon IMAGE: 5267606, ARNm | 6.33 Abajo | 6.61E-03 |
| 20 | NM-001165 | Homo sapiens IAP de baculovirusque contiene repetición 3 (BIRC3), variante de transcripción 1, ARNm | 6.33 Abajo | 3.42E-03 |
| 25 | NM_004165 | Homo sapiens Ras relacionado asociado con diabetes (RRAD), ARNm | 6.33 Abajo | 4.68E-03 |
| 30 | NM_001928 | Homo sapiens componente D de complemento (adipsina) (DF), ARNm | 6.32 Abajo | 3.68E-03 |
| 35 | NM_018670 | Homo sapiens mesodermo posterior 1 (MESP1), ARNm | 6.31 Abajo | 5.76E-03 |
| 40 | NM_153229 | Homo sapiens proteína hipotética FLJ33318 (FLJ33318), ARNm | 6.31 Abajo | 2.57E-03 |
| 45 | AA912845 | ol32a12.sl SoaresNFL_T_GBC_S1 Homo sapiens clon de ADNc IMAGE: 1525150 3, secuencia de ARNm | 6.29 Abajo | 1.13E-03 |
| 50 | AK127437 | ADNc Homo sapiens FLJ45529 fis, clon BRTHA2027546 | 6.28 Abajo | 3.37E-04 |
| 55 | NM_020836 | Homo sapiens proteína asociada a quinasa enriquecida de cerebro guanilato (K1AA1446), ARNm | 6.27 Abajo | 6.60E-03 |
| 60 | AL512697 | Homo sapiens ARNm; ADNc DKFZp547F134 (a partir del clon DKFZp547F134) | 6.25 Abajo | 1.36E-03 |
| 65 | NM_005211 | Homo sapiens factor de receptor 1 estimulador de colonia, anteriormente sarcoma felino viral McDonough (v-fms) oncogén homólogo (CSF1R), ARNm | 6.24 Abajo | 5.07E-04 |
| | AK124776 | ADNc Homo sapiens FLJ42786 fis, clon BRAWH3006761 | 6.2 Abajo | 1.15E-04 |
| | NM_173662 | Homo sapiens proteína hipotética LOC285533 (LOC285533), ARNm | 6.18 Abajo | 1.05E-02 |
| | NM_014391 | Homo sapiens dominio de repetición de anquirina 1 (músculo cardíaco) (ANKRD1), ARNm | 6.18 Abajo | 3.52E-03 |

ES 2 569 421 T3

| | | | | | |
|----|-----------|---|---------------|----------|--|
| | | | | | |
| 5 | NM_005860 | Homo sapiens similar a follistatina 3 (Glicoproteína secretada) (FSTL3), ARNm | 6.18 Abajo | 5.23E-05 | |
| 10 | NM_001045 | Homo sapiens familia transportista soluto 6 (Transportador de neurotransmisores, serotonina), miembro 4 (SLC6A4), ARNm | 6.17 Abajo | 5.46E-03 | |
| 15 | NM_002147 | Homo sapiens homeobox B5 (HOXB5), ARNm | 6.17 Abajo | 1.05E-04 | |
| 20 | A1288404 | qv89b0l.xl NCI _CGAP_Ut2 Homo sapiens clon de ADNc IMAGE: 1988713 3, secuencia de ARNm | 6.16 Abajo | 3.74E-04 | |
| 25 | NM_173584 | Homo sapiens proteína hipotética MGC45840 (MGC45840), ARNm | 6.16 Abajo | 1.32E-04 | |
| 30 | N62729 | yz76g05.sl Soares_multiple_sclerosis_2NbHMS P Homo sapiens clon ADNc IMAGE: 289016 3, secuencia ARNm | 6.12 Abajo | 1.37E-03 | |
| 35 | AK024238 | ADNc Homo sapiens FLJ14I76fis, clon NT2RP2003101 | 6.11 Abajo | 9.69E-05 | |
| 40 | NM_001843 | Homo sapiens contactina 1 (CNTN1), variante de transcripción 1, ARNm | 6.1 Abajo | 4.80E-03 | |
| 45 | NM_152433 | Homo sapiens repetición de kelch y BTB (POZ) de dominio que contiene 3 (KBTBD3), variante de transcripción 1, ARNm | 6.1 Abajo | 2.39E-03 | |
| 50 | BX649112 | ARNm Homo sapiens; ADNc DKFZp686EO2109 (a partir del clon DKFZp686EO2109) | 6.1 Abajo | 2.24E-04 | |
| 55 | AA411988 | zt65g11.s1 Soares_testis_NHT Homo sapiens clon de ADNc IMAGE: 727268 3, secuencia de ARNm | 6.09 Abajo | 1.40E-03 | |
| 60 | R80806 | yi94f0l.s1 Soares placenta Nb2HP Homo sapiens clon de ADNc IMAGE: 146905 3, secuencia de ARNm | 6.08 Abajo | 1.54E-04 | |
| 65 | NM_002843 | Homo sapiens proteína tirosina fosfatasa, de tipo receptor, J (PTPRJ), ATNm | 6.08 Abajo | 6.54E-03 | |
| | NM_003979 | Homo sapiens acoplado a proteína G receptor, la familia C, grupo 5, miembro A (GPCR5A), ARNm | 6.06 Abajo | 8.75E-03 | |
| | AW129281 | xf23a03.xl NCI _CGAP_Kid8 Homo sapiens clon de ADNc IMAGE: 2618860 3 similar a PLASMA X58295_rnal: gb PERÓXIDO PRECURSOR DE GLUTATION (HUMANO); secuencia de ARNm | 6.06 Abajo | 1.70E-04 | |

ES 2 569 421 T3

| | | | | |
|----|-----------|--|---------------|----------|
| 5 | NM_015345 | Homo sapiens activador asociado desgreñado de morfogénesis 2 (DAAM2), ARNm | 6.05 Abajo | 1.09E-03 |
| 10 | L07615 | Neuropéptido humano Y receptor de Y1 (NPYY1) ARNm, el exón 2-3 y cds completo | 6.05 Abajo | 5.51E-03 |
| 15 | NM_016179 | Homo sapiens receptor transitorio potencial canal catiónico, subfamilia C, miembro 4 (TRPC4), ARNm | 6.04 Abajo | 8.59E-05 |
| 20 | NM-182797 | Homo sapiens fosfolipasa C, beta 4 (plcb4), variante de transcripción 2, ARNm | 6.03 Abajo | 4.40E-04 |
| 25 | AB032945 | Homo sapiens proteínas ARNm para KIAA1119, cds parcial | 6.03 Abajo | 1.11E-02 |
| 30 | CA444471 | UI-H-DPO-avv-a-16-0-UI.sINCI_CGAP_Fsl Homo sapiensclon de ADNc UI-H-DPO-AVV-a-1-6-0 UI3, secuencia de ARNm | 6.02 Abajo | 1.02E-03 |
| 35 | AK127421 | ADNc Homo sapiens FLJ4551 3 fis, BRTHA2O2145O clon | 6.01 Abajo | 1.60E-04 |
| 40 | AV736303 | AV736303 CB ADNc Homo sapiens clon CBCAJDO4 5, secuencia de ARNm | 6.01 Abajo | 8.97E-05 |
| 45 | BX537613 | ARNm Homo sapiens; ADNc DKFZp686E11117 (a partir del clon DKFZp686E11117) | 6 Abajo | 4.89E-04 |
| 50 | AB023211 | Homo sapiens ARNm proteínas para KIAA0994, cds parcial | 5.99 Abajo | 5.50E-04 |
| 55 | NM_018349 | Homo sapiens múltiples dominios C2 con dos regiones transmembrana 2 (MCTP2), ARNm | 5.99 Abajo | 2.48E-04 |
| 60 | NM_000087 | Homo sapiens canal alfa cerrado de nucleótidos cílicos 1 (CNGAI), ARNm | 5.98 Abajo | 3.29E-03 |
| 65 | BF939416 | nad89cO2xl NCI_CGAP_Pr28 Homo sapiens clon de ADNc IMAGEN-.3410667 3, secuencia de ARNm | 5.97 Abajo | 9.03E-04 |
| 55 | NM_013951 | Homo sapiens gen cuadradp emparejado 8 (PAX8), variante de transcripción PAX8B, ARNm | 5.97 Abajo | 2.57E-03 |
| 60 | AW195474 | xn38g09.xl NCICGAP_Kidll Homo sapiens clon de ADNc IMAGE: 2696032 3, secuencia de ARNm | 5.97 Abajo | 1.68E-04 |
| 65 | R40050 | y168h07.sl Soares cerebro infantil 1 NIB Homo sapiens clon de ADNc IMAGE: 27726 3, secuencia de ARNm | 5.94 Abajo | 5.78E-03 |

ES 2 569 421 T3

| | | | | |
|----|-----------|--|---------------|-----------|
| | NM_021101 | Homo sapiens claudina I (CLDN1), ARNm | 5.9 Abajo | 2.60E-04 |
| 5 | AA602964 | no97c02.sl NCI_CGAP_Pr2 Homo sapiens clon de ADNc IMAGE: 1114754, secuencia de ARNm | 5.9 Abajo | 1.23E-03 |
| 10 | NM_006255 | Homo sapiens proteína quinasa C, eta (PRKCH), ARNm | 5.89 Abajo | 2.78E-04 |
| 15 | NM_024103 | Homo sapiens soluto transportista familia 25 (portador mitocondrial; fosfato portador), miembro de 23 (SLC25A23), ARNm | 5.89 Abajo | 7.42E-05 |
| 20 | AK093870 | ADNc Homo sapiens FLJ36551 fis, clonar TRACH2008127 | 5.88 Abajo | 2.28E-02 |
| | BE070450 | 0V4-BT0407-020300-122-d08 BT0407 ADNc Homo sapiens,secuencia de ARNm | 5.85 Abajo | 3.53E-04 |
| 25 | NM_003706 | Homo sapiens fosfolipasa A2, grupo IVC (citosólica, calcio independiente) (PLA2G4C), ARNm | 5.85 Abajo | 7.81E-04 |
| 30 | NM_023927 | Homo sapiens VHC NS3- proteína transactivado 2 (NS3TP2), ARNm | 5.85 Abajo | 2.64E-03 |
| 35 | AF519622 | Homo sapiens no codificantes de secuencia de ARNm | 5.84 Abajo | 7.70E-03 |
| | NM_198582 | Homo sapiens proteína FLJ43374 (FLJ43374), ARNm | 5.84 Abajo | 4.05E-03 |
| 40 | AK026283 | ADNc Homo sapiens: FLJ22630 fis, clon HS106250 | 5.84 Abajo | 5.32E-04 |
| | CB115754 | K-EST0159876 L8SCKO Homo sapiens cDNA clon L8SCKO-8- H08 5, secuencia de ARNm | 5.81 Abajo | 9.71 E-04 |
| 45 | BQ188285 | UI-E-EJ1-ajp-n-20-O-UI RI D I-E-EJ1 Homo sapiens clon de ADNc UI-E-EJ1-AJP-n-20-O-UI 5, secuencia de ARNm | 5.8 Abajo | 5.47E-03 |
| 50 | NM_003662 | Homo sapiens Pirin (hierro vinculante proteína nuclear) (PIR), ARNm | 5.78 Abajo | 1.71E-04 |
| | BX098660 | BX098660 Soares placenta Nb2HP Homo sapiens clon de ADNc 1MAGp998LO3214; IMAGE: 143762 secuencia de ARNm | 5.77 Abajo | 6.00 E-04 |
| 55 | NM_005360 | Homo sapiens músculoaponeurótico homólogo v-maf fibrosarcoma oncogén (aviar) (MAF), ARNm | 5.77 Abajo | 2.24E-04 |
| 60 | | | | |

ES 2 569 421 T3

| | | | | |
|----|-----------|---|---------------|----------|
| | NM_031847 | Homo sapiens proteína asociada microtúbulos 2 (MAP2), variante de transcripción 4, ARNm | 5.77 Abajo | 1.34E-03 |
| 5 | NM_003057 | Homo sapiens familia transportista soluto 22 (transportador de cationes orgánicos), miembro 1 (SLC22A1), variante de transcripción 1, ARNm | 5.75 Abajo | 2.42E-04 |
| 10 | | | | |
| 15 | AW242323 | xm9GfO3.xl NCI_CGAPKId1 1 Homo sapiens clon de ADNm IMAGE: 2692061 3 similar a repetitivo Alu contiene elemento ;, secuencia de ARNm | 5.74 Abajo | 1.92E-04 |
| | NM_052890 | Homo sapiens proteína de reconocimiento de peptidoglicano 2 (PGLYRP2), ARNm | 5.73 Abajo | 1.14E-04 |
| 20 | NM_000593 | Homo sapiens transportador 1, ATP de unión de cassette, subfamilia B (MDRITAP) (TAP1), ARNm | 5.72 Abajo | 4.86E-03 |
| 25 | | | | |
| 30 | NM_033132 | Homo miembro de sapiensZicfamily 5 (homólogo apareadas impar, Drosophila) (ZIC5), ARNm | 5.71 Abajo | 1.76E-04 |
| | AL832380 | Homo sapiens ARNm; ADNc DKFZp451 Li 57 (a partir del clon DKFZp451L157) | 5.71 Abajo | 1.54E-04 |
| | NM_183376 | Homo sapiens arrestina dominio que contiene 4 (ARRDC4), ARNm | 5.71 Abajo | 5.88E-04 |
| 35 | NM_018700 | Homo sapiens tripartita motif- que contiene 36 (TRIM36), ARNm | 5.7 Abajo | 1.32E-02 |
| | NM_000782 | Homo sapiens P450 del citocromo, de la familia 24, subfamilia A, polipéptido 1 (CYP24A1), gen nuclear que codifica la proteína mitocondrial, ARNm | 5.69 Abajo | 1.82E-02 |
| 40 | | | | |
| 45 | BC035805 | Homo sapiens reclutamiento de caspasas dominio de la familia, elemento 9, ARNm (clon de cDNA IMAGE-0,5745585), cds parcial | 5.68 Abajo | 4.00E-03 |
| | BC051727 | BC051727 ADNc Homo sapiens clonar IMAGE.-5.265.929, cds parcial | 5.68 Abajo | 5.13E-04 |
| 50 | NM_022842 | Homo sapiens CUB dominio que contiene la proteína 1 (CDCP1), variante de transcripción 1, ARNm | 5.68 Abajo | 1.85E-03 |
| 55 | NM_004335 | Homo sapiens médula ósea del estroma antígeno de las células 2 (BST2), ARNm | 5.67 Abajo | 6.01E-03 |
| | NM_053039 | Homo sapiens UDP glicosiltransferasa 2 familia, B28 polipéptido (U0T2B28), ARNm | 5.66 Abajo | 8.07E-03 |
| | NM_004529 | Homo sapiens mieloide / linfoide o leucemia de linaje mixto (homólogo trithorax, Drosophila); translocado a, 3 (MLLT3), ARNm | 5.66 Abajo | 4.02E-04 |
| 60 | | | | |
| 65 | | | | |

ES 2 569 421 T3

| | | | | |
|----|-----------|---|---------------|----------|
| | AK093069 | ADNc Homo sapiens FLJ35750 fis, clon TEST12004539, débilmente similar a adlican Homo sapiens ARNm | 5.65 Abajo | 1.10E-03 |
| 5 | | | | |
| 10 | NM_005141 | Homo sapiens fibrinógeno, B beta polipéptido (FGB), ARNm | 5.63 Abajo | 7.89E-04 |
| 10 | NM_000682 | Homo sapiens adrenérgico alfa-2B receptor (ADRA2B), ARNm | 5.61 Abajo | 1.14E-04 |
| 15 | BF512326 | UI-H-BW1-amb-g-12-0-UI.sl NCI_CGAP_Sub7 Homo sapiens cDNA clon IMAGE: 3069503 3, secuencia de ARNm | 5.6 Abajo | 1.49E-04 |
| 20 | NM_003726 | Homo sapiens familia src asociada fosfoproteína 1 (SCAP1), ARNm | 5.6 Abajo | 2.42E-03 |
| 20 | AK024261 | ADNc Homo sapiens FLJ14199 fis, clon NT2RP300271 3 | 5.6 Abajo | 4.42E-04 |
| 25 | AK125695 | ADNc Homo sapiens FLJ43707 fis, TESOP2001 clon 865 | 5.59 Abajo | 1.10E-02 |
| 25 | NM_006074 | Homo sapiens tripartita motif- que contiene 22 (TRIM22), ARNm | 5.58 Abajo | 1.94E-03 |
| 30 | AW591461 | xl92h06.xl NCI CGAP UT1 Homo sapiens clon de ADNc IMAGE: 2682203 3, secuencia de ARNm | 5.58 Abajo | 1.95E-02 |
| 35 | NM_022128 | Homo sapiens ribokinase (RBKS), ARNm | 5.58 Abajo | 1.87E-04 |
| 35 | N66105 | yy65e06.sl Soares_multiple_sclerosis_2NbHMS clon ADNc Homo sapiensIMAGE: 278434 3, secuencia de ARNm | 5.57 Abajo | 2.84E-04 |
| 40 | BC035116 | Homo sapiens clon de ADNc IMAGE: 5263177, cds parcial | 5.56 Abajo | 5.49E-04 |
| 45 | BM988642 | UI-H-DHO-ARX-p-21-0-UI SI NCI_CGAP_DH0 Homo sapiens clon de cDNA IMAGE: 5855492 3, secuencia de ARNm | 5.56 Abajo | 2.48E-03 |
| 50 | NM_003947 | Homo sapiens proteína que interactúan con proteína asociadas a huntingtina (dúo) (HAPIP), ARNm | 5.56 Abajo | 9.71E-04 |
| 55 | AI697906 | wel8fO6.xl NCLCGAP Lu24 Homo sapiens clon de ADNc IMAGE: 2341475 3, secuencia de ARNm | 5.56 Abajo | 3.52E-03 |
| 55 | AK095399 | ADNc Homo sapiens FLJ38080 fis, clon CT0NG2016185 | 5.55 Abajo | 7.43E-03 |
| 60 | AL110252 | ARNm Homo sapiens; ADNc DKFZp566A1046 (a partir del clon DKFZp566A1 046) | 5.54 Abajo | 3.44E-03 |

ES 2 569 421 T3

| | | | | |
|----|-----------|---|---------------|----------|
| | NM_024572 | Homo sapiens UDP-N-acetil-alfa-D-galactosamina: polipéptido N -acetylgalactosam inyltransferase 14 (GalNAc-T14) (GALNT14), ARNm | 5.54 Abajo | 5.93E-03 |
| 5 | | | | |
| 10 | NM_000775 | Homo sapiens P450 citocromo, familia 2, J subfamilia, polipéptido 2 (CYP2J2), ARNm | 5.53 Abajo | 1.57E-03 |
| 15 | NM_018317 | Homo sapiens proteína hipotética FLJ11082 (FLJ11O82), ARNm | 5.51 Abajo | 5.10E-04 |
| | NM_030915 | Homo sapiens probable ortholog de ratón extremidad del brote y el gen del corazón (LBH), ARNm | 5.51 Abajo | 6.86E-04 |
| 20 | NM_139241 | Homo sapiens FYVE, RhoGEF y dominio PH que contiene 4 (FGD4), ARNm | 5.5 Abajo | 9.42E-03 |
| 25 | CB047092 | NISC_gfO8fO3.xl NCI_CGAP_Kid12 Homo sapiens clon de ADNc IMAGEN: 3253013 3, secuencia de ARNm | 5.5 Abajo | 5.38E-04 |
| 30 | NM_005711 | Homo sapiens repeticiones similar a EGF dominios similares a discoide 1 3 (igual que los dominios EDIL3), ARNm | 5.5 Abajo | 6.04E-04 |
| 35 | AA974968 | onO2eO8.sl NCI_CGAP_Kid3 Homo sapiens clon de ADNc IMAGE: 1555526 3, secuencia de ARNm | 5.49 Abajo | 1.63E-03 |
| 40 | NM_000129 | Homo sapiens factor de coagulación XIII, A1 polipéptido (F13A11), ARNm | 5.49 Abajo | 1.09E-02 |
| 45 | NM_007366 | Homo sapiens la fosfolipasa A2 receptor 1, l80kDa (PLA2R1), variante de transcripción 1, ARNm | 5.47 Abajo | 4.66E-03 |
| 50 | AL353944 | ARNm Homo sapiens; ADNc DKFZp761J1112 (a partir del clon DKFZp761J1112) | 5.46 Abajo | 5.38E-04 |
| | AK095647 | ADNc Homo sapiens FLJ38328 fis, clon FCBBF3025142 | 5.46 Abajo | 1.61E-03 |
| 55 | BQ188860 | IU-E-EJ1-ajx-h-03-0-UI.r1 UI-E-EJ1 Homo sapiens clon de ADNc UI-E-EJ1-AJX-h-03-0-UI 5, secuencia de ARNm | 5.46 Abajo | 3.33E-03 |
| 60 | NM_017594 | Homo sapiens familia DIRAS, GTP unión RAS-como 2 (DIRAS2), ARNm | 5.44 Abajo | 1.22E-02 |
| | NM_014399 | Homo sapiens transmembrana 4 miembro de la superfamilia 13 (TM4SF1 3), ARNm | 5.43 Abajo | 2.64E-04 |
| 65 | | | | |

ES 2 569 421 T3

| | | | | |
|----|-----------|--|---------------|-----------|
| | NM_033255 | Homo sapiens estroma epitelial interacción 1 (mama) (EPSTI1), ARNm | 5.43 Abajo | 1.73E-03 |
| 5 | AW269270 | xs35cll.xl NCI_CGAP_Kid11 Homo sapiens clon de ADNc IMAGE: 2771636 3 similar a contiene L1.13 L1 elemento repetitivo secuencia de ARNm | 5.42 Abajo | 1.33E-03 |
| 10 | AK092456 | ADNc Homo sapiens FLJ351 37 fis, clon PLACE6009419 | 5.42 Abajo | 1.09E-04 |
| 15 | NM_031935 | Homo sapiens hemicentrina (FIBL-6), ARNm | 5.42 Abajo | 7.69E-04 |
| 20 | BU751966 | UI-1-BBO-acy-c-09-0-UI.sl NCI_CGAP_P14 Homo sapiens clon de ADNc UI-1-BBO-ACY-c-09-0-UI 3, secuencia de ARNm | 5.4 Abajo | 1.61 E-03 |
| 25 | NM_001747 | Homo sapiens proteína tapada (filamento de actina), gelsolina-como (CAPG), ARNm | 5.4 Abajo | 1.33E-03 |
| 30 | NM_002260 | Homo sapiens células asesinas lectina subfamilia de receptores C, miembro 2 (KLRC2), ARNm | 5.4 Abajo | 1.21E-02 |
| 35 | AA732841 | zg77fOi.sl Soares corazón fetal NbHH19W Homo sapiens clon de ADNc IMAGE: 399385 3, secuencia de ARNm | 5.4 Abajo | 3.48E-03 |
| 40 | AK055468 | ADNc Homo sapiens FLJ30906 fis, clon FEBRA2006O55 | 5.4 Abajo | 1.36E-03 |
| 45 | A1080164 | oz48c05.xl Soares_NhHMPu_S1 Homo sapiens clon de ADNc IMAGE: 1678568 3, secuencia de ARNm | 5.38 Abajo | 2.44E-03 |
| 50 | NM_005562 | Homo sapiens mm lam, gamma 2 (LAMC2), variante de transcripción 1, ARNm | 5.38 Abajo | 3.78E-04 |
| 55 | NM_080659 | Homo sapiens similar a RIKEN gen cDNA 2310030G06 (MGC14839), ARNm | 5.36 Abajo | 3.81E-03 |
| 60 | NM_015085 | Homo sapiens GTPasa activación Rap / RanGAP dominio 4 similar a (GARNL4), ARNm | 5.36 Abajo | 1.86E-04 |
| 65 | BX097034 | BX097034 Soares cerebro infantil 1 NIB Homo sapiens clon de ADNc IMAGP998F14169; IMAGE: 39685, secuencia de ARNm | 5.36 Abajo | 8.59E-05 |
| | NM_002147 | Homo sapiens homeobox B5 (HOXB5), ARNm | 5.35 Abajo | 8.21E-05 |
| | NM_181785 | Homo sapiens proteína hipotética L0C283537 (L0C283537), ARNm | 5.33 Abajo | 3.48E-04 |

ES 2 569 421 T3

| | | | | |
|----|-----------|--|---------------|----------|
| 5 | NM_032857 | Homo sapiens lactamasa, beta (LACTB), codificación de genes nucleares proteína mitocondrial, variante de transcripción 1, ARNm | 5.33 Abajo | 2.45E-04 |
| 10 | BX113144 | BX113144 Soares placenta Nb2HP Homo sapiens clon de ADNc 1MAGp998NO7225; IMAGE: 148038, secuencia de ARNm | 5.32 Abajo | 1.53E-03 |
| 15 | NM_014905 | Homo sapiens glutaminasa (GLS), ARNm | 5.31 Abajo | 1.63E-03 |
| 20 | NM_138396 | Homo sapiens membrana asociada RING-CH de la proteína IX (marzo-IX), ARNm | 5.31 Abajo | 1.39E-04 |
| 25 | NM_004433 | Homo sapiens E74-similar a factor 3 (dominio del factor de transcripción ETS, epitelial específico) (ELF3), ARNm | 5.3 Abajo | 5.32E-05 |
| 30 | AA553553 | nk78dl1.s1 NCI_CGAP_Schl ADNc Homo sapiens clon IMAGE: 1019637 3, secuencia de ARNm | 5.27 Abajo | 1.69E-03 |
| 35 | AW188195 | xj93e12.xi SoaresNFLTGBCSi ADNc clon Homo sapiens IMAGE:2664814 3 similar al contiene elemento THR elemento repetitivo ;, secuencia ARNm | 5.27 Abajo | 5.32E-05 |
| 40 | NM_006169 | Homo sapiens nicotinamida N metiltransferasa (NNMT), ARNm | 5.26 Abajo | 7.45E-05 |
| 45 | NM_000071 | Homo sapiens cistationina-betasynthase (CBS), ARNm | 5.26 Abajo | 1.49E-03 |
| 50 | NM_001958 | Homo sapiens traducción eucariótica factor de elongación 1 alfa 2 (eEF1A2), ARNm | 5.25 Abajo | 5.20E-03 |
| 55 | AK055356 | Homo sapiens ADNc clon FLJ30794 fis, FEBRA2001O93, débilmente similar a TRANSPORTADOR de monocarboxilato 4 | 5.25 Abajo | 8.65E-04 |
| 60 | NM_014578 | Homo sapiens ras familia gen homólogo, el miembro D (RHOD), ARNm | 5.24 Abajo | 5.43E-03 |
| 65 | | | | |

ES 2 569 421 T3

| | | | | |
|----|-----------|--|---------------|----------|
| | NM_013230 | Homo sapiens antígeno CD24 (pulmón de células pequeñas carcinoma de clúster 4 antígeno) (CD24), ARNm | 5.22 Abajo | 7.65E-04 |
| 5 | | | | |
| 10 | AF086158 | Homo sapiens duración ADNc clon inserte ZB72E12 | 5.2 Abajo | 6.04E-03 |
| 15 | NM_004932 | Homo sapiens cadherina 6, tipo 2, K cadherina (riñón fetal) (CDH6), ARNm | 5.18 Abajo | 2.11E-04 |
| 20 | NM_020466 | Homo sapiens proteína hipotética dJ122O8.2 (DJ12208.2), ARNm | 5.18 Abajo | 2.99E-03 |
| 25 | AL117425 | Homo sapiens ARNm; ADNc DKFZp566L203 (del clon DKFZp566L203) | 5.17 Abajo | 8.64E-03 |
| 30 | A1732568 | zo23dl2.x5 Stratagene colon (#937204) ADNc Homo sapiens clon IMAGE: 587735 3, secuencia de ARNm | 5.17 Abajo | 9.19E-04 |
| 35 | A1150192 | qf34d12.xl Soares_testis_NHT Homo sapiens clon de ADNc IMAGE: 1751927 3, secuencia de ARNm | 5.17 Abajo | 1.21E-02 |
| 40 | AK125852 | ADNc Homo sapiens FLJ43864 fis, TEST14007799 clon | 5.17 Abajo | 4.82E-03 |
| 45 | NM_017912 | Homo sapiens dominio hect y RLD 6 (HERC6), ARNm | 5.15 Abajo | 3.63E-04 |
| 50 | NM_006174 | Homo sapiens neuropéptido Y receptor Y5 (NPY5R), ARNm | 5.14 Abajo | 1.13E-02 |
| 55 | AK025281 | ADNc Homo sapiens: 628FLJ21 fis, clon C0L08076 | 5.14 Abajo | 9.71E-04 |
| 60 | NM_153742 | Homo sapiens cistationasa (Cistationina gamma-liasa) (CTH), variante de transcripción 2, ARNm | 5.12 Abajo | 1.27E-04 |
| | NM_003107 | Homo sapiens SRY (región determinante de sexo Y)-box 4 (SOX4), ARNm | 5.11 Abajo | 3.48E-04 |
| | NM_003948 | Homo sapiens dependiente de ciclina quinasa 2 (relacionados con la quinasa Cdc2)(CDKL2), ARNm | 5.11 Abajo | 2.05E-03 |
| | NM_173660 | Homo sapiens proteína hipotética FLJ33718 (FLJ33718), ARNm | 5.11 Abajo | 1.30E-03 |
| | A1693580 | wdl2dOl.xi NCI_CGAPCo3 Homo sapiens clon de ADNc IMAGE: 2327905 3, secuencia de ARNm | 5.1 Abajo | 6.19E-03 |

ES 2 569 421 T3

| | | | | |
|----|-----------|--|---------------|----------|
| | NM_004482 | Homo sapiens UDP-N-acetil-alfa D-galactosamina: polipéptido N - acetilgalactosaminiltransferasa 3 (GalNAc-T3), ARNm | 5.1 Abajo | 2.31E-03 |
| 5 | NM_030965 | Homo sapiens sialiltransferasa 7 ((Alfa-N-acetilneuram inil-2,3- betagalactosil-1, 3) -N-acetyl galactosaminida alfa-2,6-sialiltransferasa) E (SIAT7E), ARNm | 5.1 Abajo | 2.61E-04 |
| 10 | | | | |
| 15 | NM_016147 | Homo sapiens proteína fosfatasa metil esterasa-1 (PME-1), ARNm | 5.09 Abajo | 9.71E-04 |
| | NM_006259 | Homo sapiens proteína quinasa, dependiente de GMPc, tipo II (Prkg2), ARNm | 5.08 Abajo | 1.36E-03 |
| 20 | NM_002993 | Homo sapiens quimiocina (C-X-C motivo) ligando 6 (granulocitos proteína quimiotáctica 2) (CXCL6), ARNm | 5.07 Abajo | 2.32E-03 |
| 25 | BE671338 | 7e49f03.xl NCI CGAPLu24 Homo sapiens clon de ADNc IMAGEN: 3285821 3, secuencia de ARNm | 5.07 Abajo | 1.28E-02 |
| 30 | | | | |
| 35 | BX647256 | ARNm Homo sapiens; ADNm DKFZp686K0753 (del clon DKFZp686K0753) | 5.07 Abajo | 2.05E-02 |
| | BG186566 | RST5534 Athersys RAGE Biblioteca ADNc Homo sapiens, secuencia de ARNm | 5.05 Abajo | 8.91E-04 |
| 40 | AV652758 | AV652758 GLC Homo sapiens clon de ADNc GLCDDGO5 3, secuencia de ARNm | 5.04 Abajo | 1.05E-03 |
| 45 | A1672441 | waO3cO3.xl NCI_CGAP_Kid11 Homo sapiens clon de ADNc IMAGE: 2296996 3, secuencia de ARNm | 5.04 Abajo | 1.11E-02 |
| | AA769642 | ob2OhO4.sl NCI_CGAP_Kid5 Homo sapiens clon de ADNc IMAGE: 1324279 3, secuencia de ARNm | 5.02 Abajo | 1.59E-02 |
| 50 | | | | |
| 55 | AL706653 | DKFZp686E1543_rl 686 (sinónimo hlcc3) Homo sapiens clon de ADNc DKFZp686E1 543 5, secuencia de ARNm | 5.02 Abajo | 1.09E-03 |
| | AW296834 | UI-H-B12-ahz-a-10-0-UI.sl NCI_CGAP_Sub4 ADNc Homo sapiens clon IMAGE: 2728243 3, secuencia de ARNm | 5.01 Abajo | 5.93E-03 |
| 60 | | | | |

TABLA VII B: GENES QUE FUERON EXPRESADOS DIFERENCIALMENTE AL MENOS 5 VECES EN EL EPITELIO FRENTE A LAS CÉLULAS DE FIBROBLASTOS

| 5 | Identificador de gen | Nombre de gen | Cambio de pliegue medio en células de fibroblasto versus AF | Dirección | P-valor adj. |
|----|----------------------|--|---|-----------|--------------|
| 10 | NM_018658 | Homo sapiens de potasio hacia el interior rectificar canal, subfamilia J, miembro 16 (KCNJ16), variante de transcripción 1, ARNm | | 481.28 UP | 2.64E-05 |
| 15 | NM_014358 | Homo sapiens de tipo C (dependiente de calcio, el dominio de reconocimiento de carbohidratos) lectina, miembro de la super familia 9 (CLECSF9), ARNm | | 375.12 UP | 6.56E-05 |
| 20 | AB032980 | ARNm de Homo sapiens para la proteína KIAA1154, cds parcial | | 331.92 UP | 1.60E-05 |
| 25 | BG219729 | RST39494 Athersys RAGE Biblioteca ADNc Homo sapiens, secuencia de ARNm | | 316.78 UP | 8.39E-06 |
| 30 | NM_002899 | Homo sapiens proteína de unión a retinol 1, celular (RBP1), ARNm | | 314.6 UP | 5.37E-05 |
| 35 | NM_007038 | Homo sapiens a tipo desintegrina y metaloproteasa (tipo reprodilina) con trombospondina tipo 1 motif, 5 (agrecanasa-2) (ADAMTS5), ARNm | | 280.99 UP | 1.26E-05 |
| 40 | NM_002423 | Homo sapiens matriz metaloproteinasa 7 (Matrilisina, uterina) (MMP7), ARNm | | 269.82 UP | 8.65E-06 |
| 45 | D29453 | HUMNK566 humana de queratinocitos epidérmicos Homo sapiens clon 566 de ADNc, secuencia de ARNm | | 208.36 UP | 1.72E-05 |
| 50 | NM_024508 | Homo sapiens dedo de zinc, dominio BED que contiene 2 (ZBED2), ARNm | | 168.99 UP | 8.39E-06 |
| 55 | A1335277 | tb29h06.xl NCI_CGAP_Kid12 Homo sapiens clon de ADNm IMAGE: 2055803 3, secuencia de ARNm | | 165.99 UP | 8.46E-06 |
| 60 | BE877764 | 601486331F1 NIH_MGC_69 Homo sapiens clon de ADNc IMAGE: 3888943 5, secuencia de ARNm | | 145.52 UP | 2.36E-05 |
| 65 | A1765021 | wh56c02.xl NCI_CGAP_Kid11 Homo sapiens clon de ADNc IMAGE: 2384738 3, secuencia de ARNm | | 145.09 UP | 1.15E-05 |
| | NM_024726 | Homo sapiens IQ motif que contiene con AAA dominio (BOA), ARNm | | 143.09 UP | 8.39E-06 |

ES 2 569 421 T3

| | | | | |
|----|-----------|--|--------------|----------|
| | NM_004221 | Homo sapiens natural killer transcripción celular 4 (NK4), ARNm | 142.15 UP | 1.88E-05 |
| 5 | NM_019000 | Homo sapiens proteína hipotética FLJ20152 (FLJ20152), ARNm | 131.23 UP | 1.88E-05 |
| 10 | NM_000104 | Homo sapiens citocromo P450, familia 1, subfamilia B, potypeptide 1 (CYP1B1), ARNm | 127.7 UP | 1.51E-05 |
| 15 | BM993116 | UI-H-DT0-aty-f-17-0-UI.sl NCI_CGAP_DT0 Homo sapiens ADNc clon IMAGE: 5866000 3, secuencia de ARNm | 127.35 UP | 4.13E-05 |
| 20 | NM_031426 | Homo sapiens cromosoma 9 de marco de lectura abierto 58 (C9orf58), variante de transcripción 1, ARNm | 116.09 UP | 3.82E-05 |
| 25 | NM_152369 | Homo sapiens proteína hipotética MGC45474 (MGC45474), ARNm | 112.28 UP | 2.18E-05 |
| 30 | NM_003810 | Homo sapiens tumor de factor de necrosis (ligando) superfamilia, miembro 10 (TNFSF1O), ARNm | 112.19 UP | 2.96E-05 |
| 35 | NM_023942 | Homo sapiens proteína hipotética MGC3036 (MGC3036), ARNm | 111.27 UP | 1.15E-05 |
| 40 | NM_005560 | Homo sapiens lam mm, alfa 5 (LAMA5), ARNm | 110.51 UP | 1.37E-05 |
| | NM_001453 | Homo sapiens caja de cabeza de horquilla Cl (FOXC1), ARNm | 107.21 UP | 1,15E-03 |
| 45 | BU734212 | UI-E-CQ1-agd-e-21-0-UI.sl UI-E-CQ1 Homosapiens clon de ADNc UI-E-CQ1-AGD-e-21-0-UI 3, secuencia de ARNm | 103.23 UP | 2.89E-05 |
| 50 | AK026966 | ADNc Homo sapiens: FLJ23313fis, clon HEP11919 | 103.17 UP | 1.78E-05 |
| 55 | CA425961 | UI-H-FE1-beg-p-18-0-UI.sl NCI_CGAP_FE1 Homo sapiens clon de ADNc UI-H-FE1-Beg-p-18-0-UI 3, secuencia de ARNm | 102.53 UP | 6.21E-05 |
| 60 | AK075003 | ADNc Homo sapiens FLJ90522 fis, clonNT2RP40001O8, muy similar al gen humanopara la subunidad de neurofilamentos NF-L | 101.8 UP | 2.31E-04 |
| 65 | | | | |

ES 2 569 421 T3

| | | | | |
|----|-----------|---|-------------|----------|
| | NM_018265 | Homo sapiens hipotética proteína FLJ1O9O1 (FLJ1O9O1), ARNm | 99.41 UP | 3.66E-05 |
| 5 | AK058012 | ADNc Homo sapiens FLJ25283 fis, clon STM06716 | 98.88 UP | 9.08E-06 |
| 10 | NM_004098 | Homo sapiens espiráculos vacías homólogo 2 (Drosophila) (EMX2), ARNm | 97.96 UP | 4.13E-05 |
| 15 | AK096481 | ADNc Homo sapiens FLJ391 62 fis, clon 0CBBF2002376 | 94.93 UP | 2.83E-05 |
| 20 | NM_003238 | Homo sapiens factor de crecimiento transformante, beta 2 (TGFB2), ARNm | 91.63 UP | 2.31E-05 |
| 25 | A1244954 | qj93h05.xl NCI_CGAP_Kid3 Homo sapiens clon de ADNc IMAGEN: 1867065 3, secuencia de ARNm | 85.24 UP | 1.78E-05 |
| 30 | NM_173505 | Homo sapiens anquirina dominio de repetición 29 (ANKRD29), ARNm | 82.89 UP | 3.53E-05 |
| 35 | AK130281 | ADNc Homo sapiens FLJ26771 nosotros, clon PRSO3189 | 82.02 UP | 3.66E-06 |
| 40 | NM_153026 | Homo sapiens cosquilleo tipo 1 (Drosophila) (PRICKLE 1), ARNm | 81.73 UP | 1.78E-05 |
| 45 | AK092401 | ADNc Homo sapiens FLJ 35082 fis, clon PLACE6005351 | 79.69 UP | 1.70E-05 |
| 50 | ABO11539 | Homo sapiens ARNm para la proteína MEGF6 (KIAAO815), cds parcial | 79.31 UP | 8.41E-05 |
| 55 | NM_016356 | Homo sapiens dominio doublecortin que contiene 2 (DCDC2), ARNm | 78.04 UP | 6.98E-05 |
| 60 | AK023631 | ADNc Homo sapiens FLJ13569 f es, clon PLACE1008369 | 77.68 UP | 2.09E-05 |
| 65 | NM_024422 | Homo sapiens desmocolina 2 (DSC2), variante de transcripción Dsc2a, ARNm | 73.14 UP | 7.38E-05 |
| | BX648964 | Homo sapiens ARNm; ADNc DKFZp686JO156 (A partir del clon DKFZp686JO156) | 70.68 UP | 6.92E-05 |
| | T56535 | yb33g07.rl Estratagene bazo fetal (# 937205) Homo sapiens cDNA clon IMAGE: 73020 5, secuencia de ARNm | 69.74 UP | 2.03E-05 |

ES 2 569 421 T3

| | | | | |
|----|-----------|--|-------------|----------|
| | BG197054 | RST16291 Athersys RAGE Biblioteca Homo sapiens ADNc, secuencia de ARNm | 69.48 UP | 4.96E-05 |
| 5 | NM_005949 | Homo sapiens metalotioneína iF (funcional) (MT1F), ARNm | 68.1 UP | 2.03E-05 |
| 10 | AK090808 | ADNc Homo sapiens FLJ33489 fis, clon BRAMY2003585 | 65.29 UP | 2.87E-05 |
| 15 | CA306881 | UI-H-FT1-bht-n-22-0-Ui.sl NCI_CGAP_FT1 Homo sapiens clon de ADNc UI-H-FT1-BHT-n-22-0-Ui 3, secuencia de ARNm | 64.98 UP | 2.93E-05 |
| 20 | NM_001448 | Homo sapiens glipicano 4 (GPC4), ARNm | 64.85 UP | 2.45E-04 |
| | AL833276 | Homo sapiens ARNm; ADNc DKFZp451 D088 (A partir del clon DKFZp451 D088) | 64.7 UP | 1.98E-05 |
| 25 | BC044843 | Homo sapiens proteína hipotética LOC339535, ARNm (clon de ADNc IMAGE: 5186761), cds parcial | 63.8 UP | 7.59E-05 |
| 30 | BF798098 | RC 1-010045-021000-021-f02 C10045 Homo sapiens ADNm, secuencia de ARNm | 58.58 UP | 3.04E-05 |
| 35 | H89526 | yw28b04.rl Morton fetal cóclea Homo sapiens clon de cDNA IMAGEN-0.253519 5, secuencia de ARNm | 56.92 UP | 3.82E-05 |
| 40 | BF509573 | IU-H-B14-APF-b-1-1-0 1 Uls NCI_CGAP_Sub8 Inicio sapiens clon de cDNA IMAGEN: 3086949 3, secuencia de ARNm | 56.79 UP | 2.83E-05 |
| 45 | NM_000990 | Homo Sapiens proteína ribosomal L27a (RPL27A), ARNm | 56.36 UP | 1.73E-05 |
| 50 | BC042028 | Homo sapiens, clon IMAGE: 4794726, ARNm | 55.75 UP | 1.64E-05 |
| | NM_003287 | Homo sapiens proteína tumoral D52-1 similar (TPD52L1), variante de transcripción 1, ARNm | 55.25 UP | 8.46E-06 |
| 55 | NM_018168 | Homo sapiens cromosoma 14 de marco de lectura abierto 105 (Ci4orf1O5), ARNm | 54.64 UP | 4.79E-05 |
| 60 | NM_152284 | Homo sapiens Snf7 homólogo asociado con Alix 3 (Shax3), ARNm | 54.16 UP | 9.09E-06 |
| 65 | | | | |

ES 2 569 421 T3

| | | | | |
|----|-----------|--|-------------|----------|
| | AK096975 | ADNc Homo sapiens FLJ39656 fis, clon SMNT2005956 | 54.14 UP | 8.37E-05 |
| 5 | AI249696 | qj64a03.xl NCI_CGAP_Kid3 Homo sapiens clon de cDNA IMAGEN-1864204 3, secuencia de ARNm | 53.24 UP | 7.14E-05 |
| 10 | NM_003551 | Homo sapiens células no metastásicas 5, proteína expresada en (quinasa nucleósido-difosfato) (NME5), ARNm | 53.01 UP | 4.75E-05 |
| 15 | BX118238 | BX118238 NCI_CGAP Kid3 Homo sapiens clon de ADNc IMAGP998L153800; IMAGEN: 1501598, secuencia de ARNm | 51.99 UP | 5.64E-05 |
| 20 | BX102632 | BX1 02632 NCI_CGAP_Co3 Homo sapiens IMAGP998J052307 clon de ADNc; IMAGEN: 928228, secuencia de ARNm | 51.79 UP | 9.10E-05 |
| 25 | AF055376 | Homo sapiens factor de forma breve transcripción C-MAF (c-maf) de ARNm, cds completos | 51.22 UP | 3.94E-05 |
| 30 | NM_012464 | Homo sapiens tolloid tipo 1 (TLL1), ARNm | 51.19 UP | 6.57E-04 |
| 35 | NM_030949 | Homo sapiens proteína fosfatasa 1, reguladora (inhibidor) de la subunidad 14C (PPP1R14C), ARNm | 49.96 UP | 5.80E-05 |
| 40 | BM669002 | IU-E-CK1-AFN-m-04-O-UI.s2 IU-E-CK1 Homo sapiens clon de ADNc de IU-E-CK1-AFN-m-04-0-UI 3, secuencia de ARNm | 49.05 UP | 1.78E-05 |
| 45 | NM_000582 | Homo sapiens secretada fosfoproteína 1 (Osteopontina, sialoproteína ósea I, T temprana - la activación de linfocitos 1) (SPP1), ARNm | 46.79 UP | 6.18E-05 |
| 50 | NM_006722 | Homo sapiens microftalmia asociada a factor de transcripción (MITF), variante de transcripción 3, ARNm | 46.73 UP | 1.26E-05 |
| 55 | NM_152423 | Homo sapiens melanoma antígeno asociado (Mutado) 1 tipo 1 (MUMIL1), ARNm | 46.24 UP | 1.48E-04 |
| 60 | | | | |
| 65 | | | | |

ES 2 569 421 T3

| | | | | |
|----|-----------|--|-------------|----------|
| | AA075748 | zm89e04.rl Stratagene cáncer de ovario (# 937219) Homo sapiens clon de ADNc IMAGE: 5451 18 5, secuencia de ARNm | 45.76 UP | 4.39E-05 |
| 5 | | | | |
| 10 | NM_017549 | Homo sapiens no regulado en el gen de cáncer colorrectal 1 (UM), ARNm | 45.18 UP | 1.24E-05 |
| 15 | BF431030 | 7o18c06.xl NCI_CGAP_Kid11 Homo sapiens clon de ADNc IMAGE: 3574283 3 secuencia de ARNm | 44.98 UP | 7.75E-05 |
| 20 | NM_002245 | Homo sapiens canal de potasio, K subfamilia, 1 miembro (KCNK1), ARNm | 44.3 UP | 4.65E-05 |
| 25 | NM_003494 | Homo sapiens disferolina, extremidad faja muscular de 2B distrofia (autosómica recesiva) (DYSF), ARNm | 44.23 UP | 1.78E-05 |
| 30 | AK074097 | ARNm Homo sapiens para la proteína FLJOO168 | 43.88 UP | 7.31E-05 |
| 35 | NM_013410 | Homo sapiens adenilato quinasa 3 (AK3), gen nuclear que codifica la proteína mitocondrial, variante de transcripción 2, ARNm | 42.34 UP | 2.96E-05 |
| 40 | AK000075 | ADNc Homo sapiens FLJ20068 fis, clon COL01755 | 42.18 UP | 1.35E-04 |
| 45 | NM_001200 | Homo sapiens proteína morfogenética ósea 2 (BMP2), ARNm | 41.13 UP | 2.11E-05 |
| 50 | NM_032782 | Homo sapiens virus de hepatitis A receptor celular 2 (HAVCR2), ARNm | 41.13 UP | 2.83E-05 |
| 55 | AWL51660 | xf67d04.xl NCI_CGAP Gas4 Homo sapiens clon de ADNc IMAGEN: 2623111 3, secuencia de ARNm | 40.6 UP | 8.65E-05 |
| 60 | NM_130435 | Homo sapiens proteína tirosina fosfatasa, tipo de receptor, E (PTPRE), variante de transcripción 2, ARNm | 40.41 UP | 1.62E-04 |
| 65 | AA738254 | 3b02.sl nxl NCI_CGAP_GC3 Homo sapiens clon de ADNc IMAGE: i255947 3, secuencia de ARNm | 40.24 UP | 2.43E-05 |
| | AK124873 | ADNc Homo sapiens FLJ42883 fis, clon BRH1P3006683 | 40.2 UP | 1.25E-04 |

ES 2 569 421 T3

| | | | | |
|----|-----------|--|-------------|----------|
| 5 | NM_000170 | Homo sapiens glicina deshidrogenasa (Descarboxilación; glicina descarboxilasa, la escisión de glicina proteína del sistema P) (GLDC), ARNm | 40.06 UP | 4.98E-05 |
| 10 | AK125490 | ADNc Homo sapiens FLJ43501 fis, clon PEBLM2004497 | 39.93 UP | 1.64E-04 |
| 15 | NM_004862 | Homo sapiens TNF inducida por lipopolisacárido los factores (LITAF), ARNm | 39.52 UP | 1.37E-05 |
| 20 | NM_004617 | Homo sapiens transmembrana 4 superfamilia de miembro 4 (TM4SF4), ARNm | 39.3 UP | 9.32E-05 |
| 25 | NM_001263 | Homo sapiens CDP-sintasa diacylglycerol (Ctidililtransferasa fosfatidato) 1 (CDS1), ARNm | 39.26 UP | 3.44E-05 |
| 30 | AK000776 | ADNc Homo sapiens FLJ20769 fis, clon C0L06674 | 38.12 UP | 2.83E-05 |
| 35 | AL833166 | ARNm Homo sapiens; ADNc DKFZp686I2118 (A partir del clon DKFZp686I2118) | 37.72 UP | 1.14E-04 |
| 40 | NM_198488 | Homo sapiens proteína FLJ46072 (FLJ46072), ARNm | 37.66 UP | 2.46E-05 |
| 45 | NM_005562 | Homo sapiens laminina, gamma 2 (LAMC2), variante de transcripción 1, ARNm | 37.4 UP | 8.46E-06 |
| 50 | AW268540 | xv5leO.xl NCI_CGAP Lu28 Homo sapiens clon de ADNc IMAGEN: 2816682 3, secuencia de ARNm | 37.26 UP | 5.82E-05 |
| 55 | NM_012198 | Homo sapiens grancalcina, EF-mano de calcio proteína de unión (GCA), ARNm | 36.52 UP | 2.13E-05 |
| 60 | NM_020808 | Homo sapiens señal inducida proliferación-asociada 1 como el 2 (SIPA1L2), ARNm | 36.28 UP | 9.39E-05 |
| 65 | NM_000927 | Homo sapiens casete de unión a ATP, sub-familia B (MDR1TAP), miembro 1 (ABCB1), ARNm | 35.89 UP | 2.20E-04 |
| 60 | AK127644 | ADNc Homo sapiens FLJ45742 fis, clon KIDNE2016327 | 35.81 UP | 3.60E-04 |
| 65 | NM_006158 | Homo sapiens neurofilamentos, polipéptido ligero 68kDa (NEFL), ARNm | 35.78 UP | 2.64E-05 |

ES 2 569 421 T3

| | | | | |
|----|-----------|---|-------------|----------|
| 5 | AK074181 | Homo sapiens ARNm para la proteína FLJ00254 | 35.75 UP | 8.46E-06 |
| 10 | BC043195 | Homo sapiens clon de ADNm IMAGE: 5288757, cds parcial | 35.12 UP | 1.24E-04 |
| 15 | AL389942 | Homo sapiens ARNm de longitud completa de cDNA insertar Euroimage clon 2005635 | 34.31 UP | 1.37E-04 |
| 20 | BC045828 | Homo sapiens zinc proteína de dedos 608, ARNm (IMAGE clon de ADNc: 5262896), cds parcial | 34.02 UP | 1.88E-05 |
| 25 | NM-153229 | Homo sapiens hipotética proteína FLJ3331 8 (FLJ33318), ARNm | 34.02 UP | 9.39E-05 |
| 30 | NM_184087 | Homo sapiens tripartita 55 que contiene motivo (TRIM55), variante de transcripción 4, ARNm | 33.68 UP | 2.18E-05 |
| 35 | NM_000216 | Homo sapiens síndrome de Kallmann 1 secuencia de ARNm (KAL1), | 33.32 UP | 1.78E-05 |
| 40 | BF696790 | 602125323F1 NIH_MGC 56 Homo sapiens clon de ADNc IMAGE: 4282540 5, secuencia de ARNm | 32.7 UP | 5.00E-05 |
| 45 | NM_006598 | Homo sapiens soluto transportista familia 12 (transportadores de potasio / cloruro), miembro 7 (SLC12A7), ARNm | 32.41 UP | 8.39E-06 |
| 50 | B0003401 | IU-H-Eli -azd-j-23-0-Ul.sl NCI _CGAP_EI1 Homo sapiens ADNc clon IMAGE: 5847286 3, secuencia de ARNm | 32.41 UP | 1.72E-05 |
| 55 | NM_003222 | Homo sapiens factor de transcripción AP-2 gamma (Activación de promotor de la proteína de unión 2 gamma) (TFAP2C), ARNm | 32.33 UP | 4.75E-05 |
| 60 | NM_000599 | Homo sapiens del factor de crecimiento similar a la insulina proteína vinculante 5 (IGFBP5), ARNm | 32.1 UP | 5.66E-05 |
| 65 | NM_198389 | Homo sapiens pulmonar de tipo [celular membrana glicoproteína asociada (TIA-2), variante de transcripción 2, ARNm | 31.44 UP | 1.03E-04 |

ES 2 569 421 T3

| | | | | |
|----|-----------|--|-------------|----------|
| | NM_180991 | Homo sapiens portador de soluto de aniones orgánicos transportador de la familia, miembro de 4C1 (SLCO4C1), ARNm | 30.86 UP | 3.05E-04 |
| 5 | | | | |
| 10 | NM_031311 | Homo sapiens carboxipeptidasa, similar a vitellogenico (CPVL), variante de transcripción 1, ARNm | 29.97 UP | 4.30E-05 |
| 15 | NM_052947 | Homo sapiens corazón alfa-quinasa (HAK), ARNm | 29.53 UP | 4.34E-05 |
| 20 | H89053 | yw24c06.rl Morton fetal cóclea Homo clon sapiens ADNm IMAGE: 253162 5, secuencia de ARNm | 29.27 UP | 2.78E-05 |
| 25 | A1819186 | wj32dIO.xl NCI _CGAP_K1d12 Homo sapiens clon de ADNc IMAGE: 2404531 3, secuencia de ARNm | 29.14 UP | 1.21E-04 |
| 30 | NM_003761 | Homo sapiens membrana asociada a vesículas proteína 8 (endobrevin) (VAMP8), ARNm | 28.5 UP | 7.47E-05 |
| 35 | NM_080743 | Homo sapiens serina-arginina proteína represora (35 kDa) (SRrp35), ARNm | 27.83 UP | 1.02E-05 |
| 40 | NM_007069 | Homo sapiens HRAS-como supresor de 3 (HRASLS3), ARNm | 27.51 UP | 6.86E-06 |
| 45 | NM_002345 | Homo sapiens lumican (LUM), ARNm | 27.17 UP | 2.20E-05 |
| 50 | BU569937 | AGENCOURT_10399817 NIH_MGC_82 Homo sapiens cDNA clon IMAGE.-6618011 5, secuencia de ARNm | 27.05 UP | 3.20E-05 |
| 55 | NM_024901 | Homo sapiens proteína hipotética FLJ22457 (FLJ22457), ARNm | 27.04 UP | 5.37E-05 |
| 60 | N25875 | yw78d12.sl Soares_placenta_8to9weeks2N bHP8to9W Homo sapiens ADNc clon IMAGE: 258359 3, secuencia de ARNm | 26.94 UP | 3.36E-05 |
| 65 | NM_152573 | Homo sapiens RAS y EF dominio mano que contiene (RASEF), ARNm | 26.91 UP | 4.75E-05 |
| | NM_018728 | Homo sapiens miosina VC (MYO5C), ARNm | 26.81 UP | 4.47E-05 |
| | AB033048 | Homo sapiens mRNA de la proteína KIAA1 222, cds parcial | 26.76 UP | 1.90E-04 |

ES 2 569 421 T3

| | | | | |
|----|-----------|---|-------------|----------|
| | NM_153256 | Homo sapiens cromosoma 10 de lectura abierto el bastidor 47 (C10orf47), ARNm | 26.61 UP | 2.48E-05 |
| 5 | BG221364 | RST41175 Athersys RAGE Biblioteca Homo sapiens ADNc, secuencia de ARNm | 26.25 UP | 2.06E-04 |
| 10 | NM_000094 | Homo sapiens colágeno, tipo VII, alfa 1 (epidermolisis bullosa distrófica, dominante y recesivo) (COL7A1), ARNm | 26.16 UP | 6.51E-05 |
| | NM-001854 | Homo sapiens colágeno, tipo XI, alfa 1, (COL11A1), variante de transcripción A, ARNm | 25.88 UP | 1.36E-04 |
| 15 | BU740051 | UI-E-E00-ahw-n-18-O-IJI.sl UI-E-E00 Homo sapiens clon de ADNc UI-E-E00-ahw-n-1 8-0 3-UI , secuencia de ARNm | 25.64 UP | 5.14E-05 |
| 20 | NM_014936 | Homo sapiens ectonucleotide pirofosfatasa / fosfodiesterasa 4 (supuesta función) (ENPP4), la familia sapiens ARNm | 25.62 UP | 2.82E-04 |
| | NM_024898 | Homo con la similitud de secuencias 31, miembro C (FAM31C), ARNm | 25.44 UP | 7.17E-04 |
| 25 | W93585 | zd95gO i.sl Soares et al corazón Nbh Hola 9W Homo sapiens clon de cDNA IMAGE-0.357264 3, secuencia de ARNm | 25.41 UP | 1.78E-05 |
| 30 | BF510493 | BF510493 UI-H-1314-apa-b-08-0-UI.si NCI_CGAP_Sub8 Homo sapiens clon de ADNc IMAGE: 3086558 3, secuencia de ARNm | 25.28 UP | 2.11E-05 |
| 35 | NM_020962 | Homo sapiens probable ortholog de ratón vecino de Punc El I (No), ARNm | 25.23 UP | 7.99E-05 |
| | NM_016212 | Homo sapiens proteínas TP53TG3 (1P53TG3), ARNm | 25.14 UP | 4.07E-05 |
| 40 | NM_021012 | Homo sapiens de potasio hacia el interior rectificación de canal, subfamilia J, miembro 12 (KCNJ12), ARNm | 24.7 UP | 2.10E-04 |
| 45 | NM_001935 | Homo sapiens dipeptidil peptidasa 4 (CD26, proteína complejante de adenosina desaminasa 2) (DPP-4), ARNm | 24.67 UP | 8.46E-06 |
| 50 | NM_001993 | Homo sapiens factor de coagulación III (Tromboplastina, factor tisular) (F3), ARNm | 24.47 UP | 6.12E-05 |
| 55 | NM_184087 | Homo sapiens tripartita 55 que contiene motif (TRIM55), variante de transcripción 4, ARNm | 24.38 UP | 8.46E-06 |
| 60 | AK056431 | ADNc Homo sapiens FLJ31869 fis, clon NT2RP7002151 | 24.34 UP | 2.73E-05 |
| 65 | | | | |

ES 2 569 421 T3

| | | | | |
|----|-----------|---|-------------|----------|
| 5 | NM_000775 | Homo sapiens citocromo P450, familia 2, subfamilia J, polipéptido 2 (CYP2J2), ARNm | 24.04 UP | 3.53E-05 |
| 10 | NM_006722 | Homo sapiens microftalmia asociada a factor de transcripción (MITF), variante de transcripción 3, ARNm | 23.95 UP | 5.23E-06 |
| 15 | NM_001977 | Homo sapiens glutamil aminopeptidasa (Aminopeptidasa A) (ENPEP), ARNm | 23.91 UP | 1.88E-05 |
| 20 | AK058012 | ADNc Homo sapiens FLJ25283 fis, clon STMO6716 | 23.55 UP | 1.88E-05 |
| 25 | BLJ680661 | UI-CF-DUI-aaz-f-04-O-UI.sl IU-CF-DU1 Homo sapiens clon de ADNc 1 -aaz-f-04-0-UI DU-UI-CE 3, secuencia de ARNm | 23.17 UP | 1.82E-05 |
| 30 | NM_002246 | Homo sapiens canal de potasio, K subfamilia, miembro 3 (KCNK3), ARNm | 22.96 UP | 2.27E-05 |
| 35 | NM_052923 | Homo sapiens proteínas dedo de zinc de 452 (ZNF452), ARNm | 22.72 UP | 3.77E-05 |
| 40 | NM_014373 | Homo sapiens proteína G-receptor acoplado a 160 (GPR160), ARNm | 22.71 UP | 3.94E-05 |
| 45 | BX538226 | ARNm Homo sapiens; ADNc DKFZp686E1944 (A partir del clon DKFZp686E1944) | 22.58 UP | 1.05E-04 |
| 50 | NM_173660 | Homo sapiens proteína hipotética FLJ33718 (FLJ33718), ARNm | 22.46 UP | 2.83E-05 |
| 55 | NM_002354 | Homo sapiens señal asociada al tumor calcio transductor 1 (TACSTD1), ARNm | 21.97 UP | 2.83E-05 |
| 60 | NM_005822 | Homo sapiens región crítica de síndrome de Down 1 gen tipo 1 (DSCR1L1), ARNm | 21.78 UP | 2.21E-04 |
| 65 | W20132 | zb4Ocl En Soares_parathyroid_tumor_NbHPA Homo sapiens Edna clon IMAGEN: 306066 5, secuencia de ARNm | 21.76 UP | 4.41E-04 |
| 65 | NM_001680 | Homo sapiens FXYD dominio que contiene iones regulador de transporte 2 (FXYD2), variante de transcripción a, ARNm | 21.75 UP | 3.26E-05 |

ES 2 569 421 T3

| | | | | |
|----|-----------|---|-------------|----------|
| 5 | NM_006379 | Homo sapiens dominio sema, inmunoglobulina dominio (Ig), base de dominio corto, secretada, (Semaforina) 3C (SEMA3C), ARNm | 21.57 UP | 3.15E-05 |
| 10 | H23441 | ym52fll.sl Soares cerebro infantil 1NIB Homo sapiens ADNc clon IMAGE:-51888 3, secuencia ARNm | 21.43 UP | 3.51E-05 |
| 15 | BG211832 | RST31404 Athersys RAGE Biblioteca Homo sapiens ADNc, secuencia de ARNm | 21.35 UP | 5.06E-05 |
| 20 | N51335 | yzl5eO8sl Soares_multiple_sclerosis_2NbHMSP Homo sapiens ADNc clon IMAGE: 283142 3, secuencia de ARNm | 21.19 UP | 6.92E-03 |
| 25 | NM_022843 | Homo sapiens protocadherina 20 (PCDH2O), ARNm | 21.17 UP | 2.03E-05 |
| 30 | NM_002521 | Homo sapiens precursor del péptido natriurético B (NPPB), ARNm | 21.01 UP | 4.54E-04 |
| 35 | NM_021101 | Homo sapiens claudina 1 (CLDN1), ARNm | 20.92 UP | 3.04E-05 |
| 40 | NM_004165 | Homo sapiens relacionadas con ras asociadas con diabetes (DARL), ARNm | 20.76 UP | 6.04E-04 |
| 45 | NM_005329 | Homo sapiens hialuronano sintasa 3 (HAS3), variante de transcripción 1, ARNm | 20.73 UP | 4.13E-05 |
| 50 | NM_138432 | Homo sapiens serina deshidratasa similar (SDSL), ARNm | 20.41 UP | 7.27E-05 |
| 55 | NM_004591 | Homo sapiens quimiocina (motivo C-C) 20 ligando (CCL2O), ARNm | 20.34 UP | 3.29E-04 |
| 60 | NM_003063 | Homo sapiens sarcolipin (SLN), ARNm | 20.26 UP | 1.18E-04 |
| 65 | BU951469 | 1n60a05.x3 HR85 isloote ADNc Homo sapiens IMAGE clon: 6126249 3, secuencia de ARNm | 20.02 UP | 4.52E-04 |
| | A1436290 | th8lcOl.xl Soares NhHMPu Si Homo sapiens ADNc clon IMAGE: 2125056 3, secuencia ARNm | 19.92 UP | 9.28E-05 |

ES 2 569 421 T3

| | | | | |
|----|-----------|--|-------------|----------|
| 5 | NM_014452 | Homo sapiens necrosis tumoral receptor del factor de super-familia, elemento 21 (TNFRSF21), ARNm | 19.39 UP | 2.96E-05 |
| 10 | AA099748 | zI78c09.sl Stratagene dos puntos (# 937204) Homo sapiens cDNA clon IMAGE: 510736 3, secuencia de ARNm | 19.2 UP | 1.78E-05 |
| 15 | NM_018354 | Homo sapiens cromosoma 20 de lectura abierta 46 del bastidor (C200rf46), ARNm | 18.87 UP | 5.05E-04 |
| 20 | NM_194298 | Homo sapiens familia de transportadores de soluto 16 (transportadores de ácidos monocarboxílicos), miembro 9 (SLC16A9), ARNm | 18.87 UP | 9.82E-03 |
| 25 | NM_033554 | Homo sapiens principal de histocompatibilidad complejo, clase II, DP alfa 1 (HLA-DPA1), ARNm | 18.6 UP | 5.61E-04 |
| 30 | NM_004524 | Homo sapiens larvas letales de gigante homólogo 2 (Drosophila) (LLGL2), ARNm | 18.45 UP | 2.11E-05 |
| 35 | NM_032293 | Homo sapiens GTPasa activación de Rap / RanGAP dominio 3 similar (GARNL3), ARNm | 18.19 UP | 2.24E-04 |
| 40 | NM_022842 | Homo sapiens que contiene proteína de dominio CUB 1 (CDCP1), variante de transcripción 1, ARNm | 18.14 UP | 1.64E-05 |
| 45 | NM_000227 | Homo sapiens laminina, alfa 3 (Lama3-), variante 2 transcripción, ARNm | 18.04 UP | 3.92E-05 |
| 50 | NM_000214 | Homo sapiens dentada 1 (síndrome de Alagille) (JAG1), ARNm | 18.03 UP | 1.26E-04 |
| 55 | AK096580 | ADNc Homo sapiens FLJ39261 fis, clon OCBBF2009391 | 17.89 UP | 3.05E-04 |
| 60 | NM_000856 | Homo sapiens guanilato ciclase 1, soluble, alpha 3 (GUCY1A3), ARNm | 17.85 UP | 1.19E-04 |
| 65 | NM_018404 | Homo sapiens centaurin, alfa 2 (CENTA2), ARNm | 17.8 UP | 3.05E-04 |

ES 2 569 421 T3

| | | | | |
|----|-----------|---|-------------|----------|
| | NM_001165 | Homo sapiens IAP de baculovirus repetidas que contiene 3 (BIRC3), variante de transcripción 1, ARNm | 17.74 UP | 2.56E-04 |
| 5 | | | | |
| 10 | NM_003706 | Homo sapiens fosfolipasa A2, grupo IVC (Citosólica, independiente de calcio) (PLA2G4C), ARNm | 17.65 UP | 4.77E-05 |
| 15 | AK056882 | ADNc Homo sapiens FLJ32320 fis, clonPR0ST2003537 | 17.65 UP | 4.33E-04 |
| 20 | NM_017640 | Homo sapiens repeticiones ricas en leucina que contiene 16 (LRRC16), ARNm | 17.43 UP | 1.04E-04 |
| 25 | NM_000480 | Homo sapiens adenosina monofosfato deaminasa (isoforma E) (AMPD3), ARNm | 17.4 UP | 1.15E-05 |
| 30 | BX103476 | BX103476 NCI CGAP Lu5 Homo sapiens clon de ADNc 1MAGp998C053946; IMAGE-.1557436, secuencia de ARNm | 17.29 UP | 7.13E-05 |
| 35 | NM_013427 | Homo sapiens Rho GTPasa de la proteína activadora 6 (ARHGAP6), variante de transcripción 1, ARNm | 17.27 UP | 1.48E-04 |
| 40 | S70348 | Homo sapiens integrina beta 3 ARNm, cds parcial, alternativamente empalmados | 17.24 UP | 3.37E-05 |
| 45 | NM_032024 | Homo sapiens cromosoma 10 marco de lectura abierto II (Cl0orf1), ARNm | 16.95 UP | 3.03E-05 |
| 50 | BM988642 | UI-H-DHO-ARX-p-21-O-Ui.si NCI_CGAP_DHO Homo sapiens ADNc clon IMAGE: 5855492 3, secuencia de ARNm | 16.94 UP | 1.94E-04 |
| 55 | NM_021102 | Homo sapiens inhibidor de serina proteasa, Kunitz tipo, 2 (SPINT2), ARNm | 16.94 UP | 1.85E-04 |
| 60 | A1632692 | wa33b05.xl NCI_CGAP_Kidl 1 Homo sapiens clon de ADNc IMAGE: 2299857 3, secuencia ARNm | 16.88 UP | 7.19E-04 |
| 65 | NM_152487 | Homo sapiens proteína hipotética FLJ31842 (FLJ31 842), mRNA | 16.75 UP | 2.55E-04 |

ES 2 569 421 T3

| | | | | |
|----|-----------|---|-------------|----------|
| 5 | NM_173567 | Homo sapiens abhidrolasa dominio que contiene 7 (ABHD7), ARNm | 16.66 UP | 2.13E-05 |
| 10 | CA502927 | UI-CF-FNO-afq-j-12-O-UI.si UI-CF-FNO Homo sapiens clon de ADNc UI-CF-FNO-afq-j-12-O-UI 3, secuencia de ARNm | 16.59 UP | 2.35E-04 |
| 15 | NM_015888 | Homo sapiens gancho homólogo 1 (Drosophila) (HOOK1), ARNm | 16.44 UP | 4.12E-05 |
| 20 | NM_178177 | Homo sapiens nicotinamida nucleótido adeniltransferasa 3 (NMNAT3), ARNm | 16.43 UP | 1.56E-04 |
| 25 | NM_005181 | Homo sapiens anhidrasa carbónica III, músculo específica (CA3), ARNm | 16.42 UP | 4.93E-05 |
| 30 | NM_000599 | Homo sapiens del factor de crecimiento similar a la insulina vinculante proteína 5 (IGFBP5), ARNm | 16.27 UP | 4.97E-04 |
| 35 | NM_006393 | Homo sapiens nebulette (NEBL), variante 1, el ARNm | 16.13 UP | 6.06E-04 |
| 40 | NM_006252 | Homo sapiens proteína quinasa, activada por AMP alfa 2 de la subunidad catalítica (PRKAA2), ARNm | 16.12 UP | 5.64E-04 |
| 45 | NM_002338 | Homo sapiens sistema límbico-asociado proteína de membrana (LSAMP), ARNm | 16.11 UP | 2.81E-04 |
| 50 | NM_006378 | Homo sapiens dominio sema, inmunoglobulina dominio (Ig), un dominio transmembrana (TM) y corto dominio citoplásmico, (semaforina) 4D (SEMA4D), ARNm | 16.09 UP | 1.78E-05 |
| 55 | A1819863 | wj45h05.xi NCI_CGAP_Lu19 Homo sapiens clon de ADNc IMAGE: 2405817 3, secuencia de ARNm | 15.95 UP | 3.04E-04 |
| 60 | BM979825 | UI-CF-DUI-adt-f-12-0-UI.si IU-CF-DU1 Homo sapiens clon de ADNc UI-CF-DU-1 -adt f-1 2-0-UI 3, secuencia de ARNm | 15.9 UP | 2.77E-05 |
| 65 | BX647876 | Homo sapiens ARNm; ADNc DKFZp313A1525 (A partir del clon DKFZp313A1525) | 15.83 UP | 4.39E-05 |

ES 2 569 421 T3

| | | | | |
|----|-----------|---|-------------|----------|
| | NM_003730 | Homo sapiens ribonucleasa T2 (RNASET2), ARNm | 15.6 UP | 2.41E-05 |
| 5 | AL117425 | ARNm Homo sapiens; ADNc DKFZp566L203 (A partir del clon DKFZp566L2O3) | 15.59 UP | 3.31E-04 |
| 10 | AL833346 | ARNm Homo sapiens; ADNc DKFZp686M2234 (A partir del clon DKFZp686M2234) | 15.59 UP | 2.99E-05 |
| 15 | NM_199169 | Homo sapiens transmembrana, próstata andrógenos ARN inducida (TMEPAI), variante de transcripción 2, ARNm | 15.58 UP | 1.34E-04 |
| 20 | NM_002559 | Homo sapiens receptores purinérgicos P2X, ligando cerrada canal iónico, 3 (P2RX3), ARNm | 15.51 UP | 9.39E-05 |
| | NM_032148 | Homo sapiens soluto transportista familia 41, miembro 2 (SLC41A2), ARNm | 15.46 UP | 2.38E-05 |
| 25 | BC021684 | Homo sapiens, clon IMAGE-.3827252, ARNm | 15.41 UP | 2.31E-05 |
| | BF000009 | 7h15g04.xl NCI_CGAP_Coi6 Homo sapiens clon de ADNc IMAGE: 3316086 3, secuencia de ARNm | 15.33 UP | 2.09E-05 |
| 30 | | | | |
| 35 | NM_000147 | Homo sapiens fucosidasa, alfa-L-1, tejido (FucA1), ARNm | 15.31 UP | 9.99E-04 |
| | NM_001252 | Homo sapiens factor de necrosis tumoral (ligando) superfamilia, miembro 7 (TNFSF7), ARNm | 14.88 UP | 1.85E-04 |
| 40 | NM_013322 | Homo sapiens clasificación nexina 10 (SNX1O), ARNm | 14.84 UP | 2.64E-05 |
| 45 | NM_022440 | Homo sapiens mal, proteína de la diferenciación celular (LMA), variante de transcripción, ARNm | 14.65 UP | 2.14E-04 |
| 50 | NM_178470 | Homo sapiens WD repetir dominio 40B (WDR40B), ARNm | 14.53 UP | 3.34E-05 |
| 55 | NM_001873 | Homo sapiens carboxipeptidasa E (CPE), ARNm | 14.51 UP | 6.23E-05 |
| | BM719937 | IU-E-EJO-ahu-a-10-0-UI.ri IU-E-EJO Homo sapiens clon de ADNc IU-E-EJO-ahu-a-1 0-0 5-UI, secuencia de ARNm | 14.46 UP | 1.64E-05 |
| 60 | | | | |
| 65 | NM_032551 | Homo sapiens proteína G-receptor acoplado a 54 (GPR54), ARNm | 14.45 UP | 5.64E-04 |

ES 2 569 421 T3

| | | | | |
|----|-----------|---|-------------|----------|
| 5 | T53523 | ya89h12.rl Stratagene placenta (# 937225) Homo sapiens ADNm clon IMAGE-0.68903 5, secuencia de ARNm | 14.42 UP | 1.81E-04 |
| 10 | NM_173354 | Homo sapiens SNF1-quinasa (SNF1LK), ARNm | 14.19 UP | 5.72E-05 |
| 15 | NM-014585 | Homo sapiens familia de transportadores de soluto 40 (hierro transportador regulado), miembro 1 (SLC4OA1), ARNm | 14.17 UP | 4.06E-05 |
| 20 | N38753 | yy42dOl.sl Soares melanocito 2NbHM Homo sapiens ADNc clon IMAGE: 273889 3, secuencia ARNm | 14.02 UP | 1.15E-05 |
| 25 | NM_001710 | Homo sapiens factor B, properdina (BE), ARNm | 13.95 UP | 2.05E-04 |
| 30 | BC038556 | Homo sapiens, clon IMAGEN: 3446976, ARNm | 13.9 UP | 4.45E-04 |
| 35 | AK125608 | ADNc Homo sapiens FLJ43620 fis, clon SPLEN2O217O1, muy similar a HLA CLASE I HISTOCOMPATIBILITY ANTIGEN, A-2 ALPHA CHAIN PRECURSOR | 13.88 UP | 2.56E-04 |
| 40 | AW248516 | 2820632.3prime NIH_MGC_7 Homo sapiens clon de ADNc IMAGE: 2820632 3, secuencia de ARNm | 13.79 UP | 2.22E-04 |
| 45 | NM_000600 | Homo sapiens interleucina 6 (interferón, beta 2) (LL6), ARNm | 13.62 UP | 1.64E-05 |
| 50 | AK125852 | ADNc Homo sapiens FLJ43864 fis, clon TEST14007799 | 13.46 UP | 1.66E-04 |
| 55 | BM728728 | IU-E-SO1-AIV-c-02-0-UI.rl IU-E-SO1 Homo sapiens clon de ADNc IU-E-SO1-AIV-c-02-0-UI 5, secuencia de ARNm | 13.46 UP | 2.77E-04 |
| 60 | NM_018650 | Homo sapiens MAP / microtúbulos por afinidad la regulación de la quinasa 1 (MARK1), ARNm | 13.45 UP | 4.39E-05 |
| 65 | NM_022154 | Homo sapiens familia de transportadores de soluto 39 (transportador de zinc), miembro 8 (SLC39A8), ARNm | 13.39 UP | 4.78E-05 |

ES 2 569 421 T3

| | | | | |
|----|-----------|---|-------------|--------------|
| | AA908815 | og77h08.sl NCI_CGAP_0v8 Homo sapiens clón de ADNc IMAGEN: 1 454367 3, secuencia de ARNm | 13.23 UP | 3.11E- 05 |
| 5 | NM_016463 | Homo sapiens CXXC dedo 5 (CXXC5), ARNm | 13.22 UP | 9.67E- 05 |
| 10 | AB011538 | ARNm de Homo sapiens para MEGF5, cds parcial | 13.19 UP | 3.38E- 04 |
| 15 | CA413744 | UI-H-EZO-bat-h-12-0-UI.sl NCI_CGAP_Ch1 Homo sapiens clón de ADNc IU-H-EZO-palo-h-12- 0-UI 3, secuencia de ARNm | 13.17 UP | 2.09E- 05 |
| 20 | BM712072 | UI-E-DW1-AHC-b-11-0-UI.rl IU-E-DW1 Homo sapiens clón de ADNc UI-E-DW1 -ahc-b-1-1-0 UI 5, secuencia de ARNm | 13.16 UP | 9.39E- 05 |
| 25 | BU727096 | UI-E-CRO-ach-e-12-0-UI.si UI-E-CRO Homo sapiens clón de ADNc UI-E-CRO-ada-e-1-U13 2-0, secuencia de ARNm | 13.14 UP | 4.30E- 05 |
| 30 | NM_032858 | Homo sapiens hipotética proteína FLJ14904 (FLJ14904), ARNm | 13.09 UP | 1.83E- 05 |
| 35 | BU729783 | UI-E-CK1-afh-h-18-0-UI.sl UI-E-CK1 Homo sapiens clón de ADNc UI-E-CK1 -afh-h-1 8-0 3-UI, secuencia de ARNm | 12.92 UP | 8.39E- 06 |
| 40 | ABO11095 | Homo sapiens ARNm para la proteína KIAAOS23, cds parcial | 12.91 UP | 3.44E- 04 |
| 45 | BC033116 | Homo sapiens chromodomain ADN helicasa proteína de unión 7, ARNm (clón de ADNc IMAGE-.3352674), cds parcial | 12.87 UP | 2.31E- 05 |
| 50 | CB135276 | K-EST0187371 L5HLK1 ADNc Homo sapiens clón L5HLK1-32-B12 5, secuencia de ARNm | 12.75 UP | 4.93E- 05 |
| 55 | NM_182920 | Homo sapiens una desintegrina y metaloproteasa (tipo prorepilisina) con trombospondina tipo 1 motivo, 9 (ADAMTS9), variante de transcripción 1, ARNm | 12.73 UP | 9.10E- 05 |
| 60 | NM_000236 | Homo sapiens lipasa, hepática (CFIG), ARNm | 12.71 UP | 1.16E- 03 |
| 65 | | | | |

ES 2 569 421 T3

| | | | | |
|----|-----------|--|-------------|-----------|
| | NM_152694 | Homo sapiens dedo de zinc, CCHC dominio que contiene 5 (ZCCHC5), ARNm | 12.66 UP | 4.93E-05 |
| 5 | AB020640 | ARNm Homo sapiens para la proteína K1AA0833, cds parcial | 12.51 UP | 2.31 E-04 |
| 10 | NM_018330 | Homo sapiens KIAA1598 (K1AA1598), ARNm | 12.46 UP | 6.01E-05 |
| 15 | NM_000064 | Homo sapiens componente 3 del complemento (C3), ARNm | 12.42 UP | 5.12E-04 |
| 20 | NM_152864 | Homo sapiens cromosoma 20 de lectura abierta bastidor 58 (C200rf58), ARNm | 12.4 UP | 1.66E-03 |
| 25 | AW591723 | x85hl0.xl NCI_CGAP_Ut1 Homo sapiensclon de ADNc IMAGE: 2793283 3 similar acontiene el elemento MER32 elemento repetitivo ;,secuencia de ARNm | 12.4 UP | 3.71E-05 |
| 30 | NM-152768 | Homo sapiens proteína hipotética FLJ25378 (FLJ25378), ARNm | 12.28 UP | 2.03E-05 |
| 35 | NM_152366 | Homo sapiens kelch / repetición de anquirina contiene Al ciclina interacción de proteínas (KARCA1), variante de transcripción 1, ARNm | 12.19 UP | 2.62E-05 |
| 40 | AW300043 | xs45a09.xl NCI_CGAP_Kid1 Homo sapiens clon de ADNc IMAGEN: 2772568 3, secuencia de ARNm | 12.13 UP | 2.31E-05 |
| 45 | NM_006741 | Homo sapiens proteína fosfatasa 1, reguladora (inhibidor) subunidad 1A (PPP1R1A), ARNm | 12.12 UP | 2.10E-04 |
| 50 | NM_024726 | Homo sapiens 10 motivos que contiene con AAA dominio (IQCA), ARNm | 12.08 UP | 5.33E-03 |
| 55 | NM_194284 | Homo sapiens CLAUDIN 23 (CLDN23), ARNm | 12.02 UP | 2.87E-05 |
| | AL049974 | AL049974 Homo sapiens ARNm; ADNc DKFZp564B222 (a partir del clon DKFZp564B222) | 12 UP | 1.48E-04 |
| | AI420213 | te92g09.xi NCI_CGAP_Pr28 Homo sapiens clon de ADNc IMAGE: 2094208 3, secuencia de ARNm | 11.95 UP | 3.59E-04 |
| 60 | | | | |
| 65 | | | | |

ES 2 569 421 T3

| | | | | |
|----|-----------|---|-------------|----------|
| | NM_002800 | Homo sapiens proteasoma (prosoma, macropain) subunidad, tipo beta, 9 (proteasa grande multifuncional 2) (PSMB9), variante de transcripción 1, ARNm | 11.85 UP | 4.69E-05 |
| 5 | | | | |
| 10 | | | | |
| 15 | CA391258 | csi3ai0.xi pigmento de la retina humana epitelio / ADNc coroides (no normalizado, sin amplificar): cs ADNc Homo sapiens clon csi3a10 3, secuencia de ARNm | 11.85 UP | 3.64E-05 |
| 20 | NM-013430 | Homo sapiens gammaglutamiltransferasa 1 (GGT1), variante de transcripción 3, ARNm | 11.79 UP | 1.38E-04 |
| 25 | NM_199169 | Homo sapiens transmembrana, próstata andrógenos ARN inducida (TMEPAI), variante de transcripción 2, ARNm | 11.79 UP | 8.39E-06 |
| 30 | NM_032471 | Homo sapiens proteína quinasa (cAMP dependiente, catalítica) beta inhibidor (PKIB), variante de transcripción 3, ARNm | 11.73 UP | 1.28E-04 |
| 35 | | | | |
| 40 | NM_016269 | Homo sapiens linfoide potenciador de la unión factor de 1 (LEF1), ARNm | 11.72 UP | 4.57E-05 |
| 45 | NM_003851 | Homo sapiens represor celular de EIA- genes estimulados 1 (CREG1), ARNm | 11.61 UP | 1.83E-05 |
| 50 | NM_003236 | Homo sapiens factor de crecimiento transformante, alfa (TGFA), ARNm | 11.61 UP | 6.51E-05 |
| 55 | BX110418 | BX11O418 NCI_CGAP_K1d3 Homo sapiens clon de ADNc 1MAGp998C224149; IMAGE: 1635405, secuencia de ARNm | 11.59 UP | 1.89E-05 |
| 60 | NM_006033 | Homo sapiens lipasa endotelial (LIPG), ARNm | 11.55 UP | 8.79E-04 |
| 65 | NM_025151 | Homo sapiens familia Rab11 interacción de proteínas 1 (clase I) (RAB11FIP1), variante de transcripción 1, ARNm | 11.5 UP | 2.65E-05 |
| | B1759570 | 603046987F1 NIH_MGC_116 Homo sapiens clon de ADNc IMAGE: 5i87285 5, secuencia de ARNm | 11.49 UP | 3.71E-05 |

ES 2 569 421 T3

| | | | | |
|----|-----------|---|-------------|----------|
| | NM_013261 | Homo sapiens peroxisoma proliferante receptor activado, gamma, coactivador 1, alfa (PPARGC1A), ARNm | 11.3 UP | 2.83E-04 |
| 5 | | | | |
| 10 | AI830524 | wh52c02:x1 NCI_CGAP_Kid11 Homo sapiens clon de ADNc IMAGE: 2384354 3, ARNm | 11.29 UP | 8.65E-04 |
| 15 | NM_139161 | Homo sapiens migas homólogo 3 (Drosophila) (CRB3), variante de transcripción 2, secuencia de ARNm | 11.15 UP | 1.22E-04 |
| 20 | AK055362 | ADNc Homo sapiens FLJ3O800 fis, clon FEBRA2001197 | 11.13 UP | 1.02E-05 |
| 25 | BF055156 | 7j75f03.xl Soares_NSF_F8_9W_OT_PAP_S1 Homo sapiensADNc clon IMAGE: 3392285 3, secuencia de ARNm | 11.11 UP | 4.94E-04 |
| 30 | BC016962 | Homo sapiens, clon IMAGE: 4182947, ARNm | 11.05 UP | 1.06E-04 |
| 35 | AY358775 | Homo sapiens clon DNA17O212 WGAR9166 (UNQ9166) ARNm, cds completos | 11.05 UP | 2.32E-04 |
| 40 | NM_175056 | Homo sapiens hipotética proteína L0C131368 (LOC1 31 368), ARNm | 10.98 UP | 1.33E-03 |
| 45 | A1311296 | ta48dlO.x2 NCI_CGAP_Lu25 Homo sapiens clon de ADNc IMAGE-.2047315 3, secuencia de ARNm | 10.93 UP | 2.19E-04 |
| 50 | AW296834 | UI-H-B12-ahz-a-1-0-0 Ulsl NCI_CGAP_Sub4 Homo sapiens ADNc clon IMAGE-.2728243 3, secuencia de ARNm | 10.91 UP | 1.71E-04 |
| 55 | NM_014464 | Homo sapiens nefritis tubulointersticial antígeno (TnAG), ARNm | 10.89 UP | 3.87E-04 |
| 60 | AK024270 | ADNc Homo sapiens FLJ14208 fis, clon NT2RP3003264 | 10.88 UP | 3.05E-04 |
| 65 | H00617 | yj25f02.sl Soares placenta Nb2HP Homo sapiens ADNc clon IMAGE:149787 3, secuencia de ARNm | 10.87 UP | 2.09E-04 |
| | AK126467 | ADNc Homo sapiens FLJ44503 nosotros, clon UTERU3001158 | 10.87 UP | 5.06E-05 |

ES 2 569 421 T3

| | | | | |
|----|--------------------------------|--|---|----------------------------------|
| | NM_181847 | Homo sapiens anfoterina inducidos gen 2 (AMIGO2), ARNm | 10.86 Arriba | 8.91E-04 |
| 5 | NM_014751 | Homo sapiens metástasis supresor de 1 (MTSS1), ARNm | 10.86 Arriba | 2.68E-05 |
| 10 | N70752 | za72d02.s 1 Soares_fetal_lung_NbHL19W ADNc Homo sapiens clon IMAGE: 298083 3, secuencia de ARNm | 10.84 Arriba | 1.34E-04 |
| 15 | NM_005302 | Homo sapiens G receptor acoplado a proteína (receptor de endotelina tipo B-like) 37 (GPR37), ARNm | 10.84 Arriba | 2.63E-03 |
| 20 | NM_003264 | Homo sapiens Toll-like receptor 2 (TLR2), ARNm | 10.83 Arriba | 1.01 E-04 |
| 25 | NM_017594 | Homo sapiens familia DIRAS, de unión a GTP-RAS como 2 (DIRAS2), ARNm | 10.81 Arriba | 7.23E-04 |
| 30 | AI688800 H08012 AW014126 | wd4lb03.xl Soares_NFL_T_GBC_S1 ADNc Homo sapiens IMAGE clon-0.2330669 3, secuencia de ARNm y9lbO8.rl Soares cerebro infantil 1 NIB ADNc Homo sapiens clon IMAGE: 45474 5, secuencia de ARNm UI-H-B10-aaj-a-05-0-UI.sl NCI_CGAP_SubI ADNc Homo sapiens clon IMAGE: 2709393 3, secuencia de ARNm | 10.8 Arriba 10.8 Arriba 10.79 Arriba | 8.56E-04 3.26E-04 1.88E-05 |
| 35 | NM_014422 | Homo sapiens phosphatidilinositol (45) bifosfato 5-fosfatasa, A (PIB5PA), variante de transcripción 1, ARNm | 10.73 Arriba | 4.47E-05 |
| 40 | H62713 | yr28c08rl Soares bazo hígado fetal 1 NFLS ADNc Homo sapiens clon IMAGE: 206606 5 similar a gb: X01683 ALPHA-1-ANTITRYPSIN PRECURSOR (HUMAN);, secuencia de ARNm | 10.73 Arriba | 1.01 E-03 |
| 45 | A1870547 | wl47a04.xl NCI_CGAP_Ut1 Homo sapiens clon de ADNc IMAGE: 2428014 3, secuencia de ARNm | 10.65 UP | 4.82E-03 |
| 50 | NM_025202 | Homo sapiens dominio de mano EF que contiene 1 (EFHD1), ARNm | 10.64 UP | 5.59E-05 |
| 55 | | | | |
| 60 | | | | |
| 65 | | | | |

ES 2 569 421 T3

| | | | | |
|----|-----------|--|-------------|----------|
| 5 | N78460 | yz76hO6rl Soares_multiple_sclerosis_2NbHMSP Homo sapiens ADNc clon IMAGE: 289019 5, secuencia de mRNA | 10.63 UP | 3.90E-04 |
| 10 | NM_020661 | Homo sapiens activación inducida por la citidina deaminasa (AICDA), ARNm | 10.63 UP | 7.27E-05 |
| 15 | NM_173549 | Homo sapiens proteína hipotética FLJ39553 (FLJ39553), ARNm | 10.57 UP | 3.11E-04 |
| 20 | A1767472 | wh27a07.xl NCI_CGAP_Kid11 Homo sapiens clon de ADNc IMAGE: 2381940 3 similar a contiene . L1.t3 L1 elemento repetitivo;, secuencia de ARNm | 10.56 UP | 8.39E-06 |
| 25 | NM_145804 | Homo sapiens repetición de anquirina y BTB (POZ) dominio que contiene 2 (ABTB2), ARNm | 10.55 UP | 1.41E-06 |
| 30 | NM-013230 | Homo sapiens CD24 antígeno (clúster carcinoma 4 antígeno de pulmón de células pequeñas) (CD24), ARNm | 10.54 UP | 1.12E-04 |
| 35 | NM_000758 | Homo sapiens factor estimulante de colonias 2 (Granulocitos y macrófagos) (CSF2), ARNm | 10.51 UP | 7.66E-04 |
| 40 | AB032945 | Homo sapiens ARNm para IorKIAA1119, proteína cds parcial | 10.48 UP | 1.32E-03 |
| 45 | NM_024572 | Homo sapiens UDP-N-acetyl-alfa-D-UP galactosamina: polipéptido N - acetilgalactosam iniltransferasa 14 (GalNAc-T14) (GALNT14), ARNm | 10.46 UP | 2.62E-04 |
| 50 | NM_181332 | Homo sapiens neuroligina 4, ligada al cromosoma X (NLGN4X), variante de transcripción 2, ARNm | 10.46 UP | 1.95E-04 |
| 55 | NM_022128 | Homo sapiens riboquinasa (RBKS), ARNm | 10.45 UP | 2.73E-05 |
| 60 | AB046810 | ARNm Homo sapiens para la proteína KIAA159O, cds parcial | 10.39 UP | 2.36E-05 |
| 65 | NM_022168 | Homo sapiens interferón indujo con helicasa C dominio 1 (IFIH1), ARNm | 10.38 UP | 2.83E-05 |

ES 2 569 421 T3

| | | | | |
|----|-----------|---|-------------|----------|
| | NM_153715 | Homo sapiens homeobox A10 (HOXA10), variante de transcripción 2, ARNm | 10.37 UP | 5.50E-05 |
| 5 | BF090392 | QV3-NT0023-120900-324-b04 NT0023 Homo sapiens ADNc, secuencia de ARNm | 10.35 UP | 1.25E-03 |
| 10 | NM_000880 | Homo sapiens interleucina 7 (1L7), ARNm | 10.34 UP | 3.60E-04 |
| 15 | NM_018650 | Homo sapiens MAP / microtúbulos por afinidad la regulación de la quinasa 1 (MARK1), ARNm | 10.29 UP | 1.57E-04 |
| 20 | NM_017899 | Homo sapiens hipotética proteína FLJ20607 (TSC), ARNm | 10.27 UP | 6.79E-04 |
| 25 | NM_032367 | Homo sapiens dedo de zinc, dominio BED que contiene 3 (ZBED3), ARNm | 10.27 UP | 4.12E-05 |
| 30 | NM_012206 | Homo sapiens virus de hepatitis A receptor celular 1 (HAVCR1), ARNm | 10.23 UP | 8.15E-04 |
| 35 | AK092245 | ADNc Homo sapiens FLJ34926 fis, clonar NT2RP700331 9, muy similar a Musneuralin musculus ARNm | 10.21 UP | 1.92E-03 |
| 40 | NM_031469 | Homo sapiens dominio SH3 glutámico unión proteína rica en ácido 2 (SH3BGRL2), ARNm | 10.18 UP | 1.63E-05 |
| 45 | CA311343 | UI-CF-FN0-aff-b-19-0-UI.sl UI-CF-FN0 Homo sapiens clon de ADNc de IU-CF-FNO-aff-b-1-9-0 UI 3, secuencia de ARNm | 10.15 UP | 1.89E-05 |
| 50 | NM_030923 | Homo sapiens proteína hipotética DKFZp566NO34 (DKFZP566NO34), ARNm | 10.15 UP | 2.23E-05 |
| 55 | AK024261 | ADNc Homo sapiens FLJi4i99fis, clon NT2RP300271 3 | 10.14 UP | 2.08E-04 |
| 60 | NM-174900 | Homo sapiens proteínas dedo de zinc 42 (ZFP42), ARNm | 10.1 UP | 5.14E-05 |
| 65 | NM-198495 | Homo sapiens familia CTAGE, miembro de 4 (CTAGE4), ARNm | 10.07 UP | 4.65E-05 |
| | BX105791 | BX105791 Soares_testisNHI Homo sapiens IMAGp998i101824 clon de ADNc; IMAGEN: 742737, secuencia de ARNm | 10.06 UP | 2.15E03 |

ES 2 569 421 T3

| | | | | |
|----|-----------|--|-------------|----------|
| | A1672441 | waO3cO3.xl NCI_CGAP_Kid1 Homo sapiens clon de ADNc IMAGE: 2296996 3, secuencia de mRNA | 10.05 UP | 2.40E-04 |
| 5 | | | | |
| 10 | AK002097 | ADNc Homo sapiens FLJii235fis, clon PLACE1008488 | 10.01 UP | 2.75E-05 |
| 15 | BX647256 | ARNm Homo sapiens; ADNc DKFZp686K0753 (A partir del clon DKFZp686K0753) | 9.97 UP | 1.81E-03 |
| 20 | AK092456 | ADNc Homo sapiens FLJ351 37 fis, clon PLACE600941 9 | 9.96 UP | 5.02E-05 |
| 25 | NM_001853 | Homo sapiens colágeno, tipo IX, alfa 3 (COL9A3), ARNm | 9.96 UP | 2.87E-05 |
| 30 | NM_004946 | Homo sapiens dedicante de la citocinesis 2 (DOCK2), ARNm | 9.94 UP | 3.94E-05 |
| 35 | NM_005139 | Homo sapiens anexina A3 (ANXA3), ARNm | 9.92 UP | 5.14E-05 |
| 40 | NM_002260 | Homo sapiens células asesinas lectina-like receptor subfamilia C, miembro 2 (KLRC2), ARNm | 9.92 UP | 5.95E-04 |
| 45 | BX649112 | ARNm Homo sapiens; ADNc DKFZp686EO2109 (a partir del clon DKFZp686EO2109) | 9.89 UP | 6.13E-05 |
| 50 | AK127437 | ADNc Homo sapiens FLJ45529 fis, clon BRTHA2027546 | 9.85 UP | 2.09E-05 |
| 55 | NM_080659 | Homo sapiens similar a RIKEN ADNc 2310030G06 gen (MGC14839), ARNm | 9.81 UP | 1.33E-03 |
| 60 | NM_014867 | Homo sapiens KIAAO711 producto génico (KIAAO711), ARNm | 9.81 UP | 4.12E-05 |
| 65 | BG149255 | nad25dOI.xl NCI_CGAP_Lu24 Homo sapiens clon de ADNc IMAGEN: 3366553 3, secuencia de ARNm | 9.7 UP | 1.54E-04 |
| | AK022598 | ADNc Homo sapiens FLJ1 2536 fis, clon NT2RM4000265 | 9.7 UP | 1.38E-02 |
| | A1792194 | ovO3cO2.y5 NCI_CGAP_Kid3 Homo sapiens clon de ADNc IMAGE-.1636226 5, secuencia de ARNm | 9.65 UP | 6.10E-04 |
| | NM_005502 | Homo sapiens casete de unión A ATP, subfamilia (ABC1), miembro 1 (ABCA1), ARNm | 9.65 UP | 4.03E-04 |

ES 2 569 421 T3

| | | | | |
|----|-----------|--|---------|----------|
| | BE070450 | QV4-BT0407-020300-1 22-d08 BT0407 Homo sapiens ADNc, secuencia de ARNm | 9.62 UP | 5.52E-05 |
| 5 | NM_006255 | Homo sapiens proteína quinasa C, eta (PRKCH), ARNm | 9.56 UP | 2.09E-05 |
| 10 | NM_005114 | Homo sapiens sulfato de heparán (glucosamina) 3-O-sulfotransferasa 1 (HS3ST1), ARNm | 9.55 UP | 1.44E-04 |
| 15 | AK123427 | ADNc Homo sapiens FLJ41433 fis, clon BRH1P2007307 | 9.46 UP | 1.99E-04 |
| 20 | NM_013430 | Homo sapiens gammaglutamiltransferasa 1 (GGT1), variante de transcripción 3, ARNm | 9.4 UP | 1.15E-04 |
| 25 | AK094353 | ADNc Homo sapiens FLJ37034 nosotros, clon BRACE2011478 | 9.4 UP | 3.08E-05 |
| 30 | NM_016584 | Homo sapiens interleucina 23, subunidad alfa p19 (1L23A), ARNm | 9.38 UP | 3.77E-05 |
| 35 | NM_002089 | Homo sapiens quimiocina (C-X-C con motivos) ligando 2 (CXCL2), ARNm | 9.38 UP | 4.55E-04 |
| 40 | D62831 | HUM330B12B Clontech potyA aorta humana + ARNm (# 6572) Homo sapiens clon de ADNc GEN-330B12 5, secuencia de ARNm | 9.32 UP | 9.48E-05 |
| 45 | A1963999 | wt87g07.xls NCI_CGAP_GC6 Homo sapiens clon de ADNc IMAGEN: 2514492 3, secuencia de ARNm | 9.31 UP | 8.57E-04 |
| 50 | NM_005978 | Homo sapiens S100 proteína de unión de calcio A2 (S100A2), ARNm | 9.31 UP | 1.64E-05 |
| 55 | NM_006622 | Homo sapiens polo-quinasa 2 (Drosophila) (PLK2), ARNm | 9.3 UP | 2.93E-05 |
| 60 | NM_033495 | Homo sapiens kelch-como 13 (Drosophila) (KLHL13), ARNm | 9.25 UP | 2.38E-05 |
| 65 | L07615 | Neuropéptido humano Y receptor Y1 (NPYY1) ARNm, exones 2-3 y cds completos | 9.23 UP | 1.09E-03 |

ES 2 569 421 T3

| | | | | |
|----|-----------|---|---------|----------|
| 5 | NM-018076 | Homo sapiens que contiene repeticiones armadillo 4 (ARMC4), ARNm | 9.16 UP | 5.96E-04 |
| 10 | CA778369 | ipi7fO3.yi HR85 islate ADNc Homo sapiens clon IMAGE-.6217493 5, secuencia de ARNm | 9.12 UP | 5.40E-05 |
| 15 | NM_024554 | Homo sapiens piggyBac elemento de transposición derivado 5 (PGBD5), ARNm | 9.12 UP | 2.63E-04 |
| 20 | NM_182487 | Homo sapiens olfactomedina similar 2A (OLFML2A), ARNm | 9.04 UP | 1.64E-04 |
| 25 | T78754 | ydOifo8.ri Soares cerebro infantil 1NIB Homo sapiens clon de ADNc IMAGE: 24i80 5, secuencia de ARNm | 9.01 UP | 1.09E-03 |
| 30 | NM_004024 | Homo sapiens factor de activación de la transcripción 3 (ATF3), ARNm | 9 UP | 1.50E-03 |
| 35 | NM_030583 | Homo sapiens matrilin 2 (MATN2), variante de transcripción 2, ARNm | 8.98 UP | 2.15E-04 |
| 40 | NM_145032 | Homo sapiens F-caja y proteína de repetición rica en leucina 13 (FBXL13), ARNm | 8.97 UP | 1.78E-05 |
| 45 | NM_020130 | Homo sapiens cromosoma 8 de marco de lectura abierto 4 (C8orf4), ARNm | 8.93 UP | 4.79E-04 |
| 50 | NM_005737 | Homo sapiens ADP-ribosilación similar al factor de 7 (ARL7), ARNm | 8.87 UP | 1.79E-04 |
| 55 | BG675167 | 602621444171 NCI_CGAP_Skn3 Homo sapiens clon de ADNc IMAGE: 4755106 5, secuencia de ARNm | 8.86 UP | 7.41E-04 |
| 60 | NM_194463 | Homo sapiens proteínas dedo anular 128 (RNF12S), variante de transcripción 1, ARNm | 8.85 UP | 8.97E-05 |
| 65 | NM_018349 | Homo sapiens múltiples C2-dominios con dos regiones de transmembrana 2 (MCTP2), ARNm | 8.81 UP | 8.37E-05 |
| | AK026740 | ADNc Homo sapiens: FLJ23087 fis, clon LNG06994, muy similar a AF161 368 Homo sapiens ARNm HSPC1O5 | 8.8 UP | 3.17E-04 |

ES 2 569 421 T3

| | | | | |
|----|-----------|---|------------|----------|
| | NM_000693 | Homo sapiens aldehido deshidrogenasa 1 familia, miembro A3 (ALDH1A3), ARNm | 8.78 UP | 4.72E-04 |
| 5 | NM_005459 | Homo sapiens guanilato ciclase activador 1C (GUCA1C), ARNm | 8.77 UP | 1.57E-04 |
| 10 | BF509074 | UI-H-B14-AOU-b-08-0-ULs1 NCI_CGAP_Sub8 Homo sapiens ADNc clon IMAGE-.3086150 3, secuencia de ARNm | 8.74 UP | 2.11E-05 |
| 15 | AL117425 | ARNm sapiens Homo; ADNc DKFZp566L2O3 (A partir del clon DKFZp566L2O3) | 8.69 UP | 2.83E-04 |
| 20 | NM_006257 | Homo sapiens proteína quinasa C, theta (PRKCQ), ARNm | 8.64 UP | 1.78E-05 |
| 25 | NM_005567 | Homo sapiens lectina, galactósido de unión, 3 proteína de unión soluble (LGALS3BP), ARNm | 8.64 UP | 1.26E-05 |
| 30 | NM_173508 | Homo sapiens soluto transportista familia 35, miembro de F3 (SLC35F3), ARNm | 8.62 UP | 1.04E-04 |
| 35 | AK025281 | ADNc Homo sapiens: FLJ21628 fis, clon C0L08076 | 8.48 UP | 7.96E-05 |
| 40 | NM_145252 | Homo sapiens similar a proteína salivar común 1 (LOC1 24220), ARNm | 8.48 UP | 1.94E-04 |
| 45 | AI764969 | wh57b02.x1 NCI_CGAP_Kid11 Homo sapiens clon de ADNc IMAGE.-2384811 3, secuencia de ARNm | 8.48 UP | 6.82E-05 |
| 50 | NM_002313 | Homo sapiens proteína actina LIM 1 vinculante (ABLIM1), variante de transcripción 1, ARNm | 8.48 UP | 3.03E-05 |
| 55 | NM-017641 | Homo sapiens quinesina miembro de la familia 21A (KIF21A), ARNm | 8.42 UP | 2.43E-05 |
| 60 | AA564703 | nj22h06.si NCI CGAPAA1 Homo sapiens clon de ADNc IMAGE: 993275 3, secuencia de ARNm | 8.4 UP | 6.11E-05 |
| 65 | NM_001323 | Homo sapiens cistatina E/M (CST6), ARNm | 8.37 UP | 1.02E-04 |
| | NM_014333 | Homo sapiens superfamilia de inmunoglobulinas, miembro 4 (IGSF4), ARNm | 8.35 UP | 1.82E-03 |

ES 2 569 421 T3

| | | | | |
|----|-----------|---|------------|----------|
| | NM_022454 | Homo sapiens SRY (región determinante del sexo Y) - la casilla 17 (SOX17), ARNm | 8.33 UP | 6.04E-05 |
| 5 | NM_000186 | Homo sapiens el factor H del complemento (CFH), ARNm | 8.32 UP | 1.06E-03 |
| 10 | BF512544 | U1-H-BW1-amf-c-08-0-UI.si NCI_CGAP_Sub7 Homo sapiens ADNc clon IMAGE-.3069687 3, secuencia de ARNm | 8.31 UP | 1.09E-04 |
| 15 | AF036977 | Homo sapiens clon HOG IV.9 ARNm desconocido | 8.27 UP | 1.12E-03 |
| 20 | AK095500 | ADNc Homo sapiens FLJ38181 fis, clon FCBBF1000125 | 8.19 UP | 6.56E-05 |
| 25 | NM_001955 | Homo sapiens endotelina 1 (EDN1), ARNm | 8.18 UP | 4.43E-04 |
| 30 | NM_002053 | Homo sapiens unión a proteínas guanilato 1, interferón-inducible, 67 kDa (GBP1), ARNm | 8.17 UP | 8.39E-06 |
| 35 | NM_031476 | Homo sapiens proteína hipotética DKFZp434BO44 (DKFZP434BO44), ARNm | 8.12 UP | 8.06E-04 |
| 40 | AA844712 | ai70el2s1 Soares_testis_NHT Homo sapiens clon de ADNc IMAGE: 1376206 3, secuencia de ARNm | 8.11 UP | 2.36E-04 |
| 45 | BM976385 | UI-CF-EN1-acz-f-03-0-UI.si IU-CF-ES 1 Homo sapiens clon de ADNc de IU-CF-EN1-acz-f-03-0-UI 3, secuencia de ARNm | 8.11 UP | 7.27E-04 |
| 50 | BX647876 | Homo sapiens ARNm; ADNc DKFZp313A1 525 (A partir del clon 3A1 DKFZp31 525) | 8.11 UP | 6.87E-04 |
| 55 | NM_001845 | Homo sapiens colágeno tipo IV, alfa 1 (COL4A1), ARNm | 8.06 UP | 2.72E-05 |
| 60 | NM_014900 | Homo sapiens COBL tipo 1 (COBLL1), ARNm | 8.04 UP | 9.67E-05 |
| 65 | NM_203306 | Homo sapiens proteína hipotética MGC39606 (MGC39606), ARNm | 7.98 UP | 1.95E-03 |
| | B1963896 | ie66c06.xl Melton Islote Normalizado Humano 4 N4-HIS 1 ADNc Homo sapiens clon IMAGE.-5671691 3, secuencia de ARNm | 7.97 UP | 2.73E-05 |
| | NM_005025 | Homo sapiens serina (o cisteína) proteinasa inhibidor, Dade I (neuroserpina), miembro 1 (SERPINI1), ARNm | 7.97 UP | 3.03E-05 |

ES 2 569 421 T3

| | | | | |
|----|-----------|---|------------|----------|
| | AK024238 | ADNc Homo sapiens FLJ14176 fis, clon NT2RP2003101 | 7.96 UP | 4.75E-05 |
| 5 | NM_005951 | Homo sapiens metalotioneína IH (MT1H), ARNm | 7.95 UP | 3.19E-03 |
| 10 | CF887677 | UI-CF-FNO-AEV-o-22-1-8 UI.rl 8 T-CF-FNO Homo sapiens ADNm clon UI-CF-FNO-AEV-o-22-18-DI5, secuencia de ARNm | 7.93 UP | 4.30E-05 |
| 15 | NM_024423 | Homo sapiens desmocolina 3 (DSC3), variante de transcripción Dsc3b, ARNm | 7.91 UP | 1.23E-04 |
| 20 | A1355761 | qt94all.xl NCI_CGAP_Co14 Homo sapiens clon de ADNc IMAGE-1962908 3 similar a . gb:X74929 QUERATINA, TIPO II CITOESQUELETO 8 (HUMANO) ;, secuencia de ARNm | 7.91 UP | 6.82E-05 |
| 25 | | | | |
| 30 | BF445031 | nad2OfO2.xl NCI_CGAP_Lu24 Homo sapiens clon de ADNc IMAGE: 3366266 3, secuencia de ARNm | 7.91 UP | 1.78E-05 |
| 35 | CA444471 | UI-H-DPO-avv-a-16-0-UI.si NCI_CGAP_FslHomo sapiens clon de ADNc UI-H-DPO-AVV-a-16-0-UI 3, secuencia de ARNm | 7.89 UP | 7.69E-05 |
| 40 | NM_014942 | Homo sapiens anquirina dominio de repetición 6 (ANKRD6), ARNm | 7.89 UP | 2.49E-05 |
| 45 | AK021801 | ADNc Homo sapiens FLJ11739 fis, clon HEMBA1005497 | 7.86 UP | 1.15E-04 |
| 50 | NM_001766 | Homo sapiens antígeno CD1D, polipéptido d (CD1D), ARNm | 7.85 UP | 5.10E-04 |
| 55 | NM_005360 | Homo sapiens v-maf músculo-homólogo de oncogén de fibrosarcoma (aviar) (MAF), ARNm | 7.81 UP | 7.59E-05 |
| 60 | NM_018700 | Homo sapiens tripartito motivo que contienen 36 (TRIM36), ARNm | 7.8 UP | 2.55E-05 |
| 65 | BX640643 | ARNm Homo sapiens; ADNc DKFZp686O24114 (a partir del clon DKFZp686024114) | 7.79 UP | 2.59E-05 |
| 65 | NM_005331 | Homo sapiens hemoglobina, theta 1 (HBQ1), ARNm | 7.77 UP | 3.73E-04 |

ES 2 569 421 T3

| | | | | |
|----|-----------|---|------------|----------|
| 5 | NM_194298 | Homo sapiens familia de transportadores de soluto 16 (transportadores de ácidos monocarboxílicos), miembro 9 (SLC16A9), ARNm | 7.77 UP | 2.66E-04 |
| 10 | NM_012413 | Homo sapiens glutaminil-péptido cyclotransferasa (ciclasa de glutaminil) (QPCT), ARNm | 7.76 UP | 4.60E-04 |
| 15 | NM_005860 | Homo sapiens follistina 3 (secretada glicoproteína) (FSTL3), ARNm | 7.76 UP | 2.64E-05 |
| 20 | AB033029 | Homo sapiens ARNm para la proteína KIAA1203, cds parcial | 7.7 UP | 8.39E-06 |
| 25 | NM_012216 | Homo sapiens línea media 2 (MID2), variante de transcripción 1, ARNm | 7.62 UP | 6.12E-05 |
| 30 | NM_018986 | Homo sapiens dominio SH3 y tetratricopéptido repite 1 (SH3TC1), ARNm | 7.61 UP | 8.69E-04 |
| 35 | BM665101 | UI-E-CQ1-aew-I-09-0-UI.si IU-E-CQ1 Homo sapiens clon de ADNc de IU-E-CQ1-AEW-I-09-0-UI 3, secuencia de ARNm | 7.58 UP | 4.09E-05 |
| 40 | AL706653 | DKFZp6S6E1543_r1 686 (sinónimo: hlcc3) Homo sapiens clon de ADNc DKFZp686E1543 5, secuencia de ARNm | 7.57 UP | 2.36E-05 |
| 45 | BF920409 | 0V2-NT0144-071100-463 BOG-NT0144 Homo sapiens ADNc, secuencia de ARNm | 7.55 UP | 6.70E-04 |
| 50 | NM_173462 | Homo sapiens papilina, proteoglicanos similares a glicoproteína sulfatado (PAPLN), ARNm | 7.55 UP | 5.64E-05 |
| 55 | NM_031419 | Homo sapiens factor nuclear kappa luz, polipéptido potenciador del gen en las células B inhibidor, zeta (NFKBIZ), variante de transcripción 1, ARNm | 7.55 UP | 1.49E-04 |
| 60 | NM-016423 | Homo sapiens proteína con dedos de zinc 219 (ZNF219), ARNm | 7.53 UP | 1.71E-05 |
| 65 | NM_020859 | Homo sapiens proteína relacionada con Shroom (ShrmL), ARNm | 7.52 UP | 1.26E-05 |

ES 2 569 421 T3

| | | | | |
|----|-----------|--|------------|----------|
| | NM_004932 | Homo sapiens cadherina 6, tipo 2, K-cadherina (Riñón fetal) (CDH6), ARNm | 7.52 UP | 1.64E-05 |
| 5 | NM_182797 | Homo sapiens fosfolipasa C, beta 4 (Plcb4), variante de transcripción 2, ARNm | 7.52 UP | 5.49E-05 |
| 10 | AL512697 | Homo sapiens ARNm; ADNc DKFZp547F134 (A partir del clon DKFZp547F134) | 7.5 UP | 6.17E-05 |
| 15 | BC035116 | Homo sapiens clon de ADNc IMAGE: 5263177, cds parcial | 7.47 UP | 2.32E-05 |
| | AL353944 | Homo sapiens ARNm; ADNc DKFZp761J1112 (A partir del clon DKFZp761J1112) | 7.45 UP | 1.72E-05 |
| 20 | NM_152780 | Homo sapiens proteína hipotética FLJ14503 (FLJ14503), ARNm | 7.45 UP | 1.19E-03 |
| 25 | AA888443 | nw74fIO.si NCI_CGAP_Pr12 Homo sapiens clon de ADNc IMAGE: 1252363, secuencia de ARNm | 7.43 UP | 5.18E-04 |
| 30 | AW450938 | UI-H-B13-all-g-05-0-D I .SI NCI_CGAP_Sub5 Homo sapiens ADNc clon IMAGE: 2737329 3, secuencia de ARNm | 7.4 UP | 4.98E-05 |
| 35 | NM_053039 | Homo sapiens UDP glicosiltransferasa 2 familia, polipéptido B28 (UGT2B28), ARNm | 7.38 UP | 1.12E-03 |
| 40 | NM_016946 | Homo sapiens F11 receptor (F11R), variante de transcripción 1, ARNm | 7.36 UP | 4.65E-05 |
| 45 | AW969742 | EST381820 resecuenciación MAGE, MAGK Homo sapiens ADNc, secuencia de ARNm | 7.36 UP | 1.15E-04 |
| 50 | BX117866 | BX117866 NCI_CGAP_GCB1 Homo sapiens clon de ADNc 1MAGp998N233105 IMAGE: 1234774, secuencia de ARNm | 7.34 UP | 2.20E-04 |
| 55 | NM_005739 | Homo sapiens RAS ciclase liberación de la proteína 1 (Calcio y regulado por el DAG) (RASGRP1), ARNm | 7.31 UP | 2.20E-04 |
| 60 | CB047287 | NISC_ggOlhOl.yI NCICGAP_KidII Homo sapiens ADNc clon IMAGEN: 3253464 5, secuencia de ARNm | 7.25 UP | 3.52E-05 |

ES 2 569 421 T3

| | | | | |
|----|-----------|---|------------|----------|
| | NM-013951 | Gen emparejado caja Homo sapiens 8 (PAX8), variante de transcripción PAX8B, ARNm | 7.25 UP | 5.00E-05 |
| 5 | AK125695 | ADNc Homo sapiens FLJ43707 nosotros, clon TESOP2001865 | 7.24 UP | 1.62E-03 |
| 10 | NM_020796 | Homo sapiens sema dominio transmembrana dominio (TM), y dominio citoplásmico, (Semaforina) 6A (Sema6A), ARNm | 7.21 UP | 1.01E-04 |
| 15 | BM929354 | IU-E-EJ1-aje-o-19-0-Ui.rl IU-E-EJ1 Homo sapiens clon de ADNc UI-E-EJ1-aje-o-19-0-Ui 5, secuencia de ARNm | 7.19 UP | 5.49E-05 |
| 20 | BX103949 | BX103949 NCI_CGAP_Co3 Homo sapiens clon de ADNc IMAGp998C112296; IMAGE: 923842, secuencia de ARNm | 7.16 UP | 6.37E-05 |
| 25 | NM_003475 | Homo sapiens cromosoma 11 marco de lectura abierto de bastidor 13 (C11orf13), ARNm | 7.14 UP | 1.56E-04 |
| 30 | BE735115 | 601566084F1 NIH MGC 21 Homo sapiens clon de ADNc IMAGE: 3840837 5, secuencia de ARNm | 7.12 UP | 1.41E-03 |
| 35 | NM_207517 | Homo sapiens similar a ADAMTS-3 (ADAMTSL3), ARNm | 7.11 UP | 1.26E-05 |
| 40 | BU688263 | UI-CF-EC1-aea-g-11-0-Ui.sl IU-CF-Ed Homo sapiens clon de ADNc de UI-CF-EC1-aea-g-11-0-Ui 3, secuencia de ARNm | 7.06 UP | 2.97E-05 |
| 45 | AK022971 | ADNc Homo sapiens FLJ12909 nosotros, clon NT2RP2004400 | 7.06 UP | 7.80E-05 |
| 50 | NM_001740 | Homo sapiens Calbindin 2, 29 kDa (calretinina) (CALB2), variante de transcripción CALB2, ARNm | 7.05 UP | 1.81E-04 |
| 55 | NM_022073 | Homo sapiens egl nueve homólogo 3 (C. elegans) (EGLN3), ARNm | 7.04 UP | 5.64E-04 |
| 60 | BX117230 | BX117230 NCI_CGAP_Kid11 Homo sapiens clon de ADNc 1MAGp9981235695; IMAGE-.2298718, secuencia de ARNm | 7.03 UP | 1.56E-03 |
| 65 | | | | |

ES 2 569 421 T3

| | | | | |
|----|-----------|--|------------|----------|
| | NM_002230 | Homo sapiens unión de plakoglobina (JUP), variante de transcripción 1, ARNm | 7.03 UP | 2.78E-05 |
| 5 | AK023793 | ADNc Homo sapiens FLJ13731 fis, clon PLACE3000142 | 7.02 UP | 4.04E-04 |
| 10 | AL117598 | ARNm Homo sapiens; ADNc DKFZp564H1663 (A partir del clon DKFZp564H1663) | 7 UP | 1.59E-04 |
| 15 | NM_001958 | Homo sapiens elongación de la traducción eucariótica factor de 1 alfa 2 (EEF1A2), ARNm | 6.99 UP | 5.20E-04 |
| 20 | NM_007029 | Homo sapiens statmina 2 similar (STMN2), ARNm | 6.97 UP | 4.47E-04 |
| 25 | BE968596 | 601649770F1 NIH_MGC_74 Homo sapiens clon de ADNc IMAGE: 3933472 5, secuencia de ARNm | 6.97 UP | 8.39E-04 |
| 30 | AK126467 | ADNc Homo sapiens FLJ44503 fis, clon UTERU3001158 | 6.97 UP | 3.82E-05 |
| 35 | AA832510 | oe62d06.sl NCICGAP_Lu5 Homo sapiensclon de ADNc IMAGE: 1416203 3, secuencia de ARNm | 6.93 UP | 9.67E-04 |
| 40 | NM_004895 | Homo sapiens síndrome autoinflamatoria fría 1 (CIAS1), variante de transcripción 1, ARNm | 6.9 UP | 1.46E-03 |
| 45 | NM_018424 | Homo sapiens proteína de membrana de los eritrocitos banda 4.1 similar a 4B (EPB41L4B), ARNm | 6.9 UP | 4.68E-05 |
| 50 | NM_004390 | Homo sapiens catepsina H (CSP), variante de transcripción 1, ARNm | 6.89 UP | 2.72E-05 |
| 55 | NM_024603 | Homo sapiens proteína hipotética FLJ11588 (FLJ11588), ARNm | 6.87 UP | 3.80E-05 |
| | A1492941 | qz42h08.xl NCI_CGAPKid1 1 Homo sapiens clon de ADNc IMAGE: 2029599 3, secuencia de ARNm | 6.82 UP | 8.39E-04 |
| 60 | NM_003985 | Homo sapiens tirosina quinasa, no receptor, 1 (TNK1), ARNm | 6.8 UP | 4.55E-05 |

ES 2 569 421 T3

| | | | | |
|----|------------|--|---------|----------|
| | AK095399 | ADNc Homo sapiens FLJ38080 fis, clon CTONG2016185 | 6.8 UP | 9.23E-04 |
| 5 | BQ020597 | IU-H-DPO-AVD-a-1 3-0 1-UI.s NCICGAPFs1 Homo sapiens ADNc clon IMAGE-.5877780 3, secuencia de ARNm | 6.8 UP | 4.53E-05 |
| 10 | NM_001432 | Homo sapiens epirregulina (EREG), ARNm | 6.77 UP | 1.25E-05 |
| 15 | NM_005485 | Homo sapiens poli (ADP-ribosa) polimerasa familia, miembro 3 (PARP3), variante de transcripción 2, ARNm | 6.76 UP | 6.46E-05 |
| 20 | AB058769 | Homo sapiens ARNm de la proteína KIAA1 866, cds parcial | 6.76 UP | 9.84E-05 |
| 25 | BU753362 | UI-1-BB1-air-h-09-0-UI.sl NCI_CGAP_PI5 Homo sapiens ADNc clon T-1-BB1 aire-h-09-0-IU-3, la secuencia de ARNm | 6.75 UP | 1.08E-04 |
| 30 | AL834140 | ARNm Homo sapiens; Edna DKFZp434A2029 (A partir del clon DKFZp434A2O29) | 6.73 UP | 4.49E-05 |
| 35 | BX092501 | BX092501 NCI_CGAP_Lu5 Homo sapiens clon de ADNc 1MAGp998K143946; IMAGE: 1557637, secuencia de ARNm | 6.71 UP | 2.56E-04 |
| 40 | BX640973 | ARNm Homo sapiens; ADNc DKFZp686B15184 (a partir del clon DKFZp686B15184) | 6.71 UP | 2.36E-04 |
| 45 | NM-015277 | Homo sapiens de células precursoras neurales expresa, desarrollo las reguladas 4- (NEDD4L), ARNm | 6.7 UP | 1.60E-05 |
| 50 | NM_021192 | Homo sapiens homeobox D11 (HOXD11), ARNm | 6.69 UP | 8.94E-04 |
| 55 | NM_032621 | Homo sapiens cerebro expresado al cromosoma X ligado 2 (BEX2), ARNm | 6.69 UP | 1.83E-04 |
| 60 | X02851 | ARNm humano para la interleucina-1 precursora (pre IL-1) | 6.68 UP | 3.32E-04 |
| 65 | NM_0014258 | Homo sapiens proteína sinaptonémica compleja 2 (SYCP2), ARNm | 6.68 UP | 4.96E-02 |

ES 2 569 421 T3

| | | | | |
|----|-----------|---|------------|----------|
| | NM_000682 | Homo sapiens adrenérgico alfa-2B, receptor de (ADRA2B), ARNm | 6.67 UP | 3.64E-05 |
| 5 | BQ435580 | AGENCOURT_7836890 NIH_MGC_82 Homo sapiens clon de ADNc IMAGE.6102371 5, secuencia de ARNm | 6.64 UP | 1.64E-04 |
| 10 | | | | |
| | NM_024608 | Homo sapiens nei endonucleasa tipo VIII 1 (E.coli) (NEIL1), ARNm | 6.63 UP | 3.23E-05 |
| 15 | | | | |
| | AK057113 | ADNc Homo sapiens FLJ32551 fis, clon SPLEN1000087 | 6.63 UP | 6.06E-04 |
| 20 | NM_130897 | Homo sapiens dineína, citoplasmática, luz polipéptido 2B (DNCL2B), ARNm | 6.62 UP | 2.40E-03 |
| 25 | N39597 | yy5leO4.si Soares_multiple_sclerosis_2NbHMSP Homo sapiens ADNc clon IMAGE.-277086 3, secuencia de ARNm | 6.62 UP | 8.33E-04 |
| 30 | BU616749 | UI-H-FH1-bfj-a-11-0-UI.si NCI_CGAP_FH1Homo sapiens clon de ADNc UI-H-FH1-bfj-a-110-UI 3, secuencia de ARNm | 6.59 UP | 1.93E-04 |
| 35 | | | | |
| | AW195474 | xn38g09.xl NCI_CGAP_Kid11 Homo sapiens clon de ADNc IMAGE: 2696032 3, secuencia ARNm | 6.59 UP | 6.82E-05 |
| 40 | | | | |
| | AK127437 | ADNc Homo sapiens FLJ45529 fis, clon BRTHA2027546 | 6.57 UP | 1.76E-04 |
| 45 | NM_004717 | Homo sapiens diacilglicerol quinasa, iota (DGKI), ARNm | 6.56 UP | 7.54E-05 |
| | BU584197 | 2513030T6 LIVRTUTO4 ADNc Homo sapiens 2513030 clon 3, secuencia de ARNm | 6.53 UP | 8.82E-04 |
| 50 | BU634363 | IU-H-FL1-bgx-o-20-0-D I SI NCI_CGAP_FL1 Homo sapiens clon de ADNc UI-H-FL1-bgx-o-20-0-UI 3, secuencia de ARNm | 6.53 UP | 1.24E-04 |
| 55 | NM_178868 | Homo sapiens factor de quimioquinas como superfamilia 8 (CKLFSF8), ARNm | 6.52 UP | 1.59E-03 |
| 60 | NM_002247 | Homo sapiens potasio gran conductancia canal de calcio activado, M subfamilia, alfa 1 miembro (KCNMA1), ARNm | 6.49 UP | 4.49E-05 |
| 65 | | | | |

ES 2 569 421 T3

| | | | | |
|----|-----------|---|------------|----------|
| 5 | AW188195 | xj93e12.x1 Soares_NFL_T_GBC_S1 Homo sapiens clon de cDNA IMAGEN: 2664814 3 similares que contiene elemento de THR elemento repetitivo;, secuencia de ARNm | 6.49 UP | 3.81E-05 |
| 10 | | | | |
| 15 | NM_153634 | Homo sapiens copine VIII (CPNE8), ARNm | 6.48 UP | 1.72E-04 |
| 20 | NM_145205 | Homo sapiens como HMG2 (LOC1 27540), ARNm | 6.47 UP | 6.39E-05 |
| 25 | NM_178868 | Homo sapiens factor tipo quimocina súperfamilia 8 (CKLFSF8), ARNm | 6.47 UP | 1.15E-05 |
| 30 | U63828 | ARNm activador del plasminógeno tisular humano cds parcial | 6.46 UP | 5.51E-05 |
| 35 | NM_004529 | Homo sapiens mieloide / linfoide o linaje mixtode leucemia (homólogo Trithorax,Drosophila); translocado a, 3 (MLLT3), ARNm | 6.46 UP | 8.21E-05 |
| 40 | BX647655 | ARNm Homo sapiens; ADNc DKFZp451A211 (A partir del clon DKFZp451A211) | 6.46 UP | 6.94E-05 |
| 45 | AW470401 | xz83gOl.xi NCI_CGAP_Lu24 Homo sapiens clon de ADNc IMAGE: 2870832 3 similar a contiene L1.t2 L1 elemento repetitivo ;, secuencia de ARNm | 6.46 UP | 1.30E-04 |
| 50 | BG570144 | 602591134F1 NIH_MGC_77 Homo sapiens clon de cDNA IMAGEN: 471 7761 5, secuencia de ARNm | 6.45 UP | 1.08E-03 |
| 55 | BX115325 | BX115325 NCI_CGAP_Kid11 Homo sapiens clon de ADNc 1MAGp998KO85276; IMAGEN: 2137855, secuencia de ARNm | 6.45 UP | 1.04E-04 |
| 60 | NM_002214 | Homo sapiens integrina beta 8 (ITGB8), ARNm | 6.44 UP | 6.77E-05 |
| 65 | CA314926 | UI-CF-FNO-afi-b-19-0-UI.sl IU-CF-FNO Homo sapiens clon de ADNc de IU-CF-FNO-afi-b-19-0-UI 3, secuencia de ARNm | 6.43 UP | 6.61E-05 |

ES 2 569 421 T3

| | | | | |
|----|-----------|---|------------|----------|
| | AK093870 | ADNc Homo sapiens FLJ36551 fis, clon TRACH2008127 | 6.43 UP | 1.28E-03 |
| 5 | NM_000860 | Homo sapiens hidroxiprostaglandina deshidrogenasa 15- (NAD) (HPGD), ARNm | 6.42 UP | 1.76E-05 |
| 10 | A1831068 | wj62d12.xl NCI_CGAP_Lu19 Homo sapiens clon de ADNc IMAGE: 2407415 3, secuencia de ARNm | 6.41 UP | 1.37E-04 |
| 15 | NM_000349 | Homo sapiens regulador aguda androgénica (STAR), codificación de genes nucleares mitocondrial proteína, variante de transcripción 1, ARNm | 6.41 UP | 1.26E-04 |
| 20 | NM_014181 | Homo sapiens proteína HSPC159 (HSPC159), ARNm | 6.4 UP | 1.67E-04 |
| 25 | NM_024534 | Homo sapiens proteína hipotética FLJ12684 (FLJ12684), ARNm | 6.38 UP | 6.57E-04 |
| 30 | NM_002843 | Homo sapiens proteína tirosina fosfatasa, tipo de receptor, J (PTPRJ), ARNm | 6.38 UP | 1.32E-03 |
| 35 | A1926616 | wo48e04.xl NCI_CGAP_Gas4 Homo sapiens clon de cDNA IMAGE-3 similar a .2458590 contiene MER27.b2 MER27 elemento repetitivo secuencia de ARNm | 6.37 UP | 7.01E-03 |
| 40 | NM_002273 | Homo sapiens queratina 8 (KRT8), ARNm | 6.36 UP | 2.91E-03 |
| 45 | NM_207303 | Homo sapiens atractina tipo 1 (ATRNL1), ARNm | 6.35 UP | 7.85E-04 |
| 50 | AK001007 | ADNc Homo sapiens FLJ 10145 fis, clon HEMBA1003322 | 6.35 UP | 1.82E-05 |
| | CB047092 | NISC_gfO8fO3.xl NCICGAP_KidI2 Homo sapiens cDNA clon IMAGE: 3253013 3, secuencia ARNm | 6.33 UP | 6.92E-05 |
| 55 | BC060805 | Homo sapiens proteína hipotética FLJ12788, ARNm (ADNc clon IMAGE: 5266931), cds parcial | 6.31 UP | 2.93E-05 |
| 60 | A1359782 | qy4lhIO.xl NCI_CGAP_Brn23 Homo sapiens clon de ADNc IMAGEN: 201 4627 3, secuencia ARNm | 6.31 UP | 3.23E-04 |
| 65 | | | | |

ES 2 569 421 T3

| | | | | |
|----|-----------|---|------------|----------|
| | CA426602 | UI-H-FE1-bef-f-11-0-UI.sl NCICGAP_FE1 Homo sapiens clon de ADNc UI-H-FE1-BEF-f-11-0-UI 3, secuencia de ARNm | 6.29 UP | 2.14E-04 |
| 5 | | | | |
| 10 | AK091686 | ADNc Homo sapiens FLJ34367 fis, clon FEBRA201 6621 | 6.27 UP | 1.93E-03 |
| 15 | AK091336 | ADNc Homo sapiens FLJ34017 fis, clon FCBBF2002626 | 6.26 UP | 5.49E-05 |
| 20 | NM-015068 | Homo sapiens expresaron paternamente 10 (PEG1O), ARNm | 6.26 UP | 4.53E-05 |
| 25 | R79128 | y186c12.ri Soares placenta Nb2HP Homo sapiens ADNc clon IMAGE: 146134 5, secuencia de ARNm | 6.23 UP | 2.06E-04 |
| 30 | H08785 | y194f04.sl Soares cerebro infantil 1 NIB Homo sapiens ADNm clon IMAGE: 45882 3, secuencia de ARNm | 6.22 UP | 1.66E-03 |
| 35 | AI953708 | wq47d09.xi NCI_CGAPGC6 Home Sapiensclon de ADNc IMAGE: 2474417 3, secuencia de ARNm | 6.21 UP | 4.58E-03 |
| 40 | NM_015236 | Homo sapiens latrofilina 3 (LPHN3), ARNm | 6.2 UP | 5.35E-04 |
| 45 | AL833609 | ARNm Homo sapiens; ADNc DKFZp686O1267 (A partir del clon DKFZp686O1267) | 6.19 UP | 7.53E-04 |
| 50 | AK127421 | Homo sapiens CONA FLJ45513 fis, clon BRTHA2021450 | 6.19 UP | 4.68E-05 |
| 55 | NM-015085 | Homo sapiens GTPasa activación de Rap / RanGAP dominio 4 similar (GARNL4), ARNm | 6.18 UP | 6.82E-05 |
| 60 | NM_001305 | Homo sapiens claudina 4 (CLDN4), ARNm | 6.17 UP | 3.48E-05 |
| 65 | NM_173078 | Homo sapiens ITSL y familiares NTRK, miembro 4 (SLTRK4), ARNm | 6.16 UP | 1.08E-03 |
| | BG165745 | 602344592F1 NIH_MGC_89 Home Sapiens clon de ADNc IMAGE: 4454470 5, secuencia de ARNm | 6.16 UP | 1.20E-04 |
| | NM_006074 | Homo Sapiens 22 motivo que contienen tripartita (TRIM22), ARNm | 6.15 UP | 1.15E-03 |
| | NM_005928 | Homo sapiens alóbulo de grasa de leche-EGF factor 8 | 6.15 | 1.63E- |

ES 2 569 421 T3

| | | | | |
|----|-----------|--|------------|--------------|
| | BF939703 | nac8Oe07.xl NCI_CGAP_Brn23 Homo sapiens clon de ADNc IMAGE: 3440725 3 similar a MER3O.t3 contiene MER3O elemento repetitivo ;, secuencia de ARNm | 6.12 UP | 6.35E- 05 |
| 5 | | | | |
| 10 | | | | |
| | BX115301 | BX115301 NCLCGAP_K1d5 Homo sapiens clon de ADNc 1MAGp998J093989; IMAGE: 1574120, secuencia ARNm | 6.11 UP | 8.26E- 05 |
| 15 | NM-018849 | Homo sapiens casete de unión a ATP, sub- B de la familia (MDRITAP), miembro 4 (ABCB4), variante de transcripción B, ARNm | 6.09 UP | 3.23E- 05 |
| 20 | | | | |
| | NM_015478 | Homo sapiens (3) MBT-como (Drosophila) (L3MBTL), variante de transcripción I, ARNm | 6.09 UP | 2.43E- 05 |
| 25 | NM_015669 | Homo sapiens protocadherina beta 5 (PCDHB5), ARNm | 6.08 UP | 7.52E- 05 |
| | NM_147189 | Homo sapiens hipotética proteína MGC39325 (MGC39325), ARNm | 6.06 UP | 3.18E- 04 |
| 30 | BQO18133 | UI-H-DPO-avv-l-18-0-Ui.sl NCI_CGAP_Fsl Homo sapiens IMAGE clon de ADNc : 5884961 3, secuencia de ARNm | 6.06 UP | 1.78E- 05 |
| | N34295 | yy5leI0.sl Soares_multiple_sclerosis_2NbHMSP ADNc Homo sapiens clon IMAGE: 277098 3, secuencia de ARNm | 6.04 UP | 8.29E- 05 |
| 35 | | | | |
| | NM_006472 | Homo sapiens tiorredoxina proteína de interacción (TXNIP), ARNm | 6.03 UP | 6.87E- 05 |
| 40 | NM_012472 | Homo sapiens repeticiones ricas en leucina que contiene 6 (LRRC6), ARNm | 6.02 UP | 2.66E- 05 |
| | AK123319 | ADNc Homo sapiens FLJ41 325 fis, clon B1RAMY204687 | 6 UP | 2.55E- 04 |
| 45 | AK123807 | ADNc Homo sapiens FLJ41 813 fis, hecho NT2RI2011450 | 5.98 UP | 7.92E- 05 |
| 50 | NM_017786 | Homo sapiens proteína hipotética FLJ20366 (FLJ20366), ARNm | 5.98 UP | 1.85E- 03 |
| | NM_000212 | Homo sapiens integrina beta 3 (plaquetas glicoproteína Lila, el antígeno CD61) (ITGB3), ARNm | 5.97 UP | 2.73E- 05 |
| 55 | NM_000817 | Homo sapiens glutamato descarboxilasa 1 (Cerebro, 67 kDa) (GAD1), variante de transcripción GAD67, ARNm | 5.96 UP | 9.94E- 03 |
| 60 | | | | |
| | AK123617 | ADNc Homo sapiens FLJ41623 fis, clon CT0NG3009227 | 5.92 UP | 1.38E- 03 |
| 65 | | | | |

ES 2 569 421 T3

| | | | | |
|----|-----------|---|------------|----------|
| | B1493986 | dfI06gl2.yl Morton fetal cóclea Homo sapiens clon de ADNc IMAGE-.2538815 5, secuencia de ARNm | 5.91 UP | 3.68E-04 |
| 5 | | | | |
| 10 | NM_005264 | Homo sapiens GDNF receptor de la familia de alfa 1 (GFRA1), variante de transcripción 1, ARNm | 5.91 UP | 4.09E-05 |
| 15 | CN478597 | UI-CF-FNO-aeo-g-21-0-UI.sl UI-CF-FNO Homo sapiens clon de ADNc UI-CF-FNO-AEO-g-21-0-UI 3, secuencia de ARNm | 5.88 UP | 1.13E-03 |
| 20 | BQO21695 | UI-H-DH1-axi-f-22-0-T l.sl NCI_CGAP_DH1 Homo sapiens ADNc clon IMAGE-.5829141 3, secuencia de ARNm | 5.88 UP | 1.72E-04 |
| 25 | AL137698 | ARNm Homo sapiens; ADNc DKFZp434C1915 (A partir del clon DKFZp434C1915); cds parcial | 5.88 UP | 2.03E-05 |
| 30 | NM_014905 | Homo sapiens glutaminasa (GLS), ARNm | 5.88 UP | 1.24E-04 |
| 35 | AA993234 | ot6OaO8.sl Soares_testis_NHT Homo sapiens clon de ADNc IMAGE: 1621142 3, secuencia de ARNm | 5.87 UP | 2.88E-05 |
| 40 | N38890 | yy8lf1 2.s1 Homo Soares_multiple_sclerosis_2NbHMSP sapiens ADNc clon IMAGE: 279983 3 similares que contiene OFR.t3 OFR elemento repetitivo ;, secuencia de ARNm | 5.87 UP | 1.25E-04 |
| 45 | | | | |
| 50 | NM_197955 | Homo sapiens mucosa normal del esófago específico 1 (NMES1), variante de transcripción 1, ARNm | 5.85 UP | 1.85E-04 |
| 55 | NM_014399 | Homo sapiens transmembrana 4 superfamilia miembro 13 (TM4SF13), ARNm | 5.84 UP | 2.18E-05 |
| 60 | NM_024704 | Homo sapiens cromosoma 20 de marco de lectura abierto 23 (C200rf23), ARNm | 5.82 UP | 1.24E-04 |
| 65 | | | | |

ES 2 569 421 T3

| | | | | |
|----|-----------|---|---------|----------|
| | NM_002276 | Homo sapiens queratina 19 (KRT19), ARNm CD248442 AGENCOURT_1 4095939 NI H_MGC_1 72 5.79 UP 2.16E-04 ADNc Homo sapiens 5, secuencia de ARNm | 5.8 UP | 7.06E-03 |
| 5 | | | | |
| 10 | AK024850 | ADNc Homo sapiens: FLJ21 197 fis, clon COLOO2O1 | 5.79 UP | 1.45E-04 |
| 15 | H83499 | ys9ifl2.rl Soares retina N2b5HR Homo sapiens cDNA clon IMAGEN: 222 191 5, secuencia de ARNm | 5.77 UP | 1.37E-02 |
| 20 | NM-153377 | Homo sapiens repeticiones ricas en leucina y dominios de tipo inmunoglobulina 3 (LRIG3), ARNm | 5.77 UP | 2.43E-05 |
| 25 | NM-153267 | Homo sapiens dominio MAM que contiene 2 (MAMDC2), ARNm | 5.76 UP | 2.31E-04 |
| 30 | NM_144595 | Homo sapiens proteína hipotética FLJ30046 (FLJ30046), ARNm | 5.76 UP | 1.38E-03 |
| 35 | BF509155 | UI-H-B14-AOV-b-05-0-UI si NCI_CGAP_Sub8 Homo sapiens ADNc clon IMAGEN: 3086145 3, secuencia de ARNm | 5.75 UP | 6.59E-05 |
| 40 | NM_002735 | Homo sapiens proteína quinasa, AMPcdependiente, reguladora, tipo I, beta (PRKAR1 B), ARNm | 5.73 UP | 2.73E-05 |
| 45 | NM_025044 | Homo sapiens bicaudal C homólogo 1 de (Drosophila) (BICC1), ARNm | 5.72 UP | 5.81E-05 |
| 50 | BM969191 | UI-CF-ENO-acp-e-22-0-UI.si UI-CF-ENO Homo sapiens clon de ADNc UI-CF-ENO-ACP-e-22-0-D I 3, secuencia de ARNm | 5.69 UP | 1.67E-03 |
| 55 | NM_000203 | Homo sapiens iduronidasa, alfa-L- (IDUA), ARNm | 5.68 UP | 1.10E-03 |
| 60 | A1693580 | wdl2dOl.xi NCI_CGAP_Co3 Homo sapiens clon de ADNc IMAGE: 2327905 3, secuencia ARNm | 5.67 UP | 9.23E-04 |
| 65 | NM_006169 | Homo sapiens nicotinamida N-metiltransferasa (NNMT), ARNm | 5.66 UP | 2.18E-05 |

ES 2 569 421 T3

| | | | | |
|----|-----------|--|------------|---------------|
| | H46176 | yoi4ail.sl Soares cerebro adulto N2b5HB55Y Homo sapiens ADNc clon IMAGE-0.177884 3, secuencia de ARNm | 5.65 UP | 1.88E- 05 |
| 5 | NM_024306 | Homo sapiens ácido graso 2-hidroxilasa (FA2H), ARNm | 5.63 UP | 4.19E- 03 |
| 10 | BX110683 | BX110683 NCI_CGAP_GC6 Homo sapiens clon de ADNc 1MAGp998E175727; IMAGE: 2310904, secuencia de ARNm | 5.62 UP | 7.42E- 04 |
| 15 | NM_030765 | Homo sapiens UDP-GlcNAc: betaGal beta-1,3- N-acetylglucosaminyltransferasa 4 (B3GNT4), ARNm | 5.58 UP | 1.80E- 03 |
| 20 | NM_003929 | Homo sapiens RAB7, miembro RAS oncogén Familiar tipo 1 (RAB7L1), ARNm | 5.55 UP | 2.14E- 05 |
| 25 | AI220066 | qg84d0i xl Soares_NFL_T_GBC_Si Homo sapiens ADNc clon IMAGE: 1841857 3, secuencia de ARNm | 5.54 UP | 2.13E- 05 |
| 30 | AA664452 | ae94d02.sl células estromales de la médula ósea humana Homo sapiens IMAGEN clon de ADNc: 1026723 3 similar al elemento contiene LTR4 elemento repetitivo ;, secuencia de ARNm | 5.54 UP | 4.13E- 05 |
| 35 | NM_007237 | Homo sapiens SP14O proteína corporal nuclear (SP14O), variante de transcripción 1, ARNm | 5.53 UP | 2.41 E- 04 |
| 40 | NM_173662 | Homo sapiens hipotética proteína L0C285533 (L0C285533), ARNm | 5.52 UP | 3.69E- 03 |
| 45 | NM_003020 | Homo sapiens gránulos de secreción, la proteína neuroendocrina 1 (7B2 proteína) (SGNE1), ARNm | 5.52 UP | 2.08E- 04 |
| 50 | NM_206808 | Homo sapiens citrato beta-lisasa como (CLYBL), variante de transcripción 2, ARNm | 5.52 UP | 1.87E- 04 |
| 55 | NM_004867 | Homo sapiens integrante 2A proteína de membrana (ITM2A), ARNm | 5.51 UP | 2.13E- 05 |
| 60 | NM_006333 | Homo sapiens proteína nuclear de unión al ADN (C1D), variante de transcripción 1, ARNm | 5.51 UP | 7.84E- 04 |
| 65 | NM_014251 | Homo sapiens soluto transportista familia 25, el miembro 13 (citrina) (SLC25A13), ARNm | 5.5 UP | 5.96E- 04 |
| | NM_006863 | Homo sapiens receptor de leucocitos similar a una inmunoglobulina, subfamilia A (con dominio TM), miembro 1 (LILRA1), ARNm | 5.49 UP | 6.51E- 05 |
| | AK057166 | ADNc Homo sapiens FLJ32604 nosotros, clon STOMA1000133 | 5.49 UP | 1.85E- 03 |

ES 2 569 421 T3

| | | | | |
|----|-----------|---|------------|----------|
| | NM_000076 | Homo sapiens inhibidor de la quinasa dependiente de ciclina IC (p57, Kip2) (CDKN1C), ARNm | 5.48 UP | 4.65E-05 |
| 5 | BC040701 | ADNc Homo sapiens clon IMAGE: 5736259, cds parcial | 5.47 UP | 1.48E-04 |
| | NM_152765 | Homo sapiens hipotética proteína MGC33510 (MGC33510), ARNm | 5.46 UP | 4.76E-05 |
| 10 | | | | |
| | NM_019034 | Homo sapiens familia ras gen homólogo, miembro de F (en filopodios) (RHOF), ARNm | 5.46 UP | 2.64E-05 |
| 15 | | | | |
| | S81734 | transglutaminasa tisular homólogo (Corte y empalme alternativo} [humana, eritroleucemia línea celular HEL GMO6141A, ARNm, 2362 nt] | 5.46 UP | 3.92E-05 |
| 20 | | | | |
| | BM670793 | UI-E-DX1-agv-p-03-0-Ui.sl UI-E-DX1 Homo sapiens clon de ADNc UI-E-DX1-AGV-p-03-0-U13, secuencia de ARNm | 5.46 UP | 3.77E-05 |
| 25 | | | | |
| 30 | NM_002829 | Homo sapiens proteína tirosina fosfatasa, tipo no receptor 3 (PTPN3), ARNm | 5.45 UP | 4.79E-05 |
| | | | | |
| 35 | BM727151 | IU-E-EJO-Aij-f-05-0-Ui.rl UI-E-EJO Homo sapiens clon de ADNc UI-E-EJO-Aij-f-05-0-UI 5, secuencia de ARNm | 5.45 UP | 4.13E-05 |
| 40 | | | | |
| | BF966833 | 602286668T1 NIH_MGC_95 Homo sapiens clon de ADNc IMAGEN: 4375360 3, secuencia de ARNm | 5.45 UP | 2.83E-05 |
| 45 | | | | |
| | NM_004904 | Homo sapiens cAMP elemento sensible a proteína de unión 5 (CREB5), ARNm | 5.44 UP | 1.09E-04 |
| 50 | | | | |
| | AA635788 | nr32hOl.s1 NCI_CGAP_PR22 Homo sapiens clon de ADNc IMAGE: 1169713 3 similar a contiene Alu elemento repetitivo ;, secuencia de ARNm | 5.43 UP | 2.02E-03 |
| 55 | | | | |
| | BM7O1989 | UI-E-CQ1-AEX-j-06-0-Ui.rl IU-E-CQ1 Homo sapiens clon de ADNc UI-E-CQ1-AEX-j-06-0-UI 5, secuencia de ARNm | 5.42 UP | 7.55E-04 |
| 60 | | | | |
| | NM_020665 | Homo sapiens proteína transmembrana 27 (TMEM27), ARNm | 5.4 UP | 5.46E-05 |
| 65 | | | | |

ES 2 569 421 T3

| | | | | |
|----|-----------|--|------------|----------|
| | NM_019034 | Homo sapiens familia de genes ras homólogo, miembro de F (en filopodios) (RHOF), ARNm | 5.39 UP | 5.72E-05 |
| 5 | | | | |
| 10 | NM-017912 | Homo sapiens dominio hect y RLD 6 (HERC6), ARNm | 5.38 UP | 5.85E-05 |
| 15 | NM_152433 | Homo sapiens repetición kelch y BTB (POZ) dominio que contiene 3 (KBTBD3), variante transcripción 1, ARNm | 5.37 UP | 4.29E-04 |
| 20 | CA314843 | UI-CF-FNO-afi-a-06-0-UI.sl UI-CF-FNO Homo sapiens clon de ADNc UI-CF-FNO-afi-a-06-0-UI 3, secuencia de ARNm | 5.37 UP | 2.05E-04 |
| 25 | NM_006058 | Homo sapiens TNFAIP3 interacción de proteínas 1 (Tnip1), ARNm | 5.36 UP | 2.25E-03 |
| 30 | BU191317 | Agencourt 8074912 NIH_MGC_110 Homo sapiens ADNc clon IMAGEN: 6086274 5, secuencia de ARNm | 5.36 UP | 4.45E-02 |
| 35 | AL049437 | Homo sapiens ARNm; ADNc DKFZp586E112O (A partir del clon DKFZp586E1 120) | 5.34 UP | 7.78E-04 |
| 40 | NM_030952 | Homo sapiens probable ortólogo de rata SNF1 / AMP-proteína quinasa activada (SNARK), ARNm | 5.31 UP | 4.21E-05 |
| 45 | NM_004170 | Homo sapiens soluto transportista familia 1 (Epitelial glutamato neuronal / alta afinidadtransportador, sistema de Xag), miembro 1 (SLC1A1),ARNm | 5.31 UP | 1.15E-04 |
| 50 | AW269776 | xv45b09.xl Soares NFLTGBCS1 Homo sapiens cDNA clon IMAGEN: 2816057 3, secuencia de ARNm | 5.3 UP | 1.97E-04 |
| 55 | BM977716 | UI-CF-EN1-aef-b-21-O-UI.sl UI-CF-EN1 Homo sapiens clon de ADNc de IU-CF-ES1-aef-b-21-0-UI 3, secuencia de ARNm | 5.3 UP | 4.01E-03 |
| 60 | AK023658 | ADNc Homo sapiens FLJ13596 fis, clon PLACE1009637 | 5.29 UP | 6.83E-04 |
| 65 | AF196185 | Homo sapiens PKC atípicas específico de isotipo interactuando mRNA largo variante de la proteína, cds completos | 5.28 UP | 4.57E-05 |

ES 2 569 421 T3

| | | | | |
|----|-----------|--|------------|----------|
| 5 | AL045014 | DKFZp434F1_34_s1_434 (sinónimo: htes3) Homo sapiens ADNc clon DKFZp434F1_34_3, secuencia de ARNm | 5.27 UP | 2.67E-05 |
| 10 | NM_004496 | Homo sapiens caja forkhead A1 (FOXA1), ARNm | 5.27 UP | 2.88E-03 |
| 15 | NM_033132 | miembro de la familia Homo sapiens Zic 5 (impar de pares de homólogo, Drosophila) (ZIC5), ARNm | 5.26 UP | 2.09E-05 |
| 20 | NM_198182 | Homo sapiens factor de transcripción CP2-como 2 (TFCP2L2), variante de transcripción 2, ARNm | 5.26 UP | 1.35E-02 |
| 25 | NM_001657 | Homo sapiens anfirregulina (factor de crecimiento derivado de schwannoma) (AREG), ARNm | 5.26 UP | 3.99E-05 |
| 30 | R92346 | yqO6bI0.sl Soares bazo hígado fetal 1NFLS Homo sapiens ADNc clon IMAGEN: 196123_3, secuencia de ARNm | 5.25 UP | 1.16E-04 |
| 35 | BX537539 | Homo sapiens ARNm; ADNc DKFZp686A113O (A partir del clon DKFZp686A1130) | 5.25 UP | 4.80E-04 |
| 40 | ABO41269 | Homo sapiens ARNm de queratina 19, cds parcial, aislar: K19-141 | 5.23 UP | 1.15E-02 |
| 45 | BX090717 | BXO9O717 NCI_CGAP_Kid5 Homo sapiens clon de ADNc IMAGp998O1 54699;IMAGE: I9I6390, secuencia de ARNm | 5.2 UP | 9.02E-04 |
| 50 | AK025743 | ADNc Homo sapiens: FLJ22090 fis, clon HEP16084 | 5.2 UP | 1.04E-04 |
| 55 | NM_002413 | Homo sapiens microsomales glutatión S-transferasa 2 (MGST2), ARNm | 5.2 UP | 3.34E-05 |
| 60 | AA780946 | ag99ci2.sl GesslerWilmstumor Homo sapiens ADNc clon IMAGE: 1155286_3, secuencia de ARNm | 5.2 UP | 2.40E-04 |
| 65 | NM_032488 | Homo sapiens cornifelin (CNFN), ARNm | 5.2 UP | 1.78E-05 |
| | NM_024997 | Homo sapiens factor de activación de transcripción 7 proteína de interacción 2 (ATF7IP2), ARNm | 5.19 UP | 2.40E-03 |

ES 2 569 421 T3

| | | | | |
|----|-----------|--|------------|----------|
| | NM_002222 | Homo sapiens inositol 1,4,5-trifosfato del receptor, tipo 1 (ITPR1), ARNm | 5.19 UP | 1.41E-04 |
| 5 | NM_000784 | Homo sapiens citocromo P450, la familia de 27 años, subfamilia A, polipéptido 1 (CYP27A1), nuclear gen que codifica la proteína mitocondrial, ARNm | 5.17 UP | 7.39E-03 |
| 10 | NM_005760 | Homo sapiens CCAAT / potenciador de la unión zeta proteína (CEBPZ), ARNm | 5.16 UP | 5.52E-05 |
| 15 | BQ011746 | UI-1-BC1 p-ATK - b-09-0-T SI NCI_CGAP_P13 Homo sapiens CONA clon de IU-i -BC1 p-ATK-b-09-0-UI 3, secuencia de ARNm | 5.16 UP | 5.86E-04 |
| 20 | NM_032728 | Homo sapiens cromosoma 9 de lectura abierta fotograma 67 (C9orf67), ARNm | 5.15 UP | 1.85E-03 |
| 25 | NM_005755 | Homo sapiens virus de Epstein-Barr inducida gen 3 (EBI3), ARNm | 5.15 UP | 2.33E-04 |
| 30 | AK056852 | ADNc Homo sapiens FLJ3229Ofis, clon PR0ST2000463 | 5.15 UP | 1.32E-03 |
| 35 | AK054990 | ADNc Homo sapiens FLJ30428 fis, clon BRACE2008941 | 5.15 UP | 1.85E-03 |
| 40 | D54580 | HUM144GO1B Clontech cerebro fetal humano poliA+ ARNm (# 6535) ADNc Homo sapiensclon GEN-144G0i 5, secuencia de ARNm | 5.13 UP | 2.03E-04 |
| 45 | AL137535 | ARNm sapiens Homo; ADNc DKFZp434H2O19 (De DKFZp434H2O1 clon 9) | 5.13 UP | 2.45E-02 |
| 50 | ALI10252 | Homo sapiens m ARN; ADNc DKFZp566A1046 (A partir del clon DKFZp566A1046) | 5.12 UP | 2.19E-03 |
| 55 | AI659523 | tt99d12.xl NCI_CGAP_Pr28 Homo sapiens clon de ADNc IMAGE.-2249687 3, secuencia de ARNm | 5.1 UP | 1.16E-03 |
| 60 | AW137001 | UI-H-BI 1 -acu-c-05-0-Ui si NCICGAPSub3 ADNc Homo sapiens IMAGE clon-0.2715632 3, secuencia de ARNm | 5.1 UP | 6.90E-05 |
| 65 | BM969331 | UI-CF-DU1-aar-g-23-0-Ui. si UI-CF-DU1 ADNc Homo sapiens clon UI-CF-DU1-aar-g-23-0-Ui 3, secuencia de ARNm | 5.08 UP | 3.31E-03 |

ES 2 569 421 T3

| | | | | |
|----|-----------|---|------------|----------|
| | NM_178823 | Homo sapiens cromosoma 6 marco de lectura abierto 165 (C6orf165), ARNm | 5.08 UP | 3.66E-05 |
| 5 | NM_018476 | Homo sapiens cerebro expresa, ligada al cromosoma X 1 (BEX1), ARNm | 5.06 UP | 3.05E-05 |
| 10 | BF107212 | 601824290F1 NIH MGC79 ADNc Homo sapiens clon IMAGE: 4043879 5, secuencia de ARNm | 5.06 UP | 1.75E-04 |
| 15 | NM_052890 | Homo sapiens reconocimiento de la proteína peptidoglicano 2 (PGLYRP2), ARNm | 5.05 UP | 3.95E05 |
| 20 | BX459043 | BX459043 Homo sapiens sapiens PLACENTA Homo clon de ADNc CSODEO11YN1O 3PRIME, secuencia de ARNm | 5.03 UP | 2.88E-05 |
| 25 | NM_032857 | Homo sapiens lactamasa beta (LACTB), proteína mitocondrial gen que codifica nuclear, transcripción variante 1, ARNm | 5.02 UP | 1.76E-05 |
| 30 | NM_022746 | Homo sapiens proteína hipotética FLJ22390 (FLJ22390), ARNm | 5.02 UP | 4.49E-04 |
| 35 | AK025909 | ADNc Homo sapiens: FLJ22256 fis, clon HRC02860 | 5.02 UP | 4.54E-04 |
| 40 | NM_002247 | Homo sapiens canales de potasio activados por calcio de gran conductancia, subfamilia M, miembro de la alfa 1 (KCNMA1), ARNm | 5.02 UP | 1.33E-03 |
| 45 | AI434849 | hasta 3b01 .x1 NCLCGAP_KId1 1 Homo sapiens clon de ADNc IMAGE: 2130313 3 similar a contiene MER37.bl MER37 MER37 repetitivo elemento ;, secuencia de ARNm | 5.01 UP | 2.82E-04 |
| 50 | AK091933 | ADNc Homo sapiens FLJ34614 fis, clon KIDNE2014268 | 5.01 UP | 2.18E-05 |
| 55 | NM_004331 | Homo sapiens BCL2 / adenovirus E1 B 19kDa interacción de proteínas 3-como (BNIP3L), ARNm | 5 UP | 3.53E-05 |
| 60 | | | | |
| 65 | | | | |

ES 2 569 421 T3

| | | | | |
|----|-----------|---|-----------------|----------|
| 5 | AL119769 | DKFZp761E1224r1 761 (sinónimo: hamy2) Homo sapiens clon de ADNc DKFZp761 El 224 5, secuencia de ARNm | 5 UP | 1.92E-03 |
| 10 | NM_00l451 | Homo sapiens caja de cabeza de horquilla Fl (FOXF1), ARNm | 465.04 Abajo | 2.67E-05 |
| 15 | NM_I44594 | Homo sapiens hipotética proteína FLJ32942 (FLJ32942), ARNm | 379.94 Abajo | 1.12E-05 |
| 20 | NM_002421 | Homo sapiens matriz metaloproteinasa 1 (Colagenasa intersticial) (MMP1), ARNm | 365.32 Abajo | 2.43E-05 |
| 25 | AK026784 | ADNc Homo sapiens: FLJ23131 fis, clon LNG08502 | 331.17 Abajo | 8.46E-06 |
| 30 | NM_016307 | Homo sapiens emparejado homeobox relacionado 2 (PRRX2), ARNm | 309.99 Abajo | 8.39E-06 |
| 35 | NM_000089 | Homo sapiens colágeno, tipo I, alfa 2 (COL1A2), ARNm | 220.95 Abajo | 2.96E-05 |
| 40 | NM_007036 | Homo sapiens endotelial de células específicas molécula 1 (ESM1), ARNm | 217.57 Abajo | 2.01E-05 |
| 45 | AKO21543 | ADNc Homo sapiens FLJ11481 fis, clon BA1HEM001803 | 215.51 Abajo | 2.31E-05 |
| 50 | NM_004460 | Homo sapiens proteína de activación uibroblast, alfa (FAP), ARNm | 205.38 Abajo | 1.15E-05 |
| 55 | AK122739 | ADNc Homo sapiens FLJ16260 nosotros, clon 1MR322006947, muy similar a Rattus norvegicus ARNm para la proteína Dhand | 190.76 Abajo | 1.15E-05 |
| 60 | NM_000474 | Homo sapiens homólogo de giro 1 (Acrocefalosindactilia 3; síndrome de Saethre-Chotzen) (Drosophila) (TWIST1), ARNm | 151.94 Abajo | 5.23E-06 |
| 65 | NM_152270 | Homo sapiens hipotética proteína FLJ34922 (FLJ34922), ARNm | 144.24 Abajo | 1.73E-05 |
| | NM_001884 | Homo sapiens proteína de unión de hialuronano y proteoglicanos 1 (HAPLN1), ARNm | 134.45 Abajo | 2.18E-05 |
| | NM_000710 | Homo sapiens bradicinina receptor de B1 (BDKRB1), ARNm | 132.74 Abajo | 1.18E-05 |
| | NM_021637 | Homo sapiens proteína transmembrana de 35 (TMEM35), ARNm | 126.76 Abajo | 8.39E-06 |

ES 2 569 421 T3

| | | | | |
|----|-----------|---|-----------------|----------|
| | NM_006350 | Homo sapiens follistatina (FST), variante de transcripción FST317, ARNm | 106.55 Abajo | 2.28E-05 |
| 5 | NM_000362 | Homo sapiens tejido inhibidor de loproteinasa de metal 3 (Sorsby distrofia del fondo de ojo, pseudoinflamatoria) (TIM P3), ARNm | 102.59 Abajo | 1.76E-05 |
| 10 | NM_002091 | Homo sapiens péptido liberador de gastrina (GRP), ARNm | 101.58 Abajo | 2.46E-05 |
| 15 | NM_000609 | Homo sapiens quimiocina (C-X-C con motivos) ligando 12 (estroma factor derivado de células-1) (CXCL1 2), ARNm | 97.42 Abajo | 3.48E-05 |
| 20 | NM_032638 | Homo sapiens proteínas GATA 2 (GATA2), ARNm | 84.58 Abajo | 1.37E-05 |
| | NM_198148 | Homo sapiens carboxipeptidasa X unión (M14 familia), miembro 2 (CPXM2), ARNm | 77.44 Abajo | 9.50E-05 |
| 25 | W38393 | zb15c07.rl Soares_fetaljung_NbHL1 9W Homo sapiens ADNc clon IMAGE-0.302124 5, secuencia de ARNm | 77.37 Abajo | 1.26E-05 |
| 30 | AL831863 | ARNm Homo sapiens; ADNc DKFZp76IJ2O17 (A partir del clon DKFZp76IJ2O17) | 77.09 Abajo | 2.65E-05 |
| 35 | AB067499 | ARNm Homo sapiens para la proteína KIAA1912, cds parcial | 76.12 Abajo | 3.65E-05 |
| 40 | BX089019 | BX089019 Soares_testis_NHT Homo sapiens clon de ADNc 1MAGp998K243513; IMAGEN: 1391375, secuencia de ARNm | 72.98 Abajo | 1.25E-05 |
| 45 | A1962169 | wq45c10.xi NCI_CGAP_GC6 Homo sapiens clon de ADNc IMAGE: 2474226 3, secuencia de ARNm | 65.52 Abajo | 4.53E-05 |
| 50 | NM_139211 | Homo sapiens proteínas homeodomino de sólo (HOP), variante de transcripción 2, ARNm | 64.01 Abajo | 1.72E-05 |
| 55 | CD677332 | holSfO6.yl malla trabecular humano ADNc: hohphq Homo sapiens clon de ADNc hoi5fO6 5, secuencia de ARNm | 63.91 Abajo | 2.35E-05 |
| 60 | NM_001442 | Homo sapiens proteína de unión de ácidos grasos 4, adipocito (FABP4), ARNm | 63.47 Abajo | 1.37E-05 |
| 65 | NM_205855 | Homo sapiens HWKM194O (UN01940), ARNm | 58.05 Abajo | 1.89E-05 |

ES 2 569 421 T3

| | | | | |
|----|-----------|--|----------------|----------|
| 5 | W03013 | zaO2cO4.rl Soares melanocito 2NbHM Homo sapiens ADNc clon IMAGE.-291366 5 similar a que contiene THR.t3 THR elemento repetitivo ;, secuencia de ARNm | 53.58 Abajo | 2.67E-06 |
| 10 | | | | |
| 15 | NM_002852 | Homo sapiens gen relacionado pentaxin-, rápidamente inducida por IL-1 beta (PTX3), ARNm | 53.13 Abajo | 8.15E-04 |
| 20 | NM_024633 | Homo sapiens cromosoma 14 marco de lectura abierto fotograma 139 (Cl 4orf1 39), ARNm | 51.58 Abajo | 3.58E-05 |
| 25 | AK021543 | ADNc Homo sapiens FLJ11481 fis, clon BA1 HEM001803 | 51.28 Abajo | 1.09E-04 |
| 30 | NM_002593 | Homo sapiens procolágeno C-endopeptidasa potenciador (PCOLCE), ARNm | 48.32 Abajo | 2.03E-05 |
| 35 | A1422199 | tf58d04.x 1 NCI_CGAP_Brn23 Homo sapiens clon de ADNc IMAGE.-2103463 3, secuencia de ARNm | 48.23 Abajo | 4.98E-05 |
| 40 | NM_014459 | Homo sapiens protocadherin 17 (PCDH17), ARNm | 45.53 Abajo | 2.11E-05 |
| 45 | NM_016588 | Homo sapiens Neuritina 1 (NRN1), ARNm | 44.52 Abajo | 1.78E-05 |
| 50 | NM_012242 | Homo sapiens Dickkopf homólogo 1 (<i>Xenopus laevis</i>) (DKK1), ARNm | 43.26 Abajo | 7.16E-06 |
| 55 | NM_000685 | Homo sapiens receptor de la angiotensina II, tipo 1 (AGTR1), variante de transcripción 1, ARNm | 42.51 Abajo | 2.57E-04 |
| 60 | AK056725 | ADNc Homo sapiens FLJ32163 fis, clon PLACE6000371 | 42.21 Abajo | 2.67E-06 |
| 65 | A1124557 | am58g02.xl Homo sapiens corteza frontal Johnston ADNc clon IMAGE: 1539794 3, secuencia de ARNm | 41.42 Abajo | 8.25E-03 |
| 65 | NM_020404 | Homo sapiens CD164 tipo sialomucina 1 (CD164L1), ARNm | 39.82 Abajo | 2.32E-05 |
| 65 | NM_015170 | Homo sapiens sulfatasa 1 (SULF1), ARNm | 38.91 Abajo | 2.36E-05 |

ES 2 569 421 T3

| | | | | |
|----|-----------|---|----------------|----------|
| 5 | CA843592 | ir49c12.xl HR85 islote ADNc Homo sapiens clon IMAGE: 6548544 3, secuencia de ARNm | 37.67 Abajo | 1.25E-05 |
| 10 | AY335938 | Homo sapiens proteínas de homeodominio IRXA1 (Irx1) ARNm, cds completos | 36.92 Abajo | 3.15E-05 |
| 15 | NM_002961 | Homo sapiens proteína de unión de calcio (S100A4) (Proteína de calcio, calvasculina, metastasina, murino homólogo de la placenta) (S100A4), variante de transcripción 1, ARNm | 35.31 Abajo | 6.57E-05 |
| 20 | AK091731 | ADNc Homo sapiens FLJ3441 2 fis, clon HEART2002432 | 34.47 Abajo | 2.83E-05 |
| 25 | NM_006329 | Homo sapiens fibulin 5 (FBLN5), ARNm | 34.03 Abajo | 4.55E-05 |
| 30 | B0020357 | UI-H-EDO-axk-p-07-0-ULs1 NCI_CGAP_EDO Homo sapiens ADNc clon IMAGE-.5830134 3, secuencia de ARNm | 33.2 Abajo | 1.82E-05 |
| 35 | NM_018013 | Homo sapiens proteína hipotética FLJ1O159 (FLJ1O159), ARNm | 32.86 Abajo | 1.15E-05 |
| 40 | NM_002402 | Homo sapiens mesodermo transcripción específica homólogo (ratón) (MEST), variante de transcripción 1, ARNm | 32.83 Abajo | 2.14E-05 |
| 45 | B0001571 | UI-H-DH1-awr-i-1 8-0-UI.sl NCI_CGAP_DH1 Homo sapiens ADNc clon IMAGE: 5893337 3, secuencia de ARNm | 32.34 Abajo | 8.96E-06 |
| 50 | NM_032777 | Homo sapiens proteína G-receptor acoplado a 124 (GPR124), ARNm | 31.96 Abajo | 1.18E-04 |
| 55 | AK124396 | ADNc Homo sapiens FLJ42405 fis, clon ASTR03000474 | 31.36 Abajo | 2.24E-05 |
| 60 | NM_002448 | Homo sapiens msh homeoboc homólogo 1 (Drosophila) (MSX1), ARNm | 31.23 Abajo | 2.03E-05 |
| 65 | NM_000090 | Homo sapiens colágeno, tipo III, alfa 1 (Ehlers-Danlos tipo IV, autosómica dominante) (COL3A1), ARNm | 29.77 Abajo | 3.23E-04 |

ES 2 569 421 T3

| | | | | |
|----|--------------|--|----------------|----------|
| | NM-001147 | Homo sapiens angiopoietin 2 (ANGPT2), ARNm | 29.68 Abajo | 2.51E-05 |
| 5 | NM-001146 | Homo sapiens angiopoietina 1 (ANGPT1), variante de transcripción 1, ARNm | 29.26 Abajo | 6.83E-05 |
| 10 | NM_000576 | Homo sapiens interleucina 1, beta (IL1B), ARNm | 29.06 Abajo | 1.15E-05 |
| 15 | AF052115 | Homo sapiens clon secuencia de ARNm 23688 | 26.15 Abajo | 1.15E-05 |
| 20 | NM_006439 | Homo sapiens MAB-21-como 2 (<i>C. elegans</i>) (MAB21L2), ARNm | 25.51 Abajo | 1.20E-04 |
| 25 | NM_016192 | Homo sapiens proteína transmembrana con folistatinas dominios similares a EGF-like y dos 2 (TMEFF2), ARNm | 25.46 Abajo | 2.55E-05 |
| 30 | NM_002575 | Homo sapiens serina (o cisteína) proteinasa inhibidor, Dade B (ovoalbúmina), miembro 2 (SERPINB2), ARNm | 24.67 Abajo | 5.40E-05 |
| 35 | NM_007361 | Homo sapiens nidogen 2 (osteonidogen) (NID2), ARNm | 23.56 Abajo | 2.64E-05 |
| 40 | NM_152399 | Homo sapiens proteína hipotética FLJ30834 (FLJ30834), ARNm | 23.42 Abajo | 6.51E-05 |
| 45 | NM_203370 | Homo sapiens similar a RIKEN ADNc 65304181-21 (L0C389119), ARNm | 22.99 Abajo | 1.43E-05 |
| 50 | NM_001002295 | Homo sapiens GATA proteínas de unión a 3 (GATA3), variante de transcripción 1, ARNm | 22.51 Abajo | 1.41E-04 |
| 55 | AK093256 | ADNc Homo sapiens FLJ35937 fis, clon TEST12011480 | 22.26 Abajo | 3.04E-05 |
| 60 | U83115 | Proteína beta gamma cristalina no lente humana (1) AIM ARNm, cds parcial | 22.18 Abajo | 3.77E-05 |
| 65 | NM_006475 | Homo sapiens periostina, factor de osteoblasto específico (POSTN), ARNm | 21.99 Abajo | 7.38E-05 |
| | NM_014178 | Homo sapiens proteína de unión sintaxina 6 (amisina) (STXBP6), ARNm | 21.69 Abajo | 3.36E-05 |
| | NM_005127 | Homo sapiens tipo C (dependiente de calcio, dominio de hidratos de carbono de reconocimiento) lectina, miembro de la superfamilia 2 (con la activación inducida) (CLECSF2), ARNm | 21.46 Abajo | 3.71E-05 |

ES 2 569 421 T3

| | | | | |
|----|-----------|--|----------------|----------|
| | NM_022475 | Homo sapiens interacción de proteínas hedgehog (Hhip), mRNA | 21.42 Abajo | 4.57E-05 |
| 5 | BX112628 | BX112628 Soares_fetaljung_NbHLI 9W Homo sapiens ADNc clon 1MAGp998A09669 IMAGEN: 299024, secuencia de ARNm | 20.99 Abajo | 4.47E-05 |
| 10 | NM_000810 | Homo sapiens ácido gamma-aminobutírico (GABA) receptor A, alfa 5 (GABRA5), ARNm | 20.84 Abajo | 5.50E-05 |
| 15 | BQ934941 | Agencourt 8810373 NIH_MGC_101 Homo sapiens clon de ADNc IMAGEN-.6429485 5, secuencia de ARNm | 20.45 Abajo | 2.55E-05 |
| 20 | BC071787 | Homo sapiens IMAGE clon de ADNc-0,4610527, cds parcial | 20.44 Abajo | 1.25E-05 |
| 25 | NM_033292 | Homo sapiens caspasa 1, apoptosis relacionada cisteína proteasa (interleucina 1, beta, convertasa) (CASP1), variante de transcripción alfa, ARNm | 19.88 Abajo | 6.18E-05 |
| 30 | NM_020809 | Homo sapiens proteína activadora de Rho GTPasa 20 (ARHGAP20), ARNm | 19.54 Abajo | 5.26E-05 |
| 35 | BE866150 | 601679068F1 NIH_MGC_53 Homo sapiens clon de ADNc IMAGE: 3961 768 5, secuencia de ARNm | 19.3 Abajo | 2.38E-05 |
| 40 | AWO21686 | df26hl l.yl Morton fetal cóclea Homo sapiens ADNc clon IMAGE: 2484717 5, secuencia de ARNm | 18.86 Abajo | 2.59E-05 |
| 45 | BX109483 | BX109483 NCI CGAP_0v23 Homo sapiens clon de ADNc 1MAGp998C165481 IMAGE: 2216391, secuencia de ARNm | 18.74 Abajo | 9.84E-05 |
| 50 | NM_001463 | Homo sapiens proteína relacionada con frizzled (FRZB), ARNm | 18.63 Abajo | 2.05E-04 |
| 55 | AK128325 | ADNc Homo sapiens FLJ46467fis, clon THYMU3022668 | 18.11 Abajo | 1.78E-05 |
| 60 | AK096661 | ADNc Homo sapiens FLJ39342 fis, clon OCBBF2O18873 | 17.95 Abajo | 5.14E-05 |
| 65 | | | | |

ES 2 569 421 T3

| | | | | |
|----|-----------|---|----------------|----------|
| | NM_002531 | Homo sapiens receptor de neurotensina 1 (alta afinidad) (NTSR1), ARNm | 17.64 Abajo | 5.02E-05 |
| 5 | NM_031908 | Homo sapiens Clq y el factor de necrosis tumoral proteína relacionada 2 (C1QTNF2), ARNm | 17.61 Abajo | 1.23E-04 |
| 10 | A1085016 | ow88e06.s1 Homo Soaresfetalliverspleenl 1NFLS_SI sapiens ADNc clon IMAGE: 1653922 3, secuencia de ARNm | 17.36 Abajo | 4.39E-05 |
| 15 | AK095791 | ADNc Homo sapiens FLJ38472 nosotros, clon FEBRA2O22148 | 17.31 Abajo | 2.76E-04 |
| 20 | NM_020927 | Homo sapiens proteína K1AA1576 (K1AA1576), ARNm | 17 Abajo | 2.13E-05 |
| 25 | NM_024600 | Homo sapiens cromosoma 16 marco de lectura abierto 30 (Cl6orf3O), ARNm | 16.96 Abajo | 6.00E-04 |
| 30 | NM_012449 | Homo sapiens seis transmembrana epitelial antígeno de la próstata (STEAP), ARNm | 16.92 Abajo | 5.06E-05 |
| 35 | NM_004787 | Homo sapiens raja homólogo 2 (Drosophila) (SLIT2), ARNm | 16.69 Abajo | 1.78E-05 |
| 40 | N95448 | zb8lell.sl Soares_senescent_fibroblastsNbHSF Homo sapiens ADNc clon IMAGE: 310028 3, secuencia de ARNm | 16.55 Abajo | 1.72E-05 |
| 45 | NM_004657 | Homo sapiens suero respuesta privación (Proteína de unión a fosfatidilserina) (SDPR), ARNm | 16.4 Abajo | 1.60E-05 |
| 50 | BC046364 | Homo sapiens flavoproteínas oxidoreductasa MICAL3, ARNm (clon de ADNc IMAGE: 57371 21), con el intrón retenido aparente | 16.35 Abajo | 1.15E-05 |
| 55 | NM_053044 | Homo sapiens HTRA3 serina proteasa (HTRA3), ARNm | 16.29 Abajo | 3.77E-05 |
| | BQ011545 | UI-1-BC1p-asi-a-02-0-UI.sl NCI_CGAP_P13 ADNc Homo sapiens clon de IU-1BC1 p-ASI-a-020-UI 3, secuencia de ARNm | 16.22 Abajo | 5.21E-04 |
| 60 | BC017939 | Homo sapiens, clon de la imagen: 427571 1, ARNm, cds parcial | 15.98 Abajo | 5.83E-05 |
| 65 | NM_007289 | Homo sapiens membrana metaloendopeptidasa (endopeptidasa neutra, encefalinas, CALLA, CD1O) (MME), transcripción variante 2b, ARNm | 15.83 Abajo | 3.04E-05 |

ES 2 569 421 T3

| | | | | |
|----|-----------|---|----------------|----------|
| | CA437861 | UI-H-DHO-aur-k-12-0-UI.s1 NCICGAP_DHO ADNc Homo sapiens clon UI-H-DHO-aur-k-12-0-UI 3, secuencia de ARNm | 15.77 Abajo | 2.56E-04 |
| 5 | | | | |
| 10 | NM_006182 | Homo sapiens discoidina familia de receptores de dominio, miembro 2 (DDR2), ARNm | 15.71 Abajo | 4.79E-05 |
| | NM_145239 | Homo sapiens similar a la de los linfocitos antígeno 6 compleja, locus G5B; G5b proteína; marco de lectura abierto 31 (LOC112476), ARNm | 15.64 Abajo | 3.37E-05 |
| 15 | H15096 | ym29ei 1.0 Soares cerebro infantil 1 NIB ADNc Homo sapiens clon IMAGE: 49250 5, secuencia de ARNm | 15.58 Abajo | 2.20E-04 |
| 20 | NM_002851 | Homo sapiens proteína tirosina fosfatasa, de tipo receptor, polipéptido Z 1 (PTPRZ1), ARNm | 15.57 Abajo | 1.90E-04 |
| 25 | NM_014217 | Homo sapiens canal de potasio, K subfamilia, miembro 2 (KCNK2), ARNm | 15.13 Abajo | 1.31E-04 |
| | NM_000963 | Homo sapiens ptgs2 (prostaglandina G / H sintasa y ciclooxygenasa) (PTGS2), ARNm | 14.94 Abajo | 1.88E-05 |
| 30 | BX115659 | BX115659 Soares_total_fetus Nb2H F8_9w Homo sapiens clon de ADNc 1MAGp998C2041 19 IMAGE: 1623883, secuencia de ARNm | 14.81 Abajo | 2.66E-04 |
| 35 | | | | |
| 40 | NM_002729 | Homo sapiens expresaron hematopoyéticamente homeobox (HHEX), ARNm | 14.78 Abajo | 1.09E-03 |
| | A1082087 | oz52h09.xl Homo SoaressenescenfibroblastsNbHSF sapiens clon de ADNc IMAGE-.1679009 3, secuencia de ARNm | 14.73 Abajo | 3.66E-05 |
| 45 | NM_018431 | Homo sapiens proteína de acoplamiento 5 (DOK5), variante transcripción 1, ARNm | 14.67 Abajo | 8.15E-04 |
| 50 | NM_004791 | Homo sapiens integrina, beta tipo 1 (con EGF igual que los dominios de repetición) (ITGBLI), ARNm | 14.42 Abajo | 2.18E-05 |
| 55 | AK021531 | ADNc Homo sapiens FLJ11469fis, clon HEMBA1001658 | 14.36 Abajo | 5.21E-04 |
| 60 | NM_057179 | Homo sapiens giro homólogo 2 (Drosophila) (TWIST2), ARNm | 14.27 Abajo | 1.25E-05 |
| 65 | NM_003619 | Homo sapiens proteasa, serina 12 (Neurotripsina, motopsin) (PRSS12), ARNm | 14.1 Abajo | 1.78E-05 |

ES 2 569 421 T3

| | | | | |
|----|-----------|---|----------------|----------|
| 5 | NM_002518 | Homo sapiens neuronal proteína del dominio PAS 2 (NPAS2), ARNm | 14.05 Abajo | 5.49E-05 |
| 10 | NM_000396 | Homo sapiens catepsina K (pyonodysostosis) (CTSK), ARNm | 13.81 Abajo | 2.31E-04 |
| 15 | NM_016206 | Homo sapiens carcinoma de colon relacionados con la proteína (FLJ38507), ARNm | 13.76 Abajo | 1.81E-04 |
| 20 | NM_021643 | Homo sapiens tribbles homólogo 2 (Drosophila) (Trib2), ARNm | 13.62 Abajo | 8.39E-06 |
| 25 | NM_000955 | Homo sapiens receptor E de la prostaglandina 1 (Subtipo EP1), 42 kDa (PTGER1), ARNm, | 13.52 Abajo | 1.70E-05 |
| 30 | NM_058187 | Homo sapiens cromosoma 21 marco de lectura abierto fotograma 63 (C21orf63), ARNm | 13.44 Abajo | 1.53E-04 |
| 35 | CN479391 | IU-H-DF1 -aug-f-02-0-D I .s9 NCI_CGAP_DF 1 Homo sapiens clon de ADNc UI-H-DF1-ago-f-02-0-UI 3, secuencia de ARNm | 13.26 Abajo | 8.65E-05 |
| 40 | NM_006209 | Homo sapiens ectonucleotide pirofosfatasa / fosfodiesterasa 2 (Autotaxina) (ENPP2), ARNm | 13.21 Abajo | 3.28E-04 |
| 45 | NM_005584 | Homo sapiens MAB-21 tipo 1 (C. elegans) (MAB21L1), ARNm | 12.73 Abajo | 1.01E-04 |
| 50 | BM468332 | AGENCOURT_6432296 NIH_MGC_71 Homo sapiens ADNc clon IMAGE: 5535773 5, secuencia de ARNm | 12.64 Abajo | 2.13E-05 |
| 55 | NM_020353 | Homo sapiens escramblasa fosfolípido 4 (PLSCR4), ARNm | 12.39 Abajo | 2.08E-04 |
| 60 | NM_031302 | Homo sapiens gicosiltransferasa (L0C83468), ARNm | 12.39 Abajo | 1.88E-03 |
| 65 | NM_005308 | Homo sapiens proteína G-receptor acoplado a 5-quinasa (GRK5), ARNm | 12.28 Abajo | 1.18E-04 |
| | NM_032883 | Homo sapiens cromosoma 20 marco de lectura abierto 100 (C200rf1OO), ARN | 12.17 Abajo | 1.78E-05 |
| | NM_000110 | Homo sapiens dihidropirimidina deshidrogenasa (DPYD), ARNm | 12.16 Abajo | 2.75E-05 |
| | B1J536871 | Agencourt 10224340 NIH MGC_141 Homo sapiens ADNc clon IMAGE: 6565454 5, secuencia de ARNm | 12.05 Abajo | 4.21E-05 |
| | NM_016270 | Homo sapiens Kruppel como factor de 2 (pulmón) (KLF2), ARNm | 11.98 Abajo | 1.94E-03 |

ES 2 569 421 T3

| | | | | |
|----|-----------|---|----------------|----------|
| | NM_005110 | Homo sapiens glutamina-fructosa-6-fosfato transaminasa 2 (GFPT2), ARNm | 11.92 Abajo | 2.93E-05 |
| 5 | AK130711 | ADNc Homo sapiens FLJ27201 fis, clonSYNO3133 | 11.81 Abajo | 5.02E-05 |
| 10 | BM991890 | UI-H-DF1 -auk-h-02-0-UI.sl NCICGAPDF1 Homo sapiens cDNA clon IMAGEN: 5870641 3, secuencia de ARNm | 11.78 Abajo | 2.03E-05 |
| 15 | NM_000304 | Homo sapiens proteína mielina periférica 22 (PMP22), variante de transcripción 1, ARNm | 11.77 Abajo | 1.04E-03 |
| 20 | BM926469 | Agencourt 6644776 NIH_MGC_122 Homo sapiens cDNA clon IMAGE: 5766855 5, secuencia de ARNm | 11.53 Abajo | 7.16E-06 |
| 25 | NM_001424 | Homo sapiens proteína de membrana epitelial 2 (EMP2), ARNm | 11.39 Abajo | 5.12E-04 |
| 30 | AK093762 | ADNc Homo sapiens FLJ3644311s, clon THYMU201289 | 11.18 Abajo | 1.34E-04 |
| 35 | NM_006288 | Homo sapiens superficie celular de antígeno Thy-1 (Thy1), ARNm | 11.17 Abajo | 4.26E-04 |
| 40 | NM_006183 | Homo sapiens neurotensina (NTS), ARNm | 11.14 Abajo | 8.52E-04 |
| 45 | NM_002522 | Homo sapiens pentraxina neuronal I (NPTX1), ARNm | 11.08 Abajo | 3.03E-04 |
| 50 | NM_016428 | Homo sapiens ABI familia de genes, miembro 3 (ABI3), ARNm | 11.03 Abajo | 2.83E-05 |
| 55 | NM_001769 | Homo sapiens antígeno CD9 (p24) (CD9), ARNm | 11.03 Abajo | 2.45E-04 |
| 60 | AL833655 | ARNm Homo sapiens; ADNc DKFZp66700320 (A partir del clon DKFZp66700320) | 10.8 Abajo | 1.73E-05 |
| 65 | R56121 | yg94d04.sl Soares cerebro infantil 1NIB Homo sapiens cDNA clon IMAGE: 41388 3, secuencia de ARNm | 10.64 Abajo | 1.04E-04 |
| | NM_012445 | Homo sapiens espondina 2, proteína matriz extracelular (SPON2), ARNm | 10.63 Abajo | 1.36E-04 |

ES 2 569 421 T3

| | | | | |
|----|-----------|---|----------------|----------|
| | NM_004811 | Homo sapiens leupaxin (LPXN), ARNm | 10.6 Abajo | 2.09E-05 |
| 5 | NM_002977 | Homo sapiens canal de sodio, dependiente de voltaje, tipo IX, alfa (SCN9A), ARNm | 10.51 Abajo | 2.09E-05 |
| 10 | B1598031 | 603248155F1 NIH_MGC_96 Homo sapiensclon de ADNc IMAGE: 5300149 5, secuencia de ARNm | 10.5 Abajo | 3.34E-05 |
| 15 | NM_173553 | Homo sapiens hipotética proteína FLJ25801 (FLJ25801), ARNm | 10.49 Abajo | 2.32E-05 |
| 20 | NM_001311 | Homo sapiens proteína rica en cisteína 1 (Intestinal) (CRIP1), ARNm | 10.31 Abajo | 2.73E-05 |
| 25 | NM_015916 | Homo sapiens familia con similitud de secuencias 26, el miembro B (FAM26B), ARNm | 10.28 Abajo | 1.59E-04 |
| | NM_005595 | Homo sapiens factor nuclear de E / A (NFIA), ARNm | 10.12 Abajo | 7.43E-04 |
| 30 | NM_182728 | Homo sapiens familia de transportadores de soluto 7 (catiónico transportador de aminoácidos, y sistema +), miembro 8 (TUGURIOS), transcripción variante 2, ARNm | 9.98 Abajo | 6.78E-05 |
| 35 | | | | |
| 40 | NM_152996 | Homo sapiens sialiltransferasa 7 ((alfa-N-acetil neuraminyl-2,3-beta-galactosil-1,3)N-acetil galactosaminida alfa-2,6-sialiltransferasa) C (SIAT7C), ARNm | 9.95 Abajo | 1.25E-05 |
| 45 | | | | |
| 50 | AK091713 | ADNc Homo sapiens FLJ34394 fis, clon HCH0N2000676 | 9.92 Abajo | 2.31E-05 |
| | AK022877 | ADNc Homo sapiens FLJ12815 fis, clon NT2RP2002546 | 9.89 Abajo | 3.15E-05 |
| 55 | NM_194250 | Homo sapiens similar a C630007C17R1k proteína (LOC91752), ARNm | 9.84 Abajo | 7.08E-05 |
| 60 | BC039450 | Homo sapiens, clon IMAGE: 5311619, ARNm | 9.77 Abajo | 2.60E-04 |
| | NM_031894 | Homo sapiens ferritina, similar a polipéptido pesado 17 (FTHL17), ARNm | 9.76 Abajo | 5.99E-04 |
| 65 | | | | |

ES 2 569 421 T3

| | | | | |
|----|-----------|---|---------------|----------|
| | B1561641 | 603256058F1 NIH_MGC_97 Homo sapiens clon de ADNc IMAGEN: 5298374 5, secuencia de ARNm | 9.68 Abajo | 1.96E-03 |
| 5 | BC028245 | Homo sapiens, similar al gen hipotético LOC1 30797, clon IMAGE: 5395354, ARNm | 9.68 Abajo | 1.88E-05 |
| 10 | NM_031957 | Homo sapiens queratina proteína asociada 1-5 (KRTAP1-5), ARNm | 9.66 Abajo | 2.31E-05 |
| 15 | AA947461 | ok2OfO3.sl Soares_NSF_F8_9W_OTPA_P_S1 Homo sapiens clon de ADNc IMAGE: 1508381 3, secuencia de ARNm | 9.56 Abajo | 4.34E-05 |
| 20 | AK127309 | ADNc Homo sapiens FLJ45377 fis, clon BRHIP3019956 | 9.55 Abajo | 1.17E-04 |
| 25 | NM_016247 | Homo sapiens matriz interfotorreceptora proteoglicano 2 (IMPG2), ARNm | 9.51 Abajo | 2.09E-05 |
| 30 | NM_005574 | Homo sapiens sólo dominio LIM 2 (similar a rombotina 1) (LMO2), ARNm | 9.46 Abajo | 4.10E-05 |
| 35 | NM_004369 | Homo sapiens colágeno, tipo VI, alfa 3 (COL6A3), variante de transcripción 1, ARNm | 9.36 Abajo | 2.14E-05 |
| 40 | NM_003973 | Homo sapiens proteína ribosomal L14 (RPL14), ARNm | 9.3 Abajo | 6.77E-05 |
| 45 | NM_000459 | Homo sapiens TEK tirosina quinasa, endotelial (Malformaciones venosas, cutánea múltiple y mucosa) (TEK), ARNm | 9.25 Abajo | 3.10E-04 |
| 50 | NM_005397 | Homo sapiens Podocalyxin similar (Podxl), ARNm | 9.06 Abajo | 6.52E-04 |
| 55 | BU675964 | UI-CF-DU1-aaf-b-24-0-UI.sl UI-CF-DU1 Homo sapiens ADNc clon de IU-CF-DU1-aaf-b-24-0-UI 3, secuencia de ARNm | 9 Abajo | 6.82E-05 |
| 60 | A1640484 | wa27fOl.xl NCI_CGAP_Kid11 Homo sapiens clon de ADNc IMAGE-.2299321 3, secuencia de ARNm | 8.92 Abajo | 8.54E-05 |
| 65 | NM_030781 | Homo sapiens colectina miembro de sub-familia 12 (COLEC12), variante de transcripción II, ARNm | 8.54 Abajo | 8.65E-05 |

ES 2 569 421 T3

| | | | | |
|----|-----------|--|---------------|----------|
| 5 | NM_001998 | Homo sapiens fibulin 2 (FBLN2), variante de transcripción 2, ARNm | 8.53 Abajo | 4.60E-04 |
| 10 | BC039369 | Homo sapiens, clon IMAGE: 5271073, ARNm, cds parcial | 8.51 Abajo | 4.85E-04 |
| 15 | AA436084 | zuO3aO2.rl Soares testis NHT Homo sapiens clon de ADNc IMAGE: 730730 5 similar aContiene el elemento PTR5 PTR5 elemento repetitivo;, secuencia de ARNm | 8.51 Abajo | 8.23E-05 |
| 20 | NM_015192 | Homo sapiens fosfolipasa C, beta 1 (Fosfoinositida-específico) (plcb1), variante de transcripción 1, ARNm | 8.48 Abajo | 2.34E-04 |
| 25 | NM_024420 | Homo sapiens fosfolipasa A2, grupo IVA (Citóslica, dependiente de calcio) (PLA2G4A), ARNm | 8.48 Abajo | 2.23E-03 |
| 30 | BX095887 | BX095887 Soares feto total de Nb2HF8 9w Homo sapiens clon de ADNc IMAGp998G124121 IMAGE: 1624739, secuencia de ARNm | 8.42 Abajo | 7.38E-05 |
| 35 | NM_006417 | Homo sapiens interferón inducido por la proteína 44 (117144), ARNm | 8.37 Abajo | 2.46E-04 |
| 40 | AK022033 | ADNc Homo sapiens FLJ11971 fis, clon HEMBB1001208 | 8.35 Abajo | 2.06E-04 |
| 45 | N69782 | yz6ObOTsl Morton fetal cóclea Homo sapiens ADNc clon IMAGE: 287413 3, secuencia ARNm | 8.02 Abajo | 2.78E-04 |
| 50 | NM_023003 | Homo sapiens transmembrana 6 superfamilia 1 miembro (TM6SF1), ARNm | 7.93 Abajo | 1.20E-04 |
| 55 | BC036034 | Homo sapiens endotelial la diferenciación, ácido lisofosfatídico proteína G acoplada receptor, 2, variante de transcripción 2, ARNm (ADNc clon MGC: 33157 IMAGEN: 5272431), cds completo | 7.86 Abajo | 2.31E-05 |
| 60 | | | | |
| 65 | NM_005602 | Homo sapiens claudina 11 (oligodendrocitos proteína transmembrana) (CLDN11), ARNm | 7.84 Abajo | 2.43E-02 |

ES 2 569 421 T3

| | | | | |
|----|------------|---|---------------|----------|
| | BC039676 | Homo sapiens, clon IMAGE: 5173389, ARNm | 7.74 Abajo | 3.04E-05 |
| 5 | BC030692 | Homo sapiens ELAV (embriones letal, visión anormal, Drosophila) -al igual que 2 (antígeno HuB), ARNm (ADNc clon MGC: 26319 IMAGEN: 4826082), cds completo | 7.72 Abajo | 3.59E-05 |
| 10 | NM-015278 | Homo sapiens SAM y el dominio SH3 que contiene 1 (SASH1), ARNm | 7.58 Abajo | 1.38E-04 |
| 15 | NM_031283 | Homo sapiens similar a factor de transcripción 7 1 (1-célula específica, HMG-box) (TCF7L1), ARNm | 7.57 Abajo | 4.12E-05 |
| 20 | BC042378 | Homo sapiens, clon IMAGE-5277693, ARNm | 7.56 Abajo | 9.91E-04 |
| 25 | NM_013363 | Homo sapiens procolágeno C-endopeptidasa potenciador 2 (PCOLCE2), ARNm | 7.49 Abajo | 5.18E-03 |
| 30 | NM_005923 | Homo sapiens activada por mitógenos proteína quinasa quinasa 5 (MAP3K5), ARNm | 7.48 Abajo | 2.05E-04 |
| 35 | R53688 | yg84hO4rl Soares cerebro infantil 1NIB Homo sapiens ADNc clon IMAGE: 40175 5, secuencia de ARNm | 7.43 Abajo | 2.31E-05 |
| 40 | A1216469 | qhO7hlO.xl Soares_NFLjj3BCS1 Homo sapiens ADNc clon IMAGE: 1844035 3, secuencia de ARNm | 7.28 Abajo | 4.92E-05 |
| 45 | NM_014331 | Homo sapiens soluto transportista familia 7, (transportador catiónico de aminoácidos, y sistema +) miembro 11 (SLC7A11), ARNm | 7.27 Abajo | 2.76E-03 |
| 50 | NM_1138801 | Homo sapiens galactosa mutarrotasa (aldosa 1-epimerasa) (GALM), ARNm | 7.24 Abajo | 5.50E-05 |
| 55 | AL049443 | ARNm Homo sapiens; ADNc DKFZp586N2O2O (A partir del clon DKFZp586N2O2O) | 7.22 Abajo | 2.83E-04 |
| 60 | NM_005328 | Homo sapiens sintasa de hialuronano 2 (HAS2), ARNm | 7.17 Abajo | 3.96E-03 |
| 65 | NM_006072 | Homo sapiens quimiocina (motivo C-C) ligando 26 (CCL26), ARNm | 7.12 Abajo | 6.86E-05 |

ES 2 569 421 T3

| | | | | |
|----|-----------|--|---------------|----------|
| | NM_020987 | Homo sapiens anquirina 3, nódulo de Ranvier (Anquirina C) (ANK3), variante de transcripción 1, ARNm | 7.09 Abajo | 7.31E-05 |
| 5 | BX647541 | ARNm Homo sapiens; ADNc DKFZp686P0492 (A partir del clon DKFZp686P0492) | 7.08 Abajo | 4.47E-05 |
| 10 | A1417595 | tg79h09.xl Soares_NhHMPu_S1 Homo sapiens ADNc clon IMAGE: 2115041 3, secuencia de ARNm | 7.07 Abajo | 7.52E-04 |
| 15 | AA158235 | zo76b02.sl Etratagene páncreas (# 937208) Homo sapiens ADNc clon IMAGE: 592779 3,secuencia de ARNm | 7.06 Abajo | 1.52E-04 |
| 20 | NM_005583 | Homo sapiens secuencia derivada leucemia linfoblástica 1 (LYL1), ARNm | 7.03 Abajo | 4.69E-05 |
| 25 | BU570253 | AGENCOURTiO4O1698 NIH_MGC_82 Homo sapiens ADNc clon IMAGE: 661 8451 5, secuencia de ARN | 7 Abajo | 2.35E-04 |
| 30 | BM675371 | UI-E-EJO-aht-a-07-0-UI.sl UI-E-EJO Homo sapiens clon de ADNc de IU-E-EJO-AHT-a-07-0-UI 3, secuencia de ARNm | 6.95 Abajo | 4.53E-05 |
| 35 | AK024653 | ADNc Homo sapiens: FLJ21 000 fis, clon CAE03359 | 6.93 Abajo | 6.77E-05 |
| 40 | W31037 | zb86c06.rl Soares_senescence_fibroblasts_NbHSF Homo sapiens ADNc clon IMAGE: 310474 5, secuencia de ARNm | 6.91 Abajo | 4.95E-05 |
| 45 | AL831835 | ARNm Homo sapiens; ADNc DKFZp547AO515 (A partir del clon DKFZp547AO515) | 6.9 Abajo | 1.53E-03 |
| 50 | NM_001849 | Homo sapiens colágeno, tipo VP, alfa 2 (COL6A2), variante de transcripción 2C2, ARNm | 6.85 Abajo | 3.34E-05 |
| 55 | NM_007084 | Homo sapiens SRY (región determinante del sexo Y) - la casilla 21 (Sox21), ARNm | 6.85 Abajo | 3.88E-02 |
| 60 | NM_025107 | Homo sapiens myc objetivo 1 (MYCT1), ARNm | 6.82 Abajo | 6.89E05 |
| 65 | AA393981 | zt58a03.rl Soares testis NHT Homo sapiens clon de ADNc IMAGEN: 726508 5, secuencia de ARNm | 6.82 Abajo | 4.58E-03 |

ES 2 569 421 T3

| | | | | |
|----|-----------|---|---------------|----------|
| | NM-170744 | Homo sapiens UNC-5 homólogo B (<i>C. elegans</i>) (Unc5B), ARNm | 6.82 Abajo | 9.92E-04 |
| 5 | ALI33118 | Homo sapiens ARNm; ADNc DKFZp586NO121 (A partir del clon DKFZp586NO121) | 6.78 Abajo | 1.42E-03 |
| 10 | AK090603 | ADNc Homo sapiens FLJ33284 fis, clon ASTR02009458 | 6.76 Abajo | 1.36E-04 |
| 15 | NM_002203 | Homo sapiens integrina alfa 2 (CD49B, alfa 2 de la subunidad de receptor VLA-2) (ITGA2), ARNm | 6.74 Abajo | 4.93E-05 |
| 20 | NM_003713 | Homo sapiens fosfatasa ácido fosfatídico tipo 2B (PPAP2B), variante de transcripción 1, ARNm | 6.73 Abajo | 1.06E-04 |
| 25 | NM_001401 | Homo sapiens diferenciación endotelial, ácido lisofosfatídico proteína G acoplada receptor, 2 (EDG2), variante de transcripción 1, ARNm | 6.69 Abajo | 9.75E-04 |
| 30 | NM_020226 | Homo sapiens dominio PR que contiene 8 (PRDM8), ARNm | 6.68 Abajo | 2.31E-04 |
| 35 | N71963 | yz95e03.sl Soares melanocito 2NbHM Homo sapiens clon de ADNc IMAGE: 290812 3 similar a contiene elemento repetitivo Alu;, secuencia de ARNm | 6.63 Abajo | 2.47E-04 |
| 40 | | | | |
| 45 | AK127536 | ADNc Homo sapiens FLJ45629 fis, clon CH0NS2000797, muy similar a la caja T factor de transcripción TBX15 | 6.6 Abajo | 1.09E-04 |
| 50 | NM_006206 | Homo sapiens factor de crecimiento derivado de plaquetas receptor, polipéptido alfa (PDGFRA), ARNm | 6.55 Abajo | 6.30E-04 |
| 55 | NM_016559 | Homo sapiens factor de la biogénesis peroxisomal 5-similar a (PEX5L), ARNm | 6.55 Abajo | 6.77E-04 |
| 60 | NM_012307 | Homo sapiens proteína de membrana de los eritrocitos banda de 4,1 similar a 3 (EPB41L3), ARNm | 6.51 Abajo | 9.62E-04 |
| 65 | | | | |

ES 2 569 421 T3

| | | | | |
|----|-----------|---|---------------|----------|
| 5 | R34294 | yh84bOl.sl Soares placenta Nb2HP Homo sapiens ADNc clon 3 IMAGE: 136393, secuencia de ARNm | 6.49 Abajo | 2.78E-05 |
| 10 | N36786 | yy34e08.sl Soares melanocito 2NbHM Homo sapiens clon de ADNc IMAGEN: 273158 3 similar a que contiene el elemento MSR1 elemento repetitivo secuencia de ARNm | 6.49 Abajo | 6.12E-05 |
| 15 | | | | |
| 20 | BX113851 | BX113851 Soares_total_fetus_Nb2HF8_9wHomo sapiens ADNc clon 16 IMAGp998G0541IMAGE: 1622812, secuencia de ARNm | 6.44 Abajo | 8.41E-05 |
| 25 | | | | |
| 30 | BG484952 | 60250396QF1 NIH_MGC_77 Homo sapiens clon de ADNc IMAGE: 461 7278 5, secuencia de ARNm | 6.43 Abajo | 9.06E-05 |
| 35 | NM_005434 | Homo sapiens proteína BENE (BENE), ARNm | 6.4 Abajo | 1.64E-05 |
| 40 | BX106577 | BX106577 Soares_NhHMPu_S1 Homo sapiens clon de ADNc 1MAGp998H131854; IMAGE: 754236, secuencia de ARNm | 6.39 Abajo | 4.12E-05 |
| 45 | NM144617 | Homo sapiens proteína de choque térmico, relacionado alfa-cristalina, B6 (HSPB6), ARNm | 6.37 Abajo | 2.83E-05 |
| 50 | AK093529 | ADNc Homo sapiens FLJ36210 fis, clon THYMU2000155 | 6.29 Abajo | 1.52E-04 |
| 55 | NM_022731 | Homo sapiens quinasa de caseína ubicua nuclear y el sustrato de la quinasa dependiente de ciclina (Nucks), ARNm | 6.27 Abajo | 9.06E-05 |
| 60 | NM_018286 | Homo sapiens proteína hipotética FLJ1O970 (FLJ1O970), ARNm | 6.26 Abajo | 1.08E-03 |
| 65 | NM_002290 | Homo sapiens laminina, alfa 4 (LAMA4), ARNm | 6.19 Abajo | 6.97E-04 |
| | NM_015184 | Homo sapiens fosfolipasa C-2 como (PLCL2), ARNm | 6.18 Abajo | 5.91E-04 |
| | NM-017577 | Homo sapiens proteína hipotética DKFZp434C0328 (DKFZp434C0328), ARNm | 6.17 Abajo | 3.60E-05 |

ES 2 569 421 T3

| | | | | |
|----|-----------|---|---------------|----------|
| | BQ350534 | RC1-HT0256-120400-019-d06 H10256 Homo sapiens ADNc, secuencia de ARNm | 6.17 Abajo | 2.04E-04 |
| 5 | NM_004934 | Homo sapiens cadherina 18, tipo 2 (CDH18), ARNm | 6.17 Abajo | 3.03E-05 |
| 10 | NM_024769 | Homo sapiens adherencia específicos de adipocitos molécula (ASAM), ARNm | 6.15 Abajo | 2.41E-04 |
| 15 | NM_197941 | Homo sapiens similar a ADAMTS-10 precursor (A desintegrina y metaloproteinasa con trombospondina motivos 10) (ADAM TS-10) (ADAM-TS1O) (L0C345667), ARNm | 6.14 Abajo | 1.06E-04 |
| 20 | BG118019 | 602351269F1 NIH_MGC_90 Homo sapiensclon de ADNc IMAGE: 4446065 5, secuencia de ARNm | 6.14 Abajo | 5.02E-05 |
| 25 | NM_005531 | Homo sapiens interferón, proteína gamma-inducible 16 (IFI16), ARNm | 6.13 Abajo | 4.46E-04 |
| 30 | NM_005613 | Homo sapiens regulador de proteína de señalización G 4 (RGS4), ARNm | 6.08 Abajo | 1.04E-04 |
| 35 | NM_002166 | Homo sapiens inhibidor de la unión al ADN 2, proteína de hélice-bucle-hélice dominante negativo (1D2), ARNm | 6.07 Abajo | 1.16E-03 |
| 40 | BC015720 | Homo sapiens, clon IMAGE.-3909165, ARNm | 6.04 Abajo | 1.15E-05 |
| 45 | BF508005 | IU-H-1314-apw-e-06-0-D I SI NCI_CGAP_Sub8 Homo sapiens ADNc clon IMAGE.-3088978 3, secuencia de ARNm | 6.03 Abajo | 1.15E-05 |
| 50 | NM_007101 | Homo sapiens sarcosina deshidrogenasa (SARDH), ARNm | 6.01 Abajo | 4.54E-03 |
| 55 | BG025371 | 602276295F1 NIH_MGC_85 Homo sapiens clon de ADNc IMAGE.-4364351 5, secuencia ARNm | 5.99 Abajo | 6.94E-05 |
| 60 | NM_152666 | Homo sapiens proteína hipotética FLJ40773 (FLJ40773), ARNm | 5.99 Abajo | 4.55E-04 |
| 65 | | | | |

ES 2 569 421 T3

| | | | | |
|----|-----------|--|---------------|----------|
| 5 | BM542398 | Agencourt_6436663 NIH_MGC_72 Homo sapiens ADNc clon IMAGE: 5539574 5, secuencia ARNm | 5.97 Abajo | 3.34E-05 |
| 10 | AK054783 | ADNc Homo sapiens FLJ30221 fis, clon BRACE2001742 | 5.97 Abajo | 2.40E-04 |
| 15 | A1651524 | wbO6g07.xls NCI_CGAP_GC6 Homo sapiens clon de ADNc IMAGE: 2304924 3, secuencia de ARNm | 5.93 Abajo | 3.22E-04 |
| 20 | NM_005905 | Homo sapiens SMAD, madres contra DPP homólogo 9 (<i>Drosophila</i>) (SMAD9), ARNm | 5.87 Abajo | 4.76E-04 |
| 25 | BG818762 | 602779092F2 NCI_CGAP Brn67 Homo sapiens ADNc clon IMAGE:-4914502 5, secuencia ARNm | 5.84 Abajo | 1.07E-04 |
| 30 | NM_002487 | Homo sapiens homólogo Necdin (ratón) (NDN), ARNm | 5.83 Abajo | 2.72E-05 |
| 35 | NM_000167 | Homo sapiens quinasa de glicerol (GK), variante de transcripción 2, ARNm | 5.8 Abajo | 5.10E-03 |
| 40 | BC070147 | Homo sapiens ADNc clon IMAGE: 4672631, contiene errores de cambio de marco | 5.74 Abajo | 7.92E-04 |
| 45 | NM-001711 | Homo sapiens biglicano (BGN), ARNm | 5.71 Abajo | 4.13E-05 |
| 50 | NM_000407 | Homo sapiens lb glicoproteína (plaquetas), beta polipéptido (GP1BB), ARNm | 5.69 Abajo | 3.03E-05 |
| 55 | N28431 | yx35c03.rl Soares melanocito 2NbHM Homo sapiens clon de ADNc IMAGE: 263716 5 similar a SP: PIR: S32603 S32603 colágeno alfa 1 (VI) cadena - ratón ;, secuencia de ARNm | 5.69 Abajo | 6.03E-04 |
| 60 | NM_002615 | Homo sapiens serina (o cisteína) proteinasa inhibidor, Dade F (alfa-2 antiplasmina, pigmento factor derivado del epitelio), miembro 1 (SERPINF1), ARNm | 5.66 Abajo | 2.02E-03 |
| 65 | | | | |

ES 2 569 421 T3

| | | | | |
|----|-----------|--|---------------|----------|
| | H18367 | yn49d06.rl Soares cerebro adulto N2b5HB55Y Homo sapiens ADNc clon IMAGE: 1717553, secuencia de ARNm | 5.66 Abajo | 4.41E-04 |
| 5 | NM_018455 | Homo sapiens no caracterizado médula ósea proteína BM039 (BM039), ARNm | 5.64 Abajo | 3.03E-04 |
| 10 | H24359 | ym56b03.sl Soares cerebro infantil 1NIB Homo sapiens ADNc clon IMAGE: 52294 3, secuencia de ARNm | 5.61 Abajo | 2.57E-04 |
| 15 | BU078105 | im64b02.yl HR85 isloote ADNc Homo sapiens clon IMAGE: 6039866 5, secuencia de ARNm | 5.58 Abajo | 3.60E-04 |
| 20 | NM_022576 | Homo sapiens fosducina (PDC), variante de transcripción 2, ARNm | 5.55 Abajo | 9.39E-05 |
| 25 | NM_033196 | Homo sapiens proteína hipotética similar a ZNF (LOC91120), ARNm | 5.54 Abajo | 1.49E-04 |
| 30 | BC035066 | Homo sapiens, clon IMAGE: 5259543, ARNm | 5.54 Abajo | 1.65E-04 |
| 35 | R14261 | yf79d05.ri Soares cerebro infantil 1NIB Homo sapiens ADNc clon IMAGE: 28642 5, secuencia de ARNm | 5.51 Abajo | 2.36E-04 |
| 40 | BC042140 | Homo sapiens, clon IMAGE: 5932306, ARNm | 5.48 Abajo | 5.05E-05 |
| 45 | NM_005654 | Homo sapiens subfamilia de receptores nucleares 2, el grupo F, miembro 1 (NR2F1), ARNm | 5.48 Abajo | 1.02E-05 |
| 50 | NM_182746 | Homo sapiens MCM4 minichromosome mantenimiento deficiente 4 (<i>S. cerevisiae</i>) (MCM4), variante de transcripción 2, ARNm | 5.48 Abajo | 9.96E-04 |
| 55 | BG573337 | 602595107F1 NIH_MGC_79 Homo sapiens clon de ADNc IMAGE: 4724521 5, secuencia de ARNm | 5.43 Abajo | 3.72E-04 |
| 60 | NM-194250 | Homo sapiens similar a C630007C17Rik proteína (LOC91 752), ARNm | 5.43 Abajo | 3.30E-04 |
| 65 | | | | |

ES 2 569 421 T3

| | | | | |
|----|-----------|---|---------------|----------|
| | NM_015430 | Homo sapiens la regeneración muscular asociada proteasa (DKFZP586H2I 23), variante de transcripción 1, ARNm | 5.43 Abajo | 3.49E-03 |
| 5 | NM_006868 | Homo sapiens RAB31, miembro de RAS oncogén familiar (RAB31), ARNm | 5.41 Abajo | 2.11E-05 |
| 10 | B1494495 | df110f11.w1 Morton fetal cóclea Homo sapiens ADNc clon IMAGE: 2539149 3, secuencia de ARNm | 5.4 Abajo | 2.64E-03 |
| 15 | AW025556 | wu97gio.xi NCI_CGAP Kid3 Homo sapiens clon de ADNc IMAGE: 2528034 3, secuencia de ARNm | 5.36 Abajo | 1.89E-04 |
| 20 | A1793182 | qz36ai 1.x5 NCI_CGAP_Kid11 Homo sapiens clon de ADNc IMAGE: 2028956 3 similar a contiene L1.t3 L1 elemento repetitivo;, secuencia de ARNm | 5.34 Abajo | 8.09E-04 |
| 25 | NM_006208 | Homo sapiens ectonucleótido pirofosfatasa / fosfodiesterasa 1 (ENPP1), ARNm | 5.34 Abajo | 2.36E-04 |
| 30 | C02345 | HUMGS0007544 Humano adulto (K.Okubo)Homo sapiens ADNc, secuencia de ARNm | 5.33 Abajo | 3.45E-04 |
| 35 | NM_032297 | Homo sapiens proteína hipotética DKFZp761D112 (DKFZp761D112), ARNm | 5.32 Abajo | 3.38E-04 |
| 40 | BM724062 | UI-E-E01-aiy-a-22-0-UI.rl UI-E-SO1 Homo sapiens clon de ADNc UI-E-E01-aiy-a-22-0-UI 5, secuencia de ARNm | 5.25 Abajo | 2.96E-03 |
| 45 | NM_176891 | Homo sapiens interferón épsilon 1 (IFNE1), ARNm | 5.22 Abajo | 2.67E-04 |
| 50 | 8X648959 | Homo sapiens ARNm; ADNc DKFZp686N2348 (A partir del clon DKFZp686N2348) | 5.22 Abajo | 4.12E-05 |
| 55 | CA771688 | io8lcO8.xl HR85 islote ADNc Homo sapiens clon IMAGE: 6132854 3, secuencia de ARNm | 5.22 Abajo | 3.35E-03 |
| 60 | BC034315 | Homo sapiens proteína hipotética L0C90529, ARNm (ADNc clon IMAGE: 4827425), contiene errores de cambio de marco | 5.22 Abajo | 1.90E-04 |
| 65 | | | | |

ES 2 569 421 T3

| | | | | |
|----|-----------|--|---------------|----------|
| 5 | W88428 | zh72g09.sl Soares_fetal_hígado_bazo_1NFLS_S 1 Homo sapiens ADNc clon IMAGE: 417664 3, secuencia de ARNm | 5.22 Abajo | 5.95E-04 |
| 10 | A1468014 | tj84g05.xl Soares_NS F_F 8_9 W_OT_PA_P_S 1 Homo sapiens clon de ADNc IMAGE-3 .2148248 similares que contiene el elemento TAR1 elemento repetitivo ;, secuencia de ARNm | 5.21 Abajo | 9.55E-04 |
| 15 | NM_197941 | Homo sapiens similar a ADAMTS-10 precursor (desintegrina A y metaloproteinasa con trombospondina motivos 10) (ADAM TS-10) (ADAM-TS10) (LOC345667), ARNm | 5.2 Abajo | 8.12E-04 |
| 20 | U10991 | ARNm proteína humana G2, cds parcial | 5.19 Abajo | 7.92E-05 |
| 25 | A1888390 | wn3OgIO.xl NCI_CGAP_Gas4 Homo sapiens clon ADNc IMAGE: 2447010 3 similar aContiene el elemento MER8 elemento repetitivo ;,secuencia de ARNm | 5.19 Abajo | 2.07E-04 |
| 30 | NM_012411 | Homo sapiens proteína fosfatasa de tirosina, tipo no receptor 22 (linfoide) (PTPN22), variante de transcripción 2, ARNm | 5.19 Abajo | 3.62E-04 |
| 35 | NM_030806 | Homo sapiens cromosoma marco de lectura abierto 21 (Clorf2l), ARNm | 5.17 Abajo | 1.88E-05 |
| 40 | NM_005654 | Homo sapiens subfamilia de receptores nucleares 2, grupo F, miembro 1 (NR2F1), ARNm | 5.17 Abajo | 8.65E-05 |
| 45 | NM_153014 | Homo sapiens proteína hipotética FLJ30634 (FLJ30634), ARNm | 5.13 Abajo | 1.32E-03 |
| 50 | AB020691 | ARNm sapiens Homo para la proteína K1AA0884, cds parcial | 5.13 Abajo | 3.40E-05 |
| 55 | NM_02021 | Homo sapiens familia de dominio RGM, miembro A (RGMA), ARNm | 5.1 Abajo | 1.51E-04 |
| 60 | | | | |
| 65 | | | | |

ES 2 569 421 T3

| | | | | |
|----|-----------|--|---------------|----------|
| | BG215747 | RST35420 Athersys RAGE Biblioteca Homo sapiens ADNc, secuencia de ARNm | 5.1 Abajo | 1.30E-04 |
| 5 | NM_002317 | Homo sapiens lisil oxidasa (LOX), ARNm | 5.09 Abajo | 1.28E-04 |
| 10 | NM_003608 | Homo sapiens proteína G-receptor acoplado a 65 (GPR65), ARNm | 5.07 Abajo | 7.41E-04 |
| 15 | NM_031305 | Homo sapiens Rho GTPasa de la proteína activadora 24 (ARHGAP24), ARNm | 5.05 Abajo | 1.10E-04 |
| 20 | AK124391 | ADNc Homo sapiens FLJ42400 fis, clon ASTR0200358 1 | 5.03 Abajo | 9.74E-05 |
| 25 | NM_005613 | Homo sapiens regulador de la señalización proteína G4 (RGS4), ARNm | 5.02 Abajo | 7.55E-05 |
| 30 | NM_054027 | Homo sapiens anquilosis, homólogo progresio (Ratón) (ABKH), ARNm | 5 Abajo | 2.64E-05 |
| 35 | | | | |
| 40 | | | | |
| 45 | | | | |
| 50 | | | | |
| 55 | | | | |
| 60 | | | | |
| 65 | | | | |

5 **TABLA VII C: GENES QUE SE EXPRESARON DIFERENCIALMENTE EN AL MENOS 5 VECES EN EL EPITELIO
FRENTE A LAS CÉLULAS AF-I**

| | Identificador de gen | Nombre de gen | Cambio de pliegue medio en células de fibroblasto versus AF | Dirección | P-valor adj. |
|----|----------------------|--|---|-----------|--------------|
| 10 | | | | | |
| 15 | AK091336 | ADNc Homo sapiens FLJ34O1 7 fis, clon FCBBF2002626 | | 97.64 UP | 6.01E-03 |
| 20 | NM_004098 | Homo sapiens espiráculos vacíos homólogo 2 (Drosophila) (EMX2), ARNm | | 83.49 UP | 8.10E-03 |
| 25 | AV702977 | AV702977 ADB ADNc Homo sapiens clon ADBCVDO8 5, secuencia de ARNm | | 82.96 UP | 3.74E-03 |
| | BE877764 | 601486331 F1_NIH_MGC69 ADNc Homo sapiens clon IMAGE: 3888943 5, secuencia de ARNm | | 60.78 UP | 2.79E-03 |
| 30 | AK075003 | ADNc Homo sapiens FLJ90522 fis, clon NT2RP40001O8, muy similar al gen humano de la subunidad NF-neurofilamentos L | | 48.1 UP | 1.02E-02 |
| 35 | NM_014358 | Homo sapiens tipo C (dependiente de calcio, el dominio de reconocimiento de carbohidratos) lectina, miembro de la superfamilia 9 (CLECSF9), ARNm | | 48.04 UP | 1.99E-04 |
| 40 | AK092401 | ADNc Homo sapiens FLJ35082 fis, clon PLACE6005351 | | 40.58 UP | 1.77E-03 |
| 45 | NM_007029 | Homo sapiens stathmina 2 similar (STMN2), ARNm | | 38.31 UP | 1.31E-02 |
| 50 | AW300043 | xs45a09.xi NCI_CGAP_Kid11 Homo sapiens ADNc clon IMAGE: 2772568 3, secuencia de ARNm | | 25.26 UP | 1.35E-02 |
| 55 | NM_006158 | Homo sapiens neurofilamentos, luz polipéptido 68kDa (NEFL), ARNm | | 23.08 UP | 1.76E-02 |
| | NM_003222 | Homo sapiens factor de transcripción AP-2 gamma (activación de potenciador de la aglutinación proteína 2 gamma) (TFAP2C), ARNm | | 22.98 UP | 1.59E-02 |
| 60 | | | | | |
| 65 | | | | | |

ES 2 569 421 T3

| | | | | |
|----|-----------|--|-------------|----------|
| | AK023647 | ADNc Homo sapiens FLJ13585 fis, clon PLACE 1009150 | 22.77 UP | 7.48E-04 |
| 5 | BC044843 | Homo sapiens proteína hipotética LOC339535, ARNm (clon de ADNc IMAGE: 5186761), cds parcial | 21.74 UP | 4.67E-03 |
| 10 | BQ003501 | IU-H-EI1-asd-p-06-0-UI.sl NCI_CGAP_EI1 ADNc Homo sapiens IMAGE clon: 5847413 3, secuencia de ARNm | 20.08 UP | 9.54E-04 |
| 15 | AA075748 | zm89e04.rl Etratagene cáncer de ovario(#937219) Homo sapiens clon de ADNc IMAGE: 545118 5, secuencia de ARNm | 19.94 UP | 7.10E-03 |
| 20 | | | | |
| 25 | BF000009 | 7h15g04.xl NCI_CGAP_Co16 Homo sapiens ADNc clon IMAGE: 3316086 3, secuencia de ARNm | 19.92 UP | 7.67E-03 |
| 30 | NM_004867 | Homo sapiens integral de membrana Proteína 2A (ITM2A), ARNm | 19.86 UP | 2.62E-02 |
| | H85497 | yvB8bO7.rl Soares melanocito 2NbHM Homo sapiens clon de ADNc IMAGE: 249781 5, secuencia de ARNm | 19.75 UP | 7.71E-05 |
| 35 | BM713465 | UI-E-EJO-aho-m-22-0-UI.rl IU-E-EJO Homo sapiens clon de ADNc UI-E-EJO- aho-m-22-0-UI 5, secuencia de ARNm | 18.57 UP | 1.68E-02 |
| 40 | BU569937 | AGENCOURT_10399817 NIH_MGC_82 Homo sapiens clon de ADNc IMAGE: 6618011 5, secuencia de ARNm | 18.3 UP | 1.68E-02 |
| 45 | | | | |
| 50 | NM_032782 | Homo sapiens virus de hepatitis A celular receptor 2 (HAVCR2), ARNm | 18.05 UP | 2.97E-03 |
| | NM_013387 | Homo sapiens ubiquinol citocromo c- complejo reductasa (7,2 kD) (HSPCO5I), variante de transcripción 1, ARNm | 17.68 UP | 1.30E-04 |
| 55 | BM988338 | UI-H-DHO-asd-f-10-0-UI.s1 NCI_CGAP_DHO ADNc Homo sapiens IMAGE clon: 5857545 3, secuencia de ARNm | 17.23 UP | 9.27E-03 |
| 60 | BQ025821 | UI-1-13131p-aye-f-10-0-UP.sl NCI_CGAP_P16 ADNc Homo sapiens clon de UI-1-BB1p-aye-f-10-0-UI 3, secuencia de ARNm | 15.46 UP | 1.08E-02 |
| 65 | | | | |

ES 2 569 421 T3

| | | | | |
|----|-----------|--|-------------|----------|
| 5 | BF515657 | UI-H-BW1-anu-e-05-0-UI.s1 NCI_CGAP_Sub7 ADNc Homo sapiens IMAGE clon-3083601 3, secuencia de ARNm | 15.17 UP | 8.95E-03 |
| 10 | NM_001977 | Homo sapiens glutamil aminopeptidasa (aminopeptidasa A) (ENPEP), ARNm | 14.59 UP | 5.24E-05 |
| | NM_197955 | Homo sapiens mucosa normal de esófago específicos 1 (NMES1), variante de transcripción 1, ARNm | 14.33 UP | 2.54E-03 |
| 15 | NM_180991 | Homo sapiens portador de soluto orgánico familia de transportadores de aniones, miembro de 4C1 (SLCO4C1), ARNm | 13.46 UP | 2.20E-02 |
| 20 | R44402 | yg37a0l.sl Soares cerebro infantil 1NIB Homo sapiens clon de ADNc IMAGE: 34639 3 a similar contenga MER35 elemento repetitivo ;, secuencia de ARNm | 13.17 UP | 1.56E-04 |
| 25 | CF137545 | UI-HF-BNO-ane-d-05-0-UI.rl NIH_MGC_50 ADNc Homo sapiens clon IMAGE: 3092384 5, secuencia de ARNm | 12.96 UP | 6.05E-03 |
| 30 | NM016269 | Homo sapiens potenciador de linfocito - de unión al factor 1 (LEF1), ARNm | 12.69 UP | 7.27E-03 |
| 35 | NM_001680 | Homo sapiens dominio de FXYD que contiene regulador de transporte de iones 2 (FXYD2), variante de transcripción a, ARNm | 12.65 UP | 2.38E-03 |
| 40 | NM_003063 | Homo sapiens sarcolipina (SLN), ARNm | 12.54 UP | 3.04E-02 |
| 45 | NM_012204 | Homo sapiens factor general de transcripción IIIc, polipéptido 4, 90kDa (GTF3C4), ARNm | 12.51 UP | 3.10E-02 |
| 50 | NM_003810 | Homo sapiens tumor necrosis factor de (Ligando) superfamilia, miembro 10 (TNFSF1O), ARNm | 12.4 UP | 9.19E-05 |
| 55 | NM_004591 | Homo sapiens quimiocina (motivo C-C) ligando 20 (CCL2O), ARNm | 11.84 UP | 3.08E-02 |
| 60 | NM_020927 | Homo sapiens proteína KIAA1 de 576 (K1AA1576), ARNm | 11.77 UP | 6.78E-03 |
| 65 | NM_014751 | Homo sapiens metástasis supresor de 1 (MTSSI), ARNm | 11.5 UP | 6.60E-05 |

ES 2 569 421 T3

| | | | | |
|----|-----------|---|-------------|----------|
| | NM_031311 | Homo sapiens carboxipeptidasa, vitelogénico similar (CPVL), variante de transcripción1, ARNm | 10.36 UP | 8.15E-03 |
| 5 | NM_005382 | Homo sapiens neurofilamentos 3 (150kDa medio) (NEF3), ARNm | 10.12 UP | 4.45E-02 |
| 10 | NM_033554 | Homo sapiens mayor de histocompatibilidad compleja, clase II, DP alfa 1 (HLADPA1), ARNm | 9.84 UP | 4.35E-02 |
| 15 | A1632692 | wa33b05.xl NCI_CGAP_Kid11 Homo sapiens ADNc clon IMAGE: 2299857 3, secuencia de ARNm | 9.7 UP | 3.01E-02 |
| 20 | NM_030923 | Homo sapiens proteína hipotética DKFZp566NO34 (DKFZP566NO34), ARNm | 9.51 UP | 2.72E-02 |
| 25 | NM_152550 | Homo sapiens dominio SH3 que contiene dedo anular 2 (SH3RF2), ARNm | 9.31 UP | 4.41E-02 |
| 30 | AW445209 | UI-H-B13-AKC-g-11-0-UI.sl NCI_CGAP_Sub5 ADNc Homo sapiens IMAGE clon: 2733908 3, secuencia ARNm | 9.27 UP | 1.37E-03 |
| 35 | AB011095 | Homo sapiens mRNA para proteína K1AA0523, cds parcial | 8.77 UP | 1.82E-04 |
| 40 | NM_194463 | Homo sapiens proteínas dedo anular 128 (RNF128), variante de transcripción 1, ARNm | 8.75 UP | 2.95E-03 |
| 45 | NM_013427 | Homo sapiens Rho GTPasa activación de proteína 6 (ARHGAP6), variante de transcripción 1, el ARN | 8.73 UP | 7.38E-04 |
| 50 | NM_012105 | Homo sapiens sitio beta APP escisión enzima 2 (BACE2), variante de transcripción a, ARNm | 8.67 UP | 1.49E-04 |
| 55 | NM_000640 | Homo sapiens interleucina 13 receptor, alfa 2 (IL13RA2), ARNm | 8.29 UP | 4.39E-02 |
| 60 | NM_001977 | Homo sapiens glutamil aminopeptidasa (Aminopeptidasa A) (ENPEP), ARNm | 8.16 UP | 6.01E-03 |
| 65 | T56535 | yb33g07.rl Estratagene bazo fetal (#937205) Homo sapiens clon de ADNc IMAGE: 73020 5, secuencia de ARNm | 8.08 UP | 1.24E-04 |

ES 2 569 421 T3

| | | | | |
|----|-----------|--|------------|----------|
| | NM_022440 | Homo sapiens mal, la diferenciación de las células T proteínas (LMA), variante de transcripción d, ARNm | 8.01 UP | 4.29E-02 |
| 5 | | | | |
| 10 | BM711923 | UI-E-CL1-afc-m-16-0-UI.rl IU-E-CL1 Homo sapiens clon de ADNc IU-E-CL1-afc-m-16-0-UI 5, secuencia de ARNm | 7.87 UP | 8.56E-04 |
| 15 | | | | |
| 20 | NM_005181 | Homo sapiens anhidrasa carbónica III, músculo específica (CA3), ARNm | 7.69 UP | 1.46E-02 |
| 25 | NM_030781 | Homo sapiens colectina subfamilia elemento 12 (COLEC12), variante de transcripción II, el ARNm | 7.56 UP | 8.07E-02 |
| 30 | NM_001305 | Homo sapiens claudina 4 (CLDN4), ARNm | 7.41 UP | 3.62E-04 |
| 35 | NM_000055 | Homo sapiens butirilcolinesterasa (BCHE), ARNm | 7.26 UP | 4.51E-03 |
| 40 | NM_153183 | Homo sapiens nudix (nucleósido difosfato radical unido a X) de tipo motivo 10 (NUDT1O), ARNm | 7.23 UP | 3.53E-02 |
| 45 | B1759570 | 603046987F1 NIH_MGC_116 Homo sapiens cDNA clon IMAGE: 51 87285 5, secuencia de ARNm | 7.11 UP | 3.86E-02 |
| 50 | NM_015559 | Homo sapiens unión de proteína SET 1 (SETBP1), ARNm | 6.97 UP | 3.67E-02 |
| 55 | NM_005562 | Homo sapiens laminina, gamma 2 (LAMC2), variante de transcripción 1, ARNm | 6.95 UP | 2.06E-04 |
| 60 | NM_013430 | Homo sapiens gamma-glutamiltransferasa 1 (GGT1), variante de transcripción 3, ARNm | 6.9 UP | 3.86E-02 |
| 65 | AA908815 | og77h08.sl NCI_CGAP_0v8 Homo sapiens clon de ADNc IMAGEN-.1454367 3, secuencia de ARNm | 6.8 UP | 3.10E-02 |
| | NM_022843 | Homo sapiens protocadherina 20 (PCDH2O), ARNm | 6.73 UP | 5.39E-03 |
| | NM_018076 | Homo sapiens armadillo que contiene repetición 4 (ARMC4), ARNm | 6.71 UP | 7.53E-04 |
| | NM_005822 | Homo sapiens gen crítico de región de síndrome de Down 1 tipo 1 (DSCR1L1), ARNm | 6.67 UP | 2.38E-02 |

ES 2 569 421 T3

| | | | | |
|----|-----------|---|------------|----------|
| | NM_006393 | Homo sapiens nebullette (NEBL), variante de transcripción 1, ARNm | 6.66 UP | 4.24E-02 |
| 5 | CA391258 | cs13a10.xl pigmento de la retina humana epitelio / ADNc coroides (no normalizado, sin amplificar): Homo sapiens cs ADNc clon csl3a1O 3, secuencia de ARNm | 6.56 UP | 9.19E-05 |
| 10 | | | | |
| 15 | AK026966 | ADNc Homo sapiens: FLJ23313fis, clon HEP1191 | 6.31 UP | 1.30E-04 |
| 20 | NM_020661 | Homo sapiens de activación inducida citidina deaminasa (AICDA), ARNm | 6.12 UP | 3.01E-02 |
| 25 | NM_004840 | Homo sapiens Rac / Cdc42 guanina factor de intercambio de nucleótidos (GEF) 6(ARHGEF6), ARNm | 6.09 UP | 1.19E-03 |
| 30 | BC021684 | Homo sapiens, clon IMAGE: 3827252, ARNm | 6.03 UP | 4.71E-03 |
| 35 | NM_032551 | Homo sapiens acoplado a proteína G receptor 54 (GPR54), ARNm | 5.96 UP | 4.33E-02 |
| 40 | NM_024726 | Homo sapiens que contiene motivo IQ con dominio AAA (BOA), ARNm | 5.94 UP | 1.84E-04 |
| 45 | NM_001657 | Homo sapiens anfirregulina (Factor de crecimiento derivado de schwannoma) (AREG), ARNm | 5.91 UP | 1.05E-03 |
| 50 | NM_006033 | Homo sapiens lipasa endotelial (LIPG), ARNm | 5.9 UP | 1.76E-04 |
| 55 | NM_002089 | Homo sapiens quimiocina (motivo C-X-C) ligando 2 (CXCL2), ARNm | 5.88 UP | 1.13E-04 |
| 60 | AK074097 | Homo sapiens m ARN para proteína FLJOO168 | 5.87 UP | 1.17E-03 |
| 65 | BF509573 | UI-H-B14-apf-b-11-0-UI.sl NCI_CGAP_Sub8 ADNc Homo sapiens IMAGE clon: 3086949 3, secuencia de ARNm | 5.78 UP | 1.40E-04 |
| | H23441 | ym52fll.sl Soares cerebro infantil 1 NIB Homo sapiens clon de ADNc IMAGE: 51888 3, secuencia de ARNm | 5.77 UP | 6.87E-04 |
| | NM_031426 | Homo sapiens cromosoma 9 marco de lectura abierto 58 (C9orf58), variante de transcripción 1, ARNm | 5.63 UP | 3.32E-05 |

ES 2 569 421 T3

| | | | | |
|----|-----------|---|----------------|----------|
| 5 | NM_013410 | Homo sapiens quinasa de adenilato 3 (AK3), codificación de genes nucleares mitocondrial proteína, variante de transcripción 2, ARNm | 5.54 UP | 1.14E-04 |
| 10 | NM_003236 | Homo sapiens de crecimiento transformante factor alfa (TGFA), ARNm | 5.51 UP | 3.09E-02 |
| 15 | NM_152369 | Homo sapiens proteína hipotética MGC45474 (MGC45474), ARNm | 5.46 UP | 1.02E-04 |
| 20 | NM_153229 | Homo sapiens proteína hipotética FLJ33318 (FLJ33318), ARNm | 5.4 UP | 1.92E-03 |
| 25 | NM_000216 | Homo sapiens Síndrome de Kallmann secuencia 1 (KAL1), ARNm | 5.23 UP | 1.13E-04 |
| | H89526 | yw28b04.rl Morton fetal cóclea ADNc Homo sapiens clon IMAGEN: 253519 5, secuencia de ARNm | 5.15 UP | 9.54E-05 |
| 30 | AL832916 | Homo sapiens ARNm; ADNc DKFZp76210915 (del clon DKFZp76210915) | 5.12 UP | 6.74E-03 |
| 35 | NM_002899 | Homo sapiens proteína de unión a retinol 1, celular (RBP1), ARNm | 5.07 UP | 1.11E-03 |
| 40 | CA417015 | UI-H-FEO-BBP-d-21-0-UI.s1 NCI_CGAP_FEO Homo sapiens clon ADNc UI-H-FE0-bbp-d-21-0-UI 3, secuencia de ARNm | 5.07 UP | 1.77E-03 |
| | AW263542 | xn8OfoI.xi Soares_NFL_TGBCS1 ADNc Homo sapiens clon IMAGE: 2700793 3, secuencia de ARNm | 5.07 UP | 9.70E-03 |
| 45 | T47612 | yb15h03.sl Estratagene placenta (#937225) ADNc Homo sapiens clon IMAGE.-71285 3, secuencia de ARNm | 5.02 UP | 7.57E-03 |
| 50 | NM_002402 | Homo sapiens mesodermo homólogo específico de transcripción (ratón) (MEST), variante de transcripción 1, ARNm | 83.38 Abajo | 1.30E-04 |
| 55 | NM_001884 | Homo sapiens hialuronano y proteoglicanos enlace de la proteína 1 (HAPLN1), ARN | 71.21 Abajo | 5.97E-05 |
| 60 | NM_006439 | Homo sapiens MAB-21 similar a 2 (<i>C. elegans</i>) (MAB21L2), ARNm | 70.58 Abajo | 7.65E-05 |
| 65 | NM_001202 | Homo sapiens proteína ósea morfogenética 4 (BMP4), variante de transcripción 1, ARNm | 50.48 Abajo | 3.32E-05 |
| | NM_017671 | Homo sapiens cromosoma 20 marco de lectura abierto 42 (C20orf42), ARNm | 50.28 Abajo | 4.04E-05 |
| | AK124396 | ADNc Homo sapiens FLJ42405 fis, clon ASTR03000474 | 45.55 Abajo | 6.98E-05 |

ES 2 569 421 T3

| | | | | |
|----|-----------|---|-------|----------|
| | NM_015170 | Homo sapiens sulfatasa 1 (SULF1), ARNm | 38.04 | 7.58E-05 |
| 5 | BC037316 | Homo sapiens, clon IMAGE: 5259432, ARNm | 34.94 | 7.08E-05 |
| 10 | NM_001562 | Homo sapiens interleucina 18 (interferón gamma-factor inductor) (ILL 8), ARNm | 34.48 | 7.58E-05 |
| 15 | A1469032 | ti70a0I xl NCI CGAP Kidi 1 Homo sapiens ADNc clon IMAGE.-2137320 3, secuencia de ARNm | 28.72 | 4.44E-05 |
| 20 | NM_016307 | Homo sapiens emparejado homeobox relacionado 2 (PRRX2), ARNm | 28.57 | 3.32E-05 |
| 25 | NM_022475 | Homo sapiens erizo proteína interactuante (HHIP), ARNm | 27 | 7.14E-05 |
| 30 | NM_006072 | Homo sapiens quimiocina (motivo C-C) ligando 26 (CCL26), ARNm | 25.57 | 5.83E-05 |
| 35 | NM_007361 | Homo sapiens nidogen 2 (osteonidogen) (NID2), ARNm | 22.81 | 5.24E-05 |
| 40 | NM_006228 | Homo sapiens prepronociceptin (PNOC), ARNm | 21.34 | 4.20E-04 |
| | N95448 | zb8lell.sl Soares_senescence_fibroblasts_NbHSF Homo sapiens clon de ADNc IMAGE: 310028 3, secuencia de ARNm | 20.92 | 1.24E-04 |
| 45 | NM_018242 | Homo sapiens proteína hipotética FLJ10847 (FL J10847), ARNm | 20.83 | 6.60E-05 |
| 50 | N63415 | yy60dO4.sl Soares_multiple_sclerosis_2NbHMSP Homo sapiens clon de ADNc IMAGE: 277927 3 similar a que contenga L1.b3 L1 elemento repetitivo ;, secuencia de ARNm | 19.2 | 5.24E-05 |
| 55 | B0001571 | UI-H-DH1-awr-i-1 8-O-UI.sl NCI_CGAP_DH1 ADNc Homo sapiens clon IMAGE.-5893337 3, secuencia de ARNm | 18.75 | 6.98E-05 |
| 60 | NM_022454 | Homo sapiens SRY (determinante del sexo la región Y) -BOX 17 (SOX17), ARNm | 18.21 | 5.83E-05 |
| 65 | | | | |

ES 2 569 421 T3

| | | | | |
|----|-----------|--|----------------|----------|
| | BE788763 | 6014758641 NIH_MGC_68 Homo sapiens clon de ADNc IMAGE-.3879014 5, secuencia de ARNm | 17.84 Abajo | 1.13E-04 |
| 5 | BU633163 | UI-H-FL1-bgt-n-07-0-Ui.sl NCI_CGAP_FL1 ADNc Homo sapiens clon UI-H-FL1-BGT-n-07-O-Ui 3, secuencia de ARNm | 17.41 Abajo | 7.14E-05 |
| 10 | A1289329 | qw28c09.xl NCI_CGAP_Ut4 Homo sapiens clon de ADNc IMAGE: 1992400 3 similar a que contiene L1.b2 L1 elemento repetitivo;, secuencia de ARNm | 17.1 Abajo | 6.98E-05 |
| 15 | AF318382 | ARNm Homo sapiens pp9974, cds completao | 16.45 Abajo | 1.38E-04 |
| 20 | NM_022350 | Homo sapiens derivadas de leucocitos arginina aminopeptidasa (LRAP), ARNm | 15.8 Abajo | 1.10E-04 |
| 25 | B1561641 | 603256058F1 NIH_MGC_97 Homo sapiens clon ADNc IMAGE-0.5298374 5, secuencia de ARNm | 14.77 Abajo | 1.94E-04 |
| 30 | NM_006350 | Homo sapiens follistatina (FST) , variante de transcripción FST317, ARNm | 14.55 Abajo | 7.14E-05 |
| 35 | NM_016588 | Homo sapiens Neuritina I (NRN1), ARNm | 14.52 Abajo | 6.98E-05 |
| 40 | CA437861 | UI-H-DHO-aur-k-1 2-0-Ui.sl NCI_CGAP_DHO ADNc Homo sapiens clon UI-H-DHO-aur-k-12-0-Ui 3, secuencia de ARNm | 14.45 Abajo | 1.21E-04 |
| 45 | NM_020873 | Homo sapiens repetición neuronal rica en leucina 1 (LRRN1), ARNm | 13.74 Abajo | 6.60E-05 |
| 50 | NM_003385 | Homo sapiens tipo visinina 1 (VSNL1), ARNm | 13.06 Abajo | 7.75E-05 |
| 55 | A1640484 | wa27fOl.xi NCI_CGAP_Kid11 Homo sapiens clon de ADNc IMAGE-.2299321 3, secuencia de ARNm | 11.92 Abajo | 5.48E-04 |
| 60 | AK127309 | ADNc Homo sapiens FLJ45377 nosotros, clon BRHIP3019956 | 11.87 Abajo | 2.35E-04 |
| 65 | M60502 | ARNm profilagrina humana, 3 fin | 11.74 Abajo | 7.58E-05 |
| | NM_006475 | Homo sapiens periostina, osteoblastos factor específico (POSTN), ARNm | 11.74 Abajo | 1.19E-04 |
| | NM_207482 | Homo sapiens proteína FLJ44048 (FLJ44048), ARNm | 11.63 Abajo | 1.45E-04 |

ES 2 569 421 T3

| | | | | |
|----|-----------|--|----------------|----------|
| | NM_000519 | Homo sapiens hemoglobina, delta (HBD), ARNm | 11.61 Abajo | 3.27E-04 |
| 5 | BU567804 | AGENCOURT_10398872 NIH_MGC_82 Homo sapiens clon de ADNc IMAGE-.6614502 5, secuencia de ARNm | 11.59 Abajo | 5.24E-05 |
| 10 | AJ318805 | AJ318805 Homo sapiens tejido adiposo Homo sapiens clon de ADNc de 2040, secuencia de ARNm | 11.59 Abajo | 1.76E-04 |
| 15 | AW451831 | UI-H-B13-alk-e-12-0-UI.s1 NCI_CGAP_Sub5 ADNc Homo sapiens IMAGE clon: 2737246 3, secuencia de ARNm | 11.57 Abajo | 1.46E-04 |
| 20 | R99527 | yq79bll.sl Soares bazo hígado fetal clon de ADNc Homo sapiens 1NFLS IMAGE: 201981 3, secuencia de ARNm | 11.16 Abajo | 1.13E-04 |
| 25 | NM_031894 | Homo sapiens ferritina, pesado polipéptido similar 17 (FTHL17), ARNm | 11.12 Abajo | 4.85E-04 |
| 30 | NM_007072 | Homo sapiens HERV-H-LTR asociado 2 (HHLA2), ARNm | 10.94 Abajo | 1.36E-04 |
| 35 | NM_005654 | Homo sapiens receptor nuclear subfamilia 2, el grupo F, 1 miembro (NR2F1), ARNm | 10.91 Abajo | 3.32E-05 |
| 40 | NM_004574 | Homo sapiens de maní 2 similar (Drosophila) (PNUTL2), variante de transcripción 1, ARNm | 10.46 Abajo | 3.48E-04 |
| 45 | NM_005141 | Homo sapiens fibrinógeno, B beta polipéptido (FGB), ARNm | 10.37 Abajo | 4.85E-04 |
| | A1905628 | CM-BT094 BT094-050299-147 Homo sapiens cDNA, secuencia de ARN | 10.36 Abajo | 1.49E-04 |
| 50 | BG622707 | 602647476F1 NIH MGC79 Homo sapiens ADNc clon IMAGE: 4768963 5, secuencia de ARNm | 10.35 Abajo | 1.73E-04 |
| 55 | W76003 | zd58g07.rl Homo sapiens Soares_fetal_heart_NbHH1 9W ADNc clon IMAGE: 344892 5, secuencia de ARNm | 10.32 Abajo | 1.58E-04 |
| 60 | H15096 | ym29ell.rl Soares cerebro infantil 1 NIB Homo sapiens clon de ADNc IMAGE: 49250 5, secuencia de ARNm | 10.23 Abajo | 1.80E-04 |
| 65 | | | | |

ES 2 569 421 T3

| | | | | |
|----|-----------|---|---------------|----------|
| | A1493349 | tg7OfO4.xl Soares_NhHMPu_S1 Homo sapiens ADNc clon IMAGE: 21 14143 3, secuencia de ARNm | 9.84 Abajo | 7.54E-05 |
| 5 | AK093762 | ADNc Homo sapiens FLJ36443 fis, clon THYMU2012891 | 9.76 Abajo | 8.07E-04 |
| 10 | BU570253 | AGENCOURT_1 0401698 NIH_MGC_82 Homo sapiens clon de ADNc IMAGE: 6618451 5, secuencia de ARNm | 9.71 Abajo | 3.65E-04 |
| 15 | NM_005855 | Homo sapiens receptor de (calcitonina) proteína actividad de modificación 1 (RAM P1), ARNm | 9.33 Abajo | 7.08E-05 |
| 20 | NM_003328 | Homo sapiens TXK quinasa tirosina (TXK), ARNm | 9.29 Abajo | 1.19E-04 |
| 25 | NM_003004 | Homo sapiens secretadas y transmembrana 1 (SECTM1), ARNm | 9.23 Abajo | 1.76E-04 |
| 30 | NM_005596 | Homo sapiens factor nuclear I / B (NFIB), ARNm | 9.23 Abajo | 4.97E-05 |
| 35 | BC039450 | Homo sapiens, clon IMAGE: 5311619, ARNm | 9.07 Abajo | 1.13E-04 |
| 40 | NM_003973 | Homo sapiens proteína ribosomal L14 (RPL14), ARNm | 8.98 Abajo | 6.60E-05 |
| 45 | BM675270 | UI-E-EJO-ahr-j-07-0-ULsI UI-E-EJO Homo sapiens clon de ADNc UI-E-EJO-ahr-j-07-0-UI 3, secuencia de ARNm | 8.96 Abajo | 1.34E-03 |
| 50 | NM_001311 | Homo sapiens proteína rica en cisteína 1 (Intestinal) (CRIP1), ARNm | 8.91 Abajo | 7.14E-05 |
| 55 | NM_000087 | Homo sapiens nucleótidos cíclicos cerrados canal alfa 1 (CNGA1), ARNm | 8.76 Abajo | 1.33E-03 |
| 60 | NM_002031 | Homo sapiens relacionado con la quinasa Fyn-(FRK), ARN | 8.67 Abajo | 1.14E-04 |
| 65 | NM_005279 | Homo sapiens acoplados a proteínas G receptor 1 (GPR1), ARNm | 8.51 Abajo | 4.16E-04 |

ES 2 569 421 T3

| | | | | |
|----|-----------|---|---------------|----------|
| | NM_004460 | Homo sapiens proteína de activación de fibroblasto, alfa (FAP), ARN | 8.51 Abajo | 7.71E-04 |
| 5 | BE904671 | 601498784F1 NIH_MGC_70 Homo sapiens ADNc clon IMAGE: 3900717 5, secuencia de ARNm | 8.46 Abajo | 1.73E-04 |
| 10 | NM_000612 | Homo sapiens factor de crecimiento insulínico tipo 2 (Somatomedina A) (IGF2), ARNm | 8.27 Abajo | 1.19E-04 |
| 15 | AL137488 | ARNm Homo sapiens ADNc DKFZp434N2O3O (a partir del clon DKFZp434N2030) | 8.23 Abajo | 1.13E-04 |
| 20 | NM_006288 | Homo sapiens Antígeno de superficie celular Thy-1 (Thy1), ARNm | 8.18 Abajo | 1.43E-03 |
| 25 | NM_002837 | Homo sapiens proteína tirosina fosfatasa, de tipo receptor, B (PTPRB), ARNm | 8.15 Abajo | 1.19E-03 |
| 30 | NM_030899 | Homo sapiens proteínas con dedos de zinc 323 (ZNF323), ARNm | 8.08 Abajo | 9.54E-05 |
| 35 | NM_002193 | Homo sapiens inhibina, beta B (activina AB polipéptido beta) (INHBB), ARNm | 8.07 Abajo | 1.90E-04 |
| 40 | BX537698 | ARNm Homo sapiens; ADNc DKFZp686F09166 (a partir del clonDKFZp686F09166) | 8.06 Abajo | 1.34E-03 |
| 45 | BC033567 | Homo sapiens, clon IMAGE: 4822266, ARNm | 8.04 Abajo | 1.88E-04 |
| 50 | NM_052997 | Homo sapiens anquirina de dominio de repetición 30A (ANKRD3OA), ARNm | 7.97 Abajo | 1.42E-03 |
| 55 | NM_178550 | Homo sapiens proteína hipotética MGC48998 (MGC48998), ARNm | 7.82 Abajo | 5.76E-04 |
| 60 | NM_178033 | Homo sapiens P450 citocromo, la familia 4, subfamilia X, polipéptido 1 (CYP4X1), ARNm | 7.81 Abajo | 8.00E-04 |
| 65 | NM_002924 | Homo sapiens regulador de la proteína G de señalización 7 (RGS7), ARNm | 7.8 Abajo | 5.38E-04 |
| | NM-012242 | Homo sapiens homólogo dickkopf 1 (<i>Xenopus laevis</i>) (DKKI), ARNm | 7.77 Abajo | 1.24E-04 |
| | AA740671 | obolh05.sl NCI_CGAP_Kid3 Homo sapiens ADNc clon IMAGE: 1322457 3, secuencia de ARNm | 7.74 Abajo | 2.22E-03 |
| | NM_005712 | Homo sapiens HERV-H-LTR asociado 1 (HHLA1), ARNm | 7.67 Abajo | 1.80E-04 |

ES 2 569 421 T3

| | | | | |
|----|-----------|--|---------------|----------|
| | BC040293 | Homo sapiens, clon IMAGE: 4820330, ARNm | 7.65 Abajo | 3.10E-04 |
| 5 | NM_000089 | Homo sapiens colágeno, tipo I, alfa 2 (COLIA2), ARNm | 7.64 Abajo | 1.17E-03 |
| 10 | NM_005654 | Homo sapiens receptor nuclear subfamilia 2, grupo F, miembro 1 (NR2F1), ARNm | 7.63 Abajo | 2.73E-04 |
| 15 | BE465134 | hv75el1xl NCI_CGAP_Lu24 Homo sapiens cDNA clon IMAGE: 3179276 3, secuencia de ARNm | 7.53 Abajo | 1.28E-03 |
| 20 | NM_002522 | Homo sapiens pentraxina neuronal Me (NPTX1), ARNm | 7.49 Abajo | 6.53E-04 |
| 25 | AK093529 | ADNc Homo sapiens FLJ36210 fis, clon THYMU2000155 | 7.47 Abajo | 1.18E-04 |
| 30 | NM_003662 | Homo sapiens Pirin (hierro-enlace nuclear proteína) (PIR), ARNm | 7.29 Abajo | 6.96E-05 |
| 35 | NM_001769 | Homo sapiens antígeno CD9 (p24) (CD9), ARNm | 7.23 Abajo | 1.80E-04 |
| 40 | AL359567 | ARNm Homo sapiens; ADNc DKFZp547DO23 (a partir del clon DKFZp547D023) | 7.21 Abajo | 1.24E-04 |
| 45 | BX647313 | ARNm Homo sapiens; ADNc DKFZp686N1593 (a partir del clonDKFZp686N1 593) | 7.19 Abajo | 1.19E-04 |
| 50 | NM_003979 | Homo sapiens acoplado a proteína G receptor, la familia C, grupo 5, miembro a (GPCR5A), ARNm | 7.18 Abajo | 1.63E-03 |
| 55 | AI365141 | qx96e07.xl NCI_CGAP_GC6 Homo sapiens ADNc clon IMAGE: 2010372 3, secuencia de ARNm | 7.04 Abajo | 3.01E-04 |
| 60 | CA948963 | iq3OfO5.yl HR85 islote Homo sapiens clon de ADNc IMAGE: 5, secuencia de ARNm | 7.03 Abajo | 8.55E-04 |
| 65 | NM_002977 | Homo sapiens canal de sodio, por voltaje cerrado, tipo IX, alfa (SCN9A), ARNm | 6.99 Abajo | 5.83E-05 |
| 70 | BC033124 | Homo sapiens, clon IMAGE: 2960615, ARNm | 6.86 Abajo | 6.60E-05 |
| 75 | NM_003385 | Homo sapiens visinina tipo 1 (VSNL1), ARNm | 6.73 Abajo | 1.26E-04 |

ES 2 569 421 T3

| | | | | |
|----|-----------|---|---------------|----------|
| | NM_013262 | Homo sapiens proteína de cadena interactuante de miosina reguladora de luz (MYLIP), ARNm | 6.65 Abajo | 1.66E-04 |
| 5 | NM_001843 | Homo sapiens contactina 1 (CNTN1), variante de transcripción 1, ARNm | 6.64 Abajo | 3.37E-03 |
| 10 | NM_006727 | Homo sapiens cadherina 10, tipo 2 (T2 cadherina) (CDH10), mRNA | 6.59 Abajo | 1.91E-03 |
| 15 | NM_016192 | Homo sapiens proteína transmembrana con el tipo EGF y dos dominios de follistatina similar 2 (TMEFF2), ARNm | 6.58 Abajo | 9.19E-05 |
| 20 | NM_031847 | Homo sapiens asociada a los microtúbulos proteína 2 (MAP2), variante de transcripción 4, ARNm | 6.57 Abajo | 1.13E-03 |
| 25 | CB115754 | K-ESTO159876 L8SCKO Homo sapiens clon de ADNc L8SCKO-8-H08 5, secuencia de ARNm | 6.55 Abajo | 8.55E-04 |
| 30 | NM_025074 | Homo sapiens síndrome Fraser 1 (FRAS1), variante de transcripción 1, ARNm | 6.52 Abajo | 4.97E-05 |
| 35 | NM_016206 | Homo sapiens proteína de carcinoma de colon relacionado (FLJ38507), ARNm | 6.45 Abajo | 5.30E-04 |
| 40 | BC015159 | ADNc Homo sapiens clonIMAGE: 3885734, cds parcial | 6.35 Abajo | 3.01E-04 |
| 45 | NM_005613 | Homo sapiens regulador de la proteína G señalización 4 (RGS4), ARNm | 6.33 Abajo | 1.62E-03 |
| 50 | W88428 | zh72g09.sl Soares_fetal_hígado_bazo_1NFLS_S1 Homo sapiens clon de ADNc IMAGE-417664 3, secuencia de ARNm | 6.28 Abajo | 7.53E-04 |
| 55 | NM_058187 | Homo sapiens cromosoma 21 marco de lectura abierto 63 (021 orf63), ARNm | 6.16 Abajo | 5.39E-03 |
| 60 | NM_020836 | Homo sapiens proteína asociada a quinasa de guanilato enriquecido de cerebro (KIAA1446), ARNm | 6.15 Abajo | 3.75E-03 |
| 65 | | | | |

ES 2 569 421 T3

| | | | | |
|----|-----------|---|---------------|----------|
| | BX107838 | BX107838 NCI_CGAP_Lu5 Homo sapiens ADNc clon IMAGp998A153853 IMAGEN: 1521686, secuencia de ARNm | 6.14 Abajo | 1.77E-03 |
| 5 | | | | |
| 10 | NM_004496 | Homo sapiens caja de cabeza de horquilla AI (FOXA1), ARNm | 6.13 Abajo | 1.94E-04 |
| 15 | NM_021637 | Homo sapiens proteína transmembrana 35 (TMEM35), ARNm | 6.1 Abajo | 2.12E-03 |
| 20 | NM_002521 | Homo sapiens péptido natriurético B precursoras (NPPB), ARNm | 6.1 Abajo | 4.86E-04 |
| | BF431041 | nab3IgO2.xi Soares_NSF_F8_9W_OT_PA_P_S1 Homo sapiens clon de ADNc IMAGE: 3267627 3, secuencia de ARNm | 6.08 Abajo | 7.63E-05 |
| 25 | NM_003713 | Homo sapiens ácido fosfatídico Tipo de fosfatasa 2B (PPAP2B), variante transcripción 1 ARNM | 6.05 Abajo | 6.44E-04 |
| 30 | AV728294 | AV728294 HTC ADNc Homo sapiens clon HTCBIEO9 5, secuencia de ARNm | 6.03 Abajo | 7.71E-05 |
| 35 | NM_002148 | Homo sapiens homeobox D10 (HOXD10), ARNm | 6.01 Abajo | 7.14E-05 |
| 40 | NM-176891 | Homo sapiens interferón épsilon 1 (IFNE1), ARNm | 6 Abajo | 7.48E-04 |
| | NM_002317 | Homo sapiens lisil oxidasa (LOX), ARNm | 5.99 Abajo | 3.17E-04 |
| 45 | NM_016179 | Homo sapiens receptor transitorio potencial canal catiónico, subfamilia C, miembro 4 (TRPC4), ARNm | 5.99 Abajo | 9.19E-05 |
| 50 | AW134473 | IU-H-BLL-ABV-a-1 1-0-UI.sI NCI_CGAP_Sub3 ADNc Homo sapiensIMAGEN clon: 2712885 3, secuencia de ARNm | 5.98 Abajo | 7.04E-05 |
| 55 | NM_005130 | Homo sapiens del factor de crecimiento de fibroblastos proteína de unión 1 (FGFBP1), ARNm | 5.95 Abajo | 5.89E-04 |
| 60 | AW512111 | xx7OeO5.xI NCICGAP_Lyml2 Homo sapiens ADNc clon IMAGE: 2849024 3 similar a contiene el elemento ;, secuencia de ARNm repetitivo Alu | 5.93 Abajo | 4.97E-05 |
| 65 | | | | |

ES 2 569 421 T3

| | | | | |
|----|-----------|--|---------------|----------|
| 5 | NM_020349 | Homo sapiens dominio de repetición de anquirina 2 (músculos que responden al estiramiento) (ANKRD2), ARNm | 5.91 Abajo | 1.18E-04 |
| 10 | NM_001083 | Homo sapiens 5A fosfodiesterasa, cGMP-específica (PDE5A), transcripción variante 1, ARNm | 5.88 Abajo | 3.74E-03 |
| 15 | H94320 | yvl8blO.sl Soares bazo hígado fetal 1 NFLS ADNc Homo sapiens clon IMAGE: 243067 3, secuencia de ARNm | 5.83 Abajo | 3.18E-02 |
| | NM_032461 | Homo sapiens SPANX familia, miembro Bi (SPANXB1), ARNm | 5.8 Abajo | 1.08E-03 |
| 20 | BM994473 | UI-H-DHO-aul-I-18-0-Ui.sl NCI_CGAP_DHO ADNc Homo sapiens clon IMAGE: 5871137 3, secuencia de ARNm | 5.79 Abajo | 1.10E-04 |
| | BE540906 | 601063027F1 NIH_MGC_10 ADNc Homo sapiens clon IMAGE.-3449455 5, secuencia de ARNm | 5.79 Abajo | 4.45E-05 |
| 25 | NM_033255 | Homo sapiens interacción epitelial del estroma 1 (mama) (EPSTM), ARNm | 5.75 Abajo | 8.55E-04 |
| 30 | BU616268 | UI-H-DFO-Bex-n-1 2-0-Ui.sl NCI_CGAP_DFO ADNc Homo sapiens clon UI-H-DFO-Bex-n-1 2-0 3-Ui, secuencia de ARNm | 5.73 Abajo | 6.74E-04 |
| | BX112170 | BX112170 Soares heart_N fetal bH H 19W ADNc Homo sapiens clon IMAGp998007742; IMAGE: 327390, secuencia de ARNm | 5.73 Abajo | 7.32E-04 |
| 35 | BC015108 | Homo sapiens, similar a otoconina 90, IMAGE clon: 4044247, ARNm | 5.72 Abajo | 2.40E-03 |
| 40 | NM_000576 | Homo sapiens interleucina 1, beta (IL1B), ARNm | 5.7 Abajo | 2.97E-03 |
| 45 | AW470868 | ha34h03.xl NCI_CGAP_Kid12 Homo sapiens cDNA clon IMAGE: 2875637 3, secuencia de ARNm | 5.7 Abajo | 2.31E-03 |
| 50 | AK093069 | ADNc Homo sapiens FLJ35750 fis, clonTEST12004539, débilmente similar a Homo sapiens ARNm adlican | 5.7 Abajo | 1.11E-03 |
| 55 | NM_032330 | Homo sapiens calpaína, pequeña subunidad 2 (CAPNS2), ARNm | 5.68 Abajo | 4.44E-03 |
| 60 | U51694 | HSU51694 ADNc Homo sapiens humano normal de la encía, secuencia de ARNm | 5.62 Abajo | 1.02E-04 |
| 65 | NM_004335 | Homo sapiens médula ósea de células stromal antígeno 2 (BST2), ARNm | 5.61 Abajo | 2.84E-03 |

ES 2 569 421 T3

| | | | | |
|----|-----------|--|---------------|----------|
| | BF431460 | 7o14b05xl NCI CGAPKid11 Homo sapiens ADNc clon IMAGE: 3573849 3, secuencia de ARNm | 5.59 Abajo | 7.53E-04 |
| 5 | BC046362 | Homo sapiens proteína dependiente de la tensión de canales de calcio de subunidad similar a gamma, ARNm (ADNc clon MGC: 50757 IMAGE: 5221 396), cds completos | 5.59 Abajo | 8.07E-04 |
| 10 | NM_000961 | Homo sapiens prostaglandina 12 (Prostaciclina) sintasa (PTGIS), ARNm | 5.57 Abajo | 1.01E-03 |
| 15 | AK022877 | ADNc Homo sapiens FLJ12815 nosotros, clon NT2RP2002546 | 5.56 Abajo | 4.04E-05 |
| 20 | NM_002277 | Homo sapiens queratina, pelo, ácido, 1 (KRTHA1), ARNm | 5.51 Abajo | 3.04E-04 |
| 25 | AK092245 | ADNc Homo sapiens FLJ34926 fis, clon NT2RP7003319, muy similares a Mus ARNm neuralina musculus | 5.49 Abajo | 1.40E-03 |
| 30 | NM_002427 | Homo sapiens matriz metaloproteinasa 13 (colagenasa 3) (MMP1 3), ARNm | 5.47 Abajo | 4.45E-04 |
| 35 | BM991890 | UI-H-DF1-auk-h-02-0-UI.sl NCI_CGAP_DF1 ADNc Homo sapiens IMAGEN clon-.5870641 3, secuencia de ARNm | 5.39 Abajo | 7.53E-04 |
| 40 | NM_002575 | Homo sapiens serina (o cisteína) inhibidor de proteinasa, clade B (ovoalbúmina), miembro 2 (SERPINB2), ARNm | 5.39 Abajo | 9.60E-03 |
| 45 | NM_000782 | Homo sapiens citocromo P450, la familia24, subfamilia A, polipéptido 1(CYP24A1), codificación de genes nuclearesproteína mitocondrial, ARNm | 5.36 Abajo | 1.31E-02 |
| 50 | NM_016276 | Homo sapiens suero / glucocorticoides quinasa regulada 2 (SGK2), variante de transcripción 2, ARNm | 5.34 Abajo | 6.73E-04 |
| 55 | AK024689 | ADNc Homo sapiens: FLJ21036 fis, clon CAE09578 | 5.32 Abajo | 1.36E-04 |
| 60 | N78829 | zbl7aO5.sl Homo Soares_fetal_lung_NbHL19W sapiens clon de ADNc IMAGE-302288 3, secuencia de ARNm | 5.31 Abajo | 6.00E-03 |
| 65 | | | | |

ES 2 569 421 T3

| | | | | | |
|----|-----------|--|---------------|----------|--|
| | | | | | |
| 5 | AL080103 | ARNm Homo sapiens; ADNc DKFZp564N2216 (a partir del clon DKFZp564N2216) | 5.26 Abajo | 1.61E-04 | |
| 10 | BC035400 | Homo sapiens, clon IMAGE: 4822830, ARNm | 5.17 Abajo | 1.13E-02 | |
| 15 | AK056725 | ADNc Homo sapiens FLJ32l63fis, el clon PLACE6000371 | 5.13 Abajo | 3.72E-04 | |
| 20 | AK025595 | ADNc Homo sapiens: FLJ2l942fis, clon HEP04527 | 5.12 Abajo | 1.56E-02 | |
| | NM_015236 | Homo sapiens latrophilina 3 (LPHN3), ARNm | 5.11 Abajo | 3.14E-04 | |
| 25 | NM_012411 | Homo sapiens proteína tirosina, fosfatasa, tipo no receptor 22 (Linfoide) (PTPN22), variante de transcripción 2, ARNm | 5.1 Abajo | 2.78E-03 | |
| 30 | A1190760 | qd6lcO5.xl Soares_testis_NHT Homo sapiens clon de ADNc IMAGE: 1733960 3, secuencia de ARNm | 5.08 Abajo | 2.24E-03 | |
| 35 | NM_139241 | Homo sapiens FYVE, RhoGEF y PH dominio que contiene 4 (FGD4), ARNm | 5.04 Abajo | 6.92E-03 | |
| | NM_033066 | Homo sapiens proteína de membrana, palmitoilato 4 (p55 subfamilia MAGUK miembro 4) (MPP4), ARNm | 5.04 Abajo | 7.11E-03 | |
| 40 | BG573337 | 602595107F1 NIH_MGC_79 Homo sapiens ADNc clon IMAGE: 4724521 5, secuencia de ARNm | 5.03 Abajo | 5.60E-03 | |
| 45 | AA158235 | zo76b02.sl Stratagene páncreas(#937208) Homo sapiens clon de ADNcIMAGE.-592779 3, secuencia de ARNm | 5.01 Abajo | 7.10E-03 | |
| 50 | BX092004 | BX092004 NCI CGAP Kidi 1 Homo sapiens ADNc clon 95924 IMAGp998B1 IMAGE-.2385330, secuencia de ARNm | 5.01 Abajo | 1.69E-02 | |
| 55 | AK058040 | ADNc Homo sapiens FLJ2531 1 fis, clon SYNO1066 | 5 Abajo | 1.76E-03 | |
| 60 | | | | | |

TABLA VII D: GENES QUE SE EXPRESARON DIFERENCIALMENTE EN AL MENOS 5 VECES EN AF-I FRENTE A LAS CÉLULAS A PLAZO AF-I

| 5 | Identificador gen | de Nombre de gen | Cambio de pliegue medio en células de fibroblasto versus AF | Dirección | P-valor adj. |
|----|----------------------------------|---|---|----------------------------------|----------------------------------|
| 10 | NM_006228 | Homo sapiens prepronociceptin (PNOC), ARNm | | 64.08 UP | 1.14E-04 |
| 15 | NM_006439 | Homo sapiens mab-21 similar a 2 (<i>C. elegans</i>) (MAB2IL2), ARNm | | 47.74 UP | 1.03E-04 |
| 20 | AK092245 AK056431 | ADNc Homo sapiens FLJ34926 fis, clon NT2RP7003319, muy similares a <i>Mus musculus</i> neuralina ARNm ADNc Homo sapiens FLJ31 869 fis, clon NT2RP7002151 | | 44.83 UP 35.22 UP | 8.97E-05 5.97E-05 |
| 25 | NM_015170 | Homo sapiens sulfatasa 1 (SULF1), ARNm | | 30.43 UP | 1.53E-04 |
| 30 | NM_0018 NM_002487 BC037316 | Homo sapiens proteína de unión de hialuronano y proteoglicanos 1 (HAPLN1), ARNm Homo sapiens homólogo de necdina (ratón) (NDN), ARN Homo sapiens, clon IMAGE:-5259432, ARNm | | 27.82 UP 25.93 UP 25.16 UP | 3.92E-05 2.07E-04 5.97E-05 |
| 35 | NM_020873 | Homo sapiens repeticiones ricas en leucina neuronal 1 (LRRN1), ARNm | | 24.74 UP | 6.46E-05 |
| 40 | H89053 | yw24c06.rl Morton fetal cóclea Homo sapiens ADNc clon IMAGE: 253162 5, secuencia ARNm | | 23.95 UP | 6.63E-05 |
| 45 | NM_002148 NM_014421 | Homo sapiens homeobox D10 (HOXD10), ARNm Homo sapiens Dickkopf homólogo 2 (<i>Xenopus laevis</i>) (DKK2), ARNm | | 20.48 UP 20.41 UP | 8.97E-05 6.46E-05 |
| 50 | NM_016212 | Homo sapiens proteína TP53TG3 (TP53TG3), ARNm | | 20.08 UP | 5.97E-05 |
| 55 | NM_080743 | Homo sapiens proteína represora de serina-arginina (35 kDa) (SRrp35), ARNm | | 19.58 UP | 6.46E-05 |
| 60 | NM_000170 | Homo sapiens glicina deshidrogenasa (descarboxilación; descarboxilasa glicina, proteína de glicina del sistema de escisión P) (GLDC), ARNm | | 18.22 UP | 9.61E-05 |

ES 2 569 421 T3

| | | | | |
|----|-----------|---|-------------|----------|
| | BX647313 | ARNm de Homo sapiens; ADNc DKFZp686N1593 (de hecho DKFZp686N1593) | 17.47 UP | 6.46E-05 |
| 5 | NM_007361 | Homo sapiens nidogen 2 (osteonidogen) (NID2), ARNm | 17.41 UP | 9.75E-05 |
| 10 | NM_007072 | Homo sapiens HERV-H LTR-2 asociado (HHLA2), ARNm | 16.06 UP | 9.61E-05 |
| 15 | NM_152359 | Homo sapiens carnitina palma itoiltransferasa IC (CPT1c), ARNm | 15.65 UP | 2.26E-04 |
| 20 | NM_002899 | Homo sapiens unión de proteína retinol 1, celular (RBP1), ARNm | 15.47 UP | 1.40E-04 |
| 25 | NM_005531 | Homo sapiens interferón, proteína de gamma-inducible 16 (1F116), ARNm | 15.18 UP | 1.67E-04 |
| 30 | NM_021192 | Homo sapiens homeobox D11 (HOXD11), ARNm | 15.05 UP | 1.11E-04 |
| 35 | NM_016307 | Homo sapiens emparejados homeobox relacionado 2 (PRRX2), ARNm | 14.33 UP | 5.97E-05 |
| 40 | AA738254 | nxl3bO2.sl NCI_CGAP_GC3 Homo sapiens clon de ADNc IMAGE: 1255947 3, secuencia de ARNm | 14.27 UP | 1.64E-05 |
| 45 | BE788763 | 601475864F1 NIH_MGC_68 Homo sapiens ADNc clon IMAGEN: 3879014 5, secuencia de ARNm | 14.17 UP | 1.40E-04 |
| 50 | NM_030627 | Homo sapiens poliaderilación citoplasmática elemento de unión de proteína 4 (CPEB4), ARNm | 14.01 UP | 1.40E-04 |
| 55 | BX113319 | BX113319 NCI_CGAP_Gas4 Homo sapiens ADNc clon 1MAGp998G205398; IMAGE: 218461 9, secuencia de ARNm | 13.62 UP | 5.09E-05 |
| 60 | NM_025074 | Homo sapiens síndrome de Fraser 1 (FRAS1), variante de transcripción 1, el ARNm | 13.55 UP | 5.09E-05 |
| 65 | NM_001311 | Homo sapiens proteínas ricas en cisteína 1 (intestinal) (CRIP1), ARNm | 13 UP | 8.97E-05 |

ES 2 569 421 T3

| | | | | |
|----|-----------|---|-------------|----------|
| | NM_138394 | Homo sapiens proteína hipotética B0008217 (L0C92906), ARNm | 12.64 UP | 2.09E-04 |
| 5 | BF431313 | 7o11d09.xl NCI_CGAP_Kid11 Homo sapiens clon de ADNc IMAGE: 3573928 3, secuencia de ARNm | 12.04 UP | 1.10E-04 |
| 10 | NM_133504 | Homo sapiens decorina (DCN), variante de transcripción B, ARNm | 11.74 UP | 2.01E-04 |
| 15 | BU567804 | Agencourt_10398872 NIH MGC82 Homo sapiens ADNc clon IMAGE: 6614502 5, secuencia de ARNm | 11.67 UP | 5.09E-05 |
| 20 | CA437861 | UI-H-DHO-aur-k-1-UI 2-0-sl NCI_CGAP_DHO ADNc Homo sapiens clon UI-H-DHO-aur-k-12-0-UI 3, secuencia de ARNm | 10.89 UP | 4.99E-05 |
| 25 | BF431041 | nab3IgO2.xl Soares_NS F_F8_9W_OT_PA_P_S1 Homo sapiens ADNc clon IMAGE: 3267627 3, secuencia de ARNm | 10.78 UP | 3.92E-05 |
| 30 | NM_138966 | Homo sapiens neuropilina (PNR) y Tollido (TLL) similar a 1 (Neto1), variante de transcripción 3, ARNm | 10.4 UP | 8.97E-05 |
| 35 | BU633163 | IU-H-FL1-bgt-n-07-0-D I .SI NC_CGAP_FL1 ADNc Homo sapiens clon de IU-H-FL1-BGT-n-07-0-UI 3, secuencia de ARNm | 10.32 UP | 6.63E-05 |
| 40 | M60502 | ARNm profilagrina humana, 3 fin | 10.26 UP | 1.40E-04 |
| 45 | NM_177949 | Homo sapiens repetición armadillo que contiene, X-vinculado 2 (ARMCX2), ARNm | 9.9 UP | 1.62E-04 |
| 50 | BG622707 | 602647476F1 NIH_MGC_79 Homo sapiens clon de ADNc de IMAGE: 4768963 5, secuencia ARNm | 9.78 UP | 1.24E-04 |
| 55 | AL834140 | ARNm Homo sapiens; ADNc DKFZp434A2029 (a partir del clon DKFZp434A2029) | 9.75 UP | 1.34E-04 |
| 60 | NM_020353 | Homo sapiens escramblasa fosfolípido 4 (PLSCR4), ARNm | 9.71 UP | 8.97E-05 |
| 65 | AI905628 | CM-BT094 BT094-050299-147 Homo sapiens ADNc, secuencia de ARNm | 9.65 UP | 1.03E-04 |

ES 2 569 421 T3

| | | | | |
|----|-----------|--|------------|----------|
| | NM_005712 | Homo sapiens HERV-H LTR-1 asociado (HHLA1), ARNm | 9.52 UP | 1.10E-04 |
| 5 | NM_003328 | Homo sapiens TXK tirosina quinasa (TXK), ARNm | 9.49 UP | 2.35E-04 |
| 10 | AK095573 | ADNc Homo sapiens FLJ38254 fis, clon FCBBF3000847 | 9.39 UP | 3.92E-05 |
| 15 | NM_003973 | Homo sapiens proteína ribosomal L14 (RPL14), ARNm | 9.37 UP | 9.74E-05 |
| 20 | AL137698 | ARNm Homo sapiens; ADNc DKFZp434C1915 (de clon DKFZp434C1 915); cds parcial | 9.32 UP | 1.48E-03 |
| | NM_033480 | Homo sapiens ARNm proteínas F-box 9 (FBXO9), variante de transcripción 2 | 9.29 UP | 1.40E-04 |
| 25 | NM_016588 | Homo sapiens Neuritina 1 (NRN1), ARNm | 9.16 UP | 4.09E-04 |
| 30 | AK127309 | ADNc Homo sapiens FLJ45377 fis, clon BRH1P3019956 | 9 UP | 4.86E-04 |
| | NM_207482 | Homo sapiens proteína FLJ44048 (FLJ44048) ARNm | 8.93 UP | 4.37E-04 |
| 35 | BE464407 | hx89g05.xl NCI_CGAP_Kid11 Homo sapiens clon de ADNc IMAGE-3195032 3, ARNm | 8.92 UP | 6.16E-04 |
| 40 | NM_178033 | Homo sapiens secuencia de citocromo P450, la familia 4, subfamilia X, polipéptido 1 (CYP4X1), ARNm | 8.59 UP | 1.35E-04 |
| 45 | NM_001854 | Homo sapiens colágeno, tipo XI, alfa 1 (col1 1 A1), variante de transcripción A, ARNm | 8.58 UP | 4.86E-04 |
| 50 | NM_005141 | Homo sapiens fibrinógeno, B polipéptido beta (FGB), ARNm | 8.52 UP | 5.39E-04 |
| | NM_022454 | Homo sapiens SRY (región determinante del sexo Y) - caja 17 (SOX17), ARNm | 8.52 UP | 6.46E-05 |
| 55 | A1651524 | wbO6gO7.xl NCI_CGAP_GC6 Homo sapiens clon de ADNc IMAGE: 2304924 3, secuencia ARNm | 8.5 UP | 3.47E-04 |
| 60 | AI288404 | qv89bOI xl NCI_CGAPUt2 Homo sapiens clon de ADNc IMAGE-.1988713 3, secuencia de ARNm | 8.22 UP | 3.47E-04 |
| 65 | AL359058 | Homo sapiens ARNm de longitud completa de ADNc inserte clon EUROIMAGE 592473 | 8.12 UP | 1.82E-04 |

ES 2 569 421 T3

| | | | | |
|----|-----------|---|------------|----------|
| 5 | NM_002427 | Homo sapiens metaloproteinasas de matriz 13 (colagenasa 3) (MMP1 3), el ARNm | 7.92 UP | 2.93E-04 |
| 10 | AJ318805 | Homo sapiens AJ318805 adiposo tejido Homo sapiens clon de ADNc de 2040, secuencia de ARNm | 7.91 UP | 1.03E-04 |
| 15 | BC033124 | Homo sapiens, clon IMAGE: 2960615, ARNm | 7.83 UP | 6.63E-05 |
| 20 | B1561641 | 603256058F1 NIH_MGC_97 Homo sapiensclon de ADNc IMAGE-.5298374 5, secuencia de ARNm | 7.82 UP | 1.18E-03 |
| 25 | AK054960 | ADNc Homo sapiens FLJ3O398fis, clon BRACE20084O2, muy similar a Homo sapiens receptor de esteroides ARN activador isoforma 3 ARNm | 7.67 UP | 1.12E-03 |
| 30 | NM_174900 | Homo sapiens proteínas dedo de zinc 42 (ZFP42), ARNm | 7.64 UP | 1.40E-04 |
| 35 | NM_007099 | Homo sapiens fosfatasa ácida 1, soluble en (ACP1), variante de transcripción 2, ARNm | 7.6 UP | 1.36E-03 |
| 40 | BC015108 | Homo sapiens, similar a otoconina 90, el clon IMAGE: 4044247, ARNm | 7.54 UP | 6.63E-05 |
| 45 | A1640484 | wa27fOi.xl NCI_CGAP_Kid11 Homo sapiens clon de ADNc IMAGE: 2299321 3, secuencia de ARNm | 7.49 UP | 1.03E-03 |
| 50 | AK001099 | ADNc Homo sapiens FLJ10237 fis, clon HEMBB1000438 | 7.49 UP | 9.13E-04 |
| 55 | AB033037 | ARNm Homo sapiens para la proteína KIAA1211, cds parcial | 7.34 UP | 7.16E-05 |
| 60 | BC033567 | Homo sapiens, clon IMAGE: 4822266, ARNm | 7.29 UP | 1.67E-04 |
| 65 | NM-001144 | Homo sapiens motilidad autócrina receptora del factor de (AMFR), variante de transcripción 1, ARNm | 7.23 UP | 3.06E-04 |
| | A1792194 | ovO3cO2.y5 NCI_CGAP_Kid3 Homo sapiens clon de ADNc IMAGE: 1636226 5, secuencia de ARNm | 7.23 UP | 4.37E-04 |
| | A1939297 | oy5OgO8.x5 NCI_CGAP_Brn23 Homo sapiens clon de ADNc IMAGE: 1669310 3, secuencia de ARNm | 7.21 UP | 1.87E-04 |
| | BF512544 | UI-H-BW1-amf-c-08-0-UI.s1 NCI_CGAP_Sub7 Homo sapiens clon de ADNc IMAGE: 3069687 3, secuencia de ARNm | 7.17 UP | 8.19E-05 |

ES 2 569 421 T3

| | | | | |
|----|-----------|---|---------|----------|
| 5 | NM_005654 | Homo sapiens subfamilia de receptores nucleares 2, el grupo F, miembro 1 (NR2F1), ARNm | 7.09 UP | 6.63E-05 |
| 10 | H94320 | yvl8blO.si Soares bazo hígado fetal 1NFLS Homo sapiens clon de ADNc IMAGE: 243067 3 | 6.65 UP | 2.20E-03 |
| 15 | NM_000557 | Homo sapiens secuencia de ARNm de factor de diferenciación de crecimiento 5 (derivada de cartílago proteína morfogenética-1) (GDF5), ARNm | 6.5 UP | 1.74E-03 |
| 20 | | | | |
| 25 | H15096 | ym29e11.r1 Soares cerebro infantil 1NIB Homo sapiens clon de ADNc IMAGE: 49250 5, secuencia de ARNm | 6.48 UP | 5.09E-05 |
| 30 | NM_002515 | Homo sapiens neuro-oncológica ventral antígeno 1 (Nova1), variante de transcripción 1, ARNm | 6.25 UP | 5.77E-05 |
| 35 | NM_005130 | Homo sapiens factor de crecimiento de fibroblastos unión de proteína 1 (FGFBPI), ARNm | 6.13 UP | 1.03E-04 |
| 40 | BM675270 | UI-E-EJ0-ahr-j-07-0-UI.sl UI-E-EJ0 Homo sapiens clon de ADNc de IU-E-EJ0-ahr-j-07-0-UI 3, secuencia de ARNm | 6.1 UP | 1.23E-03 |
| 45 | AW268540 | xv5lelO.xl NCI_CGAP_Lu28 Homo sapiens ADNc clon IMAGE: 2816682 3, secuencia de ARNm | 6.09 UP | 1.09E-04 |
| 50 | NM_004390 | Homo sapiens catepsina H (CSP), variante de transcripción 1, ARNm | 6.03 UP | 1.03E-04 |
| 50 | BM468332 | Agencourt_6432296 NIH MGC 71 Homo sapiens ADNc clon IMAGE: 5535773 5, secuencia ARNm | 5.97 UP | 7.63E-05 |
| 55 | NM_052997 | Homo sapiens dominio de repetición de anquirina 30A (ANKRD3OA), ARNm | 5.87 UP | 3.09E-03 |
| 60 | AK123319 | ADNc Homo sapiens FLJ41325 fis, clon BRAMY2046871 | 5.81 UP | 3.81E-04 |
| 65 | NM_004235 | Homo sapiens factor similar a Kruppel 4 (intestino) (KLF4), ARNm | 1.81 UP | 5.77E-04 |

ES 2 569 421 T3

| | | | | |
|----|------------|--|------------|----------|
| 5 | BC042976 | Homo sapiens clon de ADNc IMAGE: 5295023, cds parciales | 5.76 UP | 2.39E-03 |
| 10 | AA740671 | obolh05.sl NCI_CGAP_Kid3 Homo sapiens clon de ADNc IMAGE: 1322457 3, secuencia de ARNm | 5.61 UP | 3.06E-03 |
| 15 | NM_000087 | Homo sapiens nucleótidos cíclicos cerrados canal de alfa 1 (CNGA1), ARNm | 5.53 UP | 2.39E-03 |
| 20 | NM_018476 | Homo sapiens cerebro expresado, ligado al cromosoma X 1 (BEX1), ARNm | 5.52 UP | 1.07E-03 |
| 25 | BX107838 | BX107838 NCI_CGAP_Lu5 Homo sapiens clon de ADNc IMAGp998A153853; IMAGE: 1521686, secuencia de ARN | 5.41 UP | 2.69E-03 |
| | NM_145201 | Homo sapiens similar al producto del gen CG3714 (PP3856), ARNm | 5.36 UP | 5.77E-05 |
| 30 | NM_005069 | Homo sapiens homólogo de una sola mente 2 (DrosophUa) (SIM2), variante de transcripción SIM2, ARNm | 5.34 UP | 7.88E-05 |
| | NM_004753 | Homo sapiens deshidrogenasa / reductasa (DEG familia) miembro 3 (DHR3), ARNm | 5.32 UP | 4.71E-04 |
| 35 | NM_002338 | Homo sapiens sistema asociado límbico, proteína de membrana (LSAMP), ARNm | 5.32 UP | 6.88E-04 |
| 40 | NM_0335518 | Homo sapiens familia de transportadores de soluto 38, miembro 6 (SLC38A5), ARNm | 5.28 UP | 3.14E-03 |
| 45 | BX117317 | NCI_CGAP_Co3 Homo sapiens BX117317 clon de ADNc 1MAGp998E242234; IMAGE: 900095, secuencia de ARNm | 5.22 UP | 1.36E-03 |
| 50 | CB115754 | K-ESTO159876 L8SCKO ADNc Homo sapiens clon L8SCKO-8-H08 5, secuencia de ARNm | 5.21 UP | 1.22E-03 |
| 55 | AL359567 | ARNm de Homo sapiens; ADNc DKFZp547D023 (a partir del clon DKFZp5470023) | 5.18 UP | 5.41E-04 |
| 60 | NM_020353 | Homo sapiens scramblasa 4 fosfolípido (PLSCR4), ARNm | 5.13 UP | 1.36E-03 |
| 65 | NM_002515 | Homo sapiens antígeno ventral neuro-oncológico 1 (Nova1), variante de transcripción 1, ARNm | 5.12 UP | 9.13E-04 |

ES 2 569 421 T3

| | | | | |
|----|-----------|--|-------------|----------|
| 5 | U51694 | HSU51694 Encía normal humana Homo sapiens de ADNc, secuencia de ARNm | 5.11 UP | 1.10E-04 |
| 10 | NM_006546 | Homo sapiens IGF-II ARNm proteína de unión 1 (IMP-1), ARNm | 5.1 UP | 2.50E-03 |
| 15 | BG573337 | 602595107F1 NIH_MGC_79 Homo sapiens clon de ADNc IMAGE: 4724521 5, secuencia de ARNm | 5.1 UP | 5.54E-03 |
| 20 | NM_006727 | Homo sapiens cadherina 10, tipo 2 (T2-cadherina) (CDH10), ARNm | 5.01 UP | 3.47E-03 |
| 25 | NM_014358 | Homo sapiens de tipo C (dependiente de calcio, dominio de reconocimiento de carbono) de la lectina de hidratos, miembro de la superfamilia 9 (CLECSF9), ARNm | 36.05 Abajo | 3.68E-04 |
| 30 | | | | |
| 35 | NM-021013 | Homo sapiens queratina, pelo, ácida, 4 (KRTHA4), ARNm | 33.84 Abajo | 9.33E-04 |
| | BM988338 | UI-H-DH0-asd-f-10-0-Ui.s1 NCI_CGAP_DH0 ADNc Homo sapiens clon IMAGE: 5857545 3, secuencia de ARNm | 31.23 Abajo | 4.43E-03 |
| 40 | | | | |
| 45 | BC039369 | Homo sapiens, clon IMAGE-.5271073, ARNm, cds parciales | 25.01 Abajo | 1.51E-03 |
| | BE877764 | 601486331FI NIH_MGC_69 Homo sapiens clon de ADNc IMAGE: 3888943 5, secuencia de ARNm | 24.69 Abajo | 5.74E-03 |
| 50 | | | | |
| 55 | AW300043 | xs45a09.xl NCI_CGAP_Kid11 Homo sapiensclon de ADNc IMAGE: 2772568 3, secuencia ARNm | 21.86 Abajo | 1.45E-02 |
| | BQ025821 | IU-I-BB1 p-aye-f-10-0-Ui.s1 NCI_CGAP_P16 ADNc Homo sapiens clon UI-1-BB1p-aye-f-10-0-Ui 3, secuencia de ARNm | 20.35 Abajo | 7.39E-03 |
| 60 | BQ003501 | IU-H-EI1-azd-p-06-0-Ui.s1 NCI_CGAP_EI1 ADNc Homo sapiens clon IMAGE: 5847413 3, secuencia de ARNm | 19.16 Abajo | 9.49E-04 |
| 65 | | | | |

ES 2 569 421 T3

| | | | | |
|----|-----------|---|----------------|----------|
| 5 | NM_013387 | Homo sapiens ubiqüinol-citocromo c complejo de reductasa (7,2 KD) (HSPCO51), variante de transcripción 1, ARNm | 18.22 Abajo | 1.43E-04 |
| 10 | CA391258 | csl3aiO.xl Pigmento Retinal Humano epitelio / ADNc coroides (no normalizado, sin amplificar): clon de ADNc Homo sapiens cs csl3a10 3, secuencia de ARNm | 17.83 Abajo | 3.92E-05 |
| 15 | | | | |
| 20 | AV702977 | AV702977 ADB clon ADNc Homo sapiensADBCVDO8 5, secuencia de ARNm | 17.04 Abajo | 1.41E-02 |
| 25 | NM_015714 | Homo sapiens G0/G1 linfocitos putativo gen interruptor (GOS2), ARNm | 15.4 Abajo | 9.27E-03 |
| 30 | H85497 | yv88b07.rl Soares melanocito 2NbHM Homo sapiens clon de ADNc IMAGE.-249781 5, secuencia de ARNm | 14.88 Abajo | 1.03E-04 |
| 35 | NM_014226 | Homo sapiens antígeno renal tumoral (RAGE), ARNm | 14.77 Abajo | 2.43E-03 |
| 40 | AK023647 | ADNc Homo sapiens FLJ13585 fis, clon PLACE1009150 | 14.09 Abajo | 1.22E-03 |
| 45 | AK128288 | ADNc Homo sapiens FLJ46426 fis, clon THYMU301 3897 | 12.83 Abajo | 2.34E-02 |
| 50 | NM017852 | Homo sapiens NACHT, con repeticiones ricas en leucina y la PYD que contiene 2 (NALP2), ARNm | 12.69 Abajo | 1.36E-03 |
| 55 | NM_024336 | Homo sapiens proteína iroquois homeobox 3 (Irx3), ARNm | 12.29 Abajo | 1.29E-02 |
| 60 | NM_004591 | Homo sapiens quimiocina (motivo C-C) 20 ligando (CCL2O), ARNm | 11.11 Abajo | 3.13E-02 |
| 65 | BF515657 | UI-H-BW1-anu-e-05-0-UI.sl NCICGAPSub7 ADNc Homo sapiens clon IMAGE: 3083601 3, secuencia de ARNm | 11.02 Abajo | 1.26E-02 |
| | W69644 | zd45fl Ori Soares cardíaca fetal NbHH 19W Homo sapiens ADNc clon IMAGEN: 343627 5, secuencia de ARNm | 10.54 Abajo | 8.66E-03 |

ES 2 569 421 T3

| | | | | |
|----|-----------|---|---------------|----------|
| 5 | AL832916 | Homo sapiens ARNm; ADNc DKFZp762I0915 (a partir del clon DKFZp762I0915) | 9.98 Abajo | 1.94E-03 |
| 10 | NM_005739 | RAS Homo sapiens ciclase liberación de la proteína 1 (calcio y regulado por el DAG) (RASGRP1), ARNm | 9.82 Abajo | 3.85E-03 |
| 15 | BF000009 | 7h15g04x1 NCI_CGAP_Co16 Homo sapiens ADNc clon IMAGE: 3316086 3, secuencia de ARNm | 9.64 Abajo | 1.78E-02 |
| 20 | NM_012105 | Homo sapiens Enzima sitio beta APP de escisión 2 (BACE2), variante de transcripción a, ARNm | 9.3 Abajo | 1.50E-04 |
| 25 | BU569937 | Agencourt_NIH MGC82 Homo sapiens clon de ADNc IMAGE: 6618011 5, secuencia de ARNm | 9.27 Abajo | 3.61E-02 |
| 30 | NM_032782 | Homo sapiens virus de hepatitis A receptor celular 2 (HAVCR2), ARNm | 8.92 Abajo | 6.61E-03 |
| 35 | NM_1979 | Homo sapiens mucosa normal del esófago específico 1 (NMES1), variante de transcripción 1, ARNm | 8.82 Abajo | 4.10E-03 |
| 40 | NM_003810 | Homo sapiens factor de necrosis tumoral (ligando) superfamilia, miembro 10 (TNFSF10), ARNm | 8.08 Abajo | 2.84E-04 |
| 45 | NM_014222 | Homo sapiens NADH deshidrogenasa (ubiquinona) subcomplex alfa 1, 8, 19kDa (NDUFA8), codificación de genes nucleares proteína mitocondrial, ARNm | 7.99 Abajo | 1.59E-02 |
| 50 | | | | |
| 55 | NM_019119 | Homo sapiens protocadherina beta 9 (PCDHB9), ARNm | 7.85 Abajo | 7.39E-03 |
| 55 | NM_014867 | Homo sapiens KIAAO71 producto de gen (KIAAO711), ARNm | 6.89 Abajo | 9.61E-05 |
| 60 | BF509573 | UI-H-B14-apf-b-11-0-UI.sl NC_CGAP_Sub8 ADNc Homo sapiens clon IMAGE: 3086949 3, secuencia de ARNm | 6.85 Abajo | 8.97E-05 |
| 65 | | | | |

ES 2 569 421 T3

| | | | | |
|----|-----------|---|---------------|----------|
| 5 | B001277 | IU-1-BC1p-azu-h-01-0-UI.s1 NCI_CGAP.P13 Homo sapiens clon de ADNc IU-1--BC1p-azu-h-01-0-U13, secuencia de ARNm | 6.44 Abajo | 5.30E-02 |
| 10 | NM_018836 | Homo sapiens proteína transmembrana SHREW1 (SHREW1), ARNm | 6.32 Abajo | 2.36E-02 |
| 15 | AW13906 | IU-H-BI1-adz-d-02-0-UI.s1 NCI_CGAP_Sub3 Homo sapiens clon de ADNc IMAGEN: 2718387 3, de secuencia de ARNm | 6.28 Abajo | 1.03E-04 |
| 20 | NM_018076 | Homo sapiens repetición armadillo que contiene 4 (ARMC4), ARNm | 6.17 Abajo | 2.20E-03 |
| 25 | B1759570 | 603046987F1 NIHMGC1 16 Homo sapiens clon de ADNc IMAGE: 5187285 5, secuencia ARNm | 6.03 Abajo | 5.06E-02 |
| 30 | NM_004496 | Homo sapiens caja de cabeza de horquilla Al (FOXA1), ARNm | 5.79 Abajo | 1.03E-04 |
| 35 | NM_004473 | Homo sapiens caja forkhead El (tiroides factor de transcripción 2) (FOXE1), ARNm | 5.48 Abajo | 6.27E-05 |
| 40 | NM_182920 | Homo sapiens desintegrina a y metaloproteasa (tipo proreolisina) con trombospondina tipo 1 motivo, 9 (ADAMTS9), variante de transcripción 1, ARNm | 5.35 Abajo | 1.87E-04 |
| | AI830524 | wh52c02.xl NCI_CGAP_KID11 Homo sapiens clon de ADNc IMAGE:-2384354 3, secuencia de ARNm | 5.34 Abajo | 3.42E-02 |
| 45 | NM_004840 | Homo sapiens Rac / Cdc42 nucleótido guanina factor de intercambio (GEF) 6 (ARHGEF6), ARNm | 5.18 Abajo | 1.41E-03 |
| 50 | AK026966 | ADNc Homo sapiens: FLJ2331 3 fis, clon HEP11919 | 5.09 Abajo | 1.49E-04 |
| | BC044843 | Homo sapiens proteína hipotética L0C339535, ARNm (clon de cDNA IMAGEN-0,5186761), cds parcial | 5.03 Abajo | 3.36E-02 |
| 55 | X02851 | ARNm humano para la interleucina-1 precursora (pre IL-1) | 5.03 Abajo | 8.60E-03 |

60

65

5 TABLA VII E: GENES QUE SE EXPRESARON DIFERENCIALMENTE EN AL MENOS 5 VECES EN AF-I FRENTE
A CÉLULAS AF-11

| | Identificador de gen | Nombre de gen | Cambio de pliegue medio en células de fibroblasto versus AF | Dirección | P-valor adj. |
|----|----------------------|--|---|-----------|--------------|
| 10 | D52654 | HUMO84DO2B Clontech cerebro fetal humano ARNm poliA+ (#6535) ADNc Homo sapiens clon GEN-084D02 5, secuencia de ARNm | | 398.37 UP | 8.54E-05 |
| 15 | NM_000090 | Homo sapiens colágeno, tipo III, alfa 1, (síndrome de Ehlers-Danlos tipo IV, autosómica dominante) (COL3A1), ARNm | | 228.59 UP | 5.20E-05 |
| 20 | NM_007084 | Homo sapiens SRY (región determinante del sexo Y) - cuadro 21 (Sox21), ARNm | | 144.06 UP | 2.10E-04 |
| 25 | AK026784 | ADNc Homo sapiens: FLJ23131 fis, clonLNG08502 | | 88.3 UP | 7.11E-05 |
| 30 | BC014344 | Homo sapiens, similar a arilacetamida deacetilasa, clon IMAGE: 3934567, ARNm | | 52.67 UP | 1.31E-05 |
| 35 | B0003501 | IU-H-EII-AZD-p-06-O-ULsI NCI_CGAP_EI1 ADNc Homo sapiens clon IMAGEN: 5847413 3, secuencia de ARNm | | 52.33 UP | 6.55E-05 |
| 40 | BQ025821 | UI-1-BB1p-aye-f-10-0-UI.sl NCICGAP_P16 ADNc Homo sapiens clon de IU-1-BB1 p-aye-f-bi-0-UI 3, secuencia de ARNm | | 45.25 UP | 5.46E-05 |
| 45 | NM_017805 | Homo sapiens que interactúan las proteínas Ras 1 (RASIP1), ARNm | | 43.27 UP | 2.20E-04 |
| 50 | BF515657 | UI-H-BW1-anu-e-05-0-Ui.sl NCI_CGAP_Sub7 ADNc Homo sapiens clon IMAGE:3083601 3, secuencia de ARNm | | 42.11 UP | 1.69E-05 |
| 55 | NM_138961 | Homo sapiens adhesión de células endoteliales molécula (ESAM), ARNm | | 41.23 UP | 7.66E-05 |
| 60 | BC046364 | Homo sapiens flavoproteínas oxidoreductasa, MICAL3, ARNm (clon de ADNc IMAGE: 5737121), con intrón retenido aparente | | 39.24 UP | 1.47E-04 |
| 65 | AK021531 | ADNc Homo sapiens FLJ1 1469 fis, clon HEMBA1001658 | | 36.94 UP | 5.91E-04 |

ES 2 569 421 T3

| | | | | |
|----|-----------|--|-------------|----------|
| | NM_001432 | Homo sapiens epirregulina (EREG), ARNm | 36.88 UP | 7.51E-04 |
| 5 | NM_000474 | Homo sapiens giro homólogo 1 de (Acrocefalosindactilia 3; Saetbre-Chotzen síndrome) (Drosophila) (TWIST1), ARNm | 36.39 UP | 1.01E-04 |
| 10 | NM_053281 | Homo sapiens dachshund homólogo 2 (Drosophila) (DACH2), ARNm | 34.9 UP | 7.97E-06 |
| 15 | H85497 | yv88b07.rl Soares melanocito 2NbHM Homo sapiens ADNc clon IMAGE: 249781 5, Secuencia de ARNm | 32.03 UP | 1.81E-04 |
| 20 | NM_033050 | Homo sapiens succinato receptor 1 (SUCNR1), ARNm | 29.47 UP | 2.29E-04 |
| 25 | BX093329 | BX093329 Soares_parathyroid_tumor_NbHPA ADNc Homo sapiens IMAGp998A124183 clon 241839; IMAGE-.1648403, secuencia de ARNm | 28.85 UP | 6.94E-04 |
| 30 | | | | |
| 35 | NM_012204 | Homo sapiens factor de transcripción general IIIc, polipéptido 4, 90kDa (GTF3C4), ARNm | 28.2 UP | 1.29E-04 |
| 40 | AI124557 | am58g02.xl Johnston corteza frontal Homo sapiens ADNc clon IMAGE.-1539794 3, Secuencia de ARNm | 27.99 UP | 4.43E-05 |
| 45 | NM_014178 | Homo sapiens sintaxina proteína de unión a 6 (amisina) (STXBP6), ARNm | 26.38 UP | 9.11E-05 |
| 50 | U83115 | Beta no lente de gamma-cristalina humana como proteínas (AIMI) ARNm, cds parcial | 26.15 UP | 3.63E-05 |
| 55 | NM_020927 | Homo sapiens KIAA1 576 proteínas (KIAA1 576), mRNA | 25.98 UP | 2.56E-05 |
| | NM_001442 | Ácidos grasos Homo sapiens proteína de unión 4, adipocito (FABP4), ARNm | 25.37 UP | 4.39E-04 |
| 60 | | | | |
| 65 | | | | |

ES 2 569 421 T3

| | | | | |
|----|-----------|---|-------------|----------|
| 5 | BC045666 | Homo sapiens proteína tumoral p53 inducible proteína 11, ARNm (clon de ADNc IMAGE: 5298525), que contienen errores de cambio de marco | 25.36 UP | 1.84E-04 |
| 10 | NM_013387 | Homo sapiens ubiquinol citocromo c-complejo reductasa (7,2 KD) (HSPCO51), variante transcripción 1, ARNm | 24.64 UP | 1.47E-04 |
| 15 | AK125453 | ADNc Homo sapiens FLJ43464 fis, clon OCBBF2036225 | 23.47 UP | 3.90E-03 |
| 20 | NM_170744 | Homo sapiens UNC-5 homólogo B (<i>C. elegans</i>) (Unc5B), ARNm | 22.66 UP | 9.44E-05 |
| 25 | AB067499 | Homo sapiens ARNm para la proteína KIAA1912, cds parcial | 22.2 UP | 2.69E-05 |
| 30 | NM_005110 | Homo sapiens glutamina-fructosa-6-fosfato transaminasa 2 (GFPT2), ARNm | 22 UP | 9.53E-06 |
| 35 | CD677332 | hol5fO6.yl trabecular humano malla ADNc: hohphq Homo sapiens clon de ADNc hol5fO6 5, secuencia de ARNm | 21.26 UP | 7.83E-05 |
| 40 | NM_005525 | Homo sapiens hidroxiesteroide (11-beta) deshidrogenasa 1 (HSD1 181), variante de transcripción 1, ARNm | 20.9 UP | 4.93E-05 |
| 45 | NM_006475 | Homo sapiens periostina, osteoblastos específica de los factores (POSTN), ARNm | 20.5 UP | 6.66E-04 |
| 50 | AK027128 | ADNc Homo sapiens: FLJ23475 fis, clon HS113659 | 20.14 UP | 1.00E-04 |
| 55 | A1962169 | wq45clO.xl NCL_CGAP_GC6 Homo sapiens clon de ADNc IMAGE-2474226 3, Secuencia de ARNm | 19.91 UP | 6.86E-05 |
| 60 | BM713465 | UI-E-EJO-aho-m-22-0-UI.rl IU-E-EJO Homo sapiens clon de ADNc de UI-E-EJO-aho-m-22-0-UI 5, secuencia de ARNm | 19.86 UP | 4.55E-05 |
| 65 | NM_014802 | Homo sapiens KIAAO528 producto génico (K1AA0528), ARNm | 19.34 UP | 2.92E-03 |

ES 2 569 421 T3

| | | | | |
|----|------------------|--|----------------------------|----------------------|
| | NM_024336 | Homo sapiens Iroquois proteína homeobox 3 (Irx3), ARNm | 19.2 UP | 4.93E-05 |
| 5 | NM_000867 | Homo sapiens 5-hidroxitriptamina (serotonina) receptor 2B (HTR2B), ARNm | 18.89 UP | 5.39E-05 |
| 10 | AF052115 | Homo sapiens clon secuencia de ARNm 23688 | 17.49 UP | 8.17E-05 |
| 15 | BC016722 | Homo sapiens IMAGE clon de ADNc: 4075924, cds parcial | 16.82 UP | 2.28E-03 |
| 20 | NM_018013 | Homo sapiens proteína hipotética FLJ1O159 (FLJ1O159), ARNm | 16.78 UP | 5.98E-06 |
| 25 | N33310 W38393 | yy39gIO.sl Soares melanocito 2NbHM Homo sapiens ADNc clon IMAGE: 273666 3, Secuencia de ARNm ZBL 5c07.rl Soares_fetal_lung_NbHL1 9W Homo sapiens ADNc clon IMAGE-0.302124 5, secuencia de ARNm | 16.64 UP 16.52 UP | 1.30E-04 1.05E-04 |
| 30 | R44402 | yg37aOl.sl Soares cerebro infantil 1 NIB Homo sapiens ADNc clon IMAGE: 34639 3 similar a contiene MER35 elemento repetitivo ;, Secuencia de ARNm | 16.02 UP | 4.93E-05 |
| 35 | NM_020226 | Homo sapiens PR dominio que contiene 8 (PRDM8), ARNm | 15.99 UP | 3.92E-04 |
| 40 | BU677169 | UI-CF-DU1-aaJ-c-16-O-UI.sl UI-CF-DU1 Homo sapiens clon de ADNc D I-CF-DU1 -aaJ c-1-6-0 UI 3, secuencia de ARNm | 15.75 UP | 3.92E-04 |
| 45 | NM_001146 | Homo sapiens angiopoletin 1 (ANGPT1), transcripción variante 1, ARNm | 15.5 UP | 5.07E-04 |
| 50 | AK123875 | ADNc Homo sapiens FLJ41 881 fis, clon OCBBF2021833 | 15.42 UP | 1.03E-04 |
| 55 | NM_000735 | Homo sapiens glicoproteína hormonas, alfa polipéptido (CGA), ARNm | 15.42 UP | 2.19E-04 |
| 60 | AW445209 | IU-H-B13-AKC-g-1 I -0-UI.sl NCI_CGAP_Sub5 ADNc Homo sapiens clon IMAGE: 2733908 3, secuencia de ARNm | 15.03 UP | 2.89E-05 |
| 65 | BC040678 | Homo sapiens, clon IMAGE: 4817707, ARNm | 14.85 UP | 1.69E-03 |

ES 2 569 421 T3

| | | | | |
|----|-----------|--|-------------|----------|
| | NM_052846 | Homo sapiens microfibrillas elastina interfacer 3 (EMILIN3), ARNm | 14.55 UP | 5.78E-05 |
| 5 | NM_005320 | Homo sapiens histona 1, Hid (hist1 Hola D), ARNm | 14.49 UP | 9.77E-03 |
| 10 | U79271 | Clones humanos 23920 y 23921 de secuencia de ARNm | 13.86 UP | 7.54E-04 |
| 15 | BQ186389 | UI-E-IPE-AJR-c-19-0-UI.rl ul-E-EJ1 Homo sapiens clon de ADNc IU-E-IPE-AJR-c-1 9-0 5-UI, secuencia de ARNm | 13.7 UP | 5.94E-04 |
| 20 | NM_032638 | Homo sapiens GATA proteína de unión 2 (GATA2), ARNm | 13.42 UP | 1.67E-04 |
| 25 | NM_000089 | Homo sapiens colágeno tipo I, alfa 2 (COL1A2), ARNm | 13.37 UP | 1.89E-03 |
| 30 | NM_139211 | Homo sapiens -homeodominio única proteína (HOP), transcripción variante 2, ARNm | 13.15 UP | 1.03E-04 |
| 35 | BM663928 | UI-E-Cl1 -afw-p-01 -0-UI.sl IU-E-Cl1 Homo sapiens clon de ADNc UI-E-CL1-AFW-p-01-0-UI 3, secuencia de ARNm | 13.08 UP | 3.22E-04 |
| 40 | NM_021643 | Homo sapiens tribbles homólogo 2 (Drosophila) (Trib2), ARNm | 12.66 UP | 2.40E-04 |
| 45 | NM_004411 | Homo sapiens dineína, citoplasmática, polipéptido intermedio 1 (DNCI1), ARNm | 12.59 UP | 1.43E-05 |
| 50 | AK128288 | ADNc Homo sapiens FLJ46426 fis, clon THYMU3013897 | 12.51 UP | 8.11E-04 |
| 55 | ALI33118 | ARNm de Homo sapiens; ADNc DKFZp586NO1 21 (a partir del clon DKFZp586NO1 21) | 12.28 UP | 2.54E-04 |
| | BQ02798 | UI-H-COO-arg-e-03-0-UI.sl NCI_CGAP_Sub9 ADNc Homo sapiens IMAGE clon: 3106611 3, secuencia de ARNm 4 | 12.2 UP | 8.14E-05 |
| 60 | NM_001175 | Homo sapiens Rho PIB disociación inhibidor (CDI) beta (ARHGDI), ARNm | 11.91 UP | 5.05E-05 |
| 65 | NM_005595 | Homo sapiens factor nuclear de E / A (NFIA), ARNm | 11.71 UP | 6.19E-04 |

ES 2 569 421 T3

| | | | | |
|----|-----------|--|-------------|----------|
| | AK055518 | ADNc Homo sapiens FLJ30956 fis, clon HCASM2000202 | 11.56 UP | 2.92E-03 |
| 5 | NM_000407 | Homo sapiens glicoproteína Ib (plaquetas), beta polipéptido (GP1BB), ARNm | 11.29 UP | 1.18E-03 |
| 10 | AK130306 | ADNc Homo sapiens FLJ26796fis, clon PRS05079 | 11.1 UP | 1.24E-03 |
| 15 | NM_012310 | Homo sapiens quinesina miembro de la familia 4A (KIF4A), ARNm | 11.08 UP | 1.59E-02 |
| 20 | NM_058187 | Homo sapiens cromosoma 21 de marco de lectura abierto 63 (C21orf63), ARNm | 10.78 UP | 5.06E-04 |
| 25 | NM_016206 | El carcinoma de colon Homo sapiens proteína relacionada con (FLJ38507), ARNm | 10.71 UP | 3.40E-04 |
| 30 | NM_032918 | Homo sapiens RAS-como, regulados por estrógenos, inhibidor del crecimiento (RERG), ARNm | 10.69 UP | 1.36E-04 |
| 35 | NM_053044 | Homo sapiens serina proteasa HTRA3 (HTRA3), ARNm | 10.65 UP | 2.39E-04 |
| 40 | NM_153355 | Homo sapiens 1-células de linfoma de punto de interrupción asociado a la diana 1 (TCBA1), ARNm | 10.47 UP | 8.32E-03 |
| 45 | NM_152665 | Homo sapiens hipotética proteína FLJ40873 (FLJ40873), ARNm | 10.42 UP | 2.20E-04 |
| 50 | NM_004460 | Homo sapiens proteínas activación de los fibroblastos, alfa (FAP), ARNm | 10.39 UP | 5.27E-05 |
| 55 | NM_152550 | Homo sapiens dominio SH3 que contiene un anillo dedo 2 (SH3RF2), ARNm | 10.29 UP | 6.33E-04 |
| 60 | BF674238 | 602136969F1 NIH_MGC_83 Homo sapiens ADNc clon IMAGE: 4273624 5, secuencia ARNm | 10.27 UP | 4.87E-02 |
| 65 | NM_005325 | Homo sapiens histona 1, H1a (HIST1H1A), ARNm | 9.97 UP | 1.19E-03 |
| | AV702977 | AV702977 ADB ADNc Homo sapiens clon ABCVDO8 5, secuencia de ARNm | 9.96 UP | 4.43E-05 |

ES 2 569 421 T3

| | | | | |
|----|-----------|--|------------|----------|
| | NM_024600 | Homo sapiens cromosoma 16 de marco de lectura abierto 30 (Cl6orf3O), ARNm | 9.89 UP | 2.28E-03 |
| 5 | AK023739 | ADNc Homo sapiens FLJ13677 fis, clon PLACE1011982 | 9.82 UP | 9.53E-06 |
| 10 | AK124699 | ADNc Homo sapiens FLJ42709 fis, clon BRAMY3007350 | 9.73 UP | 2.38E-02 |
| 15 | NM_005239 | Homo sapiens virus de la v-ets eritroblastosis E26 oncogén homólogo 2 (aviar) (ETS2), ARNm | 9.56 UP | 6.20E-03 |
| 20 | AK091337 | ADNc Homo sapiens FLJ34018 fis, clon FCBBF2002801 | 9.3 UP | 6.30E-04 |
| 25 | H15096 | ym29ell.rl Soares cerebro infantil 1 NIB Homo sapiens ADNc clon IMAGE: 49250 5, Secuencia de ARNm | 9.17 UP | 7.83E-05 |
| 30 | NM_018286 | Homo sapiens hipotética proteína FLJ1O97O (FLJ1O97O), ARNm | 9.16 UP | 2.02E-03 |
| 35 | NM_003783 | Homo sapiens UDP-Gal: betaGlcNAc beta 13-actosiltransferasa gal, polipéptido 2 (B3GALT2), ARNm | 9.04 UP | 1.38E-02 |
| 40 | NM_032457 | Homo sapiens BH-protocadherin (cerebro-corazón) (PCDH7), transcripción de la variante c, ARNm | 8.94 UP | 1.53E-04 |
| 45 | NM_015192 | Homo sapiens fosfolipasa C, beta 1 (fosfoinositida-específico) (PLCB 1), transcripción variante 1, ARNm | 8.82 UP | 3.03E-03 |
| 50 | NM_003514 | Homo sapiens histona 1, H2am (HIST1H2AM), ARNm | 8.75 UP | 5.60E-03 |
| 55 | A1082507 | ox55c02.sl Soares_total_fetus_Nb2HF8_9w ADNc Homo sapiens clon IMAGE -1660226 3, | 8.68 UP | 2.98E-03 |
| 60 | NM_025107 | ARNm secuencia de Homo sapiens myc objetivo 1 (MYCT1), ARNm Homo sapiens, clon IMAGE: 4730399, ARNm Homo sapiens clon de ADNc IMAGEÑ 4730399 | 8.61 UP | 1.37E-04 |
| | BC036004 | | 8.56 UP | 2.94E-04 |
| 65 | | | | |

ES 2 569 421 T3

| | | | | |
|----|-----------|--|------------|----------|
| | BF029356 | 601765592F1 NIH_MGC_53 Homo sapiens clon de ADNc IMAGE-3997510 5, secuencia de ARNm | 8.47 UP | 1.99E-03 |
| 5 | | | | |
| 10 | NM_004787 | Homo sapiens hendidura homólogo 2 (Drosophila) (SLIT2), ARNm | 8.47 UP | 8.47E-04 |
| 15 | CA865586 | ir42e09.xl HR85 islote ADNc Homo sapiens clon IMAGE: 6547889 3, secuencia de ARNm | 8.46 UP | 8.95E-04 |
| 20 | NM_021614 | Homo sapiens canal de potasio intermedia / pequeña conductancia de calcio activados, subfamilia N, miembro 2 (KCNN2), transcripción variante 1, ARNm | 8.37 UP | 2.28E-05 |
| 25 | | | | |
| 30 | NM_004791 | Homo sapiens integrina, beta tipo 1 (con EGF igual que los dominios de repetición) (ITGBL1), ARNm | 8.31 UP | 2.21E-04 |
| 35 | NM_052954 | Homo sapiens cisteína y la tirosina-rica 1(CYYR1), ARNm | 8.12 UP | 8.96E-05 |
| 40 | NM_032883 | Homo sapiens cromosoma 20 marco de lectura abierto 100 (C2Oorf1O), ARNm | 8.1 UP | 4.12E-04 |
| 45 | BX106577 | BX106577 Soares_NhHMPu_S1 Homo sapiens ADNc clon 1MAGp998H131854; IMAGE: 754236, secuencia de ARNm | 8.06 UP | 7.14E-05 |
| 50 | AK074131 | ARNm de Homo sapiens para la proteína FLJ00204 | 7.95 UP | 2.59E-04 |
| 55 | NM_024621 | Homo sapiens proteína hipotética FLJ12604 | 7.88 UP | 4.06E-04 |
| 60 | BX647541 | (FLJ12604), ARNm Homo sapiens ARNm; ADNc DKFZp686P0492 (a partir del clon DKFZp686P0492) NM_145016 Homo sapiens BXMAS2-10 (BXMAS2-10), ARNm | 7.84 UP | 8.97E-05 |
| 65 | BU634363 | UI-H-FL1 -bgx-o-20-0-UI .s1 NCI_CGAP_FL1 ADNc Homo sapiens clon UI-H-FL1-bgx-o-20-0-UI 3, secuencia de ARNm | 7.7 UP | 1.84E-04 |
| | AI939462 | tf23h06.x5 NCI_CGAP_Brn23 Homo sapiens clon de ADNc IMAGE: 2097083 3, secuencia de ARNm | 7.49 UP | 1.21E-04 |
| | NM_153183 | Homo sapiens nudix (nucleósido difosfato relacionado con motivos X) de tipo fracción 10 (NUDT1 0), ARNm | 7.47 UP | 5.46E-05 |

ES 2 569 421 T3

| | | | | |
|----|-----------|--|---------|----------|
| 5 | BQ011545 | UI-1-BC1 p-ASI-a-02-0-UI.s1 NCI_CGAP_PI3, ADNc Homo sapiens clon de UI-1-BC1p-ASI-a-02-0-UI 3, secuencia de ARNm | 7.43 UP | 1.38E-03 |
| 10 | T47612 | ybi5ho3.sl Stratagene placenta (# 937225) Homo sapiens clon de cDNA IMAGE-71285 3, | 7.41 UP | 4.13E-03 |
| 15 | NM_020809 | Homo sapiens secuencia de ARNm Rho GTPasa proteína activadora 20 (ARHGAP2O), ARNm | 7.36 UP | 2.50E-04 |
| 20 | BC042378 | Homo sapiens, clon IMAGE.-5277693, ARNm | 7.25 UP | 3.63E-03 |
| 25 | AF414442 | Homo sapiens cáncer de ovario relacionado con un tumor marcador CAL 25 ARNm, cds completos | 7.11 UP | 2.19E-03 |
| 30 | NM_006350 | Homo sapiens follistatina (FST), variante de transcripción FST317, ARNm | 7.1 UP | 5.52E-04 |
| 35 | CD723006 | ojl6hO2.yl glándula lagrimal humana, sin amplificar: ADNc oj Homo sapiens clon ojl6h02 5, secuencia ARNm | 7.09 UP | 5.06E-04 |
| 40 | BC027461 | ADNc Homo sapiens IMAGE clon-.2984900, contiene errores de cambio de marco | 7.02 UP | 4.43E-05 |
| 45 | NM_152782 | Homo sapiens Sadi y UNC84 dominio que contiene 1 (SUNC1), ARNm | 6.94 UP | 1.34E-03 |
| 50 | AK12500 | ADNc Homo sapiens FLJ43O11 fis, clon de BRTHA2015853 | 6.91 UP | 3.36E-03 |
| 55 | NM_152314 | Homo sapiens proteína hipotética MGC34830 (MGC34830), ARNm | 6.89 UP | 1.08E-04 |
| | NM_080872 | Homo sapiens UNC-5 homólogo D (C. elegans) (UNC5D), ARNm | 6.88 UP | 3.33E-04 |
| | NM-015714 | Homo sapiens linfocitos putativo G0/G1 gen interruptor (GOS2), ARNm | 6.86 UP | 1.34E-03 |
| 60 | NM_014548 | Homo sapiens tropomodulina 2 (neuronal) (TMOD2), ARNm | 6.83 UP | 5.11E-03 |
| 65 | NM_002771 | Homo sapiens proteasa, serina, 3 (mesotripsina) (PRSS3), ARNm | 6.82 UP | 1.28E-03 |

ES 2 569 421 T3

| | | | | |
|----|------------|---|------------|----------|
| | NM_012081 | Homo sapiens factor de elongación, RNA polimerasa U, 2 (ELL2), ARNm | 6.75 UP | 3.00E-03 |
| 5 | | | | |
| 10 | AW025556 | wu97gI0.xl NCI_CGAP_Kid3 Homo sapiens ADNc clon IMAGE: 2528034 3, secuencia de ARNm | 6.7 UP | 2.11E-03 |
| 15 | NM_016522 | Homo sapiens neurotrimina (HNT), ARNm | 6.7 UP | 1.84E-04 |
| 20 | AK001279 | ADNc Homo sapiens FLJ1O417 fis, clon NT2RP1000112 | 6.68 UP | 6.41E-04 |
| 25 | NM_020993 | Homo sapiens de células B de CLL / linfoma 7A (BCL7A), ARNm | 6.6 UP | 1.79E-02 |
| 30 | NM_032578 | Homo sapiens miopaladina (FLJ14437), ARNm | 6.55 UP | 5.46E-05 |
| 35 | NM_024913 | Homo sapiens proteína hipotética FLJ21986 (FLJ21 986), ARNm | 6.47 UP | 9.10E-04 |
| 40 | NM_016428 | Homo sapiens ABI familia de genes, miembro de 3 (ABI3), ARNm | 6.45 UP | 1.07E-02 |
| 45 | NM_018371 | Homo sapiens condroitina betal, 4 N-acetylgalactosam inyltransferase (ChGn), ARNm | 6.44 UP | 1.75E-04 |
| 50 | BM802920 | AGENCOURT_6457446 NIH_MGC_88 Homo sapiensADNc clon IMAGE: 5560288 5, secuencia de ARNm | 6.37 UP | 1.34E-03 |
| 55 | NM_1832245 | Homo sapiens inversina (INVS), variante de transcripción, ARNm | 6.32 UP | 6.46E-05 |
| 60 | AA908815 | og77h08.sl NCI_CGAP_0v8 Homo sapiens ADNc clon IMAGE: 1454367 3, secuencia de ARNm | 6.31 UP | 3.33E-04 |
| 65 | BQ021661 | UI-H-DH1-axg-p-i4-0-Ui.sl NCI_CGAP_DH1 ADNc Homo sapiens clon IMAGE: 5828605 3, secuencia de ARNm | 6.28 UP | 4.40E-04 |
| | NM_017527 | Homo sapiens antígeno de linfocitos 6 compleja, locus K (LY6K), ARNm | 6.24 UP | 1.36E-02 |
| | NM_175887 | Homo sapiens proteína hipotética L0C222171 (L0C222171), ARNm | 6.23 UP | 1.76E-04 |

ES 2 569 421 T3

| | | | | |
|----|-----------|--|------------|----------|
| | BM929598 | IU-E-EJ1-aje-l-10-0-Ui.rl UI-E-EJ1 Homo sapiens clon de ADNc UI-E-EJ 1 -aje-l-1 0-0 5-Ui, secuencia de ARNm | 6.18 UP | 1.44E-04 |
| 5 | | | | |
| 10 | A1911163 | wd24c09.xl Soares_NFL_T_GBC Si Homo sapiens clon de ADNc IMAGE.-2329072 3, Secuencia de ARNm | 6.17 UP | 9.74E-03 |
| | AK024653 | ADNc Homo sapiens: FLJ21000 fis, clon CAE03359 | 6.17 UP | 2.15E-04 |
| 15 | AK124907 | Homo sapiens CONA FLJ42917 fis, clon BRH1P3026335 | 6.15 UP | 2.20E-03 |
| 20 | NM_001147 | Homo sapiens angiopoyetina 2 (ANGPT2), ARNm | 6.14 UP | 1.24E-04 |
| | NM_001124 | Homo sapiens adrenomedulina (ADM), ARNm | 6.13 UP | 1.72E-04 |
| 25 | A1733665 | an3IgO4.x5 Gessler Wilms tumor Homo sapiens clon de ADNc IMAGE: 1700310 3, Secuencia de ARNm | 6.11 UP | 5.78E-05 |
| | NM_017655 | Homo sapiens proteína de dominio PDZ GIPC2 (gPC2), ARNm | 6.09 UP | 1.81E-04 |
| 30 | | | | |
| | NM_003405 | Homo sapiens tirosina 3-monooxigenasa / triptófano 5-monooxigenasa proteína de activación, polipéptido eta (YWHAH), ARNm | 5.96 UP | 5.04E-03 |
| 35 | | | | |
| 40 | NM_000441 | Homo sapiens soluto transportista familia 26, miembro 4(SLC2GA4), ARNm | 5.95 UP | 2.72E-02 |
| 45 | BX648323 | ARNm de Homo sapiens; UP ADNc DKFZp686K1O163 (a partir del clon DKFZp686K10163) | 5.93 UP | 1.86E-03 |
| | AW29175 | UI-H-B12-AGV-h-04-0-Ui.s1 NCI_CGAPSub4 Homo sapiens clon de ADNc IMAGE: 2725855 3, secuencia de ARNm | 5.93 UP | 5.03E-03 |
| 50 | | | | |
| | NM_001546 | Homo sapiens inhibidor de la unión al ADN 4, dominante negativo de proteína hélice-bucle-hélice (1D4), ARNm | 5.9 UP | 2.39E-03 |
| 55 | | | | |
| | NM_152996 | Homo sapiens sialiltransferasa 7 ((alfa-N-acetylneuramnil-2,3-beta-galactosil-1 3) -N acetil galactosaminida alfa-2,6sialiltransferase) C (SIAT7C), ARNm | 5.88 UP | 5.92E-04 |
| 60 | | | | |
| 65 | | | | |

ES 2 569 421 T3

| | | | | |
|----|-----------|---|---------|----------|
| | BM556191 | AGENCOURT_6544282 NIH_MGC_88 Homo sapiens ADNc clon IMAGE: 5550173 5, secuencia ARNm | 5.8 UP | 7.12E-03 |
| 5 | | | | |
| 10 | NM_021242 | Homo sapiens interacción de proteínas MID1 (gastrulación específica similar a G12 (pez cebra)) (MID1IP1), ARNm | 5.75 UP | 3.63E-03 |
| 15 | B1868709 | 603392040F1 NIH_MGC_90 Homo sapiens ADNc clon IMAGE: 5402337 5, Secuencia de ARNm | 5.69 UP | 3.11E-03 |
| 20 | BM713114 | UI-E-EJO-ahi-a-13-0-UI.rl ul-E-EJO Homo sapiens clon de ADNc UI-E-EJO-ahi-a-1 3-0-UI 5, secuencia de ARNm | 5.68 UP | 1.54E-03 |
| 25 | AL049443 | ARNm Homo sapiens; ADNc DKFZp586N2O2O (a partir del clon DKFZp586N2O2O) | 5.68 UP | 4.15E-04 |
| 30 | NM_005905 | Homo sapiens SMAD, madres contra DPP homólogo 9 (Drosophila) (SMAD9), ARNm | 5.65 Up | 6.72E-04 |
| 35 | NM_006828 | Homo sapiens señal de activación cointegrator 1 complejo subunidad 3 (ASCC3), ARNm | 5.63 UP | 6.59E-03 |
| 40 | NM_006350 | Homo sapiens follistatina (FST), variante de transcripción FST317, ARNm | 5.62 UP | 9.70E-05 |
| 45 | R22189 | yh26a02.sl Soares placenta Nb2HP Homo sapiens clon de ADNc IMAGE: 130826 3, secuencia de ARNm | 5.62 UP | 1.08E-04 |
| 50 | NM_020226 | Homo sapiens PR dominio que contiene 8 (PRDM8), ARNm | 5.57 UP | 3.04E-02 |
| 55 | R01937 | ye85h04.sl Soares bazo hígado fetal 1NFLS Homo sapiens clon de ADNc IMAGE-124567 3 similar a GB: L13923 fibrillin 1 PRECURSOR (HUMAN);, secuencia de ARNm | 5.56 UP | 1.87E-03 |
| | BM724062 | UI-E-SO1-aiy-a-22 -0-UI.rl IU-F-EQ 1 Homo sapiens clon de ADNc UI-E-SO1-aiy-a-22-0-UI 5, secuencia de ARNm | 5.52 UP | 2.40E-02 |
| 60 | | | | |

ES 2 569 421 T3

| | | | | |
|----|-----------|---|------------|----------|
| | NM_080671 | Homo sapiens canal de voltaje de potasio, familiares relacionados con Isk, miembro 4 (KCNE4), ARNm | 5.51 UP | 1.35E-02 |
| 5 | | | | |
| 10 | AL558097 | AL558097 Homo sapiens CÉLULAS T (JURKAT Línea celular) COT 10 normalizada Homo sapiens clon de ADNc CSODJOO2YD14 5-PRIME, secuencia de ARNm | 5.5 UP | 2.82E-02 |
| | A1090760 | qa65e08.xl Soares_fetal_heart_NbHH 19W Homo sapiens clon de ADNc IMAGE.-1691654 3, secuencia de ARNm | 5.49 UP | 7.59E-03 |
| 15 | | | | |
| 20 | NM_030756 | Homo sapiens factor de transcripción 7-al igual que 2 (1-celular, inhibidores de la HMG-box específico) (TCF7L2), ARNm | 5.48 UP | 4.57E-04 |
| 25 | | | | |
| 30 | AL832916 | ARNm de Homo sapiens; ADNc DKFZp76210915 (del clon DKFZp76210915) | 5.47 UP | 1.84E-04 |
| | NM_001870 | Homo sapiens carboxipeptidasa A3 (mastocitos) (CPA3), ARNm | 5.46 UP | 6.04E-04 |
| 35 | BM998303 | IU-H-DT1-awc-h-03-0-Ul.sl NCICGAPDT1 ADNc Homo sapiens clon IMAGE: 5887538 3, secuencia de ARNm | 5.45 UP | 2.71E-04 |
| 40 | NM_004298 | Homo sapiens nucleoporin I55kDa (NUP155), variante de transcripción 2, ARNm | 5.45 UP | 4.65E-02 |
| 45 | NM_138970 | Homo sapiens neurexin 3 (NRXN3), variante de transcripción beta, ARNm | 5.44 UP | 1.15E-04 |
| 50 | NM_005654 | Homo sapiens subfamilia de receptores nucleares 2, el grupo F, miembro 1 (NR2F1), ARNm | 5.43 UP | 1.74E-04 |
| 55 | NM_012388 | Homo sapiens pallidina homólogo (ratón) (PLON), ARNm | 5.38 UP | 1.17E-02 |
| 60 | NM_033284 | Homo sapiens (TBL1Y) ligada a transducina (beta) similar a 1Y, variante de transcripción 1, ARNm | 5.38 UP | 4.42E-02 |

ES 2 569 421 T3

| | | | | |
|----|-----------|--|------------|----------|
| | AK097648 | ADNc Homo sapiens FLJ40329 fis, clon TEST12031418, débilmente similares a la TRYPSIN I-P1 PRECURSOR (EC 3.4.21.4) | 5.38 UP | 1.83E-04 |
| 5 | | | | |
| 10 | AK124563 | ADNc Homo sapiens FLJ42572 fis, clon BRACE3008092 | 5.35 UP | 4.57E-04 |
| 15 | NM_002185 | Homo sapiens receptor de interleucina 7 (IL7R), ARNm | 5.31 UP | 8.90E-04 |
| 20 | BU661543 | c173d12.zl Hembasa; Las células precursoras de eritroides (LCB: biblioteca cl) Homo sapiens clon de ADNc | 5.27 UP | 6.26E-04 |
| 25 | AK092371 | cl73d12 5, secuencia de ARNm ADNc Homo sapiens FLJ35052 fis, clon 0CBBF2018234, muy similares a la guanina PROTEÍNA DE UNIÓN NUCLEOTIDICA G (I) / G (S) / G (O) GAMMA-2 subunidad (G GAMMA-I) | 5.26 UP | 4.82E-03 |
| 30 | | | | |
| 35 | NM_033554 | Homo sapiens mayor de histocompatibilidad compleja, clase II, OP alfa 1 (HLA-DPA1), ARNm | 5.24 UP | 5.25E-04 |
| 40 | NM_153014 | Homo sapiens proteína hipotética FLJ30634 (FLJ30634), ARNm | 5.23 UP | 2.64E-02 |
| 45 | AA455071 | aaO4dO3.sl Soares_NhHMPu_S1 Homo sapiens ADNc clon IMAGE: 812261 3, ARNm | 5.21 UP | 7.36E-04 |
| 50 | NM_005630 | Homo sapiens secuencia de portador de soluto de aniones orgánicos transportador de familia, miembro 2A1 (SLCO2A1), ARNm | 5.2 UP | 1.46E-04 |
| 55 | NM_002619 | Homo sapiens factor plaquetario 4 (quimiocina (C-X-C con motivos) ligando 4) (PF4), ARNm | 5.19 UP | 3.64E-04 |
| 60 | AA232643 | Clon de ADNc IMAGE-0.666570 5, Secuencia de ARNm | 5.17 UP | 1.91E-04 |
| 65 | NM_005398 | Homo sapiens proteína fosfatasa 1, reguladora (inhibidor) subunidad 3C (PPP1 IRK), ARNm | 5.14 UP | 1.29E-04 |

ES 2 569 421 T3

| | | | | |
|----|-----------|--|-----------------|-----------|
| | CA843592 | ir49c12.xl HR85 islot ADNc Homo sapiens clon IMAGE: 6548544 3, secuencia de ARNm | 5.13 UP | 1.89E-04 |
| 5 | BM677978 | UI-E-EJO-aig-o-17-0-UI.sl IU-E-EJO clon Homo sapiens ADNc | 5.11 UP | 3.39E-03 |
| 10 | NM_016196 | IU-E-EJO-AIG-o-1 7-0 3-UI , secuencia de ARNm Homo sapiens ARN proteína de unión al motivo 19 (RBM19), ARNm | 5.1 UP | 1.84E-04 |
| 15 | BX105152 | Soares_testis NHT Homo sapiens BX105152 ADNclon IMAGp998J212575; IMAGE: 1031156, Secuencia de ARNm | 5.1 UP | 3.96E-05 |
| | NM_006329 | Homo sapiens fibulina 5 (FBLN5), ARNm | 5.06 UP | 1.18E-03 |
| 20 | NM_001765 | Homo sapiens antígeno CD1c, polipéptido c (CD1c), ARNm | 5.06 UP | 1.54E-04 |
| | NM_022768 | Homo sapiens ARN motivo de unión a proteínas 15 (RBM15), ARNm | 5.06 UP | 2.82E-04 |
| 25 | N49730 | yz06al2.sl Soares_multiple_sclerosis_2NbHMSP ADNc Homo sapiens clon IMAGE: 282238 3 similar a Alu contiene elemento repetitivo; contiene el elemento repetitivo PTR5 elemento ;, secuencia de ARNm | 5.03 UP | 9.95E-05 |
| 30 | AK124856 | ADNc Homo sapiens FLJ42866 fis, clon BRH1P2020622 | 5.02 UP | 1.25E-03 |
| 35 | NM_001008 | Homo sapiens proteína ribosomal S4, Y-1 ligada Y (RPS4Y1), ARNm | 456.26 Abajo | 7.09E-06 |
| 40 | NM_138963 | Homo sapiens proteína ribosomal S4, Y-2 ligado (RPS4Y2), ARNm | 423.01 Abajo | 1.53E-06 |
| | NM_022454 | Homo sapiens SPY (región determinante del sexo Y) - cuadro 17 (SOX17), ARNm | 404.8 Abajo | 3.71E-06 |
| 45 | BG219729 | RST39494 Athersys RAGE Biblioteca Homo sapiens ADNc, secuencia de ARNm | 264.66 Abajo | 2.05E-06 |
| 50 | H70730 | H70730 yu69elO.rl Weizmann olfativa del epitelio Homo sapiens ADNc clon IMAGE-0.239082 5, secuencia de ARNm | 256.95 Abajo | 1.53E-06 |
| 55 | NM_004653 | Homo sapiens SMCY homólogo, Y-vinculada (ratón) (SMCY), ARNm | 252.16 Abajo | 7.51 E-07 |
| 60 | AB032980 | Homo sapiens ARNm de la proteína KIAA1 154, cds parcial | 227.36 Abajo | 4.39E-05 |

ES 2 569 421 T3

| | | | | |
|----|-----------|---|-----------------|----------|
| | A1765021 | wh56c02.xl NCI_CGAP_Kld1 1 Homo sapiens ADNc clon IMAGE: 2384738 3, Secuencia de ARNm | 212.62 Abajo | 1.69E-05 |
| 5 | NM_012307 | Homo sapiens proteína de membrana de los eritrocitos banda de 4.1-similar a 3 (EPB41L3), ARNm | 192.31 Abajo | 2.12E-06 |
| 10 | NM_004660 | Homo sapiens DEAD caja (Asp-Glu-Ala-Asp) polipéptido 3, Y-ligado (DDX3Y), ARNm | 184.34 Abajo | 1.69E-05 |
| 15 | NM_013230 | Homo sapiens antígeno CD24 (pulmón de células pequeñas clúster carcinoma 4 antígeno) (CD24), ARNm | 171.2 Abajo | 3.78E-07 |
| 20 | NM_184087 | Homo sapiens tripartito motivo que contienen 55 (TRIM55), variante de transcripción 4, ARNm | 166.79 Abajo | 7.27E-06 |
| 25 | AK023631 | ADNc Homo sapiens FLJ13569 fis, clon PLACE 1008369 | 163.75 Abajo | 2.77E-07 |
| 30 | BX102632 | BX102632 NC_CGAP Co3 Homo sapiens clon de ADNc IMAGp998J052307; IMAGE: 928228, secuencia de ARNm | 157.63 Abajo | 1.88E-06 |
| 35 | NM_006228 | Homo sapiens prepronociceptina (PNOC), ARNm | 144.89 Abajo | 2.50E-05 |
| 40 | NM_018658 | Homo sapiens de potasio hacia el interior rectificar canal, subfamilia J, miembro 16 (KCNJ16), variante de transcripción 1, ARNm | 139.61 Abajo | 4.43E-05 |
| 45 | NM_003411 | Homo sapiens proteína con dedos de zinc Y-vinculada (ZFY), ARNm | 130.35 Abajo | 2.77E-07 |
| 50 | NM_007038 | Homo sapiens una desintegrina y metaloproteasas (reprolisina tipo) con trombospondina tipo 1 con motivos, 5 (aggrecanasa 2) (ADAMTS5), ARNm | 126.24 Abajo | 7.83E-05 |
| | NM_184087 | Homo sapiens tripartito motivo que contienen 55 (TRIM55), variante de transcripción 4, ARNm | 112.25 Abajo | 1.92E-05 |
| 55 | NM_003385 | Homo sapiens visinina tipo 1 (VSNL1), ARNm | 105.15 Abajo | 2.05E-06 |
| 60 | NM_153634 | Homo sapiens copina VIII (CPNE8), ARNm | 101.79 Abajo | 9.53E-06 |
| 65 | NM_000927 | Homo sapiens ATP-vinculada cassette, subfamilia B (MDRITAP), miembro 1 (ABCB1), ARNm | 94.49 Abajo | 5.20E-05 |

ES 2 569 421 T3

| | | | | |
|----|------------|---|-------|----------|
| | BG197054 | RST16291 Homo sapiens Atersis Biblioteca RAGE ADNc, secuencia de ARNm | 92.27 | 2.05E-06 |
| 5 | NM_0046417 | Homo sapiens transmembrana 4 superfamilia, miembro (TM4SF4), ARNm | 69.46 | 5.88E-05 |
| 10 | NM_000990 | Homo sapiens proteína ribosomal L27a (RPL27A), ARNm | 63.45 | 2.03E-04 |
| 15 | NM_014893 | Homo sapiens neuroligina 4, Y-vinculado (NLGN4Y), ARNm | 59.4 | 2.05E-06 |
| 20 | A1249696 | qj64a03.xi NCI_CGAP_Kid3 Homo sapiens ADNc clon IMAGE: 1864204 3, Secuencia de ARNm | 58.18 | 1.92E-05 |
| | AK092245 | ADNc Homo sapiens FLJ34926 fis, clon NT2RP700331 9, muy similar a Mus musculus ARNm neuralina | 57.12 | 2.50E-05 |
| 25 | AI335277 | tb29h06.xi NCI_CGAP Kid12 Homo sapiens ADNc clon IMAGE: 2055803 3, Secuencia de ARNm | 56.89 | 1.80E-05 |
| 30 | NM_016356 | Homo sapiens dominio doble cortina que contiene 2 (DCDC2), ARNm | 49.57 | 3.24E-05 |
| 35 | NM_138966 | Homo sapiens neuropilina (PNR) y Toloide (TLL) -similar a 1 (Neto1), transcripción variante 3, ARNm | 48.88 | 1.41E-04 |
| 40 | NM_024422 | Homo sapiens desmocolina 2 (DSC2), variante de transcripción Dsc2a, ARNm | 48.6 | 1.60E-05 |
| 45 | NM_031862 | Homo sapiens componente de la membrana, cromosoma 17, marcador de superficie 2 (antígeno de ovario carcinoma de CAL 25) (MI 7S2), variante de transcripción 3, ARNm | 45.75 | 5.31E-05 |
| 50 | BF431030 | 7o18c06.xl NCI_CGAP_Kid11 Homo sapiens clon de ADNc IMAGE-3574283 3, ARNm | 45.24 | 2.90E-05 |
| 55 | NM_004496 | Homo sapiens caja de cabeza de horquilla AI (FOXA1), ARNm | 44.97 | 2.77E-07 |
| | NM_020873 | Homo sapiens repeticiones ricas en leucina neuronal 1 (LRRN1), ARNm | 42.8 | 3.33E-05 |
| 60 | BF512544 | UI-H-BW1-amf-c-08-0-UI.sl NCI_CGAP_Sub7 ADNc Homo sapiens clon IMAGE: 3069687 3, secuencia de ARNm | 42.38 | 3.24E-05 |
| 65 | | | | |

ES 2 569 421 T3

| | | | | |
|----|-----------|--|----------------|----------|
| 5 | CA416106 | IU-H-FEO-BBS-f-1 7-O-UI.sl NCI CGAPFEO ADNc Homo sapiens clon UI-H-FEO-BBS-f-17-0-UI 3, secuencia de ARNm | 41.22 Abajo | 5.15E-05 |
| 10 | A1244954 | qj93h05.xl NCI_CGAPKid3 Homo sapiens ADNc clon IMAGE: 867065I 3, Secuencia de ARNm | 40.95 Abajo | 9.53E-06 |
| 15 | BF798098 | RC1-010045-CI0045-02I000-021-102 Homo sapiens ADNc, secuencia de ARNm | 40.6 Abajo | 6.53E-05 |
| 20 | NM_002423 | Homo sapiens metaloproteininas de matriz 7 (matrilisina, uterina) (MMP7), ARNm | 39.36 Abajo | 9.07E-05 |
| 25 | BU680661 | UI-CF-DU1-aaz-f-04-0-UI.sl UI-CF-DU1 Homo sapiens clon de ADNc de UI-CF-DU1-aaz-f-04-0-UI 3, secuencia de ARNm | 37.22 Abajo | 6.19E-05 |
| 30 | AL080103 | Homo sapiens ARNm; ADNc DKFZp564N2216 (a partir del clon DKFZp564N2216) | 37.11 Abajo | 1.50E-05 |
| 35 | NM_025074 | Homo sapiens síndrome de Fraser 1 (FRAS1), variante de transcripción 1, ARNm | 36.19 Abajo | 7.09E-06 |
| 40 | NM_004681 | Homo sapiens iniciación de la traducción eucariótica factor de 1A, Y-vinculado (EIF1AY), ARNm | 36.04 Abajo | 1.84E-04 |
| 45 | AK096481 | ADNc Homo sapiens FLJ39162 Os, clon OCBBF2002376 | 35.96 Abajo | 4.87E-05 |
| 50 | NM_018168 | Homo sapiens cromosoma 14 marco de lectura abierto 105 (Cl4orf1O5), ARNm | 34.11 Abajo | 3.52E-05 |
| 55 | NM_005329 | Homo sapiens hialuronano sintasa 3 (HAS3), variante de transcripción 1, ARNm | 33.86 Abajo | 2.25E-06 |
| 60 | NM_002527 | Homo sapiens neurotrofina 3 (Ntf3), ARNm | 32.19 Abajo | 1.31E-05 |
| 65 | NM_001935 | Homo sapiens dipeptidil peptidasa 4 (CD26, adenosina desaminasa complejante proteína 2) (DPP-4), ARNm | 31.89 Abajo | 1.66E-04 |
| | NM_004932 | Homo sapiens cadherina 6, tipo 2, K-cadherina (riñón fetal) (CDH6), ARNm | 30.7 Abajo | 2.59E-05 |

ES 2 569 421 T3

| | | | | |
|----|-----------|--|----------------|----------|
| | BX648643 | ARNm de Homo sapiens; ADNc DKFZp686O17106 (a partir del clon DKFZp686017106) | 30.56 Abajo | 7.09E-06 |
| 5 | NM_032576 | Homo sapiens cromosoma Y marco de lectura abierto 15B (CYorf15B), ARNm | 30.49 Abajo | 2.05E-06 |
| 10 | NM_002276 | Homo sapiens queratina 19 (KRT19), ARNm | 29.34 Abajo | 2.84E-04 |
| 15 | NM_152487 | Homo sapiens proteína hipotética FLJ31842 (FLJ31842), ARNm | 28.96 Abajo | 2.08E-04 |
| 20 | NM_207446 | Homo sapiens gen hipotético apoyo AK075564; BC060873 (LOC400451), ARNm | 28.29 Abajo | 9.53E-06 |
| 25 | NM_020349 | Homo sapiens dominio de repetición de anquirina 2 (muscular sensible al estiramiento) (ANKRD2), ARNm | 27.27 Abajo | 1.17E-05 |
| 30 | NM_012198 | Homo sapiens grancalcina, calcio mano EF proteína de unión (GCA), ARNm | 27.06 Abajo | 7.97E-04 |
| 35 | AK056882 | ADNc Homo sapiens FLJ32320 fis, clon PR0ST2003537 | 26.58 Abajo | 1.63E-04 |
| 40 | NM_019000 | Homo sapiens proteína hipotética de 52 FLJ2O1 (FLJ20152), ARNm | 25.35 Abajo | 6.39E-05 |
| 45 | BG436244 | 602508665F1 NIH_MGC_79 Homo sapiens clon de ADNc IMAGE: 4605617 5, Secuencia de ARNm | 25.2 Abajo | 7.09E-06 |
| | AA738254 | nxl3bO2.sl NCI_CGAP GC3 Homo sapiens clon de ADNc IMAGE: 1255947 3, secuencia de ARNm | 25.16 Abajo | 9.53E-06 |
| 50 | NM_002521 | Homo sapiens precursor del péptido natriurético B (NPPB), ARNm | 24.93 Abajo | 8.66E-04 |
| 55 | NM_000I04 | Homo sapiens citocromo P450, familia 1, subfamilia B, polipéptido 1 (CYP1B1), ARNm | 24.83 Abajo | 3.50E-05 |
| 60 | NM_016946 | Homo sapiens F11 receptor (Fl1R), transcripción variante 1, ARNm | 24.8 Abajo | 4.83E-05 |
| 65 | | | | |

ES 2 569 421 T3

| | | | | |
|----|-----------|--|----------------|----------|
| | NM_016946 | Homo sapiens Fl1 receptor (F11R), transcripción variante 1, ARNm | 24.38 Abajo | 2.77E-05 |
| 5 | NM_080743 | Homo sapiens serina-arginina proteína represora (35 kDa) (SRrp35), ARNm | 23.93 Abajo | 1.02E-05 |
| 10 | NM_175056 | Homo sapiens proteína hipotética LOC131368 (LOC131368), ARNm | 23.5 Abajo | 4.93E-05 |
| 15 | NM_000557 | Homo sapiens factor de diferenciación de crecimiento 5 transcripción (derivado de cartílago proteína morfogenética-1) (GDF5), ARNm | 23.37 Abajo | 8.14E-05 |
| 20 | NM_004221 | Homo sapiens de células asesinas naturales 4 (NK4), ARNm | 23.12 Abajo | 4.24E-04 |
| 25 | BE431041 | nab3Igo2.xi Soares_NSF_F8_9W_OT_PA_P_S1 ADNc Homo sapiens clon IMAGE: 3267627 3, secuencia de ARNm | 22.5 Abajo | 4.93E-05 |
| 30 | NM_178470 | Homo sapiens WD repetición de dominio 40B (WDR40B), ARNm | 21.85 Abajo | 4.54E-05 |
| 35 | A1651524 | wbO6gO7.xi NCI_CGAP_GC6 Homo sapiens ADNc clon IMAGE: 2304924 3, Secuencia de ARNm | 21.78 Abajo | 4.59E-05 |
| 40 | CB047092 | NISC_g108f03.xi NCI_CGAP_Kid12 Homo sapiens ADNc clon IMAGE: 3253013 3, secuencia de ARNm | 21.63 Abajo | 5.93E-06 |
| 45 | AA449137 | zxO3dl2.rl Soares_total_fetus_Nb2HF8_9w ADNc Homo sapiens clon IMAGE: 785399 5, secuencia de ARNm | 21.62 Abajo | 2.08E-04 |
| 50 | H89053 | yw24c06.rl Morton fetal cóclea Homo sapiens ADNc clon IMAGE:-253162 5, Secuencia de ARNm | 21.41 Abajo | 4.16E-03 |
| 55 | BX509117 | DKFZp686CO928Or1 686 (sinónimo: hlcc3) Homo sapiens clon de ADNc DKFZp686C09280 5, secuencia de ARNm | 20.95 Abajo | 2.31E-05 |
| 60 | | | | |
| 65 | | | | |

ES 2 569 421 T3

| | | | | |
|----|-----------|---|----------------|----------|
| | NM_000582 | Homo sapiens fosfoproteína secretada 1 (osteopontina, sialoproteína ósea I, principios 1- la activación de linfocitos 1) (SPP1), ARNm | 20.66 Abajo | 6.44E-03 |
| 5 | | | | |
| 10 | AK124873 | ADNc Homo sapiens FLJ42883 nosotros, clon BRH1P3006683 | 20.37 Abajo | 4.83E-05 |
| | AK000075 | ADNc Homo sapiens FLJ20068 fis, clon COL01755 | 20.18 Abajo | 5.17E-04 |
| 15 | NM_032471 | Homo sapiens proteína quinasa (cAMP dependiente, catalítico) beta inhibidor (PKIB), la variante de transcripción 3, ARNm | 20.17 Abajo | 5.05E-04 |
| 20 | | | | |
| | AK095776 | ADNc Homo sapiens FLJ38457 fis, clon FEBRA2020400 | 19.57 Abajo | 1.69E-05 |
| 25 | NM_182920 | Homo sapiens una desintegrina y metaloproteasa (tipo reprodilisina) con trombospondina tipo 1 motivo, 9 (ADAMTS9) variante de transcripción 1, ARNm | 19.13 Abajo | 9.32E-05 |
| 30 | | | | |
| | NM_002273 | Homo sapiens queratina 8 (KRT8), ARNm | 18.92 Abajo | 2.49E-05 |
| 35 | NM_002246 | Homo sapiens canal de potasio, K subfamilia, miembro de 3 (KCNK3), ARNm | 18.9 Abajo | 1.35E-05 |
| 40 | NM_024726 | Homo sapiens QI motivos que contienen MA con dominio (BOA), ARNm | 18.77 Abajo | 5.32E-04 |
| 45 | AF055376 | Homo sapiens forma corta factor de transcripción C-MAF (c-maf) ARNm, cds completos | 18.38 Abajo | 1.54E-03 |
| 50 | AB033048 | Homo sapiens ARNm de la proteína KIAA1222, cds parcial | 18.16 Abajo | 7.70E-05 |
| | AW511222 | hd44dl 1 xl Soares_NFL_T_GBC_S1 Homo sapiens clon de ADNc IMAGE: 291 2373 3 similares al elemento Alu contiene ;, secuencia de ARNm | 17.66 Abajo | 7.79E-04 |
| 55 | NM_004165 | Homo sapiens repetitivo relacionadas con ras asociadas con diabetes (DARL), ARNm | 17.32 Abajo | 3.10E-04 |
| 60 | NM_005202 | Homo sapiens colágeno, tipo VIII, alfa 2 (COL8A2), ARNm | 17.22 Abajo | 1.48E-04 |

ES 2 569 421 T3

| | | | | |
|----|-----------|--|----------------|----------|
| 5 | NM_002515 | Homo sapiens neuro-oncológica ventral antígeno 1 (Nova1), variante de transcripción 1, ARNm | 17.01 Abajo | 4.66E-06 |
| 10 | NM_005130 | Homo sapiens factor de crecimiento de fibroblastos vinculante proteína 1 (FGFBP1), ARNm | 16.84 Abajo | 9.53E-06 |
| 15 | AK098071 | ADNc Homo sapiens FLJ40752 nosotros, clon TRACH2000972 | 16.57 Abajo | 1.90E-04 |
| 20 | AK024238 | ADNc Homo sapiens FLJi4I76fis, clon NT2RP2003101 | 16.33 Abajo | 1.60E-05 |
| 25 | R99527 | yq79bll.sl Soares bazo hígado fetal 1NFLS Homo sapiens clon de ADNc IMAGE: 201981 3, Secuencia de ARNm | 16.15 Abajo | 7.97E-06 |
| 30 | NM_021102 | Homo sapiens inhibidor de serina proteasa, Kunitz tipo, 2 (SPINT2), ARNm | 15.87 Abajo | 4.35E-05 |
| 35 | B0003401 | UI-H-Eli -azd-j-23-0-Uisl NCI_CGAP_E11 ADNc Homo sapiens clon IMAGE: 5847286 3, secuencia de ARNm | 15.77 Abajo | 2.50E-04 |
| 40 | BC035656 | Homo sapiens proteína hipotética L0C285835, ARNm (ADNcclon IMAGE -.5588650), cds parcial | 15.49 Abajo | 1.53E-06 |
| 45 | T56535 | yb33g07.ri Stratagene bazo fetal (# 937205) Homo sapiens clon de ADNc IMAGE: 73020 5, Secuencia de ARNm | 15.46 Abajo | 3.03E-05 |
| 50 | NM_152864 | Homo sapiens cromosoma 20 de marco de lectura abierto 58 (C20orf58), ARNm | 15.18 Abajo | 1.00E-03 |
| 55 | NM_001448 | Homo sapiens Glipicano 4 (GPC4), ARNm | 15.04 Abajo | 2.32E-04 |
| 60 | NM_139161 | Homo sapiens migas homólogo 3 (Drosophila) (CRB3), variante de transcripción 2, ARNm | 14.99 Abajo | 1.08E-04 |
| 65 | BQ924832 | AGENCOURT_8840265 Lupski_sciatic_nerve ADNc Homo sapiens clon IMAGE: 6205036 5, secuencia de ARNm | 14.93 Abajo | 1.30E-05 |
| | NM_016276 | Homo sapiens suero / glucocorticoides regula quinasa 2 (SGK2), variante de transcripción 2, ARNm | 14.91 Abajo | 2.20E-05 |
| | CA437861 | UI-H-DHO-aur-k-12-0-Ui.sl NCI_CGAP_DHO ADNc Homo sapiens clon UI-H-DHO-aur-k-12-0-UI 3, secuencia de ARNm | 14.78 Abajo | 9.11E-05 |

ES 2 569 421 T3

| | | | | |
|----|------------|--|-------|----------|
| | H89526 | yw28b04.rl Morton fetal cóclea Homo sapiens ADNclon IMAGE: 253519 5, Secuencia de ARNm | 14.74 | 3.24E-05 |
| 5 | NM_000519 | UI-H-FLI-bgt-n-07-0-UI.si NCI_CGAP_FL1ADNc Homo sapiens clon UI-H-FL1-BGT-n-07-0-1-11 3, secuencia de ARNm | 14.62 | 3.96E-05 |
| 10 | | | Abajo | |
| | NM_000519 | Homo sapiens hemoglobina, delta (HBD), ARNm | 14.61 | 1.34E-05 |
| 15 | NM_020962 | Homo sapiens probable ortholog de ratón vecino de Punc El1 (NOPE), ARNm | 14.48 | 6.78E-05 |
| 20 | | | Abajo | |
| | NM_004862 | Homo sapiens lipopolisacárido inducido por TNF de los factores (LITAF), ARNm | 14.37 | 3.22E-04 |
| 25 | | | Abajo | |
| | NM_002837 | Homo sapiens proteína tirosina fosfatasa, tipo de receptor, B (PTPRB), ARNm | 14.3 | 1.61E-05 |
| 30 | | | Abajo | |
| | NM_024831, | Homo sapiens familia con similitud de secuencia miembro de C (FAM31C), ARNm | 14.27 | 3.50E-05 |
| 35 | | | Abajo | |
| | AF269162 | Homo sapiens orf7c21 forma B ARNm, cds completo | 14.09 | 1.28E-04 |
| | | | Abajo | |
| | NM_003385 | Homo sapiens visinina tipo 1 (VSNL1), ARNm | 14.08 | 1.92E-05 |
| 40 | | | Abajo | |
| | BC041412 | Homo sapiens choque térmico 12A proteína 7OkDa, ARNm (ADNclon IMAGE: 5285193), cds parcial | 14.04 | 2.40E-04 |
| 45 | | | Abajo | |
| | AI493349 | tg7OfO4.xl Soares_NhHMPu_S1 Homo sapiens ADNclon IMAGE: 2114143 3, Secuencia de ARNm | 13.92 | 1.43E-05 |
| 50 | | | Abajo | |
| | BE295468 | 601174523F1 NIH_MGC 17 Homo sapiens ADNclon IMAGE: 3529924 5, secuencia ARNm | 13.86 | 9.65E-04 |
| 55 | | | Abajo | |
| | NM_014936 | Homo sapiens ectonucleótido pirofosfatasa / phosphod iesterase 4 (función putativo) (ENPP4), ARNm | 13.83 | 6.53E-05 |
| 60 | | | Abajo | |
| | NM_207517 | Homo sapiens similar a ADAMTS-3 (ADAMTSL3), ARNm | 13.79 | 3.05E-05 |
| 65 | | | Abajo | |
| | NM_025245 | Homo sapiens pre-leucemia de células B de factor de transcripción 4 (PBX4), ARNm | 13.77 | 2.73E-04 |

ES 2 569 421 T3

| | | | | |
|----|------------|--|----------------|----------|
| | NM_173508 | Homo sapiens soluto transportista familia 35, miembro de F3 (SLC35F3), ARNm | 13.69 Abajo | 3.06E-05 |
| 5 | NM_0025378 | Homo sapiens p21 (CDKN1A), activado por la quinasa (PAK3), ARNm | 13.61 Abajo | 1.46E-04 |
| 10 | NM_016588 | Homo sapiens Neuritina 1 (NRN1), ARNm | 13.56 Abajo | 6.51E-05 |
| 15 | NM_198389 | Homo sapiens tipo I de pulmón de células a la membrana glicoproteína asociada (Ti A-2), variante de transcripción 2, ARNm | 13.52 Abajo | 6.51E-05 |
| | NM_173505 | Homo sapiens dominio de repetición de anquirina 29 (ANKRD29), ARNm | 13.38 Abajo | 5.46E-05 |
| 20 | NM_152573 | Homo sapiens RAS y EF dominio mano que contiene (RASEF), ARNm | 13.3 Abajo | 4.40E-04 |
| 25 | NM_020130 | Homo sapiens cromosoma 8 de marco de lectura abierto 4 (C8orf14), ARNm | 13.11 Abajo | 5.06E-04 |
| 30 | N63415 | yy60dO4.sl Homo sapiens Soares_multiple_sclerosis_2NbHMSP clon de ADNCIMAGE-277927 3 similar a contiene L1.b3 L1 elemento repetitivo, Secuencia de ARNm | 13.03 Abajo | 4.99E-04 |
| 35 | BX648207 | ARNm de Homo sapiens; ADNC DKFZp686E16168 (a partir del clon DKFZp686E16168) | 12.84 Abajo | 3.91E-04 |
| 40 | NM_178012 | Homo sapiens tubulina, polipéptido beta paralog (MGC8685), ARNm | 12.7 Abajo | 2.28E-04 |
| 45 | NM_152737 | Homo sapiens proteína hipotética MGC33993 (MGC33993), ARNm | 12.61 Abajo | 9.53E-06 |
| 50 | A1126888 | qb95d06.xls Soares_fetal_hear1_NbHH19W ADNC Homo sapiens IMAGE clon: 1707851 3, secuencia de ARNm | 12.43 Abajo | 4.50E-05 |
| 55 | NM_005712 | Homo sapiens HERV-H LTR-1 asociado a (HHLA1), ARNm | 12.39 Abajo | 1.42E-04 |
| 60 | NM_002515 | Homo sapiens neuro-oncológica ventral antígeno 1 (Nova1), variante de transcripción 1, ARNm | 12.32 Abajo | 2.77E-05 |
| 65 | H23441 | ym52fll.sl Soares cerebro infantil 1 NIB Homo sapiens clon de ADNC IMAGE: 51888 3, secuencia de ARNm | 12.28 Abajo | 3.96E-05 |

ES 2 569 421 T3

| | | | | |
|----|-----------|---|----------------|----------|
| | ALI37698 | Homo sapiens ARNm; ADNc DKFZp434C1915 (a partir del clon DKFZp434C1 915); cds parcial | 12.24 Abajo | 5.21E-05 |
| 5 | | | | |
| | AB023211 | ARNm de Homo sapiens para la proteína K1AA0994, cds parcial | 12.15 Abajo | 3.52E-05 |
| 10 | AL389942 | Homo sapiens ARNm de longitud completa de ADNc insertar clon EUR0IMAGE 2005635 | 12.03 Abajo | 1.88E-04 |
| 15 | | | | |
| | AL359058 | Homo sapiens ARNm de longitud completa de ADNc insertar clon Euroimage 592473 | 11.96 Abajo | 1.92E-05 |
| 20 | | | | |
| | NM_173549 | Homo sapiens proteína hipotética FLJ39553 (FLJ39553), ARNm | 11.93 Abajo | 4.52E-05 |
| 25 | | | | |
| | NM_002031 | Homo sapiens quinasa relacionada con fyn (FRK), ARNm | 11.64 Abajo | 4.39E-05 |
| 30 | | | | |
| | AB011095 | Homo sapiens ARNm de la proteína KIAAO523, cds parcial | 11.59 Abajo | 2.43E-05 |
| | NM_178033 | Homo sapiens citocromo P450, la familia 4, subfamilia X, polipéptido 1 (CYP4X1), ARNm | 11.58 Abajo | 7.70E-05 |
| 35 | | | | |
| | NM_003383 | Homo sapiens lipoproteínas de muy baja densidad receptor (VLDLR), ARNm | 11.43 Abajo | 1.30E-04 |
| 40 | | | | |
| | AK125490 | ADNc Homo sapiens FLJ43501 nosotros, clon PEBLM2004497 | 11.25 Abajo | 5.37E-04 |
| 45 | | | | |
| | NM_004982 | Homo sapiens de potasio hacia el interior de rectificación de canal, homeobox subfamilia J, miembro 8 (KCNJ8), ARNm | 11 Abajo | 5.37E-05 |
| | NM_016307 | Homo sapiens emparejado relacionado 2 (PRRX2), ARNm | 10.96 Abajo | 9.84E-04 |
| 50 | | | | |
| | NM_019644 | Homo sapiens repetición de anquirina dominio 7 (ANKRD7), ARNm | 10.92 Abajo | 1.08E-04 |
| 55 | | | | |
| | AL834140 | ARNm de Homo sapiens; ADNc DKFZp434A2029 (a partir del clon DKFZp434A2029) | 10.85 Abajo | 3.86E-04 |
| 60 | | | | |
| | NM_020944 | Homo sapiens glucosidasa, beta (ácidos biliares) 2 (GBA2), ARNm | 10.85 Abajo | 3.37E-04 |
| 65 | | | | |
| | CN478597 | UI-CF-FNO-aeo-g-21-0-UI.sl UI-CF-FN0 Homo sapiens clon de ADNc UI-CF-FNO-aeo-g-21-0-UI 3 , secuencia de ARNm | 10.84 Abajo | 3.83E-05 |

ES 2 569 421 T3

| | | | | |
|----|-----------|--|----------------|----------|
| | AW603401 | RCO-CN0025-01 0200-012-do1 CN0025 Homo sapiens ADNc, secuencia de ARNm | 10.78 Abajo | 6.72E-04 |
| 5 | NM_000076 | Homo sapiens quinasa dependiente de ciclina inhibidor 1C (p57, Kip2) (CDKN1C), ARNm | 10.73 Abajo | 1.42E-04 |
| 10 | | | | |
| 15 | AI355761 | qt94all.xl NCI_CGAP_Co14 Homo sapiens clon de ADNc IMAGE.-1962908 3 similar a gb:X74929 queratina, TIPO II citoesqueleto 8 (HUMANO) ;, secuencia de ARNm | 10.63 Abajo | 1.08E-04 |
| 20 | AW172903 | xjOSeO4.xl NCI_CGAP_Ut2 Homo sapiens clon de ADNc IMAGE: 2656350 3, Secuencia de ARNm | 10.58 Abajo | 9.44E-05 |
| | AB041269 | Homo sapiens ARNm de queratina 19, cds parcial, aislado: K19-141 | 10.55 Abajo | 1.35E-03 |
| 25 | BC042028 | Homo sapiens, clon IMAGE: 4794726, ARNm | 10.53 Abajo | 2.71E-02 |
| 30 | NM_030949 | Homo sapiens proteína fosfatasa 1, reguladora (inhibidor) 14C subunidad (PPP1R14C), ARNm | 10.51 Abajo | 2.17E-04 |
| 35 | BX103476 | BX103476 NCI_CGAP_Lu5 Homo sapiens ADNc clon 1MAGp998C053946; IMAGE: 1557436, secuencia de ARNm | 10.49 Abajo | 4.88E-02 |
| 40 | NM_174900 | Homo sapiens proteínas dedo de zinc 42 (ZFP42), ARNm | 10.38 Abajo | 1.88E-04 |
| 45 | NM_152768 | Homo sapiens proteína hipotética FLJ25378 (FLJ25378), ARNm | 10.35 Abajo | 8.16E-04 |
| 50 | NM_021977 | Homo sapiens la familia portador de soluto 22 (transportador de monoamina extraneuronal), miembros 3 (SLC22A3), ARNm | 10.27 Abajo | 1.97E-04 |
| 55 | BF509573 | UI-H-B14-APF-b-11-0-UI.sl NCI_CGAP_Sub8 Homo sapiens clon de ADNcIMAGE: 3086949 3, secuencia de ARNm | 10.23 Abajo | 1.43E-05 |
| | BX648964 | Homo sapiens ARNm; ADNcDKFZp686JO156 (a partir del clon DKFZp686JO1 56) | 10.19 Abajo | 6.44E-03 |
| 60 | NM_002338 | Homo sapiens sistema límbico-asociado proteína de membrana (LSAMP), ARNm | 10.15 Abajo | 7.21E-05 |
| 65 | NM_006561 | Homo sapiens CUG repetición de triplete, ARN vinculante proteína 2 (CUGBP2), ARNm | 10.13 Abajo | 1.75E-03 |

ES 2 569 421 T3

| | | | | |
|----|-----------|---|----------------|----------|
| | AM23319 | ADNc Homo sapiens FLJ41325 fis, clon BRAMY2046871 | 10.08 Abajo | 3.96E-05 |
| 5 | NM_004753 | Homo sapiens deshidrogenasa / reductasa (DEG familia) miembro 3 (DHRS3), ARNm | 9.91 Abajo | 1.59E-03 |
| 10 | BE788763 | 601475864F1 NIH_MGC_68 Homo sapiens clon de ADNcIMAGE: 3879014 5 Secuencia de ARNm | 9.88 Abajo | 3.14E-04 |
| | NM_030594 | Homo sapiens citoplasmática de poliadenilación elemento , unión de proteína 1 (CPEB1), ARNm | 9.86 Abajo | 1.93E-03 |
| 15 | NM_002462 | Homo sapiens mixovirus (virus influenza) resistencia 1, proteína inducible por interferón p78 (ratón) (MX1), ARNm | 9.8 Abajo | 3.75E-04 |
| 20 | S69208 | troponina T [humano, músculo esquelético y cardíaco, ARNm, 932 nt] | 9.79 Abajo | 1.10E-03 |
| | NM_005360 | Homo sapiens v-maf músculo-oncogén fibrosarcoma homólogo (aviaria) (MAF)ARNm | 9.76 Abajo | 9.46E-04 |
| 25 | NM_030583 | Homo sapiens matrilina 2 (MATN2), variante de transcripción 2, ARNm | 9.67 Abajo | 1.92E-05 |
| 30 | NM_012464 | Homo sapiens tolloide tipo 1 (TLL1), el ARNm | 9.66 Abajo | 1.76E-02 |
| | NM_004490 | Homo sapiens factor de crecimiento de unida al receptor proteína 14 (GRB14), ARNm | 9.65 Abajo | 8.22E-04 |
| 35 | NM_015236 | Homo sapiens latrophilina 3 (LPHN3), ARNm | 9.65 Abajo | 3.96E-05 |
| 40 | AK024261 | ADNc Homo sapiens FLJ4199 fis, el clon N12RP3002713 | 9.62 Abajo | 1.63E-04 |
| | NM_207482 | Homo sapiens FLJ44048 proteína (FLJ44048), ARNm | 9.49 Abajo | 6.53E-05 |
| 45 | BM969191 | UI-CF-ENO-acp-e-22-0-UI.sl UI-CF-ENO Homo sapiens clon de ADNc de UI-CF-ENO-acp-e-22-0-UI 3 , secuencia de ARNm | 9.4 Abajo | 2.21E-04 |
| | M60502 | ARNm profilagrina humana, 3 fin Homo sapiens factor B, properdina (BF), ARNm | 9.34 Abajo | 5.78E-05 |
| 50 | NM_001710 | Homo sapiens factor b, properdina (BF), ARNm | 9.32 Abajo | 8.70E-05 |
| | NM_005114 | Homo sapiens heparana sulfato (glucosamina) 3-O-sulfotransferasa 1 (HS3ST1), ARNm | 9.3 Abajo | 1.05E-04 |
| 55 | NM003985 | Homo sapiens tirosina quinasa, no receptor, 1 (TNK1), ARNm | 9.3 Abajo | 1.00E-04 |
| | NM_001874 | Homo sapiens carboxipeptidasa H (CPM), variante de transcripción 1, ARNm | 9.24 Abajo | 5.54E-04 |
| 60 | | | | |
| 65 | | | | |

ES 2 569 421 T3

| | | | | |
|----|-----------|--|---------------|--------------|
| | AJ697972 | Homo sapiens cromosoma 3 ADNc | 9.15 | 3.55E- |
| 5 | BM7O1989 | UI-E-CQ1-AEX-j-06-0-UI.ri UI-E-CQ1 Homo sapiens clon de ADNc de UI-E-CQ1 -aex-j-06-0-UI 5, secuencia de ARNm | Abajo 9.09 | 04 8.72E- |
| | BX640973 | Homo sapiens ARNm; ADNc DKFZp686B15184 (a partir del clon DKFZp686B15184) | Abajo 9.09 | 03 1.29E- |
| 10 | NM_002313 | Homo sapiens proteína de unión actina LIM 1 (ABLIM1), variante de transcripción 1, ARNm | Abajo 9.05 | 04 1.23E- |
| | BX486208 | DKFZp686JO725Or1 686 (sinónimo: hlcc3) ADNc Homo sapiens DKFZp686J07250 clon 5, secuencia de ARNm | 8.94 Abajo | 9.28E- 04 |
| 15 | | | | |
| 20 | NM_004024 | Homo sapiens la activación de factores de transcripción 3 (ATF3), ARNm | 8.93 Abajo | 9.73E- 04 |
| 25 | S70348 | Homo sapiens integrina beta 3 ARNm, cds parcial, alternativamente empalmados | 8.92 Abajo | 6.01E- 05 |
| 30 | NM_198495 | Homo sapiens familia CTAGE, miembro 4 hacia (CTAGE4), ARNm | 8.89 Abajo | 1.28E- 04 |
| 35 | D86975 | Homo sapiens ARNm de gen K1AA0222, cds parcial | 8.88 Abajo | 3.55E- 04 |
| 40 | NM_001854 | Homo sapiens colágeno, tipo XI, alfa 1 (COL11A1), variante de transcripción A, ARNm | 8.87 Abajo | 6.78E- 05 |
| 45 | NM_000212 | Homo sapiens integrina beta 3 (plaquetas glicoproteína lila, el antígeno CD61) (ITGB3), ARNm | 8.84 Abajo | 7.53E- 05 |
| | ALI17578 | Homo sapiens ARNm; ADNcDKFZp434C128 (a partir del clon DKFZp434C128) | 8.8 Abajo | 3.22E- 04 |
| 50 | NM_198174 | Homo sapiens factor de transcripción CP2-similar a 4 (TFCP2L4), variante de transcripción 3, ARNm | 8.75 Abajo | 8.93E- 05 |
| | BU727096 | UI-E-CRO-ach-e-12-0-UI.sl UI-E-CRO Homo sapiens clon de ADNc UI-E-CRO-ada-e-1 2-0 3-UI, secuencia ARNm | 8.71 Abajo | 5.91E- 04 |
| 60 | NM_005949 | Homo sapiens metalotioneína 1 F (funcional) (MT1F), ARNm | 8.67 Abajo | 3.29E- 03 |
| 65 | BX537613 | ARNm de Homo sapiens; ADNc DKFZp686E11117 (a partir del clon 3 DKFZp686E11117) | 8.65 Abajo | 7.70E- 05 |

ES 2 569 421 T3

| | | | | |
|----|-----------|---|---------------|----------|
| 5 | NM_014358 | Homo sapiens de tipo C (dependiente de calcio, dominio de reconocimiento de carbono de hidratos) de la lectina de, miembro de la superfamilia 9 (CLECSF9), ARNm | 8.57 Abajo | 7.11E-05 |
| 10 | NM_000817 | Homo sapiens glutamato descarboxilasa 1 (cerebro, 67 kDa) (GAD1), variante de transcripción GAD67, ARNm | 8.55 Abajo | 2.77E-05 |
| 15 | NM_005450 | Homo sapiens noggin (NOG), ARNm | 8.49 Abajo | 2.75E-03 |
| 20 | NM_144707 | Homo sapiens prominina 2 (PROM2), ARNm | 8.49 Abajo | 2.72E-04 |
| 25 | AK074181 | ARNm Homo sapiens para la proteína FLJ00254 | 8.46 Abajo | 7.83E-05 |
| 30 | NM_032882 | Homo sapiens similar a antígeno paraneoplásico 6A (PNMA6A), ARNm | 8.44 Abajo | 2.57E-05 |
| 35 | NM_004479 | Homo sapiens fucosiltransferasa 7 (alfa (1,3) fucosiltransferasa) (Fut7), ARNm | 8.39 Abajo | 1.73E-05 |
| 40 | NM_000856 | Homo sapiens ciclase 1, soluble guanilato, alfa 3 (GUCY1A3), ARNm | 8.31 Abajo | 1.63E-04 |
| 45 | NM_016542 | Homo sapiens MST3 y SOK1 -relacionados quinasa (MST4), ARNm | 8.26 Abajo | 6.03E-04 |
| 50 | NM_021044 | Homo sapiens desierto homólogo erizo (Drosophila) (DHH), ARNm | 8.23 Abajo | 6.01E-04 |
| 55 | NM_000313 | Homo sapiens proteínas S (alfa) (PROS1), ARNm | 8.15 Abajo | 4.08E-04 |
| 60 | NM_000227 | Homo sapiens laminina, alfa 3 (Lama3-), variante de transcripción 2, ARNm | 8.13 Abajo | 2.89E-05 |
| 65 | AA010611 | ziO9fO9.sl Soares_fetal_liver_spleen_1NFLS_S1 Homo sapiens clon de ADNclIMAGE: 430313 3, secuencia de ARNm | 8.07 Abajo | 4.99E-04 |
| | NM_004433 | Homo sapiens E74-similar a factor de 3 (dominio ets factor de transcripción, epitelio-específica) (ELF3), ARNm | | 6.84E-05 |

ES 2 569 421 T3

| | | | | |
|----|-----------|--|---------------|----------|
| | NM_000860 | Homo sapiens hidroxiprostaglandina deshidrogenasa 15- (NAD) (HPGD), ARNm | 8.02 Abajo | 1.49E-04 |
| 5 | BG208475 | RST27977 Athersys RAGE Biblioteca Homo sapiens ADNc, secuencia de ARNm | 8 Abajo | 2.90E-03 |
| 10 | N75271 | yz74h12.ri Soares_multiple_sclerosis_2NbHMSP ADNc Homo sapiens clon IMAGE: 288839 5, secuencia de ARNm | 8 Abajo | 3.67E-03 |
| 15 | | | | |
| 20 | NM_022912 | Homo sapiens cromosoma 2 marco de lectura abierto 23 (C2orf23), ARNm | 8 Abajo | 9.93E-05 |
| 25 | AL706653 | DKFZp686E1543_ri 686 (sinónimo: hlcc3) ADNc Homo sapiens clon DKFZp686E1543 5, secuencia de ARNm | 7.98 Abajo | 9.86E-05 |
| 30 | AA411988 | zt65gl 1.s1 Soares_testis_NHT Homo sapiens ADNcclon IMAGE: 727268 3, secuencia de ARNm | 7.95 Abajo | 9.11E-05 |
| 35 | NM_020152 | Homo sapiens cromosoma 21 marco de lectura abierto 7 (C21orf17), ARNm | 7.95 Abajo | 4.35E-05 |
| 40 | AK125608 | ADNc Homo sapiens FLJ43620 fis, clon SPLEN2O217O1, muy similar a la de HLA de clase I HISTOCOMPATIBILIDAD antígeno, A-2 ALFA CADENA DE PRECURSORES | 7.93 Abajo | 1.87E-03 |
| 45 | | | | |
| 50 | CA306881 | UI-H-FT 1 -bht-n-22-0-T l.s 1 NCLCGAP_FT1 ADNc Homo sapiens clon UI-H-FT1-BHT-N-221-0 UI 3, secuencia de ARNm | 7.9 Abajo | 7.95E-04 |
| 55 | A1640484 | wa27fOl.xi NCI_CGAP_Kid11 Homo sapiens ADNcclon IMAGE: 2299321 3, secuencia de ARNm | 7.87 Abajo | 3.33E-04 |
| 60 | A1819863 | wj45h05.xl NCI _CGAP_Lu19 Homo sapiens clon de ADNcIMAGE: 2405817 3, secuencia de ARNm | 7.86 Abajo | 5.42E-05 |
| | AK124702 | ADNc Homo sapiens FLJ42712 fis, el clon BRAMY3008O44 | 7.86 Abajo | 2.13E-04 |
| 65 | NM_014333 | Homo sapiens superfamilia de inmunoglobulinas, miembro 4 (IGSF4), ARNm | 7.8 Abajo | 5.41E-03 |

ES 2 569 421 T3

| | | | | |
|----|-----------|--|---------------|----------|
| | H94320 | yv18b10.sl Soares fetal bazo hígado 1NFLS Homo sapiens ADNc clon IMAGE-0.243067 3, Secuencia de ARNm | 7.8 Abajo | 4.43E-05 |
| 5 | NM_022103 | Homo sapiens proteínas hipotéticas dedo de zinc FLJ14O11 (FLJ14O11), ARNm | 7.77 Abajo | 3.50E-04 |
| 10 | NM_016179 | Homo sapiens receptor de potencial transitorio canal catiónico, subfamilia C, 4 miembro (TRPC4), ARNm | 7.75 Abajo | 6.04E-04 |
| | AF108093 | Homo sapiens gen IA-2, intron 18 | 7.74 Abajo | 1.92E-05 |
| 15 | NM_001332 | Homo sapiens catenina (asociada a cadherina proteína), delta 2 (proteína relacionada con placofilina neuronal-ARM repetición) (CTNND2), ARNm | 7.73 Abajo | 5.06E-04 |
| 20 | | | | |
| 25 | NM_002206 | Homo sapiens integrina alfa 7 (ITGA7), ARNm | 7.73 Abajo | 2.33E-03 |
| | BF510493 | UI-H-B14-apa-b-08-0-UI.sl NCI_CGAP_Sub8 ADNc Homo sapiens clon IMAGE: 3086558 3, secuencia de ARNm | 7.68 Abajo | 2.89E-05 |
| 30 | | | | |
| 35 | BU951469 | in6OaOS.x3 HR85 islotel ADNc Homo sapiens clon IMAGE: 6126249 3, secuencia de ARNm | 7.63 Abajo | 1.74E-04 |
| | AI819186 | wj32diO.xl NCI_CGAP_Kid12 Homo sapiens clon de ADNcIMAGE: 2404531 3, secuencia de ARNm | 7.62 Abajo | 5.86E-04 |
| 40 | | | | |
| 45 | NM_013259 | Homo sapiens transgelin 3 (TAGLN3), variante de transcripción1, el ARNm | 7.61 Abajo | 3.22E-04 |
| 50 | Alf942360 | wo8OcOG.xl NCI CGAP Kid11 Homo sapiens ADNc clon IMAGE.-2461642 3, secuencia de ARNm | 7.57 Abajo | 6.84E-05 |
| 55 | BX098521 | BX098521 Soares bazo hígado fetal 1NFLS ADNc Homo sapiens MAGp998LO5118 clon IMAGE-123412, Secuencia de ARNm | 7.55 Abajo | 1.31E-05 |
| 60 | NM_152495 | Homo sapiens Cornichon homólogo 3 (Drosophila) (CNIH3), ARNm | 7.55 Abajo | 5.20E-05 |
| 65 | NM_018728 | Homo sapiens miosina VC (MYO5C), el ARNm | 7.54 Abajo | 1.30E-04 |

ES 2 569 421 T3

| | | | | |
|----|-----------|---|---------------|----------|
| 5 | NM_004086 | Homo sapiens coagulación factor de C homólogo, Cochlin (Limulus polyphemus) (COCH), ARNm | 7.51 Abajo | 5.92E-04 |
| 10 | BM683698 | U-E-EJ1-ajh-k-08-0-UI.s1 UI-E-EJ1 Homo sapiens clon de ADNc de UI-E-EJ1-ajh-k-080-UI 3, secuencia de ARNm | 7.48 Abajo | 6.46E-05 |
| 15 | NM_000593 | Homo sapiens transportador 1, de unión a ATP de cassette, subfamilia B (MDRITAP) (TAP1), ARNm | 7.47 Abajo | 1.05E-04 |
| 20 | AK094292 | ADNc Homo sapiens FLJ36973 fis, clonar BRACE2006249 | 7.44 Abajo | 5.42E-05 |
| 25 | NM_031442 | Homo sapiens transmembrana 4 superfamilia miembro 10 (TM4SF1O), ARNm | 7.42 Abajo | 1.87E-03 |
| 30 | AK074097 | Homo sapiens ARNm para la proteína FLJOO168 | 7.41 Abajo | 4.15E-04 |
| 35 | NM_005302 | Homo sapiens proteína G-receptor acoplado 37 (endotelina tipo B receptor-like) (GPR37), ARNm | 7.33 Abajo | 1.15E-03 |
| | NM_018349 | Homo sapiens múltiples dominios-02 con dos regiones transmembrana 2 (MCTP2) , ARNm | 7.3 Abajo | 5.46E-05 |
| 40 | NM_014399 | Homo sapiens transmembrana 4 superfamilia miembro 13 (TM4SF13), ARNm | 7.28 Abajo | 7.73E-03 |
| 45 | NM_002899 | Homo sapiens proteína de unión a retinol 1, celular (RBP1), ARNm | 7.28 Abajo | 1.79E-03 |
| 50 | NM_015441 | Homo sapiens olfactomedina similar 2B (OLFML2B), ARNm | 7.24 Abajo | 5.84E-04 |
| 55 | NM_206808 | Homo sapiens beta similar a citrato liasa (CLYBL), variante de transcripción 2, ARNm | 7.22 Abajo | 9.35E-05 |
| | NM_207380 | Homo sapiens FLJ43339 proteína (FLJ43339), ARNm | 7.19 Abajo | 1.69E-03 |
| 60 | NM_000147 | Homo sapiens fucosidasa, alfa-L-1, tejido (fucA1), ARNm | 7.17 Abajo | 4.23E-02 |
| 65 | NM_002670 | Homo sapiens Plastina 1 (1 isoforma) (PLS1), ARNm | 7.16 Abajo | 2.28E-02 |

ES 2 569 421 T3

| | | | | |
|----|--------------|--|---------------|----------|
| | NM_000620 | Homo sapiens óxido nítrico sintasa 1 (neuronal) (NOS1), ARNm | 7.15 Abajo | 1.46E-04 |
| 5 | NM_018242 | Homo sapiens proteína hipotética FLJ1OS47 (FLJ10847), ARNm | 7.14 Abajo | 1.48E-03 |
| 10 | N78460 | yz76h06.rl Soares_multiple_sclerosis_2NbHMSP ADNc Homo sapiens clon IMAGE: 289019 5, secuencia de ARNm | 7.11 Abajo | 2.28E-02 |
| 15 | NM_001001430 | Homo sapiens troponina T2, cardíacas (TNNT2), variante de transcripción 2, ARNm | 7.04 Abajo | 9.11E-05 |
| 20 | NM_003979 | Homo sapiens C receptor acoplado a proteína, familia C, grupo 5, el miembro A (GPCR5A), ARNm | 6.95 Abajo | 4.47E-05 |
| 25 | NM_003328 | Homo sapiens TXK tirosina quinasa (TXK), ARNm | 6.94 Abajo | 1.44E-04 |
| 30 | AK128715 | ADNc Homo sapiens FLJ46882 fis, clon UTERU3015844 | 6.94 Abajo | 3.34E-03 |
| 35 | NM_000961 | Homo sapiens prostaglandina 12 (prostaciclina) sintasa (PTGIS), ARNm | 6.91 Abajo | 5.88E-04 |
| 40 | NM_052839 | Homo sapiens pannexina 2 (PANX2), el ARNm | 6.9 Abajo | 7.48E-05 |
| 45 | AF119903 | Homo sapiens PR02834 ARNm, cds completos | 6.89 Abajo | 2.43E-05 |
| 50 | NM_001505 | Homo sapiens proteína G-receptor acoplado 30 (GPR30), ARNm | 6.84 Abajo | 1.15E-03 |
| 55 | AW137116 | UI-H-BII-acp-f-03-0-UI.sl NCI_CGAP_Sub3 ADNc Homo sapiens clon IMAGE: 2715029 3, secuencia de ARNm | 6.83 Abajo | 3.08E-05 |
| 60 | NM_052960 | Homo sapiens ret unión a proteínas INOL 7, celular (RBP7), ARNm | 6.79 Abajo | 3.15E-03 |
| 65 | NM_003107 | Homo sapiens SRY (región determinante del sexo Y) - cuadro 4 (SOX4), ARNm | 6.77 Abajo | 3.33E-04 |

ES 2 569 421 T3

| | | | | |
|----|-----------|---|---------------|----------|
| | NM_004170 | Homo sapiens soluto transportista familia 1 (sistema neuronal Xag / epitelial alta afinidad glutamato transportador,), miembro 1 (SLC1A1), ARNm | 6.77 Abajo | 3.33E-04 |
| 5 | | | | |
| 10 | | | | |
| | CB115754 | K-59876 ESTO1 L8SCKO ADNc Homo sapiens clon L8SCKO-8-H08 5, secuencia de ARNm | 6.75 Abajo | 1.69E-05 |
| 15 | | | | |
| | AK026740 | ADNc Homo sapiens: FLJ23087 fis, clon LNG06994, muy similar a AF161368 Homo sapiens HSPC1O5 ARNm | 6.75 Abajo | 1.05E-04 |
| 20 | | | | |
| | NM_002487 | Homo sapiens homólogo Necdina (ratón) (NDN), ARNm | 6.75 Abajo | 6.29E-04 |
| 25 | | | | |
| | M27161 | Clase MHC humana I CD8 cadena alfa (Leu 2118) de genes, cds completos | 6.73 Abajo | 4.96E-03 |
| 30 | | | | |
| | AK025003 | ADNc Homo sapiens: FLJ21350 fis, clon de C0L02751 | 6.7 Abajo | 4.15E-04 |
| 35 | | | | |
| | NM_000693 | Homo sapiens aldehído deshidrogenasa 1 familia, miembro de A3 (ALDH1A3), ARNm | 6.69 Abajo | 1.41E-02 |
| 40 | | | | |
| | NM_014900 | Homo sapiens COBL tipo 1 (COBLL1), ARNm | 6.67 Abajo | 1.17E-02 |
| 45 | | | | |
| | BG545305 | 602572521FI NIH_MGC_77 Homo sapiens BG545305 Edna clon IMAGE: 4700644 5, Secuencia de ARNm | 6.66 Abajo | 8.24E-04 |
| | NM_014421 | Homo sapiens Dickkopf homólogo 2 (<i>Xenopus laevis</i>) (DKK2), ARNm | 6.66 Abajo | 2.17E-02 |
| 50 | | | | |
| | NM_005139 | Homo sapiens anexina A3 (ANXA3), ARNm | 6.64 Abajo | 2.04E-04 |
| 55 | | | | |
| | BX111520 | BX111520 Soares placenta Nb2HP Homo sapiens ADNc IMAGp998L1 clon de 5208; IMAGE: I41470, secuencia de ARNm | 6.64 Abajo | 7.70E-05 |
| 60 | | | | |
| | AK090808 | ADNc Homo sapiens FLJ33489 fis, clon BRAMY2003585 | 6.63 Abajo | 1.08E-04 |

ES 2 569 421 T3

| | | | | |
|----|-----------|---|---------------|----------|
| | D62831 | HUM33OB1 2B Clontech aorta humana poliA+ ARNm (# 6572) Homo sapiens clon de ADNc GEN-330B12 5, secuencia de ARNm | 6.58 Abajo | 1.02E-03 |
| 5 | | | | |
| 10 | HI8652 | ym45e04.sl Soares cerebro infantil 1 NIB Homo sapiens ADNcclon IMAGE: 50948 3, Secuencia de ARNm | 6.57 Abajo | 1.00E-03 |
| | B0002165 | UI-H-Eli -ayu-m-09-0-UI.sl NCI_CGAP_E11 ADNc Homo sapiens clon IMAGE: 5843888 3, secuencia de ARNm | 6.56 Abajo | 1.26E-04 |
| 15 | | | | |
| 20 | NM_018076 | Homo sapiens repetición armadillo que contiene 4 (ARMC4), ARNm | 6.54 Abajo | 1.72E-04 |
| 25 | H41942 | yo60a08.rl mama Soares 3NbHBst Homo sapiens clon de ADNcIMAGE: 182294 5 contiene similar al elemento repetitivo Alu; contiene LTR9 repetitivo elemento ;, secuencia de ARNm | 6.53 Abajo | 3.48E-03 |
| | AJ318805 | AJ318805 Homo sapiens tejido adiposo hacia sapiens clon de ADNc de 2040, secuencia de ARNm | 6.5 Abajo | 1.54E-04 |
| 30 | | | | |
| 35 | NM_032866 | Homo sapiens Cingulina tipo 1 (CGNL1), ARNm | 6.46 Abajo | 1.84E-03 |
| | CA434164 | UI-H-DHO-arv-a-17-0-UI.sl NCICGAPDHO ADNc Homo sapiens clon UI-H-DHO-arv-a-17-0-UI 3, secuencia de ARNm | 6.44 Abajo | 2.82E-04 |
| | AW006864 | wsl5dO4.xl NCI_CGAP_Kid11 Homo sapiens clon de ADNcIMAGE: 2497255 3, Secuencia de ARNm | 6.39 Abajo | 2.77E-05 |
| | NM_014932 | Homo sapiens neuroligina 1 (NLGN1), ARNm | 6.39 Abajo | 2.59E-05 |
| 40 | | | | |
| | BX538226 | ARNm de Homo sapiens; ADNc DKFZp686E1944 (del clon DKFZp686E1944) | 6.38 Abajo | 1.74E-04 |
| 45 | | | | |
| | NM_016651 | Homo sapiens homólogo pulcro 1, antagonista de beta-catenina (Xenopus) (DACT1), ARNm | 6.38 Abajo | 5.05E-04 |
| 50 | | | | |
| | NM_015678 | Homo sapiens neurobequina (NBEA), ARNm | 6.34 Abajo | 4.17E-03 |
| 55 | | | | |
| | NM_022842 | Homo sapiens CUB contiene el dominio de la proteína 1 (CDCP1), variante de transcripción 1, ARNm | 6.32 Abajo | 1.12E-03 |
| 60 | | | | |
| | AF130079 | Homo sapiens clon FLC0578 PR02852 ARNm, cds completos | 6.32 Abajo | 1.74E-02 |
| 65 | | | | |
| | AL117425 | ARNm de Homo sapiens; ADNc DKFZp566L2O3 (a partir del clon DKFZp566L2O3) | 6.29 Abajo | 8.54E-05 |

| | | | | |
|----|----------------------------------|---|--|----------------------------------|
| 5 | NM_005141 | Homo sapiens fibrinógeno, B polipéptido beta (FGB), ARNm | 6.28 Abajo | 3.43E-04 |
| 10 | AW590139 BE968596 AF220263 | hg33d12.xl NCI_CGAP_GC6 Homo sapiens clon de ADNc IMAGE: 2947415 3, Secuencia de ARNm 601649770F1 NIH_MGC_74 Homo sapiens clon de ADNcIMAGE-0.3933472 5, secuencia de ARNm Homo sapiens MOST2 ARNm, cds completos | 6.27 Abajo 6.26 Abajo 6.5 Abajo | 1.29E-04 6.39E-05 1.10E-03 |
| 15 | NM_000876 | Homo sapiens similar a la insulina factor de crecimiento 2 receptor (IGF2R), ARNm | 6.25 Abajo | 1.08E-03 |
| 20 | NM_006681 AK024865 | Homo sapiens neuromedina U (NMU), ARNm ADNc Homo sapiens: FLJ21 212 fis, clon C0L00502 | 6.25 Abajo 6.24 Abajo | 1.07E-04 1.05E-04 |
| 25 | NM_024508 | dedo de zinc de Homo sapiens, dominio CAMA que contiene 2 (ZBED2), ARNm | 6.22 Abajo | 8.82E-04 |
| 30 | NM_177949 | Homo sapiens repetición armadillo que contiene, X vinculado 2 (ARMCX2), ARNm | 6.18 Abajo | 1.20E-02 |
| 35 | NM_001257 | Homo sapiens cadherina 13, H-cadherina (corazón) (CDH13), ARNm | 6.17 Abajo | 8.46E-03 |
| 40 | NM_001200 AK125695 | Homo sapiens proteína morfogenética ósea 2 (BMP2), ARNm ADNc Homo sapiens FLJ43707 nosotros, clon TESOP2001865 | 6.15 Abajo 6.15 Abajo | 3.33E-04 6.53E-05 |
| 45 | BC033567 | Homo sapiens, clon IMAGE: 4822266, ARNm | 6.14 Abajo | 3.14E-04 |
| 50 | AB011539 | ARNm de Homo sapiens para la proteína MEGF6 (KIAAO81 5), cds parciales | 6.14 Abajo | 1.49E-03 |
| 55 | NM_024697 | Homo sapiens proteína hipotética FLJ22419 (FLJ22419), ARNm | 6.13 Abajo | 2.72E-04 |
| 60 | BC040701 | Homo sapiens IMAGE clon de ADNc: 5736259, cds parcial | 6.13 Abajo | 1.89E-03 |
| 65 | NM_001889 | Homo sapiens cristalina, zeta (quinona reductasa) (CRYZ), ARNm | 6.12 Abajo | 1.97E-02 |

ES 2 569 421 T3

| | | | | |
|----|-----------|---|---------------|----------|
| | BX108092 | Soares_testis_NHT Homo sapiens BX108092 ADNclon 1MAGp9981164460; IMAGE:1754967, secuencia de ARNm | 6.08 Abajo | 1.01E-04 |
| 5 | T65315 | yc79h02.sl Soares cerebro infantil 1 NIB Homo sapiens ADNc clon IMAGE: 22228 3, Secuencia de ARNm | 6.08 Abajo | 1.52E-04 |
| 10 | BX095811 | BX095811 Soares testis NHT Homo sapiens ADNclon 1MAGp998E084494; IMAGE: 1837423, secuencia de ARNm | 6.07 Abajo | 1.68E-04 |
| 15 | NM_012413 | Homo sapiens glutaminil-péptido ciclotransferasa (glutaminil ciclasa) (QPCT), ARNm | 6.07 Abajo | 4.25E-02 |
| 20 | A1311296 | ta48dIO.x2 NCI_CGAP_Lu25 Homo sapiens ADNc clon IMAGE: 2047315 3, Secuencia de ARNm | 6.07 Abajo | 4.15E-04 |
| 25 | NM_138811 | Homo sapiens cromosoma 7 marco de lectura abierto 31 (C7orf3I), ARNm | 6.06 Abajo | 1.54E-04 |
| 30 | BM988642 | UI-H-DHO-axr-p-21-0-Ui.sl NCI_CGAP_DH0 ADNc Homo sapiens clon IMAGE: 5855492 3, secuencia ARNm | 6.05 Abajo | 1.28E-04 |
| 35 | NM_016613 | Homo sapiens proteína hipotética DKFZp434L142 (DKFZp434L142), ARNm | 6.04 Abajo | 1.25E-02 |
| 40 | W20132 | zb4Ocl En Soares_parathyroid_tumor_NbHPAHomo sapiens ADNc clon 306066 IMAGE.-5,secuencia de ARNm | 6.01 Abajo | 7.83E-05 |
| 45 | NM_001785 | Homo sapiens citidina deaminasa (CDA), ARNm | 6.01 Abajo | 1.16E-04 |
| 50 | NM_025151 | Homo sapiens RAB11 interacción de proteínas de la familia 1 (clase I) (RAB11 FIP1), variante de transcripción 1, ARNm | 6 Abajo | 1.76E-02 |
| 55 | AF519622 | Homo sapiens secuencia de ARNm codificante | 5.98 Abajo | 1.26E-04 |
| 60 | NM_152284 | Homo sapiens Snf7 homólogo asociado con Alix 3 (Shax3), ARNm | 5.97 Abajo | 7.70E-05 |
| 65 | D29453 | HUMNK566 de queratinocitos epidérmicos humanos Homo sapiens ADNc clon 566, secuencia de ARNm | 5.97 Abajo | 3.58E-04 |

ES 2 569 421 T3

| | | | | |
|----|-----------|---|---------------|----------|
| | AI220066 | qg84dOl xl Soares_NFL_T_GBC_S1 Homo sapiens clon de ADNcIMAGE: 1841857 3, secuencia de ARNm | 5.96 Abajo | 9.78E-04 |
| 5 | AK026235 | ADNc Homo sapiens: FLJ22582 fis, clon HS102576 | 5.94 Abajo | 1.10E-03 |
| 10 | BX102869 | BX102869 Soares bazo hígado fetal 1NFLS Homo sapiens clon de ADNc IMAGp998P17421 IMAGE: 214528, secuencia de ARNm | 5.92 Abajo | 2.81E-04 |
| 15 | NM_002354 | Homo sapiens señal de calcio asociado a un tumor transductor 1 (TACSTD1), ARNm | 5.92 Abajo | 6.65E-04 |
| 20 | CA31309 | Ut-CF-FNO-aex-f-01-0-UI.sl UI-CF-FNO Homo sapiens clon de ADNc de UI-CF-FNO-AEX-f-01-0 5-UI 3, secuencia de ARNm | 5.91 Abajo | 1.51E-04 |
| 25 | BX641086 | ARNm de Homo sapiens; ADNc DKFZp686G2469 (del clon DKFZp686G2469) | 5.9 Abajo | 1.07E-04 |
| 30 | AK021493 | ADNc Homo sapiens FLJ11431 fis, clon HEMBA1001094 | 5.88 Abajo | 2.79E-04 |
| 35 | NM_152369 | Homo sapiens proteína hipotética MGC45474 (MGC45474), ARNm | 5.87 Abajo | 4.40E-04 |
| 40 | L07615 | Receptor humano neuropeptido V Vi (NPYY1) ARNm, el exón 2-3 y cds completos | 5.87 Abajo | 3.91E-04 |
| | BX503694 | DKFZp686MO2112_sl 686 (sinónimo: hlcc3) Homo sapiens clon de ADNc DKFZp686MO21 12 3, secuencia de ARNm | 5.84 Abajo | 2.17E-04 |
| 45 | NM_021101 | Homo sapiens claudina 1 (CLDN1), ARNm | 5.82 Abajo | 1.24E-04 |
| | NM_005737 | Homo sapiens similar al factor de ADP-ribosilación 7 (ARL7), ARNm | 5.8 Abajo | 3.58E-04 |
| 50 | NM_005264 | Homo sapiens GDNF receptor de la familia de alfa 1 (GFRA1), variante de transcripción 1, ARNm | 5.8 Abajo | 4.54E-05 |
| 55 | AB020640 | ARNm de Homo sapiens para la proteína K1AA0833, cds parcial | 5.79 Abajo | 7.11E-05 |
| 60 | AK022598 | ADNc Homo sapiens FLJ12536 fis, clon NT2RM4000265 | 5.78 Abajo | 2.20E-04 |

ES 2 569 421 T3

| | | | | |
|----|-----------|---|---------------|----------|
| | NM_173660 | Homo sapiens proteína hipotética FLJ33718 (FLJ33718), ARNm | 5.76 Abajo | 2.95E-04 |
| 5 | NM_052923 | Homo sapiens proteína con dedo de zinc 452 (ZNF452), ARNm | 5.71 Abajo | 3.90E-03 |
| 10 | NM_000797 | Homo sapiens receptor de dopamina D4 (DRD4), ARNm | 5.71 Abajo | 4.44E-03 |
| 15 | NM_014917 | Homo sapiens neutrina G1 (NTNG1), ARNm | 5.7 Abajo | 2.50E-04 |
| 20 | NM_053039 | Homo sapiens UDP familia glicosiltransferasa 2, B28 polipéptido (UGT2B28), ARNm | 5.7 Abajo | 9.11E-05 |
| 25 | NM_006266 | Homo sapiens ral nucleótido guanina estimulador de disociación (RalGDS), ARNm | 5.68 Abajo | 9.21E-03 |
| 30 | NM_003264 | Homo sapiens receptor similar a toll 2 (TLR2), ARNm | 5.67 Abajo | 1.51E-04 |
| 35 | AA017035 | ze37clO.sl Soares retina N2b4HR Homo sapiens ADNcclon IMAGE: 361170 3 similar a contiene Alu elemento repetitivo; contiene el elemento MER37 elemento repetitivo; secuencia de ARNm | 5.66 Abajo | 1.17E-04 |
| 40 | NM_005901 | Homo sapiens SMAD, madres contra DPP homólogo 2 (Drosophila) (SMAD2), variante de transcripción 1, ARNm | 5.65 Abajo | 3.84E-02 |
| 45 | NM_000576 | Homo sapiens interleucina 1, beta (IL1B), ARNm | 5.64 Abajo | 6.69E-05 |
| 50 | NM_013322 | Homo sapiens clasificación nexina 10 (SNX1O), ARNm | 5.63 Abajo | 4.81E-04 |
| 55 | AJ406941 | Homo sapiens ARNm parcial para la queratina proteína asociada 4,9 (gen KRTAP4.9) | 5.62 Abajo | 5.80E-05 |
| 60 | NM_001562 | Homo sapiens interleucina 18 (interferón-factor de inducción de gamma) (IL18), ARNm | 5.61 Abajo | 5.82E-03 |
| 65 | NM_173567 | Homo sapiens abhidrolasa dominio que contiene 7 (ABHD7), ARNm | 5.59 Abajo | 1.18E-04 |
| | F36108 | HSPD33448 HM3 ADNc Homo sapiens clonar sh4-000003-1/E09, secuencia de ARNm | 5.57 Abajo | 7.05E-04 |
| | NM_145804 | Homo sapiens repetición de anquirina y BTB (POZ) dominio que contiene 2 (ABTB2), ARNm | 5.56 Abajo | 1.76E-03 |
| | B0002466 | UI-H-EI1-ayw-k-24-0-UI.sl NCI_CGAP_EI1 ADNc Homo sapiens clon IMAGE: 5844623 3, secuencia de ARNm | 5.56 Abajo | 1.46E-04 |

ES 2 569 421 T3

| | | | | |
|----|-----------|---|---------------|----------|
| 5 | NM_173662 | Homo sapiens proteína hipotética L0C285533 (L0C285533), ARNm | 5.56 Abajo | 3.01E-04 |
| 10 | NM_000129 | Homo sapiens factor de coagulación XIII, Al polipéptido (Fl3AI), ARNm | 5.53 Abajo | 1.05E-04 |
| 15 | NM_000584 | Homo sapiens interleucina 8 (1L8), ARNm | 5.51 Abajo | 1.82E-03 |
| 20 | BM664445 | UI-E-CL1-AFA-p-05-0-UI.s1 UI-E-CL1 Homo sapiens clon de ADNc de UI-E-CL1-AFA-p-05-0-UI 3, secuencia de ARNm | 5.5 Abajo | 6.13E-04 |
| 25 | NM_006863 | Homo sapiens leucocitos similar a receptor de inmunoglobulina, de la subfamilia A (con dominio TM), miembro de 1 (LILRA1), ARNm | 5.48 Abajo | 3.09E-03 |
| 30 | NM_006722 | Homo sapiens microftalmia asociada a factor de transcripción (MITF), variante de transcripción 3, ARNm | 5.46 Abajo | 5.71E-03 |
| | BC033124 | Homo sapiens, clon IMAGE: 2960615, ARNm | 5.46 Abajo | 3.64E-04 |
| 35 | NM_014978 | Homo sapiens dominio VPS1O relacionados sortilina que contiene el receptor 3 (SORCS3), ARNm | 5.46 Abajo | 1.26E-04 |
| 40 | AF007143 | Homo sapiens clon 23738 secuencia de ARNm | 5.46 Abajo | 2.05E-04 |
| 45 | NM_001089 | Homo sapiens cassette vinculador de ATP, subfamilia A (ABC1), miembro 3 (ABCA3), ARNm | 5.46 Abajo | 4.75E-05 |
| 50 | NM_004524 | Homo sapiens gigante letal larvas de homólogos 2 (Drosophila) (LLGL2), ARNm | 5.46 Abajo | 2.73E-04 |
| 55 | AW591461 | xI92h06.xl NCI_CGAP_Ut1 Homo sapiens clon de ADNcIMAGE: 2682203 3, Secuencia de ARNm | 5.45 Abajo | 1.29E-04 |
| 60 | NM_007072 | Homo sapiens HERV-H LTR-2 asociado a (HHLA2), ARNm | 5.45 Abajo | 1.18E-03 |
| 65 | NM_181718 | Homo sapiens proteína hipotética L0C253982 (L0C253982), ARNm | 5.44 Abajo | 6.64E-03 |

ES 2 569 421 T3

| | | | | |
|----|-----------|--|---------------|----------|
| 5 | A1559193 | tq42h0I xl NCI_CGAP_Ut1 Homo sapiens clon de ADNcIMAGE: 2211505 3, secuencia de ARNm | 5.44 Abajo | 2.64E-03 |
| 10 | BF058471 | 7k31b04.xl NCI_CGAP_0v18 Homo sapiens ADNc clon IMAGE: 3477054 3 similar a contiene elemento MER17 elemento repetitivo ;, secuencia de ARNm | 5.43 Abajo | 4.72E-03 |
| 15 | AK130181 | ADNc Homo sapiens FLJ26671 fis, clon MPG03325 | 5.42 Abajo | 4.50E-05 |
| 20 | NM_178039 | Homo sapiens proteínas que interactúan Rab6-2 (ELKS), variante de transcripción delta, ARNm | 5.41 Abajo | 9.73E-04 |
| 25 | NM_019025 | Homo sapiens espermina oxidasa (SMOX), variante de transcripción 5, ARNm | 5.4 Abajo | 1.11E-02 |
| 30 | BX108809 | BX108809 Soares bazo hígado fetal 1NFLS ADNc Homo sapiens clon IMAGp998LO5373; IMAGE: 195988, secuencia de ARNm | 5.4 Abajo | 4.43E-02 |
| 35 | NM_019607 | Homo sapiens proteína hipotética FLJ11267 (FLJ11267), ARNm | 5.4 Abajo | 1.76E-02 |
| 40 | NM_001343 | Homo sapiens discapacitados de homólogos, 2, mitógeno fosfoproteína sensible (Drosophila) (DAB2), ARNm | 5.39 Abajo | 3.11E-03 |
| 45 | NM_000087 | Homo sapiens nucleótidos cíclicos cerrada canal alfa 1 (CNGA1), ARNm | 5.34 Abajo | 6.52E-04 |
| 50 | NM_031894 | Homo sapiens ferritina, pesado polipéptido similar 17 (FTHL17), ARNm | 5.34 Abajo | 4.47E-03 |
| 55 | NM_031419 | Homo sapiens factor nuclear kappa luz promotor de gen del polipéptido en las células B inhibidor, zeta (NFKBIZ), variante de transcripción 1, ARNm | 5.33 Abajo | 7.27E-03 |
| 60 | | | | |
| 65 | BG199496 | RST18780 Atersis RAGE Biblioteca Homo sapiens ADNc, secuencia de ARNm | 5.3 Abajo | 4.14E-04 |

ES 2 569 421 T3

| | | | | |
|----|------------|--|---------------|----------|
| | NM_001958 | Homo sapiens elongación de la traducción eucariótica factor I Alfa 2 (EEF1A2), ARNm | 5.29 Abajo | 1.97E-04 |
| 5 | NM_0018278 | Homo sapiens ácido retinoico celular de unión a proteína (CRABP2), ARNm | 5.29 Abajo | 5.17E-04 |
| 10 | AW014126 | UI-H-blo-AAJ-a-05-O-UI.sl NCI_CGAP_SUBL ADNc Homo sapiens IMAGE clon 2709393 3, secuencia de ARNm | 5.29 Abajo | 9.98E-04 |
| 15 | NM_006072 | Homo sapiens quimiocina (motivo C-C) ligando 26 (CCL26), ARNm | 5.28 Abajo | 5.45E-03 |
| 20 | X70287 | H.sapiens de genes para la tiorredoxina, los exones 2 y 3 | 5.27 Abajo | 2.75E-02 |
| 25 | NM_014867 | Homo sapiens KIAAO71 producto 1 gen (KIAAO711), ARNm | 5.27 Abajo | 1.44E-03 |
| 30 | BX100098 | BX100098 Soares_pregnant_uterus_NbHPU Homo sapiens ADNc clon IMAGp998CO21198; IMAGE: 502201, secuencia de ARNm | 5.26 Abajo | 2.59E-04 |
| 35 | AK055334 | ADNc Homo sapiens FLJ30772 fis, clon FEBRA2000757, moderadamente similar al Homo sapiens BM-009 de ARNm | 5.24 Abajo | 8.92E-04 |
| 40 | BU567804 | AGENCOURT_10398872 NIH_MGC_82 Homo sapiens ADNcclon IMAGE: 6614502 5, secuencia de ARNm | 5.24 Abajo | 2.28E-02 |
| 45 | NM_006332 | Homo sapiens interferón, gamma-inducible proteína 30 (1F130), ARNm | 5.24 Abajo | 1.75E-03 |
| 50 | BF111903 | 7138d07.xl Soares_NSF_F8_9W_OT_PA_P_S1 Homo sapiens clon de ADNc IMAGE-0.3523644 3, Secuencia de ARNm | 5.23 Abajo | 4.43E-05 |
| 55 | NM_006727 | Homo sapiens cadherina 10, tipo 2 (T2 cadherina) (CDH10), ARNm | 5.2 Abajo | 1.84E-04 |
| 60 | NM_003810 | Homo sapiens factor de necrosis tumoral (ligando) superfamilia, miembro 10 (TNFSF10), ARNm | 5.19 Abajo | 2.91E-03 |
| 65 | | | | |

ES 2 569 421 T3

| | | | | |
|----|--------------|--|---------------|----------|
| | AK127421 | ADNc Homo sapiens FLJ455l3fis, clon BRTHA2021450 | 5.18 Abajo | 8.00E-05 |
| 5 | NM_024897 | Homo sapiens progestina y el receptor de adipoQ miembro de la familia VI (PAQR6), variante de transcripción 1, ARNm | 5.18 Abajo | 2.69E-05 |
| 10 | BU729783 | UI-E-CK1-afh-h-18-0-UI.sl UI-E-CK1 Homo sapiens clon de ADNc UI-E-CK1 -afh-h-1 8-0 3-UI, secuencia de ARNm | 5.17 Abajo | 1.52E-04 |
| 15 | BX107838 | BX107838 NCI_CGAP_Lu5 Homo sapiens ADNc clon IMAGp998A1 53853; IMAGE: 1521686, secuencia de ARNm | 5.16 Abajo | 4.26E-04 |
| 20 | NM_004335 | Homo sapiens médula ósea células del estroma antígeno 2 (BST2), ARNm | 5.16 Abajo | 7.11E-05 |
| 25 | AK021637 | ADNc Homo sapiens FLJ1 1575 fis, clon HEMBA1003531 | 5.15 Abajo | 6.53E-05 |
| 30 | NM_0148190 | Homo sapiens regulados a la baja en el cáncer de ovario (DOD), variante de transcripción 2, ARNm | 5.15 Abajo | 9.70E-05 |
| 35 | NM_003597 | Homo sapiens TGFB inducible crecimiento temprano respuesta 2 (TIEG2), ARNm | 5.14 Abajo | 1.19E-03 |
| 40 | AI684824 | wa86a12.xl Soares_NFL_T_GBC Si Homo sapiens clon de ADNc (MAGE: 2303038 3, Secuencia de ARNm | 5.13 Abajo | 9.14E-04 |
| 45 | NM_002522 | Homo sapiens pentraxina neuronal I (NPTX1), ARNm | 5.12 Abajo | 1.52E-03 |
| 50 | NM_002250 | Homo sapiens potasio intermedia / pequeña conductancia de los canales de calcio activados, subfamilia N, miembro 4 (KCNN4), ARNm | 5.12 Abajo | 1.28E-04 |
| | NM_001305 | Homo sapiens claudina 4 (CLDN4), ARNm | 5.11 Abajo | 3.26E-03 |
| 55 | BC015108 | Homo sapiens, similar a otoconina 90, clon IMAGE-4044247, ARNm | 5.1 Abajo | 2.17E-04 |
| 60 | N51335 | yzl5eO8.sl Soares_multiple_sclerosis_2NbHMSP ADNc Homo sapiens IMAGE clon 283142 3, secuencia de ARNm | 5.1 Abajo | 2.89E-05 |
| | NM_001002295 | Homo sapiens GATA proteína de unión 3 (GATA3), variante de transcripción 1, ARNm | 5.06 Abajo | 3.85E-03 |
| 65 | | | | |

ES 2 569 421 T3

| | | | | |
|----|---|---|---------------|----------|
| 5 | NM_013281 | Homo sapiens fibronectina ricos en leucina proteína transmembrana 3 (FLRT3), transcripción variante 1, ARNm | 5.05 Abajo | 5.04E-03 |
| 10 | A1623139 | tu89b07.xl NCI_CGAP_Gas4 Homo sapiens clon de ADNc IMAGE: 2258197 3, secuencia de ARNm | 5.04 Abajo | 4.25E-03 |
| 15 | NM_022168 | Homo sapiens interferón helicasa inducida con C dominio 1 (IFIH1), ARNm | 5.04 Abajo | 2.48E-03 |
| 20 | BC051727 | Homo sapiens IMAGE clon de ADNc: 5265929, cds parcial | 5.02 Abajo | 5.42E-04 |
| 25 | TABLA VII F: GENES QUE FUERON EXPRESADOS DIFERENCIALMENTE AL MENOS 5 VECES EN AF-1 FRENTE A LAS CÉLULAS AF-III | | | |

| | Identificador gen | Nombre de gen | Cambio de pliegue medio en células de fibroblasto versus AF | Dirección | P-valor adj. |
|----|-------------------|--|---|--------------|--------------|
| 30 | NM_080872 | Homo sapiens UNC-5 homólogo D (<i>C. elegans</i>) (UNC5D), ARNm | | 331.21 UP | 5.22E-06 |
| 35 | NM_000090 | Homo sapiens colágeno, tipo III, alfa 1 (síndrome de Ehlers-Danlos tipo IV, autosómica dominante) (COL3A1), ARNm | | 310.82 UP | 3.56E-06 |
| 40 | NM_138961 | Homo sapiens adhesión celular endotelial molécula (ESAM), ARNm | | 262 UP | 6.27E-06 |
| 45 | AK021531 | ADNc Homo sapiens FLJ11469 fis, clon HEMBA1001658 | | 205.55 UP | 3.10E-06 |
| 50 | NM_000474 | Homo sapiens giro homólogo 1 de (acrocefalosindactilia 3; síndrome Saethre-Chotzen) (<i>Drosophila</i>) (TWIST1), ARNm | | 116.12 UP | 2.29E-05 |
| 55 | BX089554 | BX089554 Soares placenta Nb2HP Homo sapiens ADNc clon IMAGp998PO72IO; 4 IMAGE: 142326, secuencia de ARNm | | 97.02 UP | 3.10E-06 |
| 60 | NM_018013 | Homo sapiens proteína hipotética FLJ1O159 (FLJ1O159), ARNm | | 88.82 UP | 3.10E-06 |
| 65 | | | | | |

ES 2 569 421 T3

| | | | | |
|----|-----------|---|-------------|----------|
| | NM_182798 | Homo sapiens proteína hipotética FLJ39155 (FLJ39155), variante de transcripción 2, ARNm | 86.73 UP | 3.10E-06 |
| 5 | NM_052954 | Homo sapiens cisteína y la tirosina-rica 1 (CYYR1), ARNm | 85.9 UP | 3.10E-06 |
| | NM_000867 | Homo sapiens 5-hidroxitriptamina (serotonina) receptor 2B (HTR2B), ARNm | 74.02 UP | 3.19E-06 |
| 10 | | | | |
| | NM_014178 | Homo sapiens proteínas sintaxina vinculante 6 (amisyn) (STXBP6), ARNm | 71.46 UP | 8.25E-06 |
| 15 | | | | |
| | U83115 | humana beta no lente de gamma-cristalina similar a proteínas (AIM1) ARNm, cds parcial | 66.41 UP | 8.66E-06 |
| 20 | CA429135 | UI-H-FH1-bfh-k-22-0-Ui.sl NCI_CGAP_FH1 ADNc clon Homo sapiens UI-H-FH1-BFH-k-22-0-Ui 3, secuencia de ARNm | 66.03 UP | 2.19E-06 |
| 25 | | | | |
| | BQ003501 | UI-H-EI1-azd-p-06-0-Ui.sl NCI_CGAP_H1 ADNc Homo sapiens clon IMAGE.-5847413 3, secuencia ARNm | 54.48 UP | 1.35E-05 |
| 30 | | | | |
| 35 | BX105152 | BX105152 Soares_testis_NHT Homo sapiens ADNclon 1MAGp998J212575; IMAGE: 1031156, secuencia de ARNm | 50.41 UP | 5.63E-06 |
| 40 | | | | |
| | NM_006393 | Homo sapiens nebulette (NEBL), variante de transcripción 1, el ARNm | 50.35 UP | 1.43E-05 |
| 45 | | | | |
| | NM_001432 | Homo sapiens epirregulina (EREG), ARNm | 49.79 UP | 6.21E-06 |
| | AI124557 | am58g02.xl Johnston corteza frontal Homo Sapiens clon de ADNc IMAGE: 1539794 3, secuencia de ARNm | 45.53 UP | 3.19E-06 |
| 50 | | | | |
| 55 | NM_018286 | Homo sapiens proteína hipotética FLJ1O97O (FLJ1O97O), ARNm | 44.54 UP | 1.84E-05 |
| 60 | A1962169 | wq45clO.xi NCI_CGAP_GC6 Homo sapiens clon de ADNc IMAGE: 2474226 3, Secuencia de ARNm | 44.13 UP | 3.20E-05 |
| | NM_003381 | Homo sapiens péptido intestinal vasoactivo (VIP), variante de transcripción 1, ARNm | 42.63 UP | 1.22E-05 |

ES 2 569 421 T3

| | | | | |
|----|----------------------|---|----------------------------|----------------------|
| | NM_018371 | Homo sapiens condroitina betal, 4 N-acetylgalactosaminiltransferasa (ChGn), ARNm | 42.53 UP | 2.67E-05 |
| 5 | | | | |
| 10 | NM_181481 | Homo sapiens cromosoma 18 marco de lectura abierto 1 (Cl8orf1), variante de transcripción I, ARNm | 41.33 UP | 6.27E-06 |
| 15 | BQ025821 | UI-1-BB1p-aye-f-10-0-Ui.si NCI_CGAP_P16 ADNc Homo sapiens clon de UI-1-BB1p-aye-f-10-0-Ui 3, secuencia de ARNm | 39.96 UP | 3.10E-06 |
| 20 | NM_152754 | Homo sapiens sema dominio de inmunoglobulina dominio (LG), base de dominio corto, secretada, (semaforina) 3D (SEMA3D), ARNm | 37.45 UP | 3.17E-05 |
| 25 | | | | |
| 30 | NM_002928 | Homo sapiens regulador de la proteína G de señalización 16 (Rgs16), ARNm | 36.89 UP | 2.02E-05 |
| 35 | H85497 BF515657 | yv88b07.ri Soares melanocito 2NbHM Homo sapiens clon de ADNc IMAGE-249781 5, Secuencia de ARNm UI-H-BW1-anu-e-05-0-Ui.si NCICGAP_Sub7 ADNc Homo sapiens IMAGE clon: 3083601 3, secuencia de ARNm | 35.37 UP 34.85 UP | 8.96E-05 5.22E-06 |
| 40 | BE465760 | hw22f09.xl NCI_CGAP_Kid11 Homo sapiens clon de ADNc IMAGE: 3183689 3, Secuencia de ARNm | 34.39 UP | 1.39E-05 |
| 45 | | | | |
| 50 | AK027128 BC040678 | ADNc Homo sapiens: FLJ23475 fis, clon HS113659 Homo sapiens, clon IMAGE: 4817707, ARNm | 33.21 UP 32.1 UP | 4.37E-06 3.37E-05 |
| 55 | NM_001864 | Homo sapiens citocromo c oxidasa subunidad VIIa polipéptido 1 (músculo) (COX7A1), ARNm | 30.71 UP | 1.69E-05 |
| 60 | AK096708 | ADNc Homo sapiens FLJ39389 fis, clon PLACE6003621 | 28.39 UP | 8.85E-06 |
| 65 | NM_005308 | Homo sapiens proteína G-receptor acoplado a quinasa 5 (GRK5), ARNm | 27.96 UP | 1.34E-05 |

ES 2 569 421 T3

| | | | | |
|----|-----------|---|-------------|----------|
| 5 | CF137545 | UI-HF-BNO-ane-d-05-0-Ui.rl NIH_MGC5O Homo sapiens clon de ADNc IMAGE: 3092384 5, secuencia ARNm | 27.55 UP | 2.39E-05 |
| 10 | NM_053281 | Homo sapiens dachshund homólogo 2 (Drosophila) (DACH2), ARNm | 25.26 UP | 5.22E-05 |
| 15 | NM_005595 | Homo sapiens factor nuclear de I/A (NFIA), ARNm | 23.76 UP | 2.51E-05 |
| 20 | BM685124 | UI-E-EJ1-ajl-I-13-0-Ui.s1 UI-E-EJ1 Homo sapiens clon de ADNc de UI-E-EJ1-ajl-I-13-0 3-Ui, secuencia de ARNm | 23.64 UP | 1.16E-05 |
| 25 | NM_004411 | Homo sapiens dineína, citoplasmática, polipéptido intermedio 1 (DNCI1), ARNm | 23.55 UP | 4.37E-06 |
| 30 | NM_032918 | Homo sapiens similar a RAS, regulados por estrógenos, inhibidor del crecimiento (RERG), ARNm | 23 UP | 3.96E-06 |
| 35 | NM_020997 | Homo sapiens izquierda-derecha factor de determinación 1 (Lefty1), ARNm | 22.48 UP | 9.37E-06 |
| 40 | N33310 | yy39g10sl Soares melanocito 2NbHM Homo sapiens ADNc clon IMAGE: 273666 3, Secuencia de ARNm | 22.37 UP | 1.57E-05 |
| | BM713465 | UI-E-EJO-aho-m-22-0-Ui.rl UI-E-EJO Homo sapiens clon de ADNc UI-E-EJO-aho-m-22-0-Ui 5, secuencia 5 ARNm | 21.7 UP | 8.98E-06 |
| 45 | AK095053 | ADNc Homo sapiens FLJ37734 fis, clon BRH1P2020842 | 21.49 UP | 2.37E-05 |
| 50 | BC016722 | Homo sapiens IMAGE clon de ADNc: 4075924, cds parcial | 20.91 UP | 7.23E-04 |
| | AW445209 | UI-H-1313-akc-g-11-0-Ui.sl NCI_CGAP_Sub5 Homo sapiens clon de ADNcIMAGE: 2733908 secuencia 3, ARNm | 20.04 UP | 6.27E-06 |
| 55 | AI032876 | ow13g03.xl Soares_parathyroid_tumor_NbHPA ADNc clon Homo sapiens IMAGE 1646740 3, secuencia de ARNm | 19.56 UP | 2.18E-05 |
| 60 | | | | |

ES 2 569 421 T3

| | | | | |
|----|-----------|--|-------------|----------|
| 5 | BG389328 | 602413981FI NIH_MGC_92 Homo sapiens clon de ADNc IMAGE: 4522269 5, Secuencia de ARNm | 18.94 UP | 9.37E-06 |
| 10 | NM_153355 | Homo sapiens linfoma de células T punto de ruptura asociado a la diana 1 (TCBA1), ARNm | 18.74 UP | 5.63E-06 |
| 15 | BX089554 | BX089554 Soares placenta Nb2HP Homo sapiens clon de ADNc IMAGp998P07210 IMAGE: 142326, secuencia de ARNm | 18.36 UP | 1.12E-06 |
| 20 | NM_002518 | Homo sapiens proteína de dominio PAS neuronal 2 (NPAS2), ARNm | 17.94 UP | 2.19E-06 |
| 25 | A1342246 | qt26g09.xi Soares_pregnant_uterus_NbHPU ADNc Homo sapiens clon IMAGE: 1949152 3, secuencia de ARNm | 17.68 UP | 8.37E-06 |
| 30 | NM_170744 | Homo sapiens UNC-5 homólogo B (<i>C. elegans</i>) (Unc5B), ARNm | 17.32 UP | 1.99E-05 |
| 35 | A1951740 | wv38h09.xl NCI_CGAP_Ovi8 Homo sapiens ADNcclon IMAGE: 2531873 3, Secuencia de ARNm | 17.24 UP | 8.84E-05 |
| 40 | NM_005110 | Homo sapiens glutamina-fructosa-6-fosfato transaminasa 2 (GFPT2), ARNm | 16.65 UP | 8.86E-06 |
| 45 | NM_015564 | Homo sapiens repeticiones ricas en leucina transmembrana neuronal 2 (LRRTM2), ARNm | 16.45 UP | 2.72E-05 |
| 50 | BC043411 | Homo sapiens, clon IMAGE: 6155889, ARNm | 16.38 UP | 3.10E-06 |
| 55 | NM_153183 | Homo sapiens nudix (nucleósido difosfato fracción unida a X) con motivos de tipo 10 (NUDT10), ARNm | 16.25 UP | 1.45E-05 |
| 60 | NM_005320 | Homo sapiens histona 1, H1d (HIST1H1D), ARNm | 16.24 UP | 4.43E-04 |
| 65 | W93585 | zd95g01.sl Soares_fetal_heart_NbHH19W Homo sapiens clon de ADNcIMAGE:357264 3, Secuencia de ARNm | 16.22 UP | 1.39E-05 |
| | NM_002771 | Homo sapiens proteasa, serina, 3 (mesotripsina) (PRSS3), ARNm | 16.15 UP | 3.20E-05 |
| | NM_013387 | Homo sapiens ubiquinol citocromo c-complejo reductasa (7,2 kD) (HSPCO51), variante de transcripción 1, ARNm | 16.09 UP | 3.10E-06 |
| | NM_001853 | Homo sapiens colágeno, tipo IX, alfa 3 (COL9A3), ARNm | 15.86 UP | 4.01E-05 |
| | NM_014802 | Homo sapiens KIAAO528 producto génico (KIAAO528), ARNm | 15.81 UP | 5.11E-05 |

ES 2 569 421 T3

| | | | | |
|----|-----------|---|-------------|----------|
| | AF216077 | Homo sapiens clon HB-2 secuencia de ARNm | 15.64 UP | 2.71E-05 |
| 5 | AI686652 | tu35d06.xl NCI_CGAP_Pr28 Homo sapiens ADNc clon IMAGE.-2253035 3, secuencia de ARNm | 15.12 UP | 5.07E-06 |
| 10 | AI086279 | oz4OhOl.sl Soares_NhHMPu_S1 Homo sapiens clon de ADNc IMAGE-1677841 3, secuencia de ARNm | 14.96 UP | 2.47E-05 |
| 15 | NM_001146 | Homo sapiens angiopoyetina 1 (ANGPT1), variante de transcripción 1, ARNm | 14.38 UP | 1.29E-05 |
| 20 | NM_021643 | Homo sapiens tribbles homólogo 2 (<i>Drosophila</i>) (Trib2), ARNm | 14.32 UP | 6.48E-06 |
| 25 | NM_020927 | Homo sapiens KIAA1 proteína 576 (KIAA1 576), ARNm | 14.14 UP | 1.61E-05 |
| 30 | W69644 | zd45110.rl Soares_fetal_heartNbHHI9W Homo sapiens clon de ADNcIMAGE: 343627 5, secuencia de ARNm | 14.01 UP | 1.22E-05 |
| 35 | NM_012204 | Homo sapiens factor de transcripción general de IIIC, polipéptido, 90kDa (GTF3C4), ARNm | 13.95 UP | 1.41E-05 |
| 40 | BM663928 | UI-E-CII-afw-p-01-0-UI.sl UI-E-CII Homo sapiens clon de ADNc de UI-E-CI1-afw-p-01-0-UI 3, secuencia de ARNm | 13.53 UP | 8.04E-05 |
| 45 | BM724062 | UI-E-E01-aiy-a-22-0-UI.rl ul-E-E01 Homo sapiens clon de ADNc de UI-E-E01-aiy-a-22-0-UI 5, secuencia ARNm | 13.51 UP | 3.19E-06 |
| 50 | H51050 | yp84ell.sl bazo Soares hígado fetal 1NFLSHomo sapiens ADNc clon IMAGE: 194156 3,secuencia de ARNm | 13.39 UP | 1.94E-05 |
| 55 | BX111353 | BX111353 NCI_CGAP_Kid3 Homo sapiens ADNcclon 1MAGp9980094576; IMAGE: 1869152, secuencia de ARNm | 13.38 UP | 3.92E-05 |
| 60 | NM_054027 | Homo sapiens anquilosis, homólogo progresiva(ratón) (Ankh), ARNm | 13.27 UP | 3.33E-05 |
| 65 | NM_152550 | Homo sapiens dominio SH3 que contiene un dedo anular 2 (SH3RF2), ARNm | 13.06 UP | 2.23E-05 |

ES 2 569 421 T3

| | | | | |
|----|-----------|--|-------------|----------|
| | NM_033082 | Homo sapiens citoquinas inducida por la proteína de 29 kDa (CIP29), ARNm | 12.87 UP | 5.63E-06 |
| 5 | AA232643 | zr47elO.rl Soares NhHMPu Si Homo sapiens ADNclon IMAGE: 666570 5, secuencia de ARNm | 12.47 UP | 6.41E-05 |
| 10 | BX103846 | BX103846 NCI_CGAP_Lu24 Homo sapiens clon de ADNc 1MAGp998F125811 IMAGE: 2342027, secuencia de ARNm | 12.4 UP | 1.39E-05 |
| 15 | NM_016140 | Homo sapiens proteína específica del cerebro (CGI-38), ARNm | 12.26 UP | 2.71E-05 |
| 20 | AW043793 | wy76dll.xl Soares_NSF_F8_9W_OT_PA_P_S1 Homo sapiens clon de ADNc IMAGE: 2554485 3 similar a elemento contiene MER18 elemento repetitivo ;, secuencia de ARNm | 12.04 UP | 6.21E-06 |
| 25 | NM_020226 | Homo sapiens dominio PR que contiene 8 (PRDM8), ARNm | 12.01 UP | 5.32E-06 |
| 30 | BX113590 | BX113590 Soares_fetal_heart_NbHH19W Homo sapiens clon de ADNc IMAGp998A14871 IMAGE: 376597, secuencia de ARNm | 11.97 UP | 3.09E-05 |
| 35 | AK127644 | ADNc Homo sapiens FLJ45742 fis, clon K1DNE2016327 | 11.91 UP | 7.34E-05 |
| 40 | BC046364 | Homo sapiens flavoproteínas MICAL3 oxidoreductasa, ARNm (ADNc clon IMAGE: 57371 21), con intrón retenido aparente | 11.88 UP | 1.87E-05 |
| 45 | AI821210 | neO8eO5.y5 NCI_CGAP_Co3 Homo sapiens clon de ADNcIMAGE: 880640 5, secuencia de ARNm | 11.79 UP | 4.15E-03 |
| 50 | AK128288 | ADNc Homo sapiens FLJ46426 fis, clon THYMU3013897 | 11.76 UP | 2.88E-04 |
| 55 | NM_033641 | Homo sapiens colágeno, tipo IV, alfa 6 (COL4A6), variante de la transcripción B, el ARNm | 11.56 UP | 2.05E-05 |
| 60 | | | | |

ES 2 569 421 T3

| | | | | |
|----|-----------|---|-------------|----------|
| | NM_004460 | Homo sapiens proteína de activación de fibroblastos, alfa (FAP), ARNm | 11.54 UP | 1.40E-05 |
| 5 | A1792426 | 2.y5 qe47al Soares_fetal_lung_NbHL1 9W Homo sapiens clon de ADNc IMAGE: 1742110 5 que contiene similares MER22.b3 MER18 repetitivo elemento ;, secuencia de ARNm | 11.41 UP | 1.33E-03 |
| 10 | | | | |
| 15 | NM_018374 | Homo sapiens proteína hipotética GRIPE 1273 (FLJ11273), ARNm | 11.23 UP | 3.24E-04 |
| 20 | BM802920 | Agencourt_6457446 NIH_MGC_88 Homo sapiens ADNcclon IMAGE: 5560288 5, secuencia de ARNm | 11.11 UP | 8.59E-05 |
| 25 | | | | |
| | AA043255 | zk49f07.sl Soares_pregnant_uterus_NbHPU ADNc Homo sapiens clon IMAGE: 486181 3, secuencia de ARNm | 11.1 UP | 2.64E-05 |
| 30 | | | | |
| | NM_001847 | Homo sapiens colágeno tipo IV, alfa 6 (COL4A6), variante de transcripción A, ARNm | 10.98 UP | 9.89E-06 |
| 35 | | | | |
| | AK124778 | ADNc Homo sapiens FLJ42788 fis, clon BRAWH3007129 | 10.95 UP | 9.27E-05 |
| 40 | AK130306 | ADNc Homo sapiens FLJ26796 nosotros, clon PRS05079 | 10.86 UP | 1.02E-04 |
| 45 | AK023739 | ADNc Homo sapiens FLJ13677 fis, clon PLACE1011982 | 10.83 UP | 6.24E-05 |
| | AL832624 | Homo sapiens ARNm; ADNc DKFZp451BO818 (a partir del clon DKFZp451BO818) | 10.8 UP | 5.63E-06 |
| 50 | BC014344 | Homo sapiens, similar a arilacetamida deacetilasa, clon IMAGE 3934567, ARNm | 10.68 UP | 2.37E-05 |
| 55 | NM_000955 | Homo sapiens receptor E de la prostaglandina 1 (subtipo EP1), 42kDa (PTGER1), ARNm | 10.66 UP | 1.14E-05 |
| 60 | CD001963 | C24B1 resta cóclea biblioteca de ADNc Homo sapiens ADNc, secuencia de ARNm | 10.47 UP | 7.71E-06 |
| 65 | | | | |

ES 2 569 421 T3

| | | | | |
|----|------------|--|-------------|----------|
| | NM_032261 | Homo sapiens cromosoma 21 marco de lectura abierto fotograma 56 (C21orf56), ARNm | 10.42 UP | 4.73E-06 |
| 5 | BC036004 | Homo sapiens, IMAGE clon: 4730399, ARNm | 10.3 UP | 3.06E-05 |
| 10 | NM_006408 | Homo sapiens anterior gradiente de 2 homólogo (<i>Xenopus laevis</i>) (AGR2), ARNm | 10.28 UP | 4.23E-05 |
| 15 | AB037805 | Homo sapiens ARNm de la proteína KIAA1384, cds parcial | 10.24 UP | 8.03E-05 |
| 20 | BF964783 | 602268030F1 NIH_MGC_81 Homo sapiens ADNc clon IMAGE: 4356.246 5, secuencia de ARNm | 10.02 UP | 1.41E-05 |
| 25 | NM_000963 | Homo sapiens prostaglandina-endoperoxido sintasa 2 (prostaglandina G / H sintasa y ciclooxigenasa) (PTGS2), ARNm | 9.91 UP | 5.63E-06 |
| 30 | AK092541 | ADNc Homo sapiens FLJ35222 nosotros, clon PR0ST2000835 | 9.88 UP | 4.65E-02 |
| 35 | NM_007361 | Homo sapiens nidogen 2 (osteonidogen) (NID2), ARNm | 9.68 UP | 5.30E-06 |
| 40 | NM_0132231 | Homo sapiens fibronectina ricos en leucina proteína transmembrana (FLRT2), ARNm | 9.58 UP | 1.43E-05 |
| 45 | NM_002667 | Homo sapiens fosfolamban (PLN), ARNm | 9.55 UP | 9.83E-04 |
| 50 | AF414442 | Homo sapiens tumor relacionado con cáncer de ovario marcador CA125ARNm, cds completos | 9.51 UP | 1.11E-03 |
| 55 | AK125453 | ADNc Homo sapiens FLJ43464 fis, clonOCBBF2036225 | 9.48 UP | 1.15E-02 |
| 60 | W38393 | zb15c07.rl Soares_fetal_lung_NbHL19W Homo sapiens ADNcclon IMAGE: 302124 5, secuencia de ARNm | 9.39 UP | 5.52E-05 |
| 65 | NM_152775 | Homo sapiens proteína hipotética MGC33607 (MGC33607), ARNm | 9.29 UP | 2.35E-05 |
| | AK09173 | ADNc Homo sapiens FLJ34412 fis, clon HEART2002432 | 9.07 UP | 2.06E-05 |

ES 2 569 421 T3

| | | | | |
|----|-----------|--|------------|----------|
| | AK025909 | ADNc Homo sapiens: nos FLJ22256, clon HRC02860 | 9.05 UP | 4.45E-05 |
| 5 | D62676 | HUM313C12B Clontech aorta humana poliA+ ARNm (#6572) Homo sapiens clon de ADNc, GEN-313C12 5, secuencia de ARNm | 9.02 UP | 1.38E-03 |
| 10 | | | | |
| | AK129955 | ADNc Homo sapiens FLJ26445 fis, clon KDN02608 | 8.98 UP | 8.52E-05 |
| 15 | R22189 | yh26a02.si Soares placenta Nb2HP Homo sapiens clon de ADNc IMAGE: 130826 3, secuencia de ARNm | 8.94 UP | 2.29E05 |
| 20 | | | | |
| | AW963062 | EST375135 resequences IMAGE, magh Homo sapiens ADNc, secuencia de ARNm | 8.9 UP | 1.76E-04 |
| 25 | AW044502 | wx22g05.xl NCI_CGAP_Kid11 Homo sapiens clon de ADNc IMAGE: 2544440 3, Secuencia de ARNm | 8.89 UP | 1.35E-05 |
| 30 | | | | |
| | NM_014222 | Homo sapiens NADH deshidrogenasa (ubiquinona) 1 subcomplejo alfa, 8, 19kDa (NDUFA8), gen nuclear que codifica la proteína mitocondrial, ARNm | 8.88 UP | 4.45E-05 |
| 35 | | | | |
| 40 | | | | |
| | AK124562 | ADNc Homo sapiens FLJ42571 fis, clon BRACE3008036 | 8.82 UP | 8.86E-06 |
| 45 | NM_002261 | Homo sapiens células asesinas receptor de lectina subfamilia C, 3 miembro (KLRC3), variante de transcripción NKG2-E, ARNm | 8.75 UP | 9.45E-05 |
| 50 | | | | |
| | BC012900 | Homo sapiens, clon IMAGE: 3881549, ARNm | 8.71 UP | 1.61E-04 |
| | R53688 | yg84h04.r1 Soares cerebro infantil 1NIB Homo sapiens ADNc clon IMAGE: 40175 5, Secuencia de ARNm | 8.49 UP | 1.74E-05 |
| 55 | | | | |
| | AL13311 | Homo sapiens ARNm; ADNc DKFZp586N0121 (a partir del clon DKFZp586N01 21) receptor similar a lectina | 8.47 UP | 6.83E-05 |
| 60 | NM_002260 | Homo sapiens células asesinas subfamilia C, miembro 2 (KLRC2), ARNm | 8.44 UP | 1.61E-04 |
| 65 | | | | |

ES 2 569 421 T3

| | | | | |
|----|--------------|--|------------|----------|
| 5 | NM_002421 | Homo sapiens matriz metaloproteinasa 1 (colagenasa intersticial) (MMP1), ARNm | 8.34 UP | 5.17E-04 |
| 10 | NM_005328 | Homo sapiens hialuronano sintasa 2 (HAS2), ARNm | 8.18 UP | 2.35E-04 |
| 15 | NM_152423 | Homo sapiens melanoma antígeno asociado (mutado) 1 tipo 1 (MUM1L1), ARNm | 8.12 UP | 6.31E-05 |
| 20 | NM_004848 | Homo sapiens cromosoma 1 marco de lectura abierto 38 (C1orf38), ARNm | 8.05 UP | 5.83E-05 |
| 25 | NM_006617 | Homo sapiens nestina (N ES), ARNm | 8.01 UP | 8.50E-06 |
| 30 | C02345 | HUMGS0007544 Adulto humano (K.Okubo) ADNc Homo sapiens, secuencia de ARNm | 8 UP | 3.09E-05 |
| 35 | NM_000900 | Homo sapiens matriz de proteínas Gla (MGP), ARNm | 7.97 UP | 3.88E-05 |
| 40 | N54656 | yz08hO5.r1 Soares_multiple_sclerosis 2NbHMSP Homo sapiens ADNc clon IMAGE: 282489 5, Secuencia de ARNm | 7.97 UP | 4.17E-05 |
| 45 | AK095726 | ADNc Homo sapiens FLJ38407 fis, clon FEBRA2008859 | 7.97 UP | 1.84E-05 |
| 50 | BC027461 | Homo sapiens clon de ADNc IMAGE.-2984900, que contiene errores de cambio de marco | 7.95 UP | 2.18E-04 |
| 55 | AK096061 | ADNc Homo sapiens FLJ38742 fis, clon KIDNE2012009 | 7.91 UP | 1.32E-05 |
| 60 | NM_001001931 | Homo sapiens supresor de tumores mitocondrial 1 (MTUS1), proteína mitocondrial codificador de genes nucleares, variante de transcripción 4, ARNm | 7.84 UP | 1.22E-05 |
| 65 | NM_133504 | Homo sapiens decorina (DCN), variante de transcripción B, ARNm | 7.82 UP | 6.70E-06 |
| 70 | NM_018427 | Homo sapiens RRN3 ARN polimerasa 1 de factor de transcripción homólogo (levadura) (RRN3), ARNm | 7.76 UP | 1.39E-05 |
| 75 | NM_006528 | BM998303 | 7.73 UP | 3.10E-06 |

ES 2 569 421 T3

| | | | | |
|----|-----------|---|------------|----------|
| 5 | CN371168 | 17000600077294 GRN_PREHEP Homo sapiens ADNc 5, secuencia de ARNm | 7.63 UP | 1.83E-05 |
| 10 | A1911957 | wd78b0l.xl NCI_CGAP_Lu24 Homo sapiens ADNc clon IMAGE: 2337673 3, Secuencia de ARNm | 7.61 UP | 1.82E-05 |
| | NM_058187 | Homo sapiens cromosoma 21 marco de lectura abierto 63 (C21orf63), ARNm | 7.59 UP | 9.08E-05 |
| 15 | NM_004235 | Homo sapiens Kruppel similar a factor de 4 (intestino) (KLF4), ARNm | 7.52 UP | 1.43E-05 |
| 20 | AL832916 | ARNm de Homo sapiens; ADNc DKFZp762I0915 (a partir del clon DKFZp762I091 5) | 7.51 UP | 6.70E-06 |
| 25 | BG118019 | 602351269F1 NIHMGCG_90 Homo sapiens ADNcclon IMAGE: 4446065 5, secuencia de ARNm | 7.49 UP | 1.43E-05 |
| 30 | AW770283 | hl76b02.xl NCI_CGAP_Kid13 Homo sapiens ADNc clon IMAGE: 3007083 3, secuencia de ARNm | 7.41 UP | 1.38E-04 |
| 35 | T47612 | ybl5hO3.sl Estratagene placenta (#937225) Homo sapiens ADNc clon IMAGE: 71285 3, secuencia de ARNm | 7.35 UP | 9.37E-06 |
| 40 | BM998303 | UI-H-DTI-awc-h-03-O-UI.s1 NCL_CGAP_DT1 ADNc Homo sapiens clon IMAGE: 5887538 3, secuencia de ARNm | 7.31 UP | 2.23E-05 |
| 45 | AK092048 | ADNc Homo sapiens FLJ34729 fis, clon de MESAN2006401 | 7.26 UP | 1.57E-05 |
| 50 | BX647541 | ARNm de Homo sapiens; ADNc DKFZp686PO492 (a partir del clon DKFZp686PO492) | 7.24 UP | 2.71E-05 |
| 55 | A1033863 | owl0e02.xls Soares_parathyroid_tumor_NbHPA ADNc Homo sapiens IMAGE clon: 1646426 3, secuencia de ARNm | 7.16 UP | 7.24E-06 |
| 60 | NM_004657 | Homo sapiens suero respuesta privación (proteína de unión a fosfatidilserina) (SDPR), ARNm | 7.16 UP | 3.17E-05 |
| 65 | | | | |

ES 2 569 421 T3

| | | | | | |
|----|-----------|---|------------|----------|--|
| | | | | | |
| 5 | BF222640 | 7p57c03.xl NCI_CGAP_Pr28 Homo sapiens ADNclon IMAGE: 3649901 3, ARNm secuencia | 7.13 UP | 1.37E-04 | |
| 10 | BU620793 | UI-H-FL1-bfx-d-10-0-UI.sl NCI_CGAP_FL1 ADNc Homo sapiens clon UI-H-FL1-bfx-d-10-0-UI 3, secuencia de ARNm | 7.11 UP | 1.46E-05 | |
| 15 | AA102553 | zn26a04.sl Stratagene neuroepitelio NT2RAMI 937234 ADNc Homo sapiens clon IMAGEN: 548526 3, secuencia de ARNm | 7.01 UP | 4.89E-05 | |
| 20 | NM_021242 | Homo sapiens interacción de proteínas 1 MID1 (gastrulación específica similar a G12 (pez cebra)) (MID1IP1), mRNA | 6.96 UP | 1.32E-04 | |
| 25 | CB045035 | NISC_gcO8bO2.xl NCI_CGAP_Co17 Homo sapiens ADNc clon IMAGEN: 321 78753, secuencia de ARNm | 6.94 UP | 1.32E-04 | |
| 30 | NM_007063 | Homo sapiens dominio de la familia TBC1, miembro 8 de (con GRAM dominio) (TBC1D8), ARNm | 6.92 UP | 7.24E-06 | |
| 35 | H25898 | yI55bIO.rl Soares mama 3NbHBst Homo sapiens ADNc clon IMAGE: 162139 5, Secuencia de ARNm | 6.91 UP | 5.94E-04 | |
| | AK091337 | Homo sapiens ADNc FLJ34O1 8 fis, clon FCBBF2002801 | 6.89 UP | 1.05E-04 | |
| 40 | BE877764 | 601486331 FI NIH_MGC_69 Homo sapiens ADNc clon IMAGE: 3888943 5, secuencia de ARNm | 6.88 UP | 2.25E-04 | |
| 45 | BE503916 | hz35gOl xl NCI_CGAP_GC6 Homo sapiens ADNc clon IMAGE.-3210000 3, secuencia de ARNm | 6.73 UP | 2.28E-05 | |
| | NM_024993 | Homo sapiens repeticiones ricas en leucina transmembrana neuronal 4 (LRRTM4), ARNm | 6.69 UP | 2.67E-05 | |
| 50 | NM_007361 | Homo sapiens nidogen 2 (osteonidogen) (NID2), ARNm | 6.65 UP | 2.63E-04 | |
| 55 | BC070147 | ADNc Homo sapiens IMAGE clon-.4672631, que contiene errores de cambio de marco | 6.65 UP | 1.35E-05 | |
| 60 | 60045666 | Homo sapiens proteína tumoral p53 inducible proteína 11, ARNm (clon de ADNc IMAGE.-5298525), que contienen errores de cambio de marco | 6.62 UP | 1.80E-04 | |

ES 2 569 421 T3

| | | | | |
|----|-----------|--|------------|----------|
| | NM_017787 | Homo sapiens cromosoma 10 marco de lectura abierto 26 (C10orf26), ARNm | 6.59 UP | 3.69E-05 |
| 5 | BQ267806 | ij94e04.xl Homo sapiens humano insulinoma ADNc clon IMAGE: 5779278 3, secuencia de ARNm | 6.59 UP | 1.39E-04 |
| 10 | NM_032578 | Homo sapiens miopalladina (FLJ14437), ARNm | 6.57 UP | 1.43E-05 |
| 15 | AK124699 | ADNc Homo sapiens FLJ42709 fis, clon BRAMY3007350 | 6.55 UP | 1.67E-05 |
| 20 | NM_000921 | Homo sapiens fosfodiesterasa 3A, cGMP inhibido (PDE3A), ARNm | 6.51 UP | 3.13E-05 |
| 25 | CB048134 | NISC_gjO3aO9.yl NCI_CGAP_Pr28 Homo sapiens ADNc clon IMAGE: 3270448 5, secuencia de ARNm | 6.47 UP | 8.86E-06 |
| 30 | CA843592 | ir49cl 2.xl HR85 islot ADNc Homo sapiens clon IMAGE: 6548544 3, secuencia de ARNm | 6.44 UP | 3.85E-05 |
| 35 | NM_024633 | Homo sapiens cromosoma 14 marco de lectura abierto 139 (C14orf139), ARNm | 6.42 UP | 2.45E-04 |
| 40 | BX640685 | ARNm de Homo sapiens; ADNc DKFZp686M081 12 (a partir del clon DKFZp686M08112) | 6.41 UP | 3.09E-05 |
| | NM_005398 | Homo sapiens proteína fosfatasa 1, reguladora (inhibidor) subunidad 3C (PPP1R3C), ARNm | 6.38 UP | 1.22E-05 |
| | NM_001957 | Homo sapiens receptor de endotelina tipo A (EDNRA), ARNm | 6.36 UP | 3.08E-05 |
| 45 | NM_003248 | Homo sapiens trombospondina 4 (THBS4), ARNm | 6.35 UP | 2.71E-05 |
| 50 | BQ188758 | IU-E-EJ1-AJX-a-20-0-UI.rl IU-E-EJ1 Homo sapiens clon de ADNc UI-E-EJ1-AJX-a-20-0-UI 5, secuencia de ARNm | 6.28 UP | 5.68E-03 |
| 55 | A1830524 | wh52c02.xl NCI_CGAP_Kid11 Homo sapiens ADNc clon IMAGE: 2384354 3, Secuencia de ARNm | 6.28 UP | 2.77E-05 |
| 60 | BG818762 | 602779092172 NCI_CGAP_Brn67 Homo sapiens clon de ADNc IMAGE: 4914502 5, secuencia de ARNm | 6.28 UP | 1.57E-05 |
| 65 | | | | |

ES 2 569 421 T3

| | | | | |
|----|-----------|--|------------|----------|
| 5 | NM_024420 | Homo sapiens fosfolipasa A2, del grupo IVA (citosólica, dependiente de calcio) (PLA2G4A), ARNm | 6.26 UP | 3.90E-04 |
| 10 | NM_173552 | Homo sapiens proteína hipotética MGC33365 (MGC33365), ARNm | 6.25 UP | 1.39E-05 |
| 15 | BQ189707 | UI-E-IPE-aka-o-12-0-UI.rl ul-E-EJ1 Homo sapiens clon de ADNc UI-E-EJ1-aka-o-12-O-UI 5, 7 secuencia de ARNm | 6.25 UP | 2.62E-05 |
| 20 | NM_015559 | Homo sapiens conjunto de proteínas de unión 1 (SETBP1), ARNm | 6.21 UP | 1.83E-03 |
| 25 | T15720 | IB1788 cerebro del lactante, Bento Soares Homo sapiens ADNc 3end, secuencia de ARNm | 6.17 UP | 2.02E-05 |
| 30 | AW291013 | IU-H-BI2-agj-f-01-0-ULsI NCI_CGAP_Sub4 ADNc Homo sapiens clon IMAGE -2724601 3, secuencia de ARNm | 6.15 UP | 3.80E-05 |
| 35 | NM_024336 | Homo sapiens Iroquois proteína homeobox 3 (Irx3), ARNm | 6.12 UP | 9.89E-06 |
| 40 | NM_025107 | Homo sapiens myc objetivo I (MYCT1), ARNm | 6.11 UP | 5.67E-05 |
| 45 | NM_144665 | Homo sapiens sestrina 3 (SESN3), ARNm | 6.11 UP | 1.39E-04 |
| 50 | AA908815 | og77h08.sl NCI_CGAP_0v8 Homo sapiens clon de ADNc IMAGE: 1454367 3, secuencia de ARNm | 6.07 UP | 2.25E-04 |
| 55 | NM_024621 | Homo sapiens proteína hipotética FLJ12604 (FLJ12604), ARNm | 6.05 UP | 2.61E-04 |
| 60 | AI335546 | qt24d07.xi NCI_CGAPGC4 Homo sapiens clon de ADNc IMAGE: 1948525 3, Secuencia de ARNm | 6.02 UP | 8.66E-06 |
| 65 | AB007954 | Homo sapiens ARNm, cromosoma 1 transcripción específica K1AA0485 | 5.99 UP | 5.46E-05 |

ES 2 569 421 T3

| | | | | |
|----|-----------|--|------------|----------|
| | NM_033292 | Homo sapiens caspasa 1, apoptosis relacionado proteasa cisteína (interleucina 1, beta, convertasa) (CASP1), variante de transcripción alfa, ARNm | 5.95 UP | 4.51E-05 |
| 5 | | | | |
| 10 | BX112737 | BX112737 Soares placenta Homo sapiens ADNc clon 1MAGp998H17189; IMAGE: 134080, secuencia de ARNm | 5.94 UP | 3.13E-06 |
| 15 | | | | |
| 20 | NM_005239 | Homo sapiens virus v-ets eritroblastosis E26 oncogén homólogo 2 (aviar) (ETS2), ARNm | 5.94 UP | 1.14E-04 |
| 25 | | | | |
| 30 | BM677978 | UI-E-EJO-aig-o-17-0-UI.sl UI-E-EJO Homo sapiens clon de ADNc UI-E-EJO-AIG-o-17-0 3-UI, secuencia de ARNm | 5.91 UP | 7.10E-05 |
| 35 | BX648604 | ARNm Homo sapiens; ADNc DKFZp686M11213 (a partir del clon DKFZp686M11213) | 5.91 UP | 1.15E-04 |
| 40 | BCO41997 | Homo sapiens, clon IMAGE: 5310819, ARNm | 5.91 UP | 4.16E-04 |
| 45 | NM_145239 | Homo sapiens similar a linfocitos antígeno 6 complejo, locus G5B; proteína G5b; marco de lectura abierto 31 (LOC112476), ARNm | 5.85 UP | 5.37E-05 |
| 50 | NM_015149 | Homo sapiens ral nucleótido guanina disociación estimuladora tipo 1 (RGL1), ARNm | 5.85 UP | 2.32E-05 |
| 55 | NM_030756 | Homo sapiens factor de transcripción 7-similar a 2 (HMG-box específico T-celular) (TCF7L2), ARNm | 5.85 UP | 3.88E-05 |
| 60 | BU626144 | UI-H-FG1-bqq-i-08-0-UI.sl NCI_CGAP_FG1 ADNc Homo sapiens clon UI-H-FG1-bqq-i-080 3-UI, secuencia de ARNm | 5.85 UP | 1.70E-04 |
| 65 | BM55619 | Agencourt_6544282 NIH_MGC_88 Homo sapiens clon de ADNc IMAGE: 5550173 5, secuencia de ARNm | 5.83 UP | 1.85E-05 |

ES 2 569 421 T3

| | | | | |
|----|-----------|---|------------|----------|
| 5 | BM931867 | UI-E-EJ1-ajk-n-19-0-UI.rl UI-E-EJ1 Homo sapiens clon de ADNc de IU-E-EJ1-ajk-n-19-0-UI 5, secuencia de ARNm | 5.81 UP | 2.62E-05 |
| 10 | BG576442 | 602595685F1 NIH_MGC_87 Homo sapiens clon de ADNc IMAGE: 4708725 5, secuencia de ARNm | 5.8 UP | 7.12E-05 |
| | AB096240 | Homo sapiens gen de LOH11CR1A, pérdida de heterocigosidad, 11, región cromosómica del gen 1 producto A | 5.78 UP | 1.63E-03 |
| 15 | NM_003763 | Homo sapiens sintaxina 16 (STX16), variante de transcripción 2, ARNm | 5.72 UP | 7.02E-05 |
| 20 | BQ013869 | UI-1-BC1p-atg-a-03-0-UI.sl NCI_CGAP_P13 Homo sapiens clon de ADNc IU-i -BC1 p-Alg-A-03-0-UI 3, secuencia de ARNm | 5.69 UP | 1.22E-05 |
| 25 | NM_005795 | Homo sapiens calcitonina similar al receptor de (CALCRL), ARNm | 5.68 UP | 3.82E-05 |
| 30 | BM690053 | UI-E-CK1-ABR-c-12-0-UI.rl UI-E-CK1 Homo sapiens clon de ADNc de IU-E-CK1-ABR-c-12-0 5-UI, secuencia de ARNm | 5.64 UP | 2.37E-05 |
| | AL832779 | Homo sapiens ARNm; ADNc DKFZp686H157 (a partir del clon DKFZp686H157) | 5.64 UP | 7.39E-06 |
| 35 | CA425350 | UI-H-DFO-bel-I-04-0-UI.s1 NCI_CGAP_DFO ADNc Homo sapiens clon de IU-H-DFO-bel-I-04-0-UI 3, secuencia de ARNm | 5.63 UP | 2.47E-05 |
| 40 | AA398628 | zt74e03.sl Soares testis NHT Homo sapiens clon de ADNc IMAGE-0.728092 3, ARNm secuencia | 5.62 UP | 1.87E-04 |
| 45 | BX093329 | BX093329 Soares_parathyroid_tumor_NbHPA Homo sapiens clon ADNc IMAGp998A124183; IMAGE: 1648403, secuencia de ARNm | 5.61 UP | 7.11E-05 |
| 50 | NM_006573 | Homo sapiens factor de necrosis tumoral (ligando) superfamilia, miembro de 13b (TNFSF13B), ARNm | 5.58 UP | 1.02E-05 |
| 60 | AK124699 | ADNc Homo sapiens FLJ42709 fis, clon BRAMY3007350 | 5.53 UP | 1.72E-04 |
| 65 | | | | |

ES 2 569 421 T3

| | | | | |
|----|-----------|---|------------|----------|
| | AL709606 | DKFZp686M 125_ri 686 (sinónimo: hlcc3) ADNc Homo sapiens clon DKFZp686M125 5, secuencia de ARNm | 5.53 UP | 1.80E-04 |
| 5 | | | | |
| 10 | BQ022721 | UI-1-BB1p-axt-g-01-O-Ui.sl NCI_CGAP_P16 ADNc Homo sapiens clon UI-1-BB1p-Axt-g-01-0-Ui 3, secuencia de ARNm | 5.5 UP | 2.79E-03 |
| 15 | AA613572 | nq22g06.sl NCI_CGAP_CoiO Homo sapiens ADNc clon IMAGE: 1144666 3, secuencia ARNm | 5.47 UP | 4.31E-04 |
| 20 | R38944 | ydO6gO9.sl Soares cerebro infantil 1NIB Homo sapiens clon ADNc IMAGE-25061 3 similar a contiene Alu elemento repetitivo;, secuencia de ARNm | 5.45 UP | 4.34E-05 |
| 25 | | | | |
| 30 | AK124563 | ADNc Homo sapiens FLJ42572 fis, clon BRACE3008092 | 5.43 UP | 9.13E-06 |
| 35 | BC037929 | Homo sapiens IMAGE clon de ADNc: 5284659, cds parcial | 5.42 UP | 7.14E-04 |
| 40 | AK096536 | ADNc Homo sapiens FLJ392i7 fis, clon OCBBF2006639, moderadamente similar al DEDO DE CINC DE PROTEÍNAS 84 | 5.41 UP | 3.17E-06 |
| 45 | AL049443 | ARNm de Homo sapiens; ADNc DKFZp586N2O2O (a partir del clon DKFZp586N2O2O) | 5.41 UP | 2.83E-04 |
| 50 | NM_004951 | Homo sapiens gen inducido por virus de Epstein-Barr 2 (linfocito específico receptor acoplada a proteína G) (EBI2), ARNm | 5.39 UP | 4.33E-04 |
| 55 | NM_021153 | Homo sapiens cadherina 19, tipo 2 (CDH19), ARNm | 5.37 UP | 3.26E-05 |
| 60 | BX106577 | BX106577 Soares_NhHMPu_S1 Homo sapiens ADNc clon 1MAGp998H131854; IMAGE: 754236, secuencia de ARNm | 5.37 UP | 2.51E-05 |
| 65 | AW148979 | xfO7gO8.xl NCI_CGAP_Kid8 Homo sapiens clon de ADNc IMAGE: 26174063, secuencia de ARNm | 5.36 UP | 2.78E-04 |
| | A1024717 | ov68h06.xl Soares_testis_NHT Homo sapiens clon de ADNc IMAGE: 1 6425233, secuencia de ARNm | 5.35 UP | 3.75E-05 |
| | AF131784 | Homo sapiens clon 25194 secuencia de ARNm | 5.34 UP | 2.14E-05 |

ES 2 569 421 T3

| | | | | |
|----|-----------|---|------------|----------|
| | AK092375 | ADNc Homo sapiens FLJ35056 fis, clon OCBBF2018581 | 5.32 UP | 6.05E-05 |
| 5 | NM_002615 | Homo sapiens serina (o cisteína) inhibidor de proteinasa, clade F (alfa-2 antiplasmina, pigmento de factor derivado del epitelio), miembro 1 (SERPINF1), ARNm | 5.3 UP | 1.74E-04 |
| 10 | | | | |
| 15 | NM_016206 | Homo sapiens carcinoma de colon relacionados con la proteína (FLJ38507), ARNm | 5.3 UP | 2.44E-04 |
| 20 | BQ346857 | RC1-NT0033-250800-018-g09 NT0033 Homo sapiens ADNc, secuencia de ARNm | 5.29 UP | 4.05E-05 |
| 25 | BQ026175 | UI-1-BB1p-akc-h-10-0-UI.s1 NCI_CGAPPI6 ADNc Homo sapiens clon UI-1-BB1p-AKC-h-10-0-UI 3, secuencia de ARNm | 5.29 UP | 7.29E-04 |
| 30 | NM_033067 | Homo sapiens DMRT-B como de la familia con prolina rica C-terminal, 1 (DMRTB1), ARNm | 5.28 UP | 2.03E-04 |
| 35 | AK127847 | ADNc Homo sapiens FLJ45950 fis, clon PLACE7008136 | 5.27 UP | 6.27E-06 |
| 40 | A1024323 | ov67g08.xl Soares_testis_NHT Homo sapiens clon de ADNc IMAGE: 1642430 3, secuencia de ARNm | 5.27 UP | 1.14E-04 |
| 45 | NM_022768 | Homo sapiens ARN motivo de unión a proteínas 15 (RBM15), ARNm | 5.27 UP | 3.30E-04 |
| 50 | BCO16780 | Homo sapiens, clon IMAGE: 4106389, ARNm | 5.24 UP | 2.73E-03 |
| 55 | CA427170 | UI-H-DFO-bey-f-20-0-UI.s1 NCI_CGAP_DFO Homo sapiens clon de ADNc IU-H-DFO-Bey-f-20-0-UI 3, secuencia de ARNm | 5.23 UP | 2.60E-04 |
| 60 | NM_022658 | Homo sapiens caja homeo C8 (HOXC8), ARNm | 5.22 UP | 4.37E-04 |
| 65 | BE378852 | 601237381 FI NIH_MGC_44 Homo sapiens clon de ADNc IMAGE: 3609140 5, secuencia de ARNm | 5.21 UP | 1.74E-04 |

ES 2 569 421 T3

| | | | | |
|----|-----------|---|----------------|----------|
| | AK074131 | ARNm de Homo sapiens para la proteína FLJOO2O4 | 5.18 UP | 5.59E-05 |
| 5 | BX098131 | BX098131 Soares_testis_NHT Homo sapiens ADNc clon IMAGp998O101830; IMAGE: 745185, secuencia de ARNm | 5.15 UP | 1.32E-05 |
| 10 | A1798732 | we9ihl2.xl Soares_NFL_T_GBC_S1 Homo sapiens clon de ADNc IMAGE: 2348519 3, Secuencia de ARNm | 5.14 UP | 5.68E-04 |
| 15 | NM_017577 | Homo sapiens proteína hipotética DKFZp434C0328 (DKFZp434C0328), ARNm | 5.13 UP | 3.63E-04 |
| 20 | NM_015541 | Homo sapiens repeticiones ricas en leucina y dominios similares a inmunoglobulina 1 (LRIG1), ARNm | 5.12 UP | 1.04E-04 |
| 25 | NM_032622 | Homo sapiens ligando de la proteína X-insensible (LNX), ARNm | 5.12 UP | 1.74E-04 |
| 30 | NM_003500 | Homo sapiens acil-coenzima A oxidasa 2, cadena ramificado, ARNm | 5.11 UP | 1.34E-05 |
| 35 | NM_152270 | Homo sapiens proteína hipotética FLJ34922 (FLJ34922), ARNm | 5.07 UP | 4.93E-05 |
| 40 | BM695626 | IU-E-CQ1-AEW-i-06-0-UI.rl IU-E-CQ1 Homo sapiens clon de ADNc UI-E-CQ1-aew-i-06-0-UI 5, secuencia de ARNm | 5.06 UP | 1.10E-03 |
| 45 | NM_014548 | Homo sapiens tropomodulina 2 (neuronal) (TMOD2), ARNm | 5.05 UP | 4.23E-03 |
| 50 | BC036223 | Homo sapiens, clon IMAGE-.5272183, ARNm | 5.04 UP | 6.69E-05 |
| 55 | NM_173554 | Homo sapiens cromosoma 10 marco de lectura abierto 107 (ClOorf107), ARNm | 5.04 UP | 8.63E-05 |
| 60 | NM_018409 | Homo sapiens proteína hipotética DKFZp761 00113 (DKFZp761 00113), ARNm | 5.03 UP | 3.39E-04 |
| 65 | BF509492 | UI-H-B14-aoz-c-06-0-T.l.s 1 NCI_CGAP_Sub8 ADNc Homo sapiens clon IMAGE: 3086579 3, secuencia de ARNm | 5.01 UP | 1.99E-03 |
| | BQ574344 | UI-H-EZ1-baz-b-10-0-UI.sl NCI_CGAP_Ch2 ADNc Homo sapiens clon UI-H-EZ1-baz-b-10-0-UI 3, secuencia de ARNm | 5.01 UP | 7.24E-06 |
| | NM_022454 | Homo sapiens SRY (región determinante del sexo Y) - caja 17 (SOX17), ARNm | 366.7 Abajo | 3.10E-06 |

ES 2 569 421 T3

| | | | | |
|----|-----------|---|-----------------|----------|
| | BG219729 | RST39494 Athersys RAGE Biblioteca Homo sapiens ADNc, secuencia de ARNm | 268.82 Abajo | 2.19E-06 |
| 5 | NM_152737 | Homo sapiens proteína hipotética MGC33993 (MGC33993), ARNm | 250.88 Abajo | 1.66E-06 |
| 10 | BX102632 | BX102632 NCI_CGAP_Co3 Homo sapiens ADNc clon 1MAGp998J052307; 2 IMAGE: 928228, secuencia de ARNm | 188.6 Abajo | 1.29E-06 |
| 15 | NM_002521 | Homo sapiens precursor del péptido natriurético B (NPPB), ARNm | 184.64 Abajo | 3.10E-06 |
| 20 | NM_013230 | Homo sapiens antígeno CD24 (pulmón de células pequeñas clúster carcinoma 4 antígeno) (CD24), ARNm | 160.77 Abajo | 4.30E-06 |
| 25 | AK023631 | ADNc Homo sapiens FLJ13569 fis, clon PLACE 1008369 | 154.91 Abajo | 5.78E-07 |
| 30 | NM_006169 | Homo sapiens nicotinamida N-metiltransferasa (NNMT), ARNm | 141.97 Abajo | 1.12E-06 |
| 35 | NM_006228 | Homo sapiens prepronociceptina (PNOC), ARNm | 138.62 Abajo | 1.22E-05 |
| 40 | A1765021 | wh56c02.xl NCLCGAP_KidII Homo sapiens clon de ADNc IMAGE: 2384738 3, secuencia de ARNm | 130.91 Abajo | 6.27E-06 |
| 45 | NM_004617 | Homo sapiens transmembrana 4 superfamilia miembro 4 (TM4SF4), ARNm | 111.06 Abajo | 1.43E-05 |
| 50 | AK096481 | ADNc Homo sapiens FLJ39162 nosotros, clon OCBBF2002376 | 102.43 Abajo | 3.17E-06 |
| 55 | NM_007038 | Homo sapiens una desintegrina y metaloproteasa (tipo prorepolisina) con trombospondina tipo 1 con motivos, 5 (aggrecanase2) (ADAMTS5), ARNm | 95.94 Abajo | 6.14E-06 |
| 60 | AB032980 | Homo sapiens ARNm para proteína KIAA1154, cds parcial | 85.12 Abajo | 9.37E-06 |

ES 2 569 421 T3

| | | | | |
|----|-----------|--|----------------|----------|
| | AK092245 | ADNc Homo sapiens FLJ34926 fis, clon NT2RP700331 9, muy similar a Mus musculus neuralina ARNm | 70.22 Abajo | 2.04E-05 |
| 5 | | | | |
| | NM_002276 | Homo sapiens queratina 19 (KRT19), ARNm | 59.59 Abajo | 2.19E-06 |
| 10 | A1249696 | qj64a03.xl NCI_CGAP_Kid3 Homo sapiens clon de ADNc IMAGE: 1864204 3, secuencia de ARNm | 56.92 Abajo | 9.37E-06 |
| 15 | | | | |
| | D29453 | HUMNK566 Homo sapiens queratinocito epidérmico humano clon de ADNc de 566, secuencia de ARNm | 53.31 Abajo | 5.14E-06 |
| 20 | | | | |
| | NM_004753 | Homo sapiens deshidrogenasa / reductasa (familia SDR) miembro 3 (DHRS3), ARNm | 50.19 Abajo | 1.41E-05 |
| 25 | | | | |
| | NM_012464 | Homo sapiens toloide tipo 1 (TLL1), ARNm | 48.62 Abajo | 1.72E-04 |
| 30 | NM_080743 | Homo sapiens serina-arginina proteína represora (35 kDa) (SRp35), ARNm | 48.46 Abajo | 1.34E-06 |
| 35 | | | | |
| | NM_004496 | Homo sapiens caja de cabeza de horquilla A1 (FOXA1), ARNm | 47.75 Abajo | 3.10E-06 |
| 40 | BF512544 | UI-H-BW1-amf-c-08-0-UI.sl NCI_CGAP_Sub7 ADNc Homo sapiens clon IMAGE: 3069687 3, secuencia de ARNm | 46.87 Abajo | 6.56E-06 |
| 45 | | | | |
| | NM_016356 | Homo sapiens dominio que contiene doble cortina 2 (DCDC2), ARNm | 46.71 Abajo | 1.48E-05 |
| 50 | | | | |
| | NM_020873 | Homo sapiens repeticiones ricas en leucina neuronal 1 (LRRN1), ARNm | 45.32 Abajo | 3.17E-06 |
| 55 | | | | |
| | NM_138966 | Homo sapiens neuropilina (PNR) y toloide (TLL) -similar a 1 (Neto1), variante de transcripción 3, ARNm | 44.78 Abajo | 1.84E-05 |
| 60 | | | | |
| | NM_000582 | Homo sapiens secretadas fosfoproteína 1 (osteopontina, sialoproteína ósea I, 182 temprana activación de los linfocitos 1) (SPP1), ARNm | 43.26 Abajo | 9.71E-06 |
| 65 | BU680661 | UI-CF-DU1-aaz-f-04-0-UI.sl UI-CF-DU1 Homo sapiens clon de ADNc UI-CF-DU1-aaz-f-04-0-UI 3, secuencia de ARNm | 43.24 Abajo | 3.19E-06 |

ES 2 569 421 T3

| | | | | |
|----|-----------|---|----------------|----------|
| | NM_184087 | Homo sapiens que contiene motivo tripartito 55 (TRIM55), variante de transcripción 4, ARNm | 41.43 Abajo | 3.19E-06 |
| 5 | | | | |
| 10 | NM_004221 | Homo sapiens transcripción de las células asesinas naturales 4 (NK4), ARNm | 40.53 Abajo | 1.66E-05 |
| 15 | CA416106 | UI-H-FEO-BBS-f-17-0-UL.si NCI_CGAPFEO Homo sapiens clon ADNc IU-H-FEO-BBS-F-176-0 IU 3, secuencia de ARNm | 40.33 Abajo | 2.77E-05 |
| | NM_006439 | Homo sapiens similar a MAB-21 2 (C. elegans) (MAB21L2), ARNm | 40.02 Abajo | 3.10E-05 |
| 20 | BF431030 | 7o18c06.xl NCI_CGAP_Kid11 Homo sapiens ADNc clon IMAGE.-3574283 3, secuencia de ARNm | 39.89 Abajo | 1.22E-05 |
| 25 | NM_025074 | Homo sapiens síndrome de Fraser 1 (FRAS1), variante de transcripción 1, ARNm | 39.81 Abajo | 3.82E-06 |
| 30 | BG197054 | RST16291 Homo Athersys RAGE Biblioteca sapiens ADNc, secuencia de ARNm | 39.23 Abajo | 3.73E-05 |
| 35 | BG165745 | 602344592F1 NIH_MGC_89 Homo sapiens ADNc hecho IMAGE-0.4454470 5, secuencia de ARNm | 37.22 Abajo | 1.39E-04 |
| 40 | NM_002527 | Homo sapiens neurotrofina 3 (Ntf3), ARNm | 34.83 Abajo | 5.63E-06 |
| 45 | NM_004982 | Homo sapiens canal de rectificación interior de potasio, subfamilia J, miembro 8 (KCNJ8), ARNm | 33.22 Abajo | 3.22E-05 |
| | NM_018168 | Homo sapiens cromosoma 14 marco de lectura abierto 105 (Cl4orf105), ARNm | 31.87 Abajo | 1.84E-05 |
| | B0003401 | UI-H-EI1 -azd-j-23-0-UI.si NCI_CGAP_EI1 ADNc Homo sapiens clon IMAGE: 5847286 3, secuencia de ARNm | 31.63 Abajo | 8.86E-06 |
| 50 | BC037316 | Homo sapiens, clon IMAGE-5259432, ARNm | 30.99 Abajo | 2.19E-06 |
| | NM_016212 | Homo sapiens proteínas TP53TG3 (TP53TG3), ARNm | 30.74 Abajo | 1.57E-05 |
| 55 | BQ375719 | QV2-TN0173-021100-454-g06 TN0173 Homo sapiens ADNc, secuencia de ARNm | 30.59 Abajo | 1.84E-05 |
| 60 | NM_014333 | Homo sapiens superfamilia de inmunoglobulinas, miembro 4 (IGSF4), ARNm | 30.19 Abajo | 2.42E-05 |
| 65 | NM_005712 | Homo sapiens HERV-H LTR asociado 1 a (HHLA1), ARNm | 29.97 Abajo | 1.62E-05 |

ES 2 569 421 T3

| | | | | |
|----|-----------|--|----------------|----------|
| | NM_001955 | Homo sapiens endotelina 1 (EDN1), ARNm | 29.8 Abajo | 1.41E-05 |
| 5 | NM_002559 | Homo sapiens receptores purinérgicos P2X, ligand canal iónico de apertura, 3 (P2RX3), ARNm | 28.92 Abajo | 1.84E-05 |
| 10 | NM_001885 | Homo sapiens cristalina, alfa B (CRYAB), ARNm | 28.49 Abajo | 6.27E-06 |
| 15 | NM_005602 | Homo sapiens claudina 11 (oligodendrocitos proteína transmembrana) (CLDN11), ARNm | 28.14 Abajo | 5.78E-07 |
| 20 | NM_000927 | Homo sapiens cassette ATP-vinculante, subfamilia B (MDRJ1AP), miembro 1 (ABCB1), ARNm | 27.84 Abajo | 8.93E-06 |
| 25 | NM_003385 | Homo sapiens visinina tipo 1 (VSNL1), ARNm | 27.75 Abajo | 9.37E-06 |
| 30 | NM_020349 | Homo sapiens dominio de repetición de anquirina 2 (tramo muscular sensible) (ANKRD2), ARNm | 27.68 Abajo | 2.19E-06 |
| 35 | NM_152487 | Homo sapiens hipotética proteína FLJ31 842 (FLJ31842), ARNm | 27.59 Abajo | 3.71E-05 |
| 40 | NM_017819 | Homo sapiens ARN (guanina-9-) dominio metiltransferasa que contiene 1 (RG9MTD1), ARNm | 26.6 Abajo | 1.99E-05 |
| 45 | AA449137 | zxO3dl 2.rl Soares_total_fetus_Nb2HF8_9w Homo sapiens ADNc clon IMAGE-785399 5, secuencia de ARNm | 26.24 Abajo | 1.67E-05 |
| 50 | AW511222 | hd44dl 1 xl Soares_NFL_T_GBC_S1 Homo sapiens clon de ADNc IMAGE: 291 2373 3 similares a contiene Alu elemento repetitivo;, Secuencia de ARNm | 26.15 Abajo | 9.71E-06 |
| 55 | A1469032 | ti70a0l.xl NCLCGAP Kidil Homo sapiens clon de ADNc IMAGE: 2137320 3, Secuencia de ARNm | 25.39 Abajo | 3.10E-06 |
| 60 | NM_030899 | Homo sapiens proteína con dedos de zinc 323 (ZNF323), ARNm | 25.07 Abajo | 1.43E-05 |
| 65 | BG545305 | 602572521FI NIH MGC 77 Homo sapiens clon de ADNc | 24.4 | 3.68E- |

ES 2 569 421 T3

| | | | | |
|----|-----------|---|----------------|----------|
| | NM_184087 | Homo sapiens tripartito motivo que contienen 55 (TRIM55), variante de transcripción 4, ARNm | 24.35 Abajo | 9.37E-06 |
| 5 | | | | |
| 10 | NM_006074 | Homo sapiens tripartita que contiene motivo 22 (TRIM22), ARNm | 24.19 Abajo | 1.55E-04 |
| 15 | NM_152694 | Homo sapiens dedo de zinc, CCHC dominio que contiene 5 (ZCCHC5), ARNm | 24.15 Abajo | 8.30E-05 |
| 20 | NM_175056 | Homo sapiens proteína hipotética L0C131368 (LOC131368), ARNm | 23.96 Abajo | 2.36E-05 |
| 25 | NM_015236 | Homo sapiens latrophilina 3 (LPHN3), ARNm | 23.83 Abajo | 9.13E-06 |
| 30 | AK124873 | ADNc Homo sapiens FLJ42883 fis, clon BRH1P3006683 | 23.58 Abajo | 1.95E-05 |
| 35 | NM_001562 | Homo sapiens interleucina 18 (interferón factor de inducción de gamma) (IL18), ARNm | 23.38 Abajo | 4.81E-05 |
| 40 | NM_032026 | Homo sapiens dominio TatD DNasa que contiene 1 (TATDN1), ARNm | 23.12 Abajo | 6.00E-05 |
| 45 | NM_152703 | Homo sapiens cromosoma 7 marco de lectura abierto 6 (C7orf6), ARNm | 22.98 Abajo | 1.82E-05 |
| 50 | NM_032603 | Homo sapiens lisil similar a oxidasa 3 (LOXL3), ARNm | 22.16 Abajo | 1.17E-05 |
| 55 | BX115825 | BX115825 Soares_NhHMPu_S1 Homo sapiens clon de ADNc IMAGp998C134603; IMAGE 0,1879236, Secuencia de ARNm | 22.02 Abajo | 3.22E-05 |
| 60 | NM_001448 | Homo sapiens Glipicano 4 (GPC4), ARNm | 21.86 Abajo | 8.50E-06 |
| 65 | BC008580 | Homo sapiens, clon IMAGE: 4179986, ARNm, cds parcial | 21.22 Abajo | 3.19E-06 |
| | NM_002273 | Homo sapiens queratina 8 (KRT8), ARNm | 21.19 Abajo | 1.29E-05 |
| | NM_005069 | Homo sapiens homólogo de un sólo propósito 2 (Drosophila) (SIM2), variante de transcripción SIM2, ARNm | 20.97 Abajo | 3.19E-06 |
| | NM_052947 | Homo sapiens alfa-quinasa de corazón (HAK), ARNm | 20.9 Abajo | 1.22E-05 |

ES 2 569 421 T3

| | | | | |
|----|-----------|--|----------------|----------|
| | AB041269 | Homo sapiens ARNm para queratina 19, cds parcial, aislar: K19-141 | 20.57 Abajo | 3.49E-05 |
| 5 | NM_002578 | Homo sapiens p21 quinasa activado por (CDKN1A), la 3 (PAK3), ARNm | 20.36 Abajo | 3.19E-06 |
| 10 | NM_024726 | Homo sapiens motivo de QI que contienen dominio de AAA (IQCA), ARNm | 20.18 Abajo | 1.02E-04 |
| 15 | NM_018658 | Homo sapiens de canal de rectificación de potasio hacia el interior, subfamilia J, miembro 16 (KCNJ16), variante de transcripción 1, ARN | 19.93 Abajo | 3.44E-05 |
| 20 | | | | |
| 25 | BU567804 | Agencourt_10398872 NIH_MGC_82 Homo sapiens clon de ADNc IMAGE-6614502 5, secuencia de ARNm | 19.73 Abajo | 6.27E-06 |
| 30 | NM_005329 | Homo sapiens hialuronano sintasa 3 (HAS3), transcripción de variante 1, ARNm | 19.66 Abajo | 3.19E-06 |
| 35 | BX509117 | DKFZp686C09280_1l 686 (sinónimo: hlcc3) Homo sapiens clon de ADNc DKFZp686C09280 5, secuencia de ARNm | 19.48 Abajo | 8.85E-06 |
| 40 | NM_003392 | Homo sapiens-tipo sin alas, la familia del sitio de integración MMTV, miembro de 5A (WNT5A), ARNm | 19.4 Abajo | 3.19E-06 |
| 45 | NM_024898 | Homo sapiens familia con similitud de secuencia 31, miembro C (FAM31C), ARNm | 19.07 Abajo | 6.27E-06 |
| 50 | AF318382 | ARNm sapiens Homo pp9974, cds completos | 19 Abajo | 6.27E-06 |
| 55 | AL117578 | ARNm de Homo sapiens; ADNc DKFZp434C128 (a partir de clon DKFZp434C128) | 18.69 Abajo | 3.17E-06 |
| 60 | BU633163 | UI-H-FL1 -bgt-n-07-0-UI SI NCI_CGAP_FL1 ADNc Homo sapiens clon UI-H-FL1-BGT-n-07-0-UI 3, secuencia de ARNm | 18.57 Abajo | 9.42E-06 |

ES 2 569 421 T3

| | | | | |
|----|-----------|--|----------------|----------|
| | AB011539 | ARNm de Homo sapiens para la proteína MEGF6 (KIAAO815), cds parciales | 18.38 Abajo | 4.22E-05 |
| 5 | NM_000693 | Homo sapiens aldehído deshidrogenasa 1 familia, miembro A3 (ALDH1A3), ARNm | 18.37 Abajo | 4.97E-05 |
| 10 | AA195328 | zr34f08.sl Soares_NhHMPu_S1 Homo sapiens ADNc clon Image: 665319 3, secuencia de ARNm | 18.33 Abajo | 9.56E-06 |
| 15 | AL08013 | ARNm de Homo sapiens; ADNc DKFZp564N2216 (a partir del clon DKFZp564N2216) | 18.18 Abajo | 3.85E-05 |
| 20 | NM_020130 | Homo sapiens cromosoma 8 marco de lectura abierto 4 (C8orf4), ARNm | 17.97 Abajo | 1.19E-04 |
| 25 | NM_182920 | Homo sapiens similar a desintegrina y metaloproteasa (tipo reprodilisina) con trombospondina tipo 1 motivo, 9 (ADAMTS9), variante de transcripción 1, ARNm | 17.95 Abajo | 5.64E-05 |
| 30 | | | | |
| 35 | AK024261 | ADNc Homo sapiens FLJ14199 fis, clon NT2RP3002713 | 17.68 Abajo | 2.24E-05 |
| | NM_005130 | Homo sapiens factor de crecimiento de fibroblastos vinculante proteína 1 (FGFBP1), ARNm | 17.55 Abajo | 5.73E-06 |
| 40 | BF431041 | nab3ig02.xi Soares_NSF_F8_9W_OT_PA_P_S1 Homo sapiens clon de ADNc IMAGE: 3267627 3, ARNm | 17.25 Abajo | 1.56E-05 |
| 45 | | | | |
| | BM992049 | UI-H-DF1-auf-e-22-0-UI.s1 NCI_CGAP_DF1 Homo sapiens clon IMAGE: 5868669 3, secuencia de ADNc | 16.81 Abajo | 8.93E-06 |
| 50 | | | | |
| 55 | NM_001554 | Homo sapiens rica en cisteína, inductor de angiogénico, 61 (CYR61), ARNm | 16.43 Abajo | 6.87E-04 |
| | AK093529 | ADNc Homo sapiens FLJ36210 fis, clon THYMU2000155 | 16.29 Abajo | 1.16E-05 |
| 60 | NM_198389 | Homo sapiens celular de tipo I pulmón membrana glicoproteína asociada (T1A-2), variante de transcripción 2, ARNm | 16.15 Abajo | 2.62E-05 |
| 65 | | | | |

ES 2 569 421 T3

| | | | | |
|----|-----------|--|----------------|----------|
| 5 | NM_004490 | Homo sapiens factor de crecimiento unido al receptor proteína 14 (GRB14), ARNm | 16.02 Abajo | 1.52E-04 |
| 10 | NM_001999 | Homo sapiens fibrilina 2 (aracnodactilia congénita contractual) (FBN2), ARNm | 16 Abajo | 4.45E-05 |
| 15 | NM_012413 | Homo sapiens ciclotransferasa de glutaminil-péptido (ciclasa glutaminil) (QPCT), ARNm | 15.51 Abajo | 1.39E-05 |
| | NM_178470 | Homo sapiens WD dominio de repetición 40B (WDR4OB), ARNm | 15.46 Abajo | 2.73E-05 |
| 20 | BM712945 | UI-E-EJ0-ahi-c-16-0-UI.rl UI-E-EJ0 Homo sapiens clon de ADNc UI-E-EJO-ahi-c-16-0-UI 5, Secuencia de ARNm | 15.36 Abajo | 4.73E-06 |
| | NM_018894 | Homo sapiens contiene EGF-similar a fibulina matriz extracelular de proteína 1 (EFEMP1), variante de transcripción 2, ARNm | 15.15 Abajo | 5.35E-05 |
| 25 | BM712072 | UI-E-DW1-ahc-b-11-0-UI.ri UI-E-DW1 Homo sapiens clon de ADNc UI-E-DW1-ahc-b-11-0-UI 5, secuencia de ARNm | 15.1 Abajo | 1.93E-05 |
| 30 | NM_000519 | Homo sapiens hemoglobina, delta (HBD), ARNm | 14.92 Abajo | 5.14E-06 |
| 35 | NM_016276 | Homo sapiens quinasa regulada por suero / glucocorticoides 2 (SGK2), variante de transcripción 2, ARNm | 14.87 Abajo | 3.13E-06 |
| 40 | BF111710 | 7147c10.xi Soares_NSF_F8_9W_OT_PA_P_S1 Homo sapiens clon de ADNc IMAGE.-3524371 3, Secuencia de ARNm | 14.78 Abajo | 9.84E-05 |
| | AF269162 | Homo sapiens c2orf7 ARNm forma B, cds completo | 14.77 Abajo | 5.11E-05 |
| 45 | NM_203418 | Homo sapiens síndrome Down región crítica gen 1 (DSCR1), variante de transcripción 3, ARNm | 14.75 Abajo | 9.03E-04 |
| 50 | NM_173505 | Homo sapiens dominio de repetición de anquirina 29 (ANKRD29), ARNm | 14.71 Abajo | 8.60E-05 |
| 55 | NM_032511 | Homo sapiens cromosoma 6 marco de lectura abierto 168 (C6orf1168), ARNm | 14.65 Abajo | 1.60E-05 |
| 60 | NM_152768 | Homo sapiens proteína hipotética FLJ25378 (FLJ25378), ARNm | 14.59 Abajo | 3.47E-05 |
| 65 | | | | |

ES 2 569 421 T3

| | | | | |
|----|-----------|---|----------------|----------|
| | NM_002837 | Homo sapiens proteína fosfatasa de tirosina, tipo de receptor, B (PTPRB), ARNm | 14.53 Abajo | 8.08E-06 |
| 5 | NM_000682 | Homo sapiens adrenérgico, alfa-2B, receptor (ADRA2B), ARNm | 14.52 Abajo | 5.46E-05 |
| 10 | NM_015441 | Homo sapiens olfactomedina similar 2B (OLFML2B), ARNm | 14.35 Abajo | 3.75E-05 |
| 15 | NM_006475 | Homo sapiens periostina, factor específico de osteoblastos (POSTN), ARNm | 14.33 Abajo | 4.23E-05 |
| 20 | BG436244 | 602508665F1 NIH_MGC_79 Homo sapiens clon de ADNc IMAGE: 4605617 5, Secuencia de ARNm | 14.19 Abajo | 3.75E-05 |
| | NM_025245 | Homo sapiens leucemia de células pre-B factor de transcripción 4 (PBX4), ARNm | 14.1 Abajo | 1.41E-05 |
| 25 | NM_000557 | Homo sapiens factor de diferenciación del crecimiento 5 (proteína morfogenética-1 derivada de cartílago) (GDF5), ARNm | 14.06 Abajo | 7.14E-05 |
| | NM_079423 | Homo sapiens miosina, polipéptido ligero 6, alcalino, músculo liso y no muscular (MYL6), la variante de transcripción 2, ARNm | 14.03 Abajo | 2.37E-05 |
| 30 | NM_207517 | Homo sapiens similar a ADAMTS-3 (ADAMTSL3), ARNm | 13.93 Abajo | 1.39E-05 |
| 35 | NM_152573 | Homo sapiens RAS y EF dominio de mano que contiene (RASEF), ARNm | 13.93 Abajo | 1.72E-04 |
| 40 | NM_017633 | Homo sapiens familia con similitud de secuencia 46, miembro A (FAM46A), ARNm | 13.92 Abajo | 3.30E-06 |
| | NM_016588 | Homo sapiens Neuritina 1 (NRN1), ARNm | 13.79 Abajo | 1.39E-05 |
| 45 | NM_020962 | Homo sapiens ortholog de ratón probable vecino de Punc E11 (NOPE), ARNm | 13.78 Abajo | 2.37E-05 |
| 50 | NM_032461 | Homo sapiens familia SPANX, miembro B1 (SPANXB1), ARNm | 13.57 Abajo | 1.09E-05 |
| | BE788763 | 601475864F1 NIH_MGC 68 Homo sapiens clon de ADNc IMAGE: 3879014 5, Secuencia de ARNm | 13.56 Abajo | 1.39E-05 |
| 55 | AK125490 | ADNc Homo sapiens FLJ43501 fis, clon PEBLM2004497 | 13.39 Abajo | 3.11E-04 |
| | NM_000584 | Homo sapiens interleucina 8 (1L8), ARNm | 13.37 Abajo | 1.66E-05 |
| 60 | NM_145802 | Homo sapiens septinas 6 (SEPT6), variante de transcripción V, ARNm | 13.04 Abajo | 9.89E-06 |

ES 2 569 421 T3

| | | | | |
|----|-----------|---|----------------|----------|
| | NM_032510 | Homo sapiens par-6 partición defectuosa 6 gamma homólogo (C. elegans) (PARD6G), ARNm | 12.84 Abajo | 3.42E-05 |
| 5 | NM_000599 | de Homo sapiens proteína factor de crecimiento similar a la insulina vinculante 5 (IGFBP5), ARNm | 12.83 Abajo | 1.87E-05 |
| 10 | | | | |
| 15 | NM_000876 | Homo sapiens receptor factor de crecimiento similar a la insulina 2 (IGF2R), ARNm | 12.74 Abajo | 3.58E-04 |
| 20 | AL389942 | Homo sapiens ARNm de longitud completa de ADNc inserte EUROIMAGE clon 2005635 | 12.52 Abajo | 1.20E-04 |
| 25 | AJ697972 | Homo sapiens cromosoma 3 ADNc | 12.43 Abajo | 1.17E-04 |
| | H23441 | ym52f11.sl Soares cerebro infantil 1NIB Homo sapiens clon de ADNc IMAGE: 51888 3, secuencia de ARNm | 12.39 Abajo | 2.04E-05 |
| 30 | | | | |
| 35 | NM_016201 | Homo sapiens angiometina similar a 2 (AMOTL2), ARNm | 12.38 Abajo | 1.31E-03 |
| | NM_005139 | Homo sapiens anexina A3 (ANXA3), ARNm | 12.27 Abajo | 3.10E-06 |
| 40 | W85910 | zh52b10.s1 Soares_fetal_liver_spleen_1 NFLS_S1 ADNc Homo sapiens clon IMAGE: 415675 3, secuencia de ARNm | 12.27 Abajo | 4.22E-05 |
| | NM_004862 | Homo sapiens factor de TNF inducido por lipopolisaccharida (LITAF), ARNm | 12.27 Abajo | 1.03E-04 |
| 45 | NM_178033 | Homo sapiens citocromo P450, la familia 4, subfamilia X, polipéptido 1 (CYP4X1), ARNm | 12.13 Abajo | 3.22E-05 |
| 50 | NM_020152 | Homo sapiens cromosoma 21 marco de lectura abierto 7 (C2orf7), ARNm | 12.12 Abajo | 4.27E-06 |
| | NM_004165 | Homo sapiens relacionadas con ras asociado con diabetes (RRAD), ARNm | 11.95 Abajo | 1.10E-04 |
| 55 | NM_005450 | Homo sapiens noggin (NOG), ARNm | 11.93 Abajo | 7.24E-06 |
| 60 | NM_000212 | Homo sapiens integrina beta 3 (plaquetas glicoproteína lila, el antígeno CD61) (ITGB3), ARNm | 11.9 Abajo | 8.68E-05 |
| | BX648964 | Homo sapiens ARNm; ADNc DKFZp686J0156 (a partir del clon DKFZp686JO156) | 11.85 Abajo | 1.22E-05 |
| 65 | | | | |

ES 2 569 421 T3

| | | | | |
|----|-----------|---|----------------|----------|
| | NM_031476 | Homo sapiens hipotética proteína DKFZp434BO44 (DKFZP434BO44), ARNm | 11.84 Abajo | 1.04E-05 |
| 5 | NM_145201 | Homo sapiens similar al producto del gen CG3714 (PP3856), ARNm | 11.57 Abajo | 1.39E-05 |
| 10 | NM_016179 | Homo sapiens receptor de potencial transitorio canal de cationes, subfamilia C, miembro 4 (TRPC4), ARNm | 11.56 Abajo | 2.61E-04 |
| 15 | NM_005202 | Homo sapiens colágeno, tipo VIII, alfa 2 (COL8A2), ARNm | 11.39 Abajo | 2.61E-04 |
| 20 | AW021686 | df26h11.y1 Morton fetal cóclea Homo sapiens ADNc clon IMAGE: 2484717 5, secuencia de ARNm | 11.2 Abajo | 2.21E-05 |
| 25 | BC041412 | Homo sapiens choque térmico 12A proteína 7OkDa, ARNm (ADNc clon IMAGE: 5285193), cds parcial | 11.17 Abajo | 2.88E-04 |
| 30 | NM_004433 | Homo sapiens E74-similar a factor de 3 (dominio ets factor de transcripción, epitEl1al específico) (ELF3), ARNm | 11.14 Abajo | 2.80E-05 |
| 35 | NM_001144 | Homo sapiens receptor del factor de motilidad autócrina (AMFR), variante de transcripción 1, ARNm | 11.14 Abajo | 5.52E-05 |
| 40 | NM_006863 | Homo sapiens leucocitos del receptor, de la subfamilia A (con dominio TM) similar a una inmunoglobulina, miembro 1 (LILRA1), ARNm | 11.04 Abajo | 2.72E-05 |
| 45 | BX113319 | BX113319 NCI_CGAP_Gas4 Homo sapiens clon de ADNc 1MAGp998G205398; IMAGE: 2184619, secuencia de ARNm | 10.97 Abajo | 2.51E-05 |
| 50 | NM_002462 | Homo sapiens mixovirus (virus de la gripe) resistencia 1, p78 proteína inducible por interferón (ratón) (MX1), ARNm | 10.93 Abajo | 1.17E-04 |
| 55 | AB011095 | Homo sapiens ARNm para la proteína K1AA0523, cds parcial | 10.88 Abajo | 8.65E-06 |
| 60 | NM_001854 | Homo sapiens colágeno, tipo XI, alfa 1 (col1 1A1), variante de transcripción A, ARNm | 10.81 Abajo | 9.37E-06 |
| 65 | NM_178834 | Homo sapiens layilina (LOC143903), ARNm | 10.8 Abajo | 5.28E-06 |

ES 2 569 421 T3

| | | | | |
|----|-----------|--|----------------|----------|
| | NM_012198 | Homo sapiens grancalcin, proteína de unión de calcio de mano EF (GCA), ARNm | 10.71 Abajo | 1.57E-05 |
| 5 | NM_207482 | Homo sapiens proteína FLJ44048 (FLJ44048), ARNm | 10.69 Abajo | 3.75E-05 |
| 10 | NM_000817 | Homo sapiens glutamato descarboxilasa 1 (cerebro, 67kDa) (GAD1), variante de transcripción GAD67, ARNm | 10.65 Abajo | 1.35E-05 |
| 15 | NM_004289 | Homo sapiens factor nuclear (derivado de eritroide 2) -similar a 3 (NFE2L3), ARNm | 10.42 Abajo | 4.53E-05 |
| 20 | NM_007072 | Homo sapiens HERV-H LTR asociado a 2 (HHLA2), ARNm | 10.41 Abajo | 7.19E-06 |
| 25 | A1355761 | qt94all.xl NCI_CGAP_Co14 Homo sapiens clon de ADNc IMAGE: 1962908 3 similar a gb:X74929 QUERATINA, TIPO II CITOESQUELETO 8 (HUMANO) ;, secuencia de ARNm | 10.38 Abajo | 2.80E-05 |
| 30 | NM_021977 | Homo sapiens la familia portador de soluto 22 (transportador extraneuronal de monoamina), miembro 3 (SLC22A3), ARNm | 10.3 Abajo | 1.20E-04 |
| 35 | AL137698 | Homo sapiens ARNm; ADNc DKFZp434C1915 (a partir del clon DKFZp434C1 915); cds parcial | 10.26 Abajo | 1.30E-04 |
| 40 | BM976385 | UI-CF-EN1 -acz-f-03-0-UI.sl UI-CF-EN1 Homo sapiens clon de ADNc de UI-CF-ES-1 acz-f-03-0-UI 3, Secuencia de ARNm | 10.2 Abajo | 1.22E-05 |
| 45 | AK123319 | ADNc Homo sapiens FLJ41325 fis, clon BRAMY2046871 | 10.05 Abajo | 1.84E-05 |
| 50 | BX459043 | BX459043 Homo sapiens PLACENTA Homo sapiens clon de ADNc CSODEO11YN1O 3 PRIME, secuencia de ARNm | 9.97 Abajo | 3.27E-04 |
| 55 | NM_000227 | Homo sapiens laminina, alfa 3 (LAMA3), variante de transcripción 2, ARNm | 9.83 Abajo | 5.83E-06 |
| 60 | AI335277 | tb29h06.xl NCI_CGAP_Kid12 Homo sapiens clon de ADNc IMAGE: 2055803 3, secuencia de ARNm | 9.8 Abajo | 7.24E-06 |
| 65 | NM_207380 | Homo sapiens FLJ43339 proteína (FLJ43339), ARNm | 9.73 | 4.97E- |

ES 2 569 421 T3

| | | | | |
|----|-----------|--|---------------|----------|
| | NM_003328 | Homo sapiens TXK tirosina quinasa (TXK), ARNm | 9.7 Abajo | 1.64E-05 |
| 5 | NM_000612 | Homo sapiens similar a la insulina factor de crecimiento 2 (somatomedina A) (IGF-2), ARNm | 9.68 Abajo | 2.36E-05 |
| 10 | NM_005302 | Homo sapiens proteína G-receptor acoplado 37 (deceptor similar a endotelina tipo B) (GPR37), ARNm | 9.63 Abajo | 5.63E-06 |
| | NM_002338 | Homo sapiens sistema límbico-asociado proteína de membrana (LSAMP), ARNm | 9.62 Abajo | 4.14E-05 |
| 15 | NM_025239 | Homo sapiens muerte celular programada 1 ligando 2 (PDCD1LG2), ARNm | 9.57 Abajo | 7.52E-05 |
| 20 | NM_000478 | Homo sapiens fosfatasa alcalina, hígado / hueso / riñón (ALPL), ARNm | 9.56 Abajo | 1.39E-05 |
| 25 | AJ318805 | AJ318805 Homo sapiens tejido de adiposo Homo sapiens clon de ADNc de 2040, secuencia ARNm | 9.55 Abajo | 5.32E-05 |
| 30 | BG622707 | 602647476F1 NIH_MGC_79 Homo sapiens clon de ADNc IMAGE: 4768963 5, Secuencia de ARNm | 9.54 Abajo | 2.76E-05 |
| 35 | CN478597 | UI-CF-FNO-aeo-g-21-0-UI.sl UI-CF-FNO Homo sapiens clon de ADNc de UI-CF-FNO-AEO-g-21-0-UI 3, secuencia de ARNm | 9.49 Abajo | 1.39E-05 |
| | BF798098 | RC1-Cl00045-021000-021-f02 C10045 Homo sapiens ADNc, secuencia de ARNm | 9.46 Abajo | 2.31E-05 |
| 40 | NM_000856 | Homo sapiens ciclase 1, soluble guanilato, alfa 3 (GUCY1A3), ARNm | 9.42 Abajo | 7.20E-05 |
| 45 | AL119769 | DKFZp761E1224_r1 761 (sinónimo: hamy2) ADNc Homo sapiens clon DKFZp761E1224 5, secuencia de ARNm | 9.33 Abajo | 5.73E-06 |
| 50 | NM_005596 | Homo sapiens factor nuclear I / B (NFIB), ARNm | 9.32 Abajo | 2.30E-05 |
| 55 | AW134473 | UI-H-BI1-abv-a-11-0-UI.s1 NCI_CGAP_Sub3 ADNc Homo sapiens clon IMAGE: 2712885 3, secuencia de ARNm | 9.29 Abajo | 1.31E-04 |
| | BX537698 | ARNm de Homo sapiens; ADNc DKFZp686F09166 (a partir del clon DKFZp686F09166) | 9.28 Abajo | 4.13E-06 |
| 60 | NM_024423 | Homo sapiens desmocolina 3 (DSC3), variante de transcripción Dsc3b, ARNm | 9.27 Abajo | 2.36E-05 |
| 65 | | | | |

ES 2 569 421 T3

| | | | | |
|----|-----------|--|---------------|----------|
| | NM_006072 | Homo sapiens quimiocina (motivo C-C) ligando 26 (CCL26), ARNm | 9.27 Abajo | 9.91E-06 |
| 5 | NM_173508 | Homo sapiens soluto familia portadora 35, miembro de F3 (SLC35F3), ARNm | 9.24 Abajo | 5.64E-05 |
| 10 | NM_178012 | Homo sapiens tubulina, polipéptido beta paralog (MGC8685), ARNm | 9.24 Abajo | 2.21E-04 |
| 15 | NM_033290 | Homo sapiens línea media 1 (síndrome de Opitz / BBB) (MID1), variante de transcripción 3, ARNm | 9.18 Abajo | 8.22E-04 |
| 20 | NM_018265 | Homo sapiens proteína hipotética FLJ10901 (FLJ10901), ARNm | 8.95 Abajo | 1.17E-04 |
| 25 | H89526 | yw28b04.rl Morton fetal cóclea Homo clon sapiens ADNc IMAGE: 253519 5, secuencia de ARNm | 8.91 Abajo | 1.74E-05 |
| 30 | NM_000961 | Homo sapiens prostaglandina 12 (prostaciclina) sintasa (PTGIS), ARNm | 8.89 Abajo | 2.82E-04 |
| 35 | A1942360 | wo8OcO6.xl NCI_CGAP Kid11 Homo sapiens clon de ADNc IMAGE: 2461642 3, secuencia de ARNm | 8.88 Abajo | 2.07E-05 |
| 40 | BX537613 | ARNm de Homo sapiens; ADNc DKFZp686E11117 (a partir del clon 3 DKFZp686E11117) | 8.86 Abajo | 1.59E-05 |
| 45 | NM_014358 | Homo sapiens de tipo C (dependiente de calcio, dominio de reconocimiento de hidratos de carbono) lectina, miembro de la superfamilia 9 (CLECSF9), ARNm | 8.84 Abajo | 2.21E-05 |
| 50 | | | | |
| 55 | AK023999 | ADNc Homo sapiens FLJ13937 fis, clon Y79AA1000805 | 8.83 Abajo | 1.32E-04 |
| 60 | | | | |
| 65 | | | | |

ES 2 569 421 T3

| | | | | |
|----|-----------|--|---------------|----------|
| 5 | NM_000692 | Homo sapiens aldehido deshidrogenasa 1 familia, miembro de B1 (ALDH1B1), genes nucleares proteína mitocondrial de codificación, ARNm | 8.8 Abajo | 4.89E-05 |
| 10 | NM_033136 | Homo sapiens del factor de crecimiento de fibroblastos 1 (ácido) (FGF1), variante de transcripción 2, ARNm | 8.8 Abajo | 6.22E-05 |
| 15 | AK000075 | ADNc Homo sapiens FLJ20068 fis, clon COL01755 | 8.8 Abajo | 1.85E-05 |
| 20 | NM_018659 | Homo sapiens citoquinas proteína similar a Cl 7 (Cl 7), ARNm | 8.77 Abajo | 7.06E-05 |
| 25 | AK055334 | ADNc Homo sapiens FLJ30772 fis, clon FEBRA2000757, moderadamente similar al Homo sapiens BM-009 ARNm | 8.59 Abajo | 5.63E-06 |
| 30 | NM_003979 | Homo sapiens receptor de acoplados a proteínas G, familia C, grupo 5, miembro A (GPCR5A), ARNm | 8.53 Abajo | 4.21E-06 |
| 35 | NM_014243 | Homo sapiens una desintegrina y metaloproteasa (tipo reprodilina) con trombospondina tipo 1 motivo, 3 (ADAMTS3), ARNm | 8.5 Abajo | 5.37E-05 |
| 40 | CA437861 | UI-H-DHO-aur-k-1-2-0 UI.s1 NCI_CGAP_DH0 ADNc Homo sapiens clon de UI-H-DHO-aur-k-12-0-UI 3, secuencia de ARNm | 8.44 Abajo | 7.74E-05 |
| 45 | NM_018663 | Homo sapiens proteína de la membrana peroxisomal 2, 22 kDa (PXMP2), ARNm | 8.43 Abajo | 5.70E-04 |
| 50 | AI953708 | wq47d09.xl NCI_CGAP_GC6 Homo sapiens clon de ADNc IMAGE: 2474417 3, secuencia de ARNm | 8.39 Abajo | 4.14E-05 |
| 55 | BC034315 | Homo sapiens hipotética proteína L0C90529, ARNm (ADNc clon IMAGE 4827425), que contiene errores de cambio de marco | 8.37 Abajo | 1.84E-04 |
| 60 | | | | |
| 65 | | | | |

ES 2 569 421 T3

| | | | | |
|----|-----------|---|---------------|----------|
| | CB115754 | K-EST0159876 L8SCKO ADNc Homo sapiens clon L8SCKO-8-H08 5, secuencia de ARNm | 8.36 Abajo | 7.40E-06 |
| 5 | NM_005026 | Homo sapiens fosfoinositida-3-quinasa, catalítica, polipéptido delta (PIK3CD), ARNm | 8.3 Abajo | 1.40E-04 |
| 10 | AL706653 | DKFZp686E1_543_ri_686 (sinónimo: hlcc3) ADNc Homo sapiens clon DKFZp686E1543 5, secuencia de ARNm | 8.28 Abajo | 2.59E-05 |
| 15 | M60502 | ARNm profilagrina humana, 3 fin | 8.28 Abajo | 2.62E-05 |
| 20 | NM_052997 | Homo sapiens dominio de repetición de anquirina 30A (ANKRD3OA), ARNm | 8.28 Abajo | 4.24E-06 |
| 25 | NM_020247 | Homo sapiens chaperona, la actividad ABC1 de bcl complejo similar a (S. pombe) (CABC1), ARNm | 8.26 Abajo | 9.37E-06 |
| 30 | NM_018076 | Homo sapiens repetición armadillo que contiene 4 (ARMC4), ARNm | 8.22 Abajo | 4.95E-05 |
| 35 | NM_007167 | Homo sapiens proteína con dedos de zinc 258 (ZNF258), ARNm | 8.22 Abajo | 6.47E-04 |
| 40 | NM_016613 | Homo sapiens proteína hipotética DKFZp434L142 (DKFZp434L142), ARNm | 8.21 Abajo | 1.46E-05 |
| 45 | NM_016542 | Homo sapiens quinasa relacionada con MST3 y SOK1 (MST4), ARNm | 8.19 Abajo | 1.06E-04 |
| 50 | NM_000581 | Homo sapiens de glutatión peroxidasa 1 (GPXI), variante de transcripción 1, ARNm | 8.18 Abajo | 3.53E-04 |
| 55 | AK092114 | ADNc Homo sapiens FLJ34795fis, el clon NT2NE2005921 | 8.11 Abajo | 3.10E-06 |
| 60 | AK124776 | ADNc Homo sapiens FLJ42786 fis, clon BRAWH3006761 | 8.11 Abajo | 2.02E-05 |
| 65 | AK124702 | ADNc Homo sapiens FLJ42712 nosotros, clon BRAMY3008044 | 8.1 Abajo | 6.75E-06 |
| | NM_003385 | Homo sapiens visinina tipo 1 (VSNL1), ARNm | 8.1 | 3.19E- |

ES 2 569 421 T3

| | | | | |
|----|-----------|---|---------------|----------|
| | NM_030915 | Homo sapiens probable ortólogo de ratón de la extremidad del brote y el gen de corazón (LBH), ARNm | 8.09 Abajo | 1.86E-05 |
| 5 | | | | |
| 10 | CD723798 | oj26f04.yl glándula lagrimal humano, sin amplificar: oj Homo sapiens clon de ADNc oj26f04 5, Secuencia de ARNm 601649770F1 NIH_MGC_74 Homo sapiens clon de ADNc IMAGE: 3933472 5, secuencia de ARNm | 8.08 Abajo | 2.04E-04 |
| | BE968596 | Homo sapiens ARNm para la proteína K1AA0994, cds parciales | 8.05 Abajo | 2.29E-05 |
| 15 | AB023211 | Homo sapiens ATX1 proteína antioxidante 1 homólogo (levadura) (ATOX1), ARNm | 8.05 Abajo | 1.74E-04 |
| | NM_004045 | Homo sapiens ATX1 proteína antioxidante 1 homólogo (levadura) (ATOX1), ARNm | 8.02 Abajo | 1.42E-04 |
| 20 | AK074097 | Homo sapiens ARNm para la proteína FLJOO168 | 7.99 Abajo | 2.58E-04 |
| | NM_181718 | Homo sapiens proteína hipotética L0C253982 (L0C253982), ARNm | 7.98 Abajo | 2.03E-04 |
| 25 | NM_004154 | Homo sapiens receptor P2Y pirimidinérgico, acoplado G-proteína, 6 (P2RY6), variante de transcripción 4, ARNm | 7.94 Abajo | 9.37E-06 |
| | NM_014391 | Homo sapiens dominio de repetición de anquirina 1 (cardíaco músculo) (ANKRD1), ARNm | 7.92 Abajo | 1.03E-04 |
| 30 | | | | |
| 35 | NM_080659 | Homo sapiens similar a RIKEN ADNc 2310030G06 gen (MGC14839), ARNm | 7.89 Abajo | 2.67E-05 |
| 40 | NM_012319 | Homo sapiens familia portadora de soluto 39 (transportador de cinc), miembro 6 (SLC39A6), ARNm | 7.87 Abajo | 4.83E-04 |
| 45 | NM_139161 | Homo sapiens migas homólogo 3 (Drosophila) (CRB3), variante de transcripción 2, ARNm | 7.86 Abajo | 2.20E-03 |
| 50 | BX648299 | ARNm de Homo sapiens; ADNc DKFZp686J04125 (a partir del clon DKFZp686J04125) | 7.85 Abajo | 1.74E-05 |
| 55 | H94320 | yvl8bl0.s1 Soares bazo hígado fetal 1NFLS Homo sapiens clon de ADNc IMAGE: 243067 3, secuencia de ARNm | 7.84 Abajo | 8.68E-05 |
| 60 | NM_002423 | Homo sapiens metaloproteinasas de matriz 7 (matrilisina, uterina) (MMP7), ARNm | 7.83 Abajo | 4.28E-04 |
| 65 | | | | |

ES 2 569 421 T3

| | | | | |
|----|-----------|--|---------------|----------|
| | AK058012 | ADNc Homo sapiens FLJ25283 fis, clon STM06716 | 7.7 Abajo | 5.51E-05 |
| 5 | T56535 | yb33g07.rl Stratagene bazo fetal (#937205) ADNc Homo sapiens clon IMAGE: 73020 5, Secuencia de ARNm | 7.69 Abajo | 2.72E-05 |
| | NM_002053 | Homo sapiens proteína vinculante de guanilato 1, interferón-inducible, 67kDa (GBP1), ARNm | 7.68 Abajo | 9.91E-06 |
| 10 | | | | |
| | NM_001710 | Homo sapiens factor B, properdina (BF), ARNm | 7.64 Abajo | 4.89E-05 |
| 15 | AK12742 | ADNc Homo sapiens FLJ4551 3 fis, clon BRTHA2021450 | 7.63 Abajo | 8.90E-05 |
| | NM_016061 | Homo sapiens yippee-similar a 5 (Drosophila) (YPEL5), ARNm | 7.58 Abajo | 5.26E-04 |
| 20 | NM_006855 | Homo sapiens KDEL (Lys-Asp-Glu-Leu) retículo endoplasmático proteína del receptor de retención 3 (KDELR3), variante de transcripción 1, ARNm | 7.57 Abajo | 4.41E-04 |
| 25 | A1311296 | ta48dIO.x2 NCI CGAPLu25 Homo sapiens clon de ADNc IMAGE: 2047315 3, Secuencia de ARNm | 7.55 Abajo | 1.93E-04 |
| | NM_003810 | Homo sapiens factor de necrosis tumoral (ligando) super familia, miembro 10 (TNFSF10), ARNm | 7.55 Abajo | 4.68E-04 |
| 30 | | | | |
| | A1819863 | wj45h05.xl NCI_CGAP_Lu19 Homo sapiens clon de ADNc IMAGE-0.2405817 3, Secuencia de ARNm | 7.54 Abajo | 2.62E-05 |
| 35 | NM_000076 | Homo sapiens quinasa dependiente de ciclina inhibidor 1C (p57, Kip2) (CDKN1C), ARNm | 7.53 Abajo | 2.31E-05 |
| 40 | NM_003761 | Homo sapiens asociada a vesículas de membrana proteína 8 (endobrevin) (VAMP8), ARNm | 7.53 Abajo | 6.69E-05 |
| 45 | NM_003475 | Homo sapiens cromosoma 11 marco de lectura abierto 13 (Clorf13), ARNm | 7.5 Abajo | 1.89E-04 |
| 50 | NM_198495 | Homo sapiens familia CTAGE, miembro 4 (CTAGE4), ARNm | 7.47 Abajo | 2.61E-05 |
| | AL117454 | ARNm de Homo sapiens; ADNc DKFZp586J1717 (a partir del clon DKFZp586J1 717) | 7.4 Abajo | 2.32E-04 |
| 55 | NM_025149 | Homo sapiens hipotética proteína FLJ20920 (FLJ20920), ARNm | 7.4 Abajo | 1.67E-05 |
| 60 | NM_002522 | Homo sapiens pentraxina neuronal I (NPTX1), ARNm | 7.37 Abajo | 2.29E-05 |
| 65 | | | | |

ES 2 569 421 T3

| | | | | |
|----|-----------|---|---------------|----------|
| | NM_002867 | Homo sapiens RAB3B, miembro RAS oncogén la familia (RAB3B), ARNm | 7.37 Abajo | 3.28E-05 |
| 5 | AK021637 | ADNc Homo sapiens FLJII575fis, el clon HEMBA1003531 | 7.36 Abajo | 4.12E-05 |
| 10 | AL359058 | Homo sapiens ARNm de longitud completa inserto de ADNc clon Euroimage 592473 | 7.35 Abajo | 1.12E-05 |
| 15 | AF108093 | Homo sapiens gen IA-2, intrón 18 | 7.33 Abajo | 5.57E-05 |
| 20 | AK026235 | ADNc Homo sapiens: nos FLJ22582, clon HS102576 | 7.32 Abajo | 1.55E-04 |
| 25 | NM_022103 | Homo sapiens proteína hipotética con dedos de cinc FLJ14O11 (FLJ14O11), ARNm | 7.31 Abajo | 6.09E-05 |
| 30 | BX111520 | BX111520 Soares placenta Nb2HP Homo sapiens clon de ADNc IMAGp998L1 5208; IMAGE: 141470, secuencia de ARNm | 7.21 Abajo | 7.14E-06 |
| 35 | NM_017456 | Homo sapiens pleckstrin homología, Sec7 y dominios espiral de la bobina 1 (citohesina 1) (PSCD1), variante de transcripción 2, ARNm | 7.2 Abajo | 1.76E-03 |
| 40 | NM_013962 | Homo sapiens neoregulina 1 (NRGi), variante de transcripción GGF2, ARNm | 7.19 Abajo | 2.88E-04 |
| 45 | S70348 | Homo sapiens integrina beta 3 ARNm, cds parcial, alternativamente empalmados | 7.18 Abajo | 2.47E-05 |
| 50 | U51694 | HSU51694 humano normal de la encía hacia Homo sapiens ADNc, secuencia de ARNm | 7.13 Abajo | 6.48E-06 |
| 55 | NM_001299 | Homo sapiens calponina 1, básica, lisa, músculo (CNN1), ARNm | 7.07 Abajo | 2.91E-05 |
| 60 | | | | |
| 65 | | | | |

ES 2 569 421 T3

| | | | | |
|----|-----------|---|---------------|----------|
| | NM_001785 | Homo sapiens citidina deaminasa (CDA), ARNm | 7.02 Abajo | 3.22E-05 |
| 5 | NM_005296 | Homo sapiens proteína G-receptor acoplado 23 (GPR23), ARNm | 6.94 Abajo | 1.65E-04 |
| 10 | NM_030594 | Homo sapiens poliadenilación citoplasmática proteína de unión al elemento 1 (CPEB1), ARNm | 6.94 Abajo | 5.63E-06 |
| 15 | BX113144 | BX113144 Soares placenta Nb2HP Homo sapiens clon de ADNc 1MAGp998N07225; 4 IMAGE: 148038, secuencia de ARNm | 6.93 Abajo | 4.14E-05 |
| 20 | AB020640 | ARNm de Homo sapiens para la proteína K1AA0833, cds parcial | 6.91 Abajo | 5.63E-06 |
| 25 | AF244571 | Homo sapiens clon L49 HERV-K-T47-similar a secuencia larga de repetición terminal | 6.86 Abajo | 1.29E-04 |
| 30 | NM_005141 | Homo sapiens fibrinógeno, B polipéptido beta (FGB), ARNm | 6.85 Abajo | 2.24E-04 |
| 35 | NM_053001 | Homo sapiens proteína 2A-relacionados saltado y pico (OSR2), ARNm | 6.84 Abajo | 2.30E-05 |
| 40 | AA195727 | zr33a09.rl Soares_NhHMPu_S1 Homo sapiens clon de ADNc IMAGE:665176 5, Secuencia de ARNm | 6.82 Abajo | 2.73E-05 |
| | NM_001165 | Homo sapiens IAP de bacUlovirus repetidas, que contiene 3 (BIRC3), variante de transcripción 1, ARNm | 6.81 Abajo | 2.02E-04 |
| | NM_005512 | Homo sapiens glicoproteína A repeticiones predominantes (GARP), ARNm | 6.81 Abajo | 2.00E-04 |
| 45 | NM_000087 | Homo sapiens nucleótidos cíclicos cerrada canal alfa 1 (CNGA1), ARNm | 6.81 Abajo | 5.65E-05 |
| 50 | NM_001993 | Homo sapiens factor de coagulación III (tromboplastina, factor tisular) (F3), ARNm | 6.74 Abajo | 1.42E-04 |
| 55 | AF041210 | Homo sapiens línea media 1 isoforma riñón fetal 3 (MID1) ARNm, cds parcial | 6.73 Abajo | 6.70E-05 |
| 60 | NM_001083 | Homo sapiens 5A fosfodiesterasa, cGMP específico (PDE5A), variante de transcripción 1, ARNm | 6.73 Abajo | 7.71E-06 |

ES 2 569 421 T3

| | | | | |
|----|-----------|---|---------------|----------|
| | NM_012422 | Homo sapiens proteína fosfatasa de tirosina, tipo no receptor (linfoides) (PTPN22), 11 variante transcripción 2, ARNm | 6.72 Abajo | 2.36E-05 |
| 5 | | | | |
| 10 | NM_030965 | Homo sapiens sialiltransferasa 7 ((alfa-N-acetylneuramínil-2,3-beta-galactosil-1,3) -N acetil galactosaminida alfa-2,6 sialiltransferasa) E (SIAT7E), ARNm | 6.71 Abajo | 3.90E-04 |
| 15 | | | | |
| 20 | NM_000852 | Homo sapiens glutatona S-transferasa pi (GSTP1), ARNm | 6.7 Abajo | 6.35E-05 |
| 25 | BC04636 | Homo sapiens calcio canal de gamma-subunidad de proteína similar a dependiente de la tensión, el ARNm 2 (clon de ADNc MGC: 50757 IMAGE: 5221396), cds completos | 6.7 Abajo | 1.38E-05 |
| 30 | NM_144569 | SPOC dominio Homo sapiens que contiene 1 (SPOCD1), ARNm | 6.66 Abajo | 5.03E-05 |
| 35 | NM_006058 | Homo sapiens TNFAIP3 interacción de proteínas 1 (tnip1), ARNm | 6.61 Abajo | 1.01E-03 |
| 40 | S54641 | HZF-I6=Kruppel relacionado con gen de dedo de cinc homólogo {empalmados alternativamente} [humano, línea celular de hepatoblastoma, HEP-G2, ARNm, 2080 nt] | 6.59 Abajo | 6.25E-04 |
| 45 | | | | |
| 50 | NM_018023 | Homo sapiens Yeats dominio que contiene 2 (YEATS2), ARNm | 6.58 Abajo | 5.94E-04 |
| 55 | NM_002193 | Homo sapiens inhibina, beta B (activina AB beta polipéptido) (INHBB), ARNm | 6.56 Abajo | 5.11E-05 |
| 60 | NM_031426 | Homo sapiens cromosoma 9 marco de lectura abierto 58 (C9orf58), variante de transcripción 1, ARNm | 6.55 Abajo | 4.93E-04 |
| 65 | A1244954 | cij93h05.xl NCI _CGAP_Kid3 Homo sapiens clon de ADNc IMAGE: 1867065 3, secuencia de ARNm | 6.53 Abajo | 5.14E-06 |

ES 2 569 421 T3

| | | | | |
|----|-----------|--|---------------|----------|
| | BX537547 | ARNm de Homo sapiens; ADNc DKFZp686N164O (a partir del clon DKFZp686N1 640) | 6.51 Abajo | 1.44E-04 |
| 5 | NM_000981 | Homo sapiens proteína ribosomal L19 (RPL19), ARNm | 6.49 Abajo | 1.39E-04 |
| 10 | AK058012 | ADNc Homo sapiens FLJ25283 nosotros, clon STM06716 | 6.48 Abajo | 1.57E-05 |
| 15 | NM_024563 | Homo sapiens proteína hipotética FLJ14054 (FLJ14054), ARNm | 6.48 Abajo | 2.40E-04 |
| 20 | NM_001843 | Homo sapiens contactina 1 (CNTN1), variante de transcripción 1, ARNm | 6.47 Abajo | 1.91E-05 |
| 25 | L07615 | Neuropéptido humano del receptor Y Y1 (NPYY1) ARNm, exones 2-3 y cds completos | 6.46 Abajo | 2.22E-04 |
| 25 | NM_013322 | Homo sapiens clasificación nexina 10 (SNX1O), ARNm | 6.44 Abajo | 7.33E-05 |
| 30 | NM_014333 | Homo sapiens superfamilia de inmunoglobulina, miembro 4 (IGSF4), ARNm | 6.41 Abajo | 2.37E-05 |
| 35 | NM_173549 | Homo sapiens proteína hipotética FLJ39553 (FLJ39553), ARNm | 6.41 Abajo | 1.42E-05 |
| 40 | BF509925 | UI-H-B14-aph-1-c-0-0 UI si NCI_CGAP_Sub8 ADNc Homo sapiens clon IMAGE: 3087355 3, 5 secuencia ARNm | 6.39 Abajo | 4.05E-05 |
| 40 | NM_003597 | Homo sapiens TGFB respuesta de crecimiento temprano inducible 2 | 6.39 Abajo | 1.22E-05 |
| 45 | NM_152369 | Homo sapiens proteína hipotética MGC45474 (MGC45474), ARNm | 6.39 Abajo | 3.75E-05 |
| 50 | NM_144707 | Homo sapiens prominina 2 (PROM2), el ARNm | 6.38 Abajo | 1.04E-04 |
| 50 | NM_004086 | Homo sapiens coagulación del factor C homólogo, coclina (Limulus polyphemus) (COCH), ARNm | 6.37 Abajo | 1.91E-05 |
| 55 | NM_020127 | Homo sapiens tuftelina 1 (TUFT1), ARNm | 6.37 Abajo | 2.93E-03 |
| 60 | NM_000104 | Homo sapiens citocromo P450, familia 1 subfamilia B, polipéptido 1 (CYP1B1), ARNm | 6.35 Abajo | 2.93E-03 |

ES 2 569 421 T3

| | | | | |
|----|-----------|--|---------------|----------|
| | NM_206808 | Homo sapiens beta similar a citrato liasa (CLYBL), variante de transcripción 2, ARNm | 6.32 Abajo | 5.22E-05 |
| 5 | NM_003567 | Homo sapiens cáncer de mama resistencia anti-estrógena 3 (BCAR3), ARNm | 6.31 Abajo | 1.39E-05 |
| 10 | NM_003617 | Homo sapiens regulador de señalización proteína G 5 (RGS5), ARNm | 6.29 Abajo | 2.36E-04 |
| 15 | AK30181 | ADNc Homo sapiens FLJ26671 fis, clon MPG03325 | 6.28 Abajo | 6.69E-05 |
| 20 | NM_015954 | Homo sapiens CGI-26 proteínas (CGI-26), ARNm | 6.27 Abajo | 2.50E-04 |
| 25 | NM_001945 | Homo sapiens receptor de toxina de la difteria (de crecimiento epidérmico de unión a heparina similar al factor de crecimiento factor de 45) (DTR), ARNm | 6.27 Abajo | 2.56E-03 |
| 30 | NM_000597 | Homo sapiens proteína de unión al factor de crecimiento similar a la insulina 2, 36kDa (IGFBP2), ARNm | 6.26 Abajo | 2.29E-04 |
| 35 | NM_020992 | Homo sapiens dominio PDZ y LIM 1 (elfina) (PDLIM1), ARNm | 6.25 Abajo | 8.97E-05 |
| 40 | NM_000576 | Homo sapiens interleucina 1, beta (IL1B), ARNm | 6.22 Abajo | 2.34E-05 |
| 45 | NM_022818 | Homo sapiens proteína asociada a los microtúbulos 1 cadena ligera 3 beta (MAP1LC3B), ARNm | 6.22 Abajo | 1.18E-03 |
| 50 | NM_001257 | Homo sapiens cadherina 13, H-cadherina (corazón) (CDH13), ARNm | 6.21 Abajo | 4.57E-04 |
| 55 | A1697906 | we18f06.xl NCI_CGAP_Lu24 Homo sapiens clon de ADNc IMAGE: 2341475 3, secuencia de ARNm | 6.21 Abajo | 2.37E-05 |
| 60 | AK125695 | ADNc Homo sapiens FLJ43707 fis, clon TESOP2001865 | 6.21 Abajo | 1.16E-05 |
| 65 | NM_005725 | Homo sapiens Tetraspan 2 (tspan-2), ARNm | 6.21 Abajo | 7.32E-05 |

ES 2 569 421 T3

| | | | | |
|----|----------------------|--|--------------------------------|----------------------|
| | A1694344 | wd45f11.x1 Soares_NFLT GBC Si Homo sapiens clon de ADNc IMAGE: 2331117 3 similar a contiene MER13.bl MER13 elemento repetitivo ;, secuencia de ARNm | 6.2 Abajo | 1.44E-04 |
| 5 | | | | |
| 10 | NM_001333 | Homo sapiens catepsina L2 (CTSL2), ARNm | 6.19 Abajo | 3.43E-04 |
| 15 | AI623139 | tu89b07.xl NCI_CGAP Gas4 Homo sapiens clon de ADNc IMAGE-0.2258197 3, secuencia de ARNm | 6.18 Abajo | 1.38E-04 |
| 20 | NM_006727 | Homo sapiens cadherina 10, tipo 2 (T2-cadherina) (CDH10), ARNm | 6.17 Abajo | 6.43E-05 |
| 25 | M80899 | Proteína humana nueva AHNAK ARNm, secuencia parcial | 6.16 Abajo | 6.38E-04 |
| 30 | NM_012213 | Homo sapiens malonil-descarboxilasa-CoA (MLYCD), ARNm | 6.15 Abajo | 3.70E-05 |
| 35 | NM_016651 | Homo sapiens homólogo pulcro 1, antagonista de beta-catenina (Xenopus) (DACT1), ARNm | 6.14 Abajo | 6.41E-05 |
| 40 | NM_000129 | Homo sapiens factor de coagulación XIII, A1 polipéptido (F13A1), ARNm | 6.14 Abajo | 9.71E-06 |
| 45 | NM_006472 | Homo sapiens tiorredoxina que interactúan las proteínas (TXNIP), ARNm | 6.11 Abajo | 1.43E-03 |
| 50 | 6U72709 AF070571 | UI-E-CRO-ach-e-12-0-UI.s1 UI-E-CR0 Homo sapiens clon de ADNc UI-E-CR0-ach-e-UI 3 secuencia de ARNm Homo sapiens clon 24739 secuencia de ARNm | 6.09 Abajo 6.04 Abajo | 7.54E-05 8.86E-05 |
| 55 | NM_018120 | Homo sapiens repetición de armadillo que contiene 1 (ARMC1), ARNm | 6.02 Abajo | 2.51E-03 |
| 60 | CA414847 AW474773 | UI-H-EZO-bar-b-22-0-UI.s1 NCI_CGAP_ChI ADNc Homo sapiens clon de UI-H-EZO-bar-b-22-0-UI 3, secuencia de ARNm xyO6fIO.xl NCI_CGAP_Lyml2 Homo sapiens ADNc clon IMAGE: 2852395 3, secuencia de ARNm | 6.02 Abajo | 4.69E-05 8.88E-05 |
| 65 | NM_006851 | Homo sapiens GLI patogénesis relacionada con 1 (glioma) (GLIPR1), ARNm | 6.01 Abajo | 2.98E-05 |

ES 2 569 421 T3

| | | | | |
|----|-----------------------|--|--------------------------------|----------------------|
| | NM_024997 | Homo sapiens factor activador de transcripción 7 proteína de interacción 2 (ATF7IP2), ARNm | 6 Abajo | 1.65E-04 |
| 5 | | | | |
| 10 | NM_003932 T53523 | Homo sapiens supresión de tumorigenidad 13 (carcinoma de colon) (proteína de interacción Hsp7O) (ST13), ARNm ya89hl 2.ri Stratagene placenta (# 937225) Homo sapiens clon de ADNc IMAGE: 68903 5, secuencia de ARNm | 6 Abajo 5.99 Abajo | 4.81E-04 1.60E-04 |
| 15 | NM_016946 | Homo sapiens Fl1 receptor (Fl 1 R), variante de transcripción 1, ARNm | 5.99 Abajo | 7.76E-04 |
| 20 | AJ406941 | Homo sapiens ARNm parcial para proteína asociada a queratina 4,9 (gen KRTAP4.9) | 5.99 Abajo | 1.74E-05 |
| 25 | BF510493 | UI-H-B14-apa-b-08-0-UI.s1 NCI_CGAP_Sub8 ADNc Homo sapiens clon IMAGE: 3086558 3, secuencia de ARNm | 5.93 Abajo | 3.17E-05 |
| 30 | AK094436 | ADNc Homo sapiens FLJ37117 fis, clon BRACE2022270 | 5.92 Abajo | 1.58E-04 |
| 35 | NM_032873 | Homo sapiens Cbl-proteínas que interactúan Sts-1 (STS-1), de ARNm | 5.92 Abajo | 1.67E-05 |
| 40 | NM_015577 | Homo sapiens ácido retinoico inducido 14 (RAI14), ARNm | 5.91 Abajo | 3.19E-03 |
| 45 | NM_014702 AB007940 | Homo sapiens KIAAO4O8 (KIAAO4O8), ARNm ARNm Homo sapiens para proteína K1AA0471, cds parcial | 5.91 Abajo 5.88 Abajo | 5.11E-05 1.65E-04 |
| 50 | NM_004479 | Homo sapiens fucosiltransferasa 7 (alfa (1,3)fucosiltransferasa) (Fut7), ARNm | 5.87 Abajo | 3.82E-05 |
| 55 | BC035599 NM_001332 | Homo sapiens, clon IMAGE: 3871970, ARNm, cds parcial Homo sapiens catenina familia (proteína asociada a cadherina), delta 2 (proteína relacionada con placofilina neuronal de repetición) (CTNND2), ARNm | 5.86 Abajo 5.84 Abajo | 9.99E-05 1.73E-05 |
| 60 | NM_001995 | Homo sapiens acil-CoA sintetasa de cadena larga 1 miembro (ACSL1), ARNm | 5.83 Abajo | 4.26E-04 |
| 65 | NM_053039 BCO15108 | Homo sapiens UDP familia glicosiltransferasa 2, B28 polipéptido (UGT2B28), ARNm Homo sapiens, similar a otoconina 90, el clon IMAGE: 4044247, ARNm | 5.82 Abajo 5.81 Abajo | 4.93E-05 5.63E-06 |

ES 2 569 421 T3

| | | | | |
|----|-----------|---|---------------|----------|
| 5 | NM_002250 | Homo sapiens pota.s1o intermedia / pequeña canal activado por calcio de conductancia, subfamilia N, miembro 4 (KCNN4), ARNm | 5.8 Abajo | 1.60E-05 |
| 10 | AL117425 | ARNm de Homo sapiens; ADNc DKFZp566L2O3 (a partir del clon DKFZp566L2O3) | 5.76 Abajo | 6.05E-05 |
| 15 | NM_014867 | Homo sapiens KIAAO711 gen producto (KIAAO711), ARNm | 5.74 Abajo | 7.24E-06 |
| 20 | BM473823 | AGENCOURT_6484255 NIH_MGC_72 Homo sapiens clon de ADNc IMAGE:5538225 5, Secuencia de ARNm | 5.73 Abajo | 2.36E-05 |
| 25 | NM_024558 | Homo sapiens cromosoma 14 marco de lectura abierto 138 (C14orf138), ARNm | 5.73 Abajo | 8.48E-04 |
| 30 | NM_005578 | Homo sapiens dominio que contiene LIM socio preferido de translocación en lipoma (LPP), ARNm | 5.71 Abajo | 7.52E-05 |
| 35 | AK124175 | ADNc Homo sapiens FLJ42181 fis, clon THYMU2031368 | 5.7 Abajo | 2.30E-03 |
| 40 | NM_013281 | Homo sapiens fibronectina ricos en leucina proteína transmembrana 3 (FLRT3), variante de transcripción 1, ARNm | 5.69 Abajo | 1.38E-05 |
| 45 | AA689292 | nv66cl1.s1 NCI_CGAP_GCB1 Homo sapiens clon de ADNc IMAGE: 1234772 3, Secuencia de ARNm | 5.69 Abajo | 1.42E-04 |
| 50 | NM_002622 | Homo sapiens prefoldina 1 (PFDN1), ARNm | 5.69 Abajo | 1.69E-03 |
| 55 | BM695043 | UI-E-CL1-aez-k-1-8-0 UI.rl UI-E-CL1 Homo sapiens clon de ADNc UI-E-CL1-aez-k-18-0-UI 5 secuencia de ARNm | 5.68 Abajo | 2.37E-03 |
| 60 | NM_007145 | Homo sapiens proteína con dedos de cinc 146 (ZNF146), ARNm | 5.67 Abajo | 6.48E-04 |
| 65 | | | | |

ES 2 569 421 T3

| | | | | |
|----|-----------|--|---------------|----------|
| | NM_004078 | Homo sapiens cisteína y la proteína rica en glicina 1 (CSRP1), ARNm | 5.67 Abajo | 2.33E-04 |
| 5 | N75271 | yz74h12.rl Soares_multiple_sclerosis_2NbHMSP ADNc | 5.67 Abajo | 7.47E-05 |
| 10 | AL353944 | Homo sapiens clon IMAGE 288839 5, secuencia de ARNm Homo sapiens ARNm; ADNc DKFZp761J1112 (a partir del clon DKFZp761J1112) | 5.66 Abajo | 3.88E-05 |
| 15 | AL047960 | DKFZp586B0623_rl 586 (sinónimo: hutel) ADNc Homo sapiens clon DKFZp586B0623, secuencia de ARNm | 5.63 Abajo | 1.65E-04 |
| | AK131092 | Homo sapiens ARNm de la proteína FLJOO3O7 | 5.63 Abajo | 2.25E-04 |
| 20 | NM_020808 | Homo sapiens señal inducida por la proliferación asociada a 1 similar a 2 (SIPA1L2), ARNm | 5.63 Abajo | 8.36E-04 |
| 25 | NM_003494 | Homo sapiens disferlina, faja muscular de las extremidades 2B distrofia (autosómica recesiva) (DYSF), ARNm | 5.6 Abajo | 5.21E-05 |
| 30 | NM_032883 | Homo sapiens cromosoma 20 marco de lectura abierto 100 (C200rf1OO), ARNm | 5.58 Abajo | 1.93E-05 |
| 35 | NM_006722 | Homo sapiens microftalmia asociada factor de transcripción (MITE), variante de transcripción 3, ARNm | 5.57 Abajo | 1.99E-04 |
| 40 | NM_014978 | Homo sapiens dominio VPS10 relacionados sortilina que contiene el receptor 3 (SORCS3), ARNm | 5.57 Abajo | 4.68E-05 |
| 45 | BX110418 | BX110418 NCI_CGAP_Kid3 Homo sapiens ADNc clon IMAGp998C224149; IMAGE-0_1635405 Secuencia de ARNm | 5.56 Abajo | 5.1OE-05 |
| 50 | NM_004087 | Homo sapiens discos, gran homólogo 1 de (Drosophila) (DLG1), ARNm | 5.56 Abajo | 1.21E-04 |
| 55 | NM_000561 | Homo sapiens glutatióN S-transferasa MI (GSTM1), variante de transcripción 1, ARNm | 5.54 Abajo | 5.63E-06 |
| 60 | NM_006785 | Homo sapiens tejido linfoide asociado a mucosa gen de translocación de linfoma 1 (MALT1), variante de transcripción 1, ARNm | 5.53 Abajo | 2.39E-04 |

ES 2 569 421 T3

| | | | | |
|----|-----------|--|---------------|----------|
| | NM_052839 | Homo sapiens pannexina 2 (PANX2), el ARNm | 5.52 Abajo | 2.09E-05 |
| 5 | NM_025085 | Homo sapiens coactivador transcripcional tubedown-100 (TBDN100), variante de transcripción 2, ARNm | 5.51 Abajo | 1.35E-03 |
| 10 | NM_024422 | Homo sapiens desmocolina 2 (DSC2), variante de transcripción Dsc2a, ARNm | 5.5 Abajo | 7.12E-05 |
| 15 | NM_017448 | Homo sapiens lactato deshidrogenasa C (LDHC), variante de transcripción 2, ARNm | 5.5 Abajo | 8.50E-06 |
| 20 | AK128036 | ADNc Homo sapiens FLJ46155 fis, clon TESTI4001517, moderadamente similar a la queratina, tipo I del citoesqueleto 18 | 5.5 Abajo | 2.58E-03 |
| 25 | NM_032623 | Homo sapiens proteína ácida ovario-específica (OSAP), ARNm | 5.47 Abajo | 5.65E-04 |
| 30 | BX116347 | BX116347 NCI_CGAP_Kid12 Homo sapiens ADNc clon IMAGp998B215967; IMAGE: 2401844, secuencia de ARNm | 5.47 Abajo | 1.65E-04 |
| 35 | NM_002031 | Horno sapiens quinasa relacionada con Fyn (FRK), ARNm | 5.45 Abajo | 2.62E-05 |
| 40 | CA413744 | UI-H-EZO-bat-h-12-0-UI.sl NCICGAPCh1 ADNc Homo sapiens clon UI-H-EZO-palo-h-12-0-UI 3, secuencia de ARNm | 5.45 Abajo | 1.32E-04 |
| 45 | T78754 | ydOlfO8.rl Soares cerebro infantil 1NIB Homo sapiens clon de ADNc IMAGE: 24180 5 ,secuencia de ARNm | 5.45 Abajo | 1.14E-04 |
| 50 | NM_005082 | Homo sapiens tripartita motivo que contiene 25 (TRIM25), ARNm | 5.44 Abajo | 4.71E-04 |
| 55 | NM_032857 | Homo sapiens lactaARNse, beta (LACTB), gen mitocondrial que codifica la proteína nuclear variante de transcripción 1, ARNm | 5.43 Abajo | 6.74E-04 |
| 60 | | | | |
| 65 | | | | |

ES 2 569 421 T3

| | | | | |
|----|-----------|---|---------------|----------|
| 5 | NM_173662 | Homo sapiens proteína hipotética L0C285533 (L0C285533), ARNm | 5.43 Abajo | 1.72E-04 |
| 10 | NM_002166 | Homo sapiens inhibidor de la unión al ADN 2, dominante negativo de proteína hélice-bucle-hélice (1D2), ARNm | 5.43 Abajo | 2.13E-04 |
| 15 | NM_000593 | Homo sapiens transportador 1, de unión a ATP de cassette, subfamilia B (MDRITAP) (TAP1), ARNm | 5.42 Abajo | 5.84E-04 |
| 20 | BM988642 | UI-H-DHO-axr-p-21-0-UI.s1 NCI_CGAP_DHO ADNc Homo sapiens clon IMAGE: 5855492 3, secuencia de ARNm | 5.42 Abajo | 2.89E-05 |
| 25 | NM_024901 | Homo sapiens proteína hipotética FLJ22457 (FLJ22457), ARNm | 5.41 Abajo | 4.87E-04 |
| 30 | NM_017823 | Homo sapiens fosfatasa de especificidad dual 23 (DUSP23), ARNm | 5.41 Abajo | 5.55E-04 |
| 35 | BX107838 | BX107838 NCI_CGAP_Lu5 Homo sapiens ADNc clon IMAGp998A153853; IMAGE: 1521686, secuencia de ARNm | 5.39 Abajo | 2.44E-04 |
| 40 | AW172903 | xjO5eO4.xl NCI_CGAP_Ut2 Homo sapiens clon de ADNc IMAGE-0.2656350 3, secuencia de ARNm | 5.39 Abajo | 1.67E-05 |
| 45 | BX111321 | BX111321 Soares_pregnant_uterus_NbHPU Homo sapiens clon de ADNc 1MAGp998C221112; IMAGE: 469197, secuencia de ARNm | 5.39 Abajo | 1.46E-03 |
| 50 | NM_033211 | Homo sapiens hipotético gen apoyado por AF038182; B0009203 (L0C90355), ARNm | 5.38 Abajo | 1.15E-04 |
| 55 | D62831 | HUM33OB12B Clontech humana aorta poli A + ARNm (# 6572) Homo sapiens clon de ADNc GEN-330B12 5, Secuencia de ARNm | 5.37 Abajo | 5.80E-03 |
| 60 | NM_001069 | Homo sapiens tubulina, polipéptido beta (TUBB), ARNm | 5.36 Abajo | 4.71E-04 |
| 65 | | | | |

ES 2 569 421 T3

| | | | | |
|----|--------------------|---|---------------|----------|
| 5 | NM_004324 | Homo sapiens proteína X asociada a BCL2 (BAX), variante de transcripción de beta, ARNm | 5.36 Abajo | 8.14E-04 |
| 10 | AV736303 | AV736303 CB ADNc Homo sapiens clon CBCAJDO4 5, secuencia de ARNm | 5.36 Abajo | 4.51E-05 |
| 15 | AK131532 | ADNc Homo sapiens FLJ16761 fis, clon BRAMY3008096 | 5.34 Abajo | 9.55E-05 |
| 20 | NM_020859 | Homo sapiens proteína relacionada con Shroom (ShrmL), ARNm | 5.34 Abajo | 1.21E-04 |
| 25 | NM_002575 | Homo sapiens serina (o cisteína) inhibidor de proteinasa, clade B (ovoalbúmina), miembro 2 (SERPINB2), ARNm | 5.34 Abajo | 8.70E-05 |
| 30 | NM_017599 | Homo sapiens proteínas transmembrana vezatin (VEZATIN), ARNm | 5.33 Abajo | 6.62E-04 |
| 35 | BX116071 | BX116071 Soares_pregnant_uterus _NbHPU ADNc Homo sapiens clon 1MAGp998L201165 IMAGE: 489763, secuencia de ARNm | 5.33 Abajo | 1.39E-04 |
| 40 | NM_024677 | Homo sapiens proteína hipotética FLJ14001 (FLJ14001), ARNm | 5.32 Abajo | 5.07E-06 |
| 45 | AL832779 | Homo sapiens ARNm; ADNc DKFZp686H157 (a partir del clon DKFZp686H157) | 5.32 Abajo | 4.37E-04 |
| 50 | NM_002547 | Homo sapiens oligofrenina 1 (OPHN1), el ARNm | 5.32 Abajo | 5.03E-05 |
| 55 | NM014322 | Homo sapiens opsina 3 (encefalopsina panopsina) (OPN3), ARNm | 5.3 Abajo | 4.04E-04 |
| 60 | NM_003057 | Homo sapiens familia de transportadores de soluto 22 (orgánica cación transportador), miembro 1 (SLC22A1), variante de transcripción 1, ARNm | 5.29 Abajo | 1.92E-04 |
| 65 | BM969191 S69208 | UI-CF-ENO-acp-e-22-0-UI.s1 UI-CF-EN0 Homo sapiens clon de ADNc UI-CF-EN0-acp-e-22-0-UI 3, secuencia de ARNm Troponina T [humana, músculo esquelético y cardíaco, ARNm, 932 nt] | 5.28 Abajo | 4.06E-04 |
| | NM_031216 | Homo sapiens SEH1 similar a (S. cerevisiae) (SEH1L), ARNm | 5.27 Abajo | 7.73E-04 |
| | | | | 1.17E-03 |

ES 2 569 421 T3

| | | | | |
|----|-----------------------|--|--------------------------------|----------------------|
| | NM_002967 | Homo sapiens factor de unión al andamiaje B (SAFB), ARNm | 5.27 Abajo | 5.52E-04 |
| 5 | NM_002843 | Homo sapiens proteína fosfatasa de tirosina, tipo receptor, J (PTPRJ), ARNm | 5.27 Abajo | 5.63E-06 |
| 10 | NM_018664 | Homo sapiens Jun de proteínas de dimerización p21SNFT (SNFT), ARNm | 5.27 Abajo | 3.06E-05 |
| 15 | NM_020944 | Homo sapiens glucosidasa, beta (ácidos biliares) 2 (GBA2), ARNm | 5.25 Abajo | 3.07E-04 |
| 20 | BM987200 NM_023915 | UI-H-CO0-aql-b-05-0-UI.sl NCI_CGAP_Sub9 ADNc Homo sapiens IMAGE clon: 3104192 3, secuencia de ARNm Homo sapiens G receptor acoplado a proteína 87 (GPR87), ARNm | 5.24 Abajo 5.23 Abajo | 8.03E-05 2.05E-04 |
| 25 | NM_015678 | Homo sapiens neurobequina (NBEA), ARNm | 5.23 Abajo | 2.95E-05 |
| 30 | NM_004438 | Homo sapiens receptores EPH A4 (EphA4), ARNm | 5.22 Abajo | 1.93E-05 |
| 35 | NM_002206 | Homo sapiens integrina alfa 7 (ITGA7), ARNm | 5.22 Abajo | 2.36E-05 |
| 40 | AW591461 AK056033 | xl92h06.xl NCI_CGAP_Ut1 Homo sapiens clon de ADNc IMAGE: 2682203 3, Secuencia de ARNm ADNc Homo sapiens FLJ31471 fis, clon NT2NE2001435 | 5.22 Abajo 5.19 Abajo | 7.14E-05 3.29E-04 |
| 45 | NM_018235 | Homo sapiens CNDP dipeptidasa 2 (familia de metalopeptidasa M20) (CNDP2), ARNm | 5.19 Abajo | 3.74E-03 |
| 50 | AV728294 | AV728294 HTC ADNc Homo sapiens clon HTCBIE09 5, secuencia de ARNm | 5.19 Abajo | 3.05E-04 |
| 55 | NM_024725 | Homo sapiens proteína hipotética FLJ23518 (FLJ23518), ARNm | 5.18 Abajo | 2.56E-03 |
| 60 | NM_001874 | Homo sapiens carboxipeptidasa H (CPM), variante de transcripción 1, ARNm | 5.18 Abajo | 4.89E-05 |
| 65 | W30761 | zb76g12.rl Soares_senescent_fibroblasts_NbHSF Homo sapiens ADNc clon IMAGE: 309574 5, Secuencia de ARNm | 5.15 Abajo | 1.61E-04 |

ES 2 569 421 T3

| | | | | |
|----|-----------|---|---------------|----------|
| 5 | BM741997 | K-EST0014724 S7SNU719 Homo sapiens ADNc clon S7SNU719-7-F05 5, secuencia de ARNm | 5.14 Abajo | 1.15E-02 |
| 10 | NM_017594 | Homo sapiens familia DIRAS, de unión a GTP similar a 2 RAS (DIRAS2), ARNm | 5.14 Abajo | 1.38E-03 |
| 15 | NM_022343 | Homo sapiens cromosoma 9 marco de lectura abierto 19 (C9orf19), ARNm | 5.13 Abajo | 2.67E-05 |
| 20 | NM_003287 | Homo sapiens proteína tumoral D52-1 similar a (TPD52L1), variante de transcripción 1, ARNm | 5.13 Abajo | 2.71E-05 |
| 25 | BCO67106 | Homo sapiens receptor putativo de proteína G acoplada, ARNm (ADNc clon MGC: 71222 IMAGE-0,6645890), cds completos | 5.12 Abajo | 2.13E-04 |
| 30 | NM_181828 | Homo sapiens neurofibromina 2 (neuroma de bilateral acústico) (NF2), variante de transcripción 5, ARNm | 5.12 Abajo | 1.99E-03 |
| 35 | NM_005264 | Homo sapiens GDNF receptor de la familia de alfa 1 (GFRA1), variante de transcripción 1, ARNm | 5.11 Abajo | 4.23E-05 |
| 40 | AK092157 | ADNc Homo sapiens FLJ34838 fis, clon NT2NE2010654 | 5.11 Abajo | 6.46E-05 |
| 45 | NM_022912 | Homo sapiens cromosoma 2 marco de lectura abierto 23 (C2orf123), ARNm | 5.09 Abajo | 5.42E-05 |
| 50 | NM_052937 | Homo sapiens similar a la proteína hipotética FLJ10883 (LOC115294), ARNm | 5.09 Abajo | 1.38E-04 |
| 55 | BM665452 | UI-E-CQ1-aex-n-03-0-UI.sl UI-E-CQ1 Homo sapiens clon de ADNc UI-E-CQ1-aex-n-03-0-UI 3, Secuencia de ARNm | 5.08 Abajo | 3.24E-04 |
| | NM_003831 | Homo sapiens RIO quinasa 3 (levadura) (RIOK3), variante de transcripción 1, ARNm | 5.08 Abajo | 1.64E-04 |
| 60 | NM_181689 | Homo sapiens neuronatina (NNAT), variante de transcripción 2, ARNm | 5.08 Abajo | 7.40E-06 |
| 65 | | | | |

ES 2 569 421 T3

| | | | | |
|----|-----------|--|---------------|----------|
| | BC033124 | Homo sapiens, clon IMAGE: 2960615, ARNm | 5.07 Abajo | 3.52E-05 |
| 5 | NM_016003 | Homo sapiens WIPI49-similar a la proteína 2 (DKFZP434J154), variante de transcripción 2, ARNm | 5.07 Abajo | 6.36E-03 |
| 10 | | | | |
| | BC038556 | Homo sapiens, clon IMAGE: 3446976, ARNm | 5.06 Abajo | 2.32E-04 |
| 15 | AW069577 | cr47c06.xl Células estromales humanas de la médula ósea homo sapiens clon de ADNc HBMSC_cr47c06 3, secuencia de ARNm | 5.06 Abajo | 2.08E-03 |
| 20 | | | | |
| | NM_000055 | Homo sapiens butirilcolinesterasa (BCHE), ARNm | 5.05 Abajo | 1.20E-05 |
| 25 | | | | |
| | NM_005602 | Homo sapiens claudina 11 (proteína transmembrana de oligodendrocitos) (CLDN11), ARNm | 5.04 Abajo | 7.46E-04 |
| 30 | | | | |
| | NM_030952 | Homo sapiens ortólogo probable de rata quinasa de proteína activada por SNF1/AMP (SNARK), ARNm | 5.03 Abajo | 8.60E-05 |
| 35 | | | | |
| | AK092379 | ADNc Homo sapiens FLJ35060 fis, clon OCBBF2018828 | 5.03 Abajo | 1.67E-05 |
| 40 | | | | |
| | AK095013 | ADNc Homo sapiens FLJ37694 fis, clon BRHIP2015224 | 5.01 Abajo | 1.87E-04 |
| 45 | | | | |
| | NM-145234 | Homo sapiens cordina tipo 1 (CHRDL1), ARNm | 5.01 Abajo | 1.11E-05 |
| 50 | | | | |
| | NM_199287 | Homo sapiens similar a RIKEN ADNc 3110023B02 (MGC16597), ARNm | 5 Abajo | 9.27E-05 |
| 55 | | | | |
| | NM_025151 | Homo sapiens RAB11 proteínas de interacción de familia 1 (clase I) (RAB11FIP1), variante de transcripción 1, ARNm | 5 Abajo | 4.32E-05 |
| 60 | | | | |
| 65 | | | | |

TABLA VII G: GENES QUE SE EXPRESARON DIFERENCIALMENTE EN AL MENOS 5 VECES EN AF-11 FRENTE A CÉLULAS AF-III

| 5 | Identificador de gen | Nombre de gen | Cambio de pliegue medio en células de fibroblasto versus AF | Dirección | P-valor adj. |
|----|----------------------|--|---|-----------|--------------|
| 10 | NM_003411 | Homo sapiens proteínas dedo de cinc, Y-vinculada (ZFY), ARNm | | 328.28 UP | 1.97E-06 |
| 15 | NM_153634 | Homo sapiens copina VIII (CPNE8), ARNm | | 286.5 UP | 6.16E-06 |
| | H70730 | yu69e10.r1 Weizmann olfativa del epitEl1o Homo sapiens ADNc clon IMAGE: 239082 5, Secuencia de ARNm | | 272.44 UP | 1.97E-06 |
| 20 | NM_138963 | Homo sapiens proteína ribosomal S4, Y-vinculado 2 (RPS4Y2), ARNm | | 265.55 UP | 1.56E-06 |
| 25 | NM_004653 | Homo sapiens SMCY homólogo, Y ligado a (ratón) (SMCY), ARNm | | 246.17 UP | 1.00E-06 |
| 30 | NM_004660 | Homo sapiens DEAD (Asp-Glu-Ala-Asp) cuadro polipéptido 3, vinculado-Y (DDX3Y), ARNm | | 244.93 UP | 1.17E-05 |
| 35 | NM_012307 | Homo sapiens membrana de los eritrocitos proteína banda de 4.1 similar a 3 (EPB41L3), ARNm | | 207.61 UP | 1.83E-06 |
| 40 | BX089554 | BX089554 Soares placenta Nb2HP Homo sapiens ADNc clon IMAGP998P07210; IMAGE: 142326, secuencia de ARNm | | 119.7 UP | 2.95E-06 |
| 45 | NM_001008 | Homo sapiens proteína ribosomal S4, Y- vinculada 1 (RPS4Y1), ARNm | | 112.79 UP | 2.02E-05 |
| 50 | NM_014893 | Homo sapiens neuroligina 4, Y-vinculada (NLGN4Y), ARNm | | 93.96 UP | 9.61E-06 |
| | NM_182798 | Homo sapiens proteína hipotética FLJ39155 (FLJ39155), variante de transcripción 2, ARNm | | 71.46 UP | 1.36E-05 |
| 55 | NM_080872 | Homo sapiens unc-5 homólogo D (<i>C. elegans</i>) (UNC5D), ARNm | | 48.16 UP | 5.41E-05 |
| | BX648643 | ARNm de Homo sapiens; ADNc DKFZp686O17106 (a partir del clon 3 DKFZp686017106) | | 47.84 UP | 2.95E-06 |
| 60 | NM_002928 | Homo sapiens regulador de la proteína G de señalización 16 (Rgs16), ARNm | | 47.75 UP | 2.99E-05 |

ES 2 569 421 T3

| | | | | |
|----|-----------|--|-------------|----------|
| | AB037805 | Homo sapiens ARNm de la proteína KIAA1384, cds parcial | 45.54 UP | 7.68E-06 |
| 5 | NM_031862 | Homo sapiens componente de la membrana, cromosoma 17, marcador de superficie 2 (de ovario carcinoma de antígeno CAL 25) (M17S2), variante de transcripción 3, ARNm | 44.02 UP | 5.15E-05 |
| 10 | | | | |
| 15 | CA429135 | UI-H-FH1-bfh-k-22-0-UI.sl ADNc NCI_CGAP_FH1 Homo sapiens5 clon UI-H-FH1-BFH-k-22-0-UI 3, secuencia de ARNm | 43.87 UP | 2.90E-06 |
| 20 | BC04341 | Homo sapiens, clon IMAGE: 6155889, ARNm | 42.03 UP | 6.97E-06 |
| 25 | NM_004681 | Homo sapiens traducción eucariótica factor de iniciación 1A, Y- vinculada (EIF1AY), ARNm | 41.7 UP | 2.24E-04 |
| 30 | NM_181481 | Homo cromosoma 18 marco de lectura abierto 1 (Cl8orf1) sapiens, variante de transcripción, ARNm | 39.6 UP | 9.61E-06 |
| 35 | BE465760 | hw22f09.xl NCI_CGAP_Kid11 Homo sapiens clon de ADNc IMAGE: 3183689 3, secuencia de ARNm | 39.51 UP | 1.50E-05 |
| 40 | NM_002667 | Homo sapiens prohibición fosfolamban (PLN), ARNm | 37.56 UP | 1.87E-05 |
| 45 | AK098071 | ADNc Homo sapiens FLJ40752 fis, clon TRACH2000972 | 34.71 UP | 1.02E-04 |
| 50 | NM_001864 | Homo sapiens citocromo c oxidasa subunidad Vila polipéptido 1 (músculo) (COX7A1), ARNm | 33.43 UP | 1.08E-06 |
| 55 | AF055376 | Homo sapiens factor de transcripción breve formulario C-MAF (c-maf) ARNm, cds completos | 32.71 UP | 9.41E-04 |
| 60 | NM_004932 | Homo sapiens cadherina 6, tipo 2, K cadherina (riñón fetal) (CDH6), ARNm | 31.51 UP | 1.37E-05 |
| 65 | | | | |

ES 2 569 421 T3

| | | | | |
|----|-----------|--|-------------|----------|
| | NM_002515 | Homo sapiens ventral antígeno 1 (Nova1), variante de transcripción neuro-oncológica 1, ARNm | 30.4 UP | 1.97E-06 |
| 5 | | | | |
| 10 | NM_018349 | Homo sapiens dominios C2 múltiples con dos regiones de transmembrana 2 (MCTP2), ARNm | 29.49 UP | 1.68E-05 |
| 15 | NM_000990 | Homo sapiens proteína ribosomal L27a (RPL27A), ARNm | 28.23 UP | 4.25E-04 |
| 20 | BX111353 | BX111353 NCI_CGAP_Kid3 Homo sapiens clon de ADNc 1IMAGp9980094576; 3 IMAGE: 1869152, cromosoma secuencia de ARNm | 27.4 UP | 3.27E-06 |
| 25 | NM_032576 | Homo sapiens cromosoma Y marco de lectura abierto 15B (1 CYorf 5B), ARNm | 27.08 UP | 3.10E-06 |
| 30 | NM_020997 | Homo sapiens factor de determinación izquierda-derecha 1 (Lefty1), ARNm | 26.55 UP | 1.42E-05 |
| 35 | NM_006408 | Homo sapiens anterior gradiente de 2 homólogo (Xenopus laevis) (AGR2), ARNm | 25.93 UP | 2.36E-05 |
| | BQ924832 | AGENCOURT_8840265 Lupski_sciatic_nerve ADNc Homo sapiens clon IMAGE 6205036 5, Secuencia de ARNm | 24.29 UP | 2.00E-06 |
| 40 | NM_019000 | Homo sapiens proteína hipotética FLJ20152 (FLJ20152), ARNm | 23.73 UP | 7.10E-05 |
| 45 | BC03565 | Homo sapiens proteína hipotética LOC285835, ARNm (clon de ADNc 6 IMAGE: 5588650), cds parcial | 23.25 UP | 1.82E-06 |
| | A1032876 | ow13g03.xl Soares_parathyroid_tumor_NbHPA ADNc Homo sapiens clon IMAGE.- 1646740 3, secuencia de ARNm | 22.96 UP | 5.20E-06 |
| 50 | NM_001305 | Homo sapiens claudina 4 (CLDN4), ARNm | 21.95 UP | 3.72E-04 |
| | BX089554 | BX089554 Soares placenta Nb2HP Homo sapiens ADNc clon IMAGp998P07210; 4 IMAGE: 142326, secuencia de ARNm | 20.73 UP | 2.00E-06 |
| 55 | CF137545 | UI-HF-BNO-ane-d-05-0-UI.rl NIH_MGC_50 ADNc Homo sapiens clon IMAGE: 3092384 5, secuencia de ARNm | 20.24 UP | 7.57E-05 |
| | CB047092 | NISC_gfO8fO3.xl NCI_CGAP Kid12 Homo sapiens clon de ADNc IMAGE-.3253013 3, secuencia de ARNm | 20.2 UP | 4.77E-06 |
| 60 | NM_005114 | Homo sapiens heparán sulfato (glucosamina) 3-O-sulfotransferasa 1 (HS3ST1), ARNm | 19.91 UP | 2.92E-05 |
| 65 | BQ430788 | Agencourt_7776027 NIH_MGC_68 ADNc Homo sapiens clon 8 IMAGE: 6024295 5, secuencia de ARNm | 19.78 UP | 9.59E-04 |

ES 2 569 421 T3

| | | | | |
|----|--------------|---|-------------|----------|
| | AK024238 | Homo sapiens ADNc FLJ14176 fis, clon NT2RP2003101 | 19.33 UP | 2.32E-05 |
| 5 | NM_001001931 | Homo sapiens supresor de tumor mitocondrial 1 (MTUS1), el gen que codifica la proteína nuclear mitocondrial, la variante de transcripción 4, ARNm | 18.91 UP | 2.90E-06 |
| 10 | | | | |
| 15 | NM_152423 | Homo sapiens melanoma asociado a antígeno (mutado) 1 tipo 1 (MUM1L1), ARNm | 18.66 UP | 1.97E-06 |
| 20 | BX113590 | BX113590 Soares_fetal_heart_NbHH19W Homo sapiens clon de ADNc IMAGp998A14871 IMAGE: 376597, secuencia de ARNm | 18.22 UP | 3.83E-05 |
| 25 | | | | |
| 30 | NM_002518 | Homo sapiens dominio PAS neuronal 1 (CSRP1), ARNm | 17.82 UP | 3.88E-05 |
| 35 | AK128715 | ADNc Homo sapiens FLJ46882 fis, clon UTERU3015844 | 17.2 UP | 1.17E-03 |
| 40 | AA738254 | nxl3bO2.s1 NCI_CGAP_GC3 Homo sapiens clon de ADNc IMAGE:1255947 3, secuencia de ARNm | 16.61 UP | 6.24E-06 |
| 45 | | | | |
| 50 | NM_003381 | Homo sapiens vasoactivo péptido intestinal (VIP), variante de transcripción 1, ARNm | 16.44 UP | 5.33E-06 |
| 55 | A1951740 | wv38h09.xl NCI_CGA_Ov18 Homo sapiens clon de ADNc IMAGE: 2531873 3, secuencia de ARNm | 14.99 UP | 6.49E-03 |
| 60 | NM_006393 | Homo sapiens nebUlette (NEBL), variante de transcripción 1, ARNm | 14.87 UP | 1.84E-03 |
| 65 | NM_000963 | Homo sapiens prostaglandina-endoperoxido sintasa 2 (prostaglandina G/H sintasa y la ciclooxygenasa) (PTGS2), ARNm | 14.83 UP | 3.02E-03 |
| | H89053 | yw24c06.rl Morton fetal cóclea Homo sapiens clon de ADNc IMAGE: 253162 5, secuencia de ARNm | 14.76 UP | 6.87E-03 |

ES 2 569 421 T3

| | | | | |
|----|-----------|--|-------------|----------|
| | D86975 | Homo sapiens ARNm para el gen KIAAO222, cds parcial | 14.7 UP | 2.87E-04 |
| 5 | AA102553 | zn26a04.sl Estralagene neuroepitelio NT2RAMI 937.234 ADNc Homo sapiens clon IMAGE: 548526 3, secuencia de ARNm | 13.56 UP | 2.86E-04 |
| 10 | AK096708 | ADNc Homo sapiens FLJ39389 fis, clon PLACE6003621 | 13.38 UP | 2.90E-05 |
| 15 | BM685124 | UI-E-EJ1-ajl-I-13-0-UI.sl UI-E-EJ1 Homo sapiens clon de ADNc de UI-E-EJ1-ajl-I-1-3-0 UI 3, secuencia de ARNm | 12.74 UP | 2.49E-04 |
| 20 | A1220066 | qg84dOI xl Soares_NFL_T_GBC_S1 clon de ADNc Homo sapiens IMAGE: 1841857 3, secuencia de ARNm | 12.47 UP | 1.90E-04 |
| 25 | A1342246 | qt26g09.xl Soares_pregnantuterus_NbHPU Homo sapiensADNc clon IMAGE: 1949152 3,secuencia de ARNm | 12.29 UP | 7.15E-04 |
| 30 | NM_024501 | Homo sapiens caja homeo DI (HOXD1), ARNm | 12.11 UP | 9.73E-06 |
| 35 | NM_016307 | Homo sapiens homeobox relacionado emparejado 2 (PRRX2), ARNm | 12 UP | 9.50E-04 |
| 40 | AB020691 | ARNm Homo sapiens para la proteína K1AA0884, cds parcial | 11.69 UP | 1.47E-04 |
| 45 | BE295468 | 601174523F1 NIH_MGC_17 Homo sapiens clon de ADNc IMAGE: 3529924 5, Secuencia de ARNm | 11.64 UP | 1.47E-03 |
| | BU951469 | in60a05.x3 HR85 islote ADNc Homo sapiens clon IMAGE 6126249 3, secuencia de ARNm | 11.37 UP | 3.28E-05 |
| 50 | NM_198174 | Homo sapiens factor de transcripción CP2 similar a 4 (TFCP2L4), variante de transcripción 3, ARNm | 11.26 UP | 3.35E-05 |
| 55 | NM_002421 | Homo sapiens metaloproteinasas de matriz 1 (colagenasa intersticial) (MMP1), ARNm | 11.12 UP | 5.10E-04 |
| 60 | NM_145313 | Homo sapiens RasGEF dominio de familia, miembro de 1A (RASGEF1A), ARNm | 10.64 UP | 2.38E-05 |
| 65 | | | | |

ES 2 569 421 T3

| | | | | |
|----|-----------|---|-------------|----------|
| | NM_000901 | Homo sapiens subfamilia de receptores nucleares 3, el grupo C, miembro 2 (NR3C2), ARNm | 10.62 UP | 3.93E-06 |
| 5 | AL552527 | AL552527 Homo sapiens PLACENTA COT 25 normalizada ADNc Homo sapiens clon CSODIO67YL24 3-PRIME, Secuencia de ARNm | 10.61 UP | 3.88E-03 |
| 10 | NM_052954 | Homo sapiens rico en cisteína y la tirosina 1 (CYYR1), ARNm | 10.58 UP | 7.22E-05 |
| 15 | AF519622 | Homo sapiens secuencia de ARNm no codificante | 10.39 UP | 1.49E-04 |
| 20 | NM_006681 | Homo sapiens neuromedina U (NMU), ARNm | 10.37 UP | 2.92E-05 |
| 25 | W93585 | zd95g0l.s1 Soares_fetal_heart NbHH19W Homo sapiens ADNc clon IMAGE: 357264 3, secuencia de ARNm | 10.27 UP | 2.01E-04 |
| 30 | BX105152 | BX105152 Soares_testis_NHT Homo sapiens ADNc clon IMAGp998J212575; IMAGE: 1031156, secuencia de ARNm | 9.89 UP | 4.37E-05 |
| 35 | AV709232 | AV709232 ADC ADNc Homo sapiens clonADCAJB11 5, secuencia de ARNm | 9.89 UP | 1.56E-04 |
| 40 | W69644 | zd45fl0.rl Soares cardíaca fetal NbHH19W Homo sapiens ADNc clon IMAGE: 343627 5, secuencia de ARNm | 9.89 UP | 1.90E-05 |
| 45 | NM_001878 | Homo sapiens proteína de unión de ácido retinoico celular 2 (CRABP2), ARNm | 9.82 UP | 2.65E-04 |
| 50 | NM_152754 | Homo sapiens dominio sema, dominio de inmunoglobulina (Ig), dominio corto básico, secretada, (semaforina) 3D (SEMA3D), ARNm | 9.78 UP | 6.57E-04 |
| 55 | BE877764 | 601486331FI NIH_MGC_69 Homo sapiens clon de ADNc IMAGE: 3888943 5, secuencia de ARNm | 9.59 UP | 1.90E-04 |
| 60 | AK025909 | ADNc Homo sapiens: FLJ22256 fis, clon HRC02860 | 9.52 UP | 8.65E-05 |
| 65 | NM_015559 | Homo sapiens SET proteína de unión 1 (SETBP1), ARNm | 9.3 UP | 3.69E-04 |

ES 2 569 421 T3

| | | | | |
|----|-----------|--|------------|----------|
| | AI493349 | tg7OfO4.xl Soares_NhHMPu_S1 Homo sapiens clon de ADNc IMAGE: 2114143 3, secuencia de ARNm | 9.21 UP | 1.86E-05 |
| 5 | | | | |
| 10 | AK129955 | ADNc Homo sapiens FLJ26445 fis, clon KDN02608 | 9.2 UP | 1.41E-04 |
| 15 | BX098521 | BX098521 Soares bazo hígado fetal 1NFLS ADNc Homo sapiens clon IMAGp998L05118; IMAGE: 123412, secuencia de ARNm | 9.06 UP | 9.68E-04 |
| 20 | AK094292 | ADNc Homo sapiens FLJ36973 fis, clon BRACE2006249 | 9.05 UP | 3.44E-05 |
| 25 | AK095776 | ADNc Homo sapiens FLJ38457 fis, clon FEBRA2020400 | 8.98 UP | 1.13E-05 |
| 30 | NM_018242 | Homo sapiens proteína hipotética FLJ10847 (FLJ1OB47), ARNm | 8.98 UP | 8.02E-04 |
| | AW006864 | Homo sapiens wsl5dO4.xl NCI_CGAP_Kid11 cDNA clon IMAGEN: 2497255 3, secuencia de ARNm | 8.93 UP | 1.50E-05 |
| | BX103846 | BX103846 Homo sapiens NCI_CGAP_Lu24 clon de ADNc IMAGp998F125811; IMAGEN: 2342027, secuencia de ARNm | 8.89 UP | 1.38E-04 |
| | NM_024422 | Homo sapiens desmocolina 2 (DSC2), variante de transcripción Dsc2a, ARNm | 8.84 UP | 3.19E-05 |
| 35 | NM_032471 | Homo sapiens proteína quinasa (cAMP dependiente, catalítica) beta inhibidor (PKIB), variante de transcripción 3, ARNm | 8.77 UP | 1.35E-03 |
| | AK124778 | ADNc Homo sapiens FLJ42788 fis, clon BRAWH3007129 | 8.62 UP | 4.29E-04 |
| 40 | H25898 | y155b10.rl Soares mama 3NbHBst ADNc Homo sapiens clon IMAGE: 162139 5, secuencia de ARNm | 8.52 UP | 1.29E-04 |
| | NM_015564 | Homo sapiens repeticiones ricas en leucina transmembrana neuronal 2 (LRRTM2), ARNm | 8.5 UP | 3.01E-03 |
| | A1126888 | qb95d06.xls Soares_fetal_heart_NbHH19W Homo sapiens clon de ADNc IMAGE: 1707851 3, secuencia de ARNm | 8.5 UP | 6.30E-05 |
| 45 | BC042028 | Homo sapiens, clon IMAGE: 4794726, ARNm | 8.46 UP | 3.65E-02 |
| | NM_006561 | Homo sapiens repetición de triplete CUG, ARN proteína de unión a 2 (CUGBP2), ARNm | 8.37 UP | 2.52E-03 |
| 50 | NM_004675 | Homo sapiens ras homólogo familia de genes, miembro I (ARHI), ARNm | 8.36 UP | 4.99E-04 |
| | BE503916 | hz35gOl.xls NCI_CGAP_GC6 Homo sapiens ADNcclon IMAGE: 3210000 3, secuencia de ARNm | 8.3 UP | 1.00E-05 |
| 55 | NM_207446 | Homo sapiens hipotético gen apoyado por AK075564; BC060873 (LOC400451), ARNm | 8.28 UP | 2.72E-05 |
| | AK091731 | ADNc Homo sapiens FLJ3441 2 fis, clon HEART2002432 | 8.08 UP | 9.36E-05 |
| 60 | NM_002261 | Homo sapiens receptor de células asesinas de lectina subfamilia C, 3 miembro (KLRC3), variante de transcripción NKG2-E, ARNm | 8.07 UP | 2.69E-04 |

ES 2 569 421 T3

| | | | | |
|----|-----------|---|--------|--------|
| | NM_005079 | Homo sapiens de proteína tumoral D52 (TPD52), ARNm | 7.97 | 4.79E- |
| | NM_001353 | Homo sapiens aldo-ceto reductasa familia 1, miembro de Cl (dihidrodiol deshidrogenasa 1; 20-alfa (alfa-3) hidroxiesteroides deshidrogenasa) (AKR1C1), ARNm | 7.88 | 3.67E- |
| 5 | A1830524 | wh52c02.xl NCI_CGAP_Kid11 Homo sapiens clon de ADNc IMAGE: 2384354 3, secuencia de ARNm | 7.82 | 1.23E- |
| | BX648207 | Homo sapiens ARNm; ADNc DKFZp686E16168 (a partir del clon DKFZp686E16168) | 7.82 | 9.59E- |
| | AW043793 | wy76d11.x1 Soares_NSF_F8_9W_0T_PA_P_S1 Homo sapiens clon de ADNc IMAGE: 2554485 3 similar a contiene el elemento repetitivo MER18 elemento ;, secuencia de ARNm | 7.79 | 4.64E- |
| 10 | N63415 | yy6OdO4.s1 Soares_multiple_sclerosis_2NbHMSP ADNc Homo sapiens clon IMAGE: 277927 3 similar a contiene L1.b3 L1 elemento repetitivo ;, secuencia de ARNm | 7.76 | 1.14E- |
| | NM_002260 | Homo sapiens receptor de células asesinas de lectina subfamilia C, miembro 2 (KLRC2), ARNm | 7.76 | 3.65E- |
| 15 | NM_004848 | Homo sapiens cromosoma 1 marco de lectura abierto 38 (Ciorf38), ARNm | 7.75 | 5.34E- |
| | NM_024993 | Homo sapiens repeticiones ricas en leucina transmembrana neuronal 4 (LRRTM4), ARNm | 7.53 | 3.35E- |
| | A1821210 | neO8eO5.y5 NCI_CGAP_Co3 Homo sapiens clon de ADNc IMAGE: 880640 5, secuencia de ARNm | 7.51 | 5.58E- |
| 20 | BM664445 | UI-E-CL1-alfa-p-05-0-UI.si UI-E-CLI Homo sapiens clon de ADNc IJI-E-CL1-AFA-p-05-05 UI 3, secuencia ARNm | 7.4 UP | 5.30E- |
| | NM_019644 | Homo sapiens dominio de repetición de anquirina 7 (ANKRD7), ARNm | 7.39 | 2.24E- |
| | BU620793 | UI-H-FL1-bfx-d-1-0-0-UI.s1 NCI_CGAP_FL1 ADNc Homo sapiens clon, UI-H-FL1-bfx-d-10-0-UI.s1 secuencia de ARNm | 7.35 | 1.13E- |
| 25 | NM_002246 | Homo sapiens canal de potasio, subfamilia K, miembro 3 (KCNK3), ARNm | 7.31 | 1.68E- |
| | NM_031442 | Homo sapiens transmembrana 4 miembro de la superfamilia 10 (TM4SF10), ARNm | 7.13 | 2.31E- |
| | BX092501 | BX092501 NCI_CGAP_Lu5 Homo sapiens ADNc clon IMAGp998K143946; IMAGE: 1557637, secuencia de ARNm | 7.12 | 1.69E- |
| 30 | NM_177949 | Homo sapiens que contiene repeticiones armadillo, vinculados a X 2 (ARMCX2), ARNm | 7.09 | 9.21E- |
| | NM_018376 | Homo sapiens nipsnap homólogo 3B (<i>C. elegans</i>) (NIPSNAP3B), ARNm | 7.03 | 2.53E- |
| 35 | AK093762 | ADNc Homo sapiens FLJ36443 fis, clon THYMU2012891 | 7.02 | 1.23E- |
| | NM_018658 | Homo sapiens potasio inwardly- rectificación de canal, subfamilia J, miembro 16 (KCNJ16), variante de transcripción 1, ARNm | 7.01 | 6.28E- |
| 40 | AB032945 | Homo sapiens ARNm para KIAA1119 proteínas, cds parciales | 6.98 | 1.11E- |
| | NM_031894 | Homo sapiens ferritina, pesado polipéptido como 17 (FTHL17), ARNm | 6.97 | 3.42E- |
| | AW139891 | UI-H-BI1-aaa-a-12-0-UI.si NCI_CGAP_Sub3 ADNc Homo sapiens clon IMAGE: 2719006 3, secuencia de ARNm | 6.96 | 3.35E- |
| 45 | AK124562 | ADNc Homo sapiens FLJ42571 fis, clon BRACE3008036 | 6.9 UP | 2.57E- |
| | NM_001935 | Homo sapiens dipeptidil peptidasa 4 (CD26, adenosina deaminasa de complejos proteína 2) (DPP4), ARNm | 6.9 UP | 1.08E- |
| | A1686652 | tu35d06.xl NCI_CGAP_Pr28 Homo sapiens clon de ADNc IMAGE: 2253035 3, secuencia de ARNm | 6.87 | 4.03E- |
| 50 | NM_184087 | Homo sapiens tripartito motivo que contienen 55 (TRIM55), variante de transcripción 4, ARNm | 6.85 | 1.68E- |
| | NM_002089 | Homo sapiens quimiocina (motivo C-X-C) ligando 2 (CXCL2), ARNm | 6.81 | 9.44E- |
| | NM_016831 | Homo sapiens periodo homólogo 3 (<i>Drosophila</i>) (PER3), ARNm | 6.81 | 6.24E- |
| 55 | NM_002515 | Homo sapiens neuro-oncológica ventral antígeno 1 (Nova1), variante de transcripción 1, ARNm | 6.79 | 4.79E- |
| | BC012900 | Homo sapiens, clon IMAGE: 3881549, ARNm | 6.77 | 1.84E- |
| 65 | | | UP | 02 |

ES 2 569 421 T3

| | | | | |
|----|-----------|---|------------|----------|
| | NM_052923 | Homo sapiens proteínas con dedos de zinc 452 (ZNF452), ARNm | 6.75 UP | 2.98E-03 |
| 5 | NM_021800 | Homo sapiens DnAJ (Hsp40) homólogo, subfamilia C, elemento 12 (DNAJC12), variante de transcripción 1 ARNm | 6.73 UP | 5.46E-04 |
| | AK056882 | ADNc Homo sapiens FLJ32320 fis, clon PR0ST2003537 | 6.71 UP | 9.55E-04 |
| 10 | BF700684 | 602128672F1 NIH_MGC_56 Homo sapiens clon de ADNcIMAGE: 4285673 5, ARNm | 6.7 UP | 4.03E-06 |
| | NM_144664 | Homo sapiens proteína hipotética MGC33371 (MGC33371), ARNm | 6.66 UP | 1.64E-03 |
| | AL832779 | ARNm de Homo sapiens; ADNc DKFZp686H157 (a partir del clon DKFZp6S6H157) | 6.62 UP | 8.14E-05 |
| 15 | NM_018371 | Homo sapiens condroitina betal, 4 N-acetilgalactosaminiltransferasa (ChGn), ARNm | 6.6 UP | 6.54E-04 |
| | NM_014399 | Homo sapiens transmembrana 4 miembro de la superfamilia 13 (TM4SF13), ARNm | 6.56 UP | 9.52E-03 |
| 20 | AA748762 | nyOGhIO.sl NCLCGAP_GCB1 Homo sapiens ADNc clon IMAGE.-1271011 3, secuencia 2 ARNm | 6.54 UP | 3.49E-03 |
| 25 | AF21607 | Homo sapiens clon de HB-2 secuencia de ARNm | 6.5 UP | 4.90E-05 |
| | AA043255 | zk49f07.s1 Soares_pregnant_uterus_NbHPU Homo sapiens clon de ADNc IMAGE: 486181 3, secuencia de ARNm | 6.49 UP | 5.44E-04 |
| 30 | | | | |
| | NM_152864 | Homo sapiens cromosoma 20 marco de lectura abierto 58 (C20orf58), ARNm | 6.44 UP | 2.32E-03 |
| 35 | NM_032866 | Homo sapiens Cingulin tipo 1 (CGNL1), ARNm | 6.4 UP | 3.69E-03 |
| | AK054990 | ADNc Homo sapiens FLJ 30428 fis, clon BRACE2008941 | 6.37 UP | 3.89E-05 |
| 40 | NM_138961 | Homo sapiens adhesión de células endoteliales molécula (ESAM), ARNm | 6.35 UP | 2.70E-04 |
| | A1244954 | qj93h05.xl NCI_CGAP_Kid3 Homo sapiens clon de ADNcIMAGE: 1867065 3, secuencia de ARNm | 6.27 UP | 3.90E-05 |
| | NM_019850 | Homo sapiens factor de intercambio de nucleótidos de guanina neuronal (NGEF), ARNm | 6.25 UP | 4.99E-04 |
| 45 | NM_007361 | Homo sapiens nidogen 2 (osteonidogen) (NID2), ARNm | 6.15 UP | 7.03E-03 |
| | NM_000170 | Homo sapiens glicina deshidrogenasa (descarboxilación; descarboxilasa glicina, glicina proteína del sistema de escisión P) (GLDC), ARNm | 6.13 UP | 2.12E-05 |
| 50 | BG572039 | 602592506F1 NIH_MGC_79 Homo sapiens clon de ADNcIMAGE: 4719888 5, secuencia de ARNm | 6.09 UP | 1.13E-05 |
| | NM_005795 | Homo sapiens calcitonina similar al receptor de (CALCRL), ARNm | 6.03 UP | 3.13E-02 |
| 55 | BQ26780 | ij94e04.xl Homo sapiens insulinoma humano clon de ADNcIMAGE: 5779278 3, secuencia de ARNm | 6.02 UP | 6.53E-04 |
| | BC036223 | Homo sapiens, clon IMAGE: 5272183, ARNm | 6 UP | 3.15E-04 |
| | NM_004370 | Homo sapiens colágeno, tipo XII, alfa 1 (COL12A1), variante de transcripción de largo, de ARNm | 5.96 UP | 1.14E-02 |
| 60 | NM_005360 | Homo sapiens v-maf hornolog músculo-oncogén fibrosarcoma (aviar) (MAF) ARNm | 5.95 UP | 2.41E-03 |
| | AB033048 | Homo sapiens ARNm proteína KIAA1222, cds parcial | 5.94 UP | 3.49E-04 |
| 65 | NM_017786 | Homo sapiens proteína hipotética FLJ20366 (FLJ20366), ARNm | 5.93 UP | 2.24E-04 |

ES 2 569 421 T3

| | | | | |
|----|-----------|---|------------|----------|
| | AW515114 | xu9lgI1.xl NCI_CGAP_Ut2 Homo sapiens clon de ADNcIMAGE:2809124 3, secuencia de ARNm | 5.92 UP | 1.11E-04 |
| 5 | AK098543 | ADNc Homo sapiens FLJ25677 fis, clon TST04054 | 5.84 UP | 4.99E-03 |
| | NM_004235 | Homo sapiens Kruppel como factor de 4 (intestino) (KLF4), ARNm | 5.83 UP | 6.54E-04 |
| | A1335277 | tb29h06.xl NCI_CGAP_KidI2 Homo sapiens clon de ADNc IMAGE:2055803 3, secuencia de ARNm | 5.81 UP | 1.24E-04 |
| 10 | AK095004 | ADNc Homo sapiens FL J37685 fis, clon BRHIP2013972 | 5.76 UP | 3.79E-03 |
| | B0007156 | UI-H-EI1-azc-k-08-0-Ui.sl NCI_CGAP_EI1 clon de ADNc Homo sapiens IMAGE: 5846911 3, secuencia de ARNm | 5.68 UP | 1.24E-04 |
| 15 | | | | |
| | NM_016824 | Homo sapiens adducina 3 (gamma) (Add3), variante de transcripción 1, ARNm | 5.68 UP | 6.32E-04 |
| 20 | AA994330 | ou33h05.sl Soares_NFLJ_GBC_S1 clon de ADNc Homo sapiens IMAGE: 1628121 3, secuencia de ARNm | 5.67 UP | 9.57E-05 |
| | NM_016946 | Homo sapiens Fl 1 receptor (Fl 1 R), variante transcripción 1, ARNm | 5.65 UP | 7.59E-05 |
| | NM_005308 | Homo sapiens G receptor acoplado a proteína quinasa 5 (GRK5), ARNm | 5.63 UP | 7.59E-05 |
| 25 | BG389328 | 602413981 Fl NIH_MGC_92 Homo sapiens clon de ADNc IMAGE: 4522269 5, secuencia de ARN | 5.61 UP | 1.31E-04 |
| | CN371168 | 17000600077294 GRN_PREHEP Homo sapiens ADNc 5, secuencia de ARNm | 5.57 UP | 1.94E-02 |
| 30 | AK021531 | ADNc Homo sapiens FLJ11469 fis, clon de HEMBA1001658 | 5.56 UP | 7.81E-03 |
| | NM_001853 | Homo sapiens colágeno, tipo IX, alfa 3 (COL9A3), ARNm | 5.56 UP | 6.94E-05 |
| | BC037929 | Homo sapiens clon de ADNc IMAGE: 5284659, cds parcial | 5.56 UP | 9.99E-04 |
| 35 | A1086279 | oz4OhOl.sl Soares_NhHMPu_S1 Homo sapiens clon de ADNc IMAGE: 1677841 3, secuencia de ARNm | 5.54 UP | 1.20E-03 |
| | BF433479 | 7q53g05.xl NCI_CGAP_Lu24 Homo sapiens ADNcclon IMAGE: 3702320 3 similar a TR: Q9Y7P8 Q9Y7P8 PROTEÍNA | 5.48 UP | 1.23E-04 |
| 40 | A1024717 | HIPOTETICA 11,7 KD;, secuencia de ARNm ov68h06.xl Soares_testis_NHT Homo sapiens clon de ADNc IMAGE: 1642523 3, secuencia de ARNm | 5.46 UP | 1.59E-04 |
| | NM_033082 | Homo sapiens citoquina inducida por la proteína 29 kDa (CIP29), ARNm | 5.45 UP | 9.59E-04 |
| 45 | W56431 | zc57f06.rl Soares_parathyroid_tumor_NbHPA ADNc Homo sapiens clon IMAGE: 326435 5, secuencia de ARNm | 5.42 UP | 3.76E-04 |
| | NM_144587 | Homo sapiens cromosoma 10 marco de lectura abierto (CIOorf87), ARNm | 5.41 UP | 1.47E-04 |
| | BX101489 | BX101489 Soares_NFL_T_GBC_S1 Homo sapiens ADNc clon IMAGp998O1 65825; IMAGE: 2347623, secuencia de ARNm | 5.37 UP | 1.71E-05 |
| 50 | NM_014059 | Homo sapiens gen de respuesta de complemento 32 (RGC32), ARNm | 5.32 UP | 1.48E-04 |
| | A1939617 | tm62e06.x5 NCI_CGAP_Brn25 Homo sapiens clon de ADNc IMAGE: 2162722 3, secuencia de ARNm | 5.3 UP | 1.84E-03 |
| 55 | NM_004951 | Homo sapiens gen inducido por virus de Epstein-Barr 2 (proteína G de linfocitos específicos de receptores acoplados) (EBI2), ARNm | 5.3 UP | 8.80E-04 |
| | AK095053 | ADNc Homo sapiens FLJ37734 fis, clon BRH1P2020842 | 5.3 UP | 2.53E-04 |
| 60 | NM_024420 | Homo sapiens fosfolipasa A2, grupo IVA (citosólica, dependiente de calcio) (PLA2G4A), ARNm | 5.3 UP | 1.56E-02 |
| | NM_018013 | Homo sapiens proteína hipotética FLJ1O159 (FLJ1O159), ARNm | 5.29 UP | 2.12E-05 |
| 65 | BX101850 | BX101850 Soares cerebro infantil 1NIB Homo sapiens ADNc clon 1MAGp998M14139; IMAGE: 26298, secuencia de ARNm | 5.25 UP | 7.59E-05 |

ES 2 569 421 T3

| | | | | |
|----|-----------|---|-----------------|--------------|
| | C18094 | C18094 placenta humana ADNc (TFujiwara) Homo sapiens clon de ADNc GEN-557D07 5, secuencia de ARNm | 5.23 UP | 1.00E- 05 |
| 5 | | | | |
| 10 | BU634332 | IU-H-FL1 -bgx-k-02-0-UI.sl NCI_CGAP_FL1 ADNc Homo sapiens 2 Clon de IU-H-ELi -bgx-k-02-0-UI 3, secuencia de ARNm | 5.22 UP | 2.86E- 04 |
| 15 | A1033863 | ow10e02.xls Soares_parathyroid_tumor_NbHPA Homo sapiens ADNcclon IMAGE: 1646426 3, secuencia de ARNm | 5.18 UP | 4.89E- 03 |
| 20 | BG570144 | 602591134F1 NIftMGC_77 Homo sapiens clon de ADNc IMAGE: 47I7761 5, secuencia de ARNm | 5.18 UP | 4.36E- 04 |
| 25 | NM_018427 | Homo sapiens RRN3 ARN polimerasa I de factor de transcripción homólogo (levadura) 27 (RRN3), ARNm | 5.17 UP | 1.68E- 03 |
| | BX48620 | DKFZp686J07250_rl 686 (sinónimo: hlcc3) clon de ADNc Homo sapiens DKFZp686J07250 5, secuencia de ARNm | 5.14 UP | 1.31E- 03 |
| | NM_014936 | Homo sapiens ectonucleotide pirofosfatasa / fosfodiesterasa 4 (supuesta función) (ENPP4), ARNm | 5.14 UP | 3.43E- 04 |
| 30 | AF086134 | Homo sapiens longitud completa inserto del clon de ADNc ZA881306 | 5.14 UP | 4.00E- 04 |
| | NM_001847 | Homo sapiens colágeno, tipo IV, alfa 6 (COL4A6), variante de transcripción A, ARNm | 5.12 UP | 1.03E- 03 |
| | AK095726 | ADNc Homo sapiens FLJ 38407 fis, clon FEBRA2008859 | 5.1 UP | 1.35E- 04 |
| 35 | BQO013869 | UI-1-BC1p-alg-a-03-0-UI.sl NCI_CGAP_PI3 ADNc Homo sapiens clon UI-1-BC1p-alg-a-03-0-UI 3, secuencia de ARNm | 5.09 UP | 1.42E- 05 |
| | NM_207303 | Homo sapiens attractin tipo 1 (ATRNL1), ARNm | 5.04 UP | 4.36E- 04 |
| 40 | CB047287 | NISC_gg01h01.yl NCI_CGAP_Kid1 ADNc Homo sapiens clon IMAGE: 3253464 5, secuencia de ARNm | 5.04 UP | 1.16E- 03 |
| | NM_002423 | Homo sapiens metaloproteinasas de la matriz 7 (matrilisina, uterina) (MMP7), ARNm | 5.02 UP | 6.94E- 05 |
| 45 | AW262623 | xq93c06.xls NCI_CGAP_Brn53 Homo sapiens clon de ADNc IMAGE: 2758186 3, secuencia de ARNm | 5.02 UP | 3.19E- 05 |
| | NM_013259 | Homo sapiens transgelin 3 (TAGLN3), variante de transcripción 1, ARNm | 5.01 UP | 8.63E- 04 |
| | D52654 | HUMO84DO2B Clontech cerebro fetal humano ARNm poliA + (# 6535) ADNc Homo sapiens clon GEN-084D02 5, secuencia de ARNm | 449.36 Abajo | 9.61E- 06 |
| 50 | NM_006475 | Homo sapiens periostina, osteoblastos específica de los factores (POSTN), ARNm | 293.88 Abajo | 9.16E- 05 |
| | NM_006439 | Homo sapiens MAB-21-como 2 (C. elegans) (MAB21L2), ARNm | 199.11 Abajo | 3.53E- 05 |
| 55 | NM_017805 | Homo sapiens que interactúan las proteínas Ras 1 (RASIP1), ARNm | 153.9 Abajo | 9.55E- 05 |
| | NM_006169 | Homo sapiens nicotinamida N-metil transferasa (NNMT), ARNm | 91.55 Abajo | 1.57E- 05 |
| | AB067499 | Homo sapiens ARNm proteína para KIAA1912, cds parcial | 69.67 Abajo | 1.13E- 05 |
| 60 | NM_007084 | Homo sapiens SRY (región determinante del sexo Y) -BOX 21 (Sox21), ARNm | 55.37 Abajo | 8.65E- 05 |
| | NM_032026 | Homo sapiens TatD DNase dominio que contiene 1 (TATDN1), ARNm | 52.52 Abajo | 2.24E- 04 |
| 65 | NM_017819 | Homo sapiens ARN (guanina-9-) dominio metiltransferasa que contiene 1 (RG9MTD1), ARNm | 47.78 Abajo | 2.09E- 04 |

ES 2 569 421 T3

| | | | | |
|----|-----------|--|-------------|-----------|
| | NM_032883 | Homo sapiens cromosoma 20 marco de lectura abierto 100 (C200rflOO), ARNm | 45.19 | 8.58E- |
| 5 | BQ375716 | QV2-TNO173-021100-454-g06 TN0173 ADNc Homo sapiens, secuencia de ARNm | Abajo 44.03 | 05 1.41E- |
| | BC037316 | Homo sapiens, clon IMAGE: 5259432, ARNm | Abajo 34.66 | 04 2.12E- |
| | BC042378 | Homo sapiens, IMAGE-.5277693, clon ARNm | Abajo 32.65 | 05 6.44E- |
| 10 | NM_018894 | Homo sapiens contiene EGF-como fibulin extracelular proteína de la matriz 1 (efemp1), variante de transcripción 2, ARNm | Abajo 30.19 | 04 2.74E- |
| | NM_033050 | Homo sapiens succinato receptor 1 del (SUCNR1), ARNm | Abajo 30.08 | 05 1.95E- |
| 15 | NM_152694 | Homo sapiens dedo de zinc de, dominio CCHC que contiene 5 (ZCCHC5), ARNm | Abajo 29.85 | 04 7.57E- |
| | NM_052997 | Homo sapiens repetición de anquirina dominio 30A (ANKRD30A), ARNm | Abajo 28.91 | 05 5.75E- |
| | AK026784 | ADNc Homo sapiens: FLJ23131 fis, clon LNG08502 | Abajo 27.95 | 04 8.14E- |
| 20 | NM_001885 | Homo sapiens cristalina, alfa B (CRYAB), ARNm | Abajo 26.31 | 05 5.48E- |
| | NM_005602 | Homo sapiens claudina II (oligodendrocitos proteína transmembrana) (CLDN11), ARNm | Abajo 23.71 | 05 1.13E- |
| 25 | NM_001442 | Homo sapiens ácidos grasos proteína de unión 4, adipocito (FABP4), ARNm | Abajo 23.48 | 04 4.05E- |
| | NM_021614 | Homo sapiens canal activado por calcio de conductancia de potasio intermedio / pequeño, N subfamilia, miembro 2 (KCNN2), variante de transcripción 1, ARNm | Abajo 23.14 | 06 9.61E- |
| 30 | | | | |
| 35 | AK123875 | ADNc Homo sapiens FLJ41881 nosotros, clon OCBBF2O21833 | 22.73 | 9.17E- |
| | R44402 | yg37aOi.sl Soares cerebro infantil 1 NIB Homo sapiens clon de ADNc IMAGE: 34639 3similar a contiene MER35 elemento repetitivo,secuencia de ARNm | Abajo 22.27 | 05 2.38E- |
| 40 | | | | |
| 45 | AK095013 | ADNc Homo sapiens FLJ37694 fis, clon BRHIP2015224 | 20.95 | 9.77E-04 |
| | NM_002185 | Homo sapiens receptor de interleucina 7 (IL7R), ARNm | 20.88 | 4.62E-04 |
| 50 | NM_016212 | Homo sapiens proteínas TP53TG3 (TP53TG3), ARNm | 20.63 | 6.56E-05 |
| | NM_152737 | Homo sapiens proteína hipotética MGC33993 (MGC33993), ARNm | Abajo 19.89 | 06 6.16E- |
| | BF002489 | 7h07e07.xl NCI_CGAP_Co16 Homo sapiens clon ADNc IMAGE:3315300 3, secuencia de ARNm | Abajo 19.88 | 05 8.65E- |
| 55 | NM_005525 | Homo sapiens hidroxiesteroides (11-beta) deshidrogenasa 1 (HSD11B1), variante de transcripción 1, ARNm | Abajo 18.27 | 05 3.53E- |
| | AF318382 | Homo sapiens ARNm pp9974, cds completo | Abajo 17.67 | 05 3.89E- |
| 60 | BX115825 | BX115825 Soares_NhHMPu_S1 Homo sapiens clon de ADNc IMAGp998C1 34603; IMAGE: 1879236, secuencia de ARNm | Abajo 17.5 | 04 1.67E- |
| | NM_000612 | Homo sapiens similar a la insulina factor de crecimiento 2 (somatomedina A) (IGF-2), ARNm | Abajo 16.41 | 05 4.79E- |
| | AK092114 | ADNc Homo sapiens FI .I34795 fis clon N12NF2005921 | Abajo 16.29 | 05 2.18E- |
| 65 | | | | |

ES 2 569 421 T3

| | | | | |
|----|-----------|---|----------|--------|
| | NM_001175 | Homo sapiens Rho PIB disociación inhibidor (GDI) beta (ARHGDI), ARNm | 15.57 | 4.62E- |
| | AF052115 | Homo sapiens clon 23688 secuencia de ARNm | Abajo 05 | |
| 5 | CD677332 | hol5fO6.yl malla trabecular humana ADNc: hohphq ADNc Homo sapiens clon ho15f06 5, secuencia de ARNm | 15.11 | 1.03E- |
| | NM_018077 | Homo sapiens ARN proteínas de motivo vinculante 28 (RBM28), ARNm | Abajo 04 | |
| 10 | NM_000735 | Homo sapiens hormonas de glicoproteína, polipéptido alfa (CGA), ARNm | 14.89 | 8.06E- |
| | | | Abajo 05 | |
| | N49730 | yz06al2.sl Soares_multiple_sclerosis_2NbHMSP ADNc Homo sapiens clon IMAGE: 282238 3 similar a Alu contiene elemento repetitivo; contiene elemento PTR5 elemento repetitivo ;, secuencia de ARNm | 14.72 | 9.00E- |
| 15 | NM_006350 | Homo sapiens follistatina (FST), variante de transcripción FST317, ARNm | Abajo 05 | |
| 20 | AK055518 | ADNc Homo sapiens FLJ30956 fis, clon FICASM2000202 | 13.53 | 2.76E- |
| | NM_016147 | Homo sapiens proteína fosfatasa metil esterasas 1 (PME-1), ARNm | 13.34 | 2.53E- |
| | NM_032457 | Homo sapiens BH-protocadherin (corazón brain) (PCDH7), variante de transcripción c, ARNm | Abajo 04 | |
| 25 | BX648299 | Homo sapiens ARNm: ADNc DKFZp686J04125 (a partir del clon DKFZp686J04125) | 13.09 | 2.63E- |
| | BC034315 | Homo sapiens proteína hipotética L0C90529, ARNm (clon de ADNc 5 IMAGE: 4827425), que contiene errores de cambio de marco | 12.94 | 1.84E- |
| 30 | AA195328 | zr34f08.sl Soares_NhHMPu_S1 Homo sapiens clon de ADNc IMAGE: 665319 3, secuencia de ARNm | Abajo 02 | |
| | A1082507 | ox55c02.sl Soares_total_fetus_NB2hF8_9w ADNc Homo sapiens clon IMAGE: 1660226 3, secuencia de ARNm | 12.94 | 7.57E- |
| 35 | NM_015714 | Homo sapiens linfocitos putativo GO / Gi gen interruptor (GOS2), ARNm | Abajo 05 | |
| | BM992049 | UI-H-DF1-auf-e-22-0-UI.sl NCI_CGAP_DF1 ADNc Homo sapiens clon IMAGE: 5868669 3, secuencia de ARNm | 12.73 | 1.82E- |
| | NM_016428 | Homo sapiens ABI familia de genes, miembro 3 (ABI3), ARNm | Abajo 04 | |
| 40 | BQ027989 | UI-H-CO0-arg-e-03-0-UI.s1 NCI_CGAP_Sub9 ADNc Homo sapiens clon IMAGE: 1 310661 3, secuencia de ARNm | 12.67 | 7.59E- |
| | NM_152782 | Homo sapiens Sad1 y UNC84 dominio que contiene 1 (SUNC1), ARNm | Abajo 05 | |
| 45 | CD723798 | oj26f04.yl glándula lacrimal humana, no amplificada: oj ADNc Homo sapiens clon oj26f04 5, secuencia de ARNm | 12.17 | 6.37E- |
| | NM_033136 | Homo sapiens factor de crecimiento de fibroblastos 1 (ácido) (FGF1), variante de transcripción 2, ARNm | Abajo 04 | |
| | BU688263 | UI-CF-EC1-aea-g-11-0-UJ.sl UI-CF-EC1 Homo sapiens clon de ADNc UI-CF-EC1-aea-g-1 1-0-UI 3, secuencia de ARNm | 11.07 | 5.11E- |
| 50 | NM_014391 | Homo sapiens dominio de repetición de anquirina 1 (músculo cardíaco) (ANKRD1), ARNm | Abajo 03 | |
| | NM_023915 | Homo sapiens receptor de proteína G- acoplada a 87 (GPR87), ARNm | 11.05 | 4.91E- |
| 55 | NM_025239 | Homo sapiens muerte celular programada 1 ligando 2 (PDCD1LG2), ARNm | 10.71 | 1.03E- |
| | NM_003392 | Homo sapiens-tipo sin alas MMTV familia del sitio de integración, miembro 5A (WNT5A), ARNm | Abajo 02 | |
| | NM_030899 | Homo sapiens de proteína de dedos de zinc 323 (ZNF323), ARNm | 10.52 | 1.11E- |
| 60 | NM_001554 | Homo sapiens rica en cisteína, inductor angiogénico, 61 (CYR61), ARNm | 10.28 | 1.90E- |
| | AB002333 | ARNm humano para el gen KIAA0335, cds parcial | Abajo 03 | |
| 65 | NM_005233 | Homo sapiens receptores EPH A3 (EphA3), variante de transcripción 1, ARNm | 10.22 | 5.12E- |
| | | | Abajo 05 | |
| | | | 10.14 | 4.90E- |
| | | | Abajo 03 | |

ES 2 569 421 T3

| | | | | |
|----|-----------|--|----------------|----------|
| | NM_024600 | Homo sapiens cromosoma 16 marco de lectura abierto 30 (C16orf130), ARNm | 10.11 Abajo | 3.10E-03 |
| 5 | NM_032638 | Homo sapiens proteína de unión a GATA 2 (GATA2), ARNm | 9.99 Abajo | 2.21E-04 |
| | U79271 | Clones humanos 23920 y 23921 secuencia de ARNm | 9.88 Abajo | 5.41E-05 |
| | NM_017448 | Homo sapiens deshidrogenasa láctica C (LDHC), variante de transcripción 2, ARNm | 9.74 Abajo | 2.07E-04 |
| 10 | NM_001299 | Homo sapiens calponina 1, básico, liso muscular (cnn1), ARNm | 9.63 Abajo | 3.67E-04 |
| | A1939462 | t123h06.x5 NCI_CGAP_Brn23 Homo sapiens clon de ADNcIMAGE:2097083 3, secuencia de ARNm | 9.62 Abajo | 8.51E-05 |
| | NM_178834 | Homo sapiens layilina (L0C143903), ARNm | 9.59 Abajo | 1.13E-05 |
| 15 | AF269088 | Homo sapiens antígeno de cáncer de mama NY-BR-1.1 ARNm, cds parcial | 9.42 Abajo | 2.10E-03 |
| | NM_001945 | Homo sapiens difteria toxina del receptor (de unión a heparina epidérmica factor de crecimiento similar a factor de crecimiento) (DTR), ARNm | 9.37 Abajo | 2.21E-02 |
| 20 | NM_004791 | Homo sapiens integrina, beta tipo 1 (con dominios repeticiones similar a EGF) (ITGB1), ARNm | 9.24 Abajo | 2.86E-04 |
| | NM_000682 | Homo sapiens adrenérgico, alfa-2B, receptor (ADRA2B), ARNm | 9.19 Abajo | 9.68E-04 |
| 25 | NM_012242 | Homo sapiens Dickkopf homólogo 1 (<i>Xenopus laevis</i>) (DKK1), ARNm | 9.18 Abajo | 2.05E-03 |
| | NM_001998 | Homo sapiens fibulina 2 (FBLN2), variante de transcripción 2, ARNm | 9.07 Abajo | 5.02E-04 |
| | BG165745 | 602344592F1 NIH_MGC_89 Homo sapiens clon de ADNc IMAGE: 4454470 5, secuencia de ARNm | 9.04 Abajo | 1.30E-03 |
| 30 | D29453 | HUMNK566 queratinocito epidérmico humano Homo sapiens clon de ADNc de 566, secuencia de ARNm | 8.93 Abajo | 2.86E-04 |
| | CD723006 | ojl6hO2.yl glándula lagrimal humana, no amplificada: oj ADNc Homo sapiens clon ojl6hO2 5, secuencia de ARNm | 8.93 Abajo | 9.36E-05 |
| 35 | NM_178550 | Homo sapiens proteína hipotética MGC48998 (MGC48998), ARNm | 8.87 Abajo | 3.76E-04 |
| | NM_016201 | Homo sapiens similar a angiomotina 2 (AMOTL2), ARNm | 8.62 Abajo | 2.48E-02 |
| | AW291775 | UI-H-B12-agv-h-04-0-UI.s1 NCI_CGAP_Sub4 ADNc Homo sapiens clon IMAGE 2725855 3, secuencia de ARNm | 8.5 Abajo | 3.03E-03 |
| 40 | NM_152703 | Homo sapiens cromosoma 7 marco de lectura abierto 6 (C7orf6), ARNm | 8.38 Abajo | 1.58E-04 |
| | NM_001843 | Homo sapiens contactina 1 (CNTN1), variante de transcripción 1, ARNm | 8.32 Abajo | 5.41E-05 |
| 45 | AL117454 | ARNm de Homo sapiens; ADNc DKFZp586J1717 (a partir del clon DKFZp586J1717) | 8.26 Abajo | 5.79E-05 |
| | BX092004 | BX092004 NCI_CGAP_Kid11 Homo sapiens ADNcclon IMAGp998B195924; IMAGE:2385330, secuencia de ARNm | 8.18 Abajo | 4.67E-04 |
| | NM_145201 | Homo sapiens similar al gen CG3714 producto (PP3856), ARNm | 8.16 Abajo | 1.64E-03 |
| 50 | BX537698 | ARNm de Homo sapiens; ADNc DKFZp686FO9i66 (a partir del clon 8 DKFZp686FO9166) | 8.15 Abajo | 7.27E-04 |
| | NM_203418 | Homo sapiens síndrome Abajo crítico región del gen 1 (DSCR1), variante de transcripción 3, ARNm | 8.12 Abajo | 2.96E-02 |
| 55 | NM_024423 | Homo sapiens desmocolina 3 (DSC3), variante de transcripción Dsc3b, ARNm | 7.93 Abajo | 2.54E-03 |
| | AK093529 | ADNc Homo sapiens FLJ36210 fis, clon THYMU2000155 | 7.9 Abajo | 9.50E-04 |
| | AK131532 | ADNc Homo sapiens FLJ16761 fis, clon BRAMY3008O96 | 7.89 Abajo | 1.84E-03 |
| 60 | NM_032511 | Homo sapiens cromosoma 6 marco de lectura abierto 168 (C6orf 168), ARNm | 7.42 Abajo | 3.49E-03 |
| 65 | NM_002521 | Homo sapiens péptido natriurético precursor B (NPPB), ARNm | 7.4 Abajo | 4.45E-03 |

ES 2 569 421 T3

| | | | | |
|----|-----------|--|------|----------|
| | BU626326 | UI-H-DFO-bet-p-17-0-Ui.sl NCI_CGAP_DF0 ADNc Homo sapiens clon UI-H-DFO-bet-p-1 7-0-Ui 3, secuencia de ARNm | 7.34 | 7.03E-05 |
| 5 | NM_001144 | Homo sapiens autocrina factor de motilidad del receptor (AMFR), variante de transcripción 1, ARNm | 7.33 | 1.03E-03 |
| | NM_001541 | Homo sapiens proteína de choque térmico 27kDa 2 (HSPB2), ARNm | 7.32 | 3.96E-03 |
| | NM_005069 | Homo sapiens homólogo de una sola dirección 2 (<i>Drosophila</i>) (SIM2), variante de transcripción SIM2, ARNm | 7.31 | 1.23E-03 |
| 10 | AI937359 | wp76c02.xl NCI_CGAP_Brn25 Homo sapiens clon de ADNc IMAGE: 2467682 3, secuencia de ARNm | 7.31 | 1.96E-03 |
| | NM_015345 | Homo sapiens activador desgreñado asociado a morfogénesis 2 (DAAM2), ARNm | 7.29 | 2.18E-05 |
| | NM_000089 | Homo sapiens colágeno tipo I, alfa 2 (COL1A2), ARNm | 7.25 | 6.07E-03 |
| 15 | NM_015150 | Homo sapiens proteína de unión a balsa (RAFTLIN), ARNm | 7.24 | 2.87E-03 |
| | BX113319 | BX113319 NCI_CGAP_Gas4 Homo sapiens clon de ADNc 1MAGp998G205398; IMAGE-0,2184619, Secuencia de ARNm | 7.24 | 1.28E-03 |
| 20 | NM_199329 | Homo sapiens familia de transportadores de soluto 43, miembro 3 (SLC43A3), ARNm | 7.19 | 2.31E-03 |
| | AV702977 | AV702977 ADB ADNc Homo sapiens clon ADBCVDO8 5, secuencia de ARNm | 7.11 | 5.21E-05 |
| | NM_024512 | Homo sapiens repeticiones ricas en leucina que contiene 2 (LRRC2), ARNm | 7.09 | 2.65E-04 |
| 25 | NM_017655 | Homo sapiens dominio PDZ proteínas GIPC2 (GIPC2), ARNm | 7.06 | 2.04E-04 |
| | NM_014477 | Homo sapiens cromosoma 20 marco de lectura abierto 10 (C200rflO), ARNm | 7.05 | 4.10E-03 |
| 30 | NM_002559 | Homo sapiens receptores purinérgicos P2X, canales iónicos activados por ligando, 3 (P2RX3), ARNm | 7.03 | 4.63E-03 |
| | BM976385 | UI-CF-EN1-acz-f-03-0-Ui.s1 UI-CF-EN1 ADNc Homo sapiens clon de UI-CF-EN1-acz-f-03-0-Ui 3, secuencia de ARNm | 7.01 | 9.77E-04 |
| | BX648323 | ARNm Homo sapiens; ADNc DKFZp686K10163 (a partir del clon DKFZp686K10163) | 6.94 | 8.05E-04 |
| 35 | BC008580 | Homo sapiens, clon IMAGE:4179986, ARNm, cds parcial | 6.93 | 5.41E-05 |
| | NM_007034 | Homo sapiens Dnaj (Hsp40) homólogo, subfamilia B, miembro 4 (DNAJB4), ARNm | 6.72 | 2.98E-02 |
| 40 | AW025556 | wuO7gI0.xl NCI_CGAP_Kid3 Homo sapiens clon de ADNcIMAGE: 2528034 3, secuencia de ARNm | 6.7 | 2.31E-03 |
| | NM_003514 | Homo sapiens histona 1, H2am (HIST1H2AM), ARNm | 6.7 | 9.11E-03 |
| | NM_032603 | Homo sapiens lisil similar a oxidasa 3 (LOXL3), ARNm | 6.65 | 2.58E-03 |
| 45 | AW172652 | xj8OfO6xl Soares_NFL_T_GBC_S1 Homo sapiens clon ADNc IMAGE: 2663555 3, secuencia de ARNm | 6.62 | 2.17E-04 |
| | NM_006350 | Homo sapiens follistatina (FST), variante de transcripción FST317, ARNm | 6.57 | 7.59E-05 |
| 50 | BQ018586 | T I-H-DH1-awu-c-08-0-Ui.s1 NCI_CGAP_DH1 ADNc Homo sapiens clon IMAGE: 5823679 3, secuencia de ARNm | 6.43 | 3.44E-03 |
| | BF448158 | nae30hl2.xl Lupski_sympathetic_trunk ADNc Homo sapiens clon IMAGE:4090607 3, secuencia de ARNm | 6.43 | 8.65E-05 |
| | NM_001557 | Homo sapiens interleucina 8 receptores, beta (IL8RB), ARNm | 6.38 | 2.96E-03 |
| 55 | NM_002166 | Homo sapiens inhibidor de la unión de ADN 2, proteína dominante de hélice-bucle-hélice negativa (LD2), ARNm | 6.37 | 2.10E-03 |
| 60 | NM_080671 | Homo sapiens canal de voltaje de potasio, familia relacionada Isk, miembro 4 (KCNE4), ARNm | 6.36 | 1.17E-02 |
| | BM712945 | UI-E-EJO-ahi-c-16-0-Ui.rl UI-E-EJO Homo sapiens clon de ADNc UI-E-EJO-ahi-c-16-0-Ui 5, secuencia de ARNm | 6.33 | 3.62E-04 |
| 65 | BM991890 | UI-H-DF1-auk-h-02-0-Ui.sl NCI_CGAP_DF1 ADNc Homo sapiens clon IMAGE: 5870641 3, secuencia de ARNm | 6.32 | 8.14E-05 |

ES 2 569 421 T3

| | | | | |
|----|-----------|--|----------|--------|
| | NM_017823 | Homo sapiens doble especificidad fosfatasa 23 (DUSP23), ARNm | 6.26 | 9.36E- |
| | NM_032461 | Homo sapiens, familia de SPANX miembro B1 (SPANXB1), ARNm | 6.26 | 5.62E- |
| 5 | NM_006027 | Homo sapiens exonucleasa I (EXO1), variante de transcripción 1, ARNm | 6.26 | 7.81E- |
| | NM_003545 | Homo sapiens histona 1, H4e (HIST1H4E), ARNm | 6.19 | 7.48E- |
| 10 | NM_001451 | Homo sapiens caja de cabeza de horquilla FI (FOXF1), ARNm | 6.17 | 1.02E- |
| | NM_001955 | Homo sapiens endotelina 1 (EDN1), ARNm | 6.16 | 2.54E- |
| | NM_003617 | Homo sapiens regulador de proteína G de señalización 5 (RGS5), ARNm | 6.07 | 9.24E- |
| 15 | NM_021103 | Homo sapiens timosina beta 10 (TMSB10), ARNm | 6.06 | 2.32E- |
| | NM_001424 | Homo sapiens proteína de membrana epitelial 2 (EMP2), ARNm | 6.06 | 2.23E- |
| 20 | BG354579 | CDCA6 división de ciclo celular asociada de gen de expresión de ADNc humano 6 bibliotecas Homo sapiens clon de ADNc de 407614, secuencia de ARNm | 5.96 | 1.40E- |
| | BM665452 | IU-E-CQ1 -aex-n-03-0-UI.s1 UI-E-CQ1 ADNc Homo sapiens clon UI-E-CQ1-aex-n-03-0-UI 3, secuencia de ARNm | 5.94 | 2.64E- |
| 25 | NM_079423 | Homo sapiens miosina, polipéptido ligero 6, alcalino, músculo liso y no músculo (MYL6), variante de transcripción 2, ARNm | 5.87 | 3.58E- |
| | AW134473 | UI-H-BI1-abv-a-11-0-UI.s1 NCI_CGAP_Sub3 ADNc Homo sapiens IMAGE clon: 2712885 3, secuencia de ARNm | 5.85 | 1.03E- |
| | NM_032334 | Homo sapiens proteína hipotética MGC14595 (MGC1 4595), ARNm | 5.79 | 9.11E- |
| 30 | BF029356 | 601765592F1 NIH_MGC_53 Homo sapiens ADNc clon IMAGE: 3997510 5, secuencia de ARNm | 5.78 | 3.55E- |
| | NM_175887 | Homo sapiens proteína hipotética L0C222171 (LOC222171), ARNm | 3.51 | 5.72E- |
| | NM_139241 | Homo sapiens FYVE, RhoGEF y PH dominio que contiene 4 (FGD4), ARNm | 5.72 | 3.12E- |
| 35 | NM_015915 | Homo sapiens espástica paraplejia 3A (autosómica dominante) (SPG3A), ARNm | 5.7 | 2.15E- |
| | NM_052937 | Homo sapiens similar a proteína hipotética FLJ1O883 (L0C115294), ARNm | 5.69 | 7.86E- |
| 40 | NM_015251 | Homo sapiens proteínas KIAAO431 (KIAAO431), ARNm | 5.6 | 3.87E- |
| | NM_021956 | Homo sapiens receptor de glutamato, ionotrópico, kainato 2 (GRIK2), variante de transcripción 1 ARNm | 5.58 | 2.31E- |
| | NM_017527 | Homo sapiens antígeno de linfocitos 6 complejo, locus K (LY6K), ARNm | 5.57 | 1.69E- |
| 45 | NM_015192 | Homo sapiens fosfolipasa C, beta 1 (fosfoinositida-específico) (PLCB1), variante de transcripción 1, ARNm | 5.53 | 7.81E- |
| | NM_020223 | Homo sapiens familia con similitud de secuencia 20, miembro C (FAM20C), ARNm | 5.51 | 1.19E- |
| 50 | NM_002619 | Homo sapiens factor plaquetario 4 (quimiocina (motivo C-X-C) ligando 4) (PF4), ARNm | 5.51 | 3.31E- |
| | NM_002053 | Homo sapiens proteína 1 de unión de guanilato, interferón-inducible, 67kDa (GBP1), ARNm | 5.51 | 1.27E- |
| | H55853 | yq94c05.ri Soares fetal bazo hígado 1NFLS Homo sapiens clon de ADNc IMAGE: 203432 5, secuencia de ARNm | 5.5 | 6.78E- |
| 55 | NM_000947 | Homo sapiens primasa, 2A polipéptido, 58kDa (PRIM2A), ARNm | 5.48 | 8.13E- |
| | NM_005596 | Homo sapiens factor nuclear I / B (NFIB), ARNm | 5.46 | 1.00E- |
| 60 | NM_014285 | Homo sapiens componente exosome 2 (EXOSC2), ARNm | 5.45 | 1.45E- |
| | NM_004623 | Homo sapiens dominio de repetición de tetratricopéptido 4 (TTC4), ARNm | 5.43 | 1.84E- |
| | NM_052846 | Homo sapiens microfibrillas elastina interfacer 3 (EMILIN3), ARNm | 5.43 | 1.11E- |
| 65 | | | Abajo 04 | |

ES 2 569 421 T3

| | | | | |
|----|--------------|---|---------------|----------|
| | AW152368 | xg63e03.xls NCI_CGAP_Ut4 Homo sapiens clon de ADNcIMAGE-0.2633020 3 similar a contiene Alu elemento repetitivo;, ARNm | 5.41 Abajo | 5.48E-04 |
| 5 | NM_000475 | Homo sapiens subfamilia de receptor nuclear 0, grupo B, miembro 1 (NROB1), ARNm | 5.39 Abajo | 1.85E-03 |
| | NM_012394 | Homo sapiens prefoldina 2 (PFDN2), el ARNm | 5.38 Abajo | 3.93E-02 |
| 10 | NM_019018 | Homo sapiens proteína hipotética FLJ11127 (FLJ11127), ARNm | 5.32 Abajo | 1.05E-02 |
| | NM_004298 | Homo sapiens nucleoporina I55kDa (NUP155), variante de transcripción 2, ARNm | 5.3 Abajo | 5.08E-02 |
| 15 | NM_003516 | Homo sapiens histona 2, H2aa (HIST2H2AA), ARNm | 5.3 Abajo | 3.90E-02 |
| | NM_004324 | Homo sapiens proteína X asociada a BCL2 (BAX), variante de transcripción beta, 24 ARNm | 5.27 Abajo | 2.42E-02 |
| 20 | NM_006012 | Homo sapiens ClpP proteasa caseinolítica, dependiente de ATP, la subunidad proteolítica homóloga (<i>E. coli</i>) (CLPP), proteína mitocondrial que codifica el gen nuclear, ARNm | 5.22 Abajo | 3.42E-03 |
| | NM_021968 | Homo sapiens histonas 1, H4j (HIST1H4J), ARNm | 5.19 Abajo | 1.84E-02 |
| 25 | BF111710 | 7I47c10.xls Soares_NSF_F8_9W_OT_PA_P_S1 Homo sapiens clon de ADNc IMAGE:3524371 3, secuencia de ARNm | 5.19 Abajo | 1.23E-03 |
| | NM_006837 | Homo sapiens COP9 constitutiva fotomorfogénica homólogo subunidad 5 (<i>Arabidopsis</i>) (COPS5), ARNm | 5.16 Abajo | 3.83E-02 |
| 30 | NM_001884 | Homo sapiens hialuronano y proteína de enlace de proteoglicanos 1 (HAPLN1), ARNm | 5.15 Abajo | 6.63E-03 |
| | NM_018663 | Homo sapiens proteína membrana peroxisomal 2, 22kDa (PXMP2), ARNm | 5.14 Abajo | 1.79E-02 |
| 35 | BX093329 | BX093329 Soares_parathyroid_tumor_NbHPA Homo sapiens clon de ADNc IMAGp998A124183: IMAGE:1648403, secuencia de ARNm | 5.14 Abajo | 9.07E-03 |
| | NM_001001992 | Homo sapiens ubiquitina proteasa específica 16 (USP16), variante de transcripción 2, ARNm | 5.13 Abajo | 1.18E-02 |
| 40 | NM_003405 | Homo sapiens tirosina 3-monoxygenasa / triptófano proteína de activación monooxygenasa 5, polipéptido eta (YWHAH), ARNm | 5.11 Abajo | 1.09E-02 |
| | NM_003238 | Homo sapiens factor de crecimiento transformante, beta 2 (TGFB2), ARNm | 5.09 Abajo | 2.36E-03 |
| 45 | T95596 | ye4ObO3.xls Soares bazo hígado fetal 1NFLS ADNc Homo sapiens clon IMAGE: 120173 3, secuencia de ARNm | 5.08 Abajo | 3.51E-04 |
| | NM_004753 | Homo sapiens deshidrogenasa / reductasa(familia SDR) miembro 3 (DHRS3), ARNm | 5.07 Abajo | 6.56E-03 |
| 50 | NM_000165 | Homo sapiens proteínas brecha de la salida, alfa 1, 43 kDa (conexina 43) (GJA1), ARNm | 5.04 Abajo | 2.07E-03 |
| | H99504 | yx25g05.xls Soares melanocito 2NbHM Homo sapiens clon de ADNc IMAGE: 262808 3, Secuencia de ARNm | 5.04 Abajo | 1.13E-03 |
| 55 | NM_012464 | Homo sapiens toloide tipo 1 (TLL1), ARNm | 5.03 Abajo | 3.47E-02 |
| | NM_052947 | Homo sapiens corazón alfa-quinasa (HAK), ARNm | 5.02 Abajo | 1.06E-04 |

60

65

TABLA VIII: DATOS DE PCR EN TIEMPO REAL PARA CÉLULAS DIFERENCIADAS AF-I

| | Hormona | Ct Valores para AFCA007 Clon A cultivado para 2 sem en Amniomax | Ct valores para AFCA007 Clon A cultivado para 2 sem en Amniomax + 10 ácido retinóico micromolar | $\Delta\Delta Ct$ para AFCA007 Clon A cultivado para 2 sem en Amniomax + 10 ácido retinóico micromolar | $\Delta\Delta Ct$ para AFCA007 Clon A cultivado para 2 sem en Amniomax + 10 ácido retinóico micromolar |
|----|--|---|---|--|--|
| 5 | GIP | 34 | 31 | 0.00062 | 0.004 |
| 10 | Neurotensina | 37 | 35 | 0.000183 | 0.0004 |
| 15 | Gastrina | Sin expresión | 36 | | 0.0004 |
| 20 | Secretina | 32 | 32 | 0.02 | 0.014 |
| | Somatostatina | 31 | 28 | 0.002 | 0.014 |
| | CCK | 33 | 31 | 0.003 | 0.008 |
| | GAPDH | 22 | 22 | | |
| | *: Para $\Delta\Delta Ct$ análisis, el control positivo era ARN humano intestinal. | | | | |

TABLA IX: ANÁLISIS PCR DE LA EXPRESIÓN DE MARCADORES ENDODÉRMICOS EN AFCA007 (P8) DESPUÉS DE 14 DÍAS DE ENSAYO DE DIFERENCIACIÓN

| | Tratamiento | HNF3 | Pdx-1 | GATA4 | Glu-2 | HNFla | AFP |
|----|-------------------------------|------|-------|-------|-------|-------|-----|
| 30 | Sin tratamiento | - | - | - | + | - | |
| 35 | FGF45Ong/ml | + | + | + | + | + | |
| 40 | Todo trans RA (10 μ M) | + | - | + | + | + | + |
| 45 | L-685,458 (10 μ M) | + | | + | + | + | |
| 50 | Ciclopamina (10 MM) | | | + | + | | |
| 55 | BMP5 (5 ng/ml) | + | | + | + | + | |
| 60 | BMP6 (50 ng/ml) | + | | + | + | + | |
| | Excendina 4 (10 nM) | + | | + | + | + | |
| | BMP7 (10 ng/ml) | | | + | + | + | |
| | BMP4 50 ng/ml | + | | | + | + | |

TABLA X: CITOQUINA, CITOQUINA Y NIVEL DE EXPRESION DE RECEPTOR DE FACTOR DE CRECIMIENTO PARA AFCA007 A (AF-I) Y AFCA015 C (AF-II) CELULAS

| | | AFCA007 A | AFCA007 A | AFCA015C | AFCA015 C |
|----|---------------------|------------------|------------------|-----------------|------------------|
| 5 | POS | 23,029.50 | 22,843.43 | 23,281.28 | 23,086.51 |
| | NEG | 1.00 | 0.98 | 0.86 | 0.86 |
| 10 | Angiogenin | 44.50 | 89.98 | 101.17 | 26.71 |
| | BDNF | 702.50 | 670.09 | 590.28 | 411.52 |
| | BLC | 276.50 | 365.08 | 192.90 | 0.86 |
| 15 | BMP-4 | 66.00 | 96.36 | 126.89 | 117.22 |
| | BMP-6 | 135.00 | 182.17 | 247.34 | 133.53 |
| 20 | CK beta 8-1 | 139.50 | 100.28 | 80.16 | 43.87 |
| | CNTF | 235.50 | 234.64 | 82.73 | 0.86 |
| | EGF | 125.50 | 106.66 | 66.01 | 0.86 |
| 25 | Eotaxin | 90.00 | 95.87 | 152.61 | 99.21 |
| | Eotaxin-2 | 635.00 | 554.86 | 528.55 | 290.54 |
| | Eotaxin-3 | 174.50 | 245.43 | 246.48 | 170.42 |
| 30 | FGF-6 | 422.00 | 411.67 | 318.07 | 213.32 |
| | FGF-7 | 378.50 | 348.41 | 225.05 | 15.12 |
| | Flt-3 Ligand | 298.00 | 264.56 | 146.18 | 66.60 |
| 35 | Fractalkine | 545.50 | 399.41 | 330.50 | 105.21 |
| | GCP-2 | 323.00 | 266.52 | 182.18 | 0.86 |
| | GDNF | 249.00 | 213.56 | 100.74 | 15.55 |
| 40 | GM-CSF | 1,003.50 | 687.75 | 663.15 | 343.31 |
| | 1-309 | 108.00 | 90.47 | 91.74 | 36.57 |
| 45 | IFN-gamma | 227.50 | 189.04 | 217.34 | 7.40 |
| | IGFBP-1 | 156.00 | 197.37 | 182.61 | 3700 |
| | IGFBP-2 | 627.00 | 415.10 | 383.66 | 281.53 |
| 50 | IGFBP-4 | 154.00 | 136.57 | 103.74 | 0.86 |
| | IGF-I | 121.00 | 200.32 | 218.62 | 191.01 |
| | IL-10 | 474.50 | 379.30 | 320.22 | 64.89 |
| 55 | IL-13 | 768.00 | 627.43 | 636.57 | 184.58 |
| | IL-15 | 829.50 | 542.60 | 558.56 | 226.62 |
| | IL-16 | 243.50 | 235.62 | 146.18 | 2.25 |
| 60 | IL-lalpha | 1,206.00 | 1,058.47 | 1,048.95 | 662.05 |
| | IL-lbeta | 349.00 | 282.21 | 258.49 | 64.89 |
| 65 | IL-1 ra | 278.50 | 337.13 | 225.05 | 111.65 |

ES 2 569 421 T3

| | | | | | |
|----|----------------|-----------|-----------|-----------|-----------|
| | IL-2 | 684.50 | 581.34 | 489.97 | 254.50 |
| 5 | IL-3 | 1,052.50 | 1,066.31 | 1,075.53 | 904.86 |
| | IL-4 | 396.00 | 404.80 | 383.23 | 224.47 |
| | IL-5 | 763.00 | 676.96 | 754.89 | 303.41 |
| | IL-6 | 1,172.00 | 1,113.88 | 485.25 | 327.43 |
| 10 | IL-7 | 675.00 | 567.61 | 473.68 | 241.63 |
| | Leptin | 269.50 | 267.99 | 229.77 | 118.08 |
| | LIGHT | 295.50 | 254.75 | 214.33 | 85.48 |
| 15 | MCP-i | 1,027.00 | 901.06 | 1,080.25 | 990.24 |
| | MCP-2 | 546.00 | 461.20 | 389.66 | 120.66 |
| 20 | MCP-3 | 378.50 | 372.93 | 288.49 | 85.91 |
| | MCP-4 | 642.50 | 532.30 | 390.95 | 159.69 |
| | M-CSF | 692.00 | 566.63 | 504.11 | 267.37 |
| 25 | MDC | 446.50 | 442.07 | 312.07 | 138.24 |
| | MIG | 760.00 | 725.51 | 701.30 | 363.47 |
| 30 | MIP-1-delta | 290.50 | 347.92 | 295.78 | 117.65 |
| | MIP-3-alpha | 406.50 | 399.90 | 311.64 | 64.46 |
| | NAP-2 | 216.50 | 241.51 | 208.33 | 44.29 |
| 35 | NT-3 | 45.50 | 124.31 | 61.30 | 0.86 |
| | PARC | 181.50 | 208.16 | 13846 | 0.86 |
| | PDGF-BB | 594.00 | 313.10 | 126.03 | 152.83 |
| 40 | RANTES | 418.50 | 350.86 | 248.63 | 108.21 |
| | SCF | 307.50 | 152.26 | 84.45 | 45.58 |
| | SDF-1 | 654.50 | 594.09 | 237.48 | 116.37 |
| 45 | TARC | 227.50 | 264.56 | 148.75 | 2.25 |
| | TGF-beta 1 | 824.50 | 750.02 | 693.59 | 407.23 |
| 50 | TGF-beta 3 | 278.00 | 341.54 | 277.35 | 57.16 |
| | TNF-alpha | 804.50 | 968.73 | 992.37 | 552.23 |
| | TNF-beta | 549.50 | 510.23 | 888.20 | 285.82 |
| 55 | P05 | 24,267.79 | 23,873.40 | 25,002.74 | 25,119.43 |
| | NEG | 1.00 | 0.89 | 0.78 | 0.78 |
| | Acrp3O | 29.13 | 0.89 | 100.74 | 98.12 |
| 60 | AgRP | 1.00 | 0.89 | 19.30 | 0.78 |
| | Angiopoietin-2 | 144.13 | 84.27 | 62.74 | 58.01 |
| | Amphiregulin | 1.00 | 0.89 | 0.78 | 0.78 |
| 65 | Axl | 1,478.63 | 882.74 | 542.12 | 536.93 |

ES 2 569 421 T3

| | | | | | |
|----|--------------|-----------|----------|----------|----------|
| | bFGF | 5,455.13 | 4,386.44 | 4,419.49 | 7,225.00 |
| | b-NGF | 94.13 | 8.27 | 69.72 | 58.79 |
| 5 | BTC | 1.00 | 0.89 | 0.78 | 0.78 |
| | CCL-28 | 141.13 | 76.23 | 0.78 | 0.78 |
| 10 | CTACK | 383.13 | 315.86 | 304.37 | 297.86 |
| | Dtk | 90.13 | 51.19 | 48.77 | 48.67 |
| | EGF-R | 1,730.13 | 851.89 | 1,363.21 | 1,485.42 |
| 15 | ENA-78 | 207.13 | 109.31 | 514.97 | 192.34 |
| | Fas/TNFRSF6 | 4,740.63 | 1,570.79 | 1,026.94 | 575.87 |
| | FGF-4 | 342.13 | 141.50 | 156.21 | 88.77 |
| 20 | FGF-9 | 267.13 | 166.98 | 140.69 | 100.07 |
| | GCSF | 320.63 | 151.78 | 152.33 | 115.25 |
| | GITR-Ligand | 183.63 | 112.44 | 170.17 | 81.77 |
| 25 | GITR | 211.13 | 116.91 | 63.51 | 18.30 |
| | CR0 | 10,097.13 | 9,584.54 | 2,380.16 | 1,317.60 |
| | GRO-alpha | 1,061.13 | 754.43 | 356.73 | 124.60 |
| 30 | HCC-4 | 90.63 | 18.55 | 67.00 | 8.18 |
| | HGF | 1.00 | 0.89 | 265.19 | 333.29 |
| 35 | ICAM-1 | 11,257.63 | 6,308.40 | 2,116.03 | 1,415.33 |
| | ICAM-3 | 75.13 | 19.89 | 54.98 | 61.52 |
| | IGFBP-3 | 603.63 | 406.61 | 435.46 | 34692 |
| 40 | IGFBP-6 | 523.63 | 334.63 | 253.56 | 176.77 |
| | IGF-I SR | 929.13 | 526.87 | 484.72 | 463.73 |
| | IL-1 R4IST2 | 330.63 | 297.97 | 272.95 | 171.71 |
| 45 | IL-11 RI | 57.13 | 40.91 | 40.24 | 16.74 |
| | IL-1 1 | 192.13 | 106.63 | 79.80 | 19.86 |
| | IL-12p40 | 134.13 | 113.33 | 99.19 | 93.06 |
| 50 | IL-12p70 | 183.63 | 165.64 | 166.29 | 85.27 |
| | IL-17 | 47.13 | 0.89 | 0.78 | 0.78 |
| 55 | IL-2 Rapha | 229.13 | 158.04 | 115.87 | 36.21 |
| | IL-6 R | 158.63 | 30.62 | 55.75 | 46.72 |
| | IL-8 | 2,792.13 | 2,894.57 | 528.93 | 164.70 |
| 60 | 1-TAC | 499.63 | 184.42 | 139.53 | 89.16 |
| | Lymphotactin | 581.63 | 277.86 | 295.45 | 215.71 |
| | MIF | 2,280.63 | 1,794.32 | 1,532.31 | 1,042.71 |
| 65 | MIP-1alpha | 557.13 | 448.19 | 319.49 | 261.65 |

ES 2 569 421 T3

| | | | | | |
|----|-----------------|-----------|-----------|-----------|-----------|
| | MIP-1beta | 193.13 | 133.45 | 182.58 | 225.44 |
| 5 | MIP-3beta | 360.13 | 203.19 | 126.34 | 101.23 |
| | MSP-alpha | 251.13 | 174.13 | 121.69 | 89.94 |
| | NT-4 | 115.13 | 27.94 | 2.62 | 0.78 |
| 10 | Osteoprotegerin | 2,391.13 | 1,761.24 | 1,558.30 | 1,582.37 |
| | Oncostatin M | 541.13 | 340.45 | 179.48 | 98.51 |
| 15 | PIGF | 88.13 | 50.74 | 40.24 | 11.29 |
| | sgpl30 | 604.13 | 503.63 | 369.92 | 379.24 |
| | sTNF Rh | 17.63 | 0.89 | 0.78 | 8.57 |
| 20 | sTNF-RI | 903.63 | 551.91 | 685.63 | 469.18 |
| | TECK | 255.63 | 91.87 | 140.69 | 100.46 |
| | TIMP-1 | 1099.63 | 732.53 | 661.58 | 832.85 |
| 25 | TIMP-2 | 11,468.63 | 7,205.68 | 14,022.74 | 14,546.57 |
| | Thrombopoietin | 580.13 | 364.59 | 405.21 | 28190 |
| | TRAIL R3 | 1,881.13 | 728.50 | 988.93 | 1,186.39 |
| 30 | TRAIL R4 | 437.13 | 412.42 | 172.89 | 233.23 |
| | uPAR | 1,055.13 | 631.49 | 668.56 | 960.95 |
| 35 | VEGF | 418.13 | 293.95 | 290.79 | 452.44 |
| | VEGF-D | 39.13 | 0.89 | 20.85 | 12.46 |
| | P05 | 17,605.50 | 17,898.76 | 18,624.45 | 19,358.48 |
| 40 | NEG | 1.00 | 1.04 | 1.02 | 1.09 |
| | Activin A | 7.00 | 106.51 | 131.02 | 216.38 |
| | ALCAM | 227.00 | 372.00 | 229.19 | 194.01 |
| 45 | B7.1(CD80) | 18.00 | 138.72 | 100.34 | 3.55 |
| | BMP-5 | 42.50 | 129.37 | 90.63 | 42.29 |
| | BMP-7 | 72.00 | 136.12 | 111.59 | 1.09 |
| 50 | Cardiotrophin-1 | 578.00 | 1,221.99 | 49865 | 233.30 |
| | CD14 | 118.00 | 231.72 | 134.09 | 180.37 |
| 55 | CXCL- 16 | 1.00 | 187.56 | 201.07 | 175.45 |
| | DR6(TNFRSF2 1) | 107.00 | 382.39 | 190.84 | 1.09 |
| | Endoglin | 1,213.50 | 735.17 | 1,168.45 | 1,359.16 |
| 60 | ErbB3 | 183.50 | 269.13 | 226.63 | 167.81 |
| | E-Selectin | 150.00 | 250.94 | 178.06 | 82.68 |
| | Fas Ligand | 134.00 | 269.65 | 162.72 | 88.14 |
| 65 | ICAM-2 | 364.50 | 416.16 | 273.16 | 203.83 |

ES 2 569 421 T3

| | | | | | |
|----|--------------|----------|----------|----------|----------|
| | IGF-11 | 172.00 | 206.26 | 140.22 | 89.77 |
| 5 | IL-1 R 11 | 178.00 | 226.52 | 190.33 | 124.70 |
| | IL-10 Rbeta | 124.50 | 111.18 | 91.14 | 194.56 |
| | IL-13Ralpha2 | 94.50 | 117.94 | 80.40 | 1.09 |
| | IL-18BPalpha | 3.00 | 132.49 | 234.82 | 1.09 |
| 10 | IL-18 Rbeta | 59.50 | 191.71 | 112.61 | 1.09 |
| | IL-2 Ralpha | 128.00 | 156.90 | 149.94 | 50.48 |
| | IL-2 Rbeta | 1.00 | 57.15 | 196.98 | 1.09 |
| 15 | 11-2 Rgamma | 1.00 | 1.04 | 1.02 | 1.09 |
| | IL-21R | 153.50 | 166.78 | 146.36 | 70.67 |
| 20 | IL-5 Ralpha | 133.00 | 166.78 | 150.96 | 21.01 |
| | IL-9 | 169.00 | 184.96 | 155.56 | 57.58 |
| | IP-10 | 91.50 | 211.46 | 161.19 | 94.14 |
| 25 | LAP | 3,066.00 | 2,460.08 | 5,775.28 | 6,813.80 |
| | Leptiri R | 225.50 | 223.41 | 168.35 | 230.03 |
| | LIF | 93.50 | 181.84 | 495.07 | 217.48 |
| 30 | L-Selectin | 87.50 | 103.91 | 122.84 | 1.09 |
| | M-CSF R | 1.00 | 193.27 | 65.57 | 167.27 |
| | MMP-1 | 206.50 | 170.93 | 135.11 | 379.56 |
| 35 | MMP-13 | 158.50 | 149.11 | 119.26 | 57.58 |
| | MMP-9 | 1.00 | 137.16 | 56.37 | 167.81 |
| 40 | MPIF-1 | 1.00 | 291.47 | 1.02 | 1.09 |
| | NGF R | 1.00 | 123.13 | 388.21 | 1.09 |
| 45 | PDGF AA | 331.50 | 311.21 | 470.01 | 493.62 |
| | PDGF-AB | 48.50 | 111.70 | 137.67 | 248.58 |
| | PDGF Ralpha | 1.00 | 184.96 | 174.48 | 1.09 |
| 50 | PDGF Rbeta | 1,199.50 | 859.86 | 3,513.79 | 4,030.00 |
| | PECAM-1 | 41.50 | 138.72 | 280.32 | 190.74 |
| | Prolactin | 285.00 | 272.77 | 195.44 | 59.76 |
| 55 | SCF R | 64.50 | 245.75 | 128.46 | 88.68 |
| | SDF-1 beta | 425.50 | 364.73 | 248.11 | 452.14 |
| | Siglec-5 | 152.50 | 153.79 | 1.02 | 1.09 |
| 60 | TGF-alpha | 69.50 | 227.04 | 140.74 | 166.72 |
| | TGF beta2 | 173.50 | 138.72 | 182.15 | 118.70 |
| 65 | Tie-1 | 8.50 | 124.69 | 373.89 | 101.78 |
| | Tie-2 | 153.00 | 90.92 | 231.24 | 18.28 |

| | | | | | |
|----|-------------|-------|--------|--------|-------|
| 5 | TIMP-4 | 49.50 | 97.68 | 93.70 | 17.74 |
| | VE-Cadherin | 77.00 | 139.24 | 131.02 | 85.41 |
| | VEGF R2 | 59.50 | 164.70 | 101.37 | 78.86 |
| 10 | VEGF R3 | 37.50 | 121.06 | 222.54 | 54.85 |

TABLA XI: PROTEINAS SUSCEPTIBLES DE DETECCIÓN POR CONJUNTO DE ANTICUERPOS

| | | |
|----|--------------------------------|---|
| 15 | Citoquina | Nombre completo |
| | Activina A | EDF (factor de diferenciación eritroide), FRP (folículo estimulante de la hormona liberadora de la proteína), Restrictina-P, WEHI-MIF (factor inductor del mesodermo WEHI) |
| 20 | AGRP | Proteína relacionada con agouti |
| | ALCAM | Molécula de adhesión celular de leucocitos activados |
| 25 | Amfiregulina | Anfirregulina |
| | ANG | Angiogenina |
| 30 | Angiopoyetina-1 | Angiopoyetina-1 |
| | Angiopoyetina similar a Factor | Factor similar a Angiopoyetina |
| | Angiostatina | Angiostatina |
| 35 | APRIL | Ligando inducente de proliferación |
| | AXL | Una proteína de quinasa de tirosina también llamado UFO o arca. El ligando para este receptor es GPF (factor de crecimiento potenciador). El ligando se denomina también factor estimulante axl, que es idéntico con uno de los genes de gas, gas-6 |
| 40 | B7-1 (CD80) | B7-1 (CD80) |
| 45 | BAFF | Factor de activación de células B perteneciente a la familia TNF |
| | BDNF | Factor neurotrófico derivado de cerebro |
| 50 | Betacelulina | Betacelulina |
| | beta-Galactosidasa | beta-Galactosidasa |
| | beta-NGF | Factor de crecimiento nervioso-beta |
| 55 | bFGF | Factor de crecimiento de fibroblastos básico |
| | BLC | Linfocito B quimioatravente |
| | BMP-2 | Proteínas morfogenéticas óseas -2 |
| 60 | BMP-4 | Proteínas morfogenéticas óseas -4 |
| | BMP-5 | Proteínas morfogenéticas óseas -5 |
| 65 | BMP-6 | Proteínas morfogenéticas óseas -6 |

| | | |
|----|----------------|---|
| | BMP-7 | Proteínas morfogenéticas óseas -7 |
| 5 | BTC | Betacelulina |
| | CCL28 | CCK-1 |
| 10 | CD27 | Grupo de diferenciación 27 |
| | CD30 | Grupo de diferenciación 30 |
| 15 | CD40 | Grupo de diferenciación 40 |
| | CD40 Ligando | Grupo de diferenciación 40 ligando |
| 20 | Ck beta 8-1 | Quimiocina -beta-8 |
| | CNTF | Factor ciliar de neuronotrófica, factor neurotrófico ciliar |
| 25 | Cripto-1 | CRGF (factor de crecimiento Cripto) |
| | CTACK | (CD80BAFF CTAC (quimioquina atrayente de células T cutánea); Skinkine; Eskine |
| 30 | CTLA-4 | Antígeno asociado de linfocitos T de citotóxicos 4 |
| | CXCL16 | CXC ligando quimiocina 16 |
| 35 | Dkk-4 | Dickkopf-4 |
| | DR6 | Receptor de muerte 6 |
| 40 | Dtk | Quinasa de tirosina desarrollada |
| | EGF | Factor de crecimiento epidérmico |
| 45 | EGR-R | Proteína relacionada del factor de crecimiento epidérmico |
| | ENA-78 | Proteína activadora de neutrófilos epitelial 78, atrayente epitelial de neutrófilos celiderivados -78 |
| 50 | Endostatina | Endostatina |
| | Eotaxina | Eotaxina |
| 55 | Eotaxina-2 | MPIF-2 (Factor Inhibidor de progenitor mieloide -2), quimioquina-beta-6 |
| | Eotaxina-3 | MIP-4-alfa (proteína inflamatoria de macrófagos-4-alfa), TSC-1 (quimioquina de estroma tímico-1) |
| 60 | Eritropoyetina | Eritropoyetina |
| | E-Selectina | E-Selectina |
| 65 | Fas Ligando | FasL ligando CD95, ligando Apo-1 |
| | Fas/TNFRSF6 | Fas o cd95 |
| | FGF-2 | Factor de crecimiento de fibroblastos-2 |
| | FGF-4 | Factor de crecimiento de fibroblastos-4 |
| | FGF-6 | Factor de crecimiento de fibroblastos-6 |
| | FGF-7 | Factor de crecimiento de fibroblastos-7 |
| | FGF-8 | Factor de crecimiento de fibroblastos-8 |

| | | |
|----|---------------|---|
| | FGF-9 | Factor de crecimiento de fibroblastos-9 |
| | FKN o FK | Fractalquina |
| 5 | Flt-3 Ligando | Fms similar a tirosina quinasa-3 ligando (también conocido como ligando STK1) |
| 10 | Folistatina | Supresión de la hormona estimulante de folículo (FSP) |
| 15 | GCP-2 | Proteína de granulocitos quimiotáctica 2 |
| 20 | GCSF | Factor estimulante de colonias de granulocitos |
| 25 | GDF-1 5 | Factor de crecimiento / diferenciación 1 de 5 |
| 30 | GDNF | Factor neurotrófico derivado de gliales |
| 35 | GITR | Receptor del factor de necrosis inducido por tumor de glucocorticoide |
| 40 | GITR-Ligando | Receptor del factor de necrosis inducido por tumor de glucocorticoide |
| 45 | GM-CSF | Factor estimulante de colonias de granulocitos-macrófagos |
| 50 | GRO | Oncogene relacionado con crecimiento |
| 55 | GRO-a | Oncogene relacionado con crecimiento-alfa |
| 60 | HB-EGF | Factor de crecimiento epidérmico de unión a heparina |
| 65 | HCC-4 | Hemofiltrado CC quimiocina 4 |
| | HGF | Factor de crecimiento de hepatocitos |
| | HPTA | Hepatopoyitina A |
| | HRG | Heregulina/NDF/GGF/Neuregulina |
| | HRG-alpha | Heregulina/NDF/GGF/Neuregulina |
| | HRG-beta | Heregulina/NDF/GGF/Neuregulina |
| | HVEM | Mediador de entrada de herpesvirus |
| | 1-309 | 1-309 |
| | ICAM-1 | Molécula de adhesión intercelular 1 |
| | ICAM-2 | Molécula de adhesión intercelular 2 |
| | ICAM-3 | Molécula de adhesión intercelular 3 |
| | IFN-alfa | Interferon alfa |
| | IFN-beta | Interferon beta |
| | IFN-gamma | Interferon gamma |
| | IFN-omega | Interferon omega |
| | IGFBP-1 | Proteínas de unión del factor de crecimiento insulínico tipo 1 |
| | IGFBP-2 | Proteínas de unión del factor de crecimiento insulínico tipo 2 |

| | | |
|----|---------------|--|
| | IGFBP-3 | Proteínas de unión del factor de crecimiento insulínico tipo 3 |
| 5 | IGFBP-4 | Proteínas de unión del factor de crecimiento insulínico tipo 4 |
| 10 | IGFBP-6 | Proteínas de unión del factor de crecimiento insulínico tipo 6 |
| 15 | IGF-I SR | Receptor soluble similar a insulina de factor de crecimiento IGF-I |
| 20 | IC F-II | Factor de crecimiento similar a la insulina II |
| 25 | IL-1 RI | Interleucina 1 Proteína relacionada con receptor-1 |
| 30 | IL-1 R4/ST2 | Interleucina 1 receptor 4 también conocido como ST2 |
| 35 | IL-IC | Interleucina 10 |
| 40 | IL-IC R alpha | Interleucina 10 receptor soluble alfa |
| 45 | IL-10 R beta | Interleucina 10 receptor beta |
| 50 | IL-1 I | Interleucina 11 |
| 55 | IL-i2 | Interleucina 12 |
| 60 | IL-12 p40 | Interleucina 12p40 |
| 65 | ILI 2p70 | Interleucina 12p70 |
| | IL-13 | Interleucina 13 |
| | IL-15 | Interleucina 15 |
| | IL-16 | Interleucina 16 |
| | IL-I7 | Interleucina 17 |
| | IL-18 BPa | Interleucina 18 proteína vinculante A |
| | IL-18 R alfa | Interleucina 18 receptor alfa |
| | IL-18 R beta | Interleucina 18 receptor beta |
| | IL-18 | Interleucina 18 |
| | IL-1a | Interleucina 1 alfa |
| | IL-1 b | Interleucina 1 beta |
| | IL-1ra | Interleucina 1 receptor antagonista |
| | IL-2 | Interleucina 2 |
| | IL-2 R alfa | Interleucina 2 receptor soluble alfa |
| | IL-2 R beta | Interleucina 2 receptor soluble beta |
| | IL-2 R gamma | Interleucina 2 receptor gamma |
| | IL-21 R | Interleucina 21 receptor |
| | IL-3 | Interleucina 3 |
| | IL-4 | Interleucina 4 |

| | | |
|----|--------------|--|
| | IL-5 | Interleucina 5 |
| 5 | IL-5 R alfa | Interleucina 5 receptor alfa |
| | IL-6 | Interleucina 6 |
| 10 | IL-7 | Interleucina 7 |
| | IL-8 | Interleucina 8 |
| 15 | IL-9 | Interleucina 9 |
| | IL-9 R | Interleucina 9 receptor |
| 20 | Inhibina A | Inhibina A |
| | Inhibina B | Inhibina B |
| 25 | IP-11 O | IFN - Proteína inducible 10, Proteína Inmune 10 |
| | 1-TAC | Interferon-inducible célula T Alfa Quimioatrayente |
| 30 | LAP | Proteína activadora de hígado |
| | TGF-LAP | Factor de crecimiento tumoral - péptido asociado a la latencia |
| 35 | LT-BP-1 | Proteína de unión latente de TGF-beta 1 |
| | LECT2 | Quimiotaxina de leucocitos derivada de células -2 |
| 40 | LEPTIN R | Receptor LEPTIN |
| | LFA-1 alfa | Antígeno asociado a función de linfocitos 1 |
| 45 | LIF | Factor inhibitorio de leucemia |
| | LIGHT | LIGHT |
| 50 | LIX | Quimioquina inducida a C-X-C de LPS |
| | L-Selectina | L-Selectina |
| 55 | Limfotactina | Limfotactina |
| | MAC-1 | Lectina específica de macrófagos galactosa-1 |
| 60 | MM P-I 3 | Metaloproteinasas de la matriz 13 |
| | MMP-19 | Metaloproteinasas de la matriz 19 |
| 65 | MCP-1 | Proteína quimiotáctica de monocitos 1 |
| | MCP-2 | Proteína quimiotáctica de monocitos 2 |
| | MCP-3 | Proteína quimiotáctica de monocitos 3 |
| | MCP-4 | Proteína quimiotáctica de monocitos 4 |
| | MCSF | Factor estimulante de colonias de macrófagos |
| | M-CSF R | Receptor de factor estimulante de colonias de macrófagos |
| | MDC | Quimioquina derivada de macrófagos |
| 65 | MIF | Factor inhibidor de la migración de macrófagos |

| | | |
|----|--------------------------|---|
| | MIG | Monoquina inducida por el interferón gamma |
| 5 | MIP-1a | Proteína inflamatoria de macrófagos 1 alfa |
| | MIP-1b | Proteína inflamatoria de macrófagos 1 beta |
| 10 | MIP-1d | Proteína inflamatoria de macrófagos 1 delta |
| | MIP-2 | Proteína inflamatoria de macrófagos 2 |
| 15 | MIP-3 alfa | Proteína inflamatoria de macrófagos 3 alfa |
| | MIP-3 beta | Proteína inflamatoria de macrófagos 3 beta |
| 20 | MMP-1 | Metaloproteinasa de la matriz 1 |
| | MMP-10 | Metaloproteinasa de la matriz 10 |
| 25 | MMP-11 (Estromelisina-3) | Metaloproteinasa de la matriz 11 |
| | MMP-12 | Metaloproteinasa de la matriz 12 |
| 30 | MMP-13 | Metaloproteinasa de la matriz 13 |
| | MMP-14 | Metaloproteinasa de la matriz 14 |
| 35 | MMP-2 | Metaloproteinasa de la matriz 2 |
| | MMP-20 | Metaloproteinasa de la matriz 20 |
| 40 | MMP-3 | Metaloproteinasa de la matriz 3 |
| | MMP-7 | Metaloproteinasa de la matriz 7 |
| 45 | MMP-8 | Metaloproteinasa de la matriz 8 |
| | MMP-9 | Metaloproteinasa de la matriz 9 |
| 50 | MPIF-1 | Factor inhibidor de mieloide progenitor 1 |
| | MSP a-cadena | Cadena a de macrófagos de proteína estimuladora |
| | MSP b-cadena | Cadena b de macrófagos de proteína estimuladora |
| 55 | NAP-2 | Péptido activador de neutrófilos 2 |
| | NGF | Factor de crecimiento nervioso |
| 60 | NGF R | Receptor de factor de crecimiento nervioso |
| | NT-3 | Neurotrofina-4 |
| | NT-4 | Neurotrofina-3 |
| 65 | OPG | Osteoprotegerina |
| | OSM | Oncostatina M |
| | PARC | Quimioquina regulada por activación pulmonar |
| | PDGF R alfa | Receptor alfa del factor de crecimiento derivado de plaquetas |
| | PDGF R beta | Receptor beta del factor de crecimiento derivado de plaquetas |
| | PDGF-AA | Factor de crecimiento derivado de plaquetas AA |

| | | |
|----|----------------------|--|
| | PDGF-BB | Factor de crecimiento derivado de plaquetas BB |
| 5 | PECAM-I | Molécula de adhesión celular endotelial de plaquetas |
| | PF4 | Factor de plaquetas 4 |
| 10 | PIGF | Factor de crecimiento de placenta |
| | Prolactina | Prolactina |
| 15 | P-selectina | P-selectina |
| | RANTES | Regulado tras la activación, expresado de células T normal y presumiblemente secretado |
| 20 | SCF | Factor de célula madre |
| | SCF R | Receptor de factor de célula madre |
| 25 | SDF-1 | Factor derivado de células estromal |
| | SLPI | Inhibidor de la proteasa de leucocitos secretor |
| 30 | SMDF | Factor derivado de las neuronas motoras y sensoras |
| | SPARC | Osteonectina |
| 35 | ST2 | Interleucina 1 receptor 4 |
| | TARC | Quimioquina regulada por timo y activación |
| 40 | TECK | Quimioquina expresada por timo |
| | TGFa | Factor de necrosis tumoral alfa |
| 45 | TGF-a | Factor de crecimiento transformante alfa |
| | TGF-beta 1 | Factor de necrosis tumoral 1 beta |
| 50 | TGF-beta 2 | Factor de necrosis tumoral 2 beta |
| | TGF-beta 3 | Factor de necrosis tumoral 3 beta |
| 55 | Trombospondina (TSP) | Trombosponda |
| | Timopoyetina | Timopoyetina (Tpo) |
| 60 | Tie-11 | Quinasa tirosina con Ig y EGF dominios de homología 1 |
| | Tie-2 | Quinasa tirosina con inmunoglobulina y factor de crecimiento de homología de dominio 2 |
| 65 | TIMP-1 | Inhibidor tisular de metaloproteinasas -1 |
| | TIMP-2 | Inhibidor tisular de metaloproteinasas -2 |
| | TIMP-3 | Inhibidor tisular de metaloproteinasas -3 |
| | TIMP-4 | Inhibidor tisular de metaloproteinasas -4 |
| | TNF-a | Factor de necrosis tumoral alfa |
| | TN F-b | Factor de necrosis tumoral beta |
| | TPO | Trombopoyetina |

| | | |
|----|--------------|--|
| | TRAIL Ri | Receptor de ligando relacionado con TNF inductor de apoptosis 1 |
| 5 | TRAIL R2 | Receptor de ligando inductor de apoptosis relacionado con TNF 2 |
| | TRAIL | Ligando inductor de apoptosis relacionado con TNF |
| 10 | TRANCE | Citoquina inductora de activación relacionada con factor de necrosis tumoral |
| | TSLP | Linfopoyetina derivada de estromal tímica |
| 15 | uPA | Ab activador de plasminógeno de uroquinasa |
| | uPAR | Receptor de Ab activador de plasminógeno de uroquinasa |
| 20 | VCAM-1 | Molécula de adhesión celular vascular (VCAM-1, CD1O6, o INCAM-1 10) |
| | VE-Cadherina | Cadherina epitelial vascular |
| 25 | VEGF | Factor de crecimiento endotelial vascular |
| | VEGF R2 | Receptor de factor de crecimiento endotelial vascular 2 |
| | VEGF R3 | Receptor de factor de crecimiento endotelial vascular 3 |
| 30 | VEGF-B | Factor de crecimiento endotelial vascular B |
| | VEGF-C | Factor de crecimiento endotelial vascular C |
| 35 | VEGF-D | Factor de crecimiento endotelial vascular D |

40

45

50

55

60

65

REIVINDICACIONES

- 5 1. Una población sustancialmente pura de células derivadas del líquido amniótico, en el que dichas células son:
 capaces de diferenciarse en células que presentan las características del linaje de células beta,
 sustancialmente negativas para la expresión de los marcadores de proteínas CD117 y Oct-4, donde los
 10 marcadores no están presentes o se expresa en al menos 70% de la población total de células,
 sustancialmente positivas para la expresión de GATA-6 y SSEA-4, donde GATA-6 y SSEA-4 están presentes
 o se expresan en al menos aproximadamente 50% de la población total de células, y
 ya sea substancialmente
 i) positivo para la expresión de SOX-17 y citoqueratina, en donde SOX-17 y citoqueratina están presentes o
 15 se expresan en por lo menos aproximadamente 50% de la población total de células;
 ii) negativo para la expresión de SOX-17, en el que SOX-17 no está presente o expresado en al menos 70%
 de la población total de células y positivo en la expresión de citoqueratina, en el que la citoqueratina está
 20 presente o expresado en al menos aproximadamente 50% de la población total de células; o
 iii) negativo para la expresión de SOX-17 y citoqueratina, en donde SOX-17 y citoqueratina no están
 presentes o se expresan en al menos 70% de la población celular total.
- 25 2. La población de células derivadas de líquido amniótico de acuerdo con la reclamación 1, en la que dichas células
 son sustancialmente positivas para la expresión de SOX-17 y citoqueratina, en donde SOX-17 y citoqueratina están
 presentes o se expresa en al menos aproximadamente 50% de la población total de células, y sustancialmente
 positivas para la expresión de la HNF-1 beta, HNF-3 beta y GATA-6 marcadores de proteínas, donde los
 marcadores están presentes o se expresan en por lo menos aproximadamente 50% de la población celular total.
- 30 3. La población de células derivadas de líquido amniótico de acuerdo con la reclamación 1, en la que dichas células
 son sustancialmente negativas para la expresión de SOX-17, donde SOX-17 no está presente o expresado en al
 menos 70% de la población total de células, y positivo en la expresión de citoqueratina, donde la citoqueratina está
 presente o expresada en por lo menos aproximadamente 50% de la población total de células, y no expresa los
 marcadores de HNF-3 beta y GATA-4.
- 35 4. La población de células derivadas de líquido amniótico de acuerdo con la reclamación 3, donde dichas células no
 expresan ninguno de los marcadores HNF-3 beta, GATA-4 o Tra2-54.
- 40 5. La población de células derivadas de líquido amniótico de acuerdo con la reclamación 1, donde dichas células son
 sustancialmente negativas para la expresión de SOX-17 y citoqueratina, donde SOX-17 y citoqueratina no están
 presentes o expresados en al menos aproximadamente 70% de la población total de células, y no expresan los
 marcadores de HNF-3 beta y GATA-4.
- 45 6. La población de células derivadas de líquido amniótico de acuerdo con la reclamación 5, donde dichas células no
 expresan ninguno de los marcadores HNF-3 beta, GATA-4 o Tra2-54.
- 50 7. La población de células derivadas de líquido amniótico de acuerdo con cualesquiera de las anteriores
 reclamaciones, donde dichas células son sustancialmente positivas para la expresión del gen HES-1, donde HES-1
 está presente o se expresa en al menos aproximadamente 50% de la población total de células.
- 55 8. La población de células derivadas de líquido amniótico de acuerdo con cualquiera de las anteriores
 reclamaciones, capaces de propagarse in vitro.
- 60 9. La población de células derivadas de líquido amniótico de acuerdo con cualquiera de las anteriores
 reclamaciones, capaces de propagarse in vitro en condiciones de hipoxia.
- 65 10. La población de células derivadas de líquido amniótico de acuerdo con cualquiera de las reivindicaciones
 anteriores, capaces de diferenciarse en una célula productora de hormonas intestino.
- 65 11. Una población de células derivadas de líquido amniótico como se define en una cualquiera de las reclamaciones
 1 a 10, para uso en un método de tratamiento de un paciente con diabetes mellitus o a riesgo de desarrollar
 diabetes.
- 65 12. En el uso in vitro de la población de células de acuerdo con una cualquiera de las reclamaciones 1 a 10, en un
 método en el que las células de dicha población se diferencian en células de producción de la hormona páncreas.

figura 1

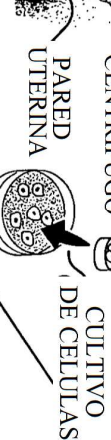
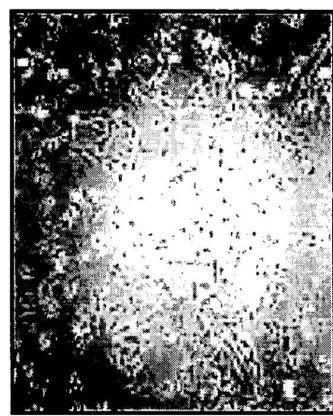
CULTIVO DE CÉLULAS DE HASTA 2 SEMANAS

PLACENTA FLUIDO EXTRAIDO

COMPOSICIÓN DE FLUIDO



MORFOLOGÍA DE FLUIDO AMNIOTICO



CLONACIÓN DE 3 POBLACIONES
DISTINTAS DE CÉLULAS
BASÁNDOSE EN LA MORFOLOGÍA

MORFOLOGÍA FIBROPLÁSTICA



CULTIVO DE CELULAS

PARED UTERINA

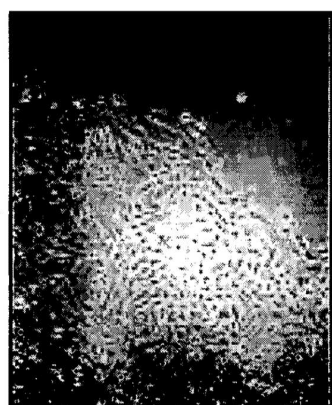
CENTRIFUGO

CAVIDAD AMNIOTICA

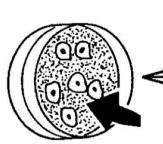
FLUIDO EXTRAIIDO

PLACENTA

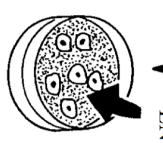
MORFOLOGÍA EPITELIAL



CLONACIÓN DE DILUCIÓN
EN SERIE

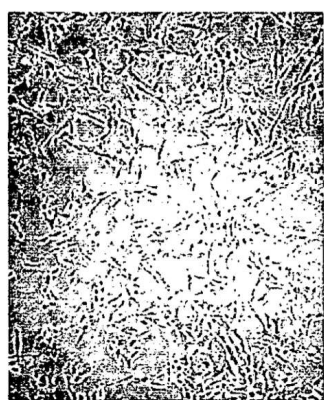


NO SE FORMARON COLONIAS NO VIABLES

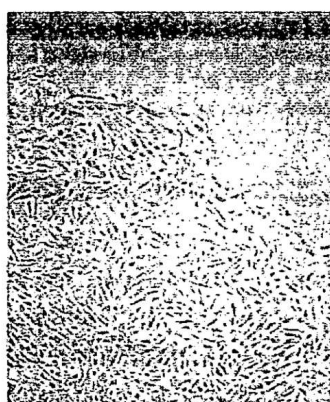


CULTIVO DE CELULAS
EN CRECIMIENTO MEDIO

Figura 2



a) morfología AF



b) Morfología epitelial



c) Morfología fibroblástica

Figura 3

Células AF-I

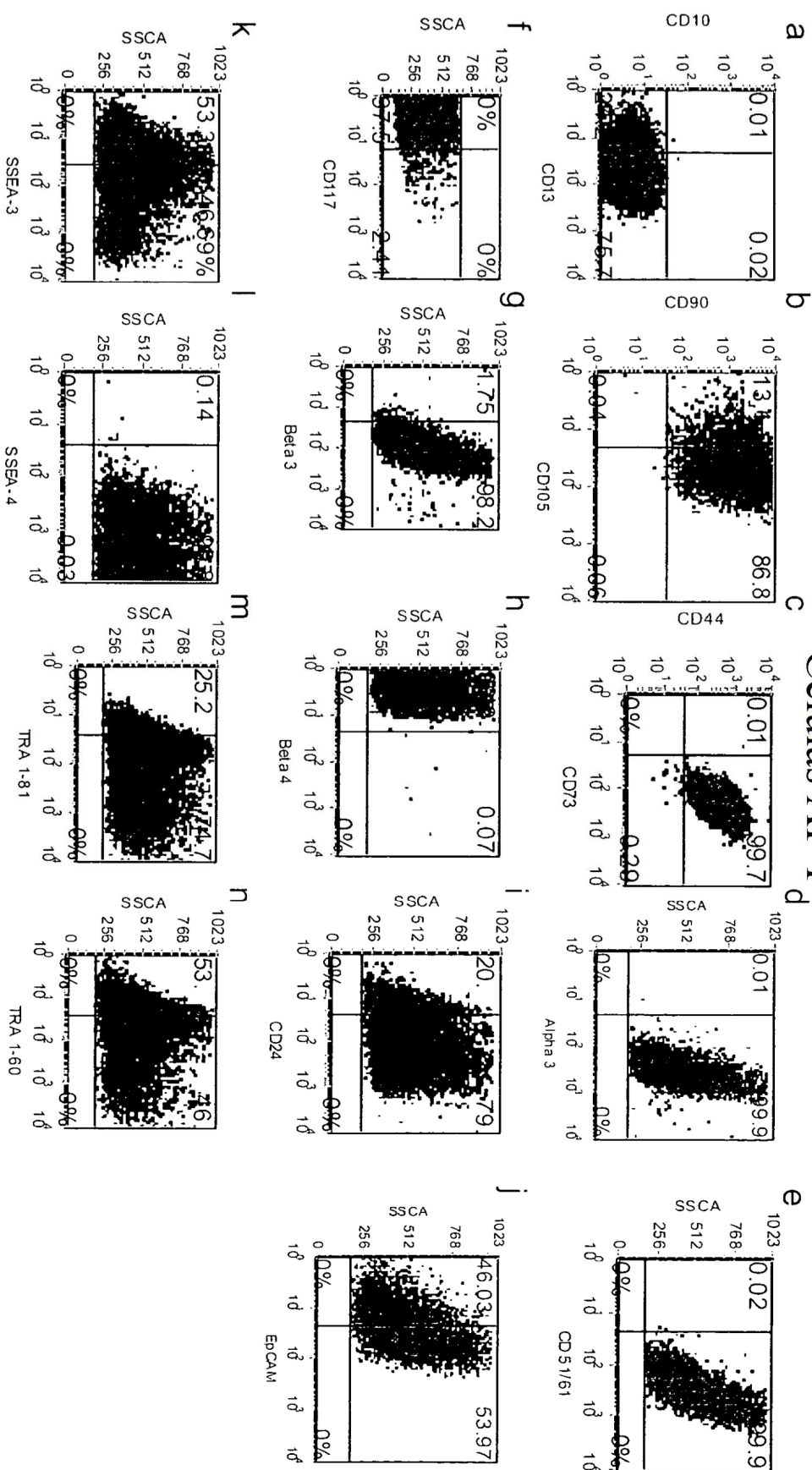


Figura 4

Células F

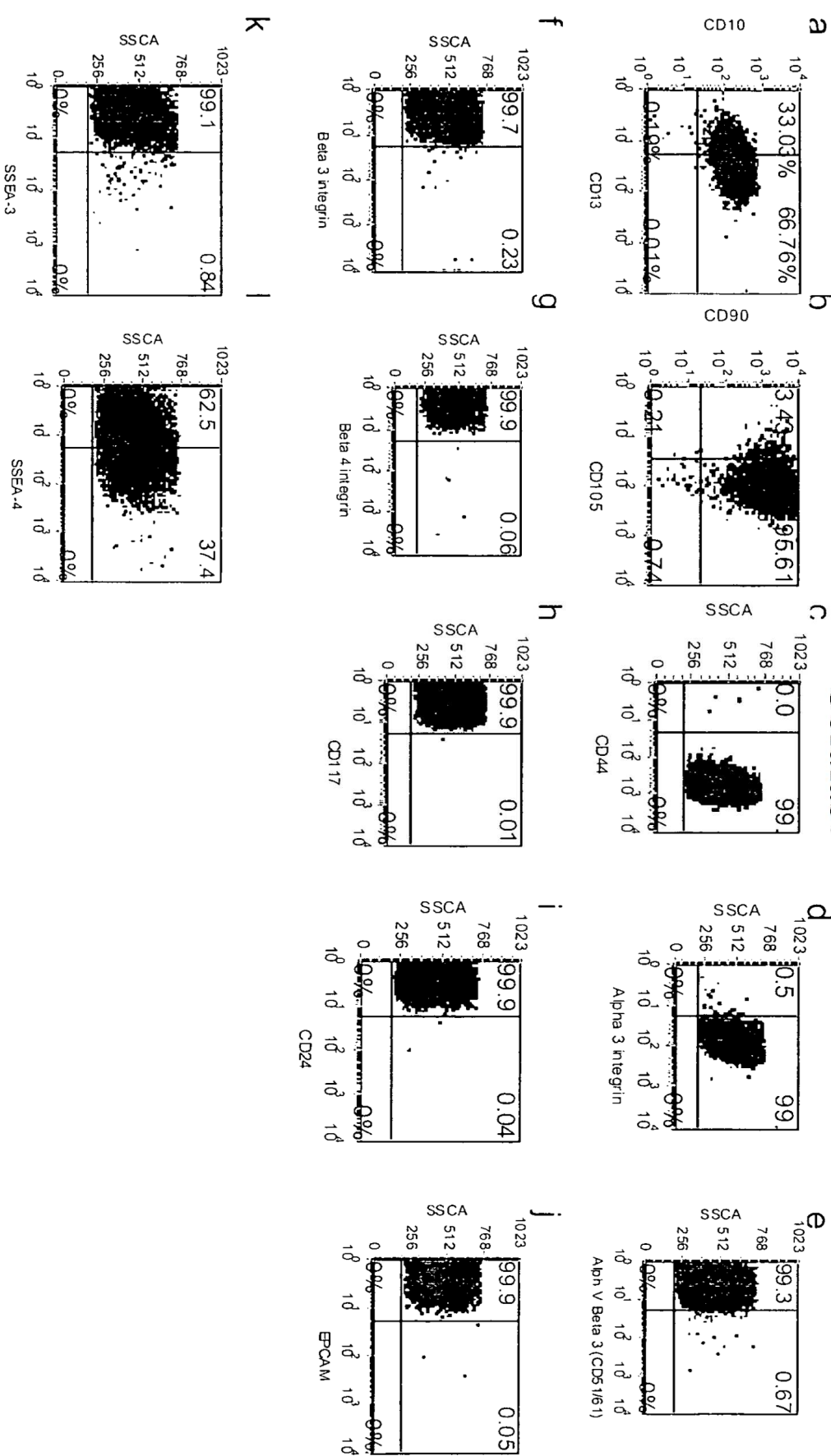


Figura 5

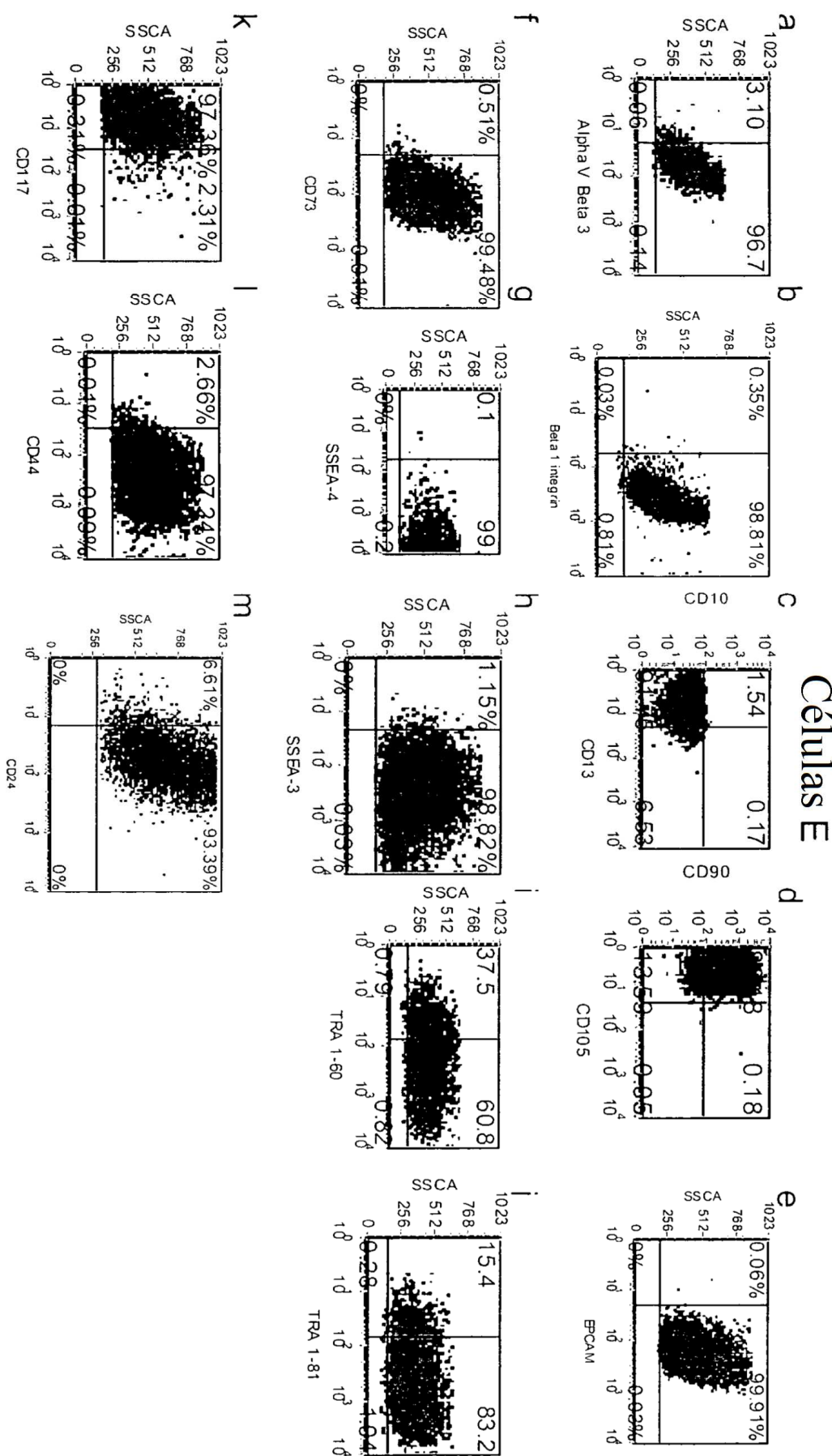


Figura 6

Células F



Figura 7

Células E

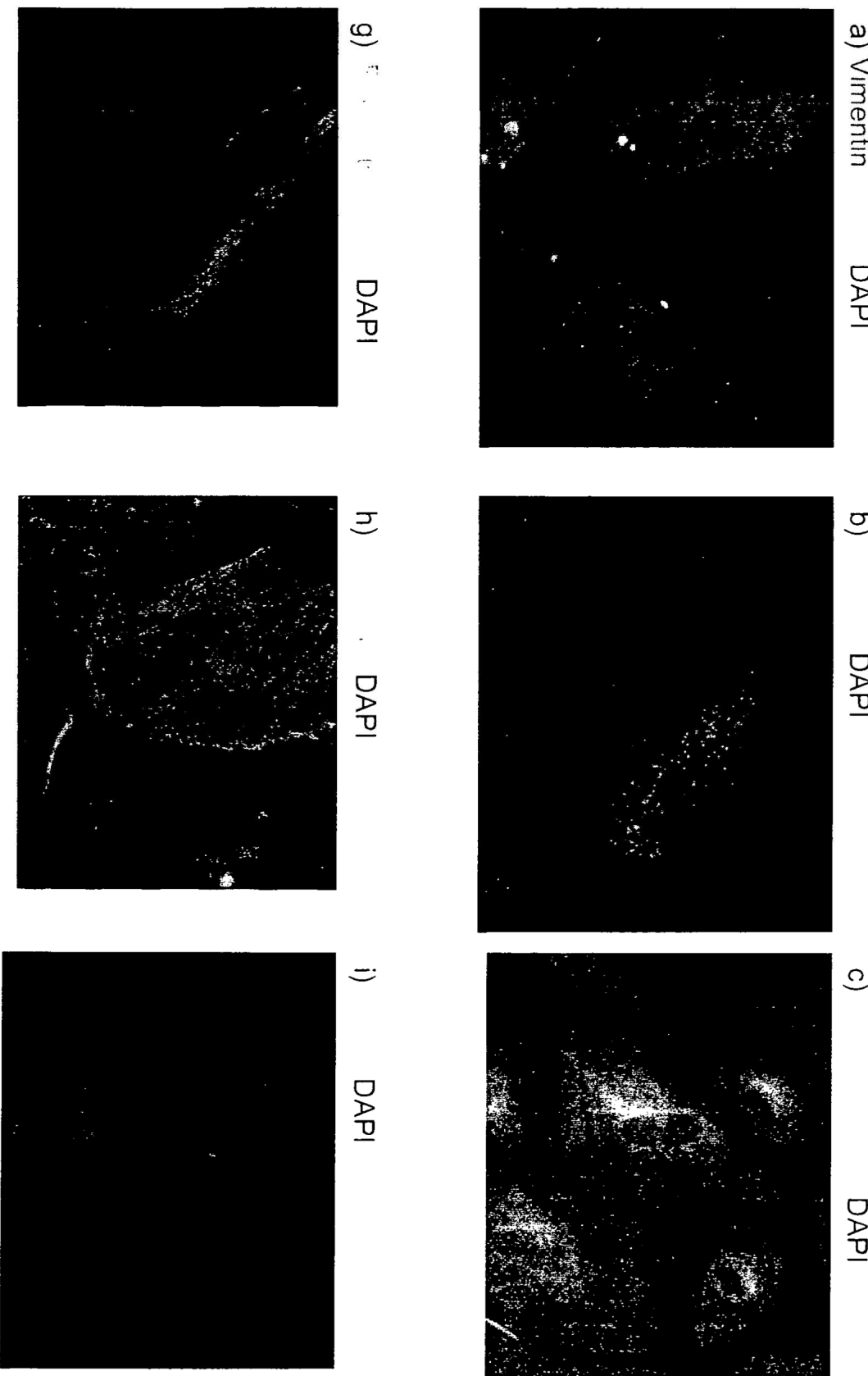


Figura 8

Células AF-I

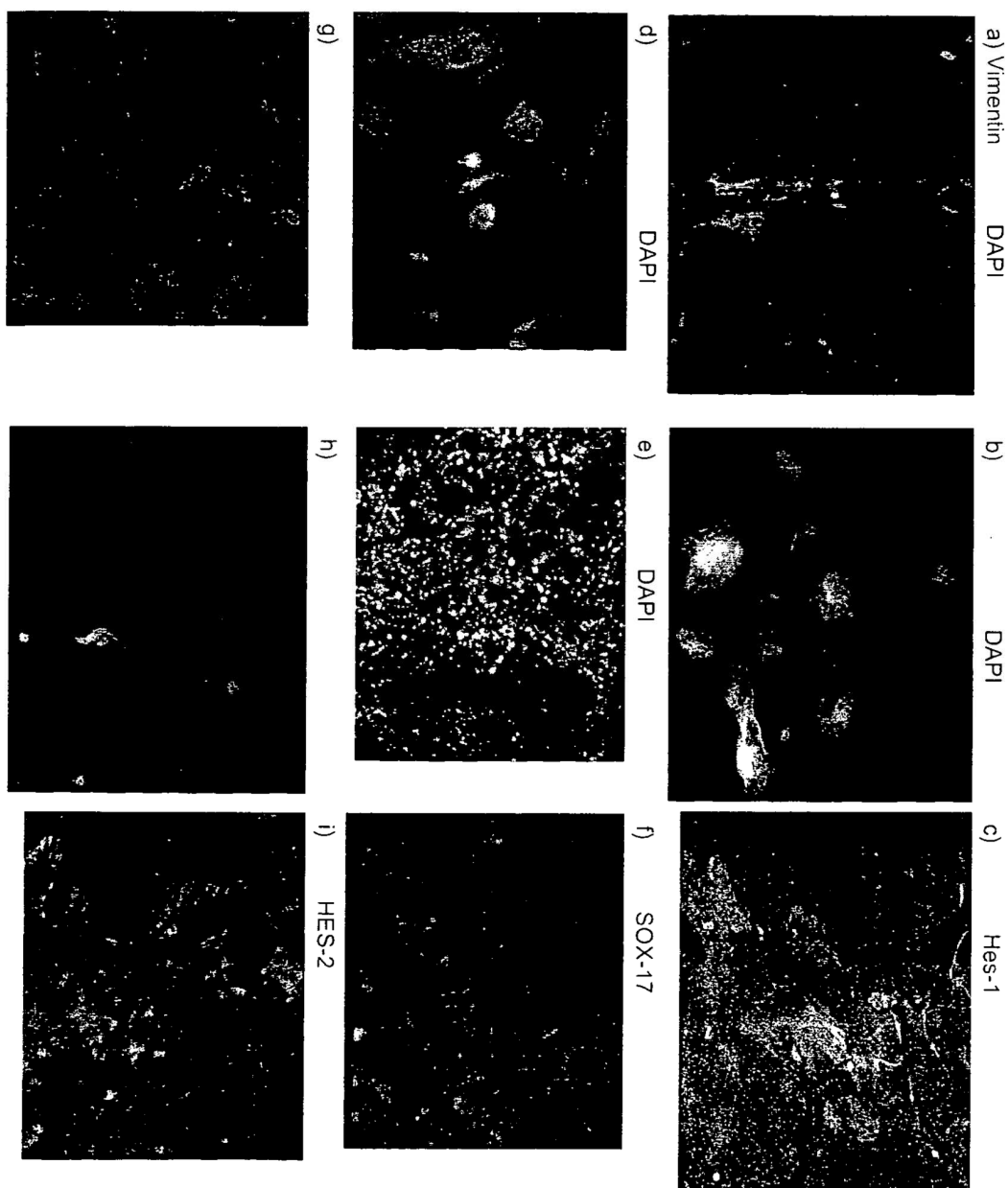


Figura 9

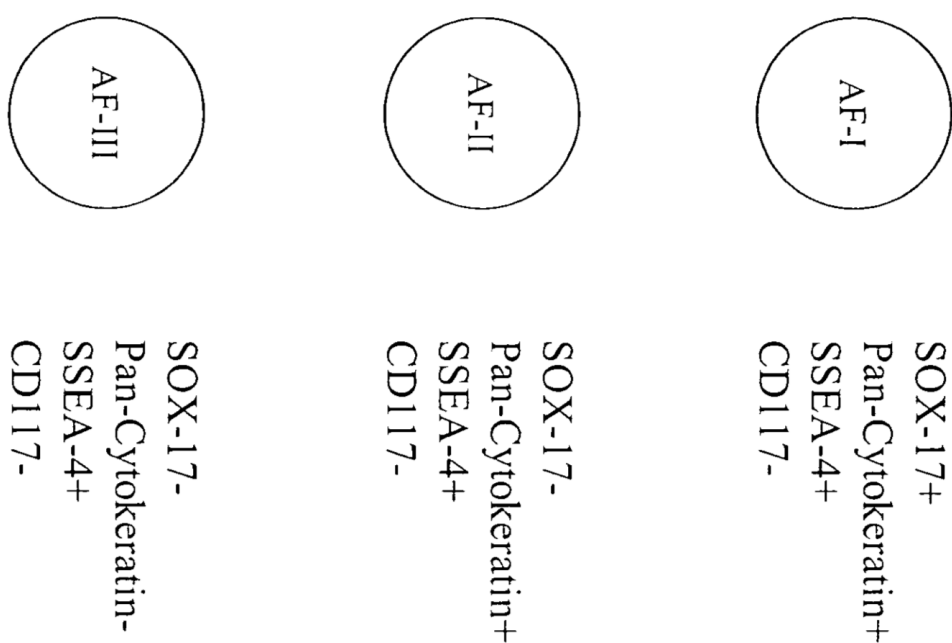


FIGURA 10

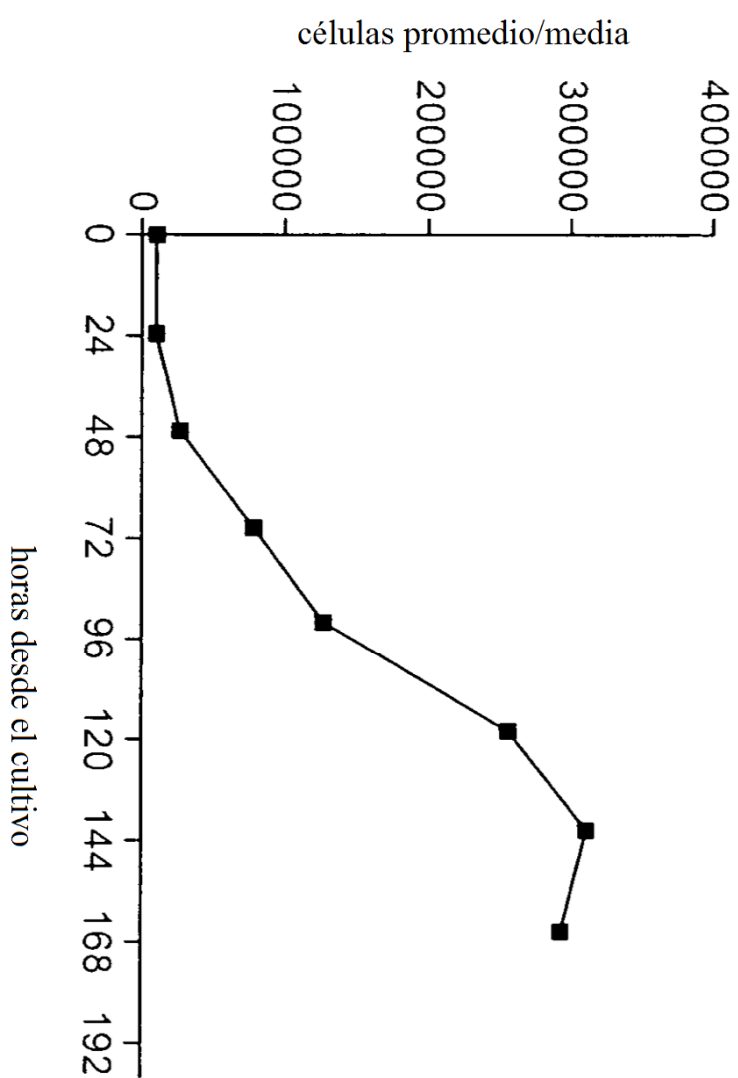


FIGURA 11

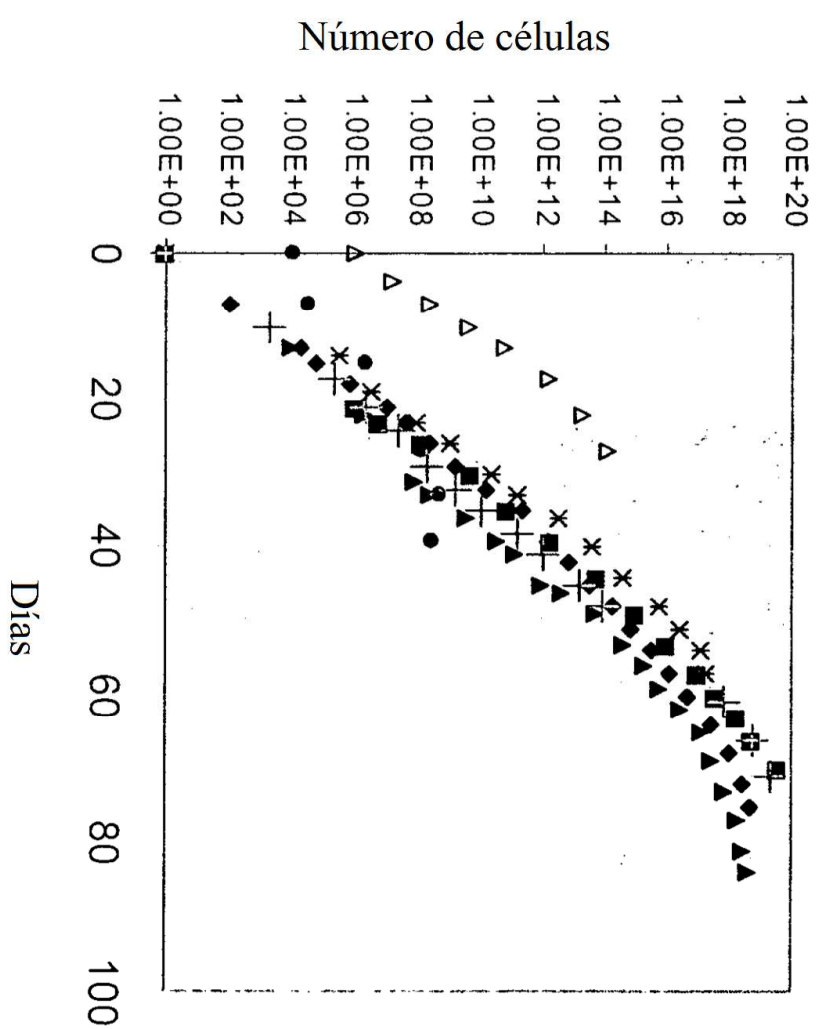


Figura 12



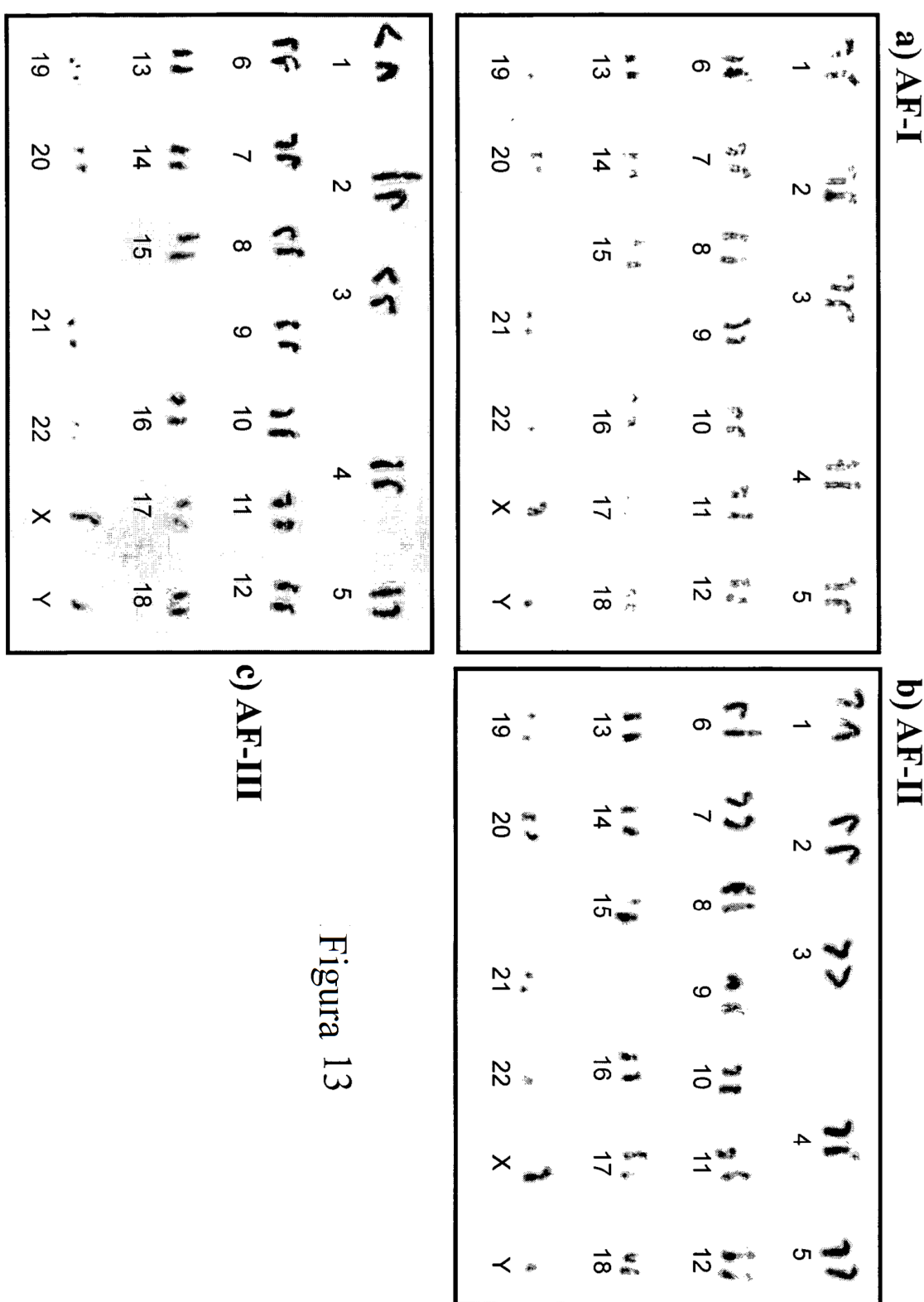


Figura 13

FIGURA 14

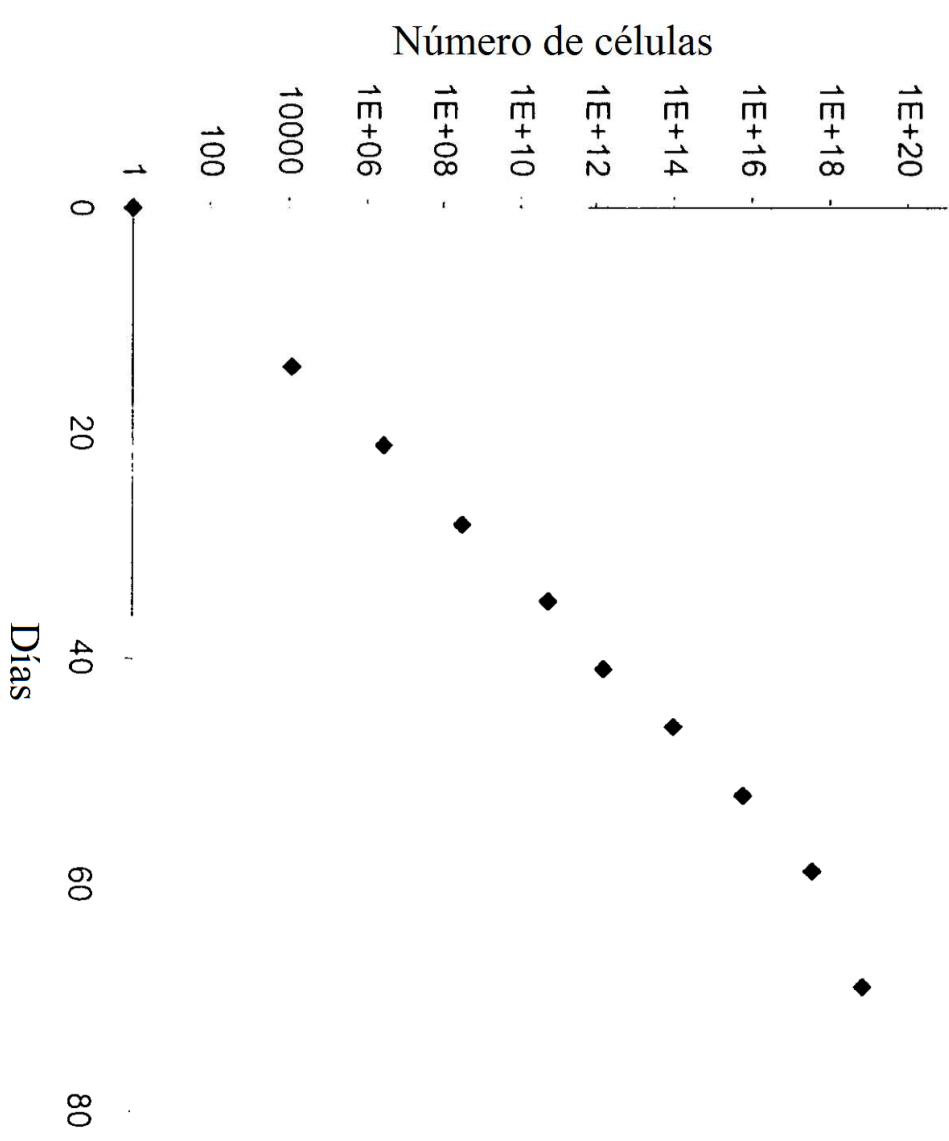


FIGURA 15

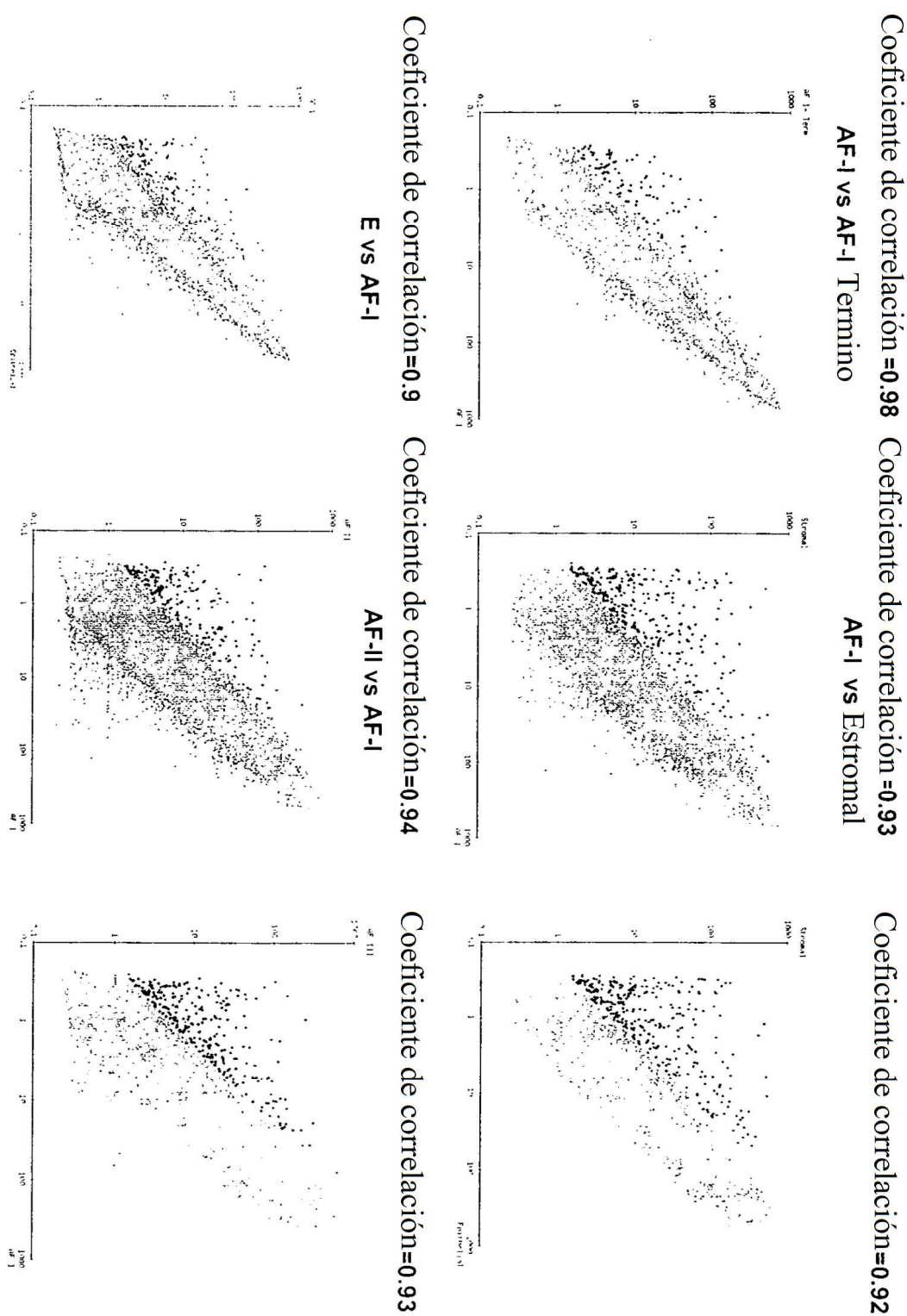


FIGURA 16

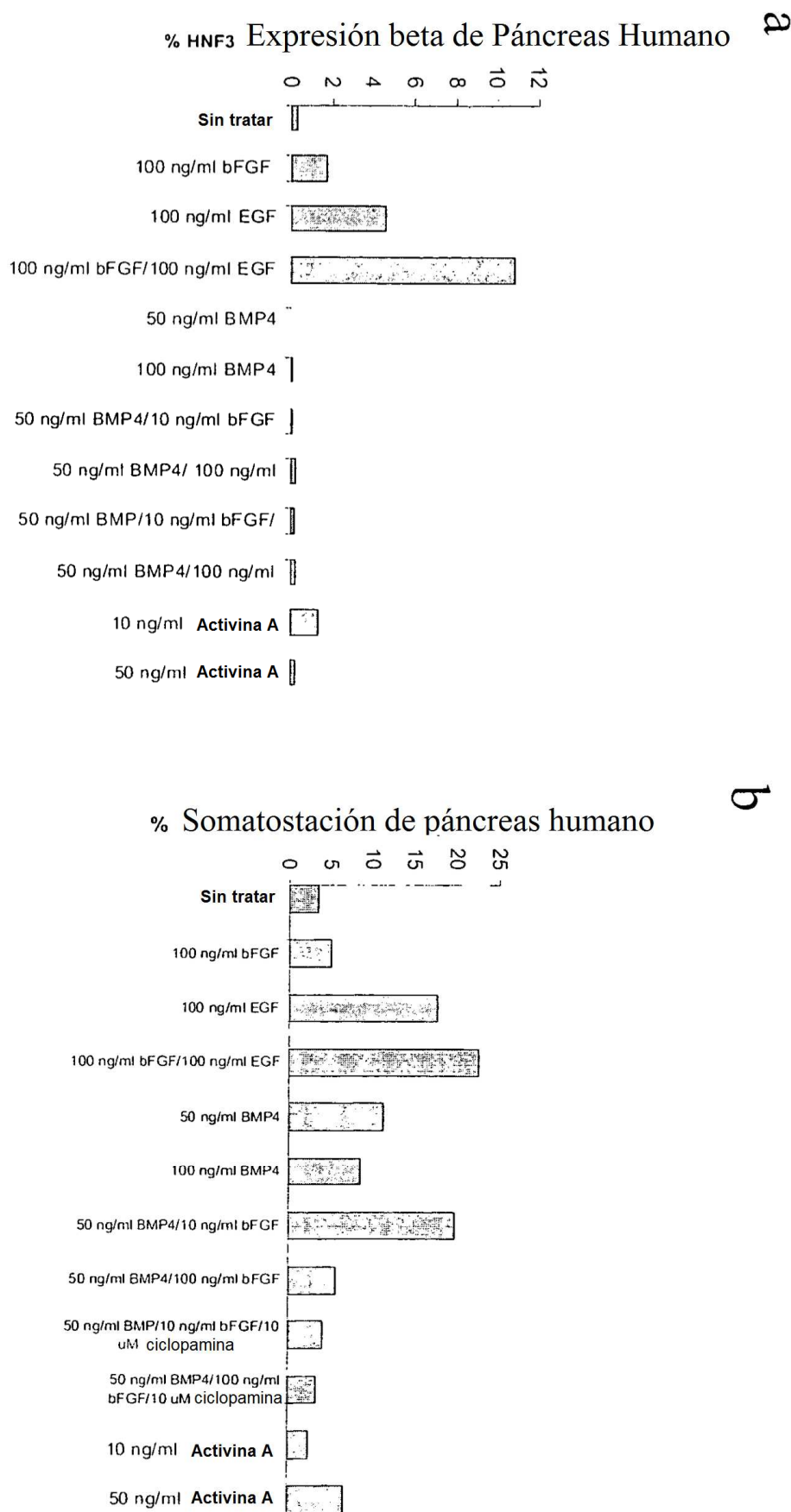


FIGURA 17

